

AVERTISSEMENT

Ce document est le fruit d'un long travail approuvé par le jury de soutenance et mis à disposition de l'ensemble de la communauté universitaire élargie.

Il est soumis à la propriété intellectuelle de l'auteur. Ceci implique une obligation de citation et de référencement lors de l'utilisation de ce document.

D'autre part, toute contrefaçon, plagiat, reproduction illicite encourt une poursuite pénale.

Contact: ddoc-theses-contact@univ-lorraine.fr

LIENS

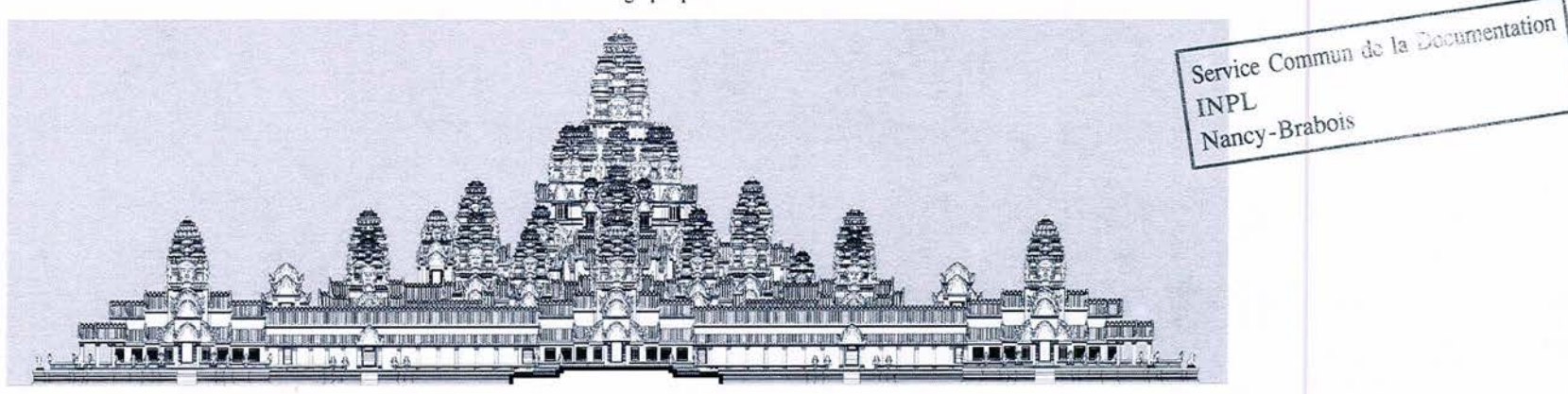
Code de la Propriété Intellectuelle. articles L 122. 4
Code de la Propriété Intellectuelle. articles L 335.2- L 335.10
http://www.cfcopies.com/V2/leg/leg_droi.php
http://www.culture.gouv.fr/culture/infos-pratiques/droits/protection.htm



O4IMPUO9115

DE TA PROHM AU BAYON (ANNEXE I)

Documents graphiques



THÈSE Pour l'obtention du

Doctorat de l'Institut National Polytechnique de Lorraine Discipline : Sciences de l'Architecture

Présentée et soutenue publiquement par

Olivier CUNIN

Le 29 octobre 2004

Directeur de Thèse : Jean-Claude PAUL Co-directeur de Thèse : Jean-Pierre PERRIN



Composition du Jury

OUF (Présidente) Professeure d'archéologie médiévale à l'Université de Paris I Panthéon Sorbonne

HATTACHARYA Sanskritiste et épigraphiste du Cambodge ancien, Docteur ès Lettres de la Sorbonne et Directeur de Recherche retraité du CNRS

Examinateurs:
M. Thomas Stuart MAXWELL

Professeur d'art et d'architecture ancienne d'Asie du Sud et du Sud-Est, directeur du département d'histoire de l'art oriental de l'Université de Bonn (Allemagne) Professeur à l'école d'architecture de Nancy et directeur scientifique du CRAI (U.M.R. CNRS/MCC n° 694 MAP)

M. Jean-Pierre PERRIN

M. Jean-Marie PIERREL

Professeur à l'Université Henri Poincaré Nancy 1, directeur de l'ATILF UMR 7118 CNRS-Université Nancy 2

Centre de Recherche en Architecture et Ingénierie - UMR MAP 694 - École d'Architecture de Nancy



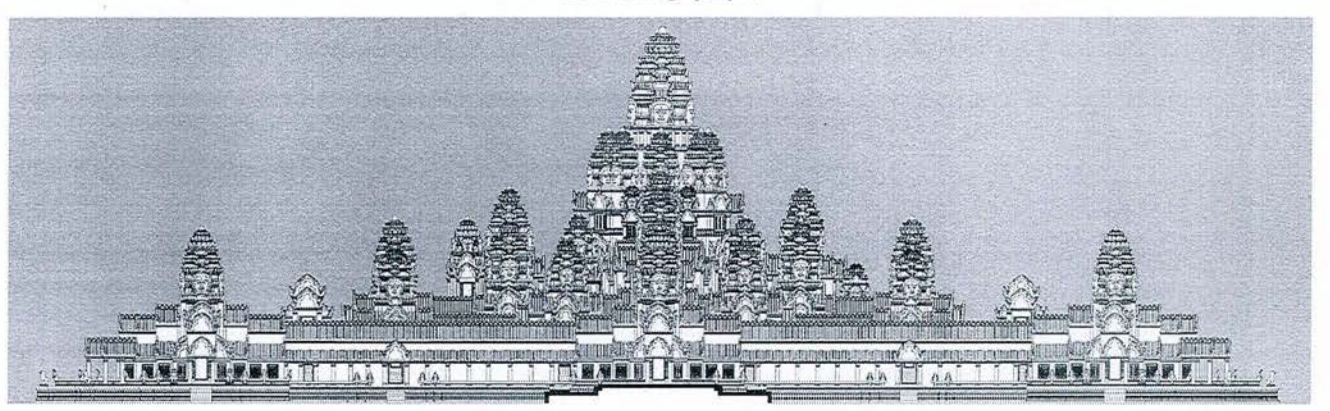
E 2004 CUNIN, 0.8

École Doctorale IAE + M Département de formation doctorale en Sciences de l'Architecture

DE TA PROHM AU BAYON

(ANNEXE I)

Documents graphiques



THÈSE

Pour l'obtention du

Doctorat de l'Institut National Polytechnique de Lorraine Discipline : Sciences de l'Architecture

> Présentée et soutenue publiquement par Olivier CUNIN

Le 29 octobre 2004

Directeur de Thèse : Jean-Claude PAUL

Co-directeur de Thèse : Jean-Pierre PERRIN

Composition du Jury:

Rapporteurs:

Mme. Joëlle BURNOUF (Présidente)

Professeure d'archéologie médiévale à l'Université de Paris I Panthéon Sorbonne

M. Kamaleswar BHATTACHARYA

Sanskritiste et épigraphiste du Cambodge ancien, Docteur ès Lettres de la Sorbonne et Directeur de Recherche retraité du CNRS

Examinateurs:

Professeur d'art et d'architecture ancienne d'Asie du Sud et du Sud-Est, directeur

M. Thomas Stuart MAXWELL

du département d'histoire de l'art oriental de l'Université de Bonn (Allemagne)

M. Jean-Pierre PERRIN

Professeur à l'école d'architecture de Nancy et directeur scientifique du CRAI (U.M.R. CNRS/MCC nº 694 MAP)

M. Jean-Marie PIERREL

Professeur à l'Université Henri Poincaré Nancy I, directeur de l'ATILF UMR

7118 CNRS-Université Nancy 2



SOMMAIRE DE LA PREMIÈRE ANNEXE

(Troisième volume sur quatre)

Tome I, Chapitre II:	Cartes
Tome I, Chapitre II:	Documents graphiques des monument du style du Bayon
Tome I, Chapitre III :	Analyse structureile des monuments du style du Bayon
Tome I, Chapitre III :	Inventaires des critères stylistiques et architectoniques des monuments du style du Bayon p. 115 à p. 177
Tome I, Chapitre III	Traitement des données de l'inventaires des critères stylistiques et architectoniques
Tome I, Chapitre III	Données et traitement de la susceptibilité magnétique moyenne du grès des monuments du style du Bayon à Angkor
Tome I, Chapitre III	Chronologies relatives des principaux monuments du style du Bayon
Tome I, Chapitre IV	Classement typologique des principaux monuments du style du Bayon
Tome II, Chapitre III	Documentations pour la restitution du Bayon dans son dernier état p. 296 à p. 304
Tome II, Chapitre IV	Sondages du Bayon

CARTES

Distribution spatiale des monuments du style du Bayon en Asie du Sud-Est	p.
Répartition géographique des monuments prospectés pour l'étude des monuments du style du Bayon	p.

Distribution spatiale des monuments du style du Bayon en Asie du Sud-Est

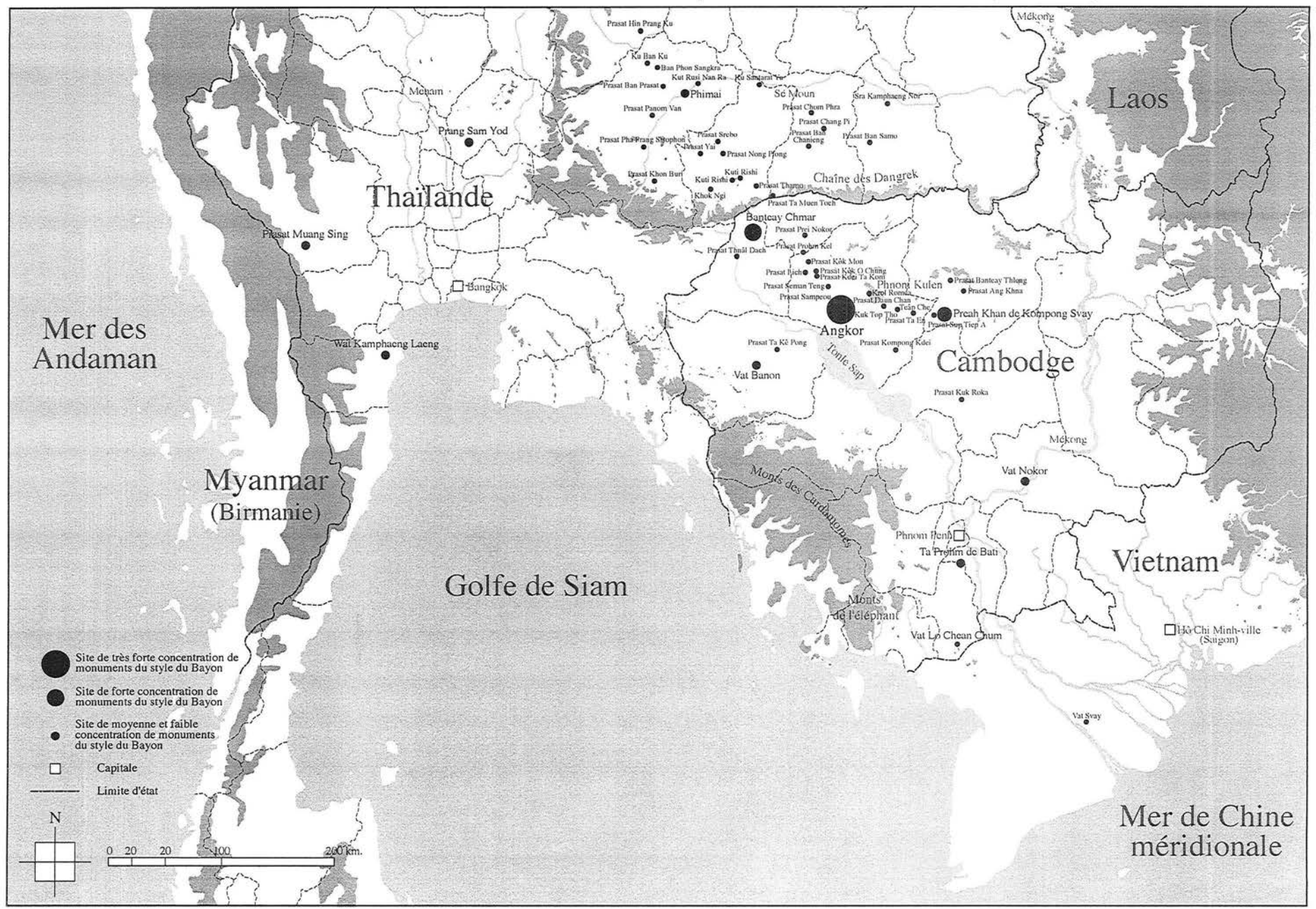


Fig. I-2-1.1 : Distribution spatiale des monuments du style du Bayon en Asie du Sud-Est

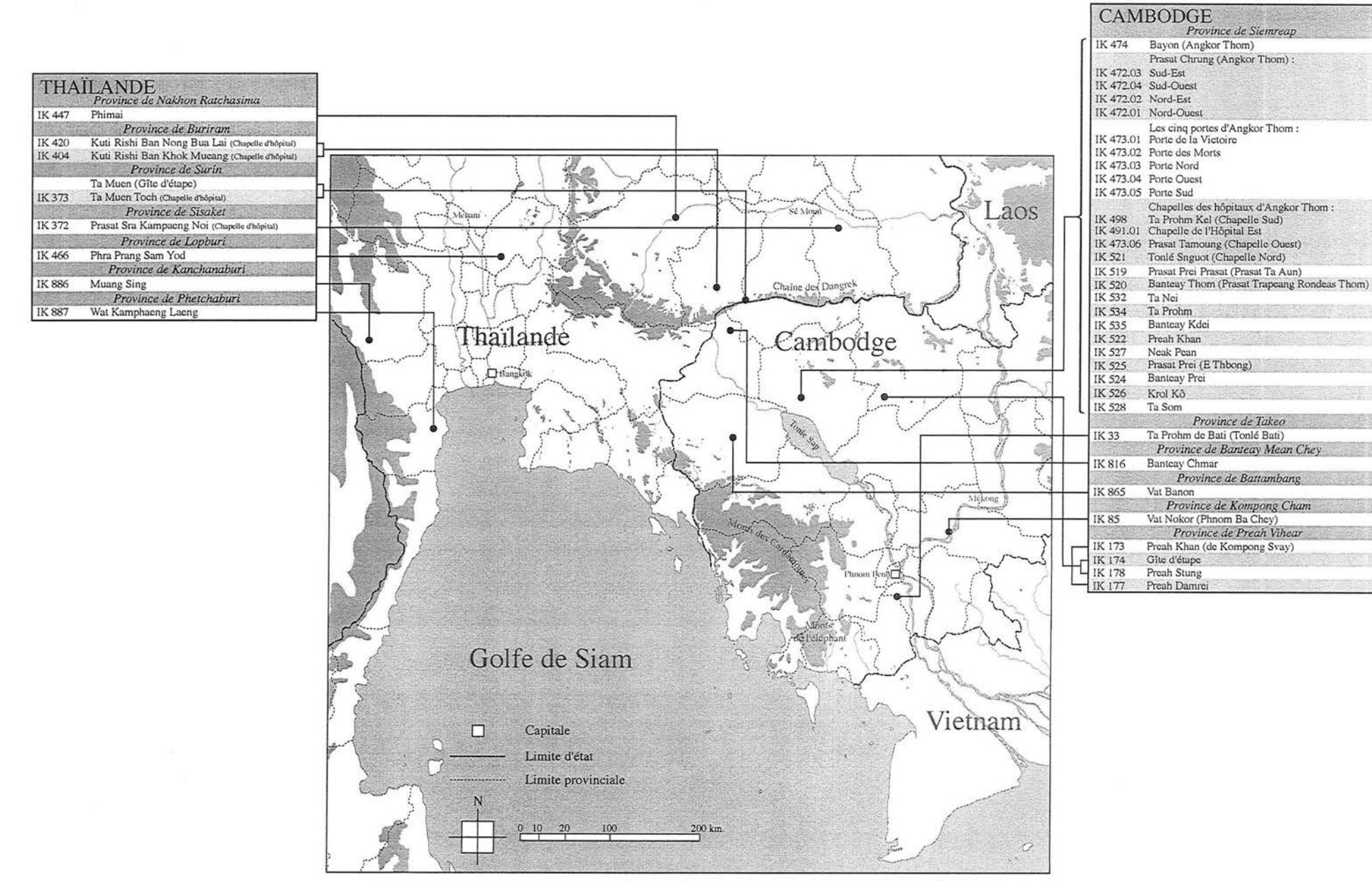


Fig. I-2-1.2: Liste et répartition géographique des monuments prospectés pour l'étude des monuments du style du Bayon

DOCUMENTS GRAPHIQUES DES MONUMENTS DU STYLE DU BAYON

Plan des principales structures monumentales sur le site d'Angkor	p. 5
Ta Prohm	p. 6 à p. 10
Banteay Kdei	p. 11 à p. 13
Ta Nei	p. 14 à p. 15
Preah Khan d'Angkor	p. 16 à p. 18
Neak Pean	p. 19 à p. 20
Banteay Prei	p. 21
Prasat Prei & Krol Kô	p. 22
Ta Som	p. 23
Banteay Thom & Prasat Prei Prasat	p. 24
Angkor Thom	p. 25
Chapelle de l'hôpital Est d'Angkor Thom, Porte des Morts, Mangalârtha, Prasat Chrung Sud-Ouest et Sud-Est .	p. 26
Place royale d'Angkor Thom	p. 27
Bayon	p. 28 à p. 41
Banteay Chmar	p. 42 à p. 44
Vat Nokor	p. 45 à p. 46
Γa Prohm de Bati	p. 47
Vat Banon	p. 48
Site du Preah Khan de Kompong Svay	p. 49
Prasat Preah Stung, Prasat Preah Thkol & Prasat Damrei	p. 50
Preah Khan de Kompong Svay	p. 51 à p. 52
Muan Sing	. p. 53 à p. 54
Wat Kamphaeng Laeng & Phra Prang Sam Yod	p. 71 à p. 72
Phimai	p. 56 à p. 58

Yaçodharapura / Angkor Bantcay Thom Prasat Pthu Krol Kô Jayatatâka Neak Pean Tonlé Snguot (Chapelle de l'hôpital Nord) d'Angkor Thom) Prei Prasat Preah Khan Ta Noi Spean Throa Yaçodharatatâka (Baray oriental) Chapelle de l'hôpital Est d'Angkir Thom) Prasat Tamoung (Chapelle de l'hôpetal Ouest d'Angkor Thom) Bantcay Baray occiendental Angkor Thom Pre Rup Mebon occiendental Srah Srang Ta Prohm 6 Phnom Bakeng ☐ Prasat Kravan Ta Prohm Kel (Chapelle de l'hôpital Sud d'Angkor Thom) Angkor Vat

Fig. I-2-3: Plan des principales structures monumentales sur le site d'Angkor

Rājavihāra / Ta Prohm

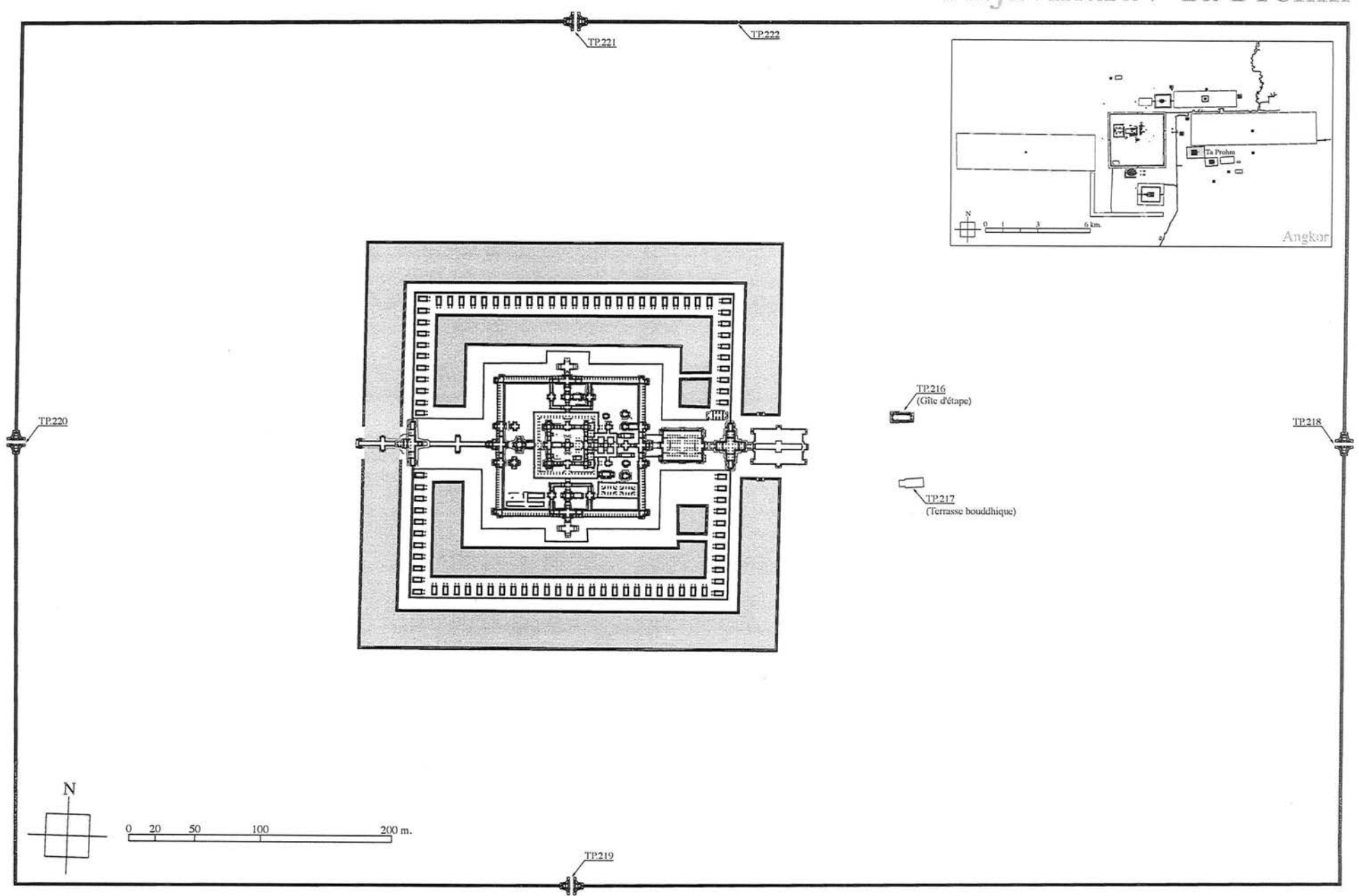


Fig. 1-2-3-1.1 : Plan du domaine de Răjavihăra (Ta Prohm)
— Cinquième enceinte —

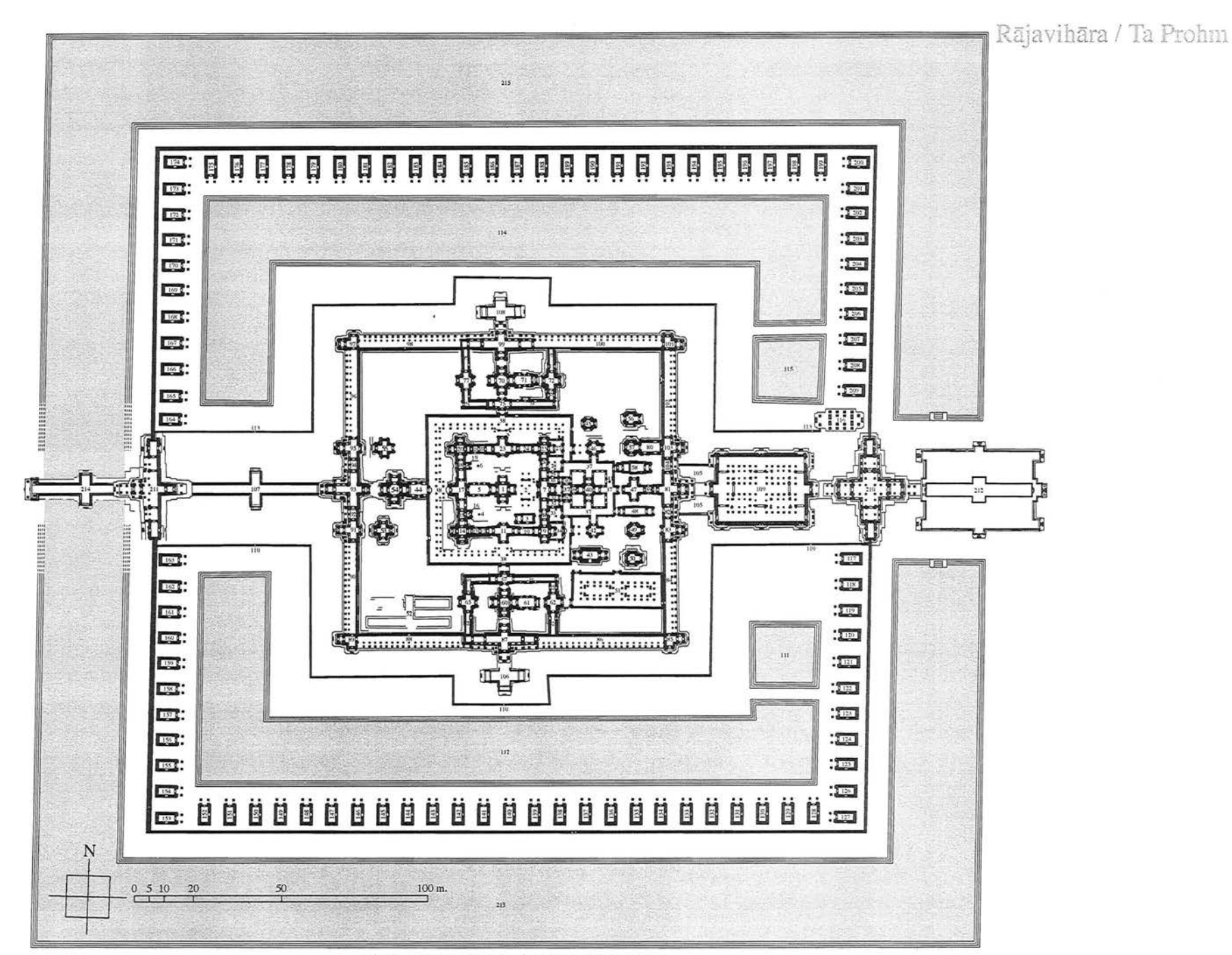
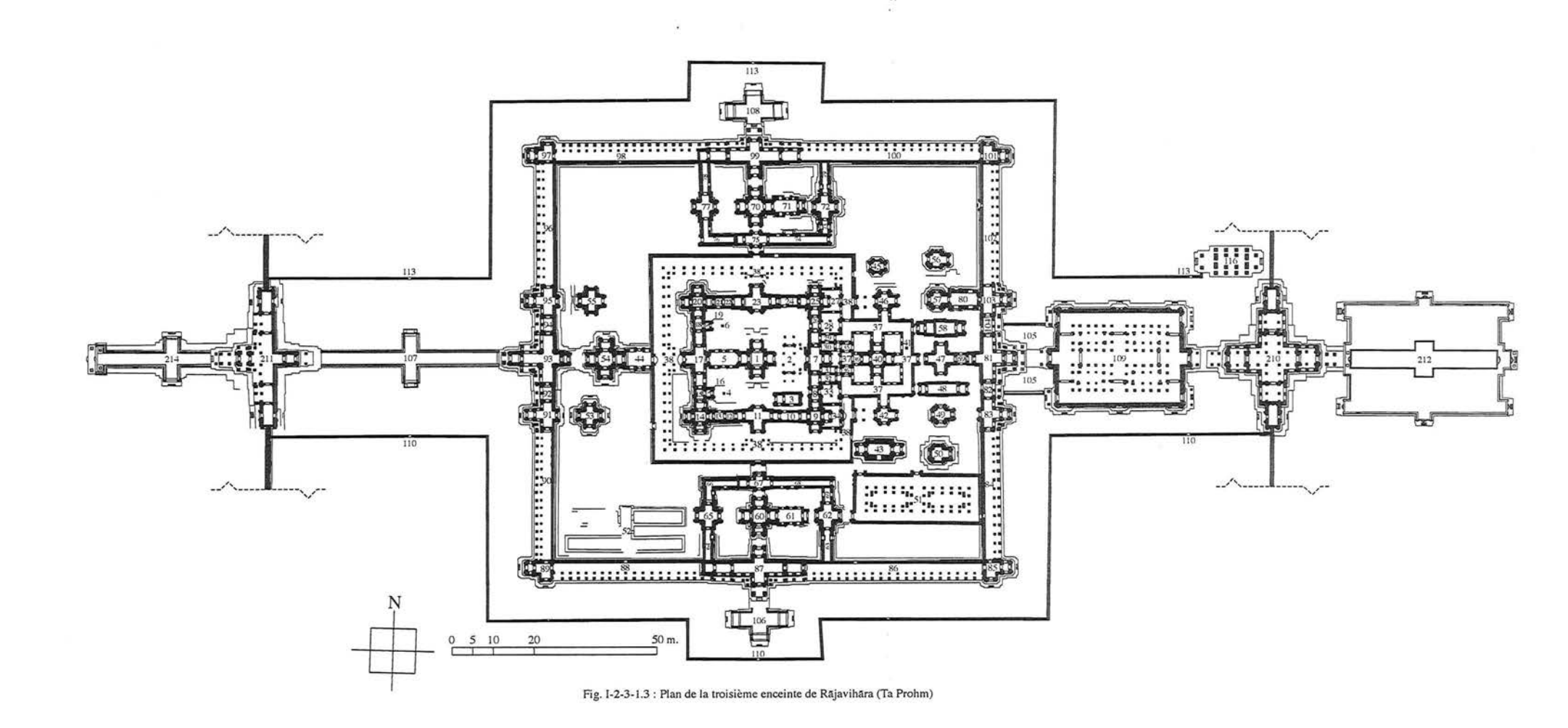


Fig. I-2-3-1.2 : Plan du complexe cultuel de Rājavihāra (Ta Prohm)
— Quatrième enceinte —



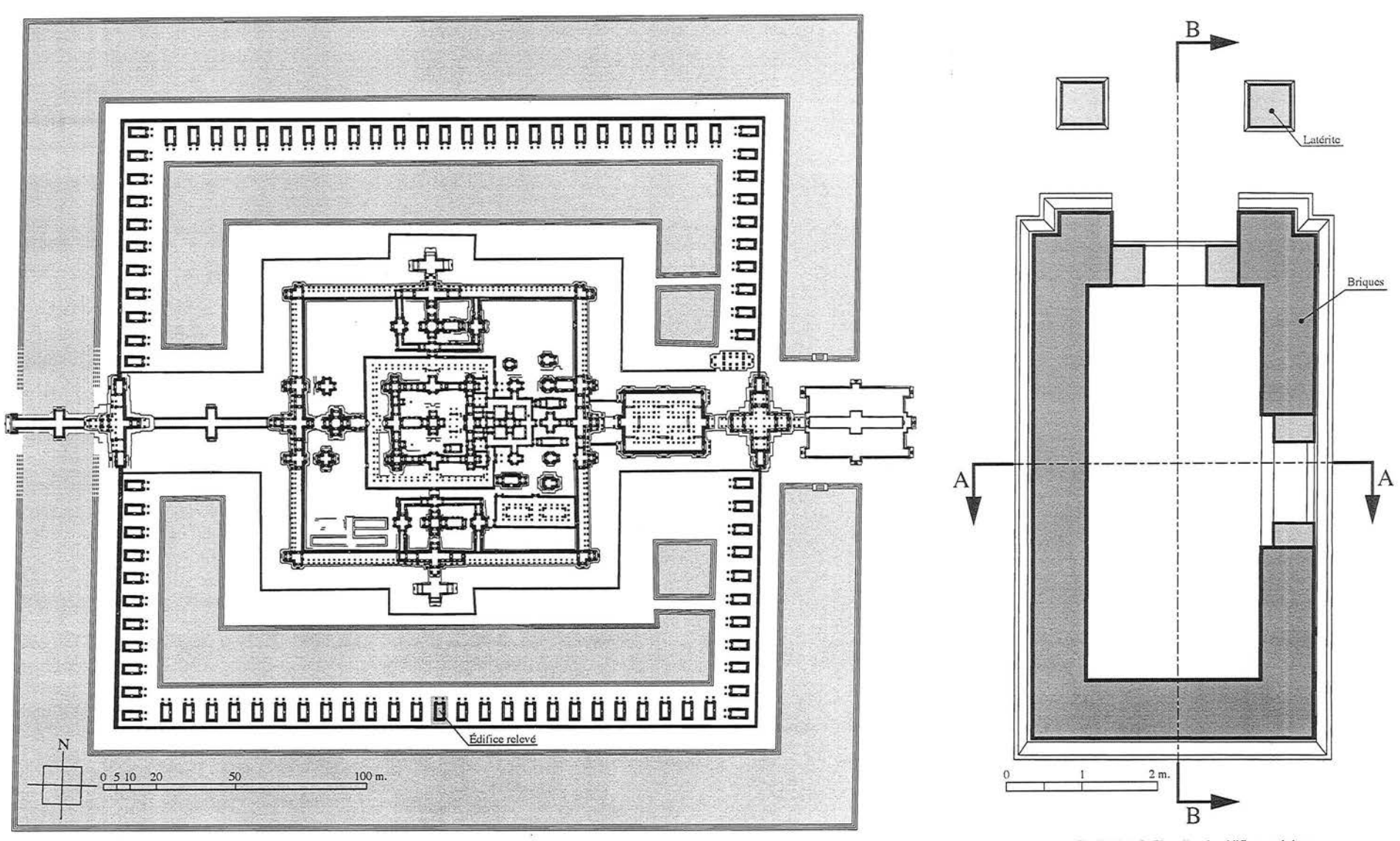


Fig. I-2-3-1.4: Plan d'ensemble du complexe cultuel de Ta Prohm

Fig. I-2-3-1.5: Plan d'un des édifices en briques

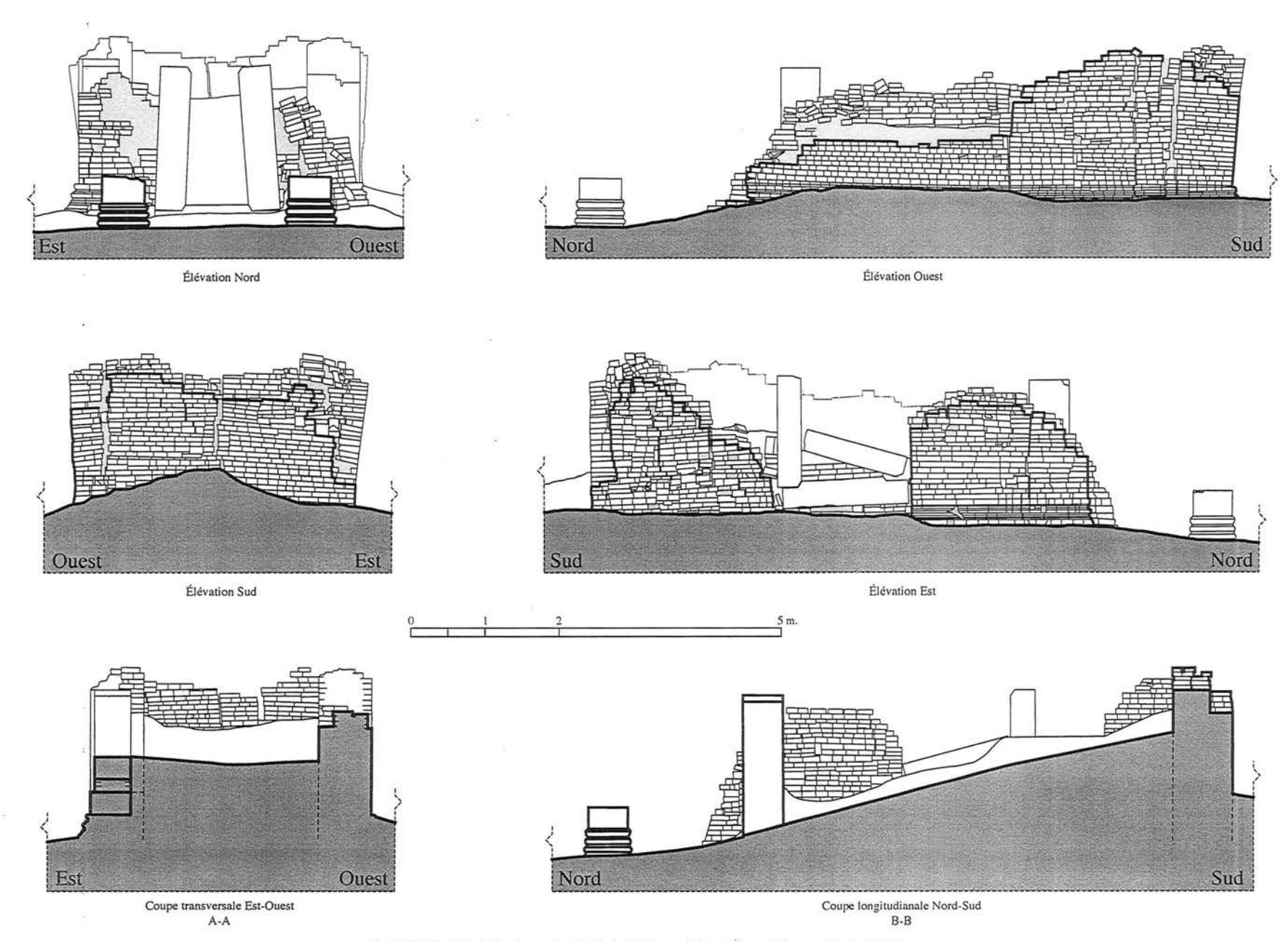
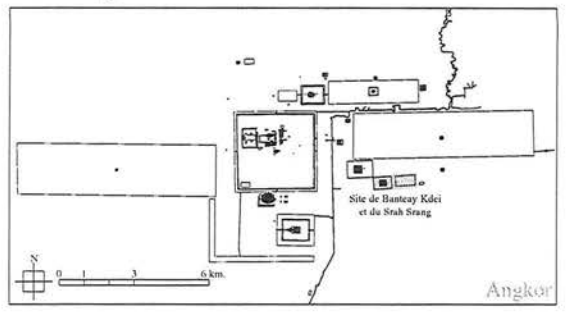


Fig. 1-2-3-1.6 : Relevés d'un des quatre-vingt-treize édifices en briques de la quatrième enceinte de Ta Prohm

Banteay Kdei & Srah Srang



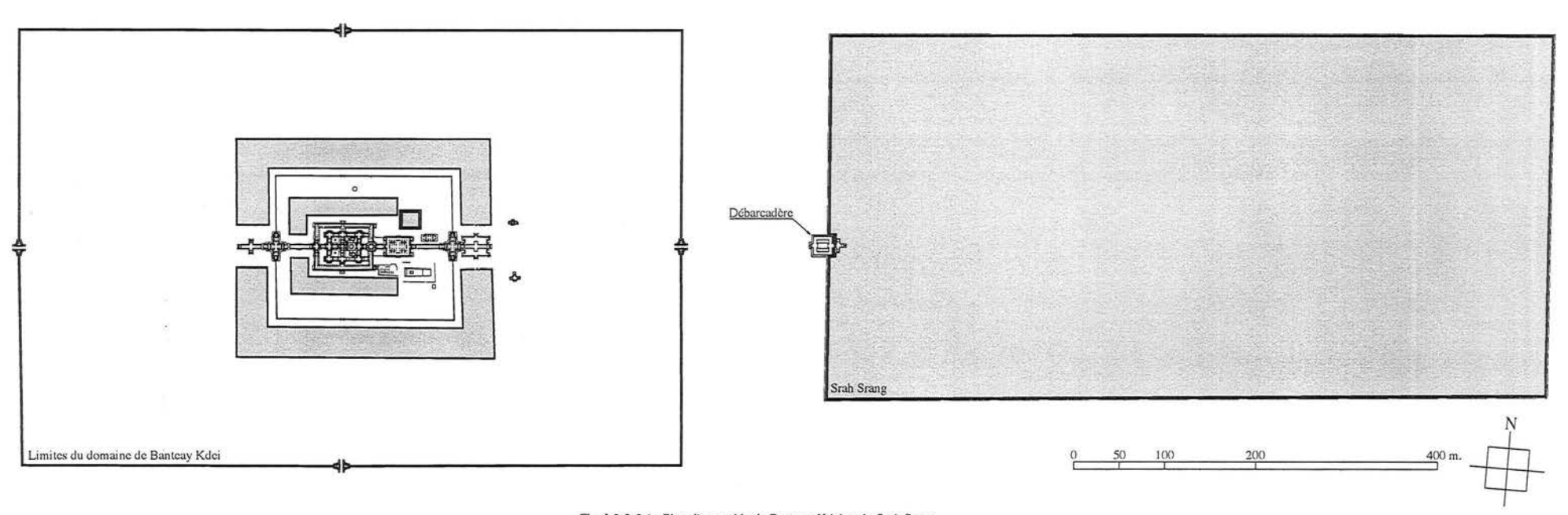


Fig. I-2-3-2.1: Plan d'ensemble de Banteay Kdei et du Srah Srang

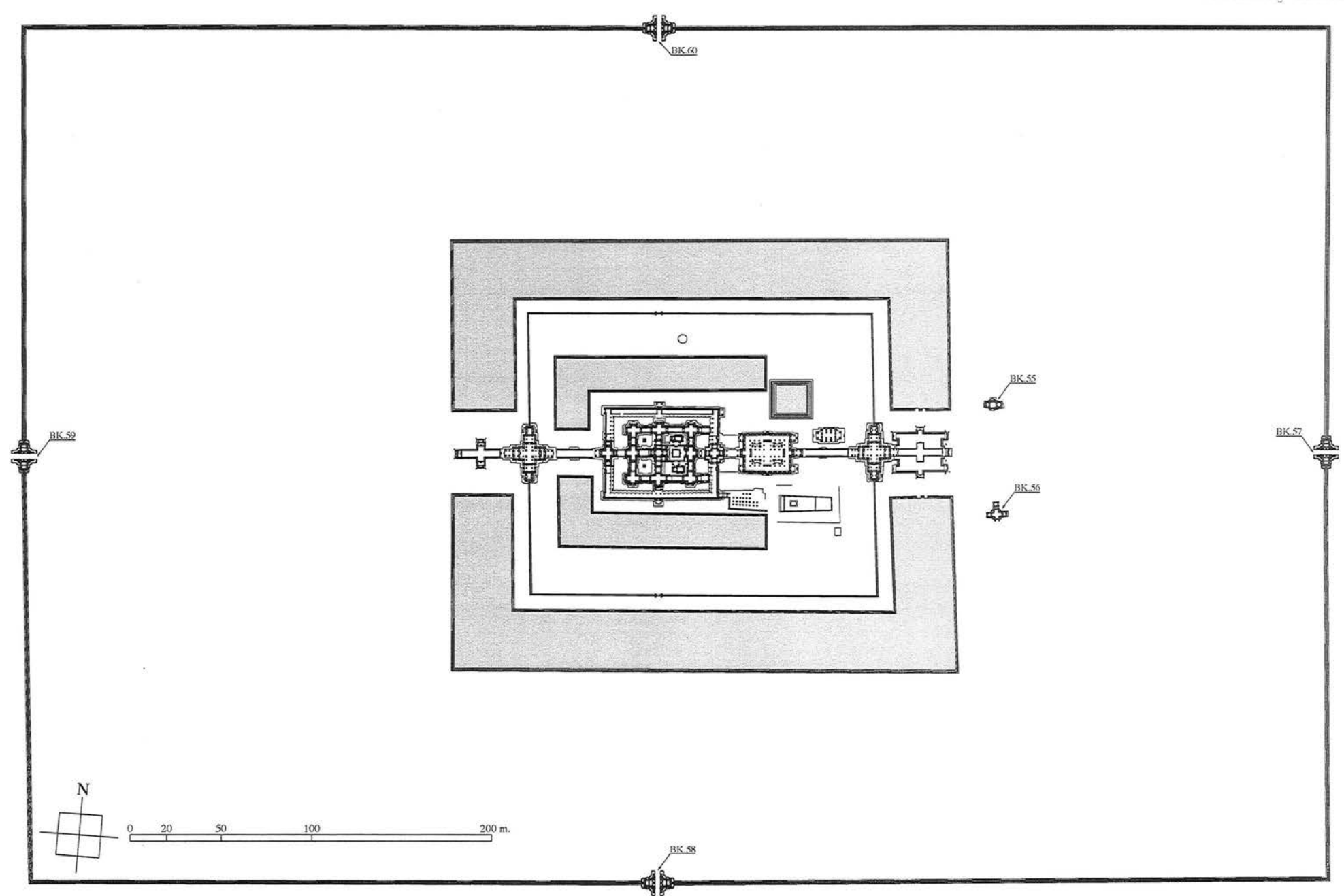


Fig. I-2-3-2.2 : Plan du domaine de Banteay Kdei — Quatrième enceinte —

Banteay Kdei

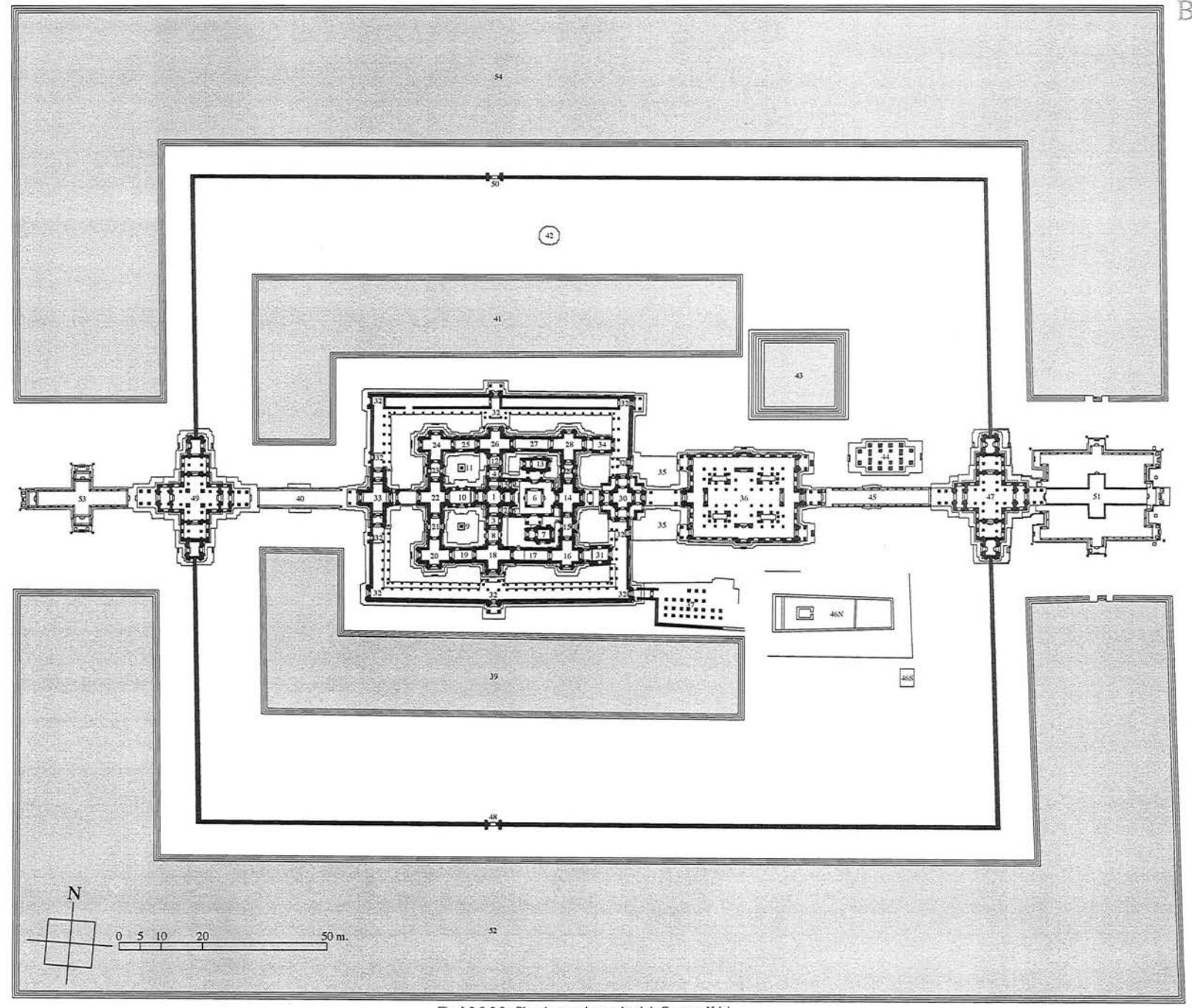


Fig. I-2-3-2.3 : Plan du complexe cultuel de Banteay Kdei
— Troisième enceinte —

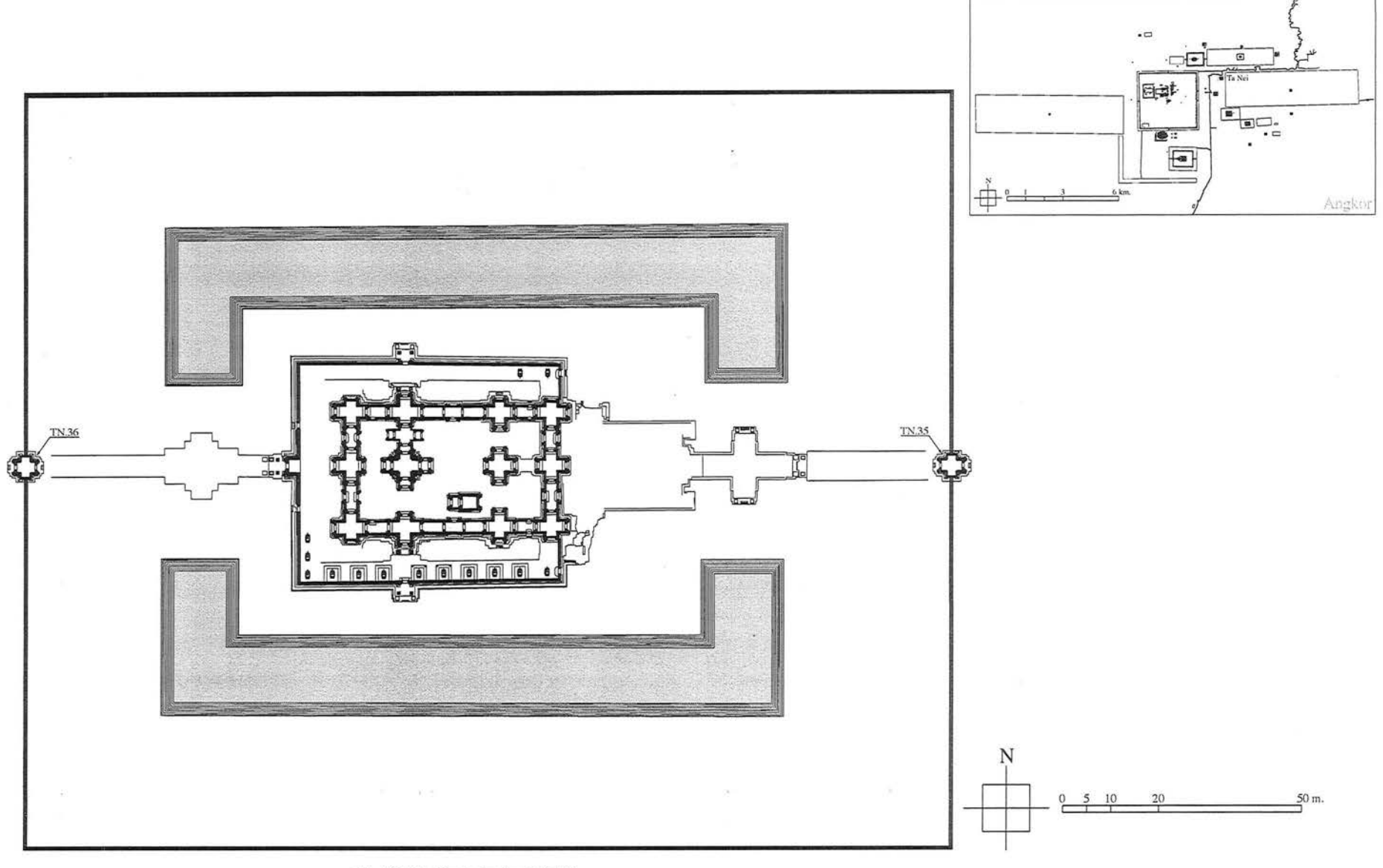


Fig. I-2-3-3.1 : Plan du domaine de Ta Nei

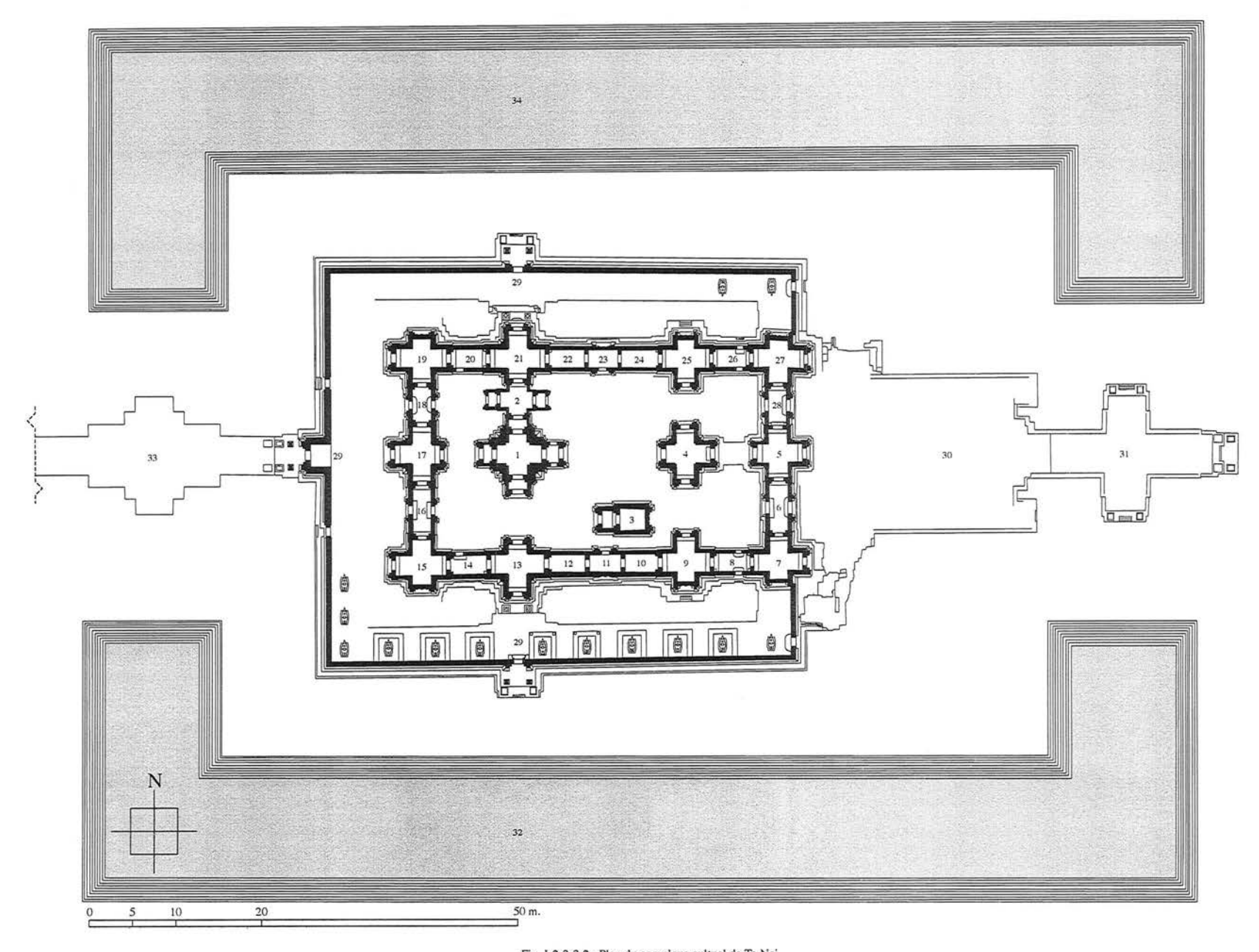
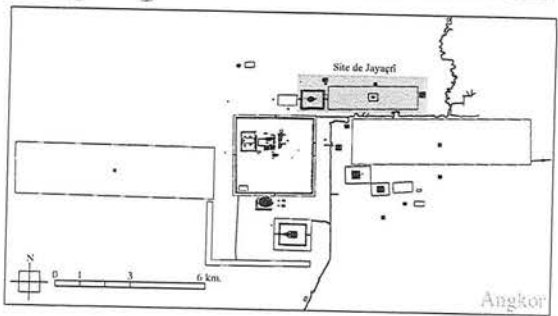
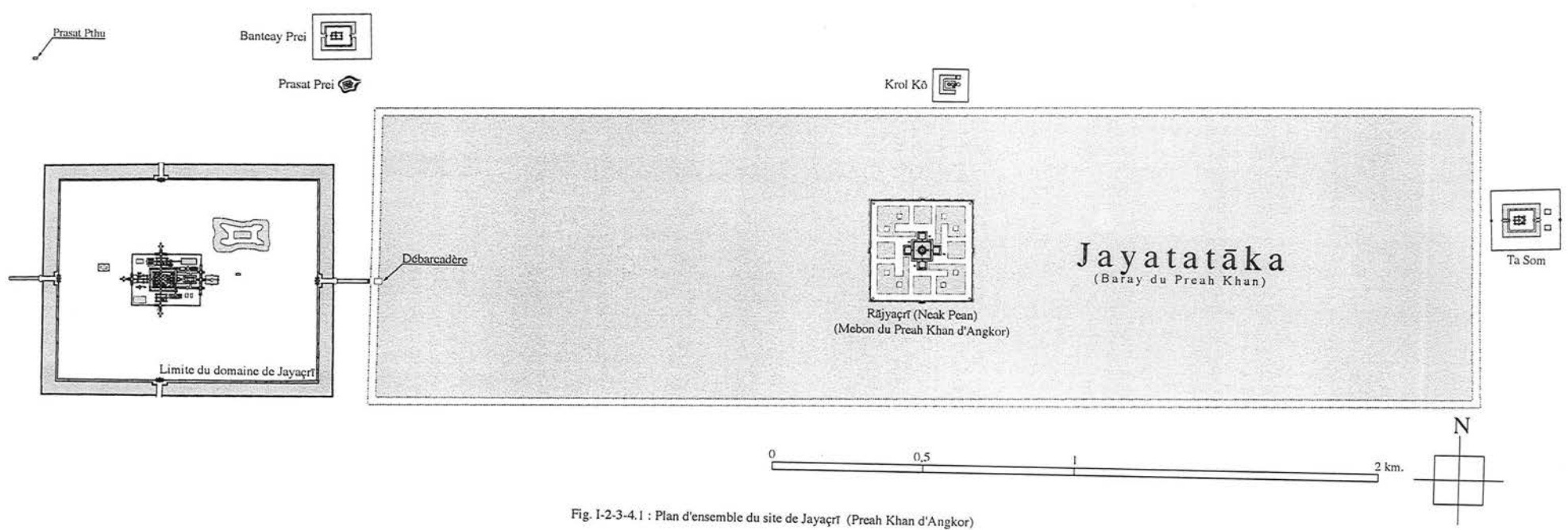


Fig. I-2-3-3.2 : Plan du complexe cultuel de Ta Nei

Jayaçrī / Preah Khan





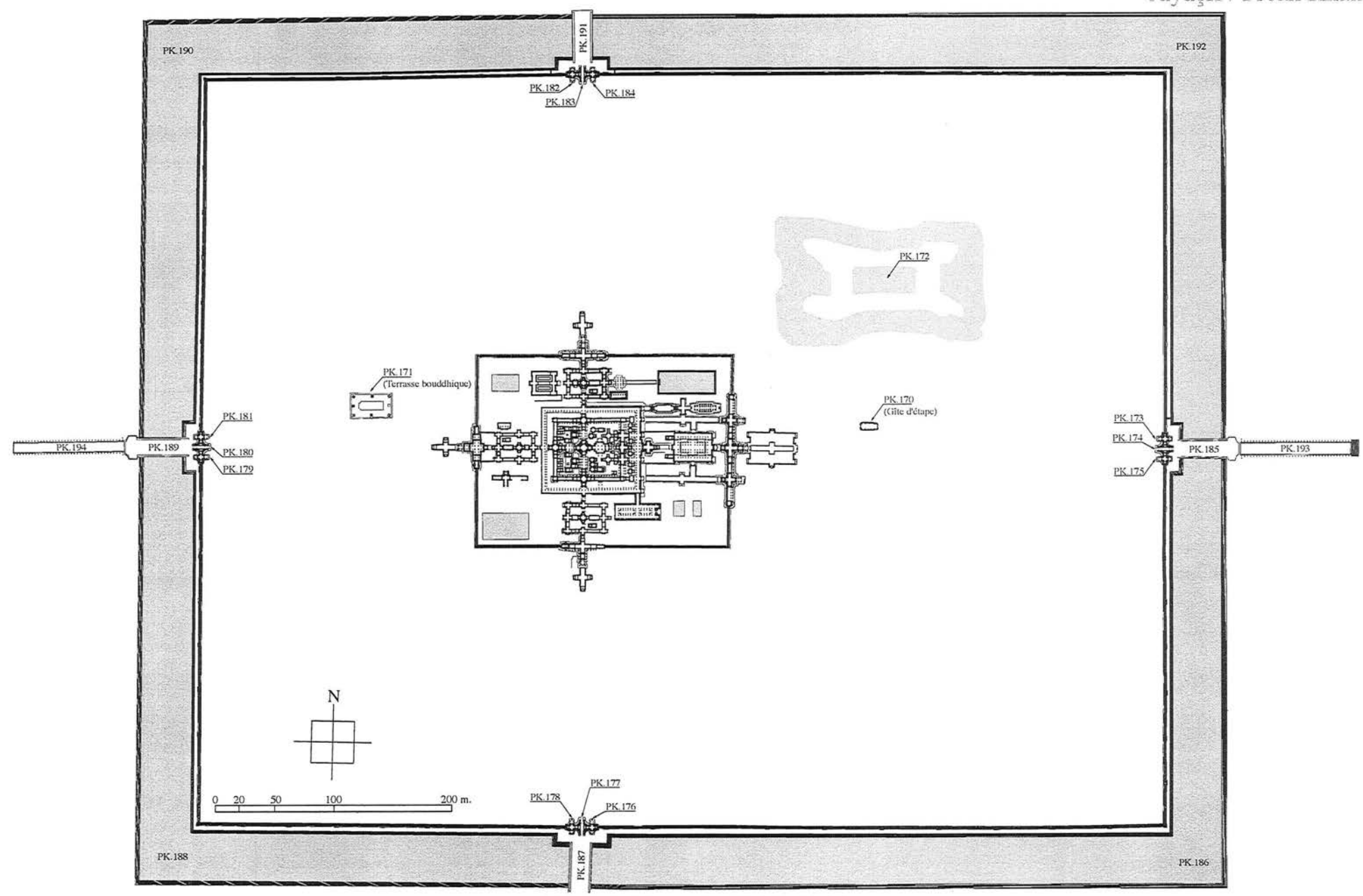


Fig. I-2-3-4.2: Plan du domaine de Jayaçrī (Preah Khan d'Angkor) — Quatrième enceinte —

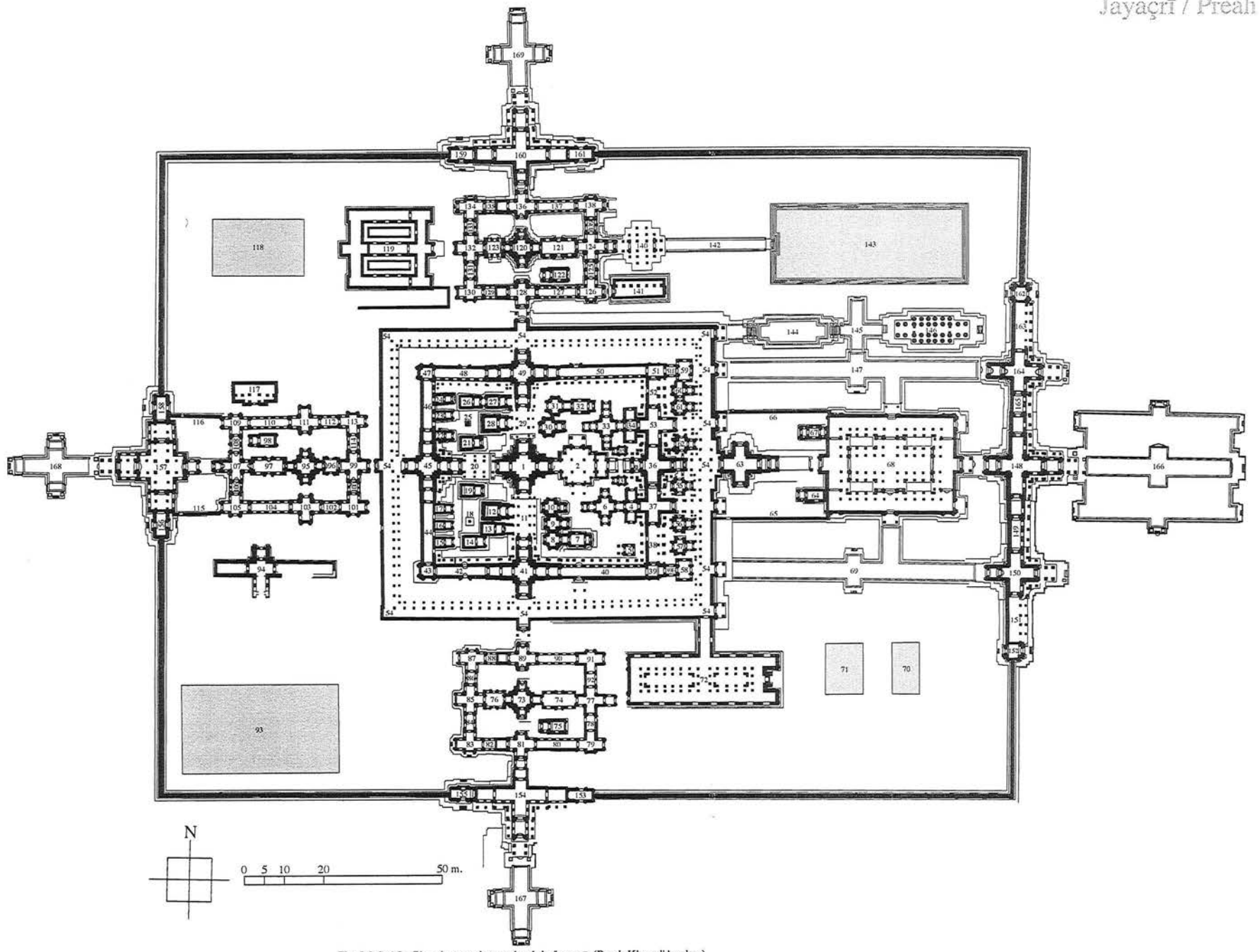


Fig. I-2-3-4.3 : Plan du complexe cultuel de Jayaçrī (Preah Khan d'Angkor) — troisième enceinte —

Rājyaçrī / Neak Pean 0 5 10 20 Fig. I-2-3-5.1 : Plan d'ensemble Rājyaçrī (Neak Pean)

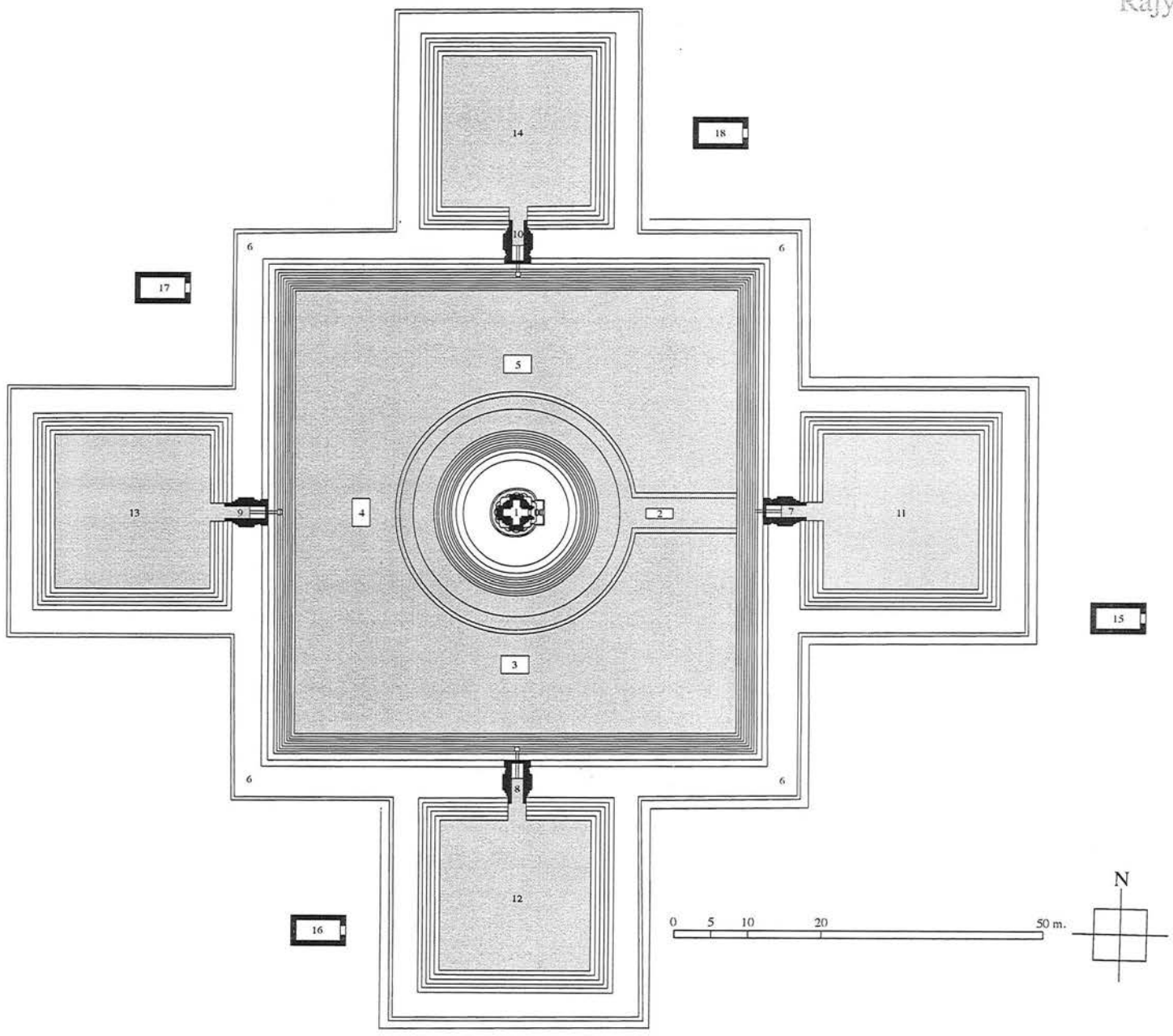


Fig. I-2-3-5.2 : Plan du complexe cultuel de Răjyaçrî (Neak Pean)

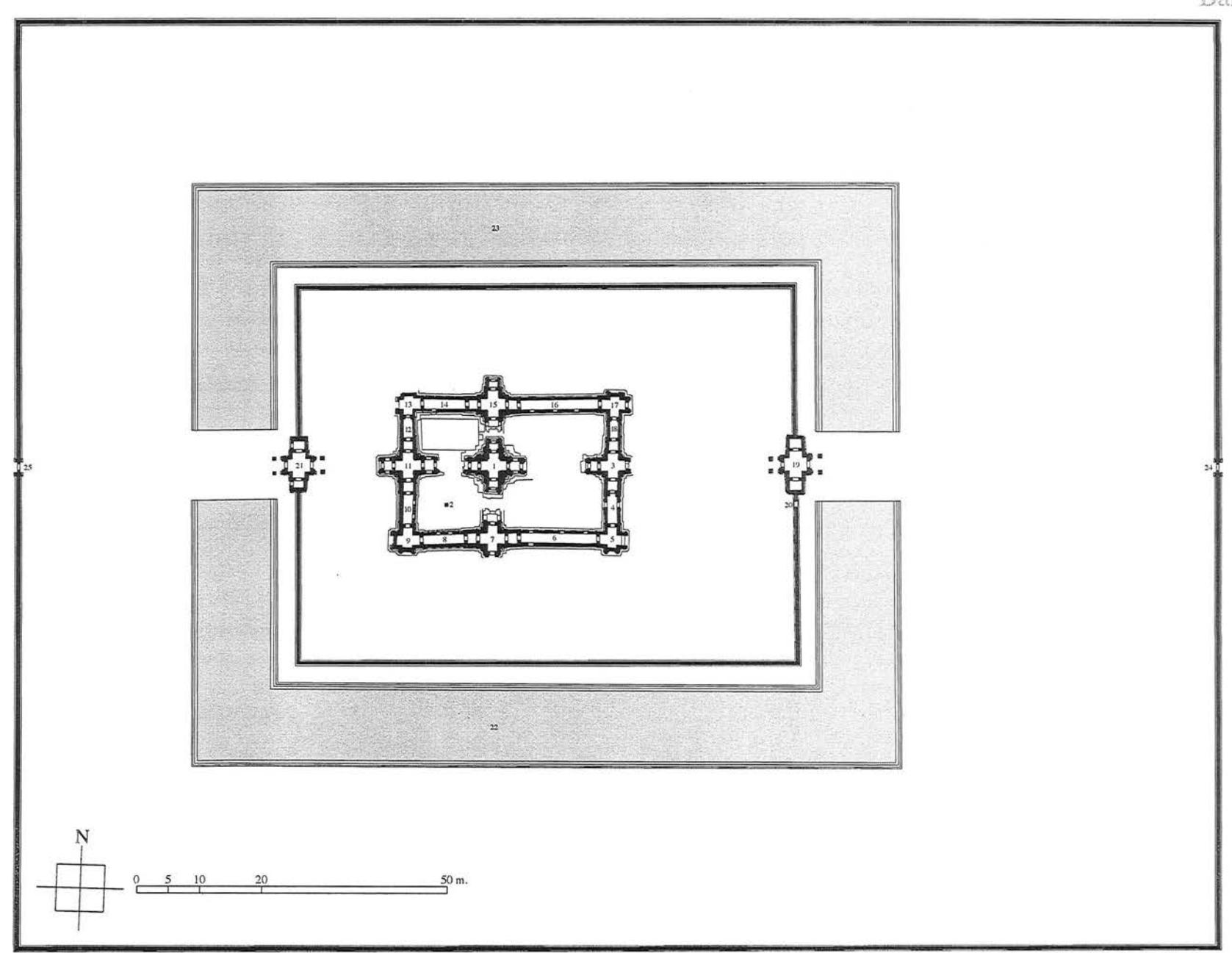
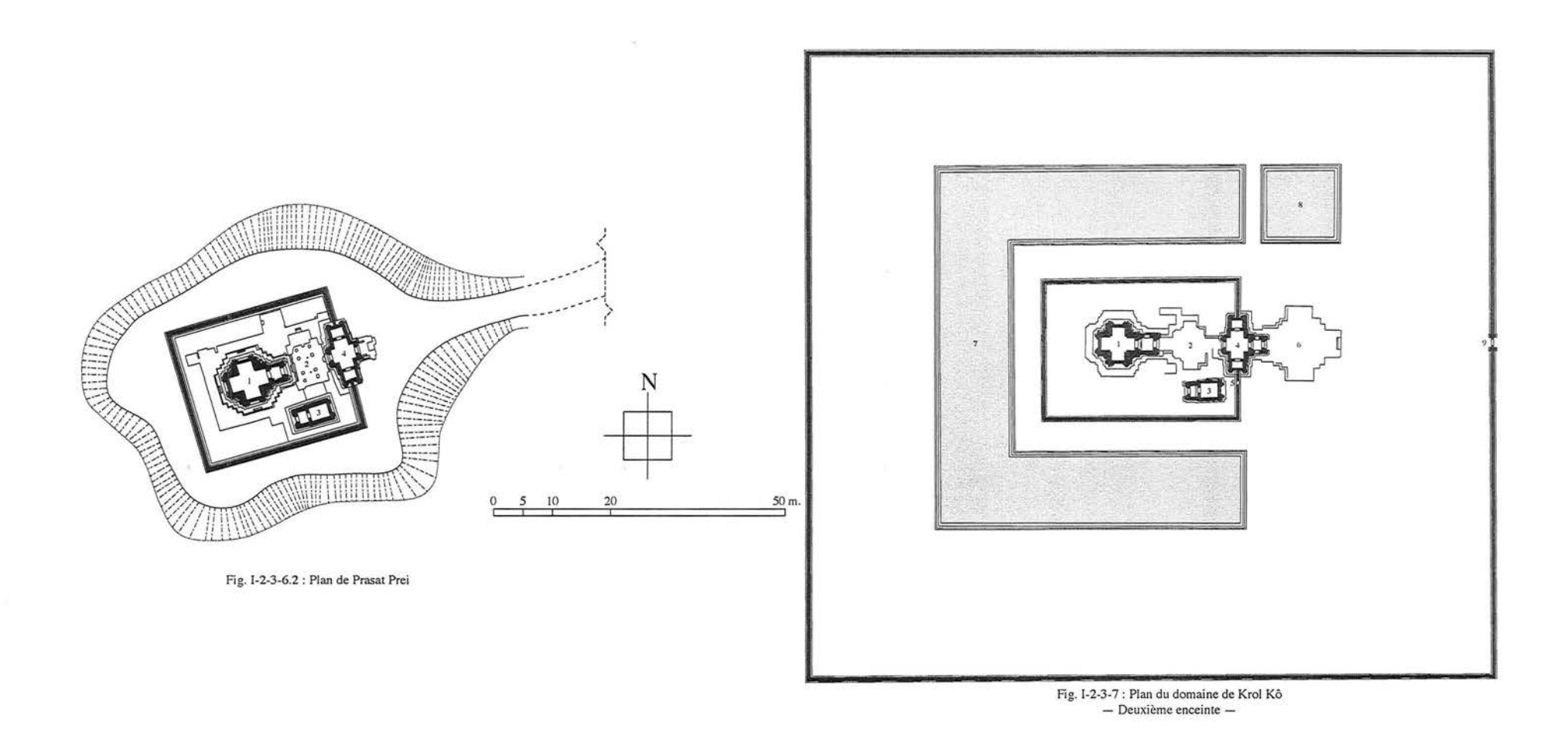


Fig. I-2-3-6.1 : Plan du domaine de Banteay Prei — Troisième enceinte —



p. 22

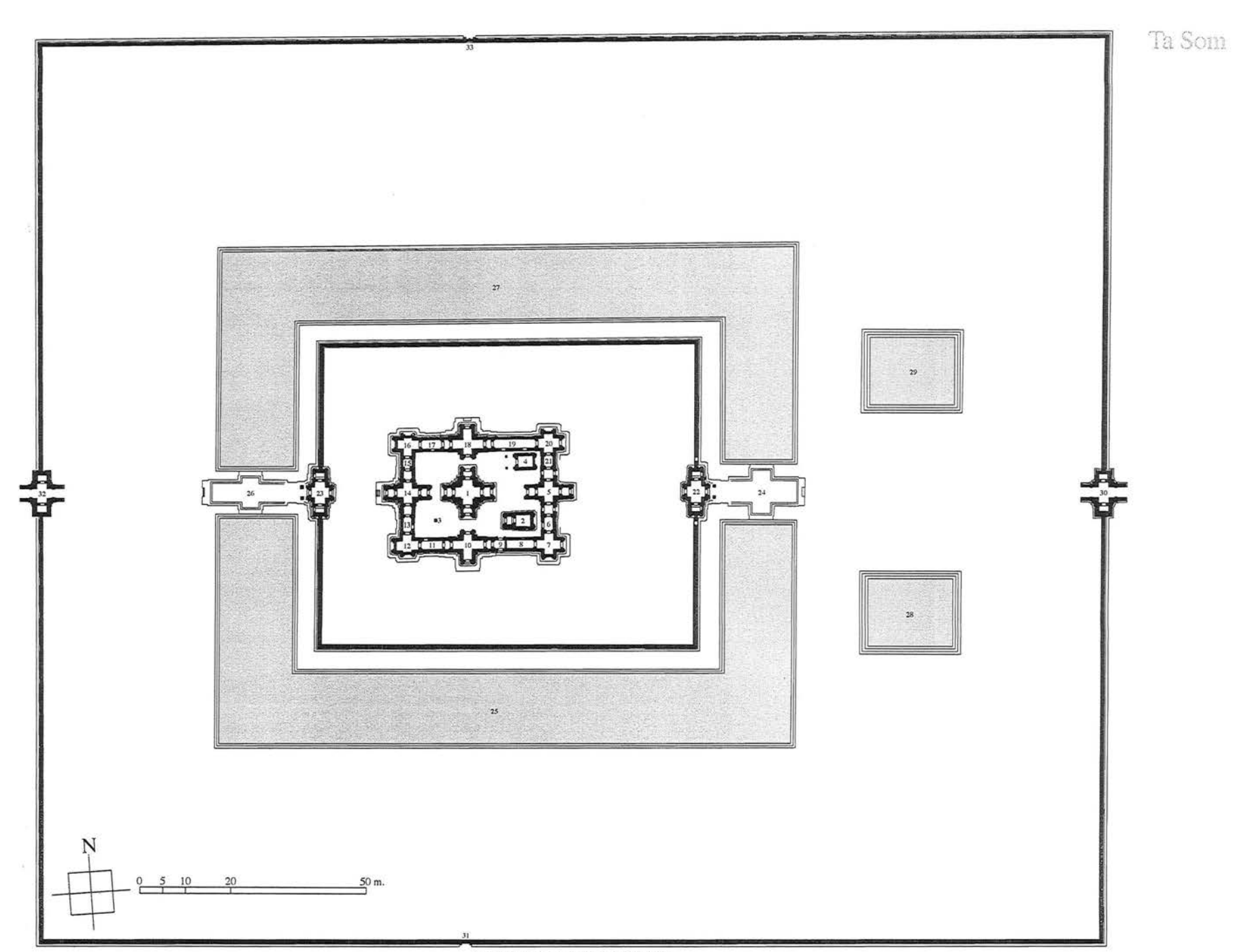
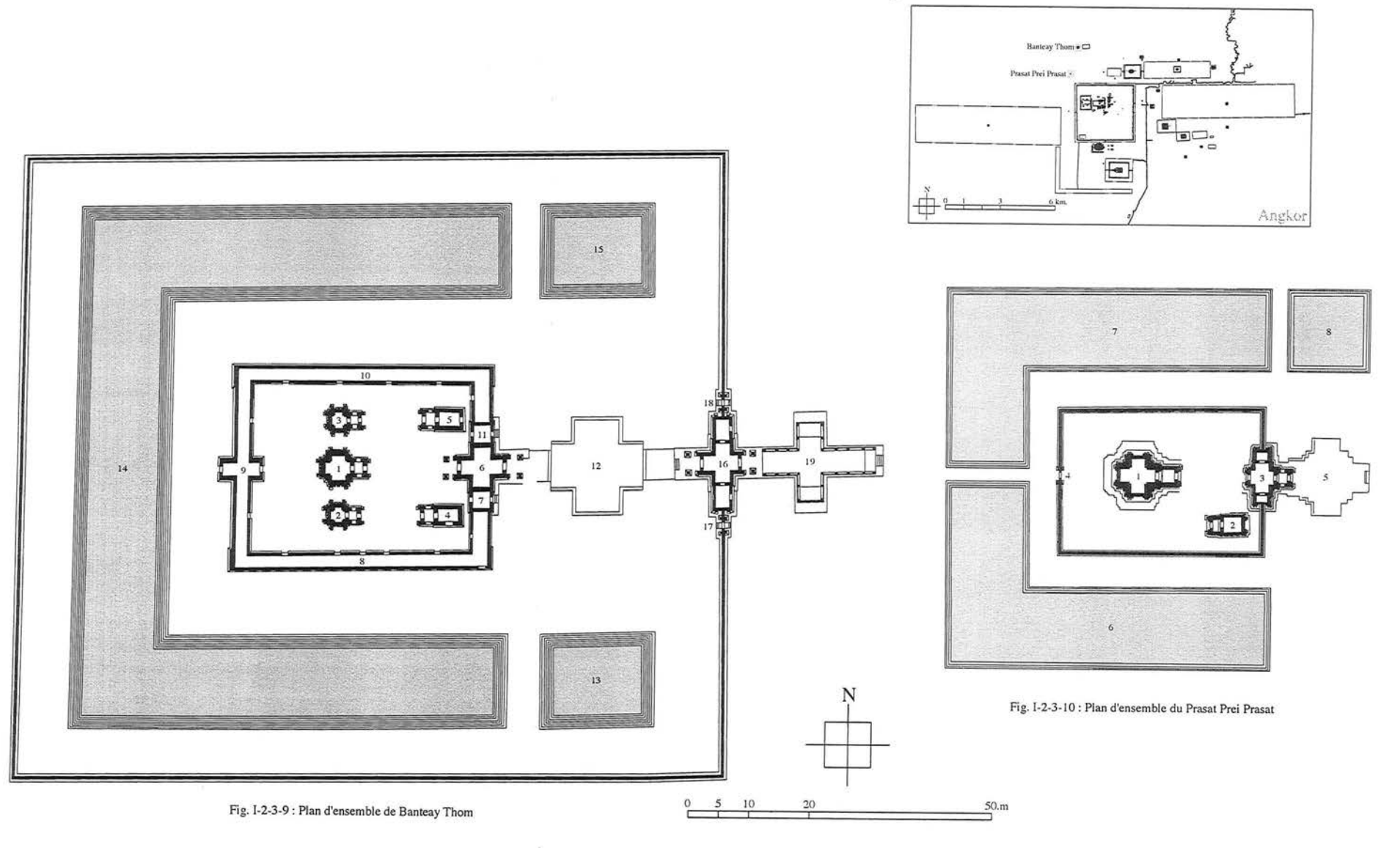


Fig. I-2-3-8 : Plan du domaine de Ta Som
— Troisième enceinte —

Banteay Thom & Prasat Prei Prasat



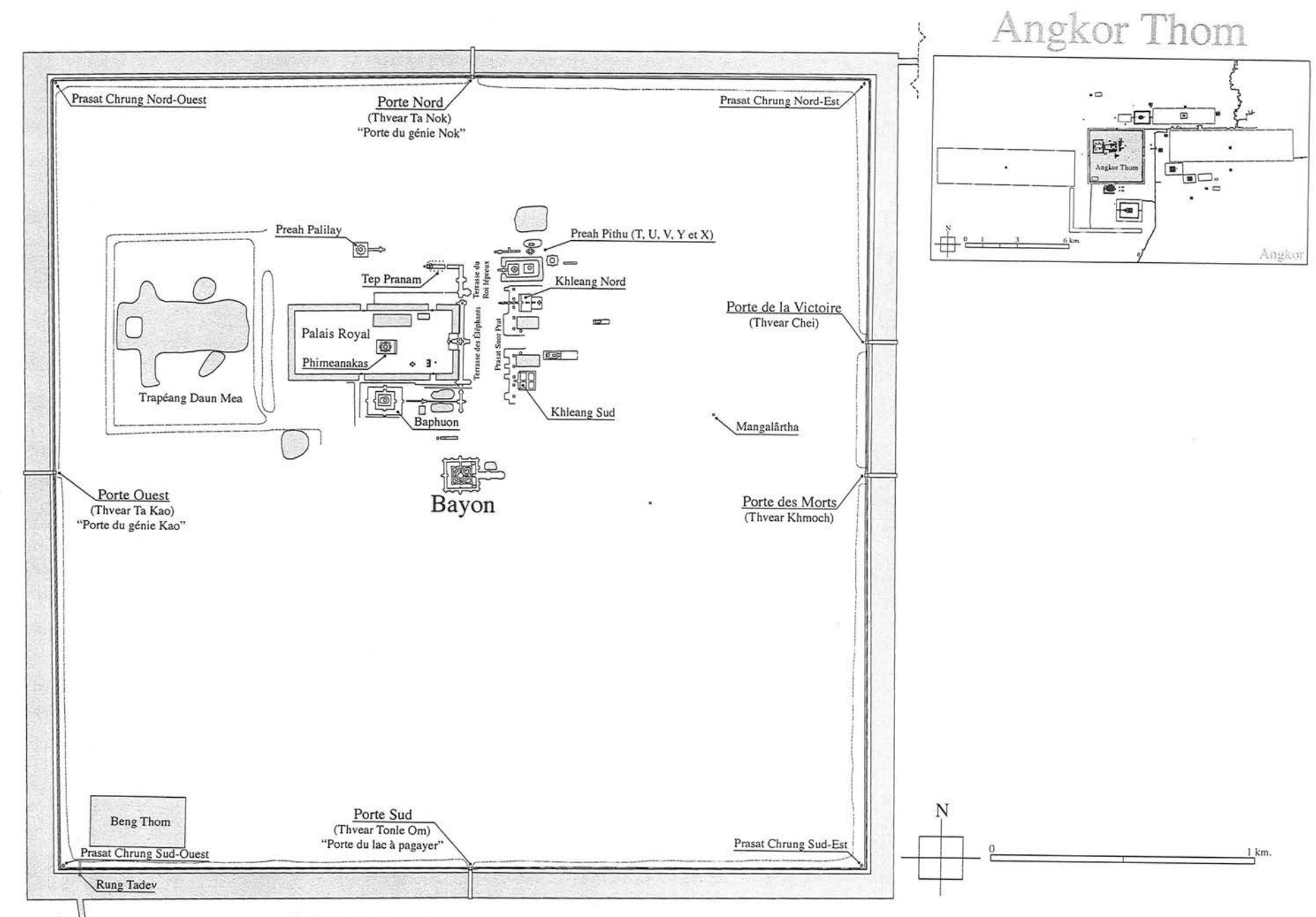


Fig. II-2-1.1: Plan des principales structures monumentales d'Angkor Thom

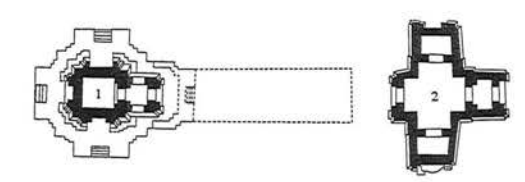


Fig. II-2-1.2 : Plan de la chapelle de l'hôpital Est d'Angkor Thom

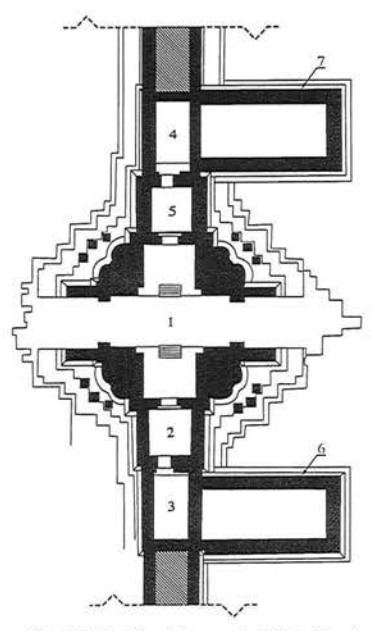
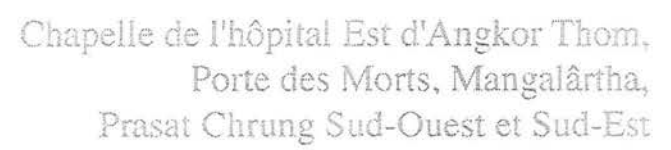


Fig. II-2-1.3 : Plan de la porte des Morts d'Angkor (Thear Khmoch)



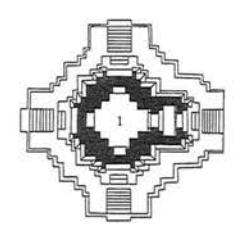


Fig. II-2-1.4 : Plan du Mangalârtha dans Angkor Thom (Monument n° 487 ou Prasat Top Est)

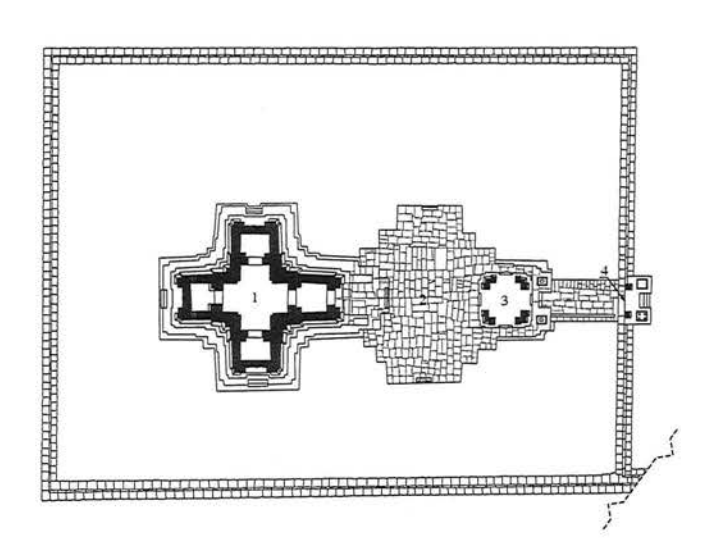


Fig. II-2-1.5: Plan du Prasat Chrung Sud-Ouest d'Angkor Thom

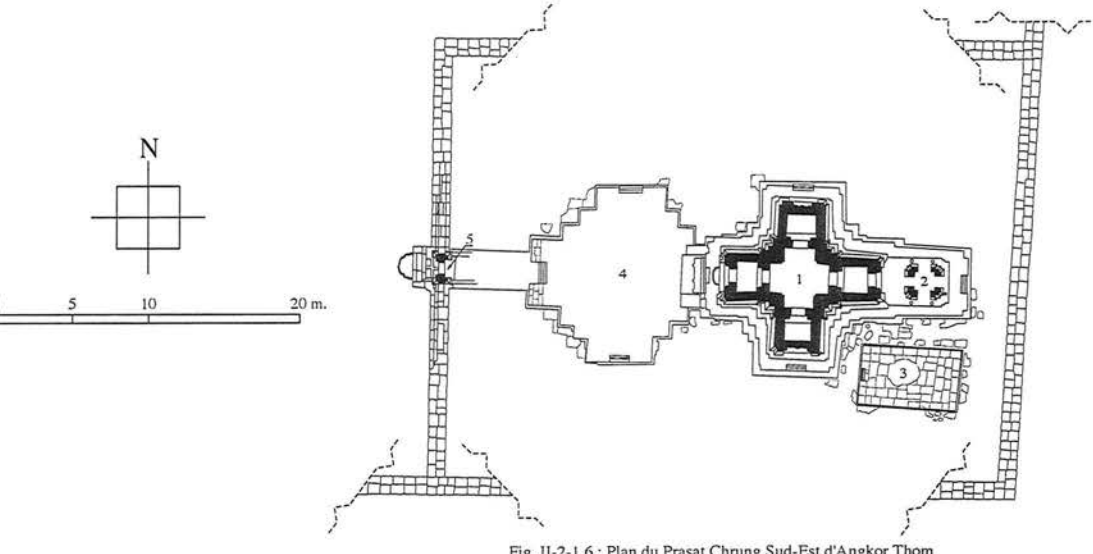


Fig. II-2-1.6: Plan du Prasat Chrung Sud-Est d'Angkor Thom

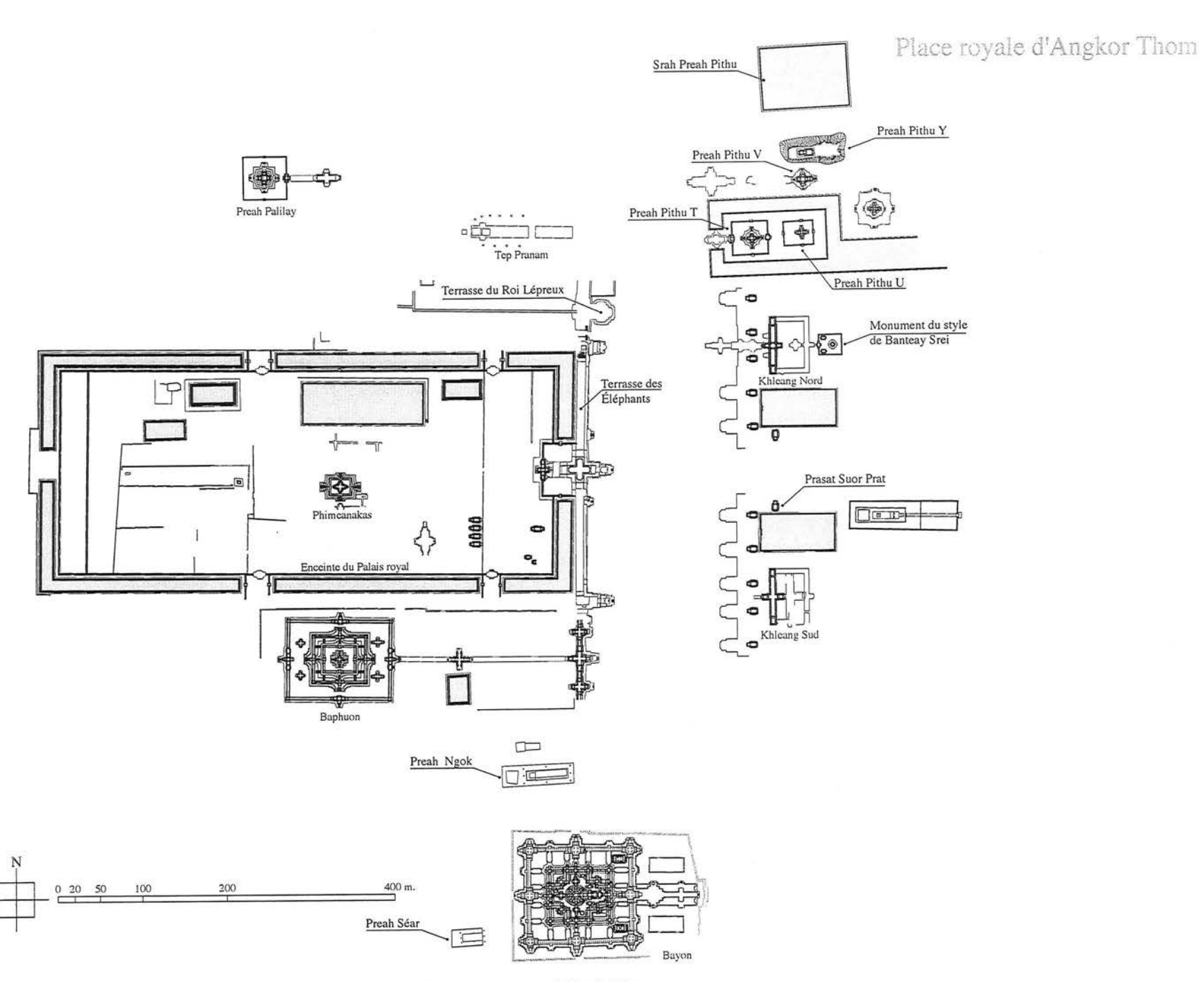


Fig. II-2-1.7: Plan de la place royale d'Angkor Thom

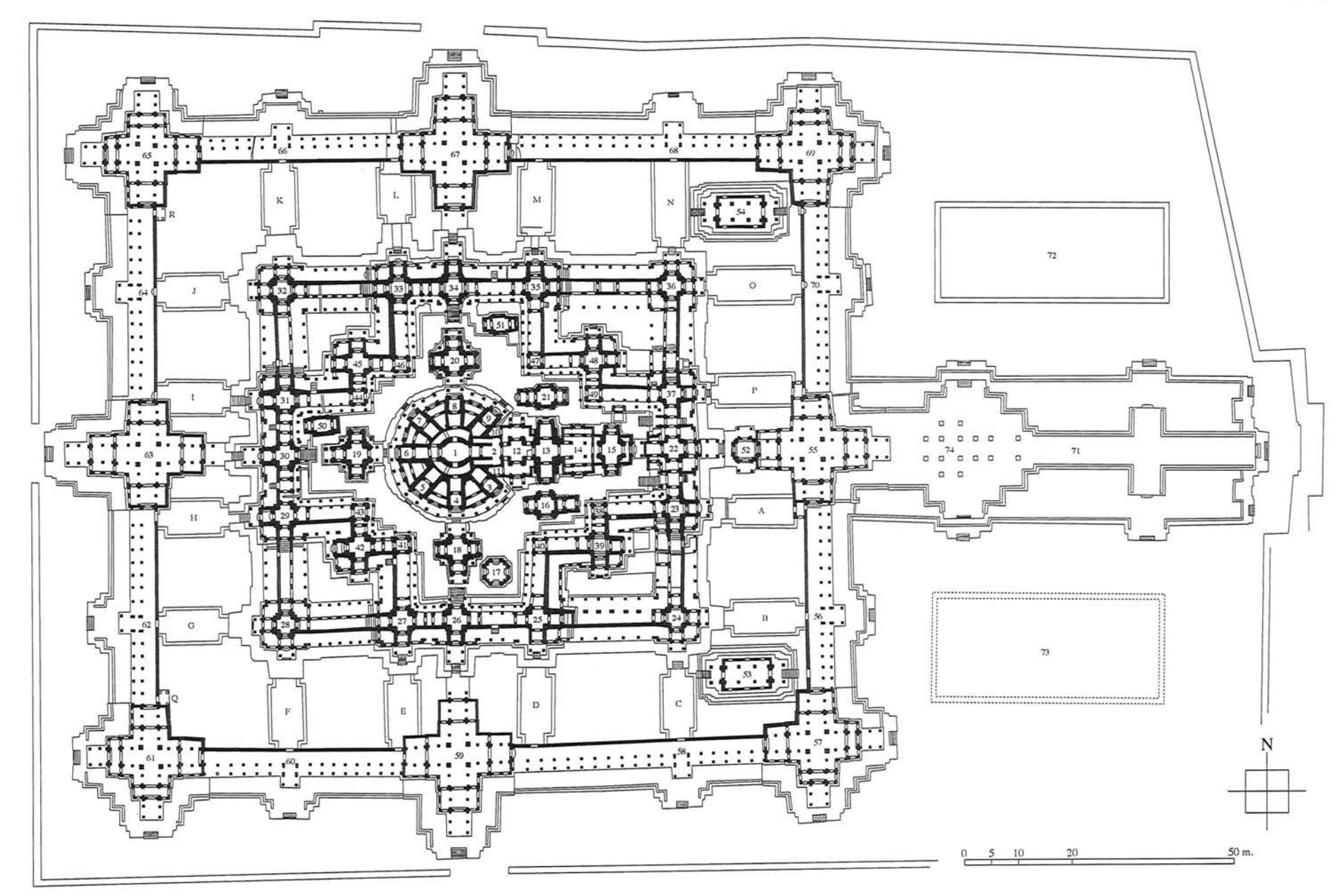


Fig. II-2-2.1 : Plan d'ensemble du Bayon

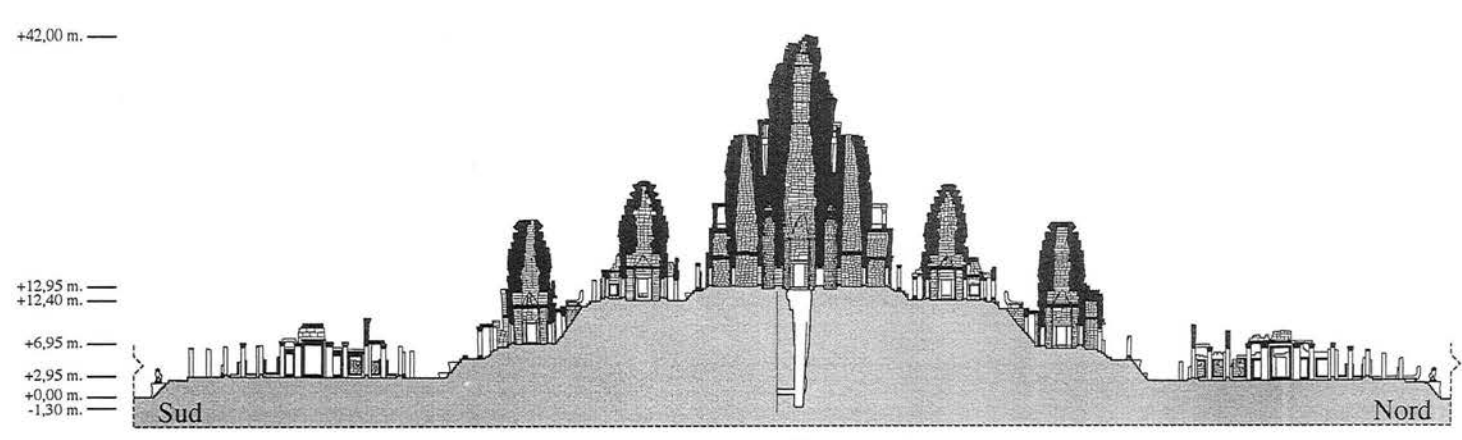
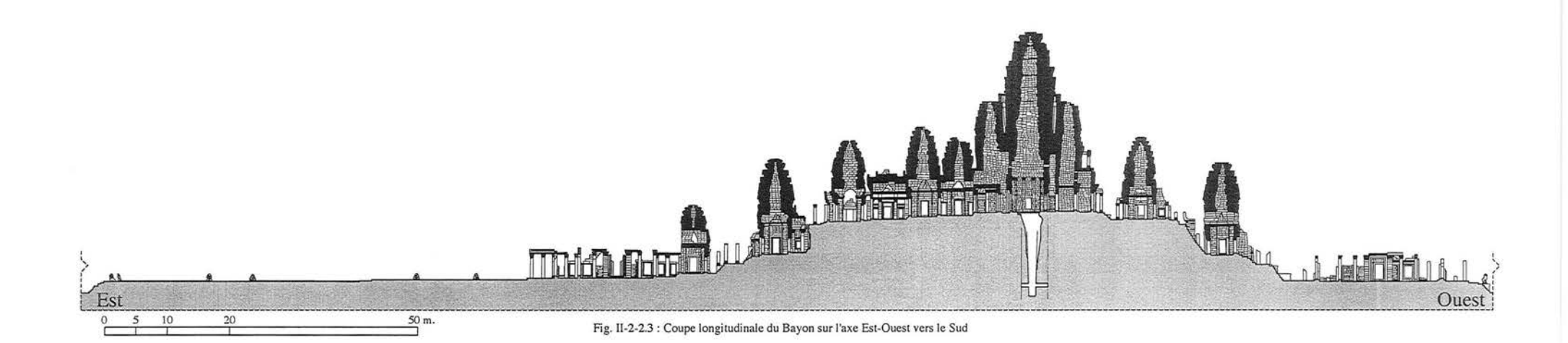


Fig. II-2-2.2: Coupe transversale du Bayon sur l'axe Nord-Sud vers l'Ouest



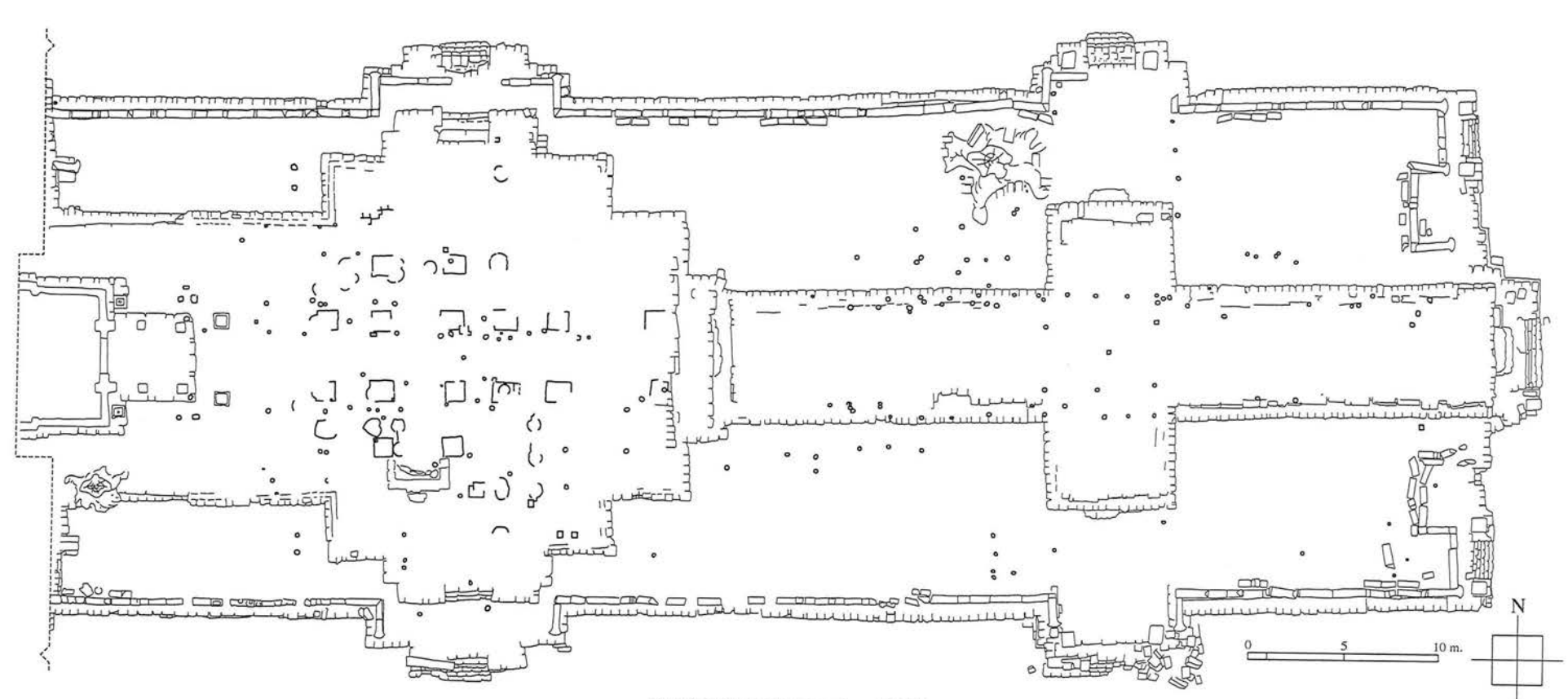


Fig. II-2-6.1 : Relevé de la chaussée-parvis BY.71

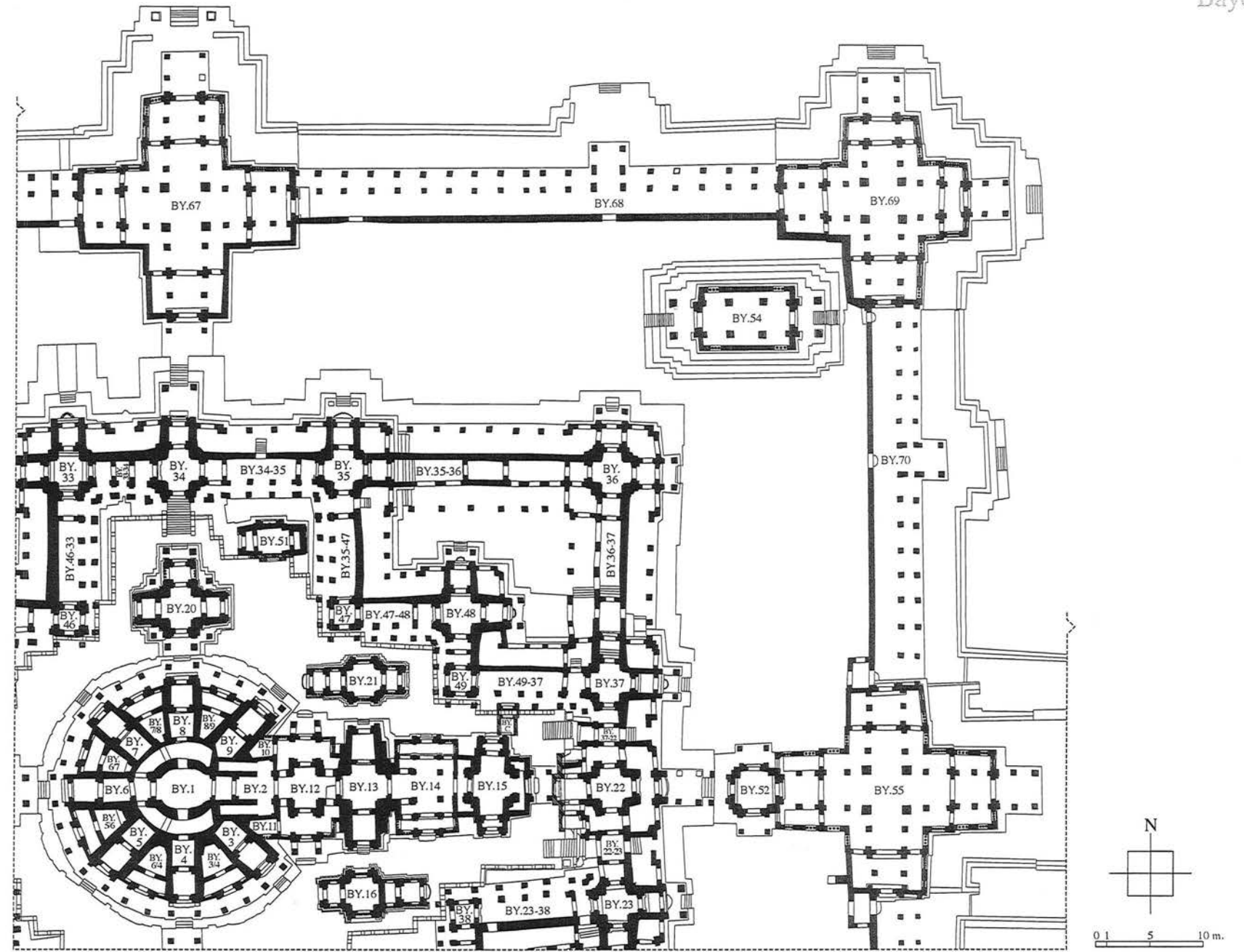


Fig. II-2-6.2 : Plan du quart Nord-Est du Bayon

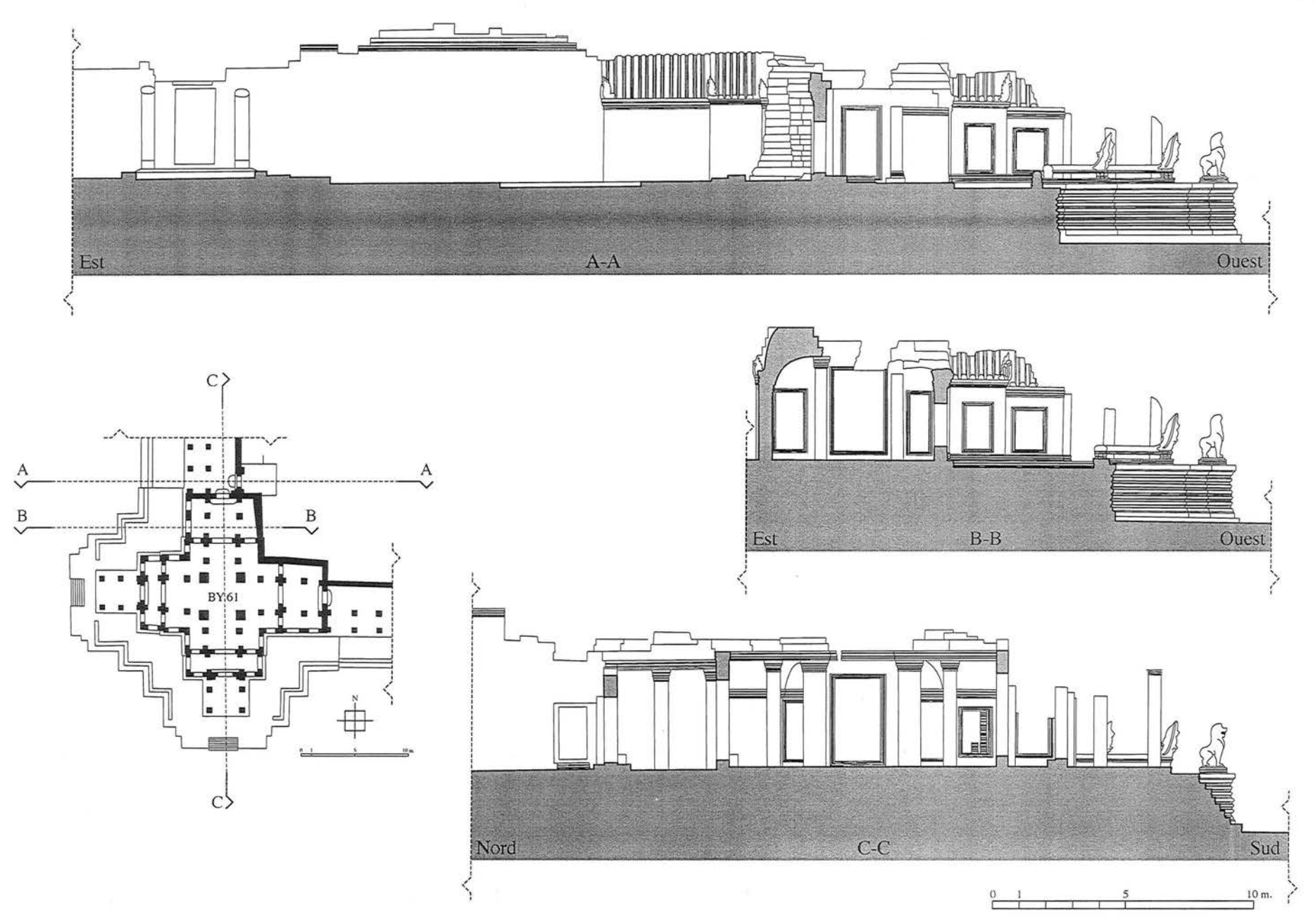


Fig. II-2-6.3 : Coupes sur les vestiges du pavillon d'angle BY.61

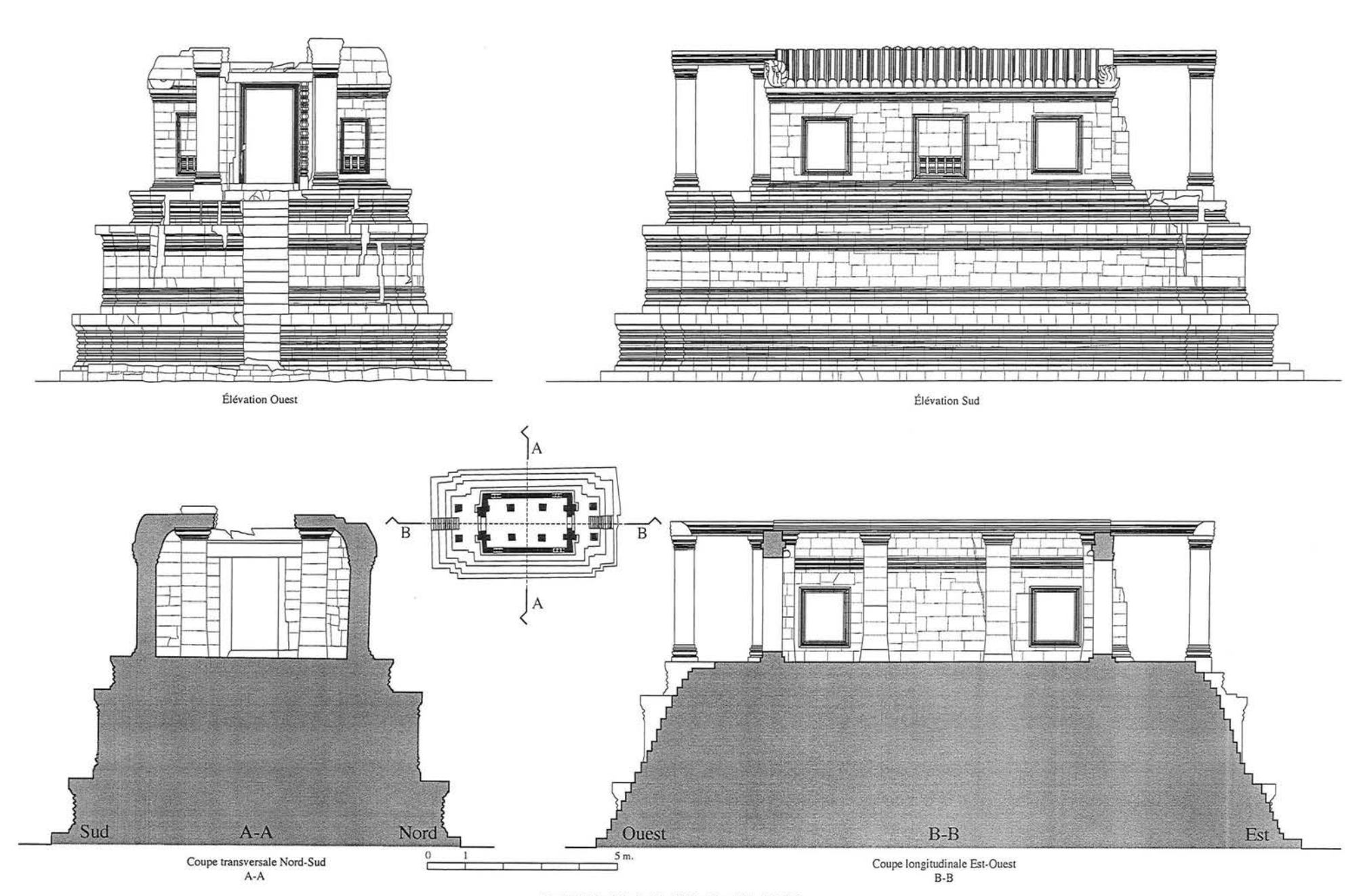


Fig. II-2-6.4 : Relevés de la "bibliothèque" Nord BY.54

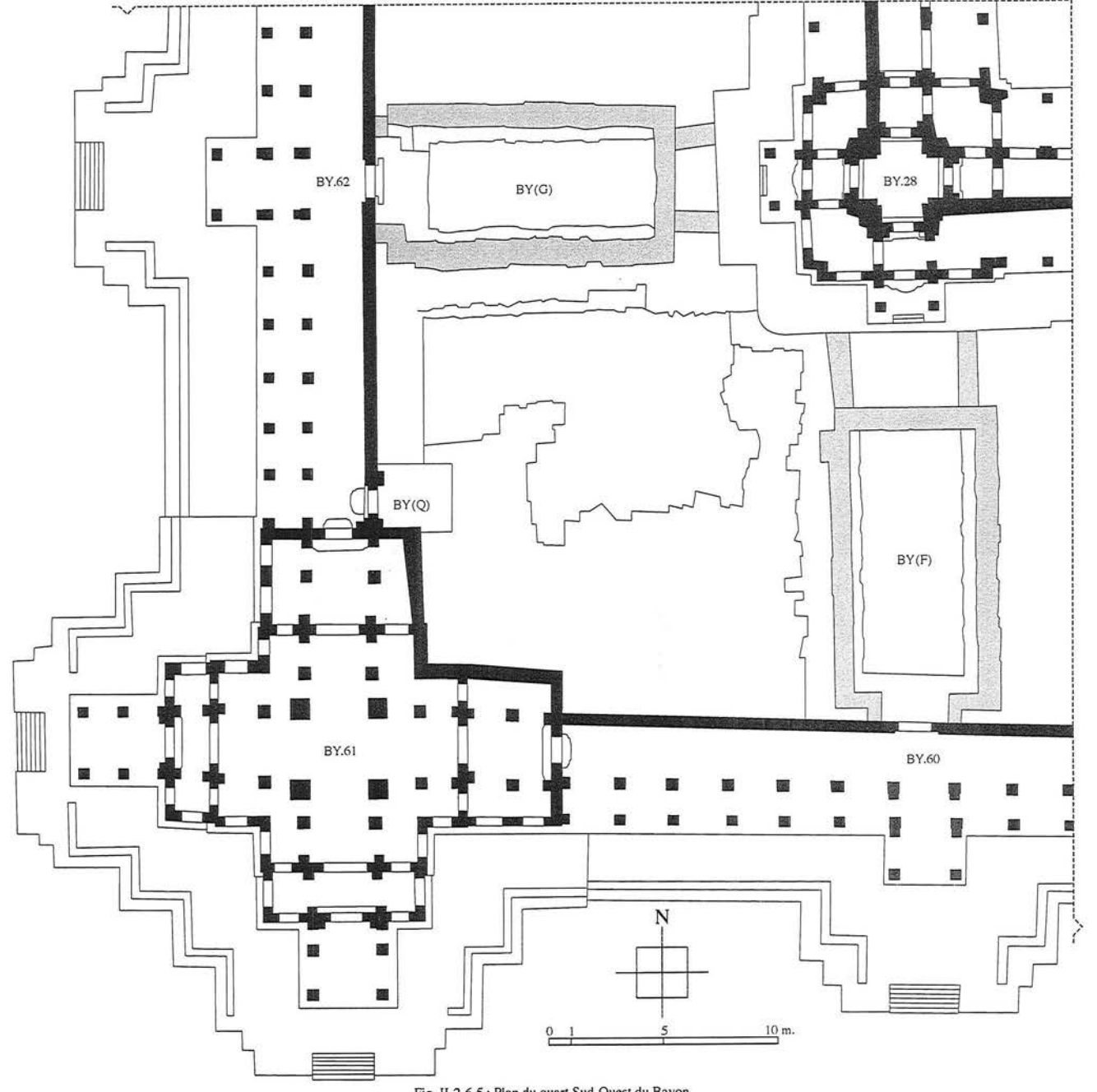


Fig. II-2-6.5: Plan du quart Sud-Ouest du Bayon

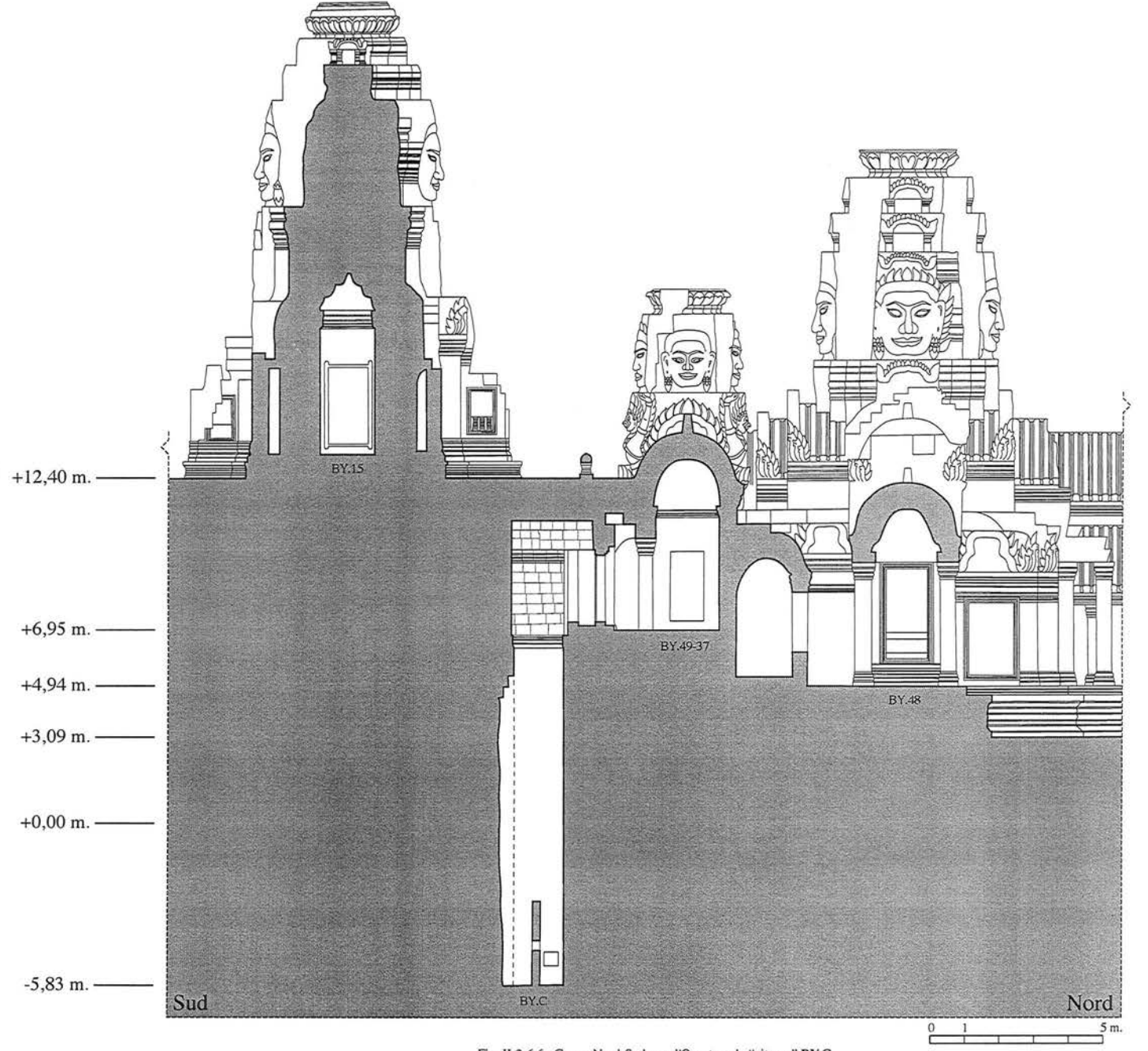


Fig. II-2-6.6 : Coupe Nord-Sud vers l'Ouest sur la "citerne" BY.C

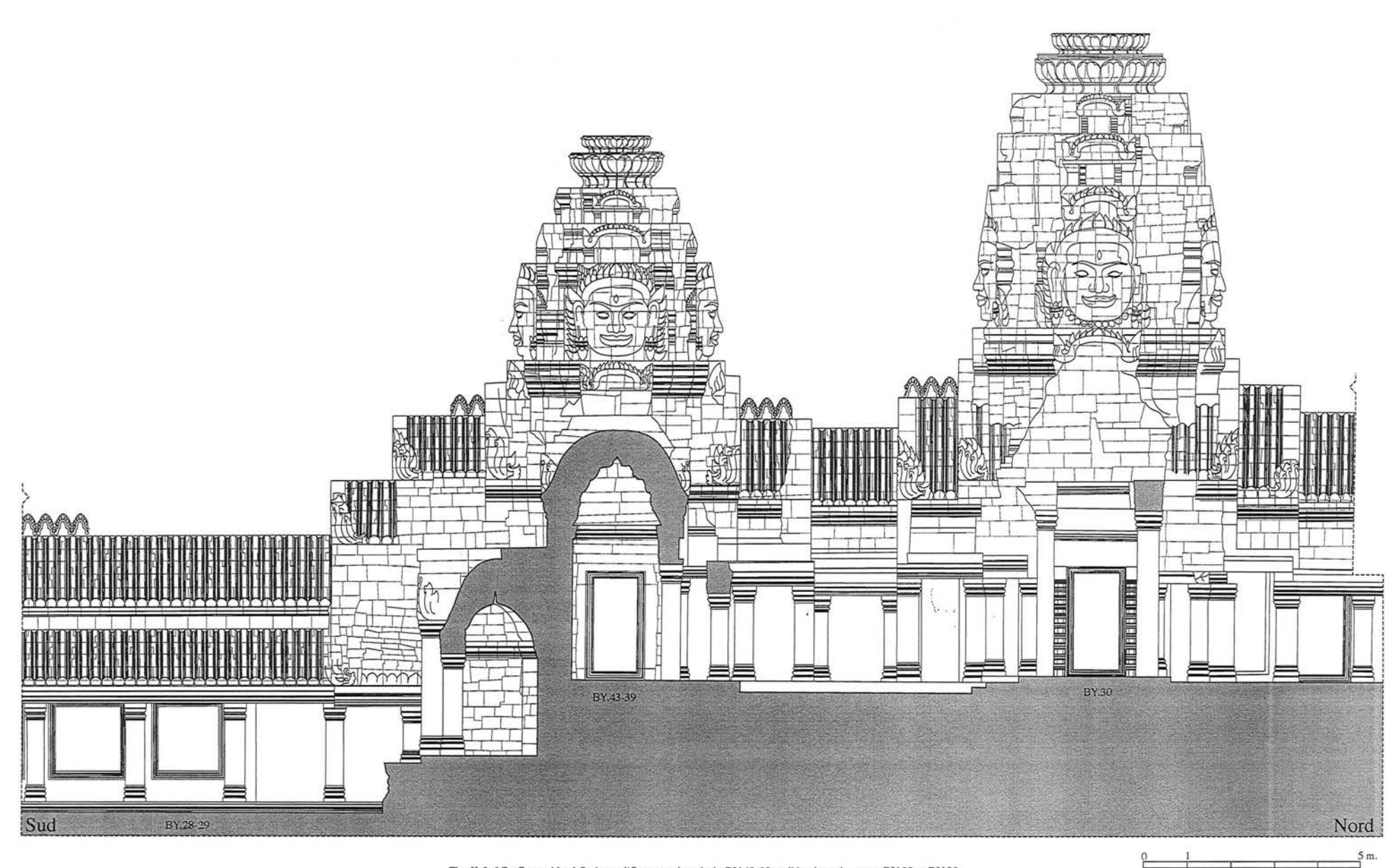
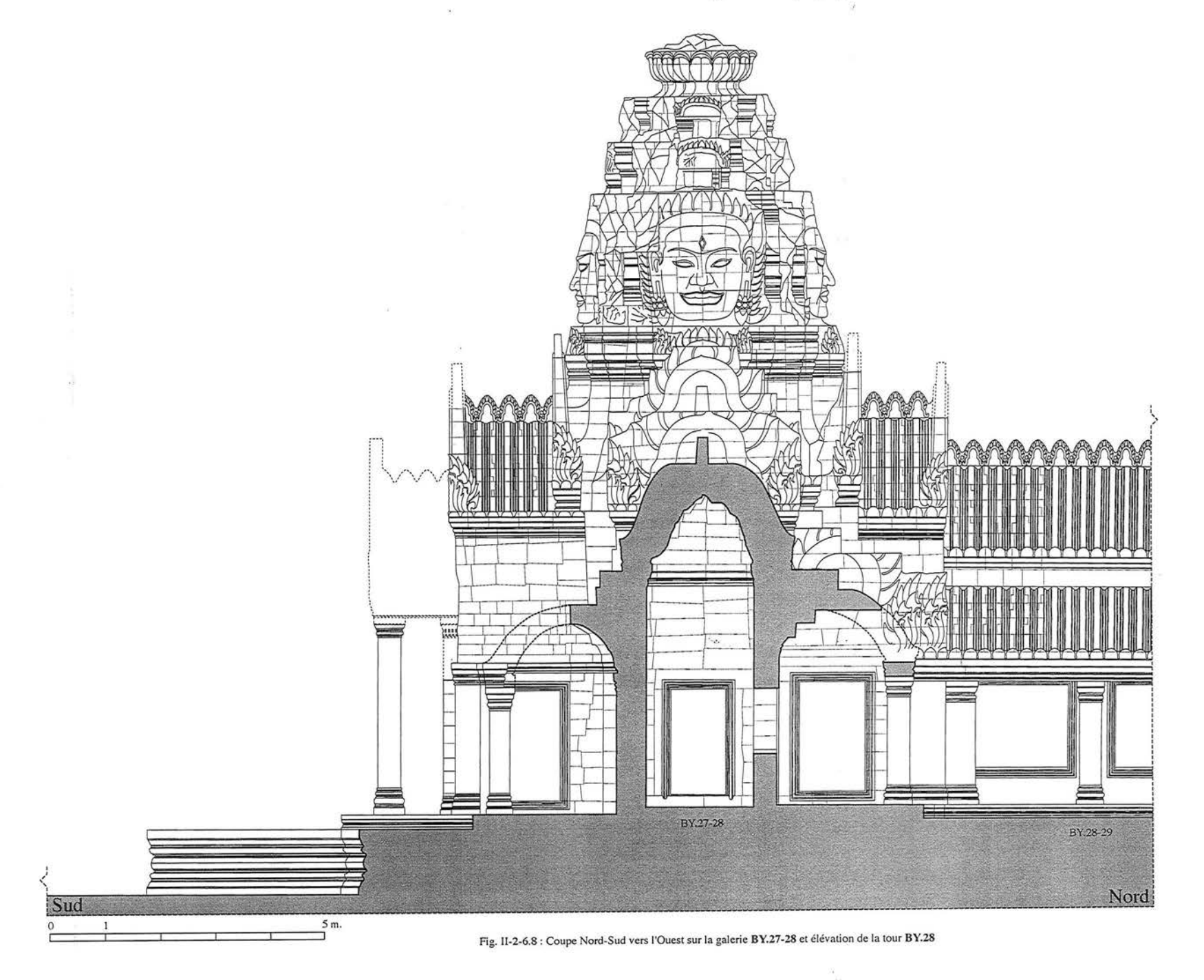
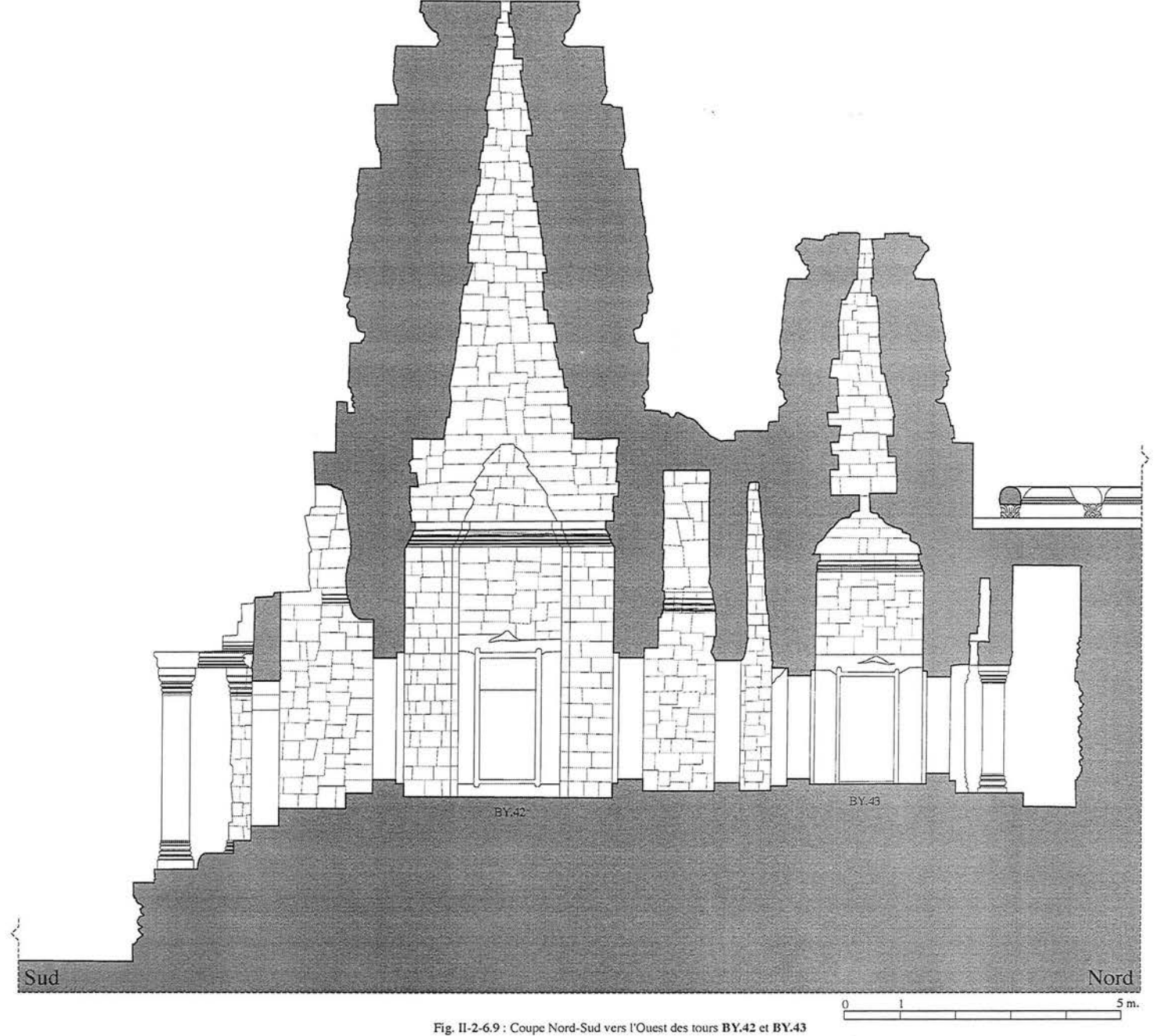


Fig. II-2-6.7 : Coupe Nord-Sud vers l'Ouest sur la galerie BY.43-29 et élévations des tours BY.29 et BY.30



p. 37



in 2-0.7 . Coope froid-old vers to desir des touts D 11-12 et D 11-10

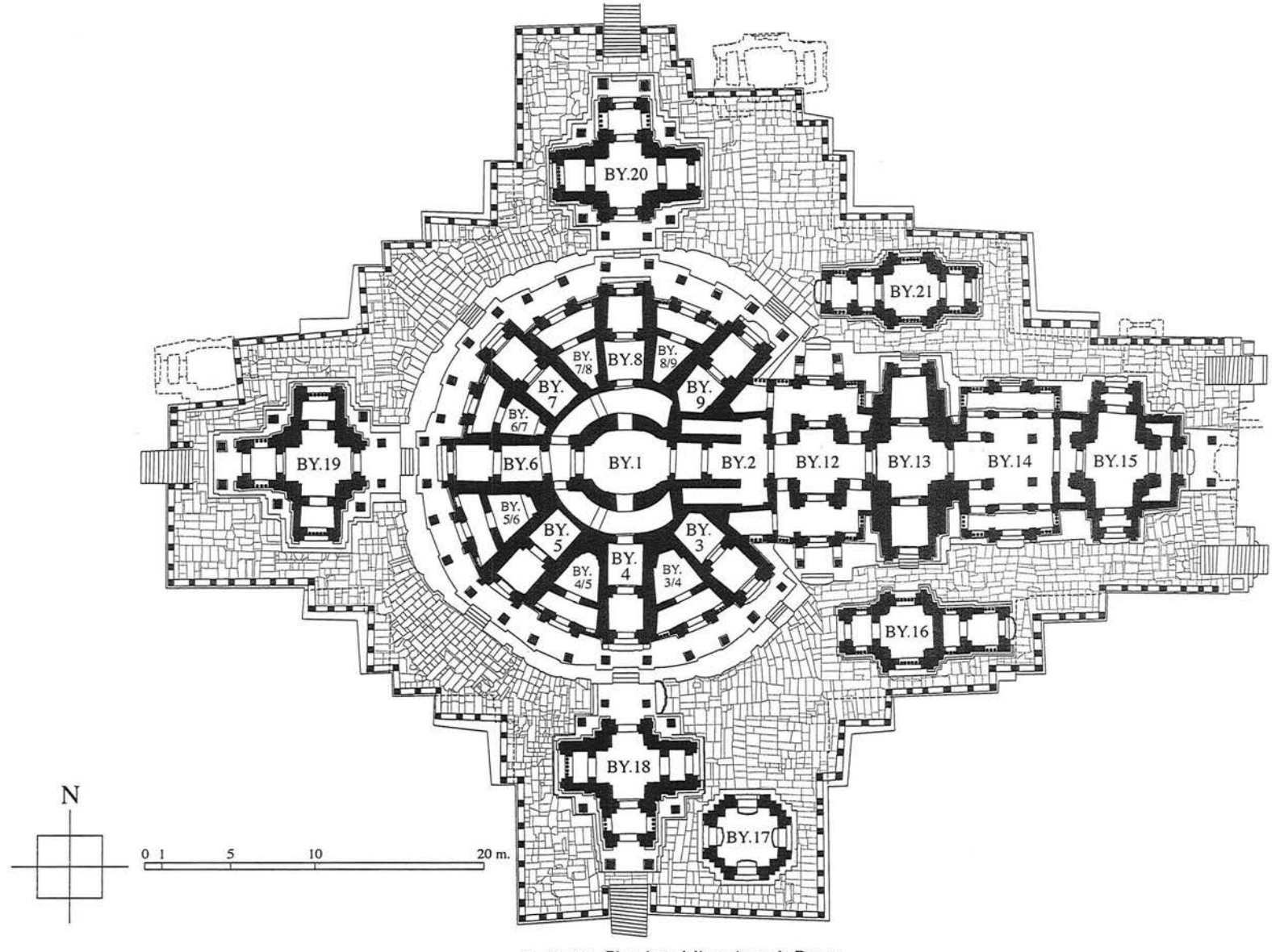
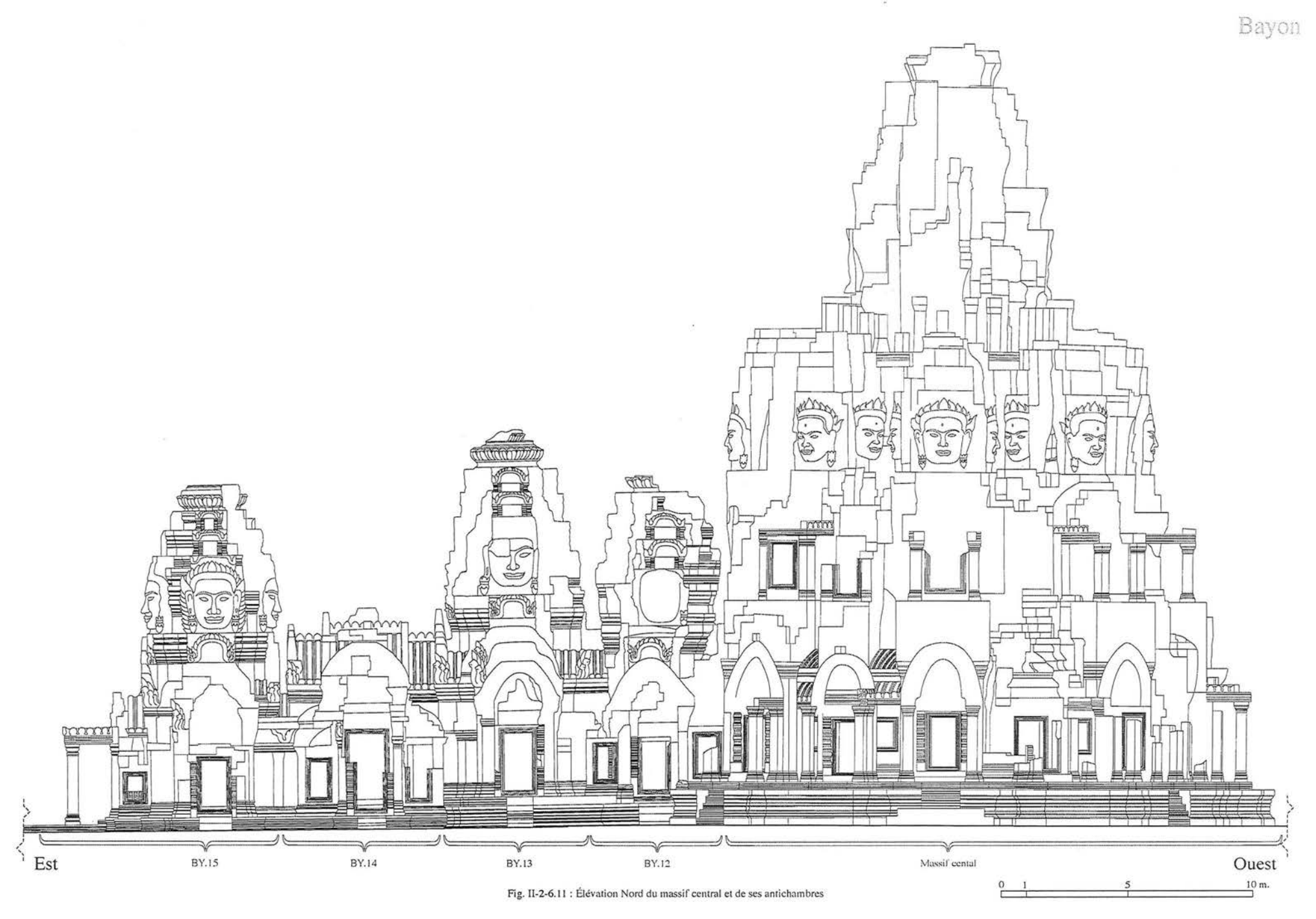


Fig. II-2-6.10 : Plan du troisième étage du Bayon



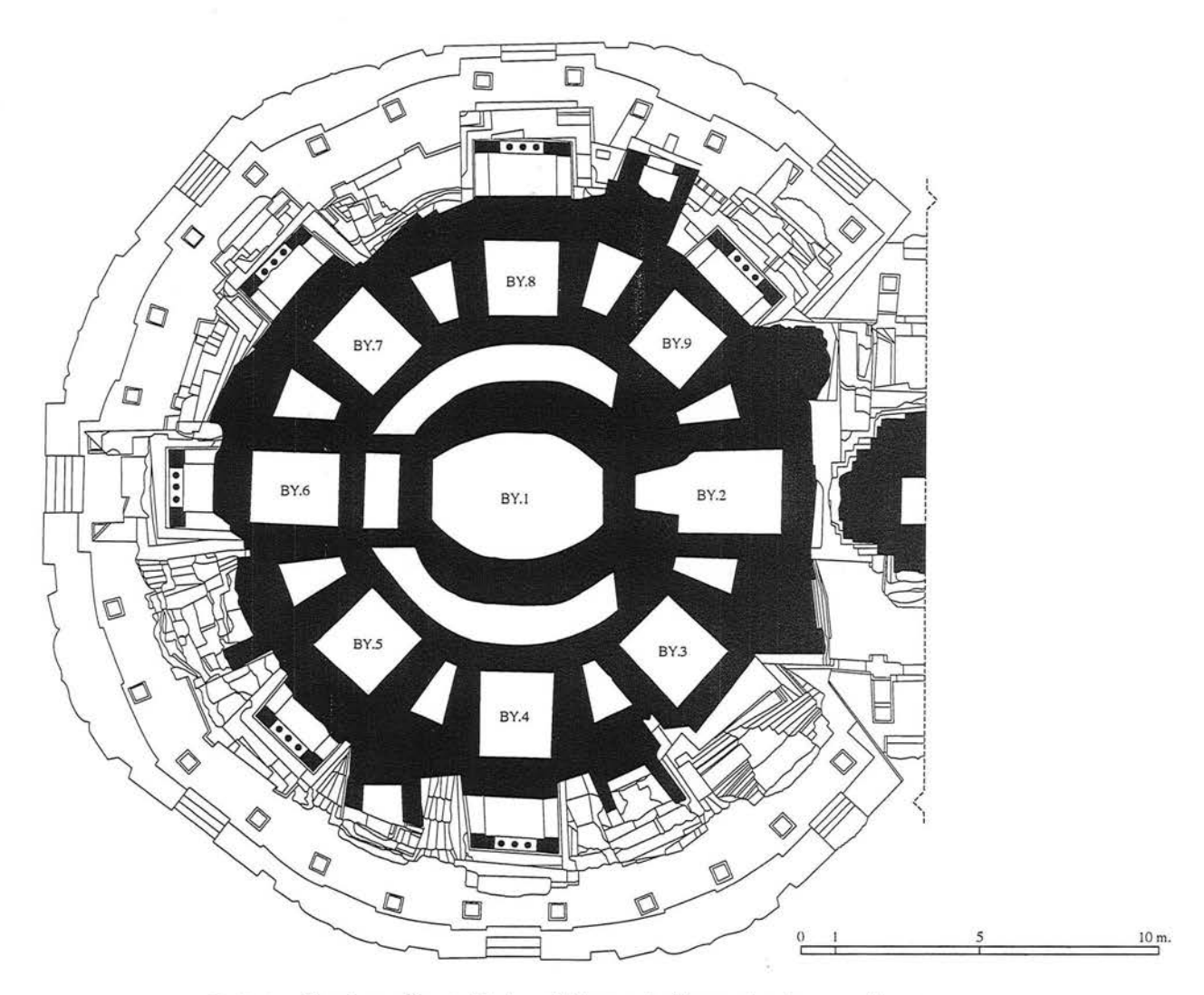
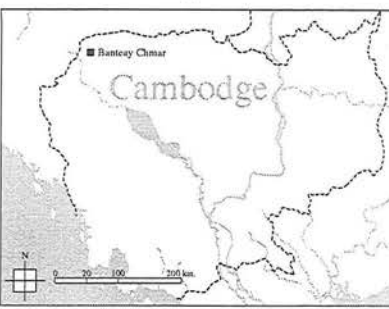


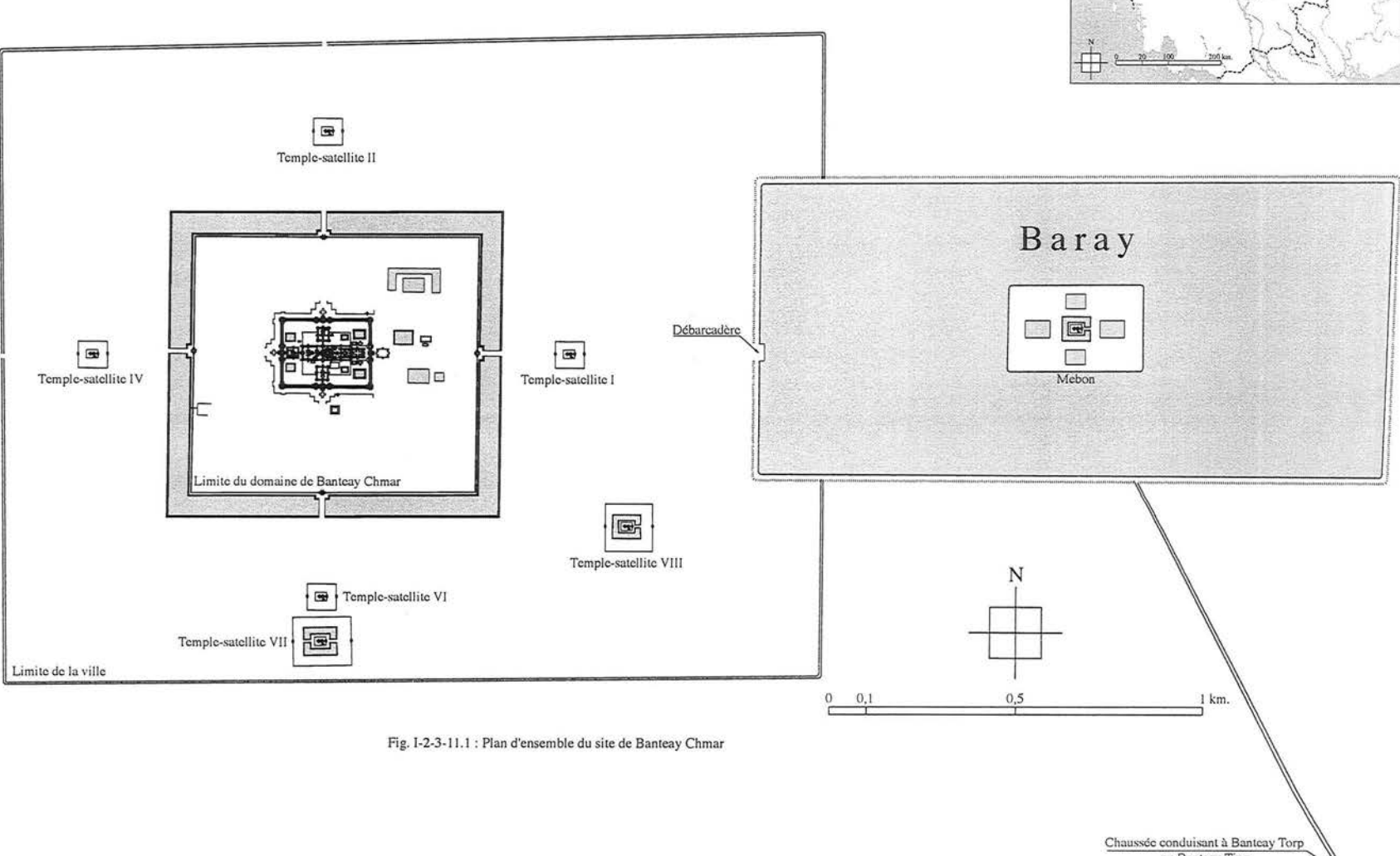
Fig. II-2-6.12 : Plan du massif central horizontal à hauteur des faux-porches des tours adjacentes

Banteay Chmar









Chaussée conduisant à Banteay Torp ou Banteay Tiep

Banteay Chmar

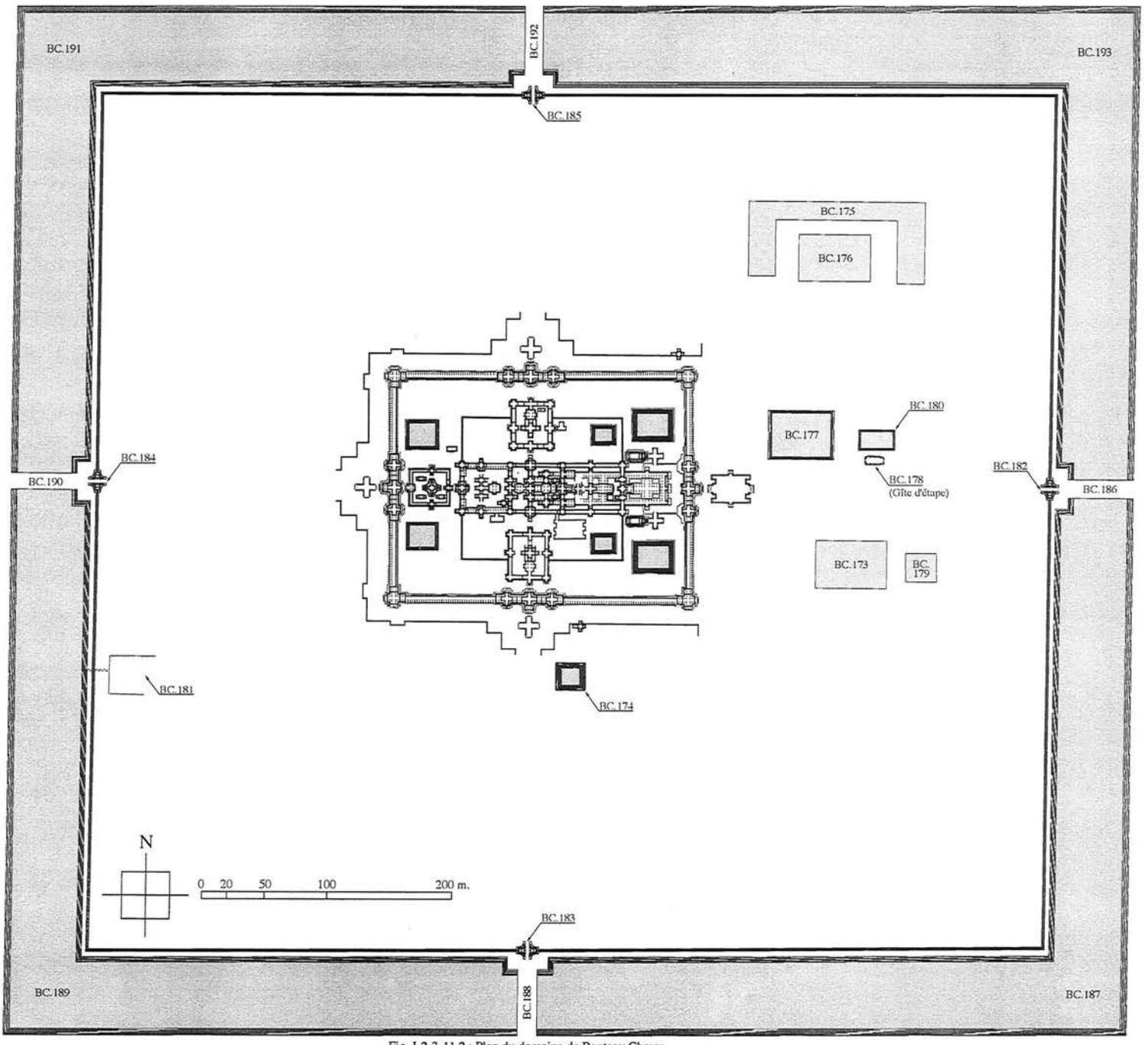


Fig. 1-2-3-11.2 : Plan du domaine de Banteay Chmar — Quatrième enceinte —

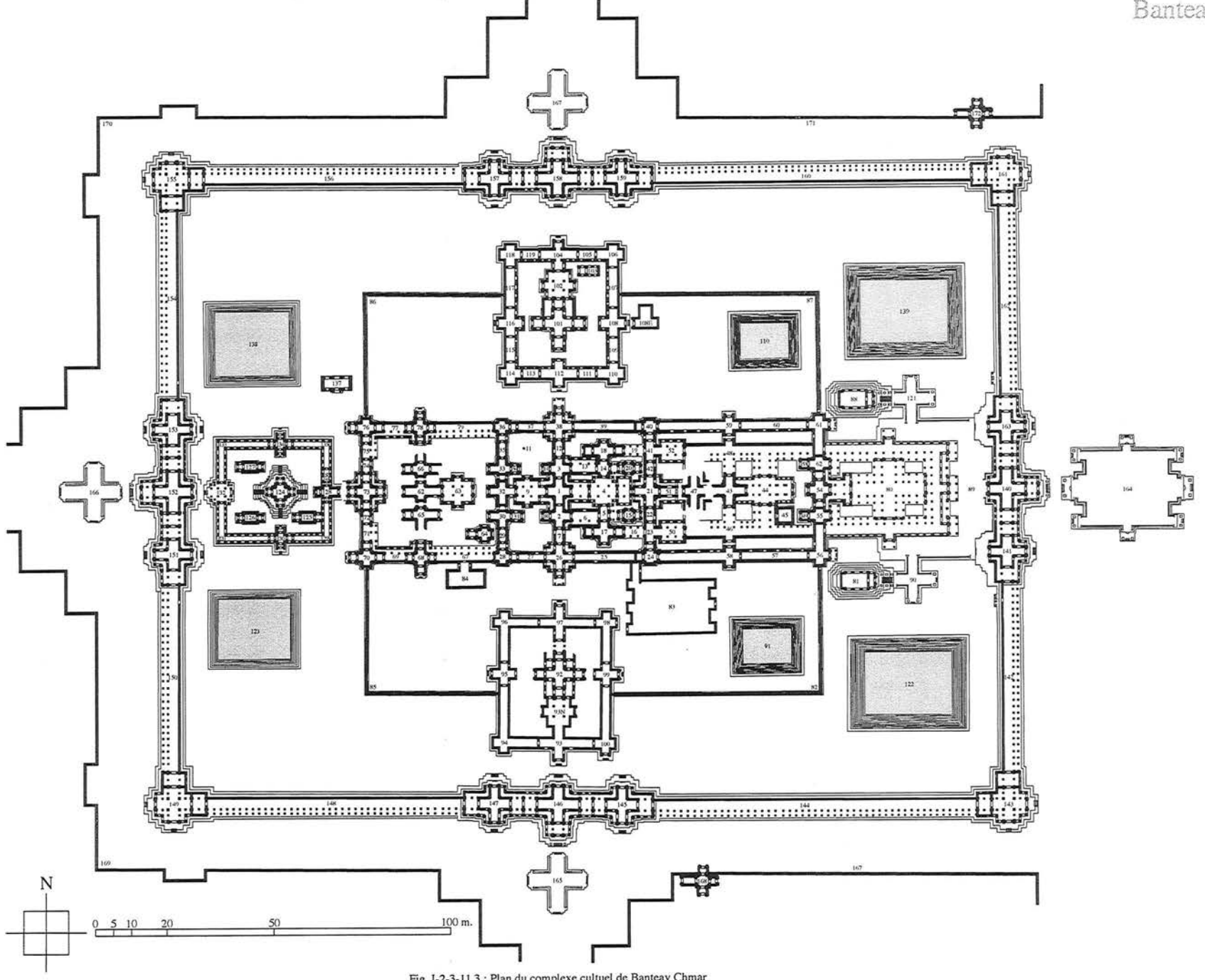
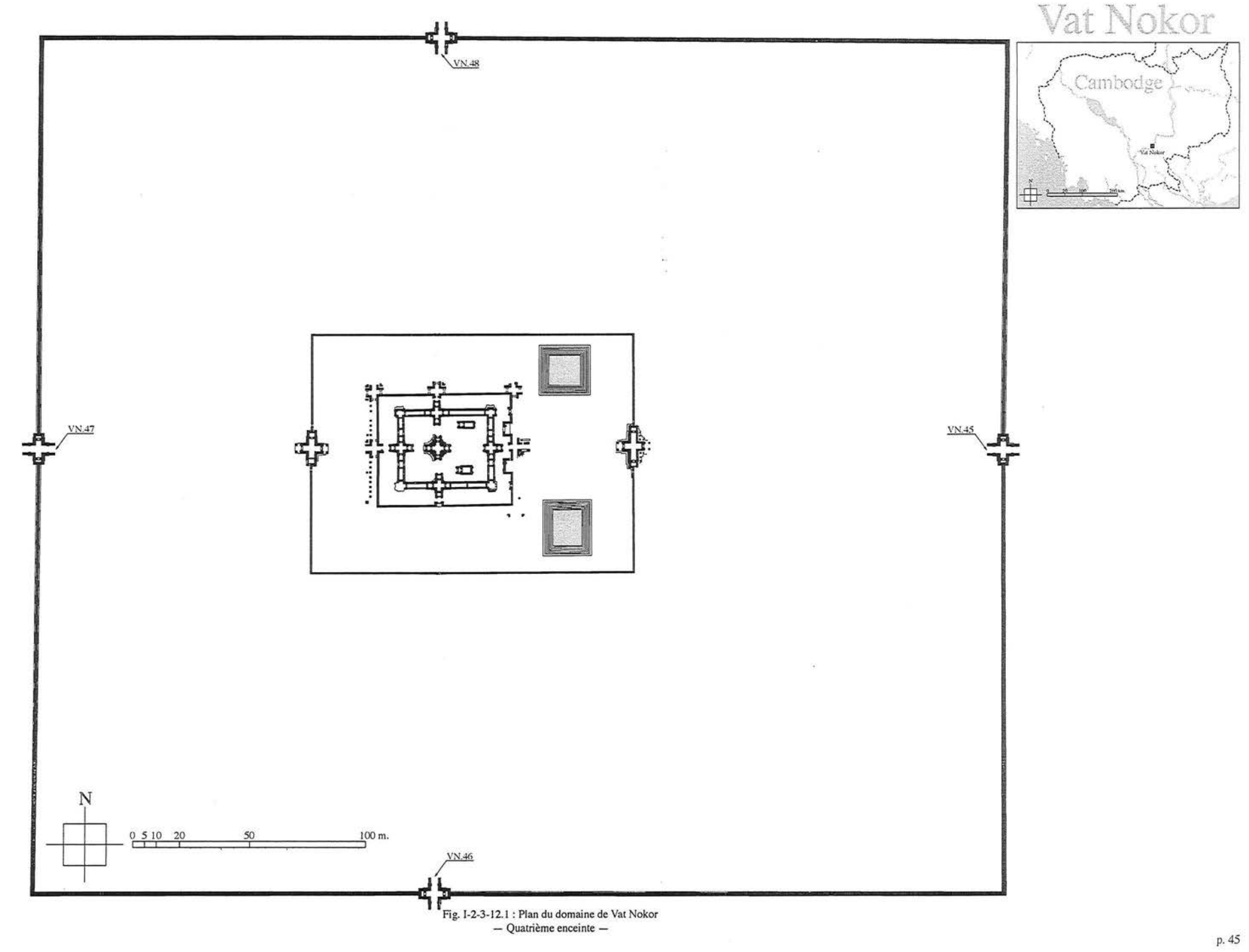


Fig. I-2-3-11.3 : Plan du complexe cultuel de Banteay Chmar — Troisième enceinte —



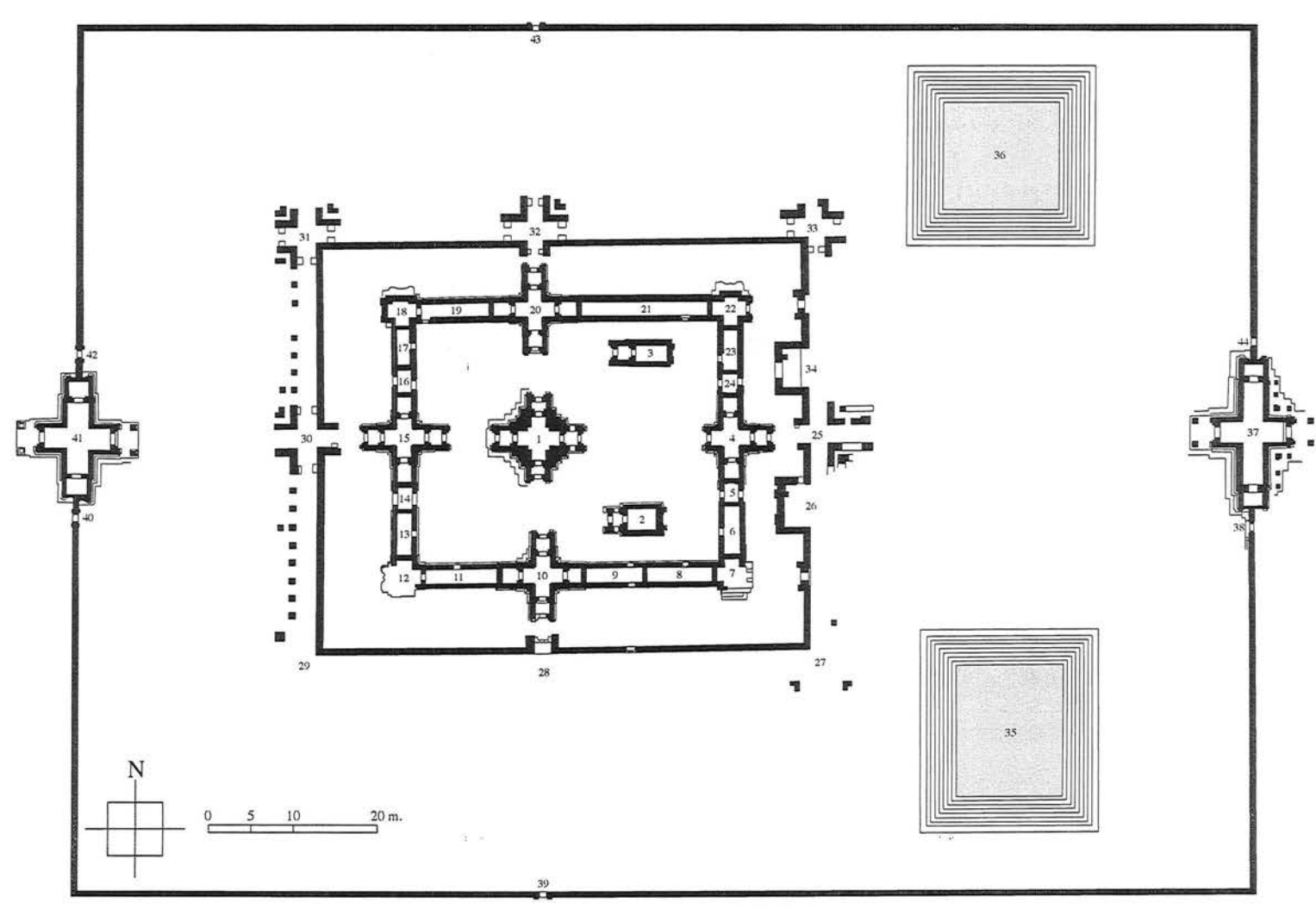
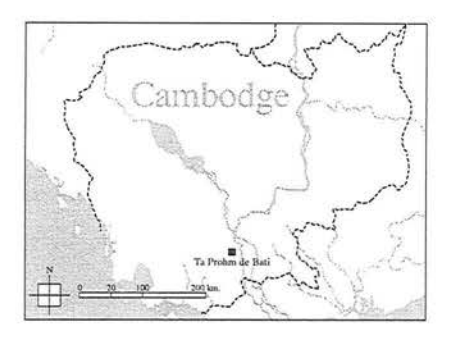


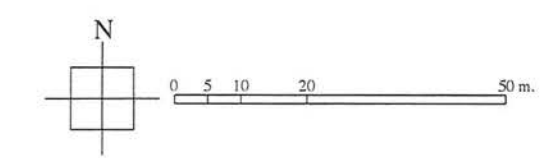
Fig. I-2-3-12.2 : Plan du complexe cultuel de Vat Nokor — Troisième enceinte —

Fig. I-2-3-13: Plan d'ensemble de Ta Prohm de Bati

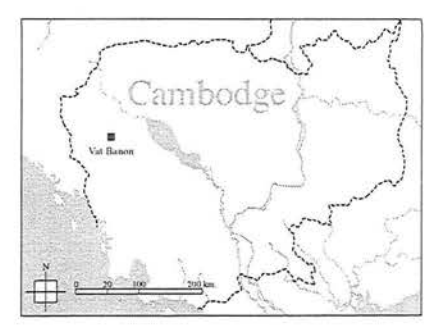
Ta Prohm de Bati







Vat Banon



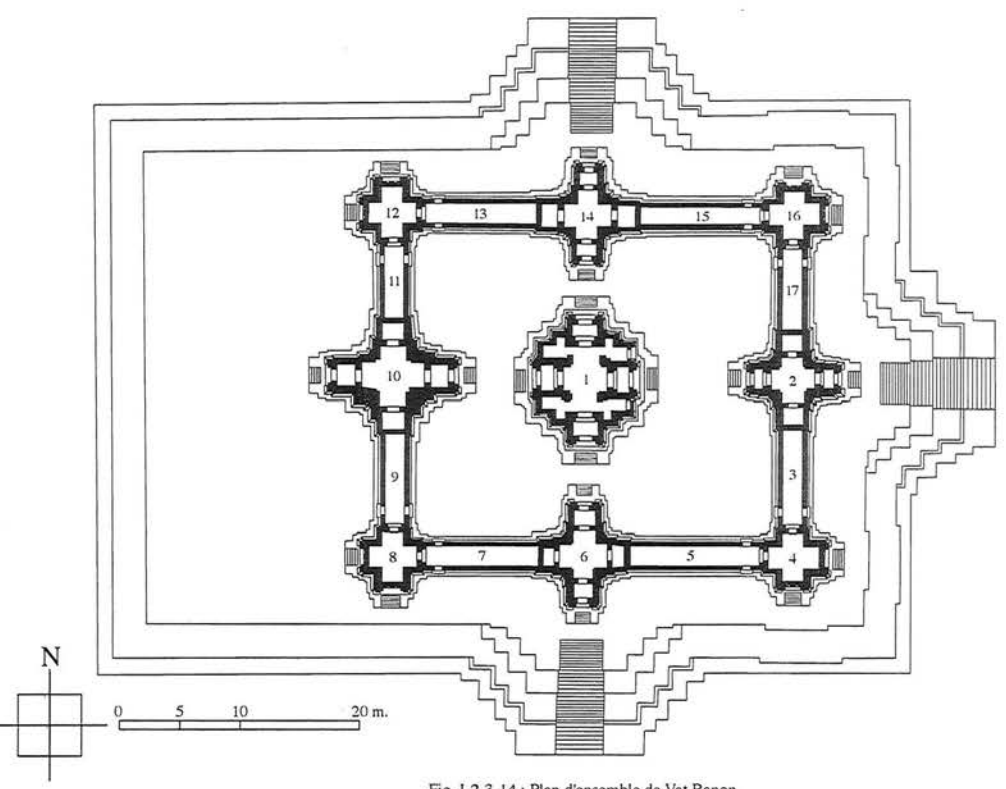
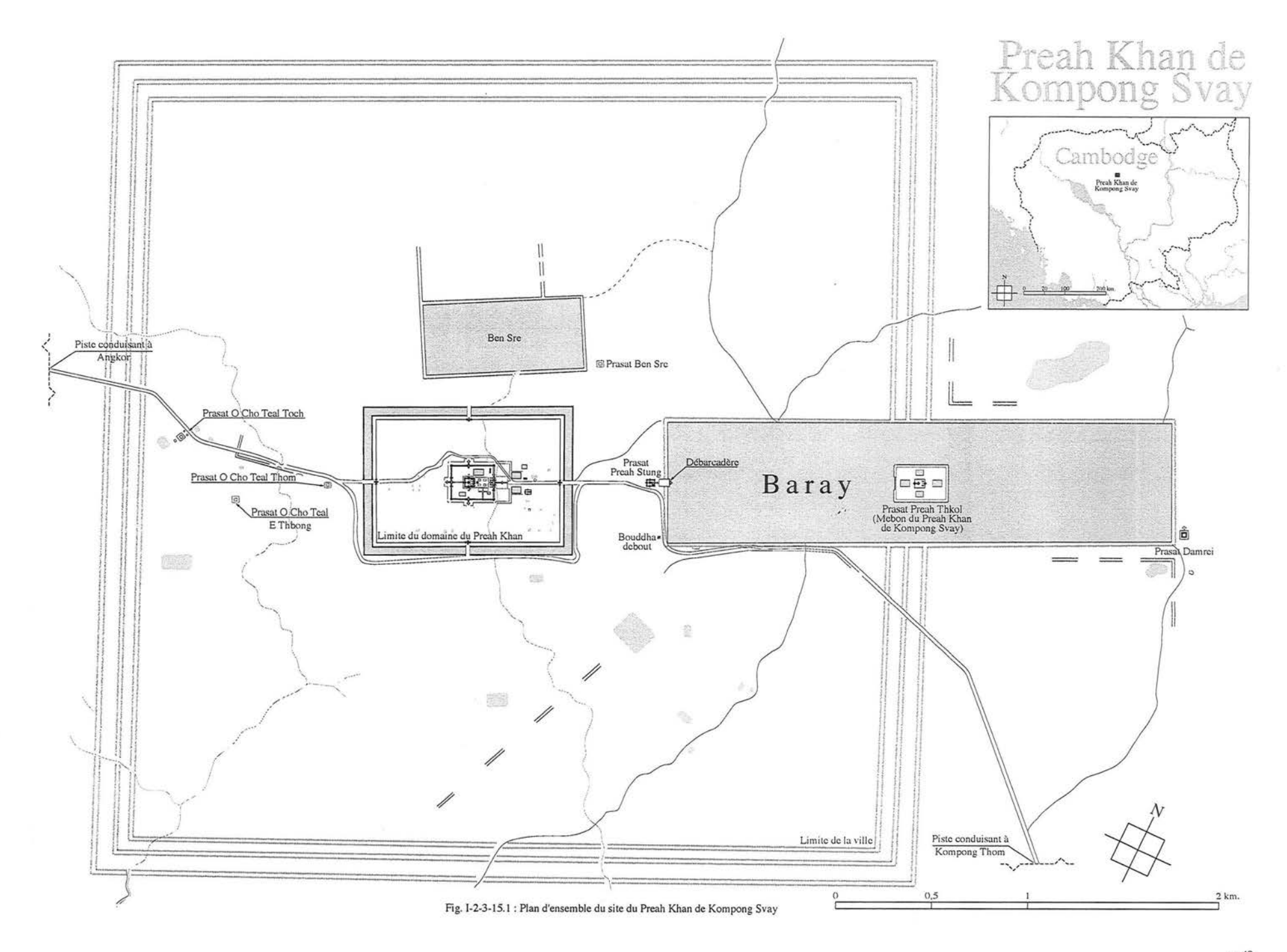
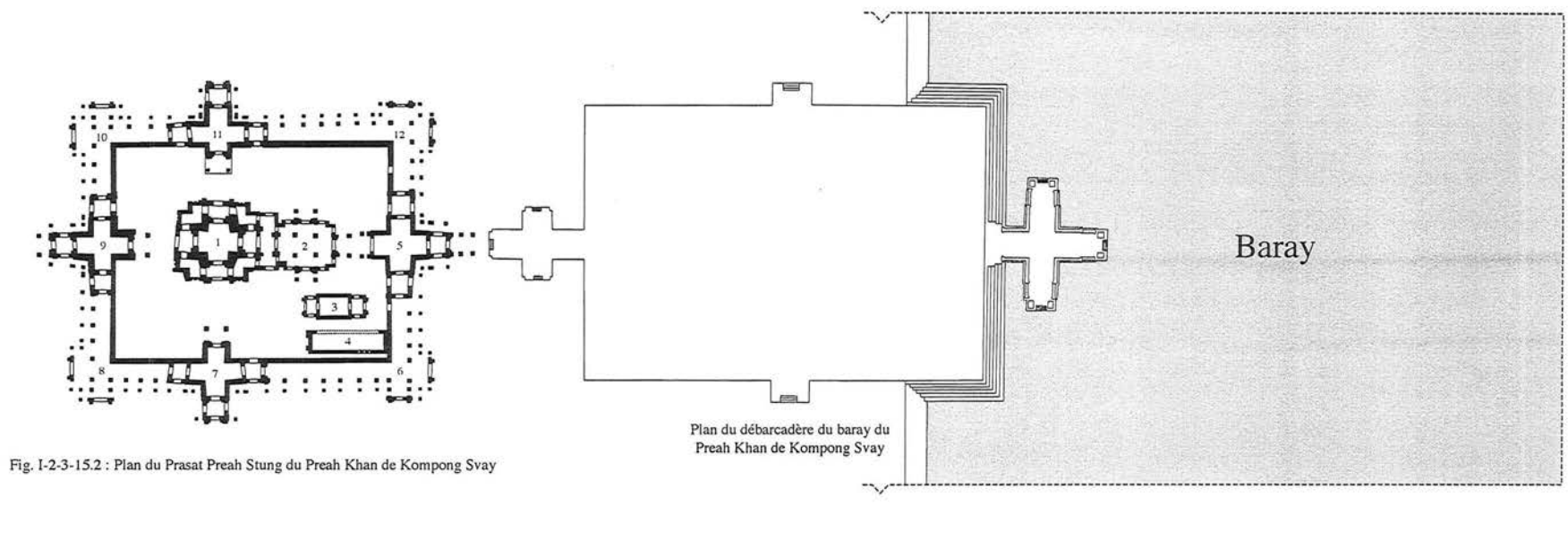


Fig. I-2-3-14 : Plan d'ensemble de Vat Banon





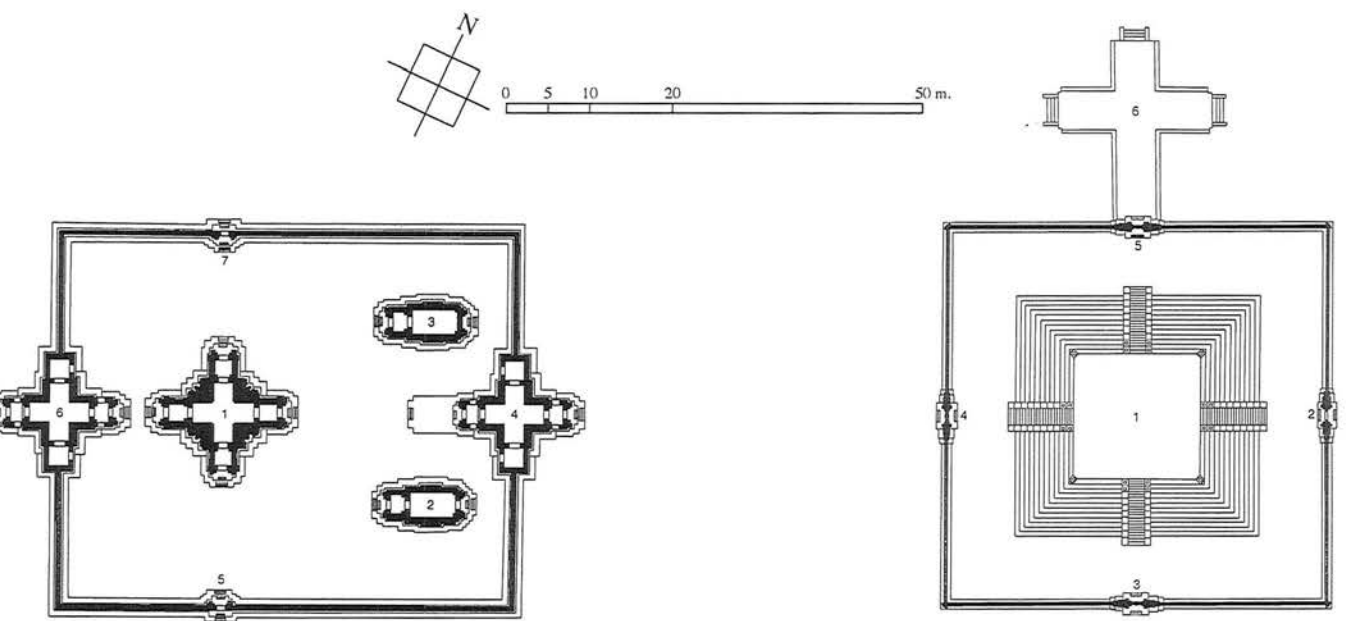


Fig. I-2-3-15.3 : Plan du Prasat Preah Thkol (Mebon du Preah Khan de Kompong Svay)

Fig. I-2-3-15.4 : Plan du Prasat Damrei du Preah Khan de Kompong Svay

Preah Khan de Kompong Svay

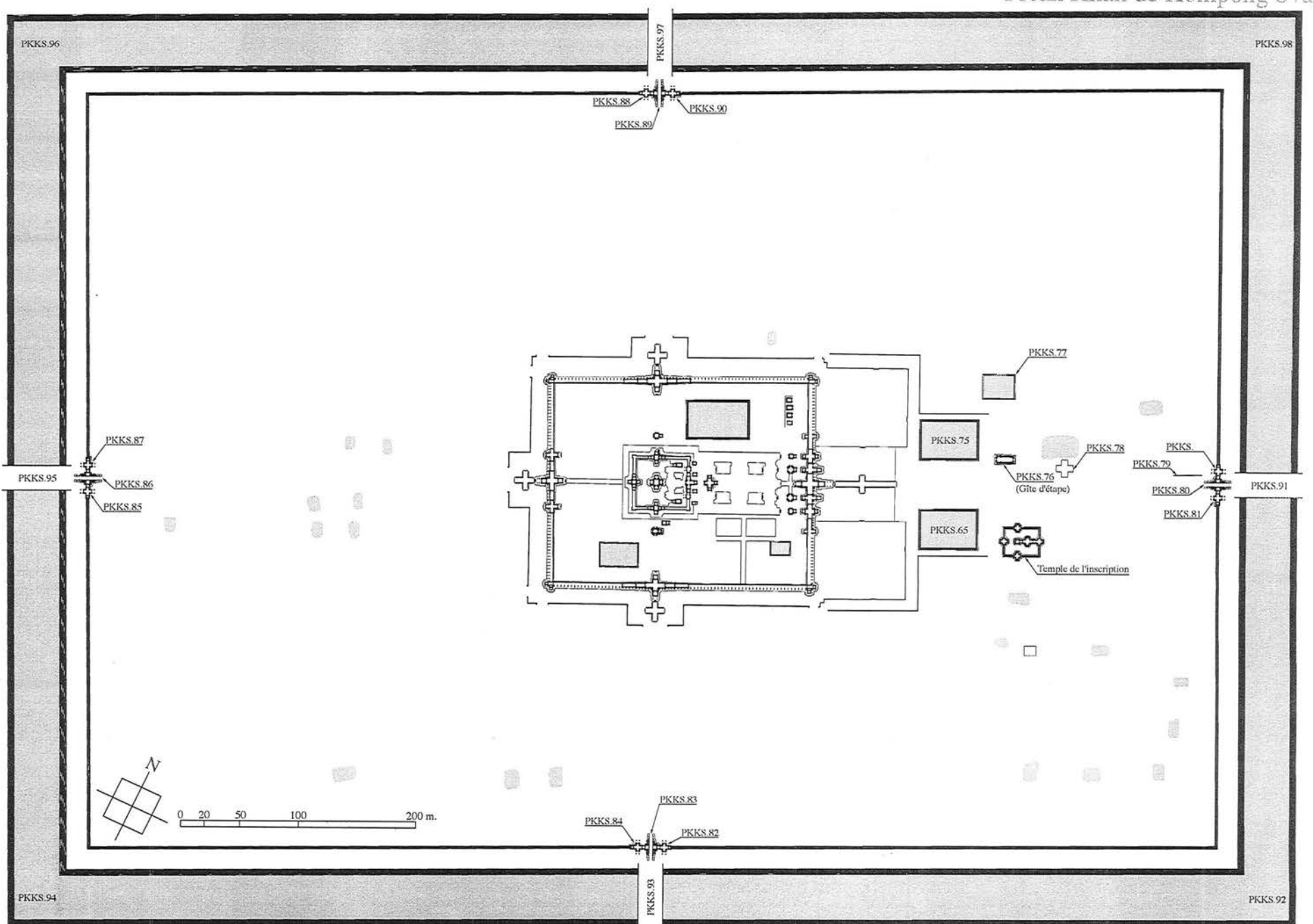
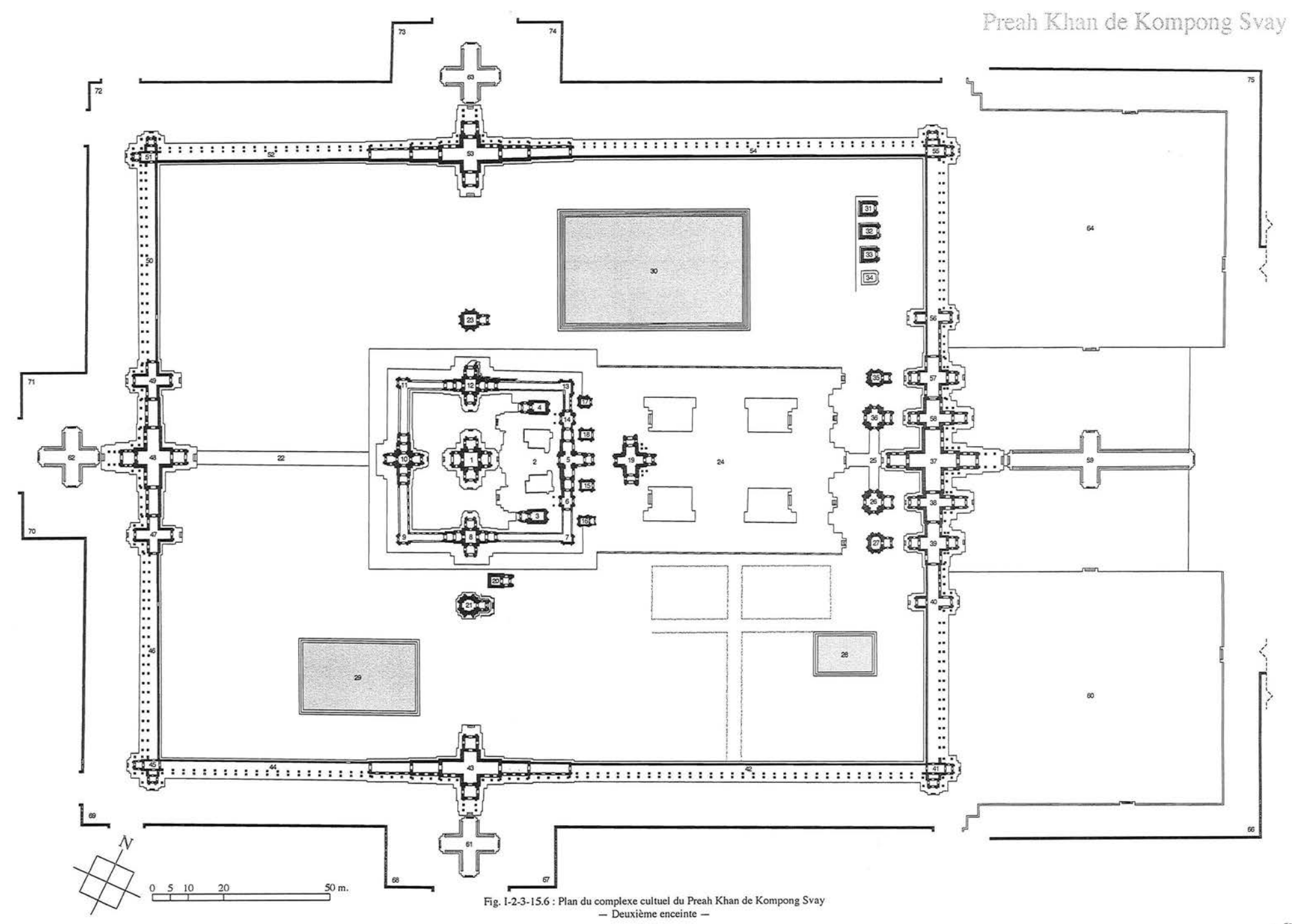


Fig. 1-2-3-15.5 : Plan du domaine du Preah Khan de Kompong Svay — Troisième enceinte —



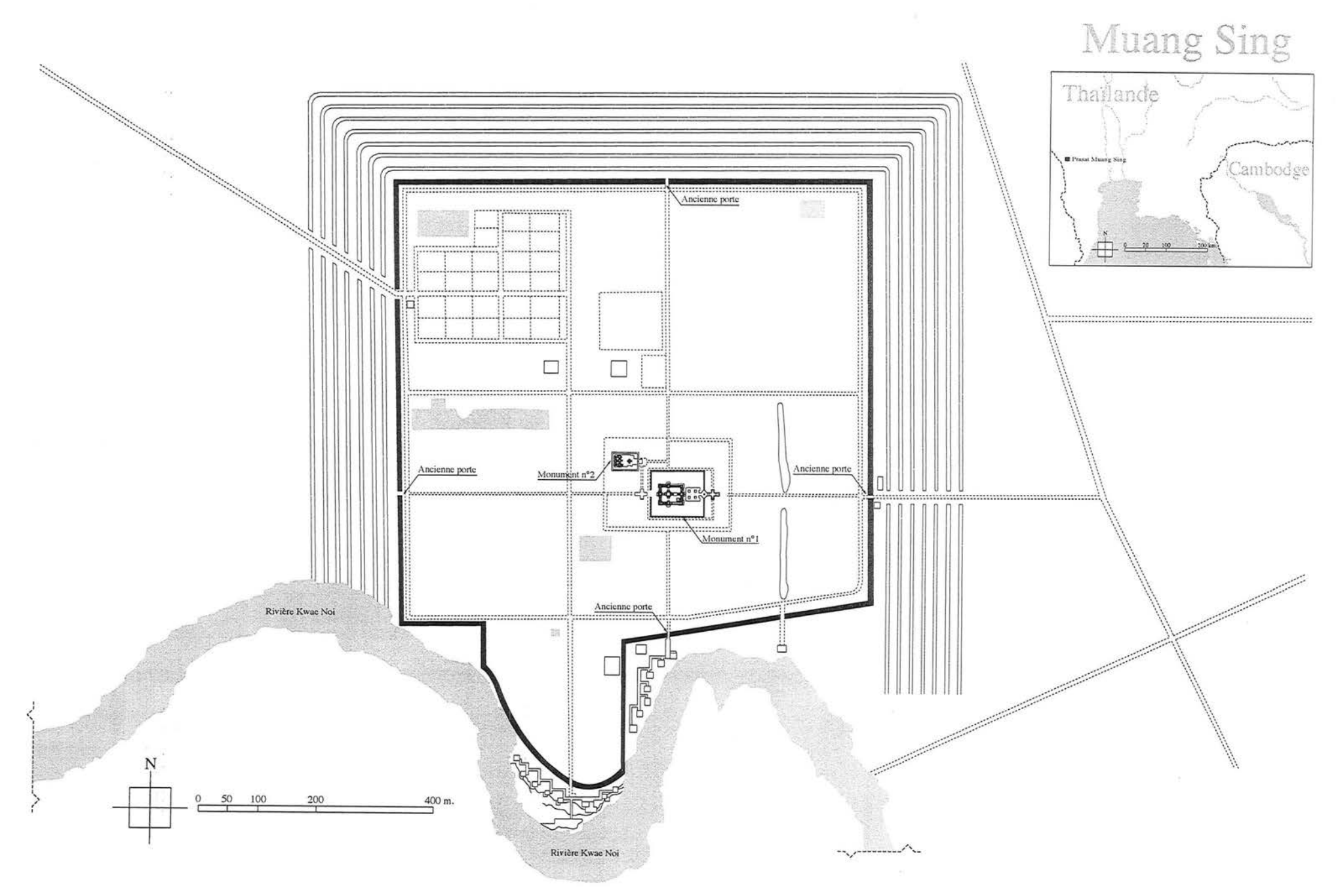


Fig. I-2-3-16.1 : Plan d'ensemble du site de Muang Sing

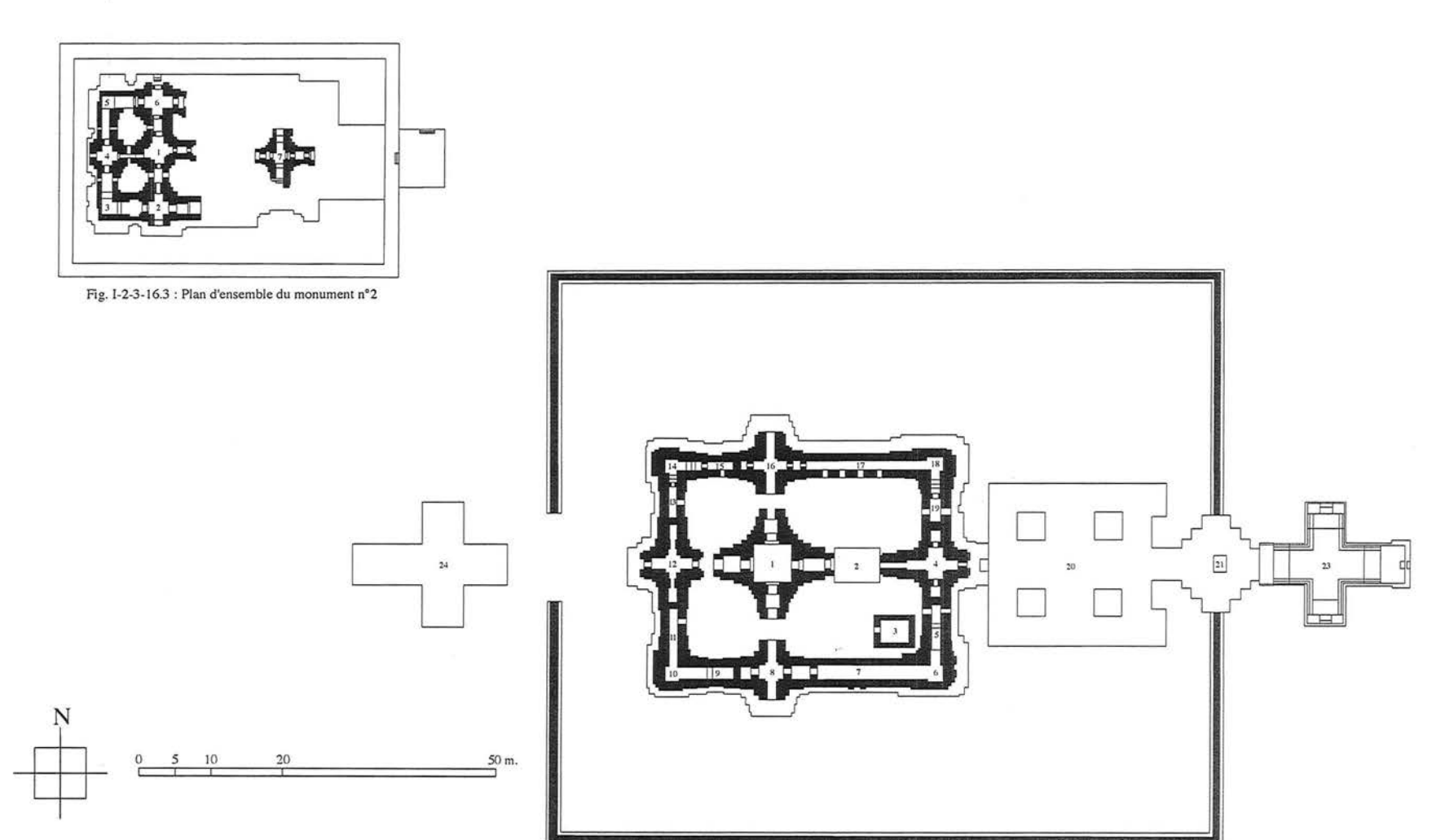


Fig. I-2-3-16.2 : Plan d'ensemble du Prasat Muang Sing (Monument n°1)

Wat Kamphaeng Laeng & Prang Sam Yod

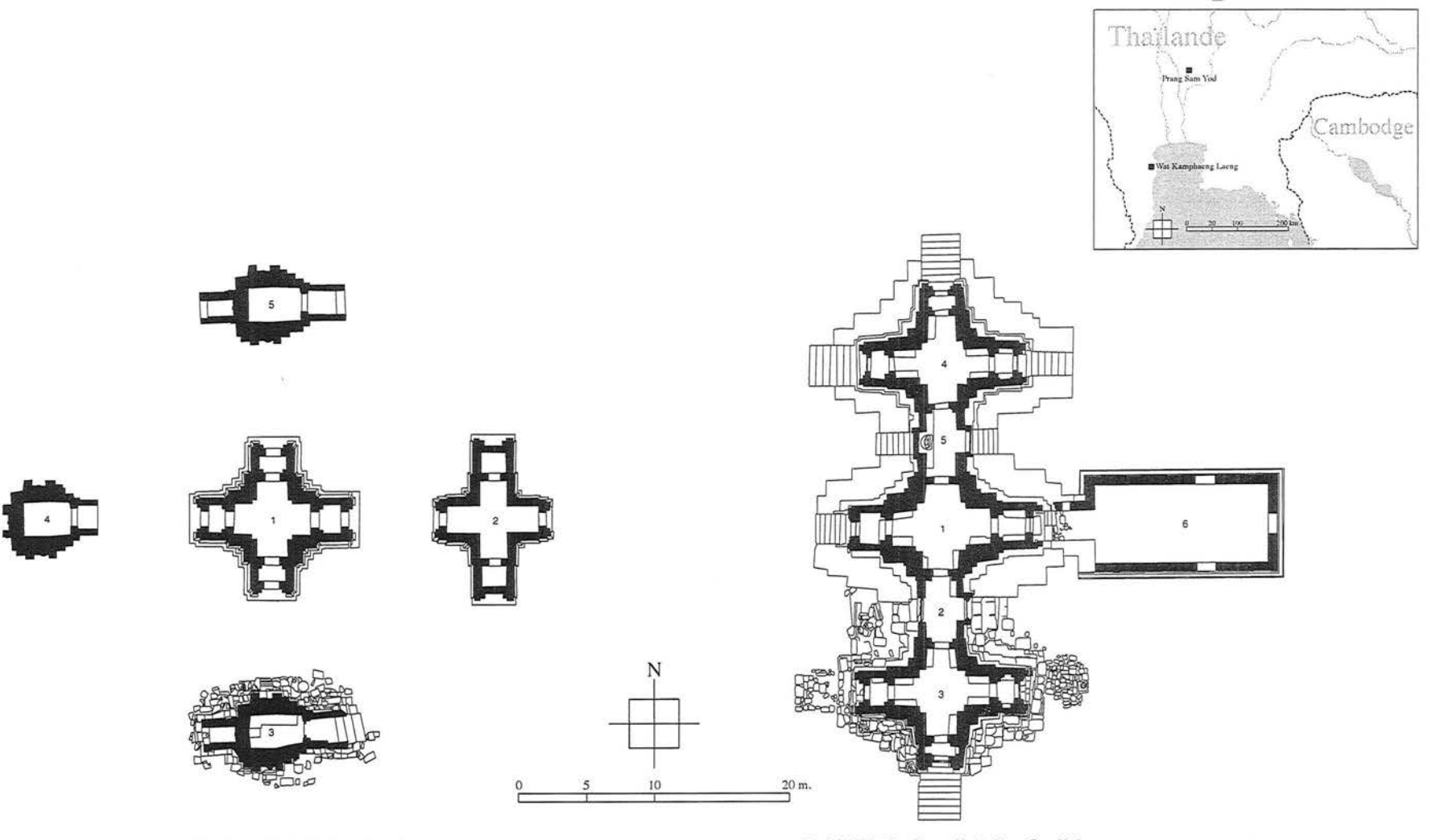
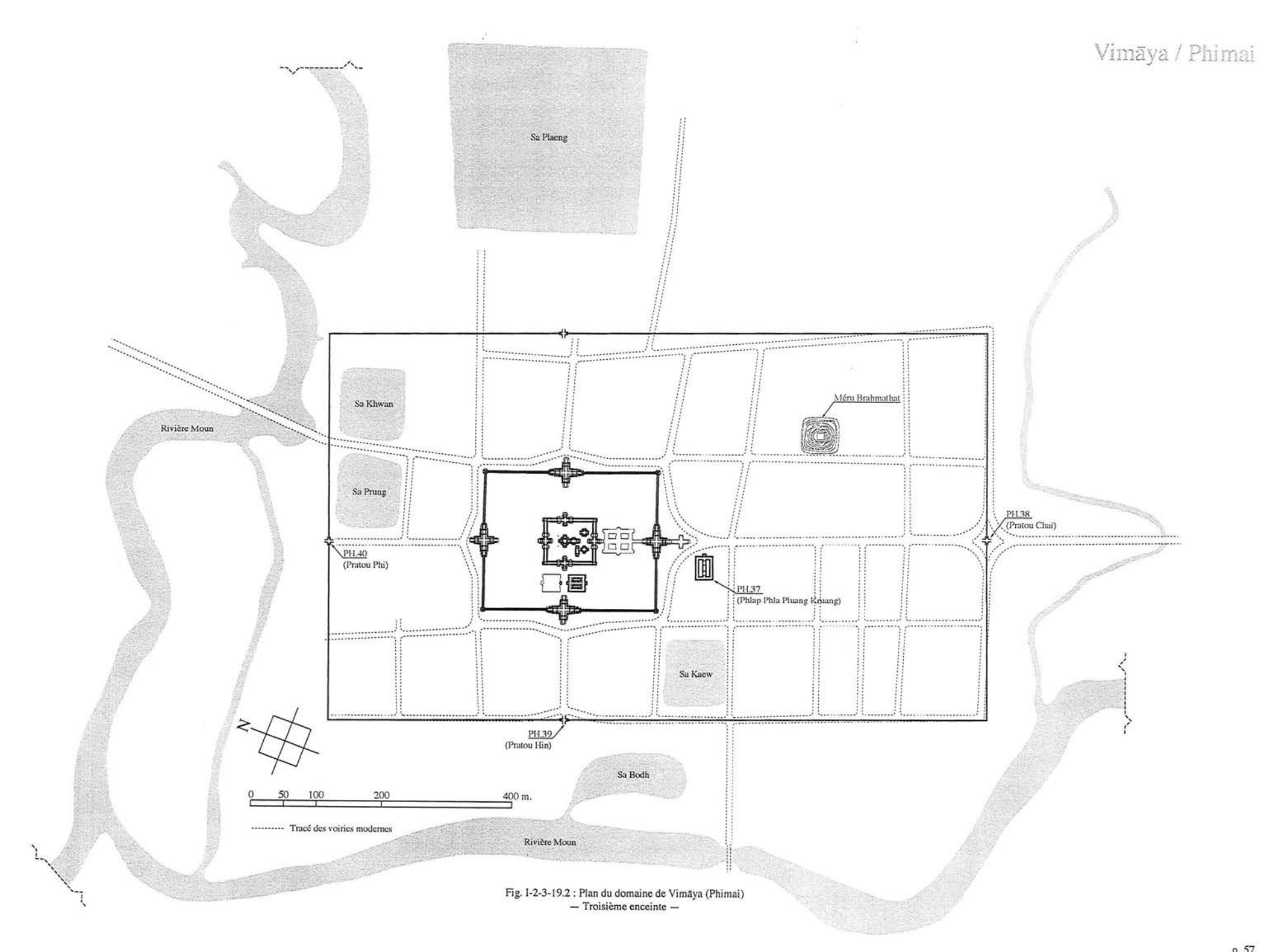
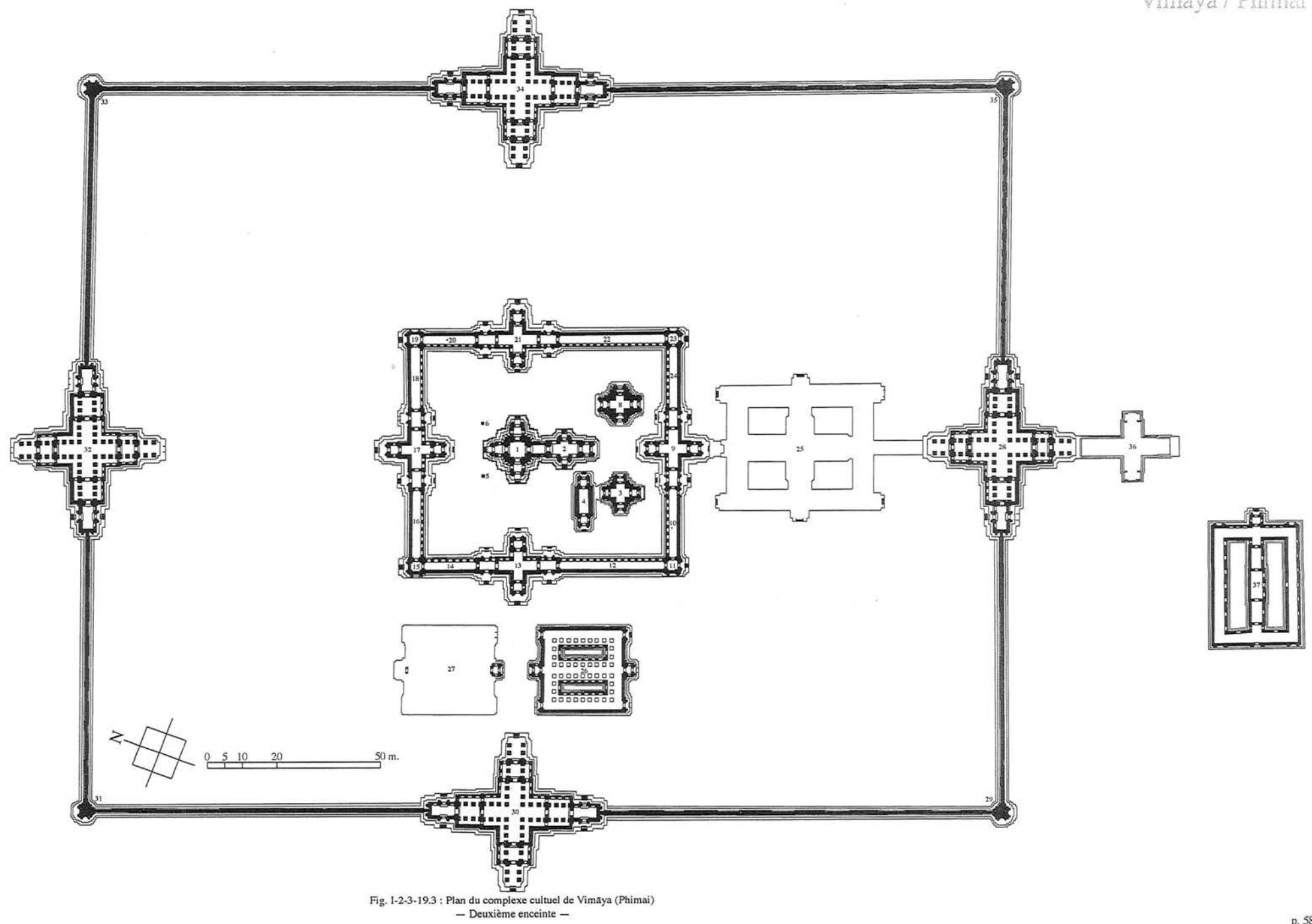


Fig. I-2-3-17: Plan d'ensemble de Wat Kamphaeng Laeng

Fig. I-2-3-18: Plan d'ensemble du Prang Sam Yod

Vimaya / Phimai Thaifande Cambodge Rivière Khem Ancienne voie khmère Ancienne voie khmère Baray Kuti Rishi (Chapelle de l'hôpital de Phimai) 0 Sa Chong Maew Ta Nang Sa Phom (Débarcadère) Ancienne voie khmère Mebon Rivière Moun Fig. 1-2-3-19.1 : Plan d'ensemble du site de Vimaya (Phimai)





Analyses structurelles des monuments du style du Bayon

1а гоппт	00
Preah Khan d'Angkor	76
Banteay Kdei	79
Neak Pean & Ta Nei	83
Ta Som, Banteay Prei, Banteay Thom, Prasat Prei, Prasat Prei Prasat & Krol Kô	88
Prasat Chrung Sud-Est et Sud-Ouest d'Angkor Thom & Porte des Morts	90
Bayon	99
Banteay Chmar	. 106
Vat Nokor, Ta Prohm de Bati & Vat Banon	. 111
Wat Kamphaeng Laeng & Phra Prang Sam Yod	. 114

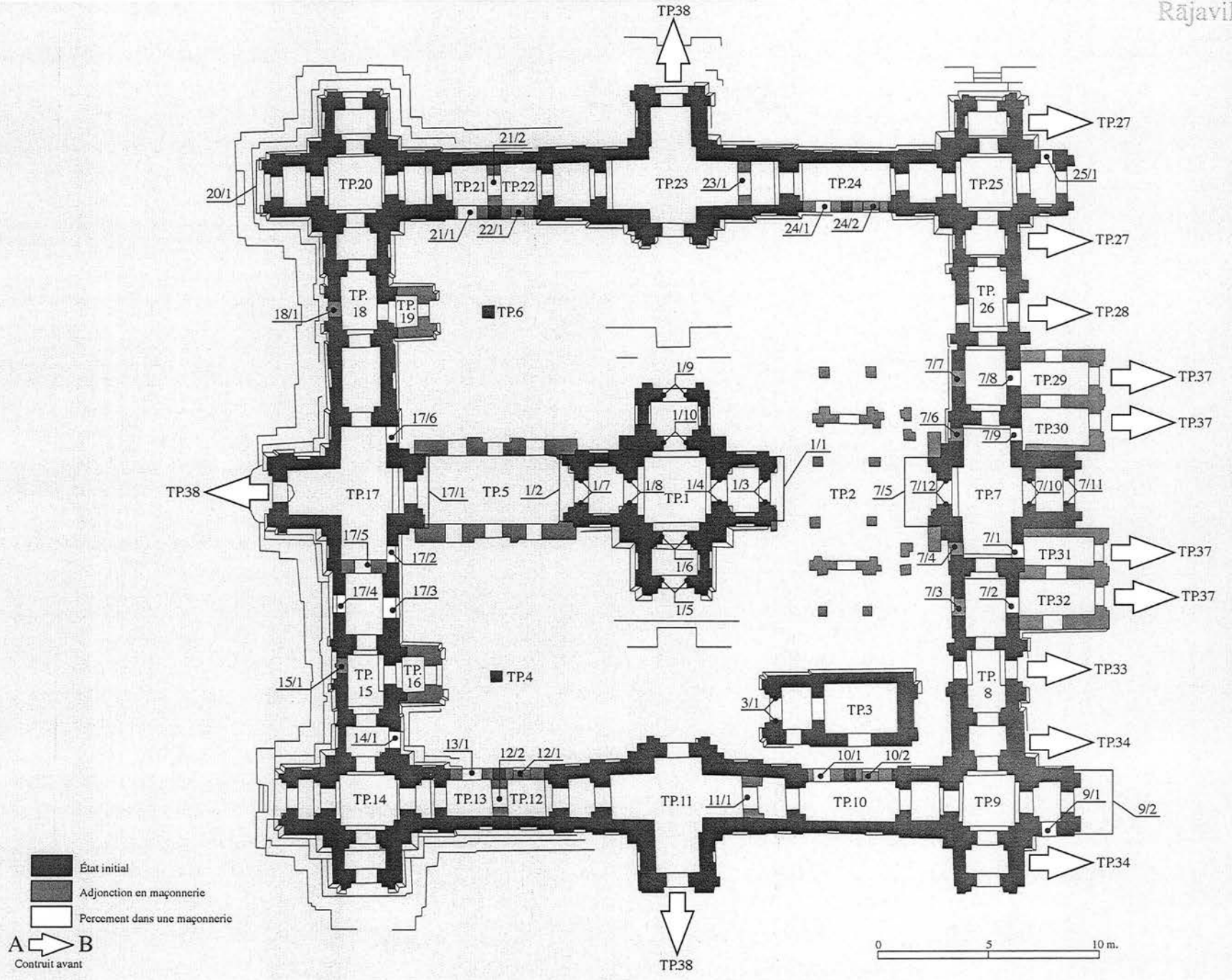


Fig. I-3-1-2.1 : Index des unités stratigraphiques construites de la première enceinte de Ta Prohm

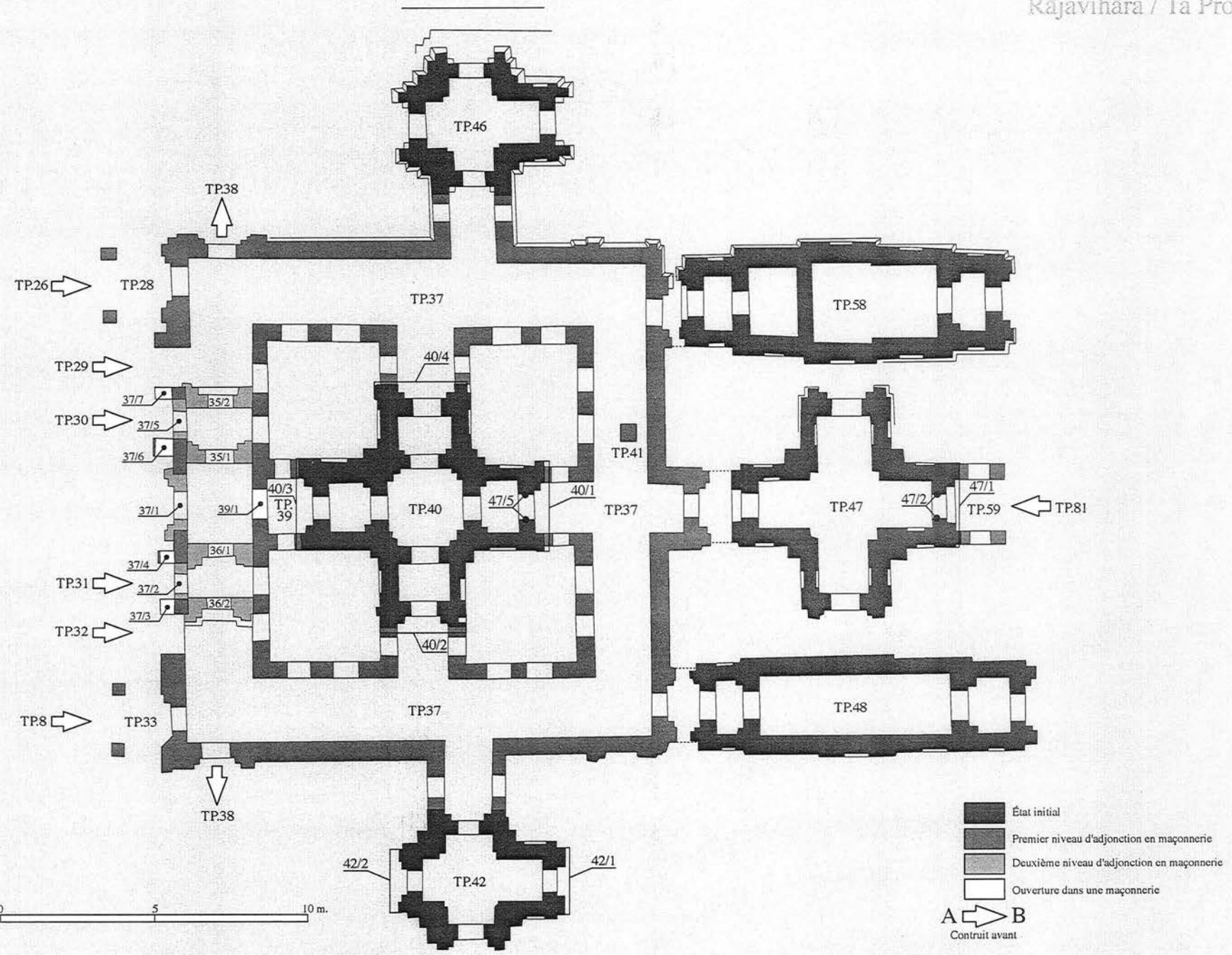


Fig. I-3-1-2.2 : Index des unités stratigraphiques construites du cloître Est (TP.37) de Ta Prohm

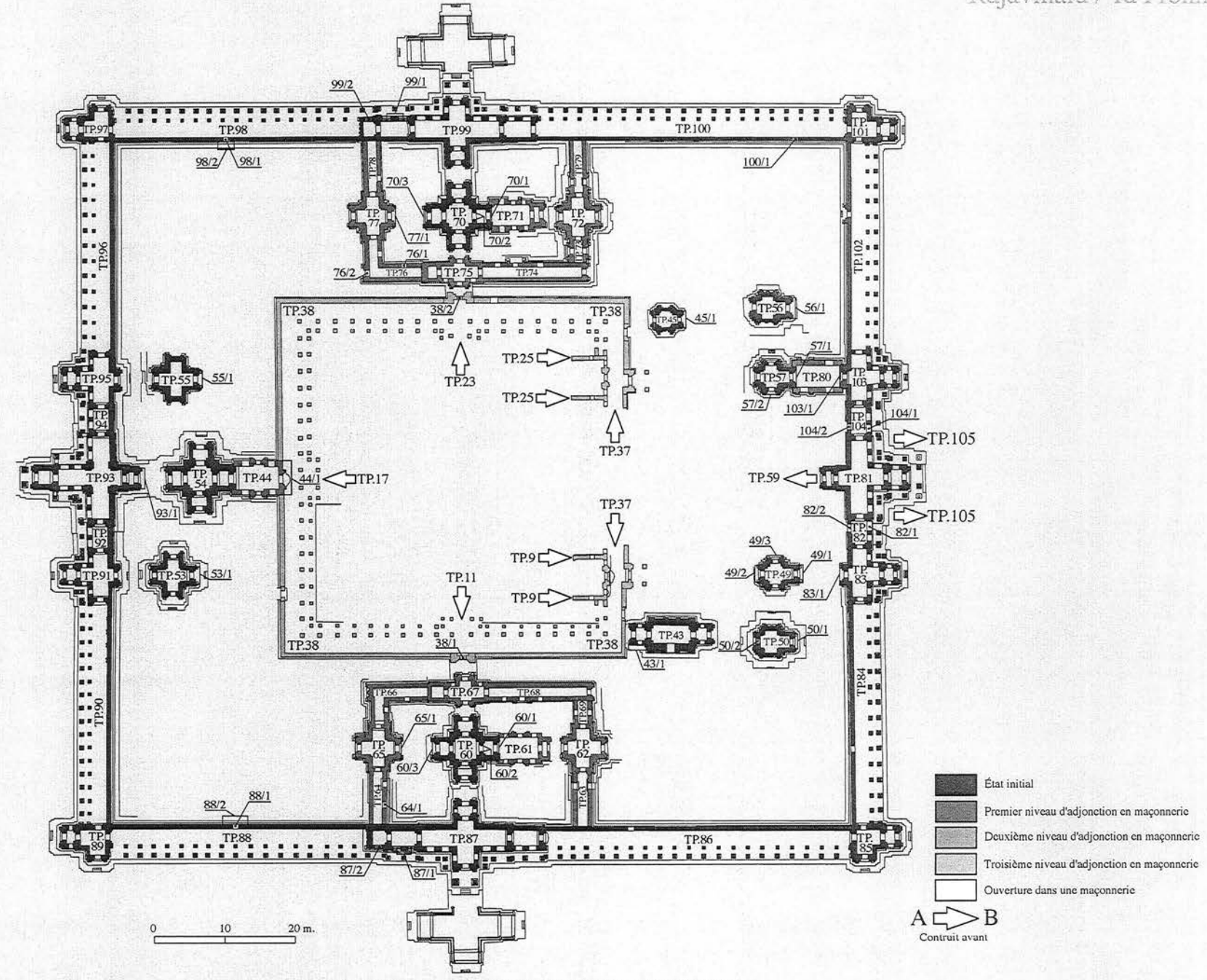
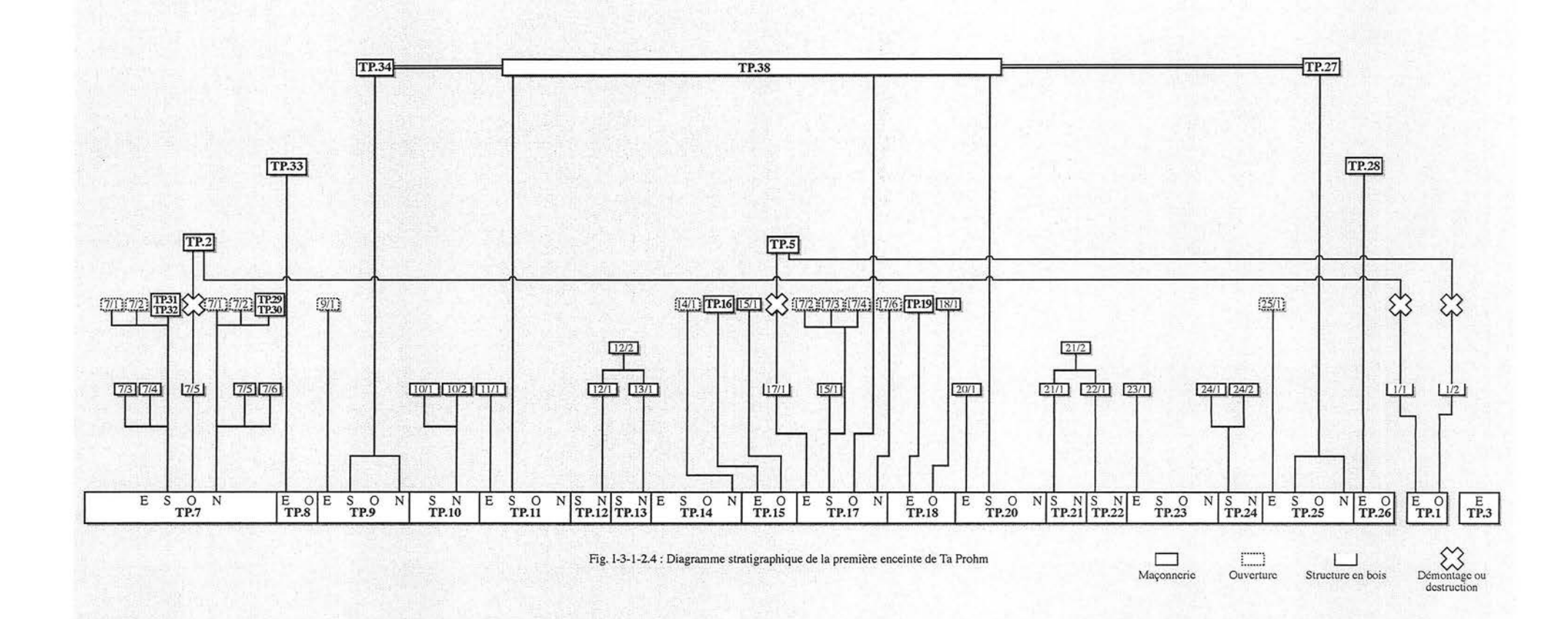


Fig. I-3-1-2.3 : Index des unités stratigraphiques construites de la deuxième et troisième enceintes de Ta Prohm



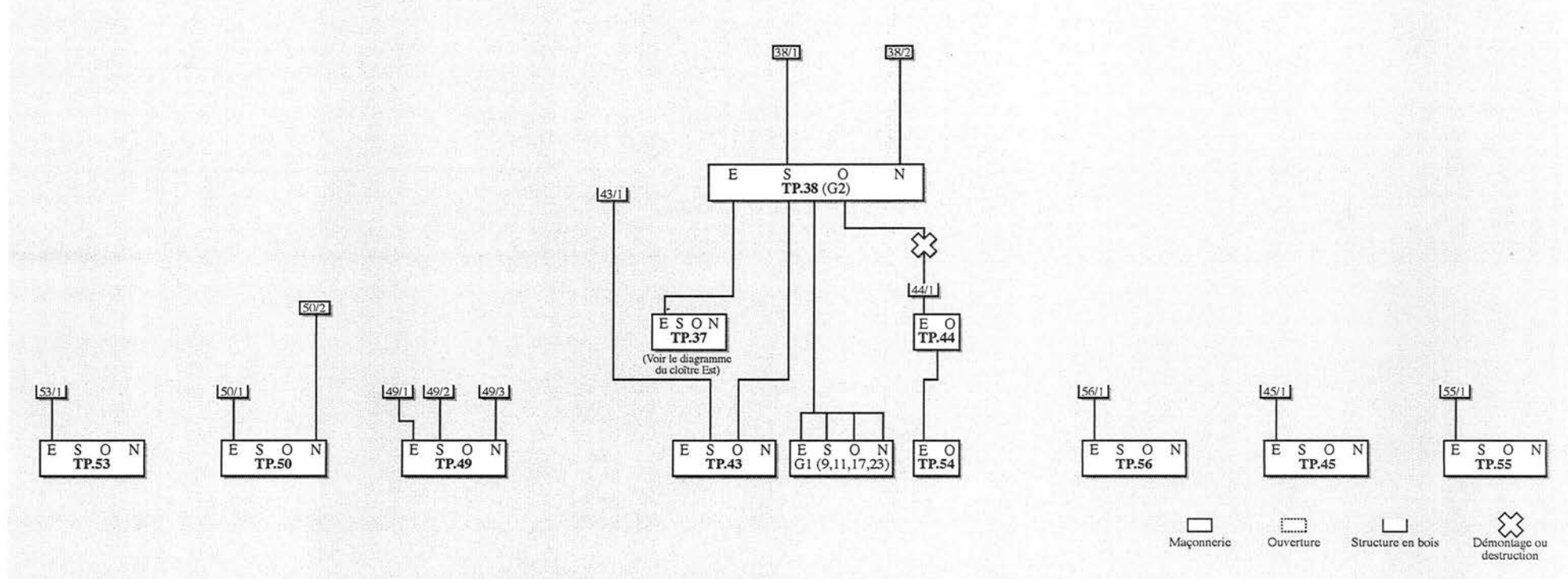
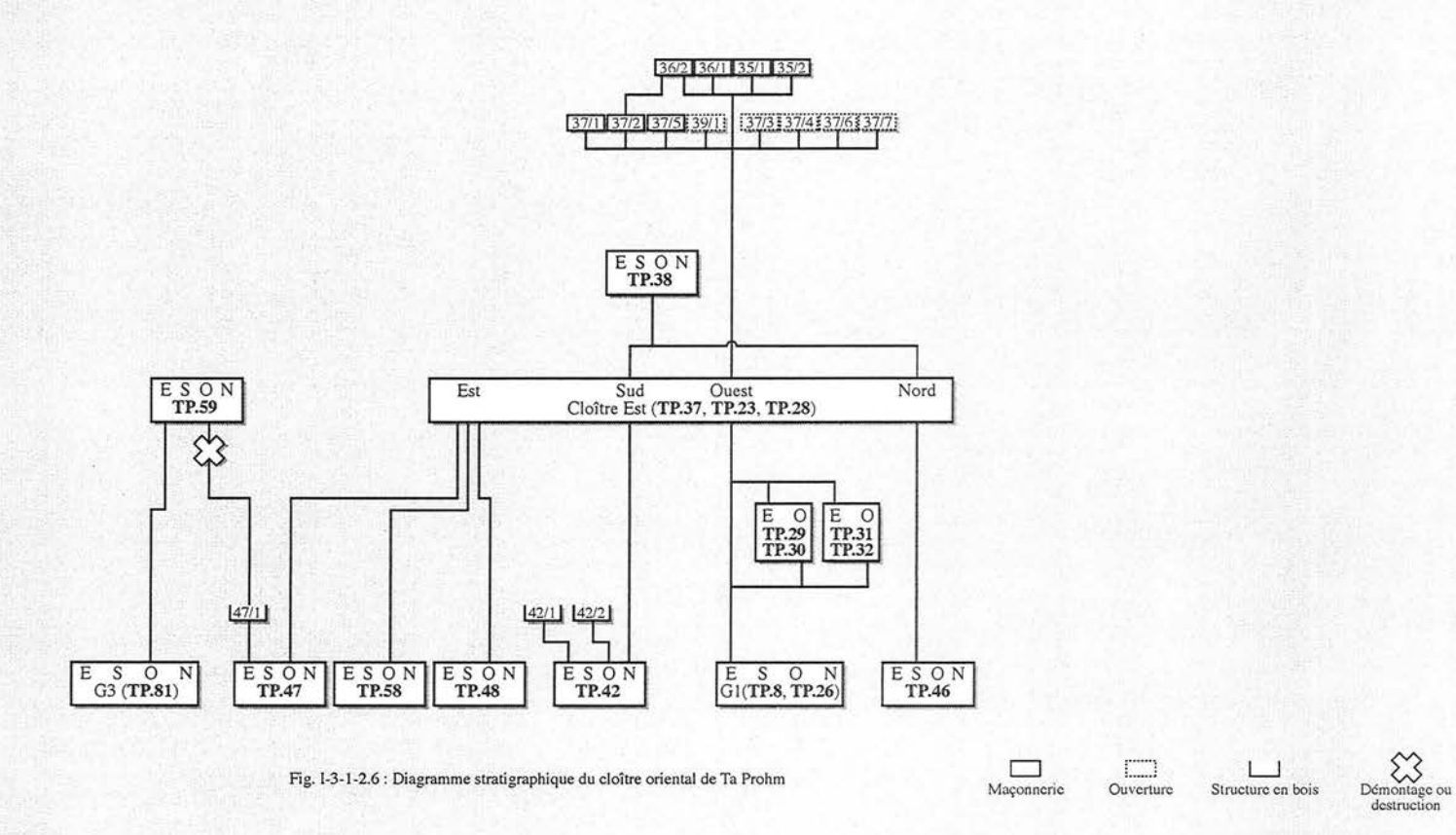
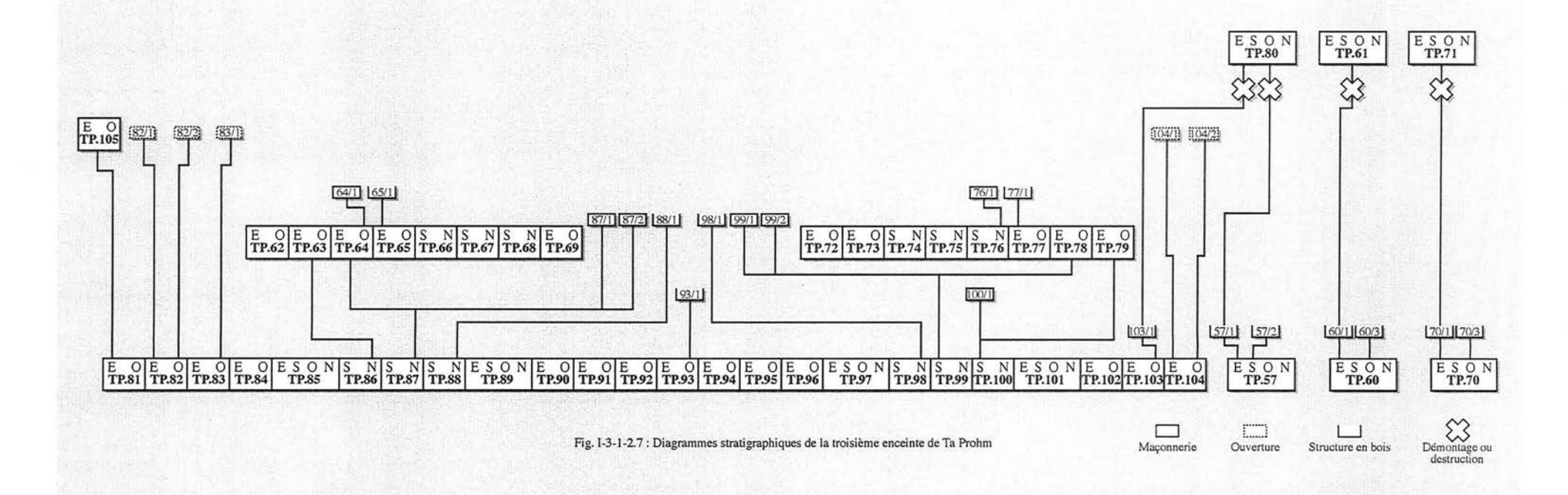
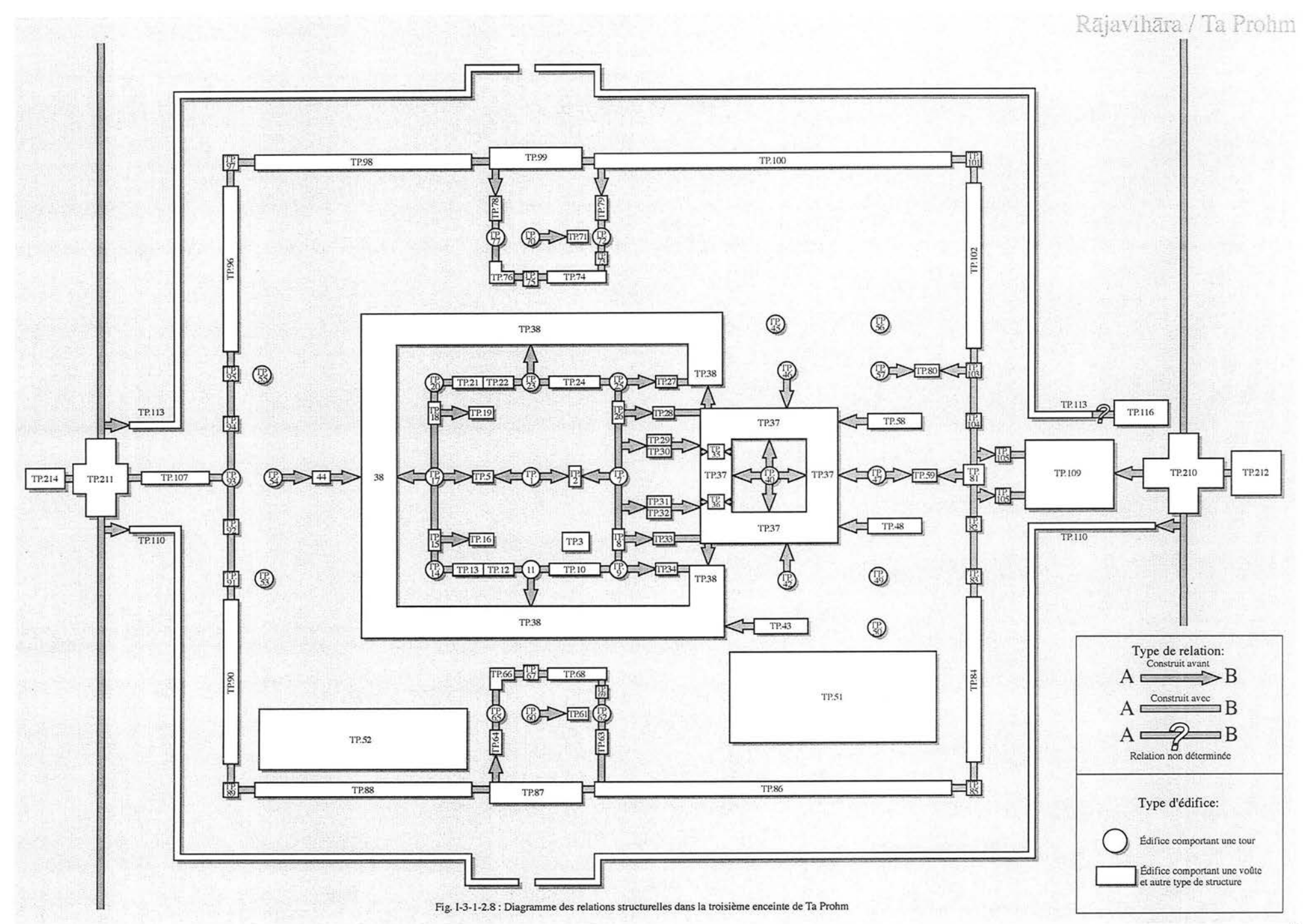


Fig. 1-3-1-2.5: Diagrammes stratigraphiques de la deuxième enceinte de Ta Prohm et des édifices TP.45, TP.49, TP.50, TP.53, TP.55, TP.56







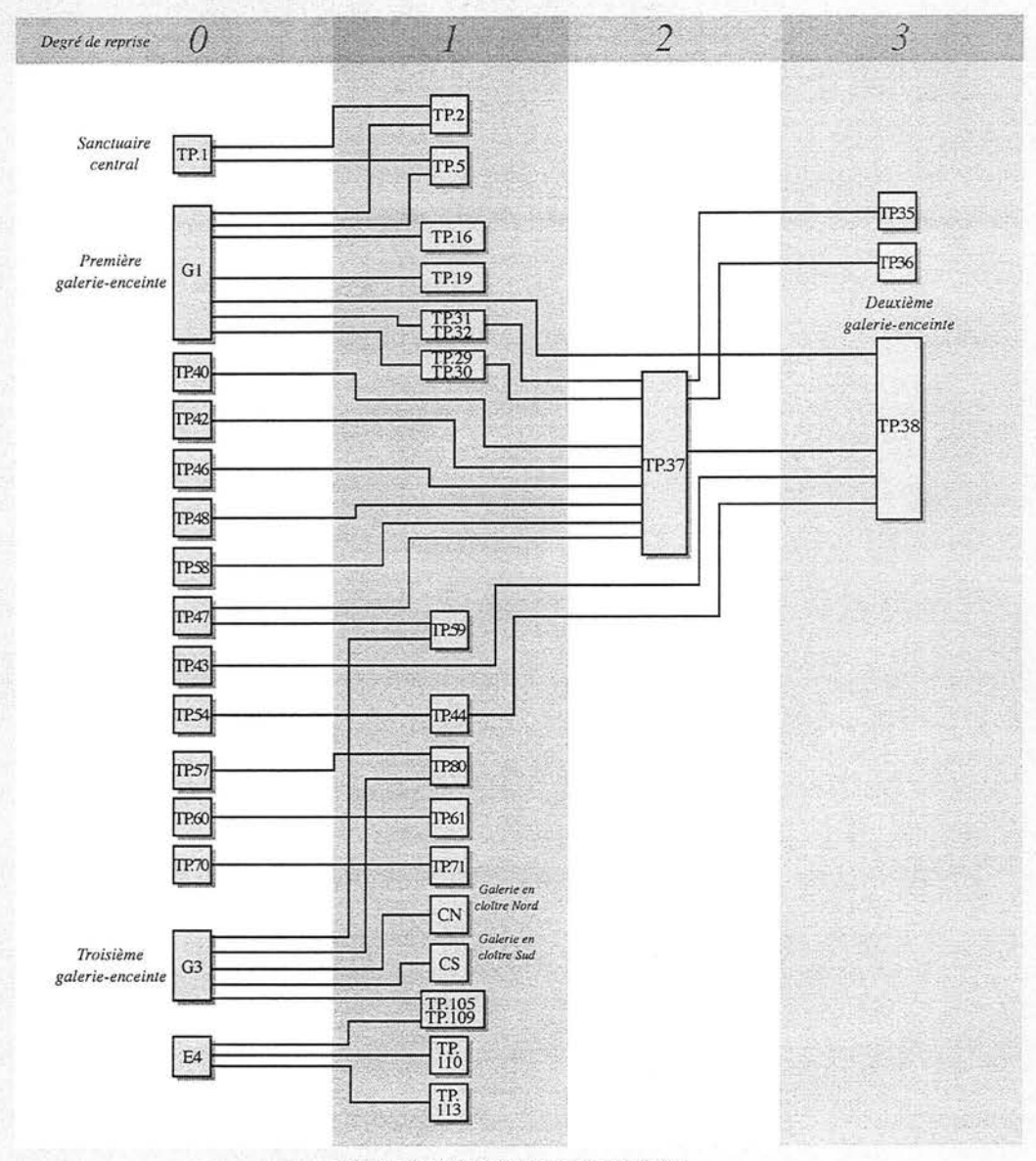
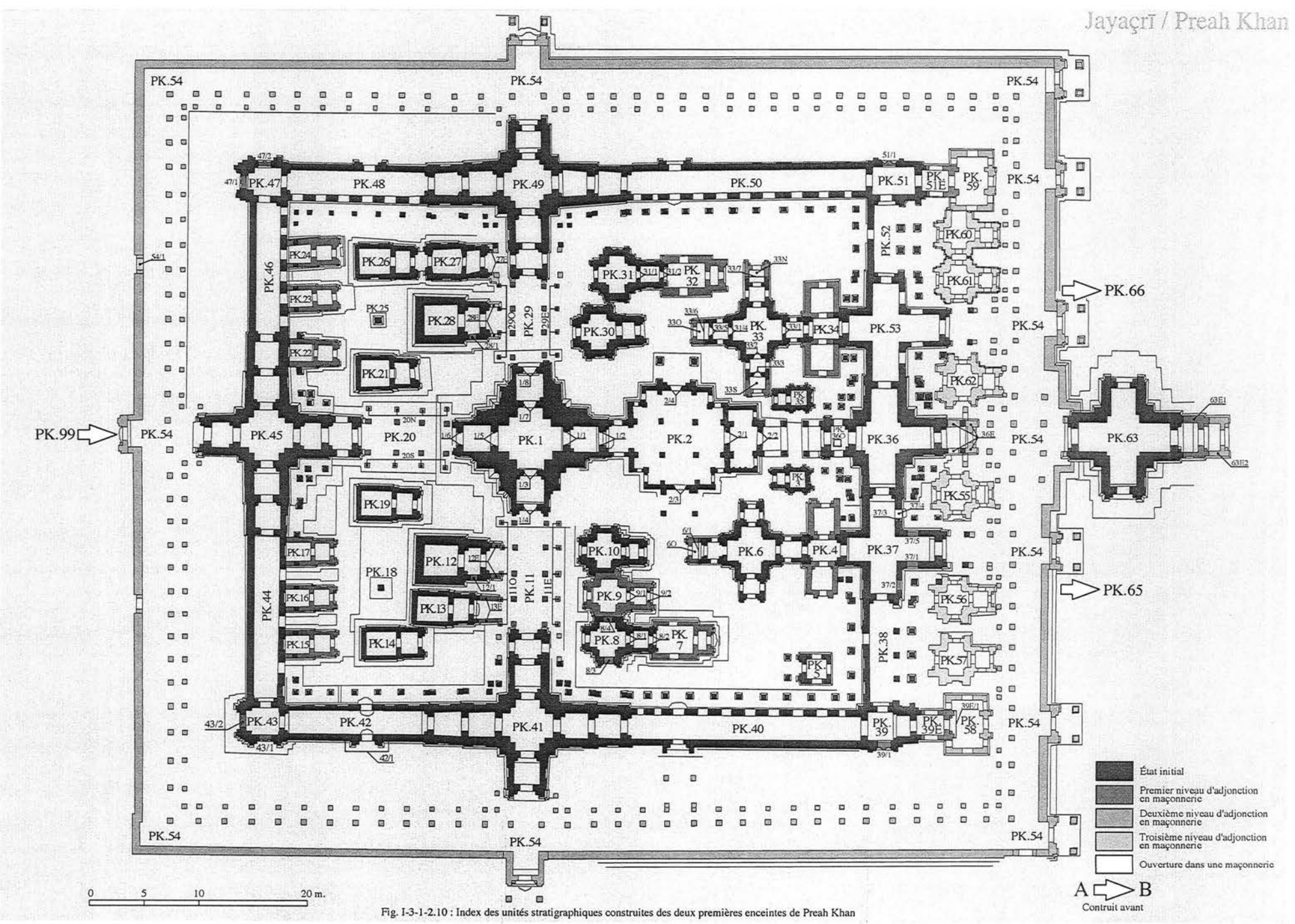


Fig. I-3-1-2.9 : Séquences des reprises de Ta Prohm



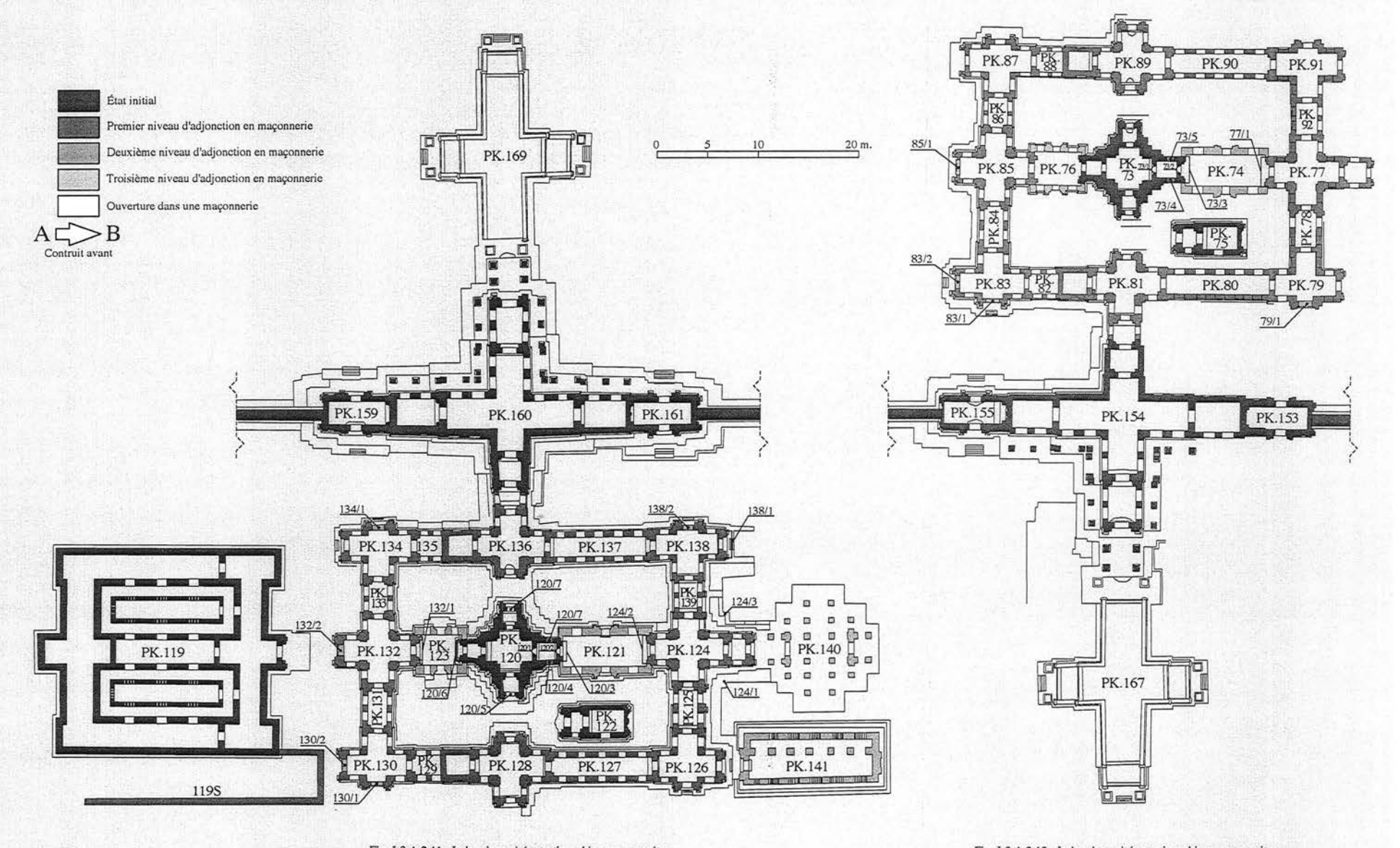


Fig. I-3-1-2.11: Index des unités stratigraphiques construites du complexe Nord de Preah Khan (troisième enceinte)

Fig. I-3-1-2.12 : Index des unités stratigraphiques construites du complexe Sud de Preah Khan (troisième enceinte)

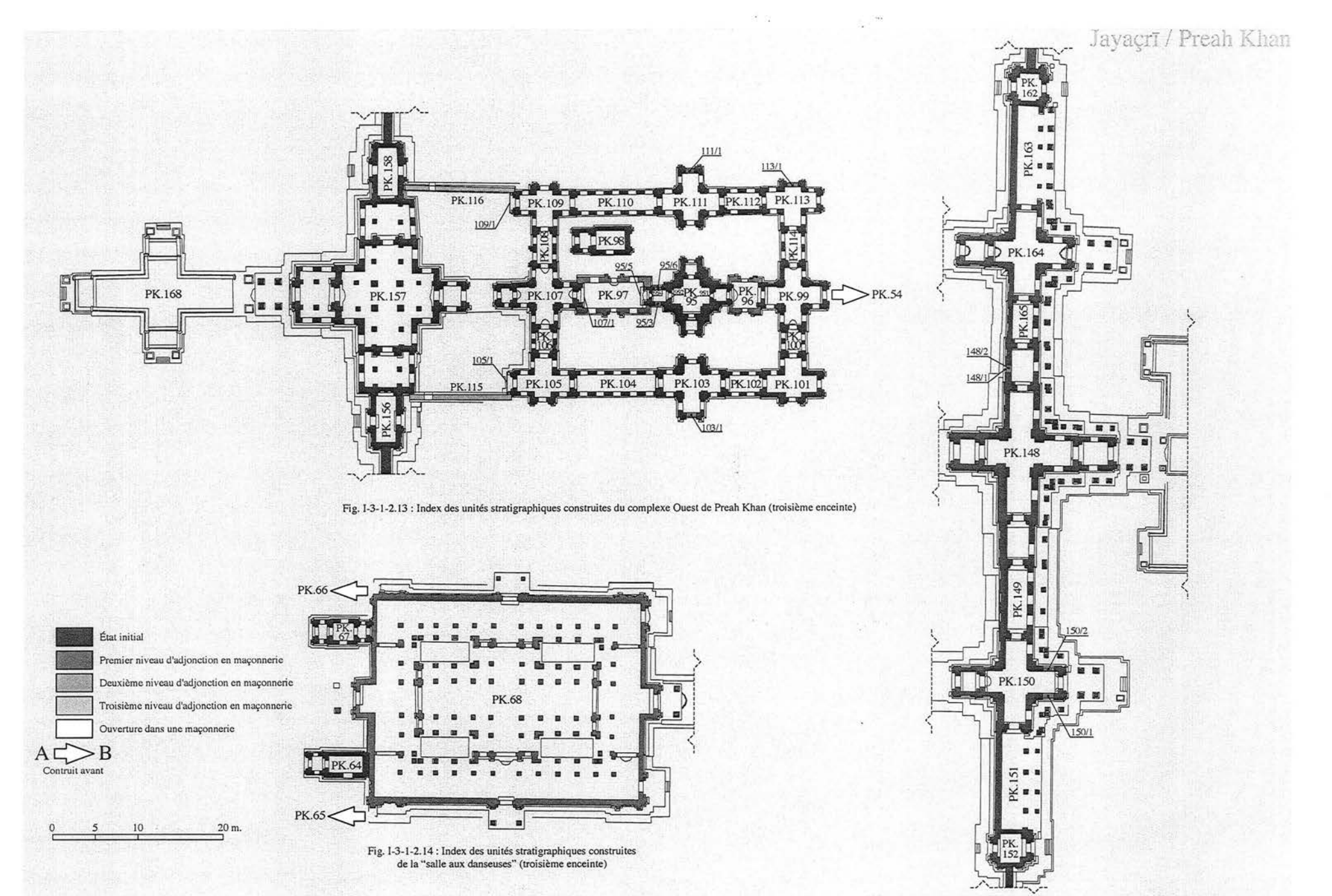
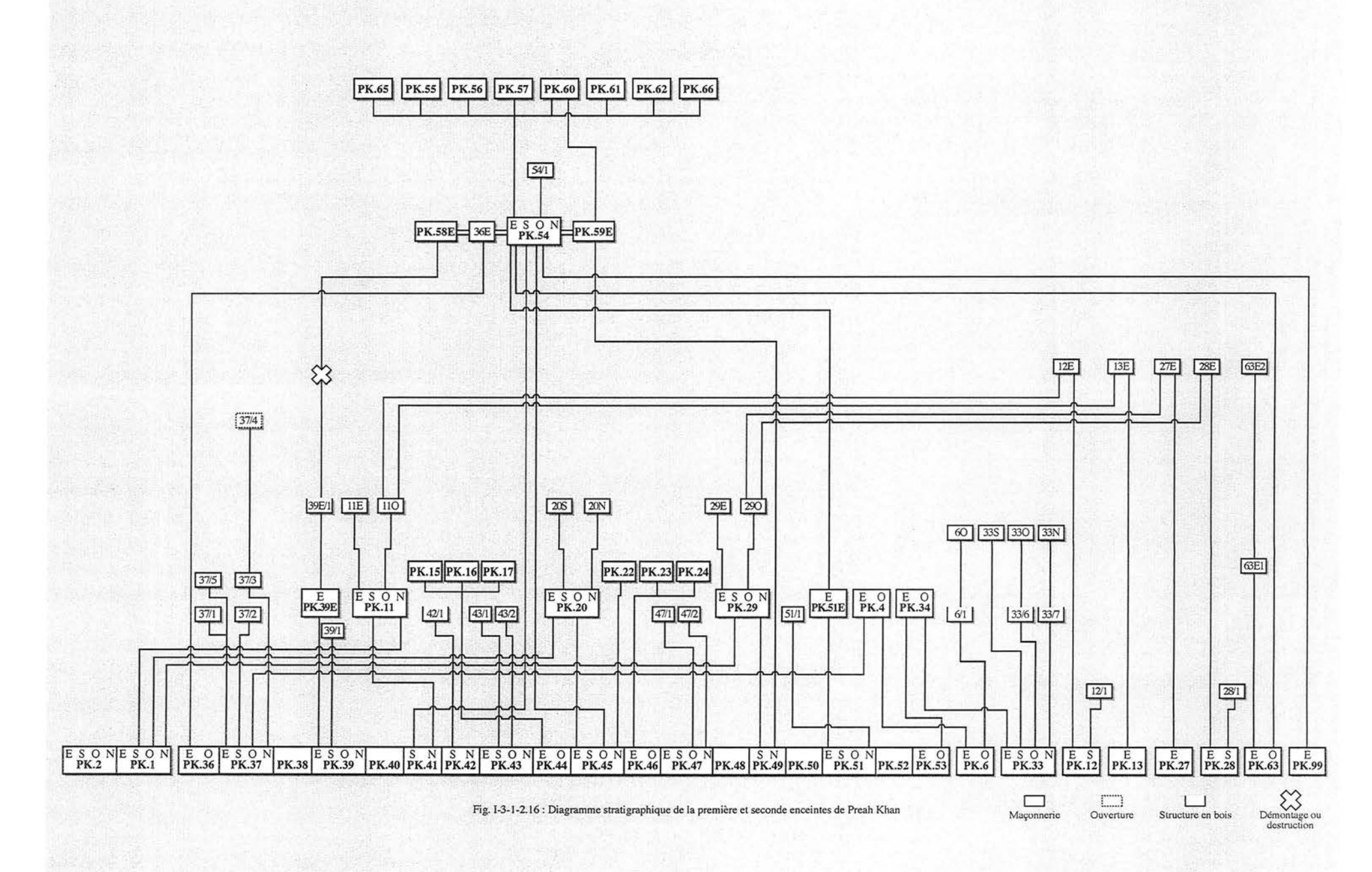


Fig. 1-3-1-2.15 : Index des unités stratigraphiques construites des pavillons d'entrées Est de la troisième enceinte de Preah Khan



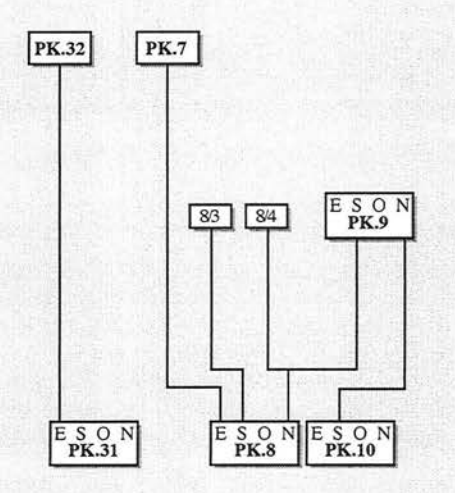


Fig. I-3-1-2.17 : Diagramme stratigraphique des tours PK.8, PK.10 et PK.31

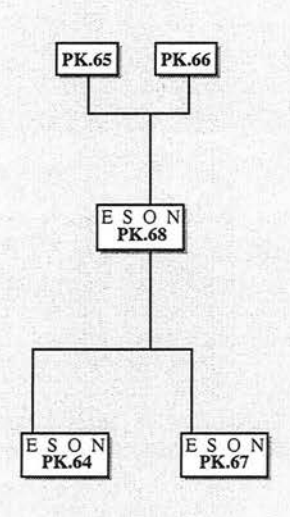


Fig. I-3-1-2.18 : Diagramme stratigraphique de la "salle aux danseuses"

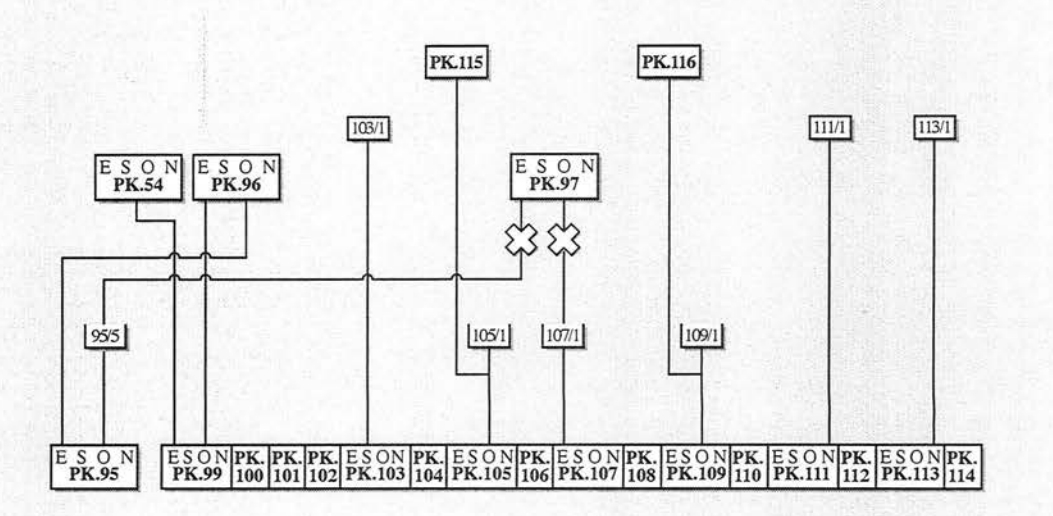


Fig. I-3-1-2.19 : Diagramme stratigraphique du complexe Ouest de Preah Khan

Maçonnerie

Ouverture

Structure en bois



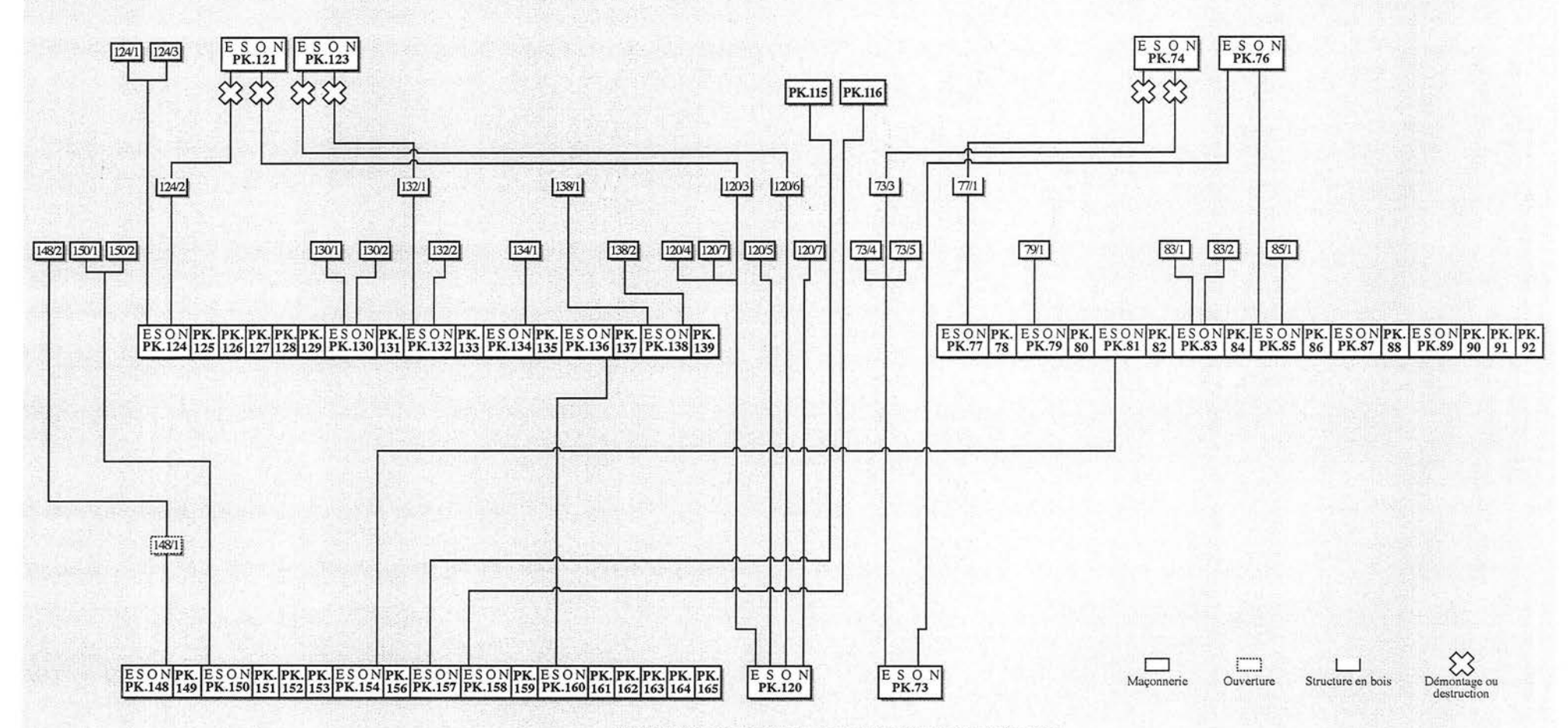


Fig. I-3-1-2.20 : Diagramme stratigraphique de la troisième enceinte de Preah Khan

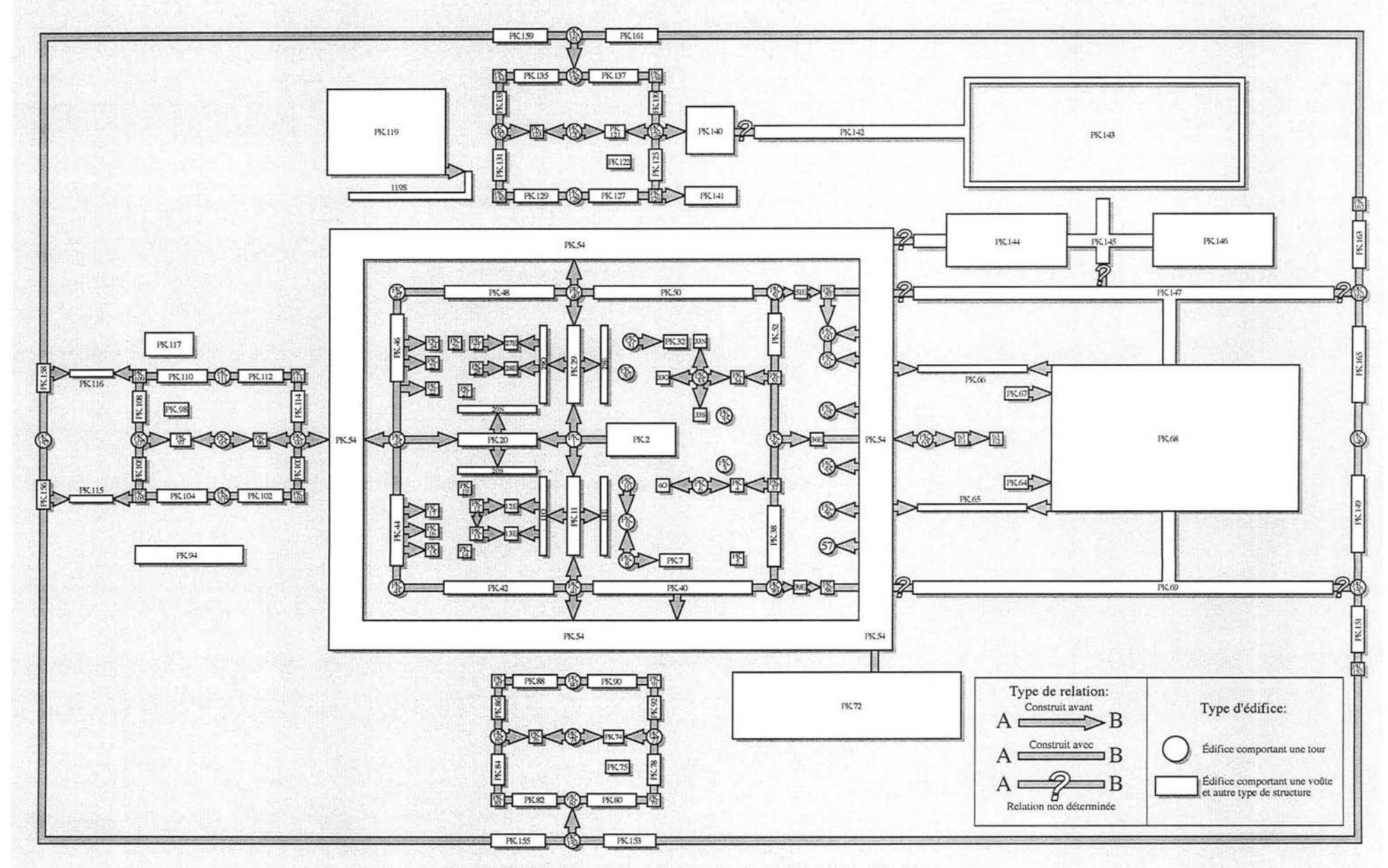


Fig. I-3-1-2.21 : Diagramme des relations structurelles dans la troisième enceinte de Preah Khan

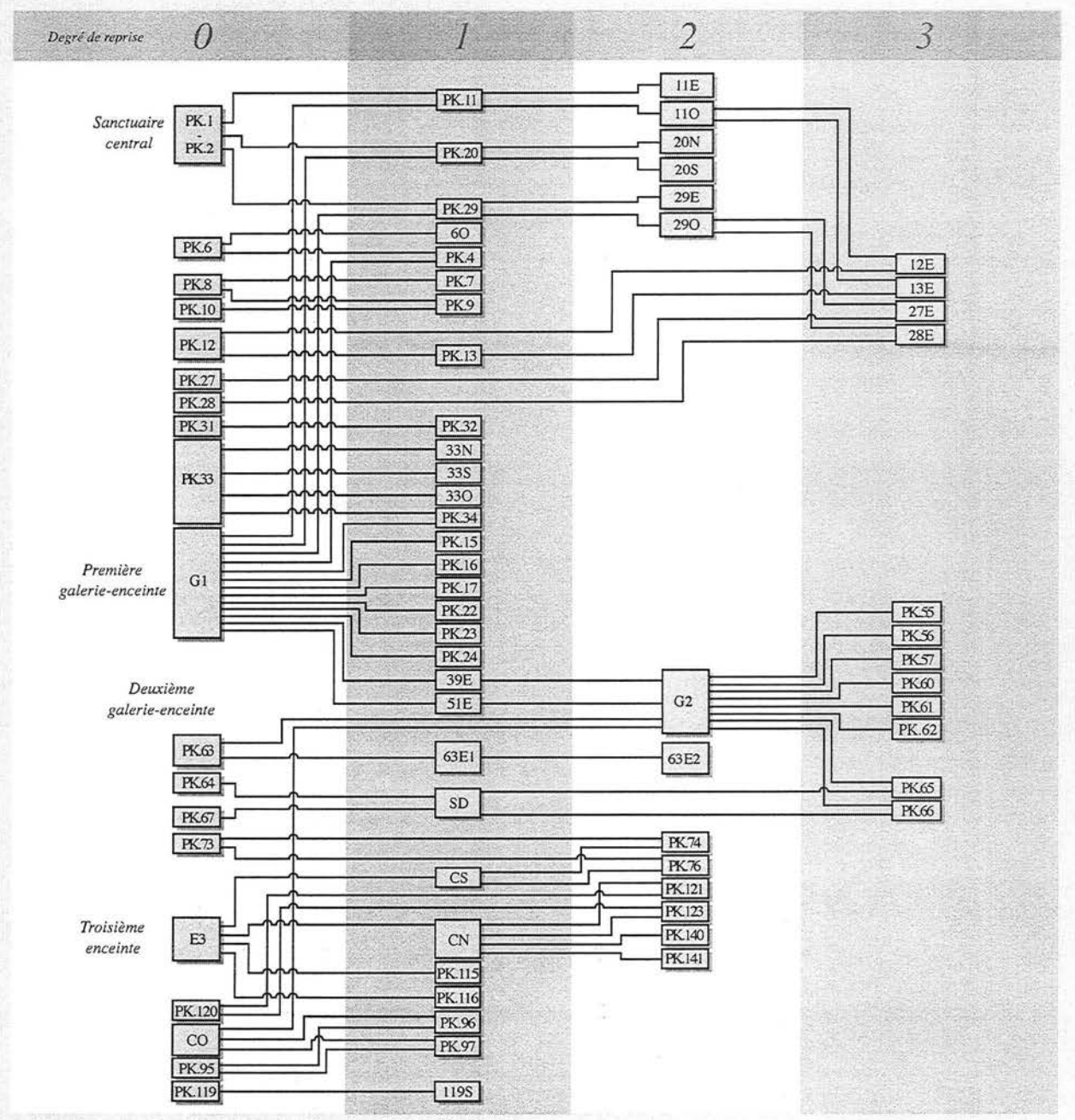
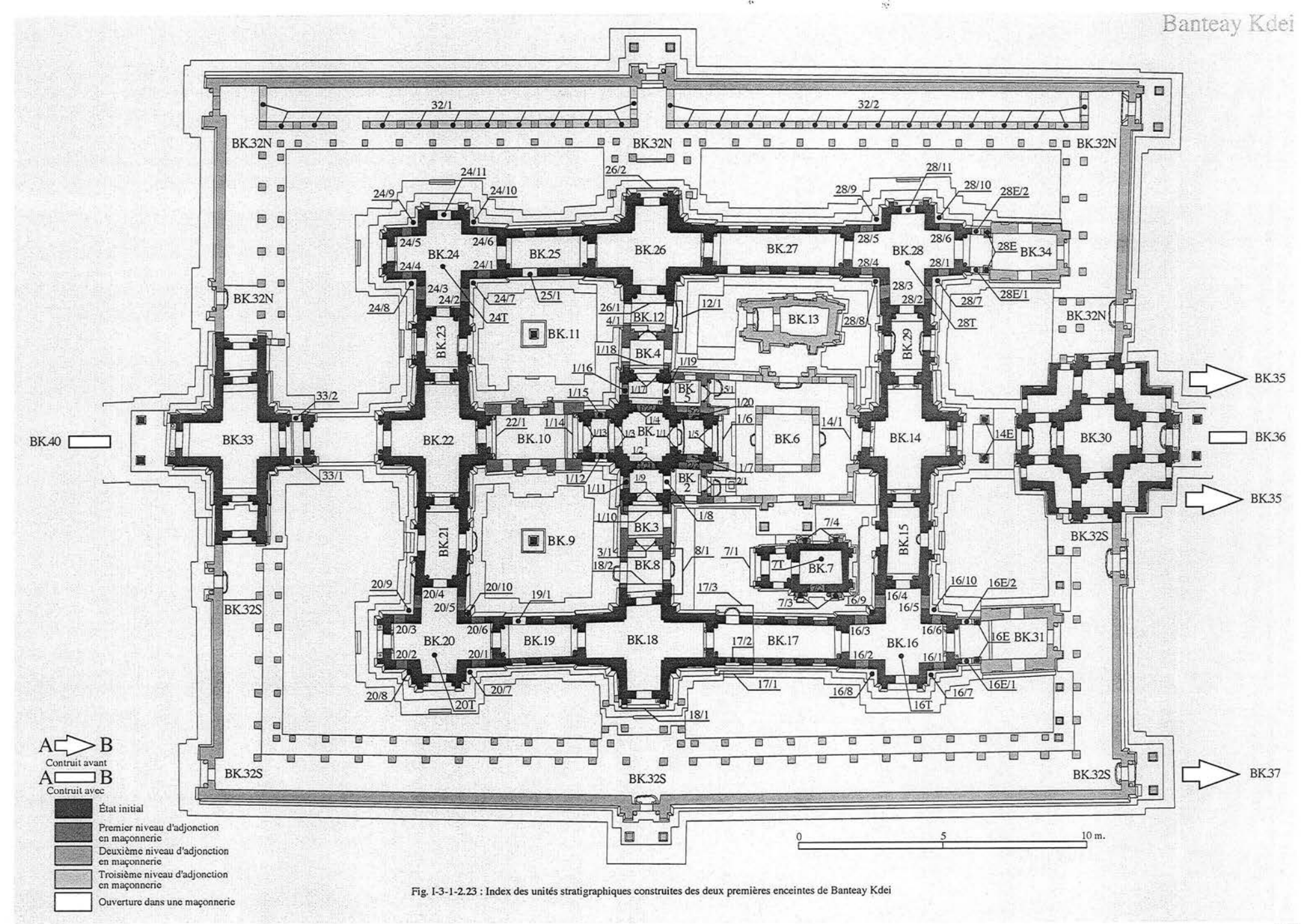
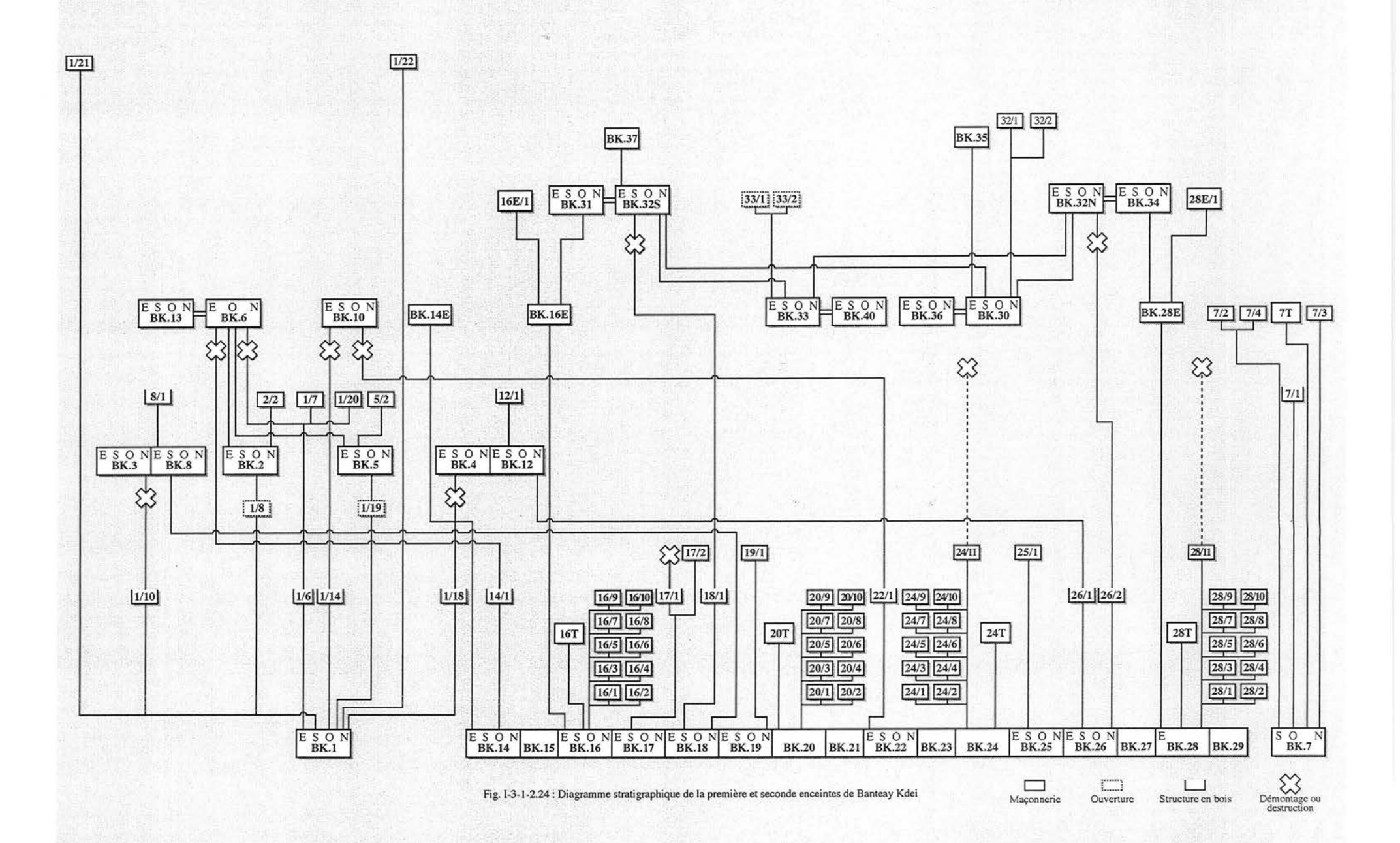


Fig. I-3-1-2.22 : Séquences des reprises de Preah Khan





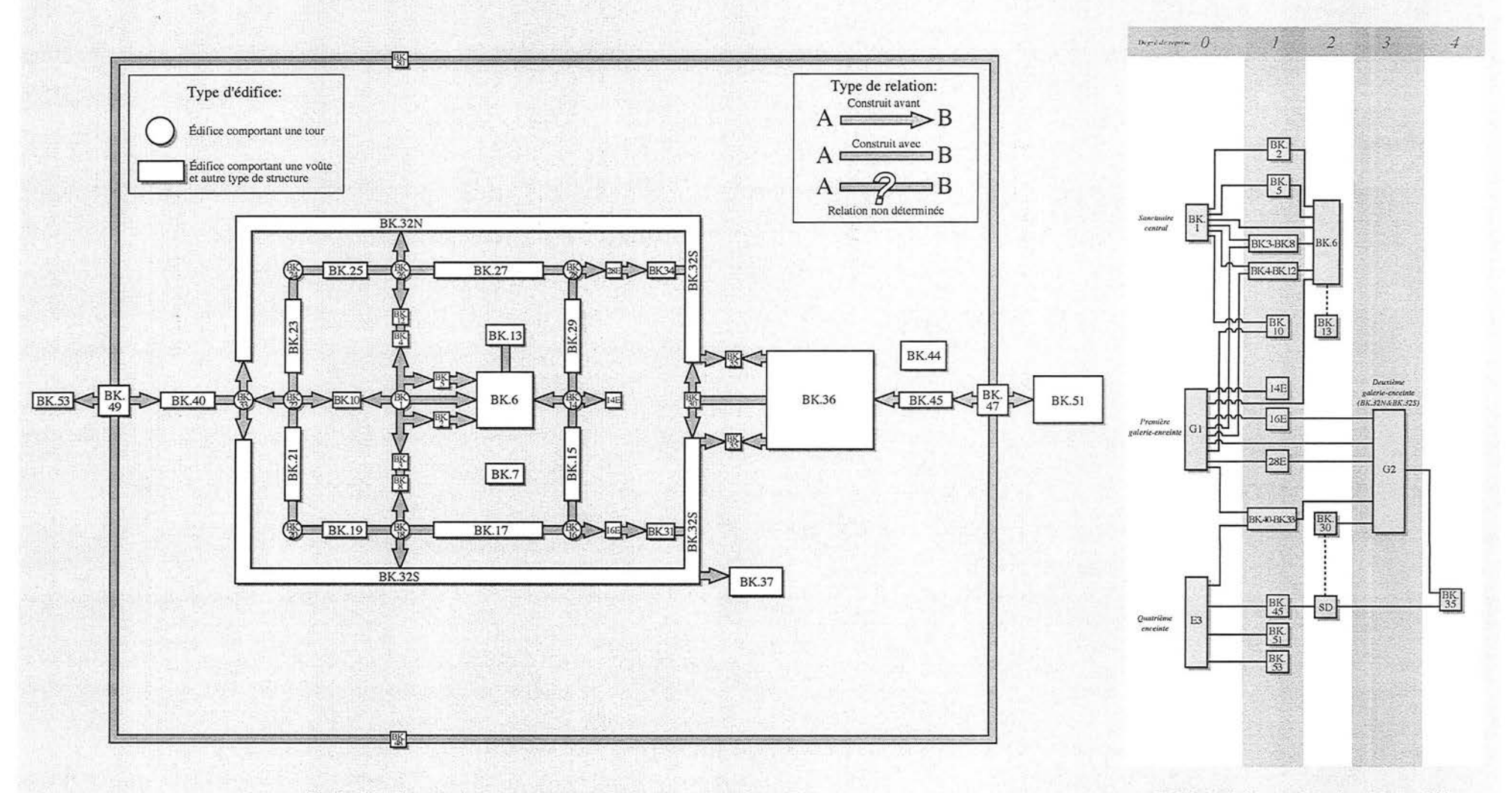


Fig. I-3-1-2.25 : Diagramme des relations structurelles dans la deuxième enceinte de Banteay Kdei

Fig. 1-3-1-2.26 : Séquences des reprises de Banteay Kdei

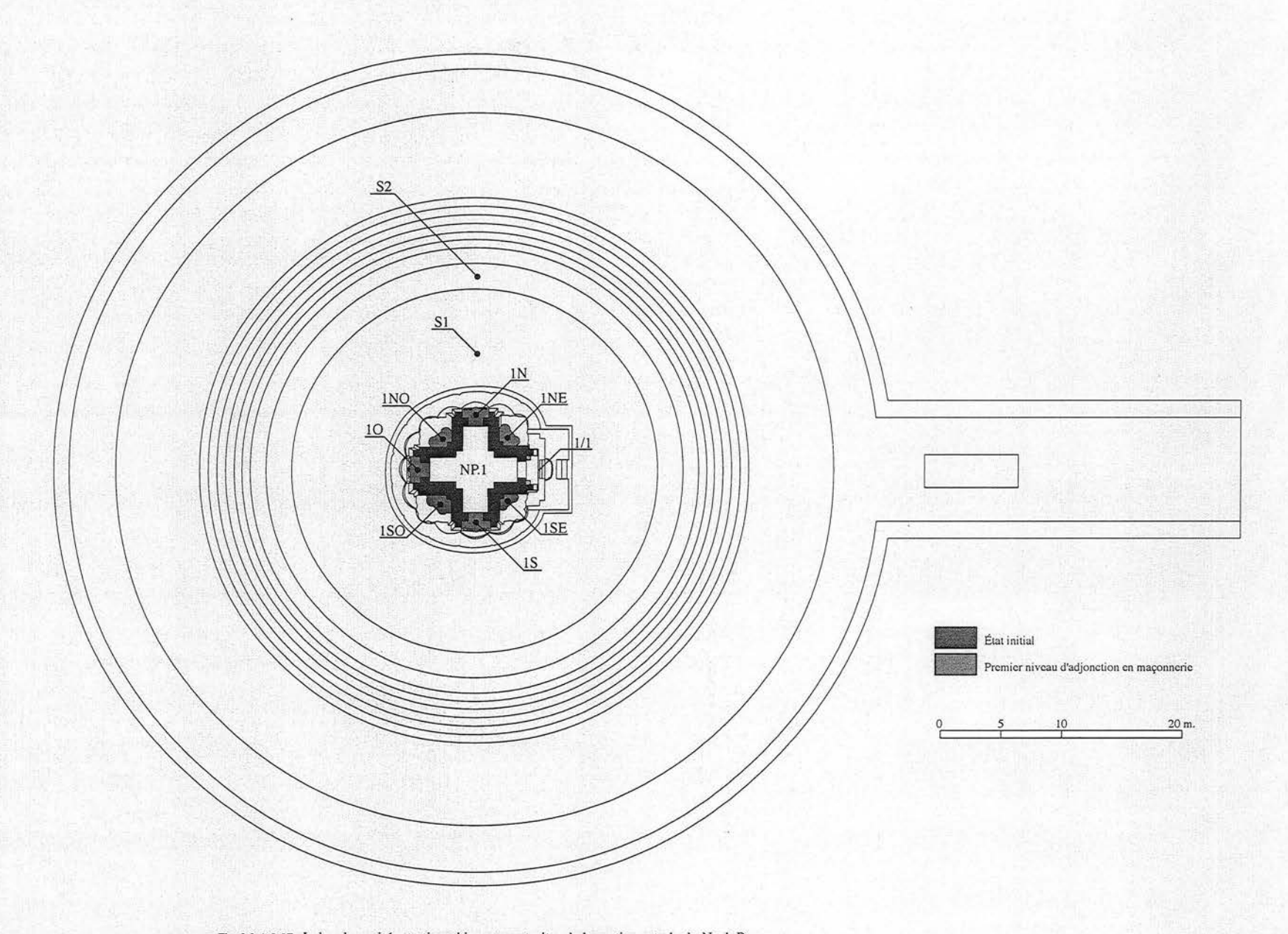
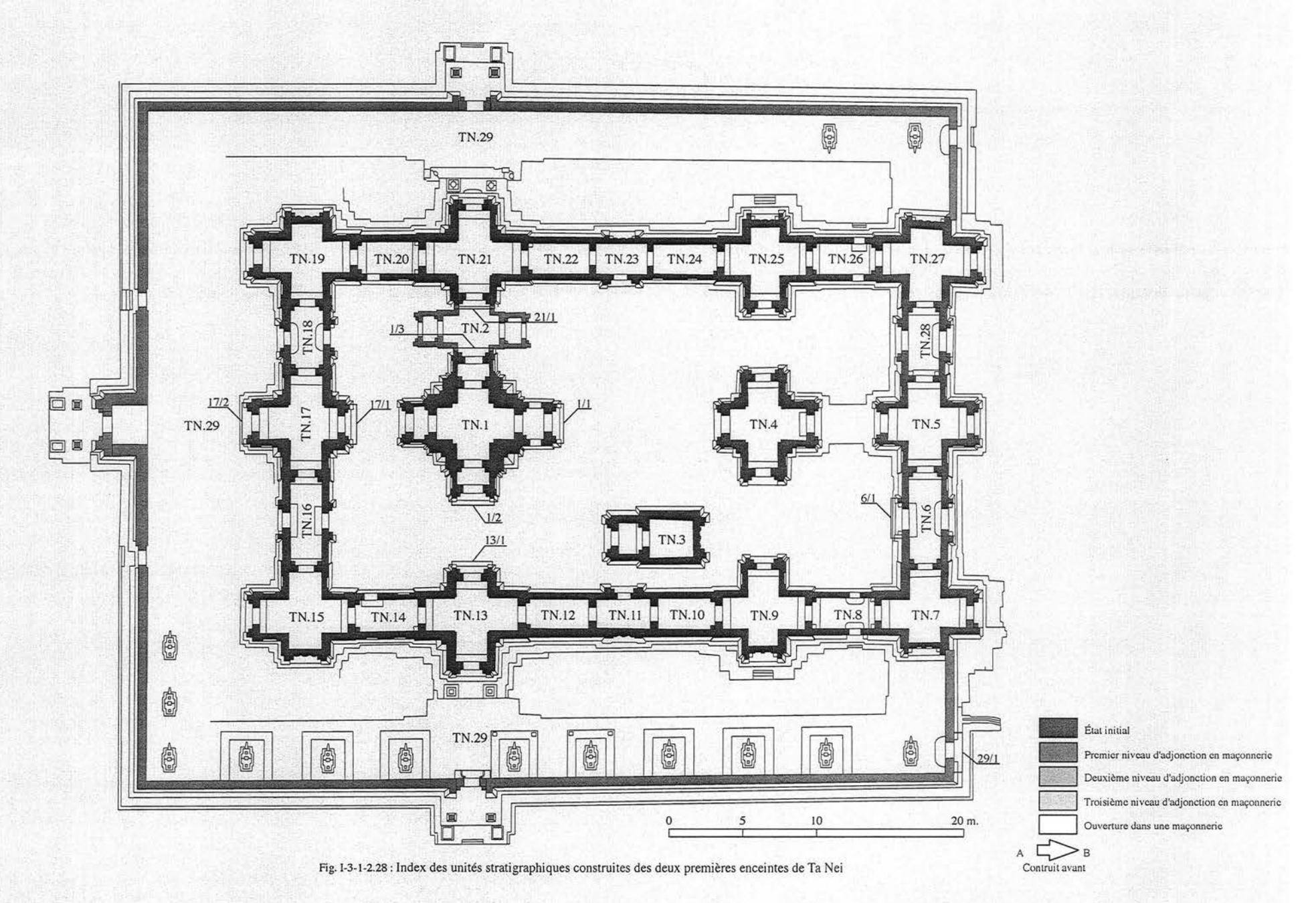


Fig. I-3-1-2.27 : Index des unités stratigraphiques construites de la partie centrale du Neak Pean



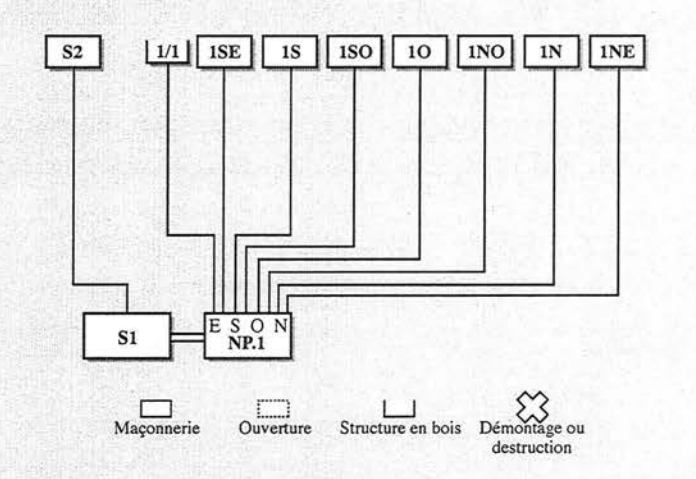


Fig. I-3-1-2.29 : Diagramme stratigraphique de la partie centrale du Neak Pean.

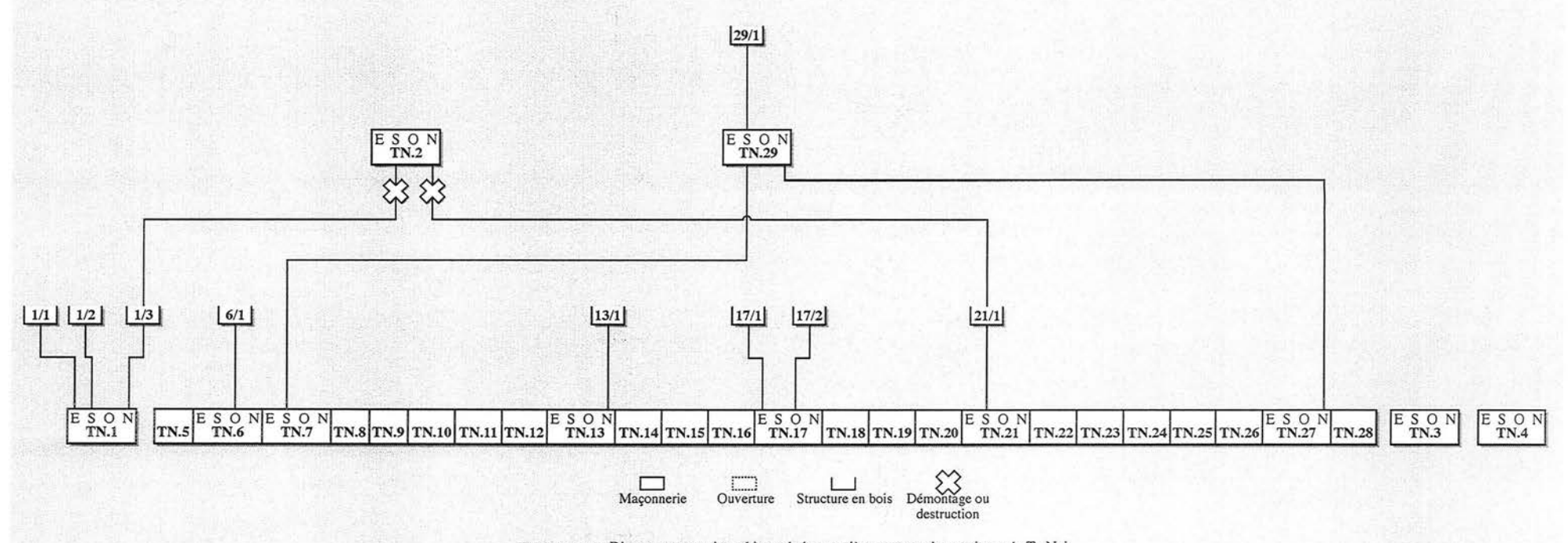


Fig. I-3-1-2.30 : Diagramme stratigraphique de la première et seconde enceintes de Ta Nei.

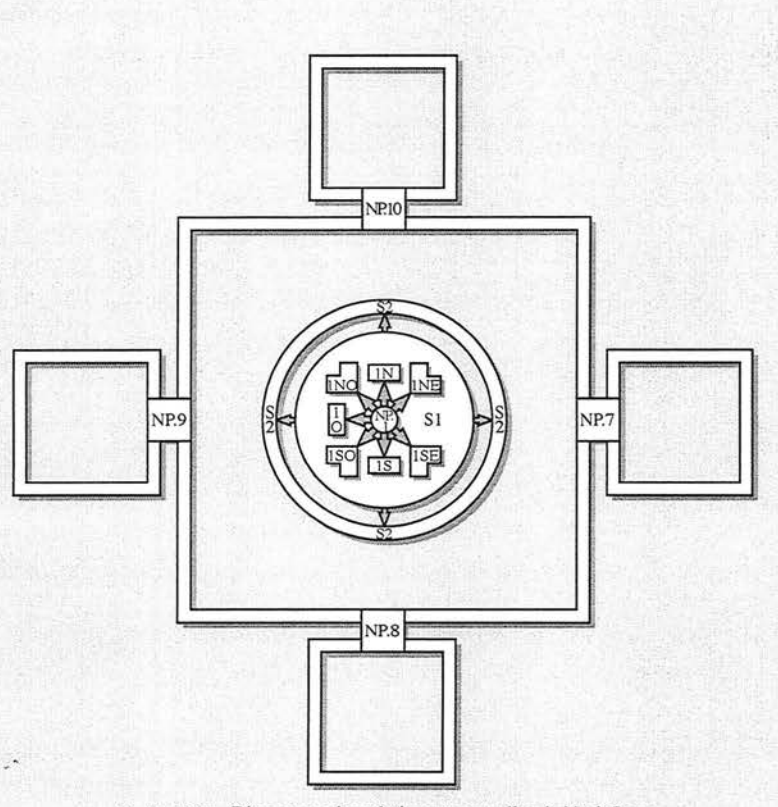


Fig. I-3-1-2.31 : Diagramme des relations structurelles du Neak Pean

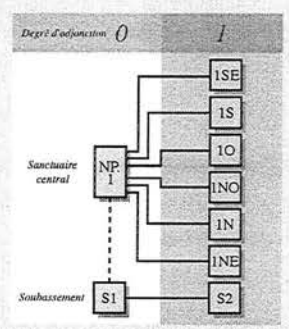


Fig. I-3-1-2.32 : Séquences d'adjonctions du Neak Pean

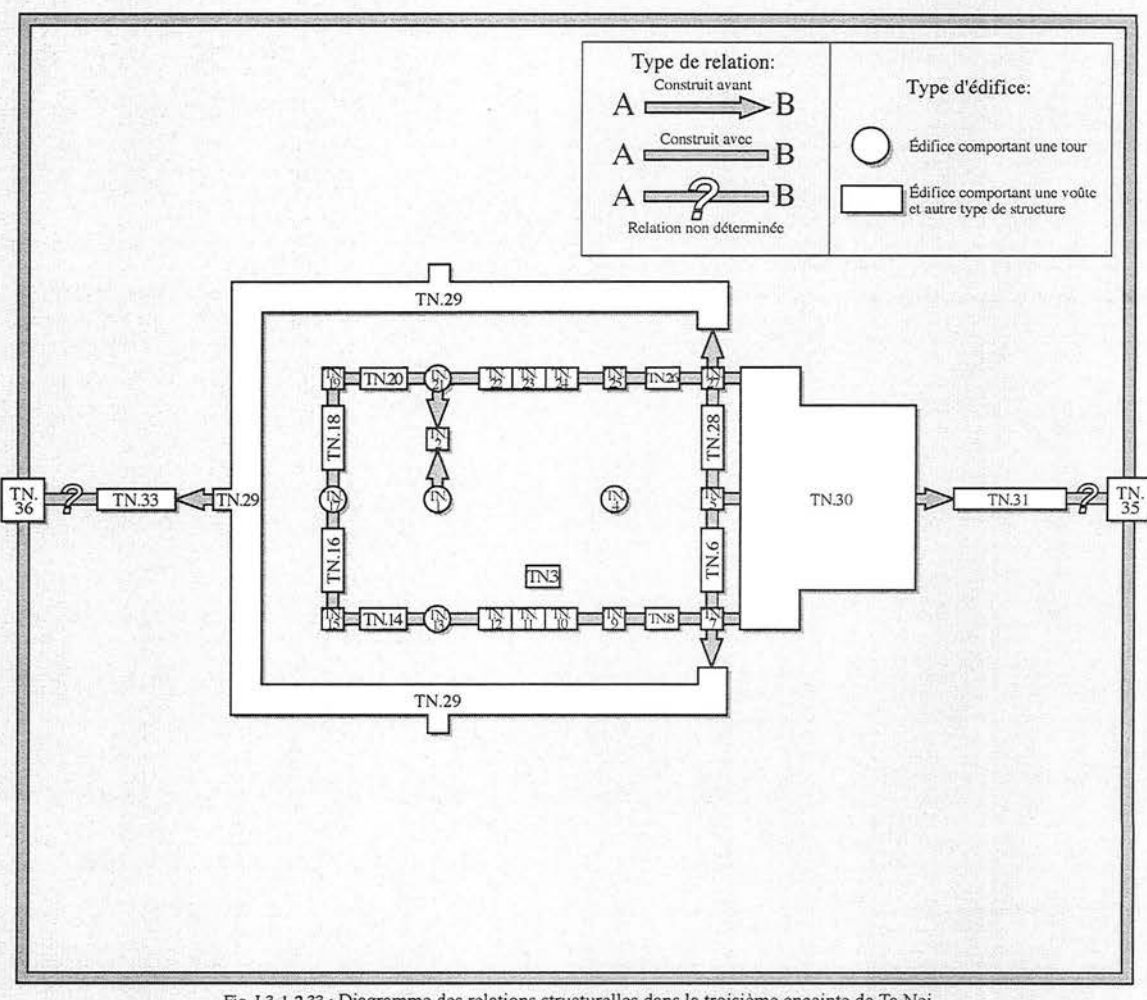


Fig. I-3-1-2.33 : Diagramme des relations structurelles dans la troisième enceinte de Ta Nei

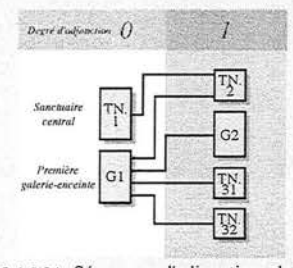


Fig. 1-3-1-2.34 : Séquences d'adjonctions de Ta Nei

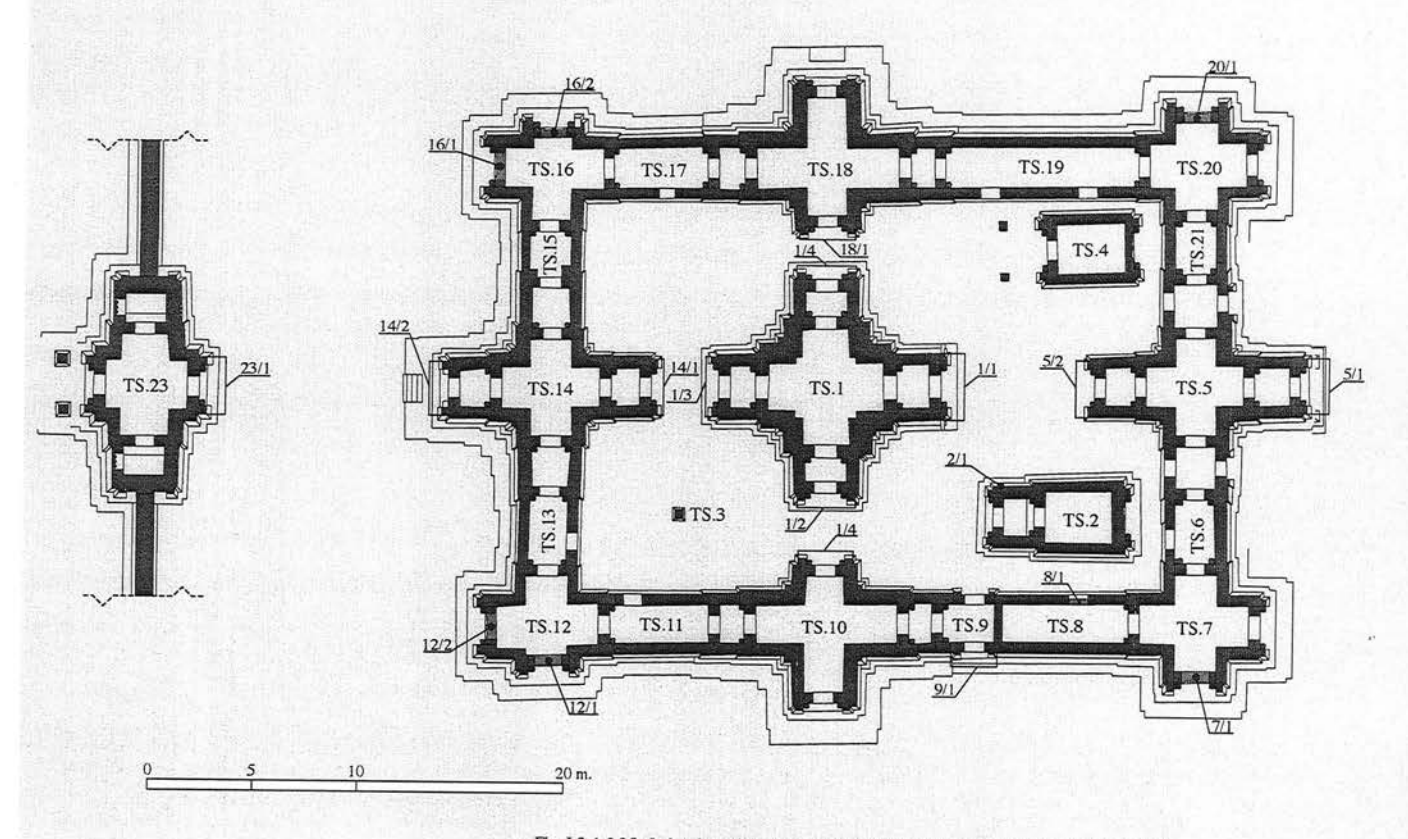
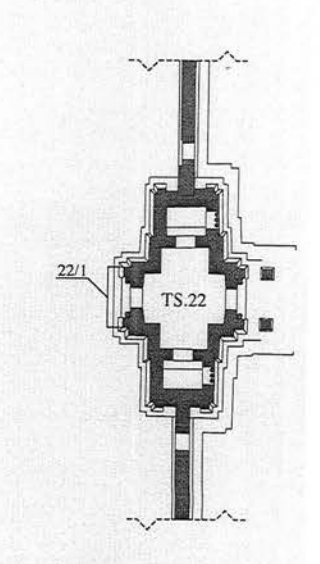
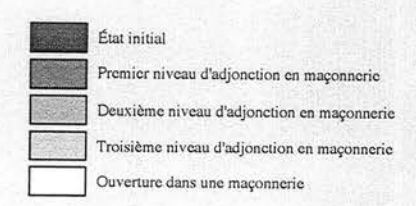
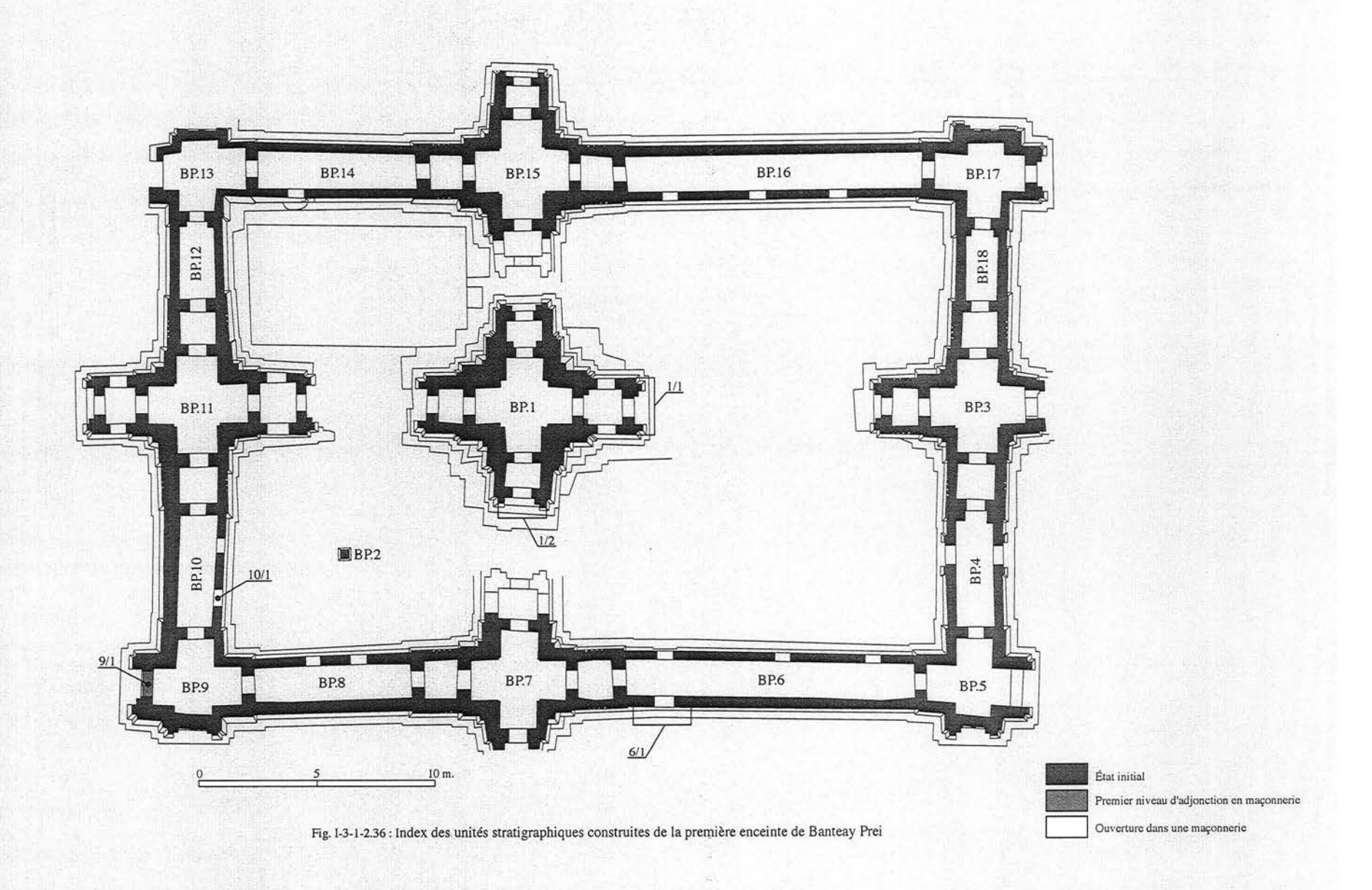
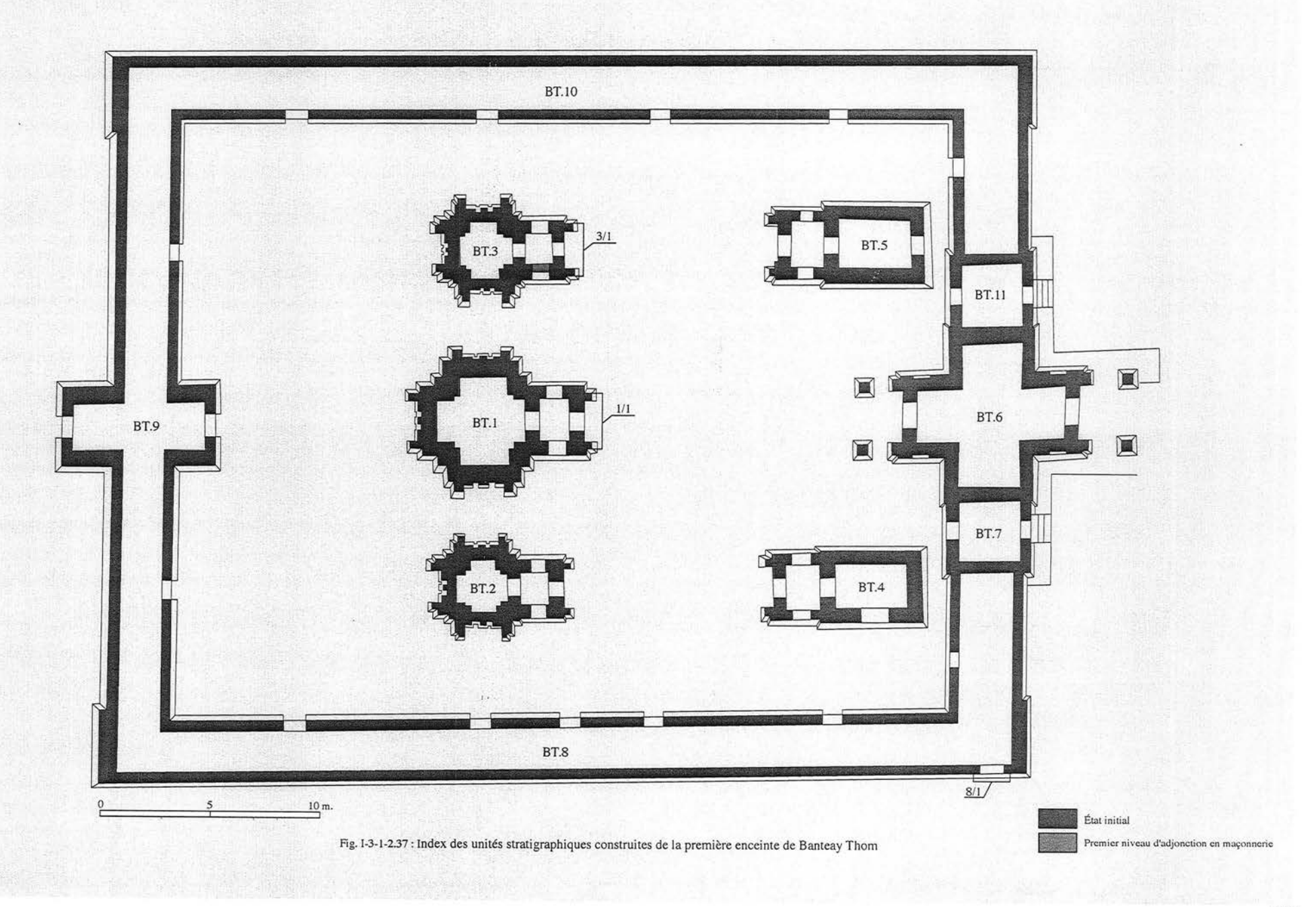


Fig. I-3-1-2.35 : Index des unités stratigraphiques construites de la première enceinte de Ta Som

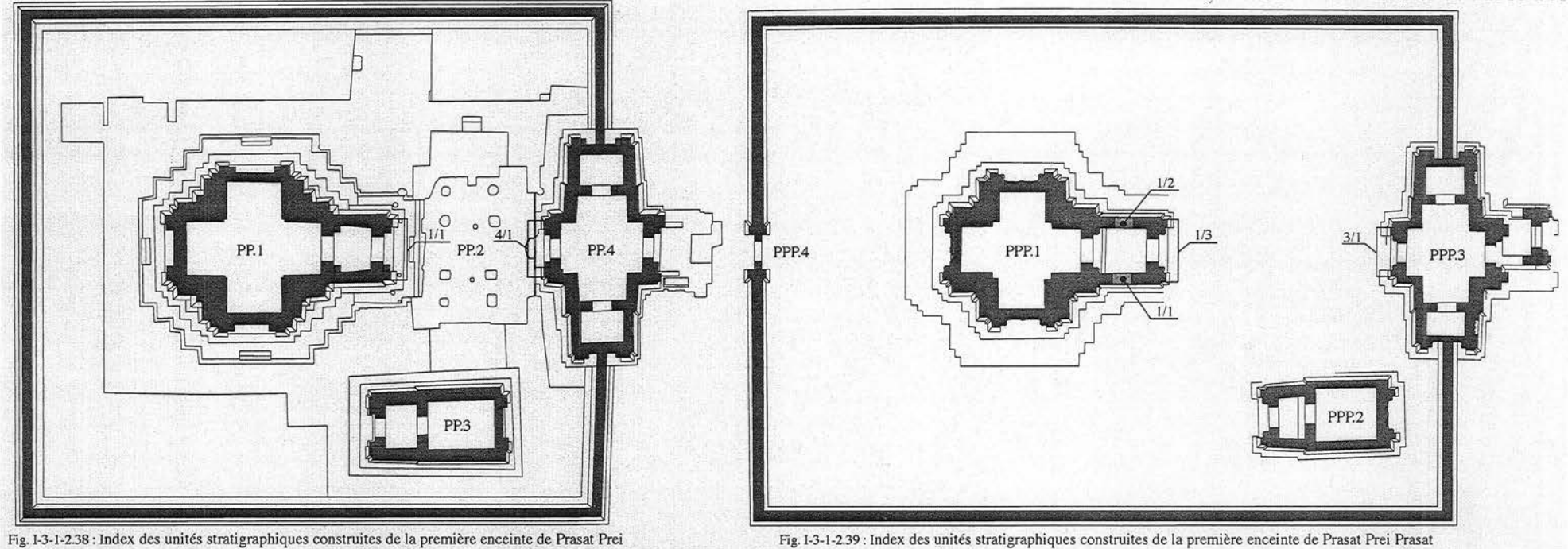


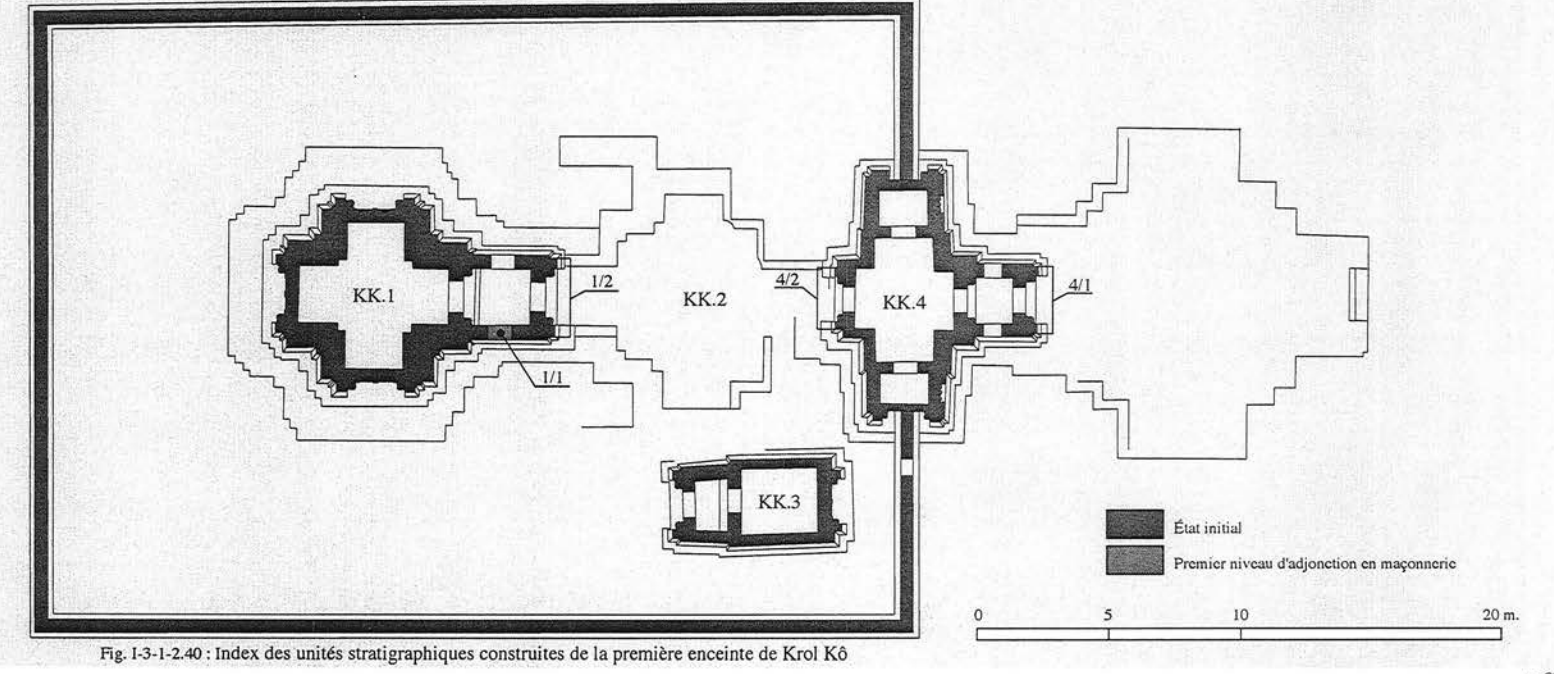






Prasat Prei, Prasat Prei Prasat & Krol Kô





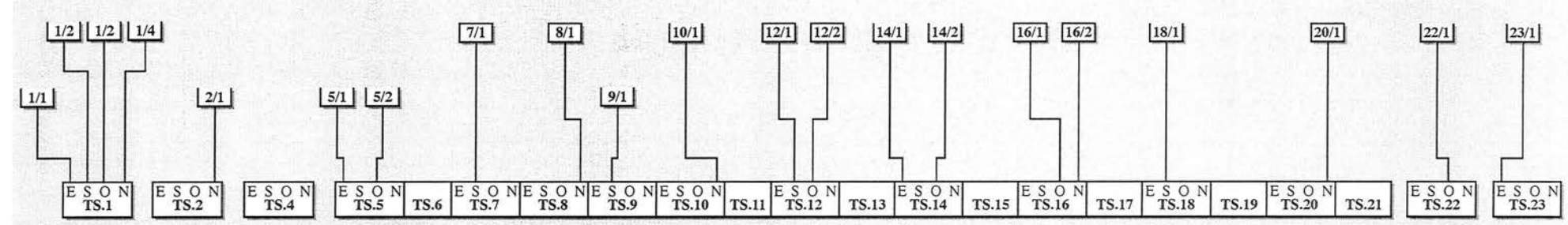


Fig. 1-3-1-2.41 : Diagramme stratigraphique des deux premières enceintes de Ta Som

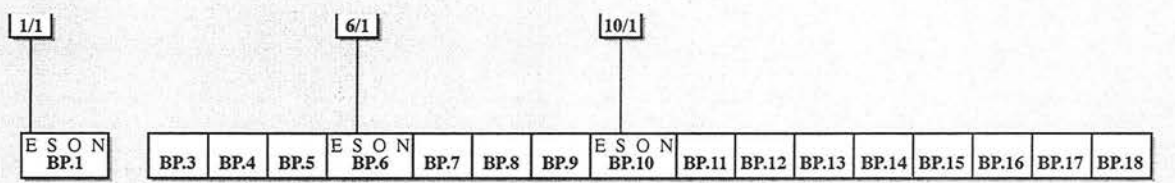


Fig. I-3-1-2.42 : Diagramme stratigraphique de la première enceinte de Banteay Prei

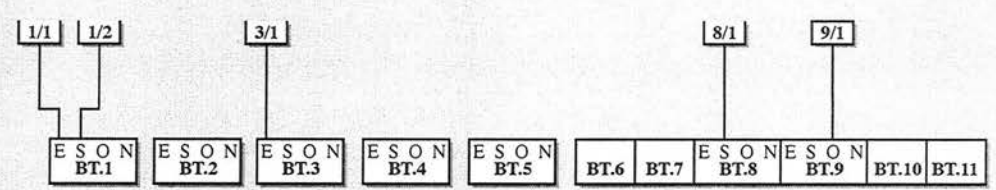


Fig. I-3-1-2.43 : Diagramme stratigraphique de la première enceinte de Banteay Thom

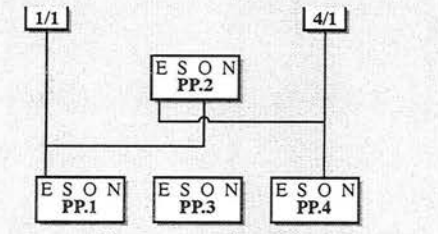


Fig. I-3-1-2.44 : Diagramme stratigraphique de la première enceinte de Prasat Prei

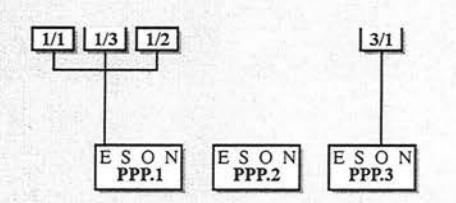


Fig. I-3-1-2.45 : Diagramme stratigraphique de la première enceinte de Prasat Prei Prasat

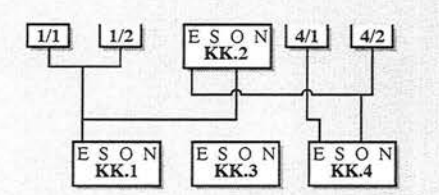


Fig. I-3-1-2.46 : Diagramme stratigraphique de la première enceinte de Krol Kô

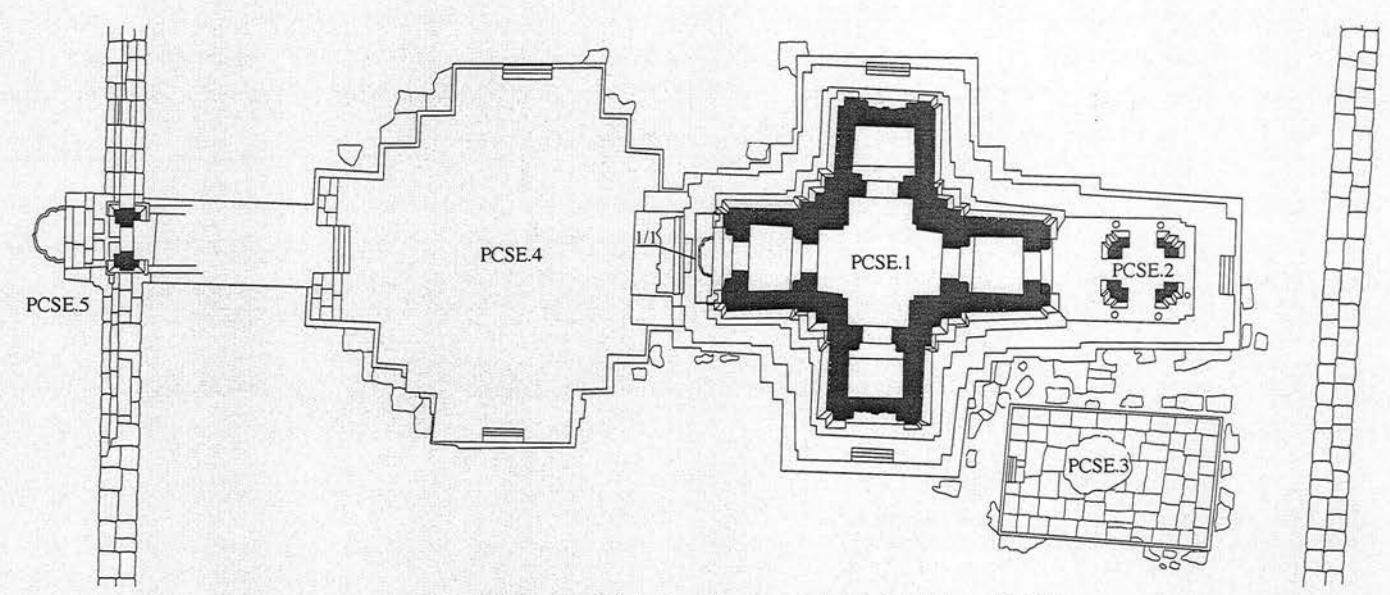
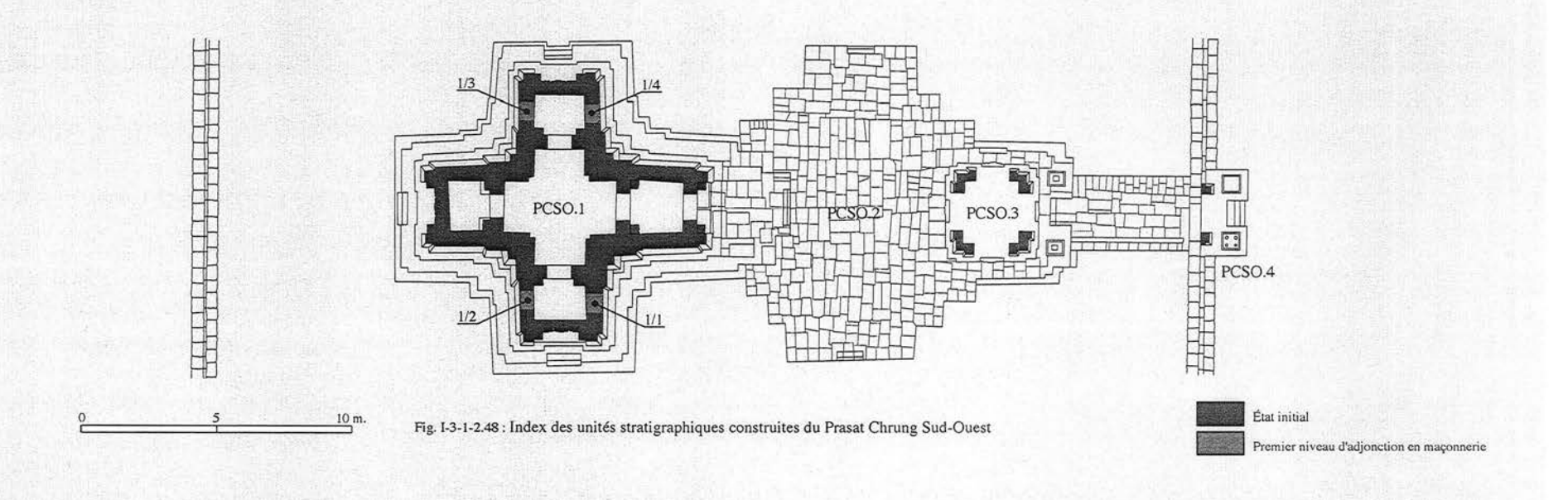


Fig. 1-3-1-2.47 : Index des unités stratigraphiques construites du Prasat Chrung Sud-Est



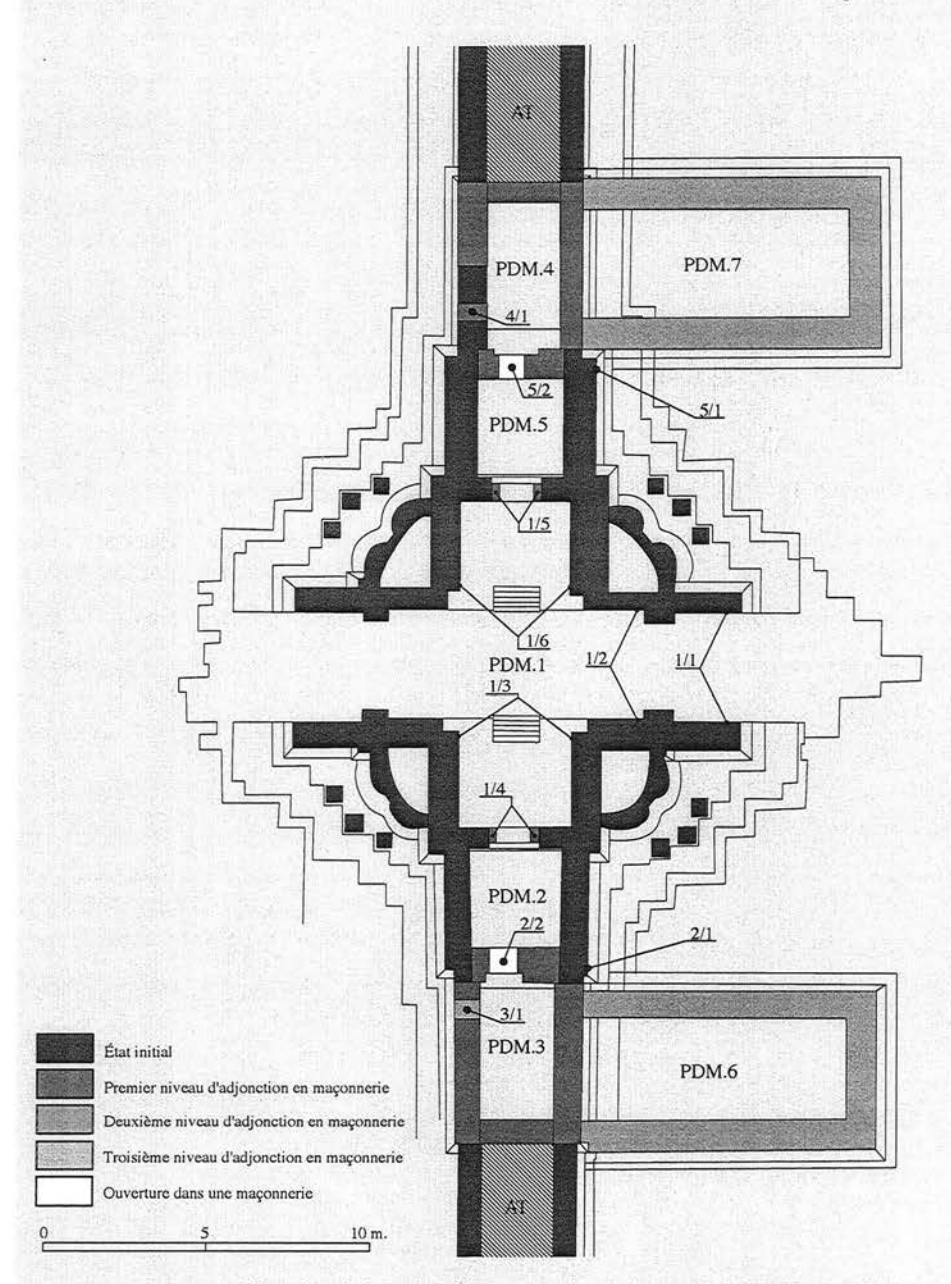


Fig. I-3-1-2.49 : Index des unités stratigraphiques construites de la porte des Morts d'Angkor Thom

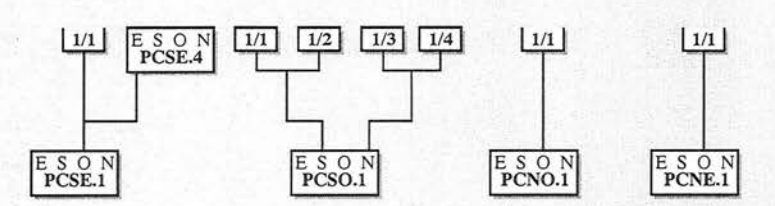


Fig. I-3-1-2.50: Diagramme stratigraphique des Prasat Chrung Sud-Est, Sud-Ouest, Nord-Ouest et Nord-Est

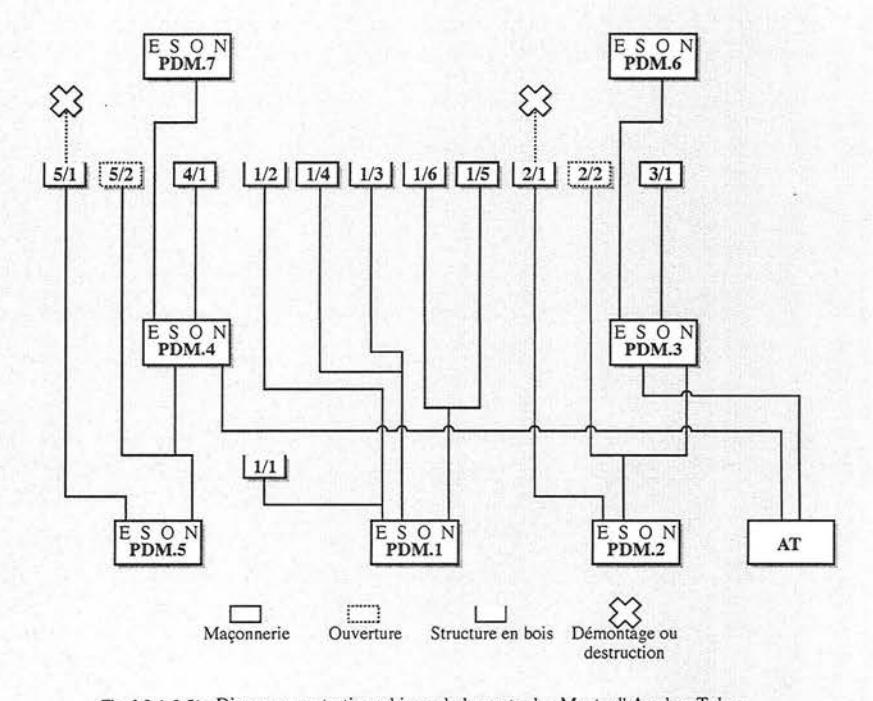
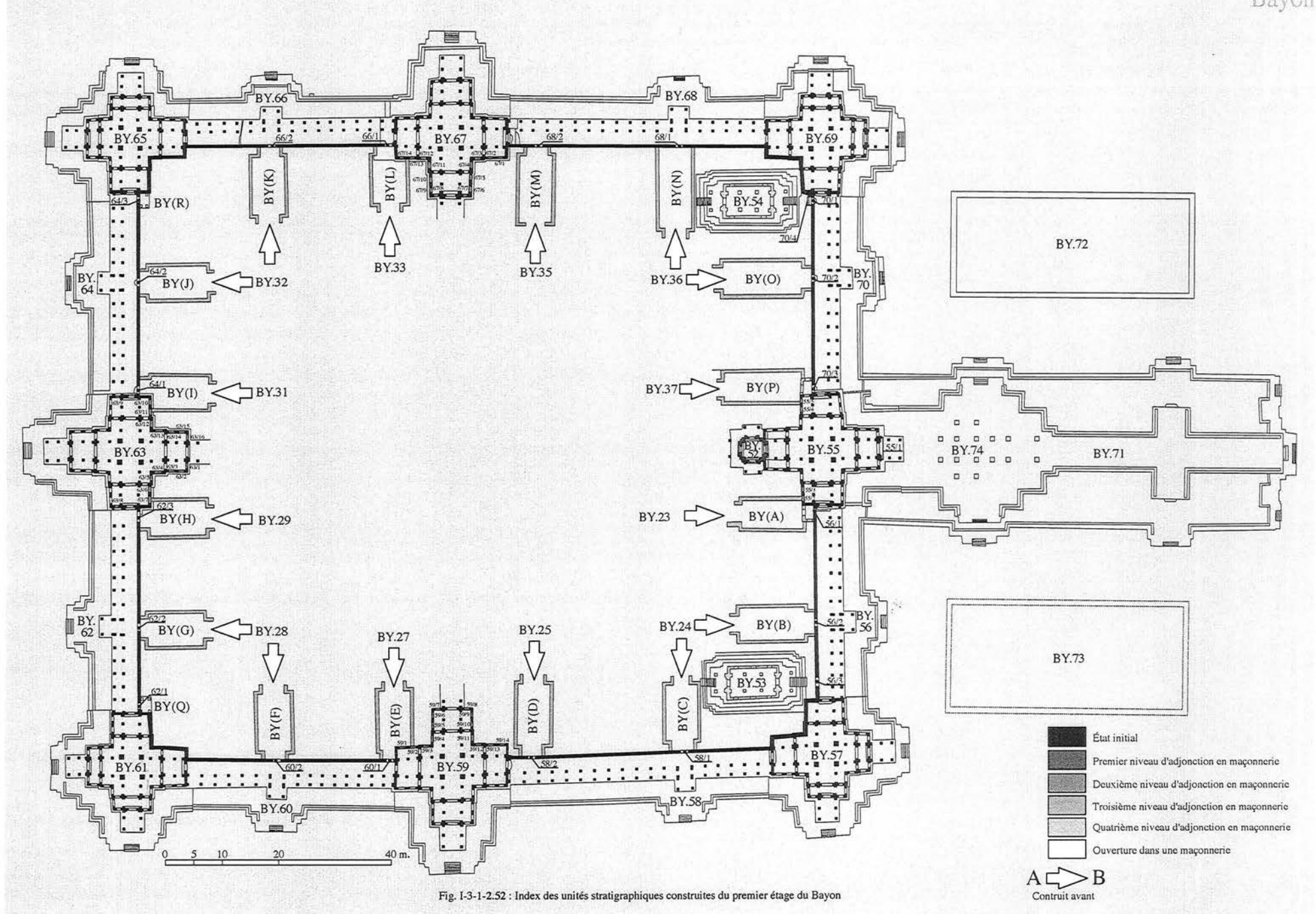
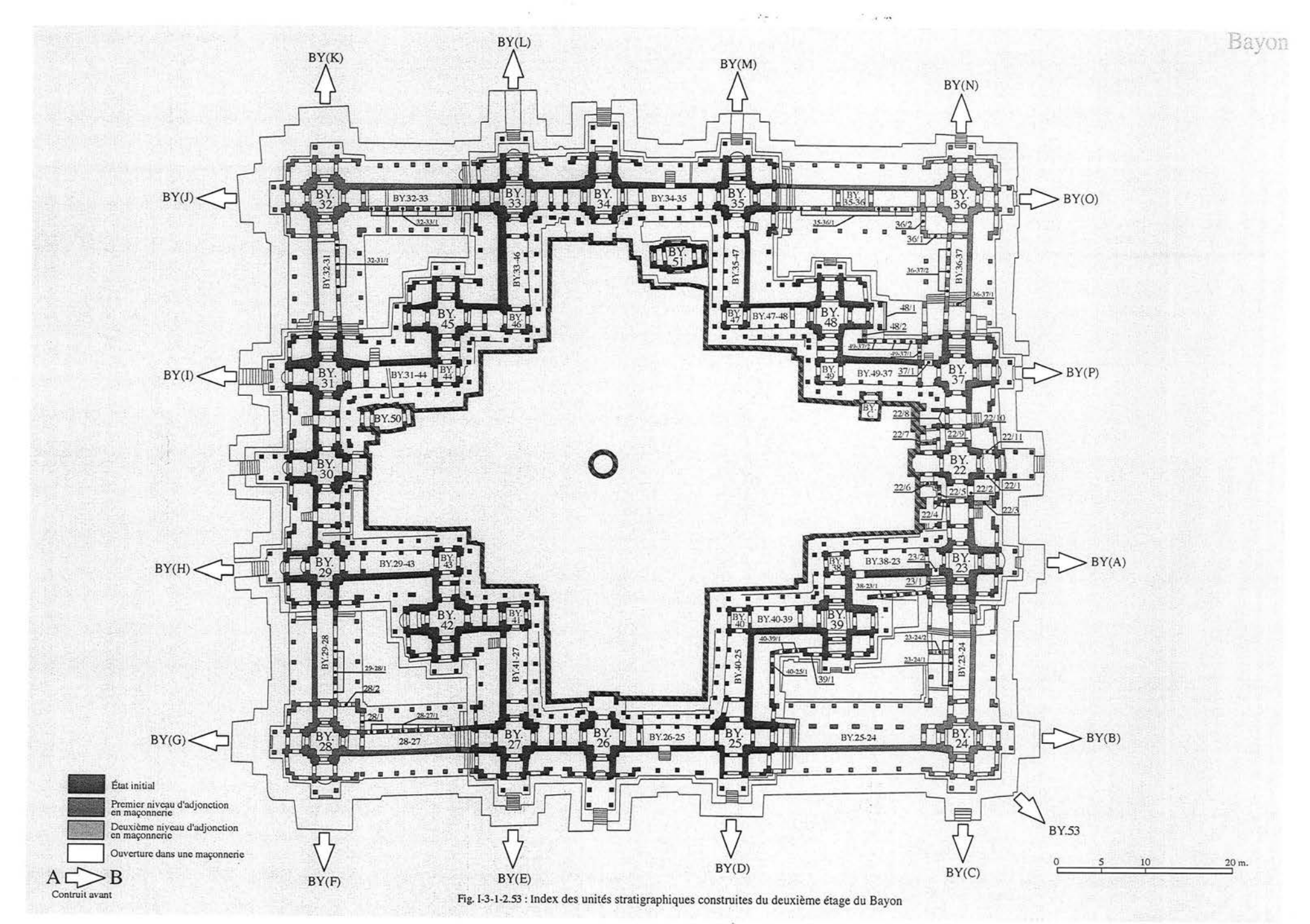


Fig. I-3-1-2.51 : Diagramme stratigraphique de la porte des Morts d' Angkor Tohm





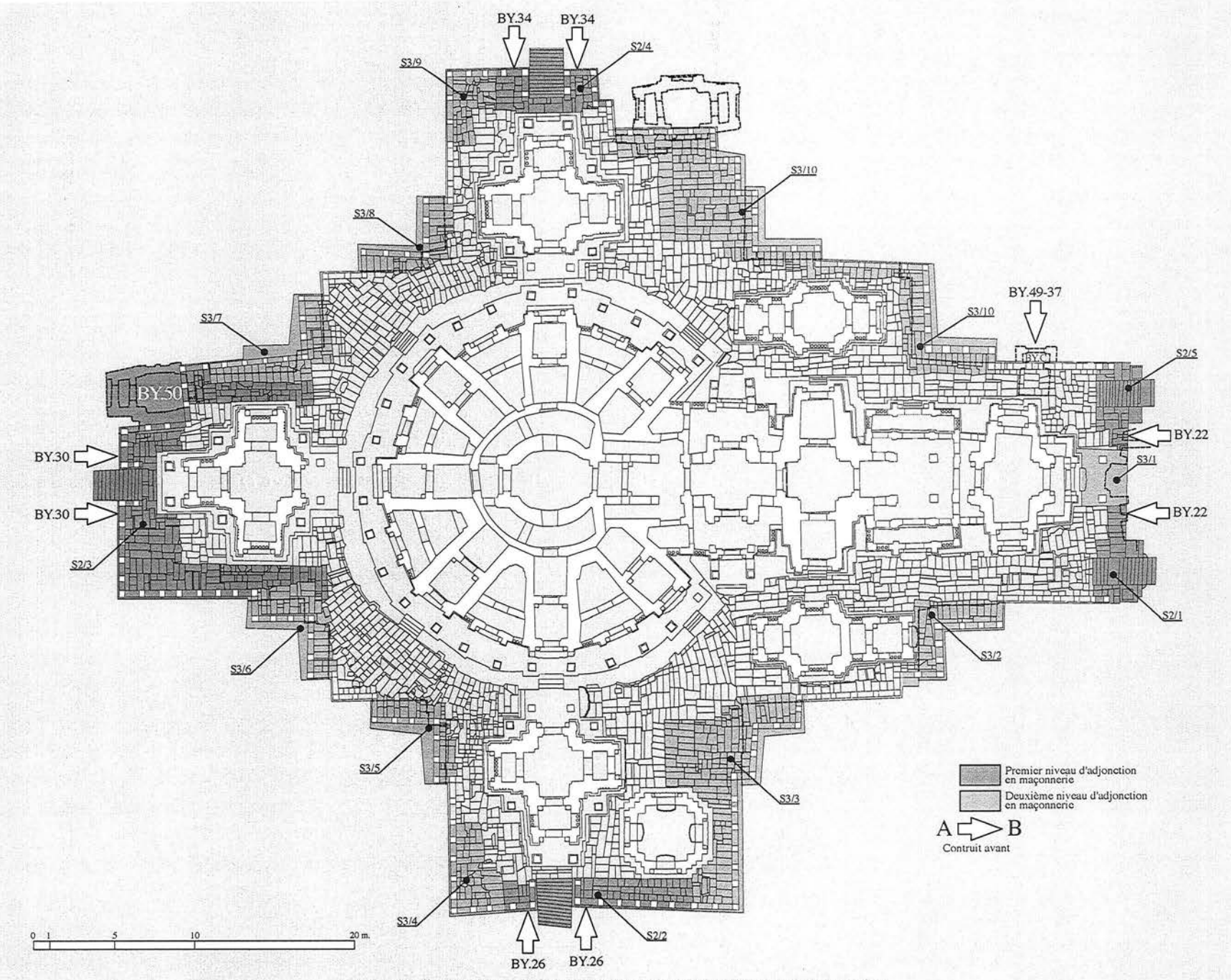
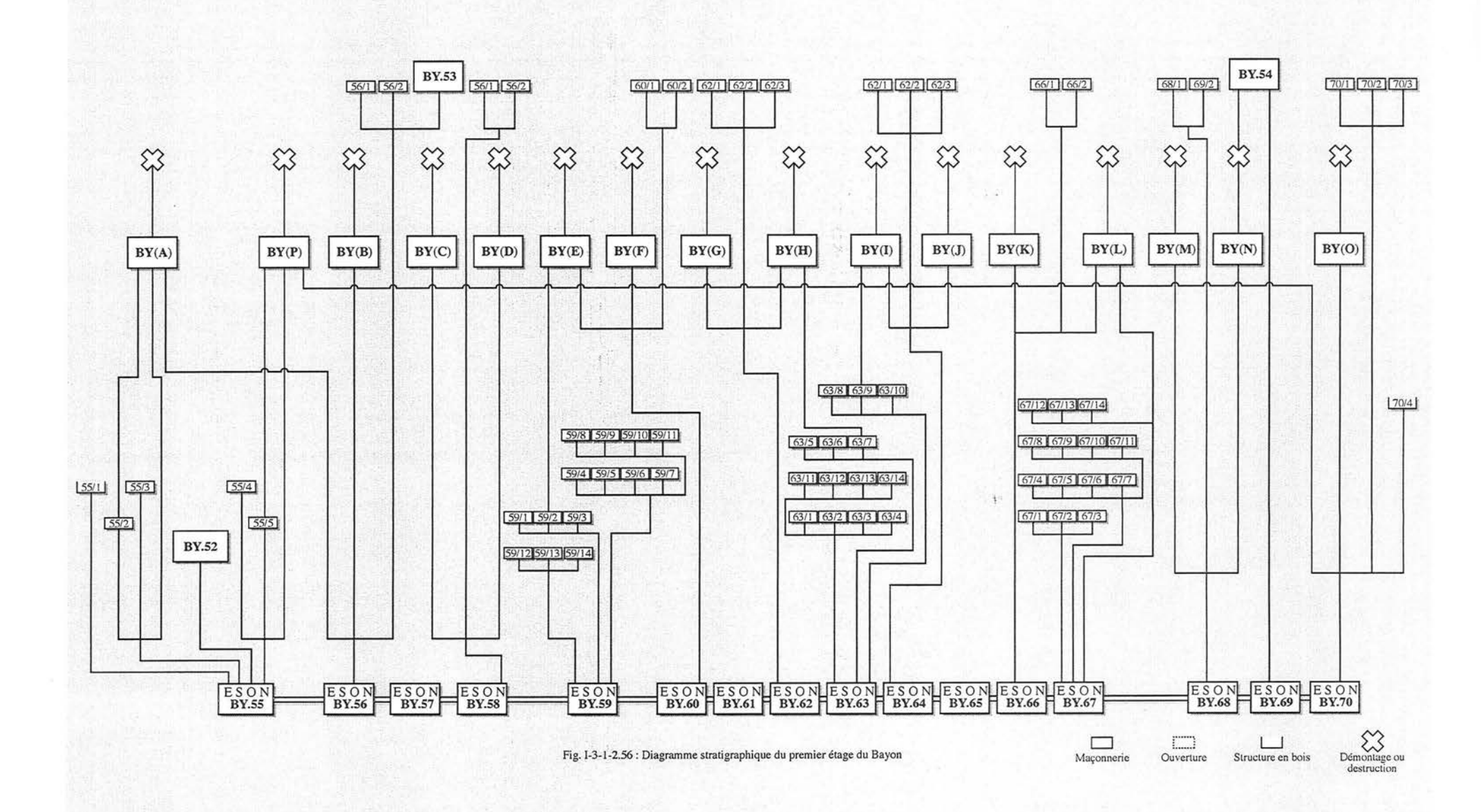
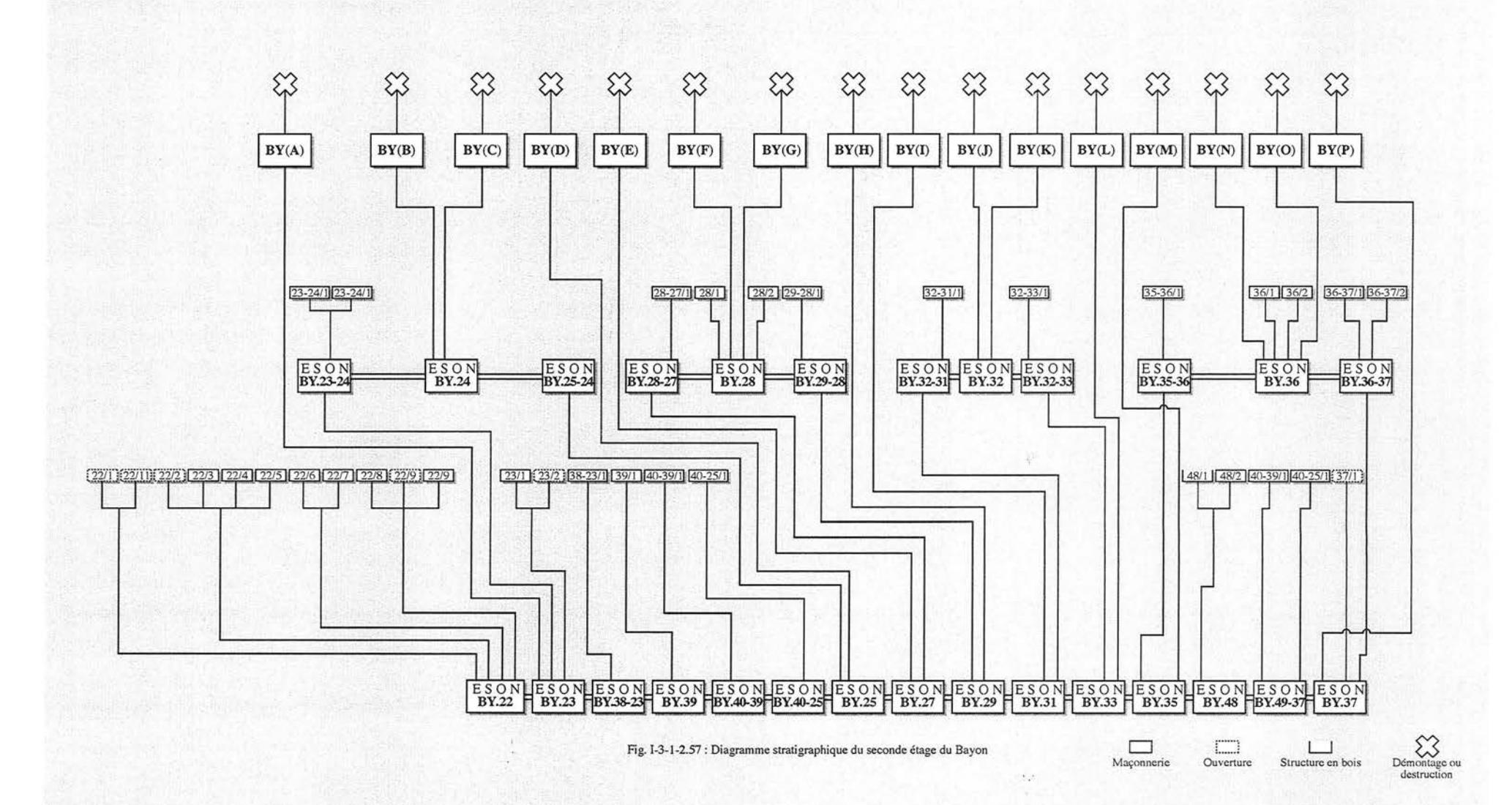


Fig. I-3-1-2.54 : Index des unités stratigraphiques construites du soubassement du troisième étage du Bayon

Fig. I-3-1-2.55: Index des unités stratigraphiques construites du troisième étage du Bayon





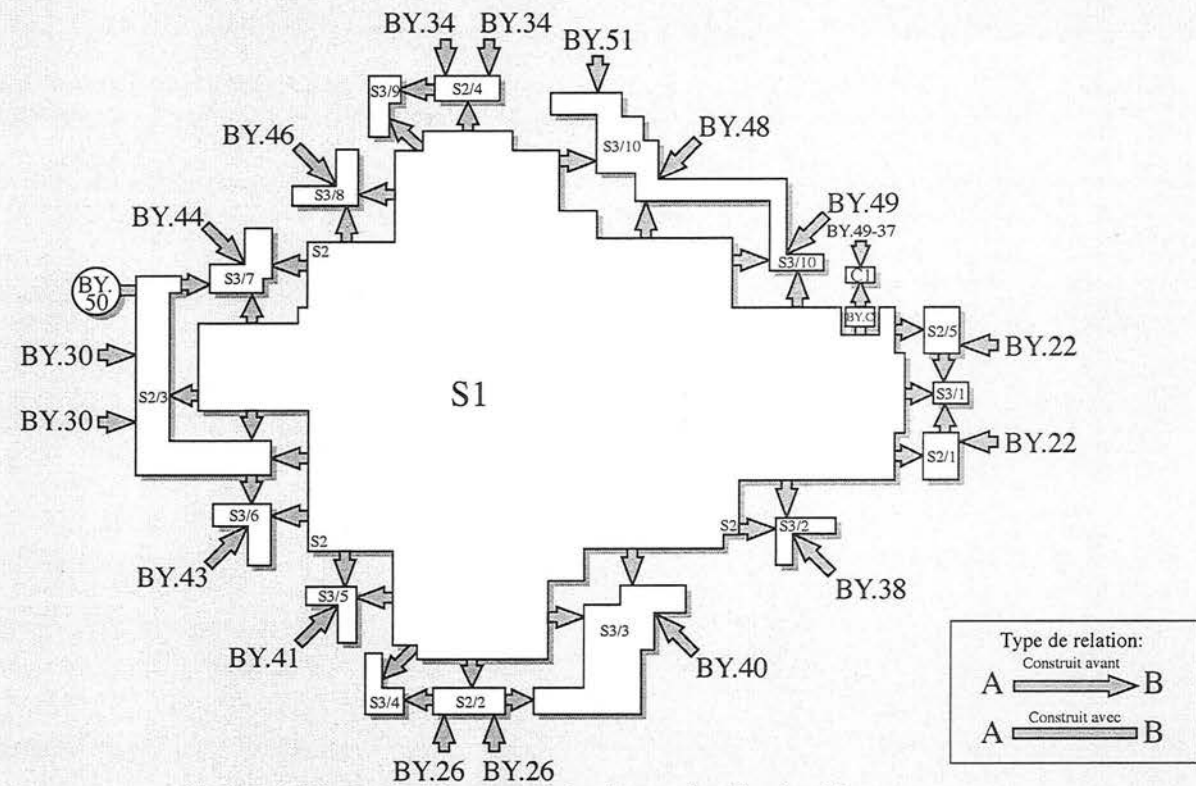
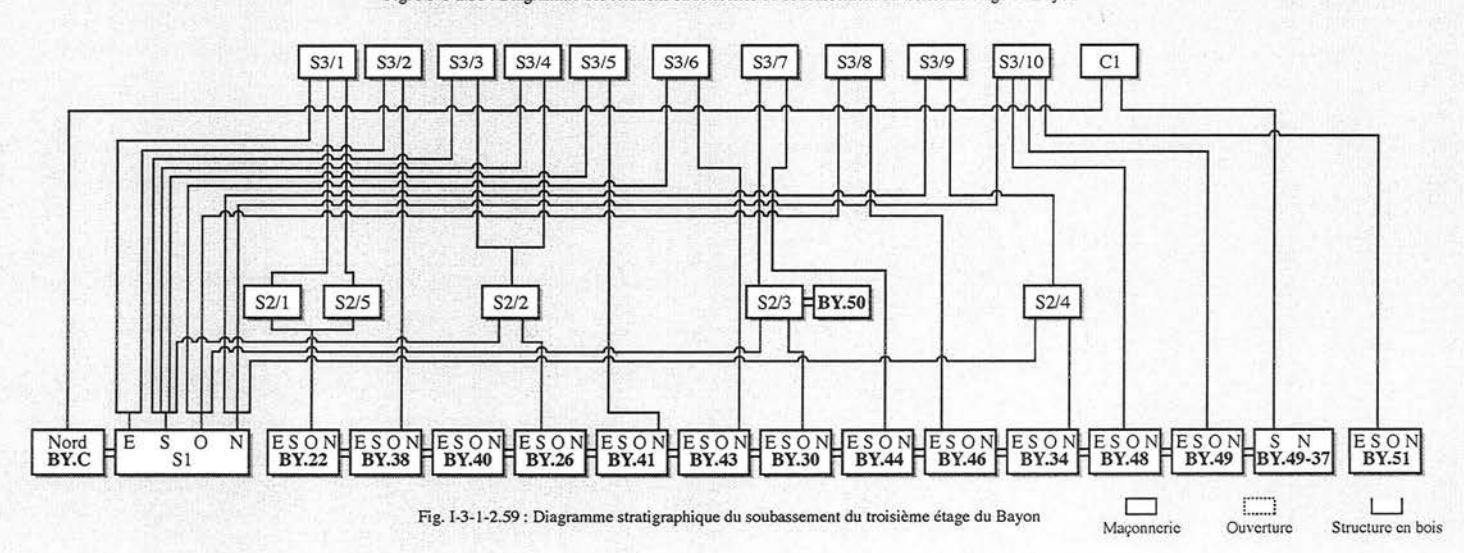


Fig. I-3-1-2.58 : Diagramme des relations structurelles du soubassement du troisième étage du Bayon



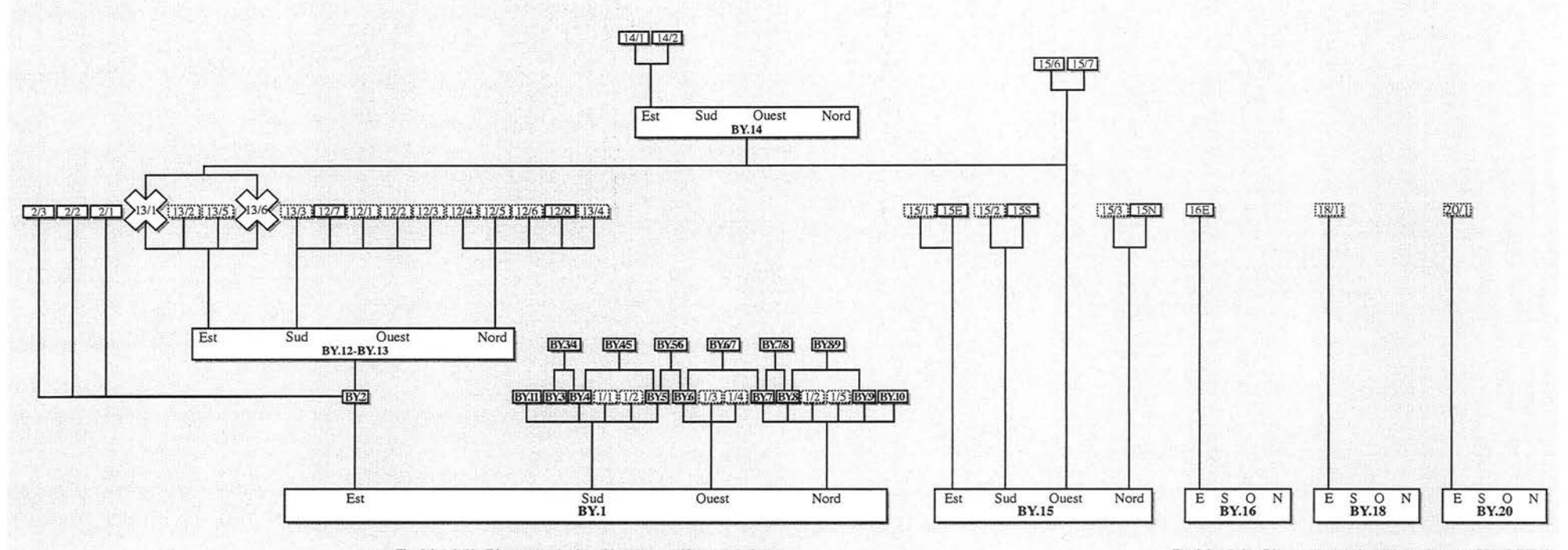


Fig. I-3-1-2.60 : Diagramme stratigraphique du massif central du Bayon

Fig. 1-3-1-2.61 : Diagrammes stratigraphiques des tours BY.16, BY.18 et BY.20 du Bayon

Maçonnerie Ouverture Structure en bois Démontage ou destruction

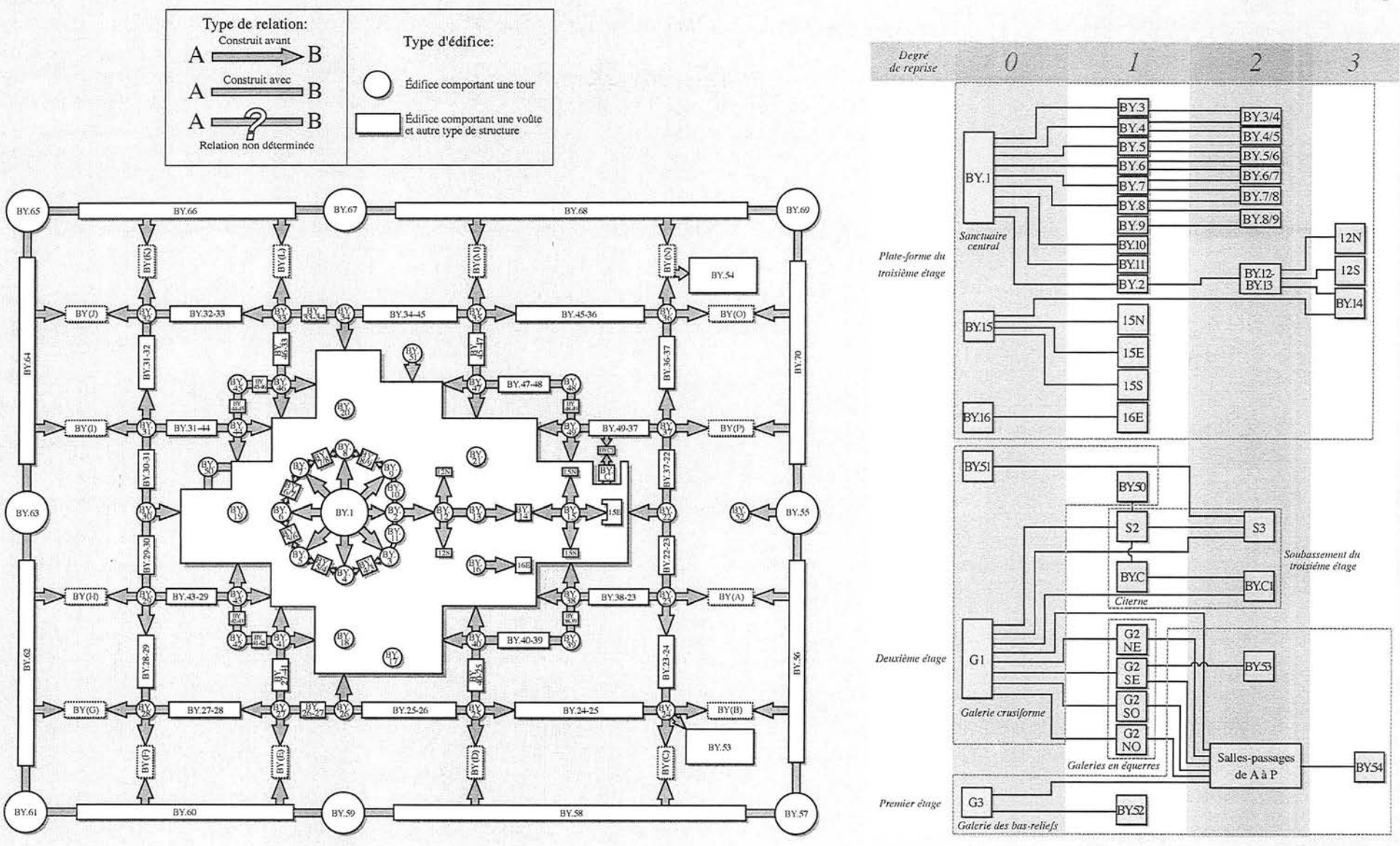
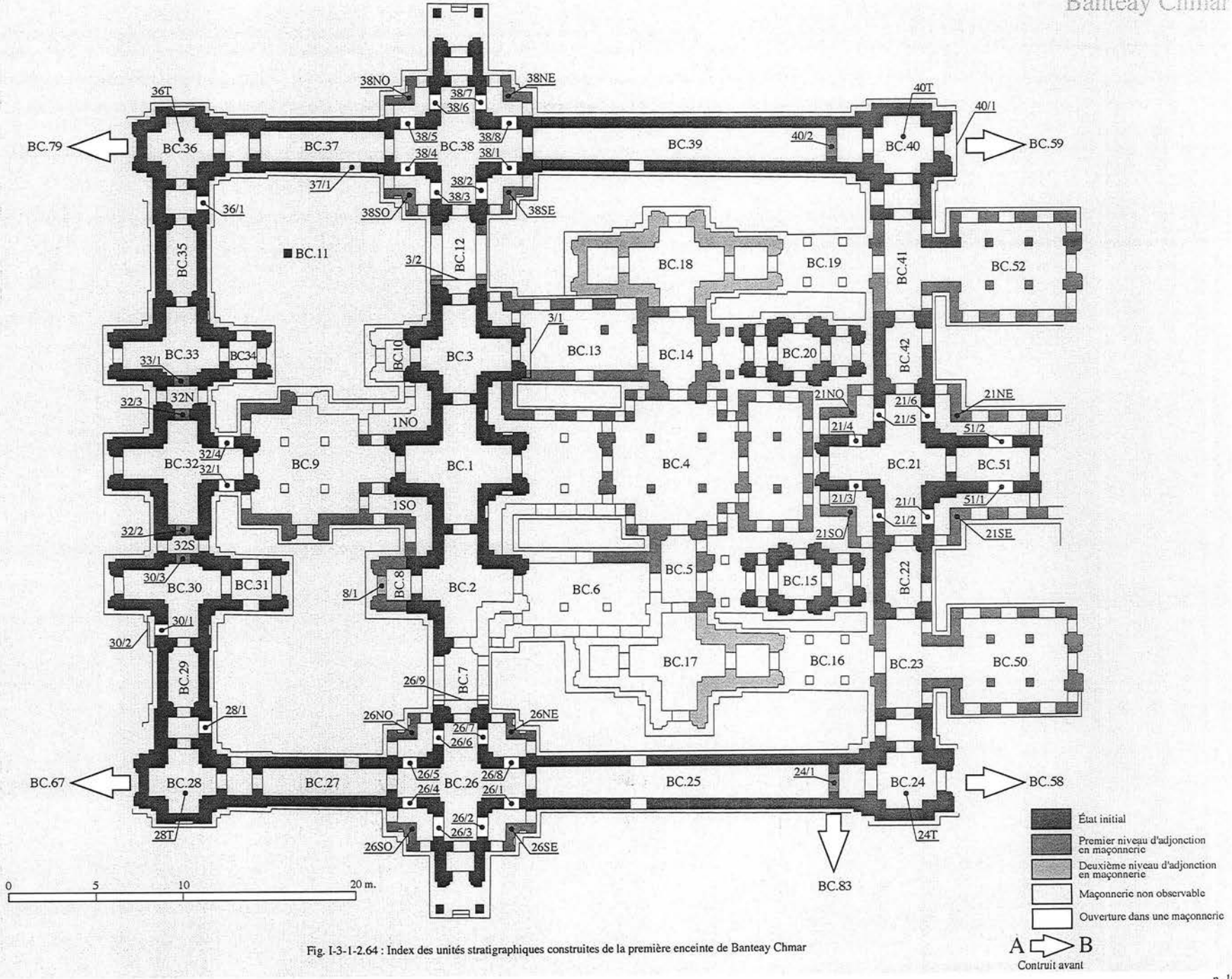
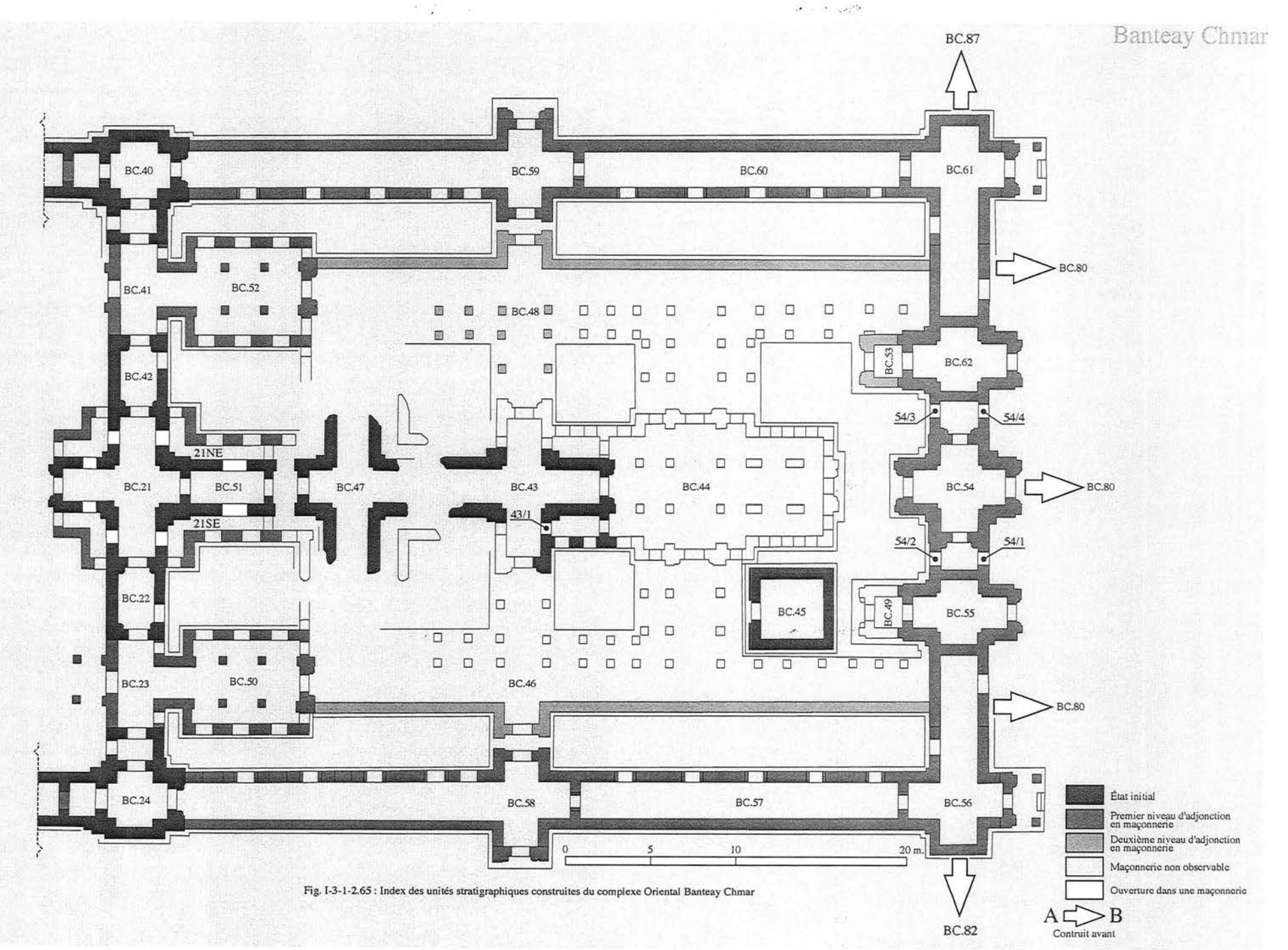
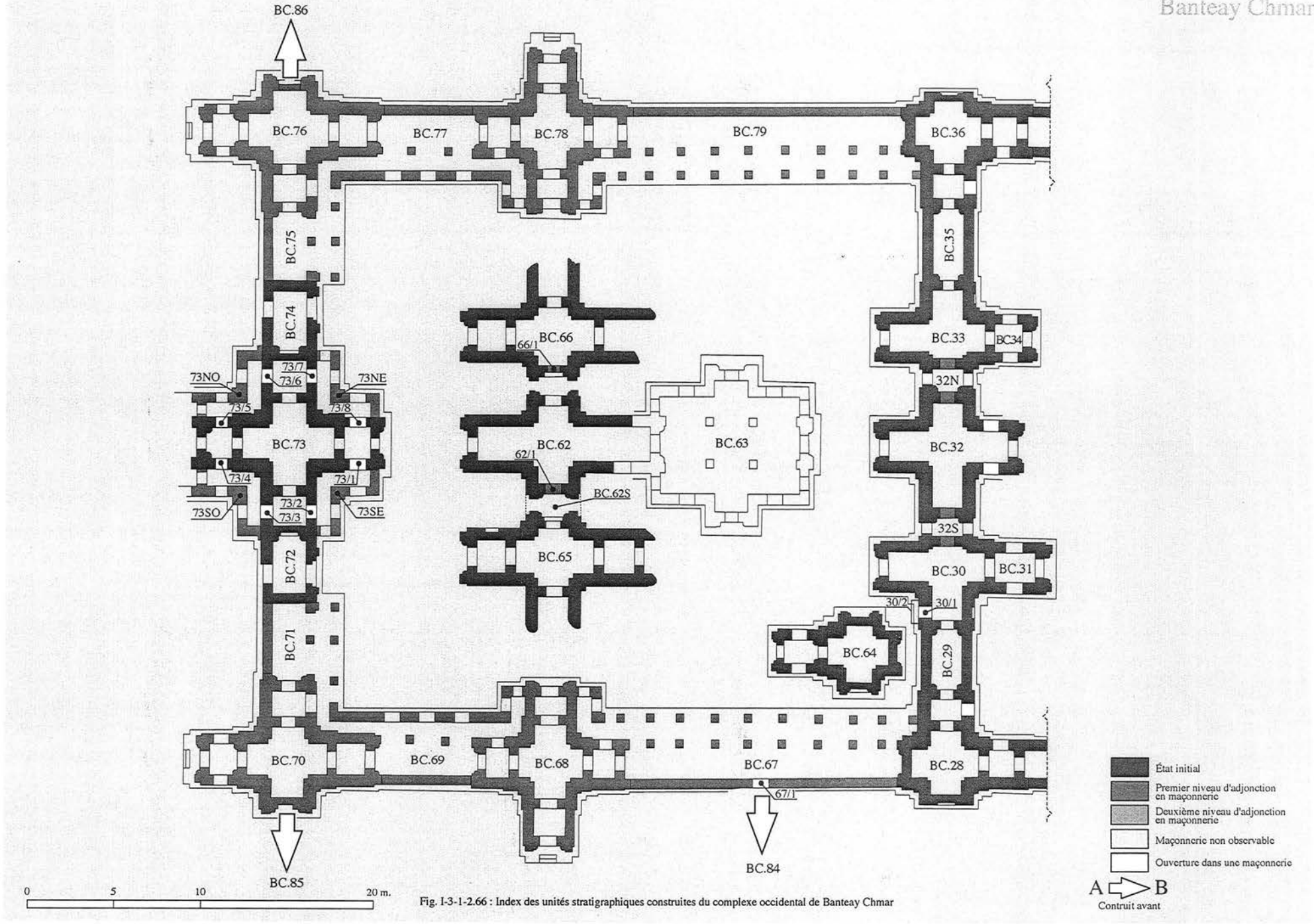


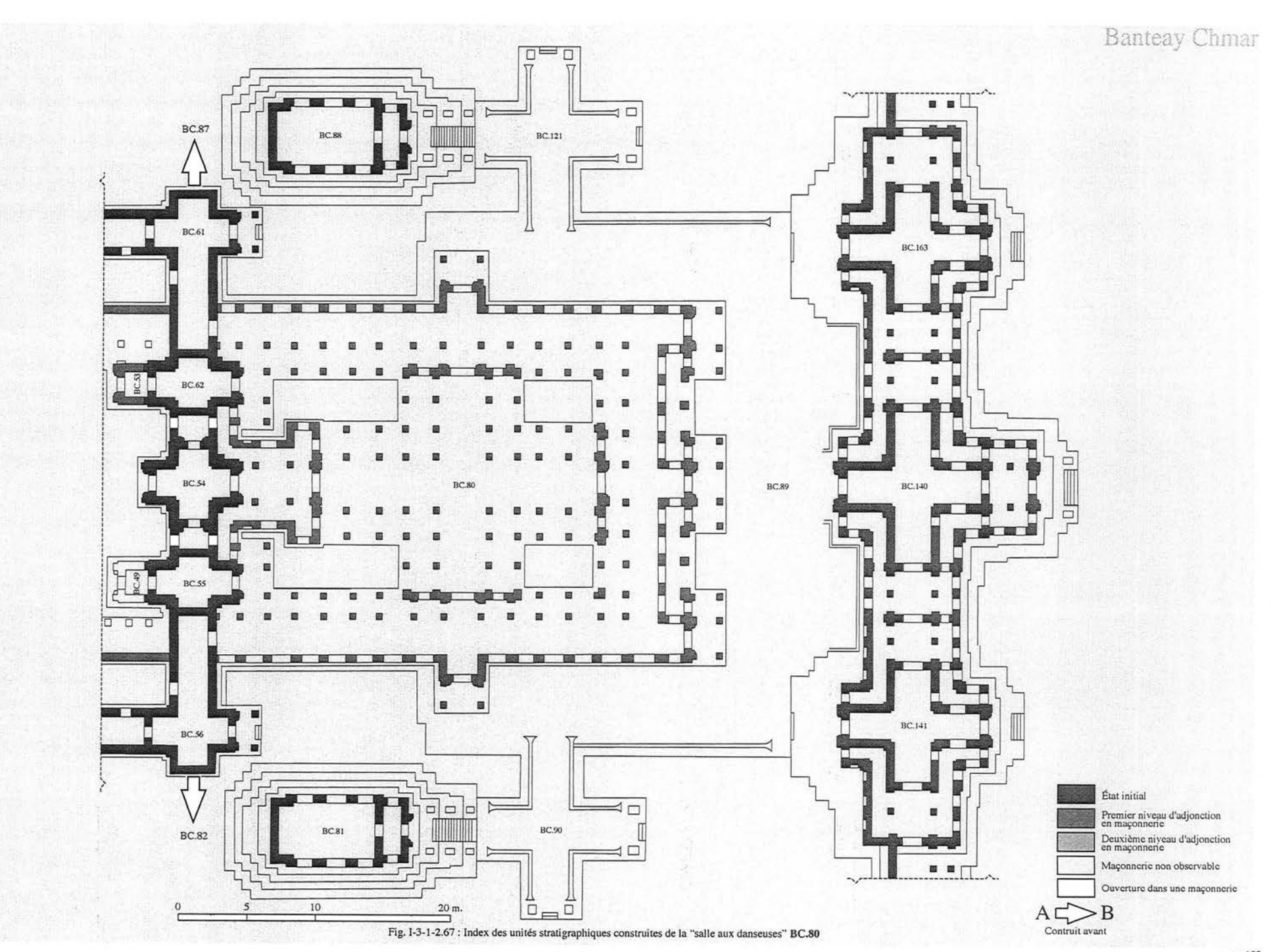
Fig. I-3-1-2.62 : Diagramme des relations structurelles du Bayon

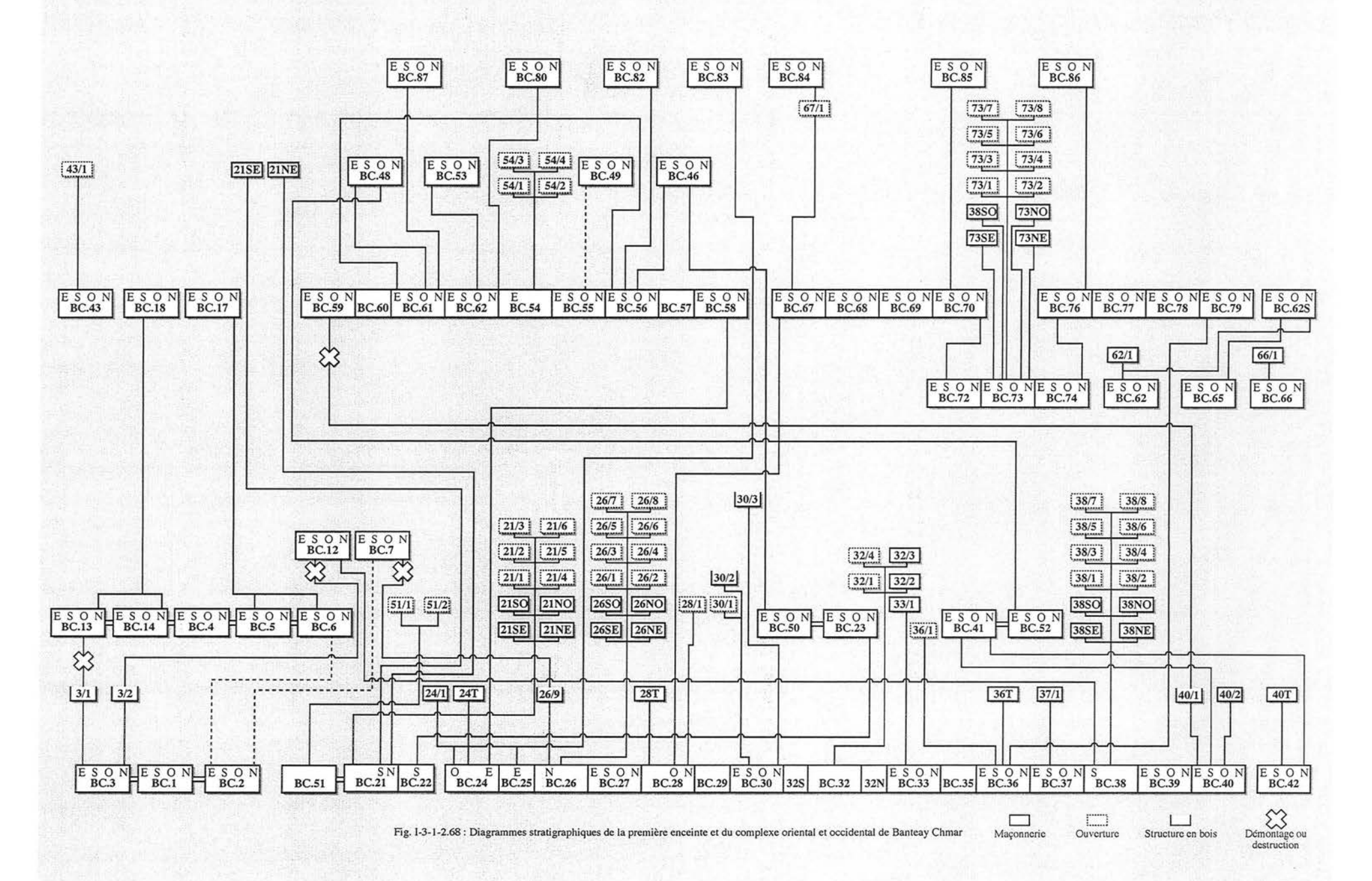
Fig. I-3-1-2.63 : Séquences des reprises du Bayon











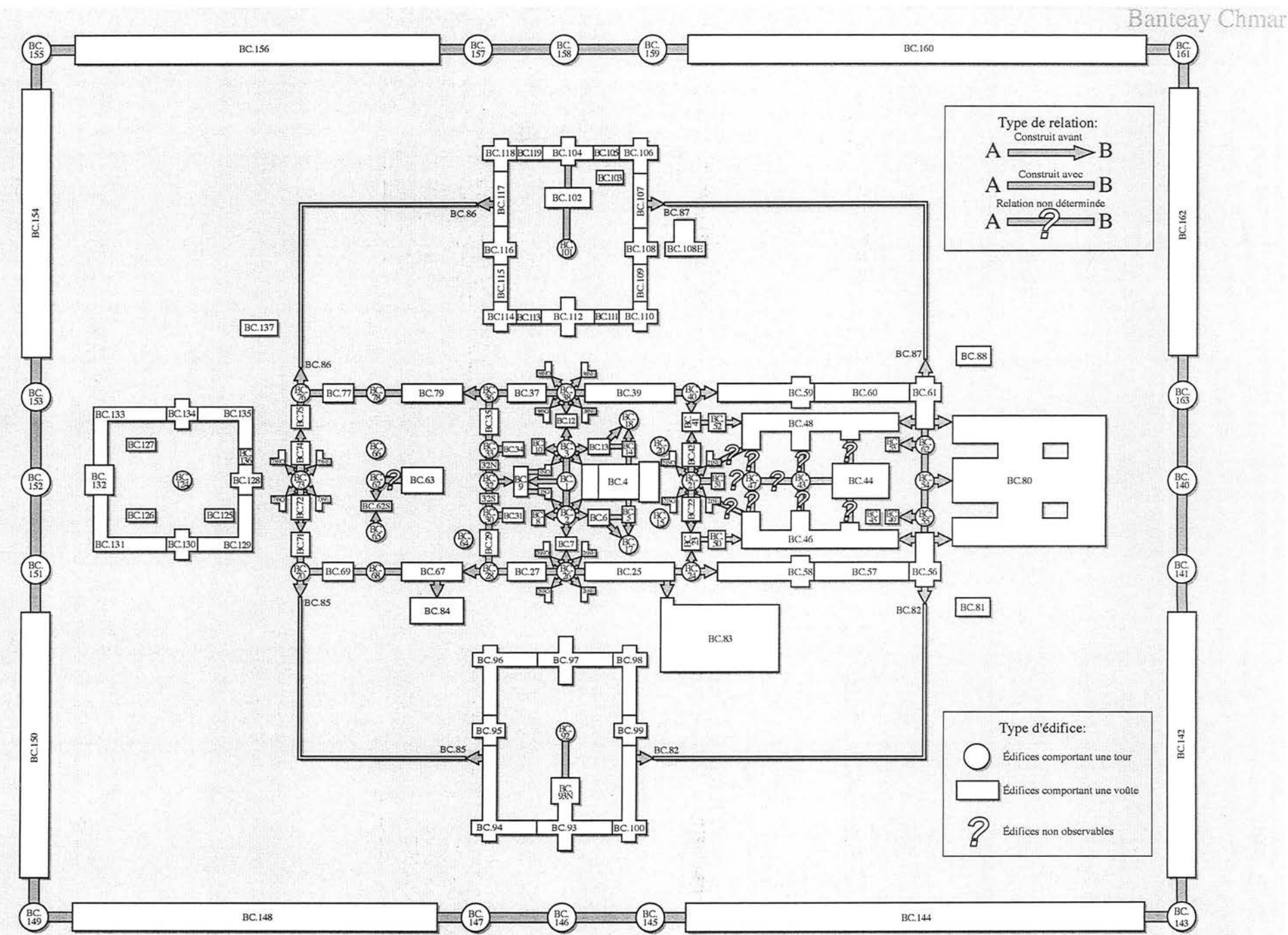


Fig. I-3-1-2.69 : Diagramme des relations structurelles dans la troisième enceinte de Banteay Chmar

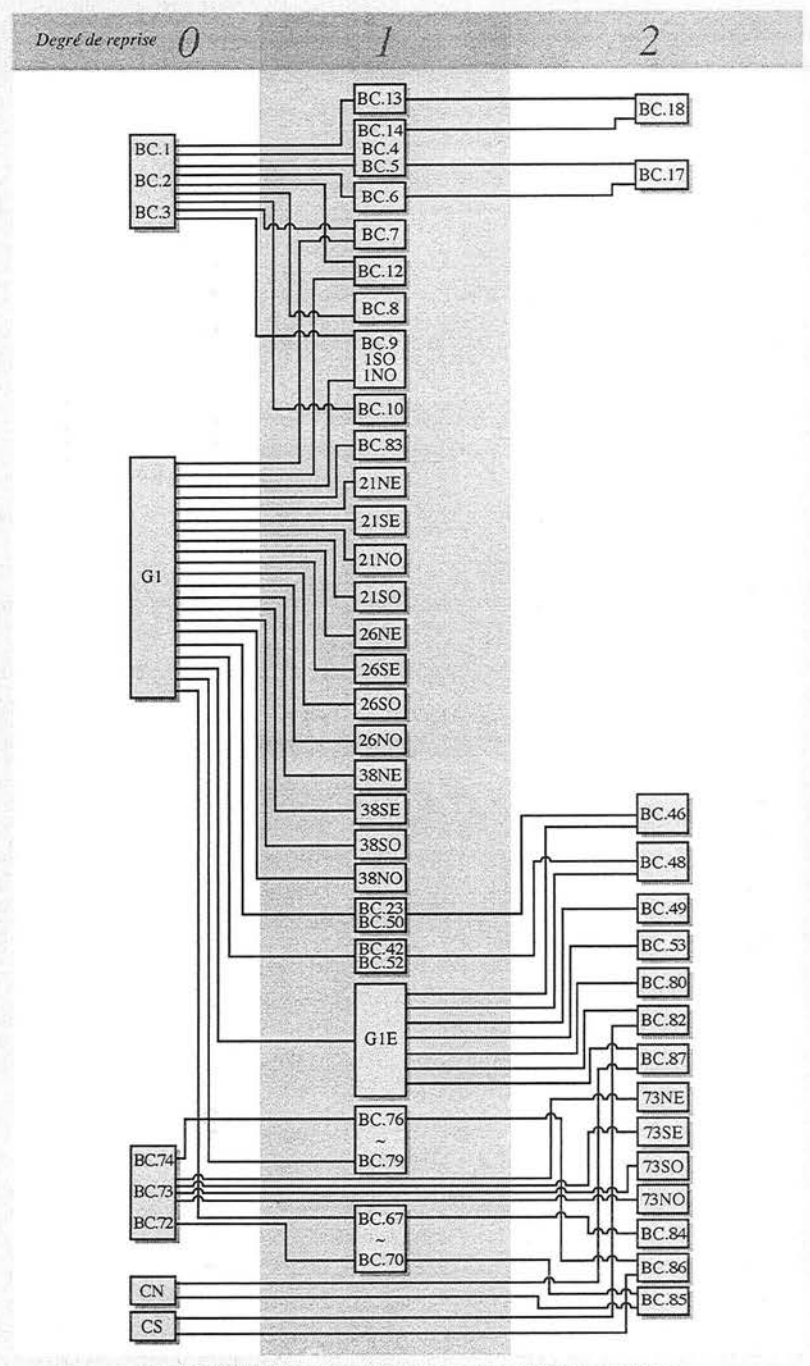
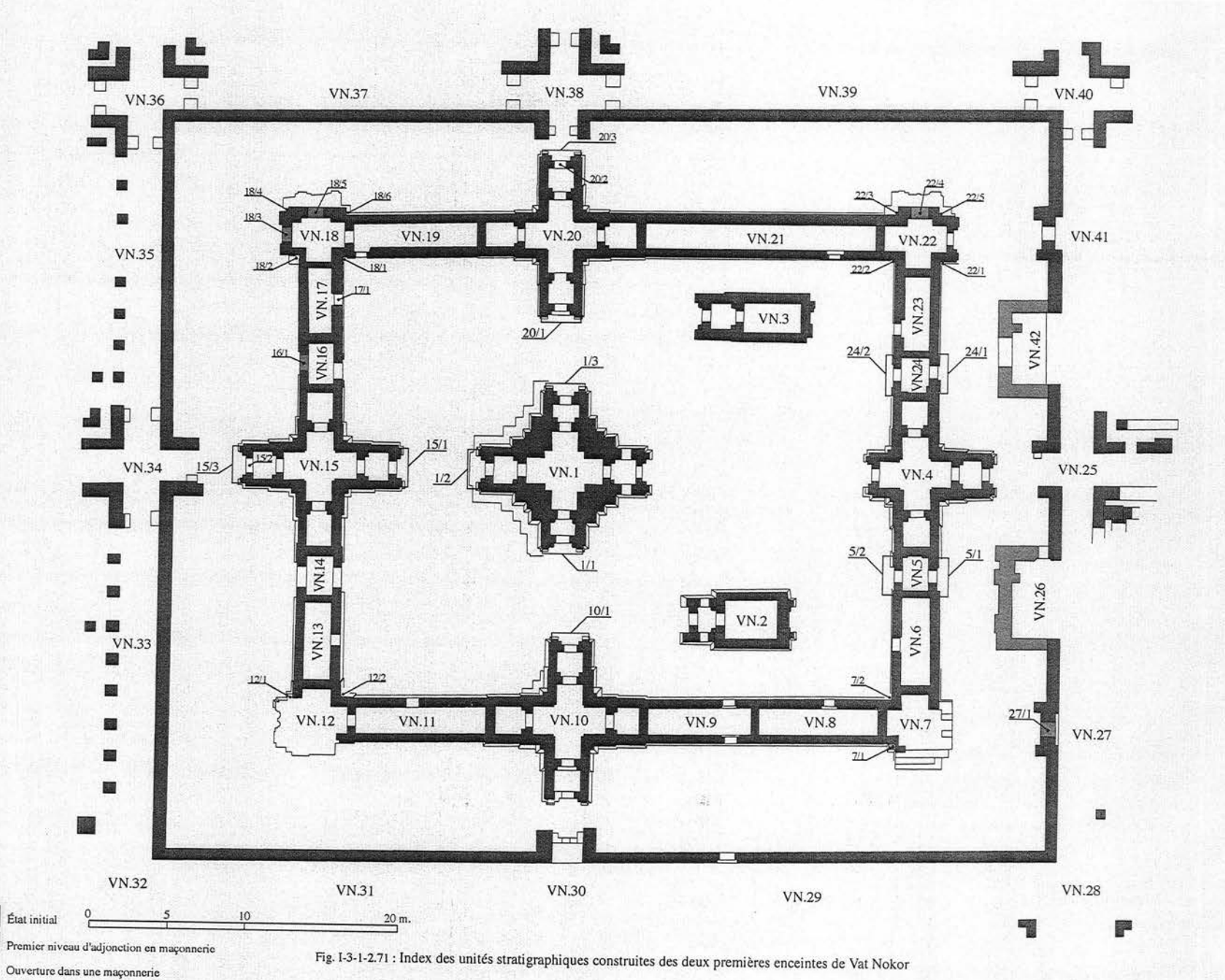
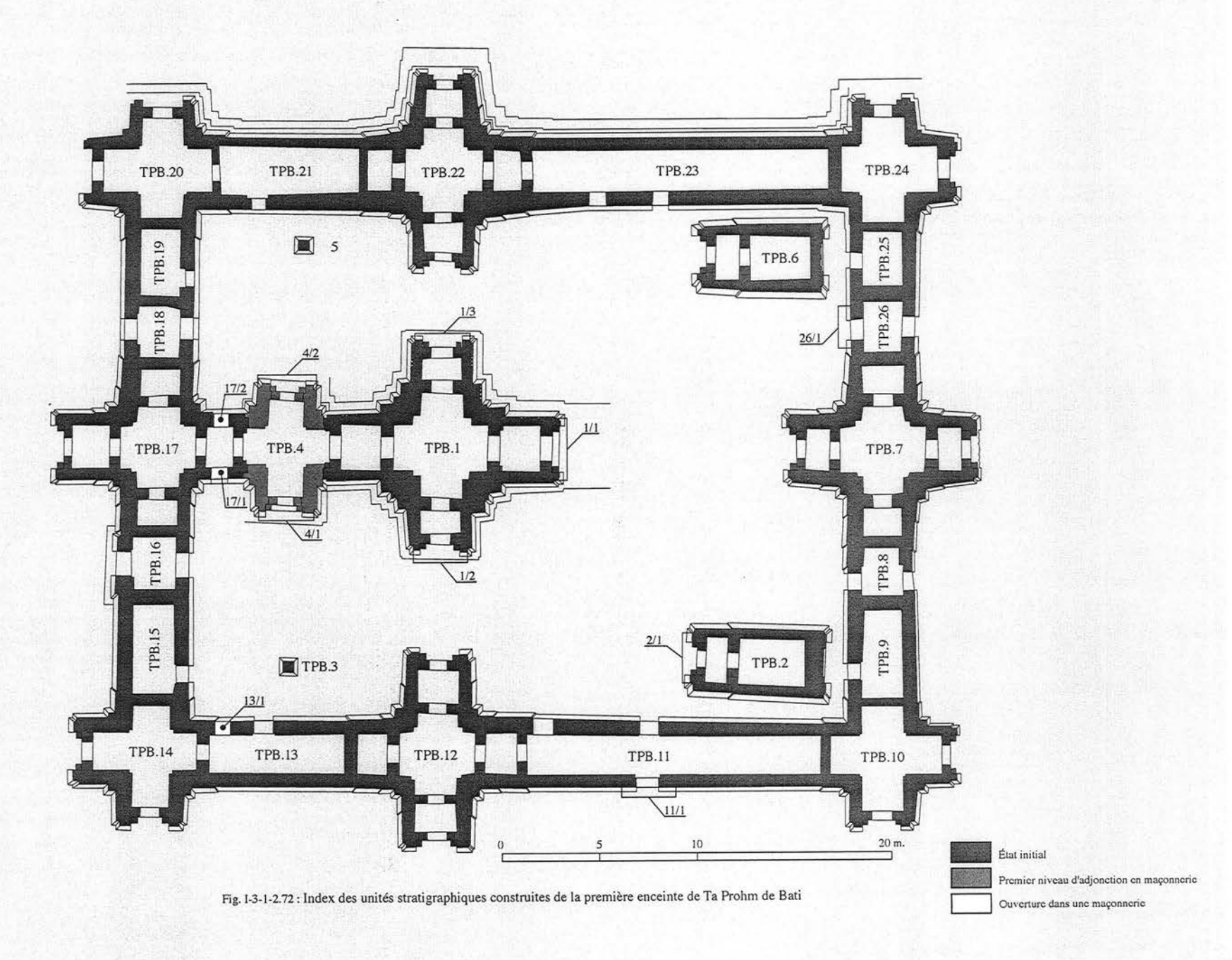


Fig. I-3-1-2.70 : Séquences des reprises de la partie centrale de Banteay Chmar.



p. 107



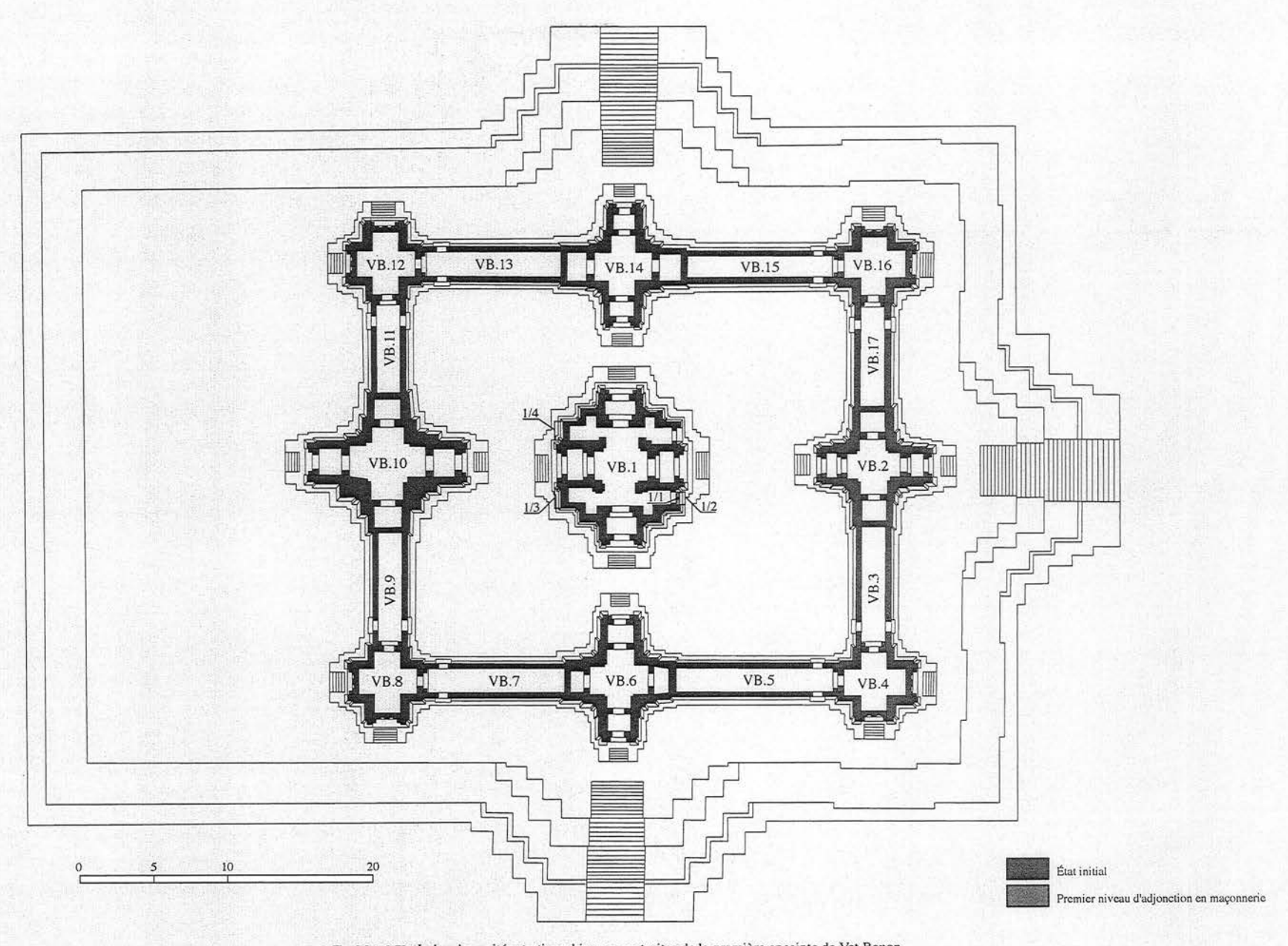


Fig. I-3-1-2.73 : Index des unités stratigraphiques construites de la première enceinte de Vat Banon

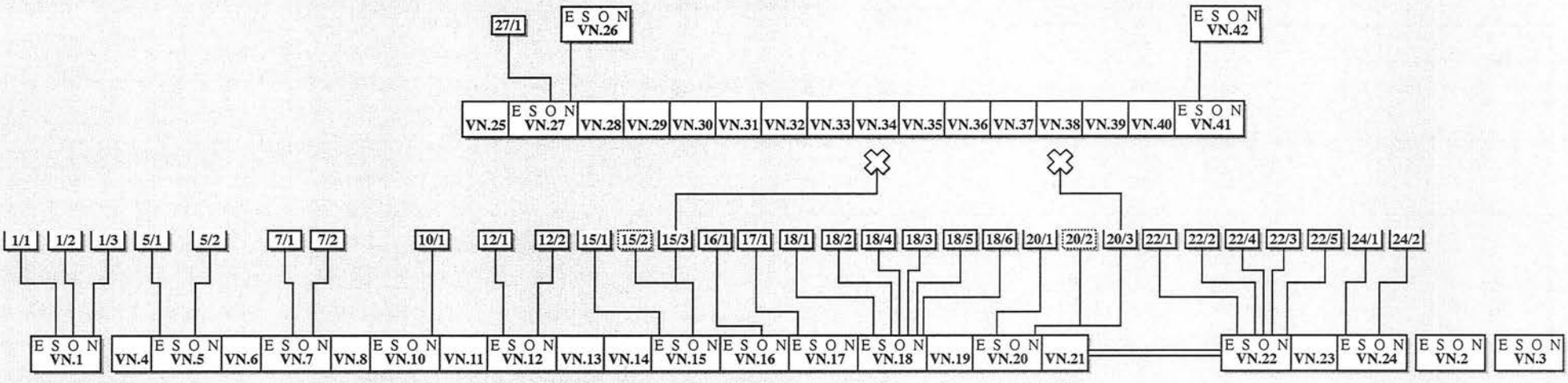


Fig. 1-3-1-2.74: Diagrammes stratigraphiques de la première et la seconde enceintes de Vat Nokor

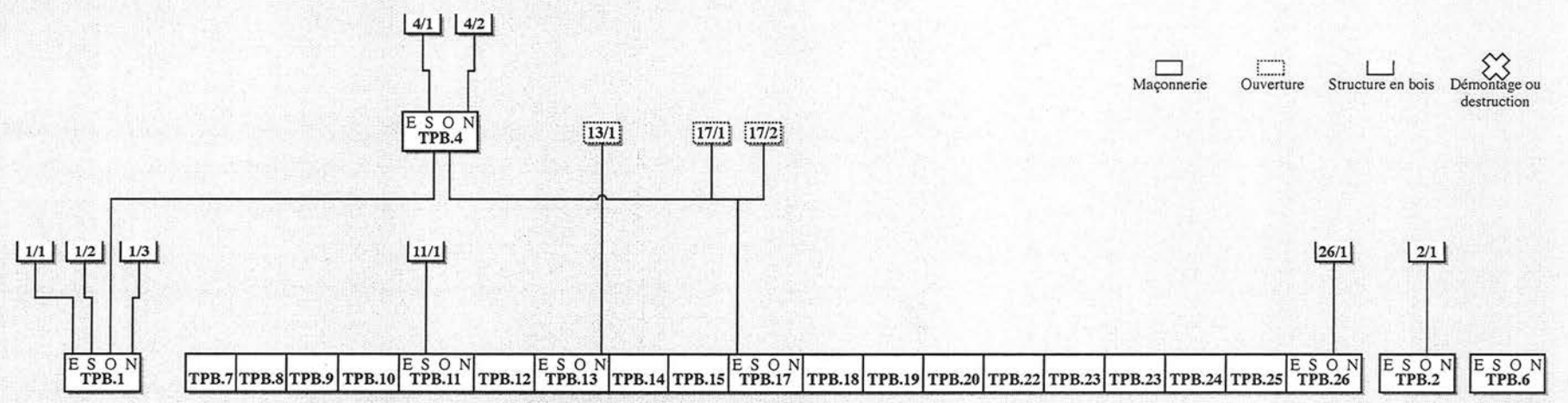


Fig. I-3-1-2.75 : Diagramme stratigraphique de la première enceinte de Ta Prohm de Bati

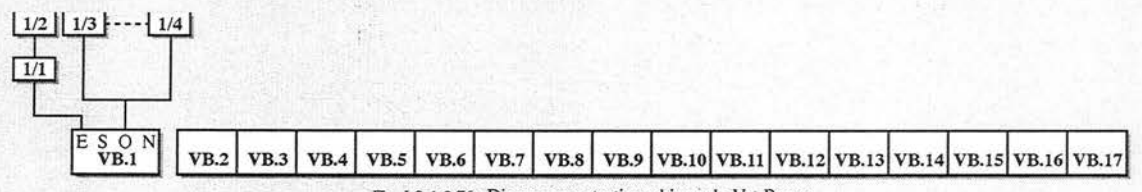


Fig. I-3-1-2.76 : Diagramme stratigraphique de Vat Banon

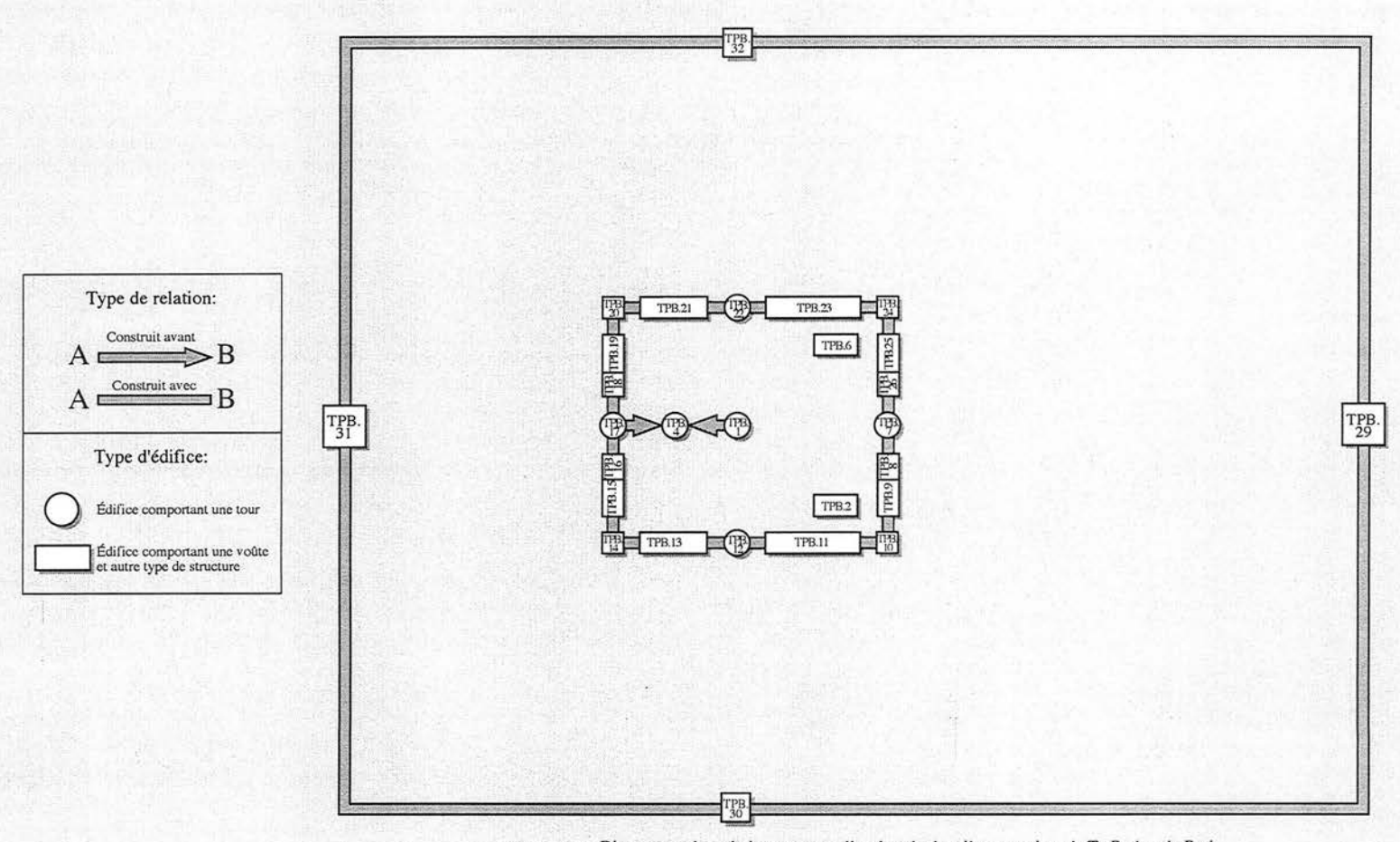


Fig. I-3-1-2.77 : Diagramme des relations structurelles dans la deuxième enceinte de Ta Prohm de Bati

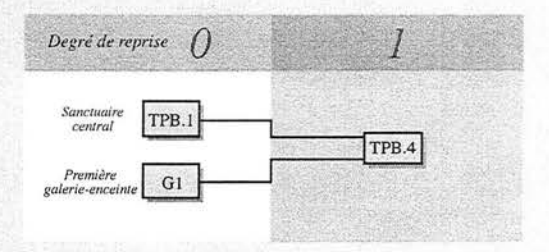


Fig. I-3-1-2.78 : Séquences d'adjonctions de Ta Prohm de Bati

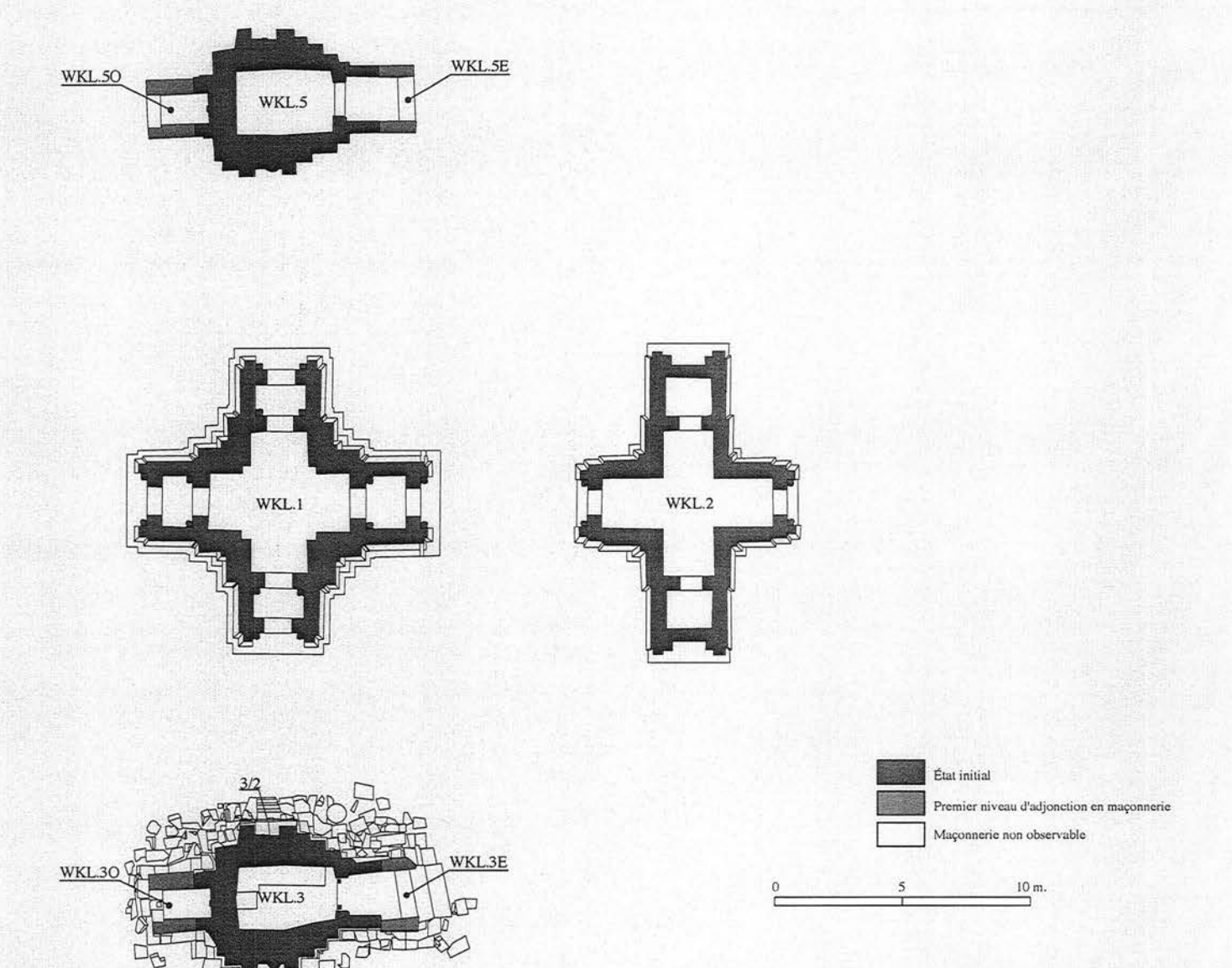


Fig. I-3-1-2.79 : Index des unités stratigraphiques construites du Wat Kamphaeng Laeng

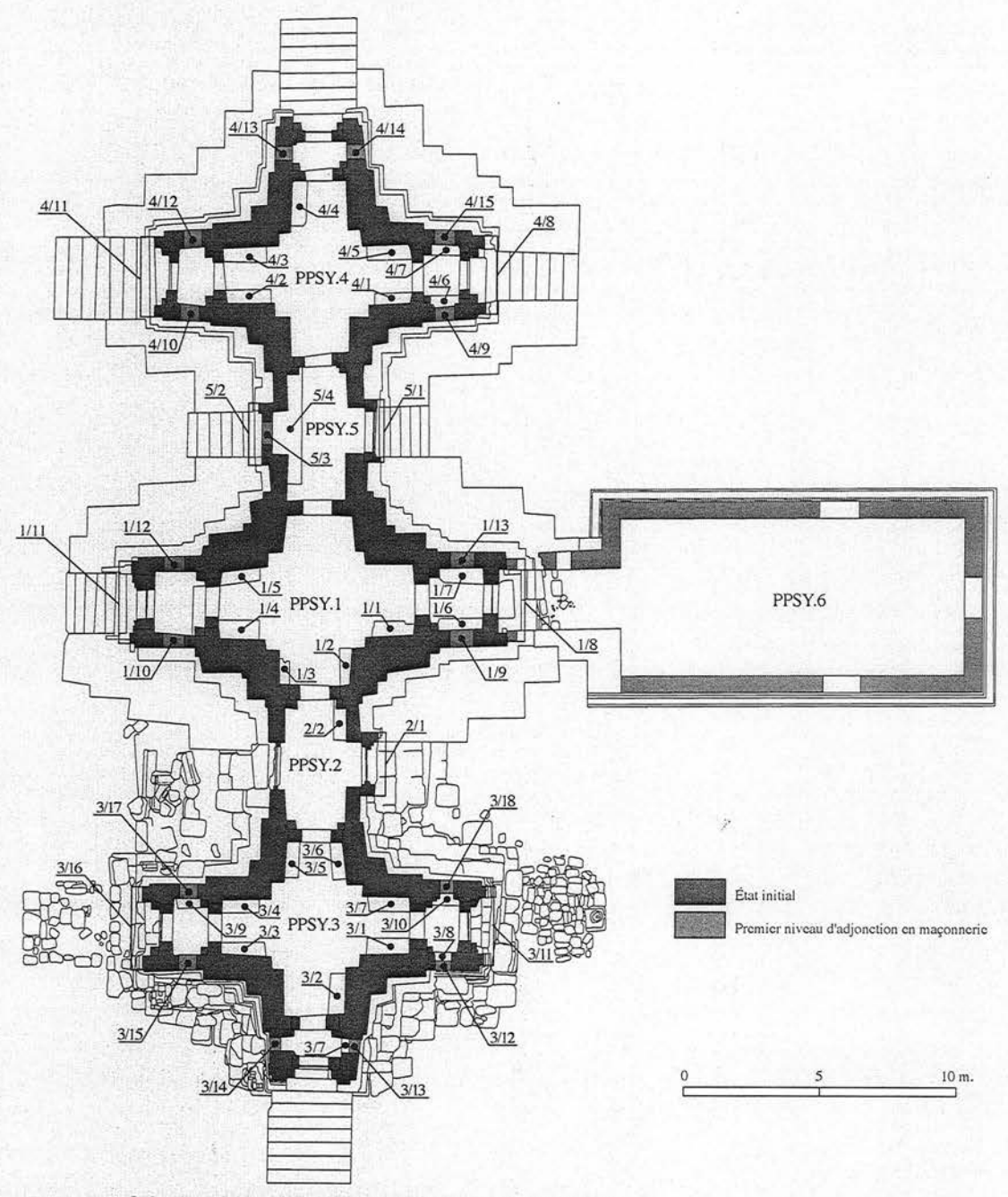
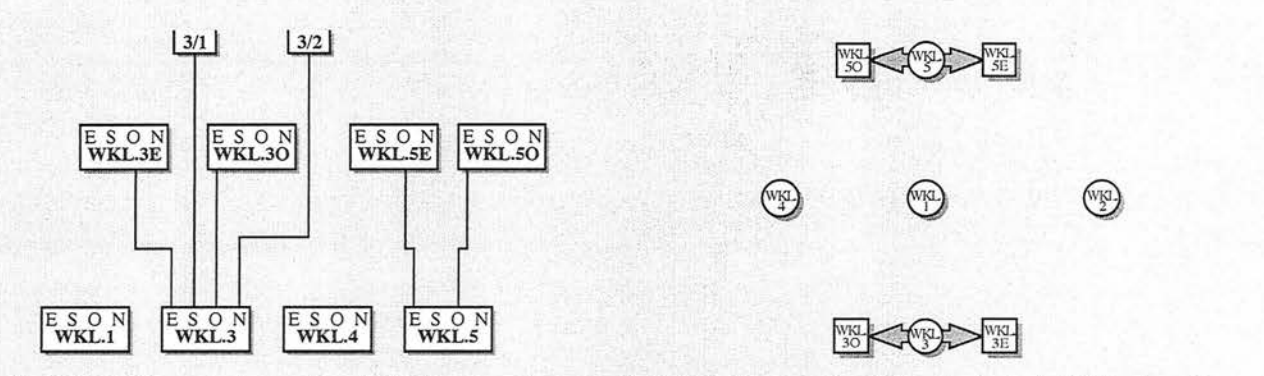


Fig. I-3-1-2.80 : Index des unités stratigraphiques construites du Phra Prang Sam Yod



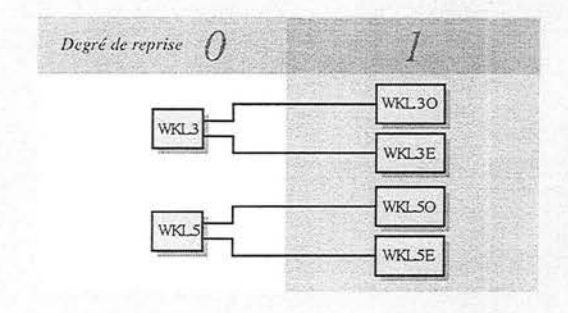
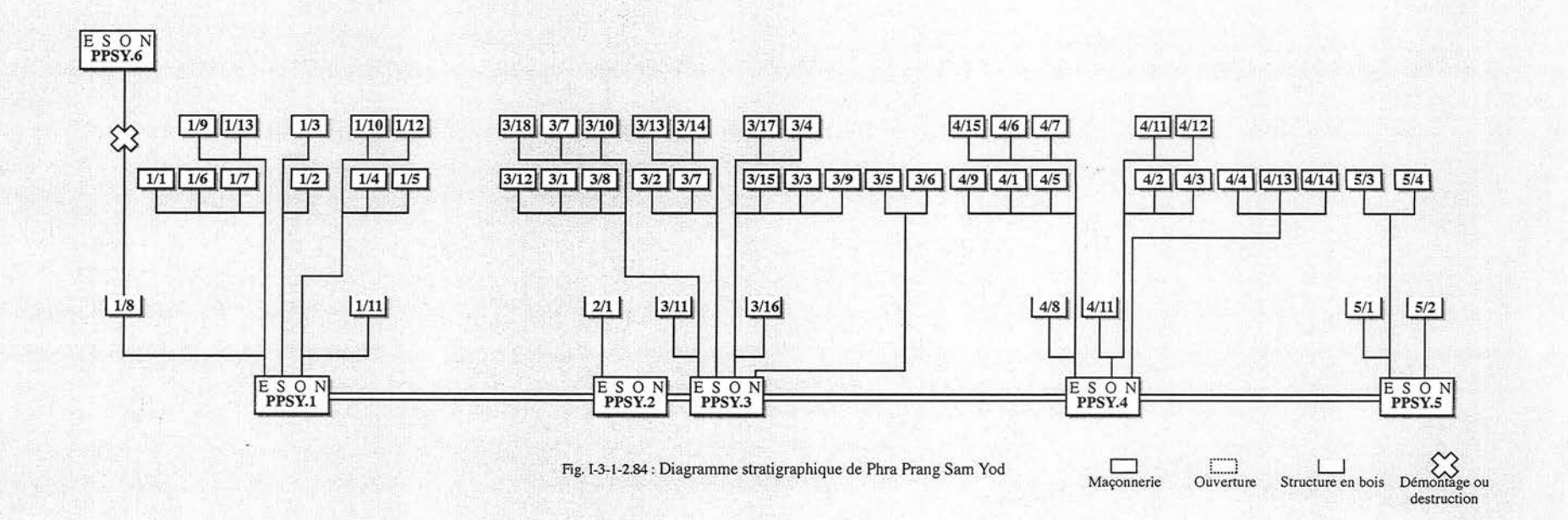


Fig. I-3-1-2.81 : Diagramme stratigraphique de Wat Kamphaeng Laeng

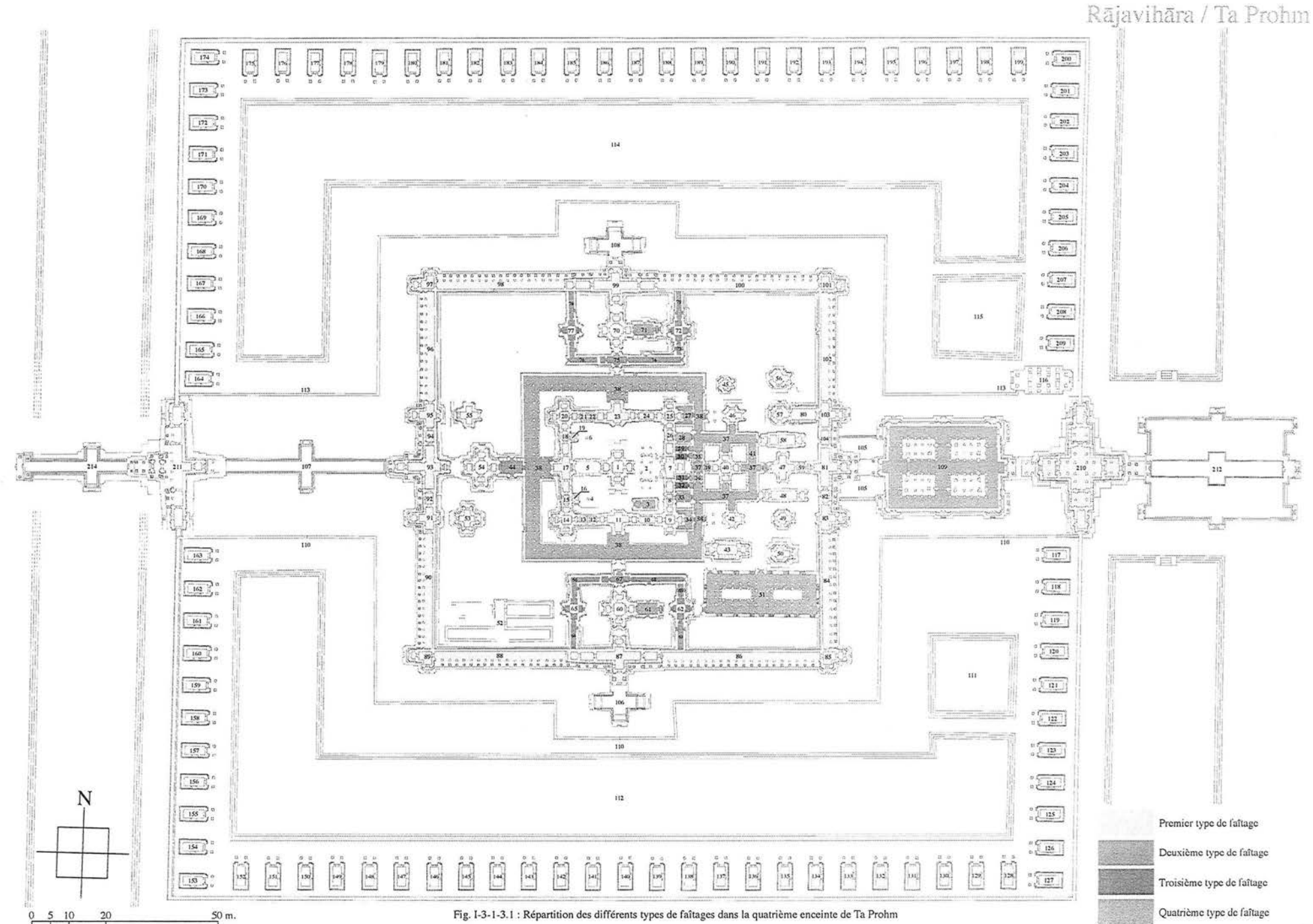
Fig. I-3-1-2.82: Diagramme des relations structurelles de Wat Kamphaeng Laeng.

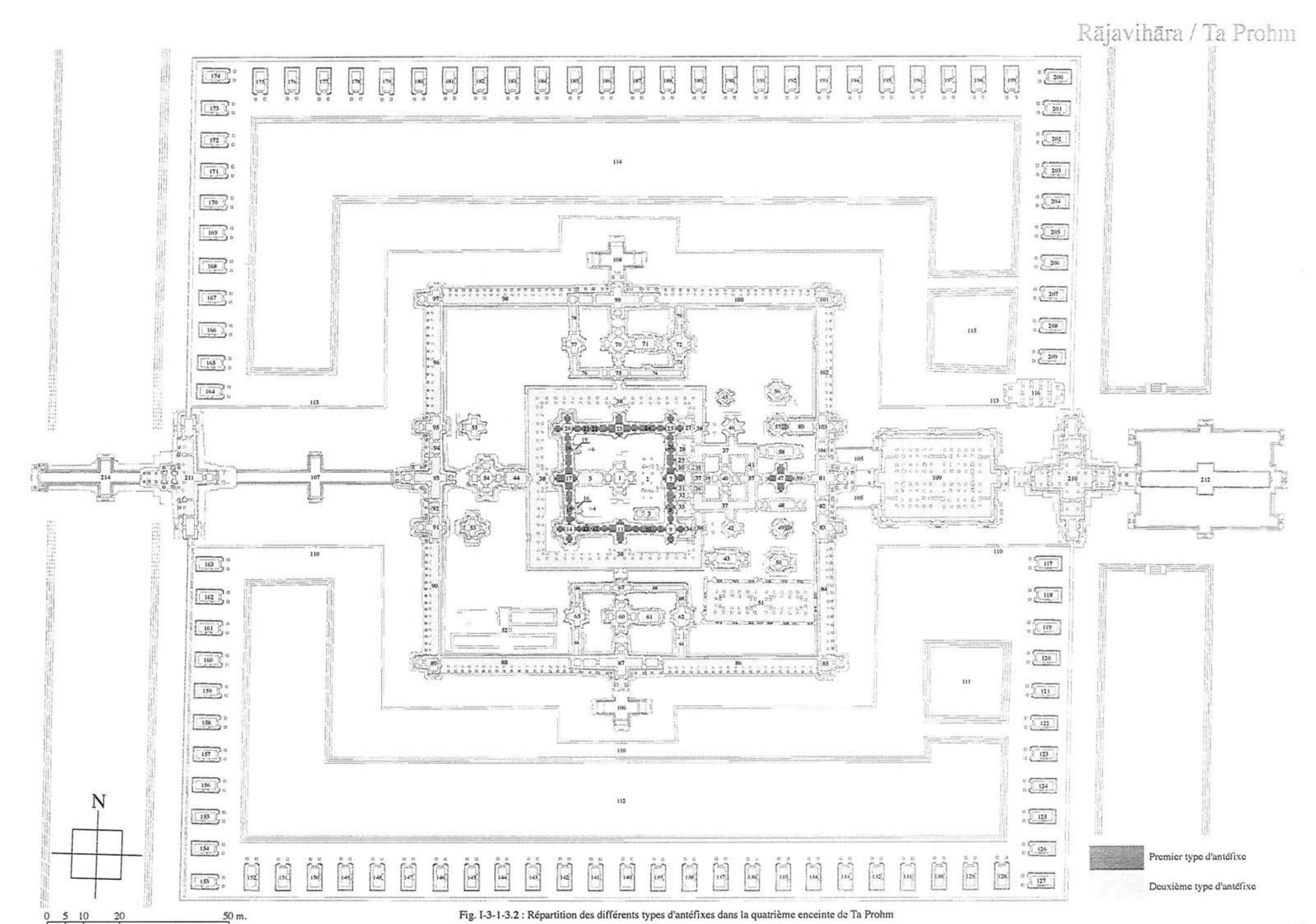
Fig. I-3-1-2.83: Séquences d'adjonctions de Wat Kamphaeng Laeng.

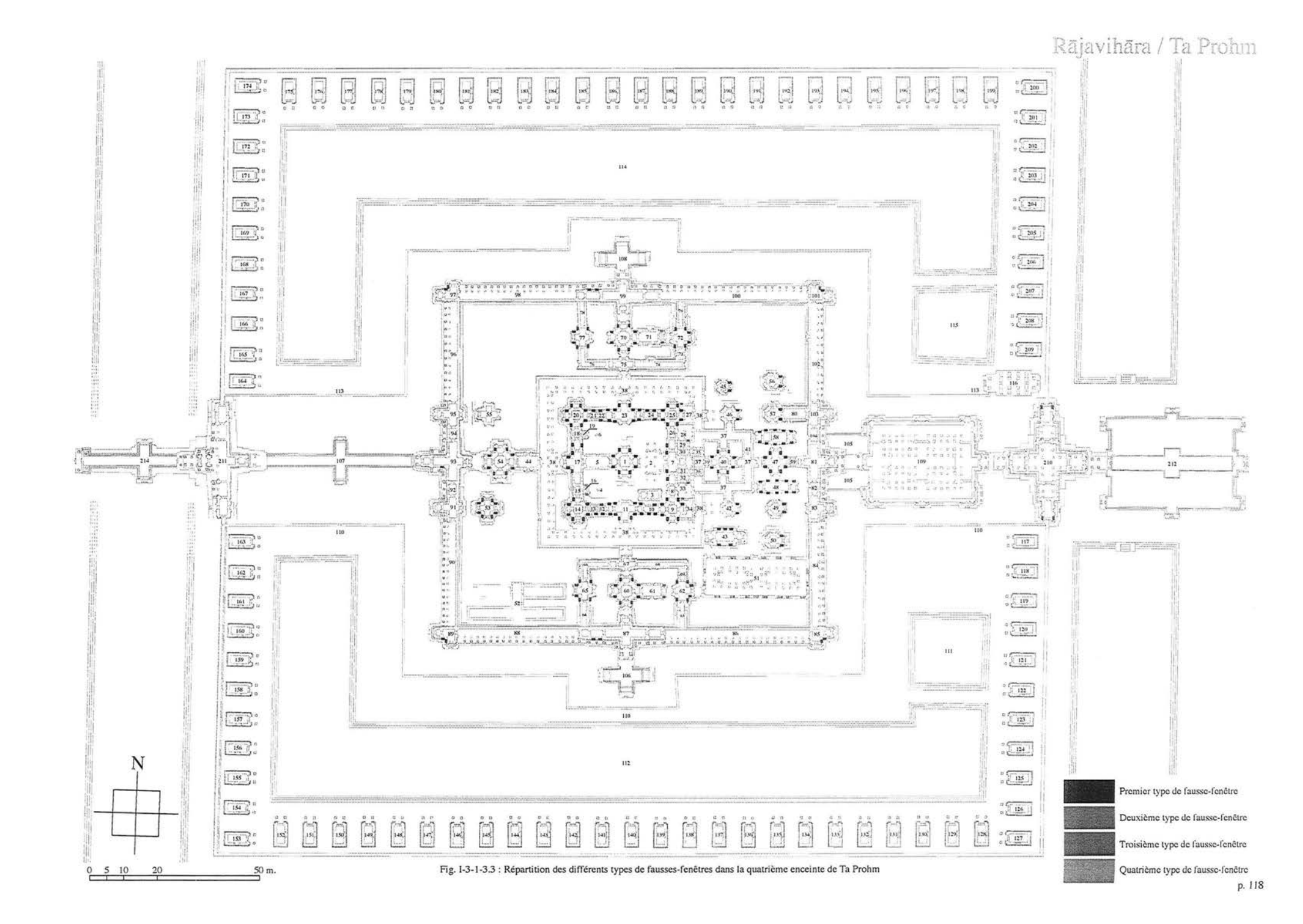


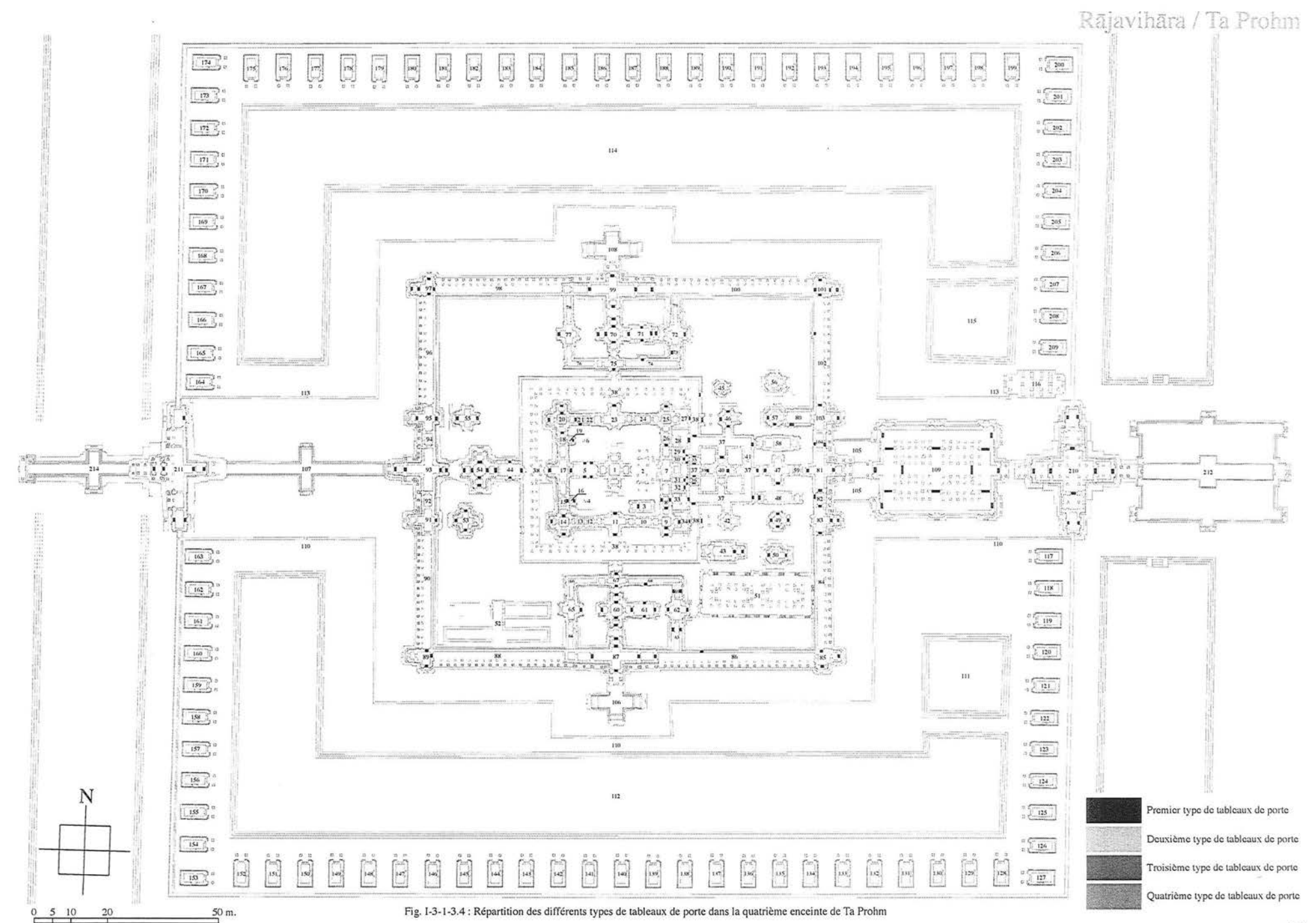
Inventaires des critères stylistiques et architectoniques des monuments du style du Bayon

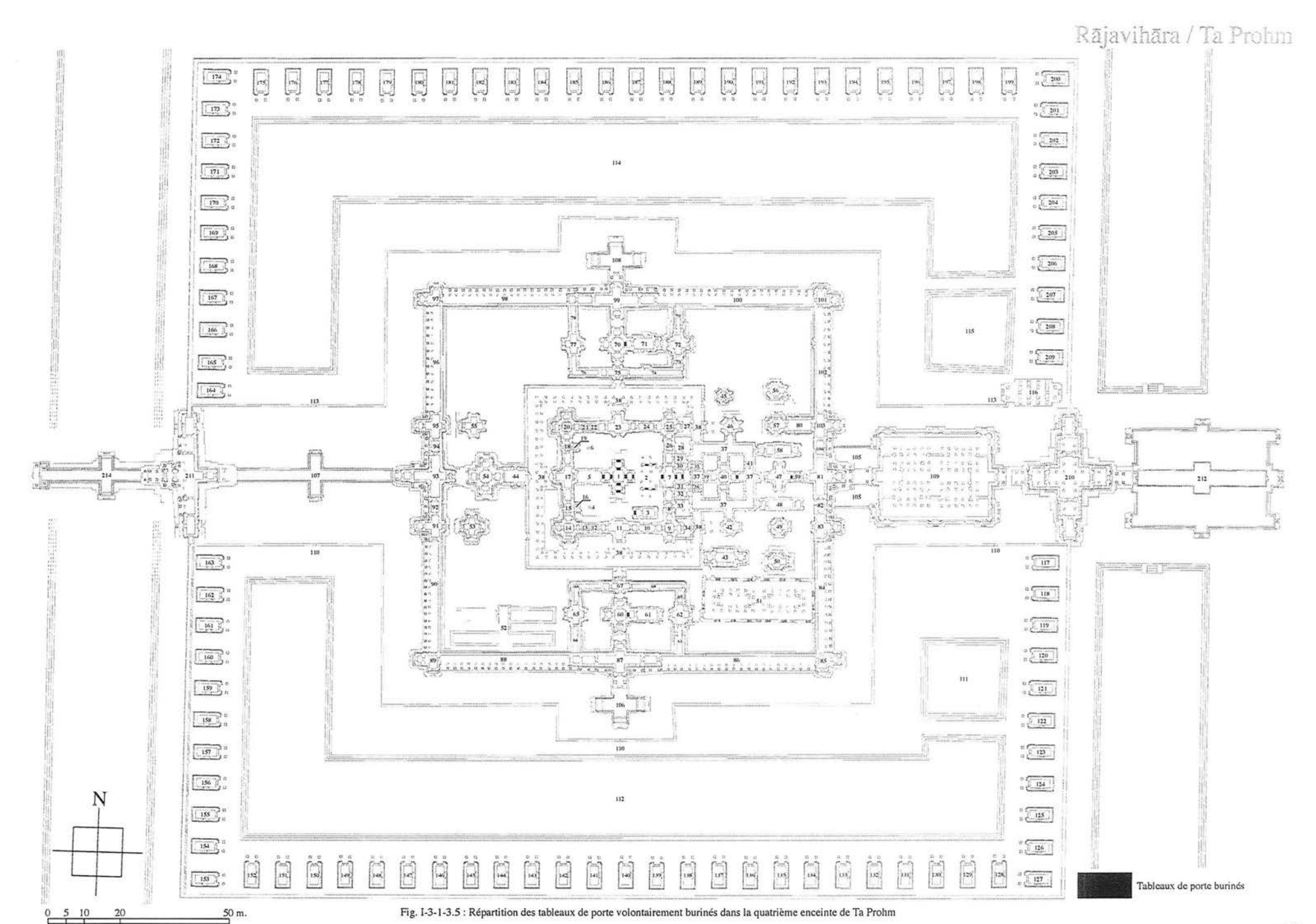
Ta Prohm
Banteay Kdei
Ta Nei
Preah Khan d'Angkor
Neak Pean, Banteay Prei, Prasat Prei & Krol Kô
Ta Som
Banteay Thom, Prasat Prei Prasat ; Chapelles de hôpitaux, portes et Prasat Chrung d'Angkor Thom
Bayon
Banteay Chmar
Vat Nokor, Ta Prohm de Bati, Vat Banon, Prasat Preah Stung, Prasat Thkol & Damrei
Muang Sing, Wat Kamphaeng Laeng & Phra Prang Sam Yod

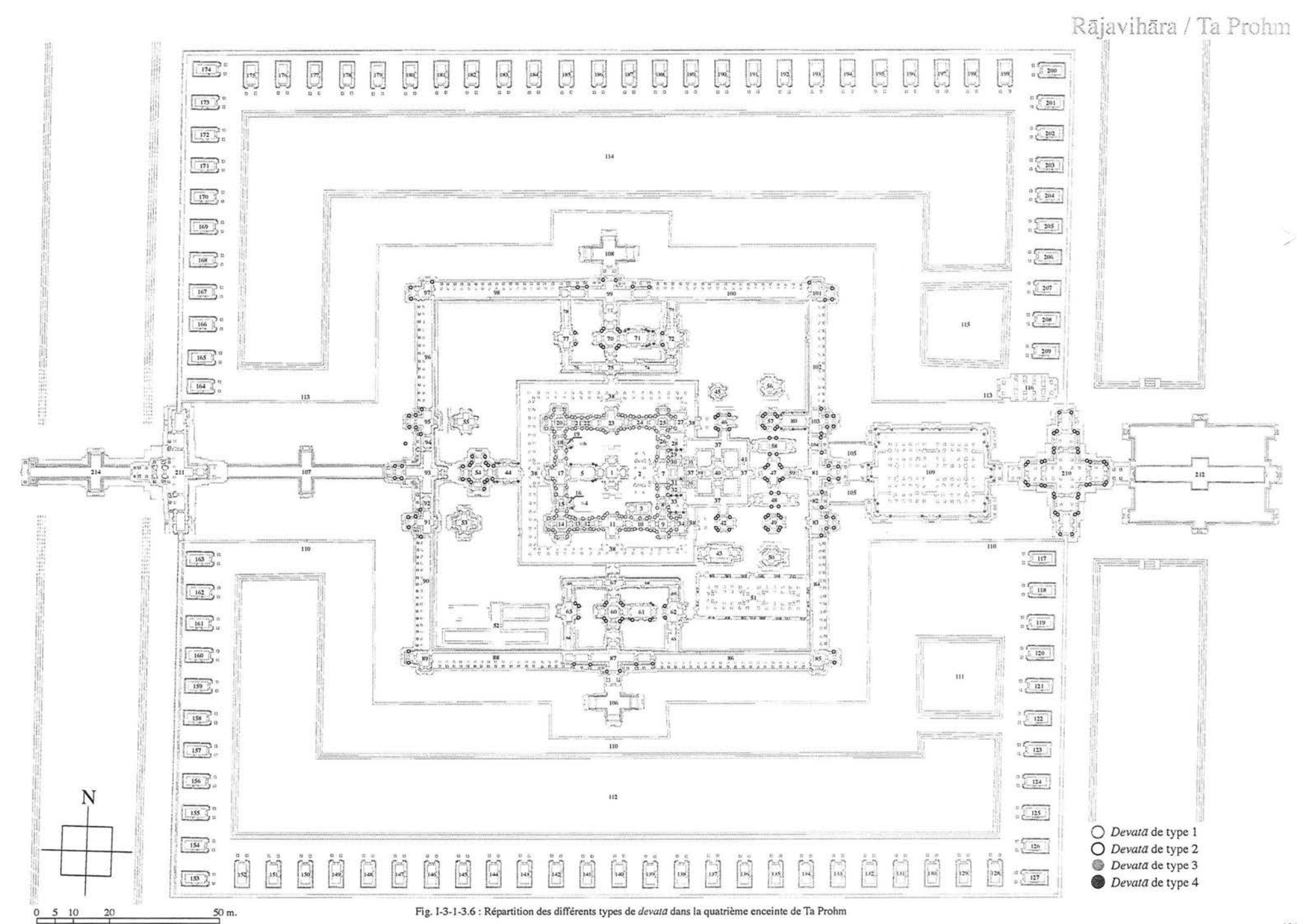


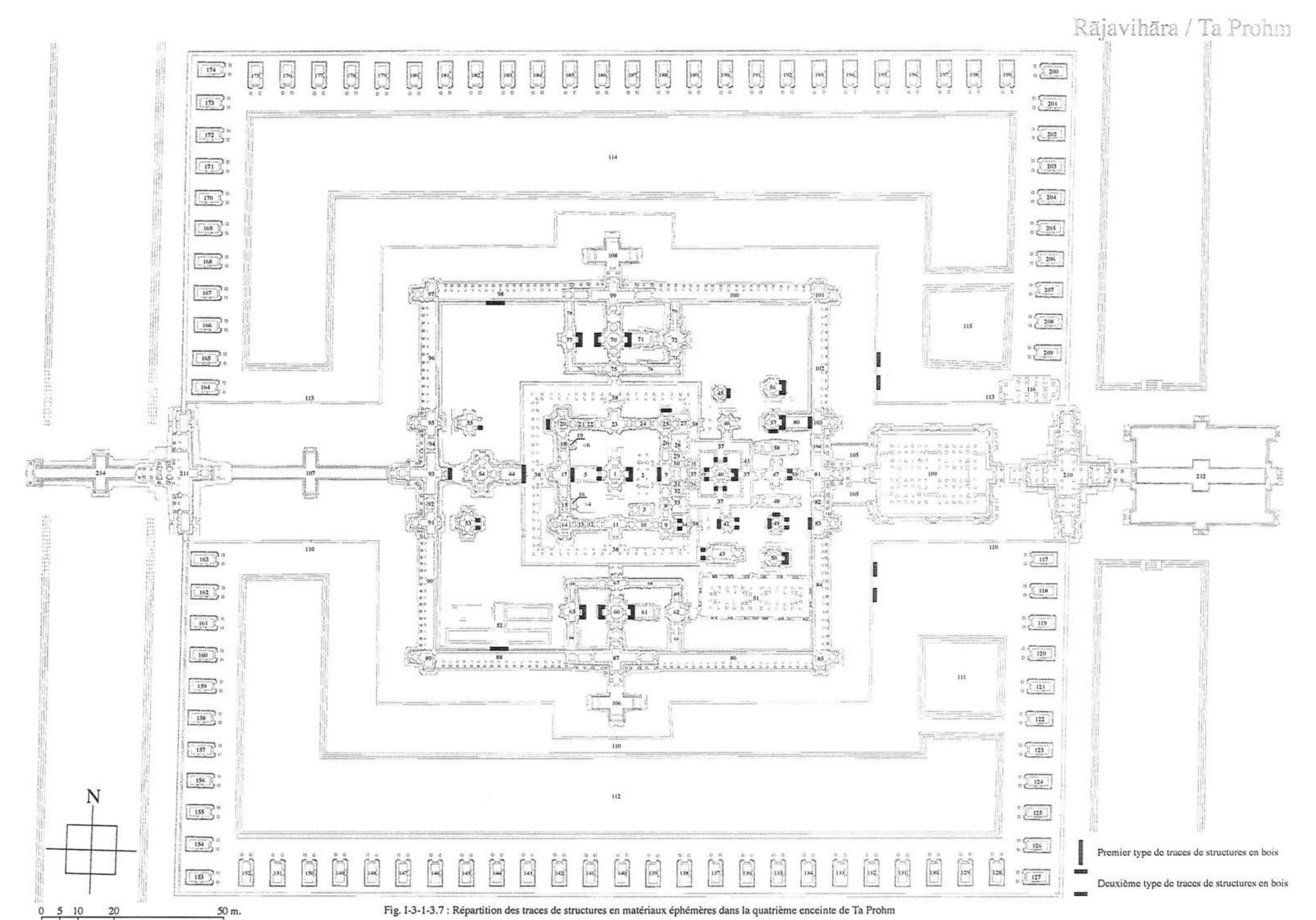


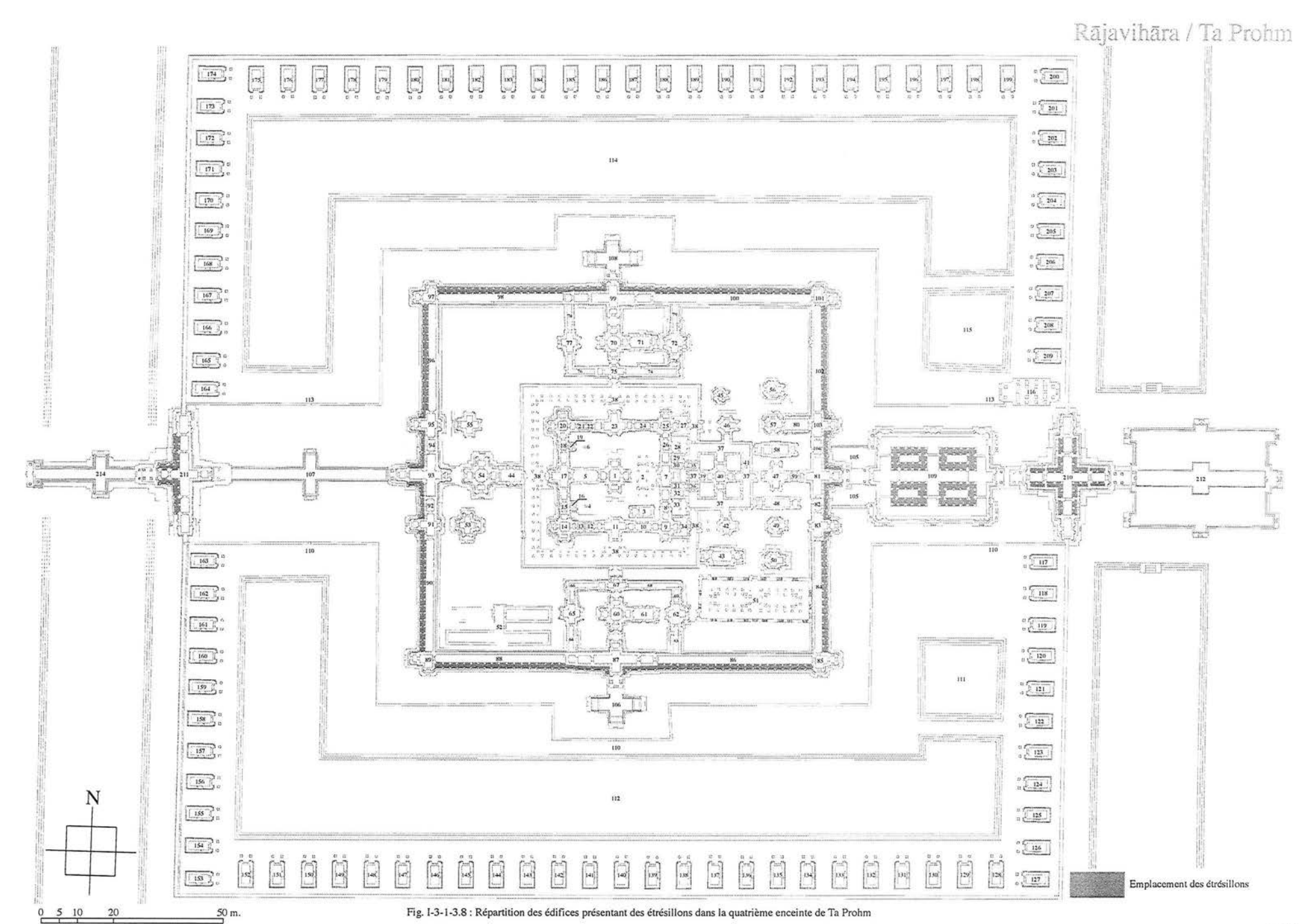












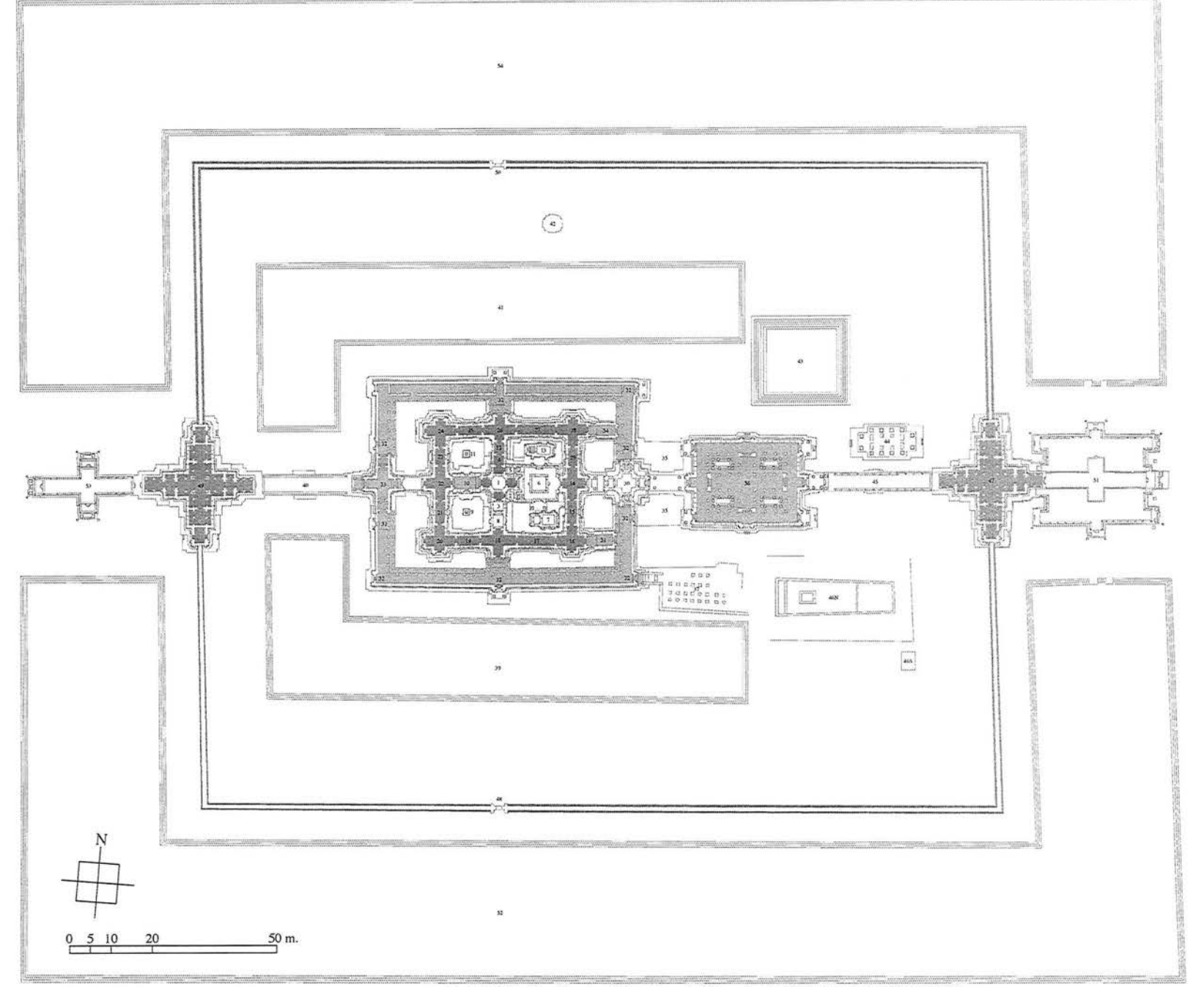


Fig. I-3-1-3.9: Répartition des différents types de faîtages dans la troisième enceinte de Banteay Kdei

Premier type de faîtage

Deuxième type de faîtage

Troisième type de faîtage

Quatrième type de faîtage

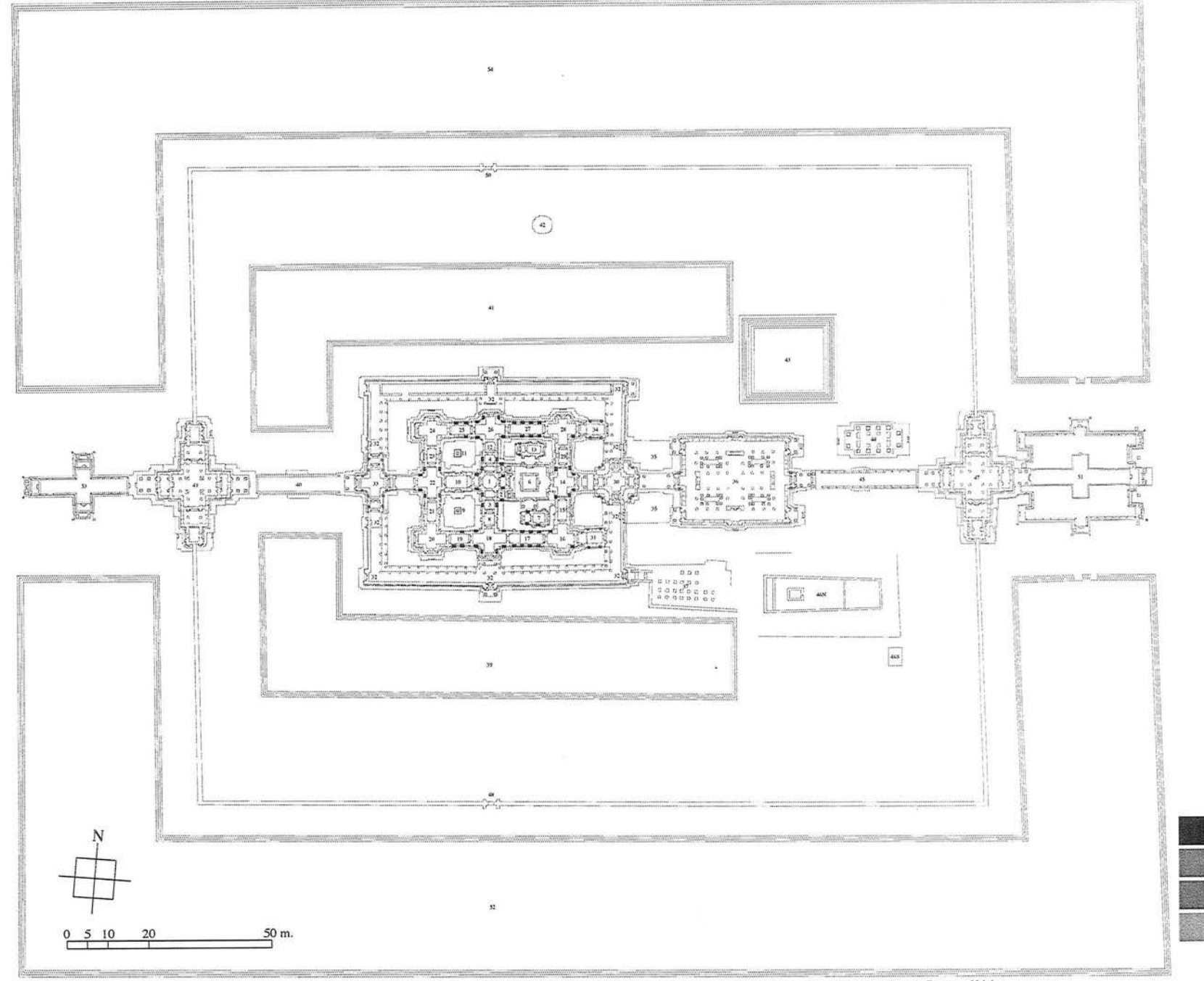


Fig. I-3-1-3.10 : Répartition des différents types de fausses-fenêtres dans la troisième enceinte de Banteay Kdei

Premier type de fausse-fenêtre

Deuxième type de fausse-fenêtre

Troisième type de fausse-fenêtre

Quatrième type de fausse-fenêtre

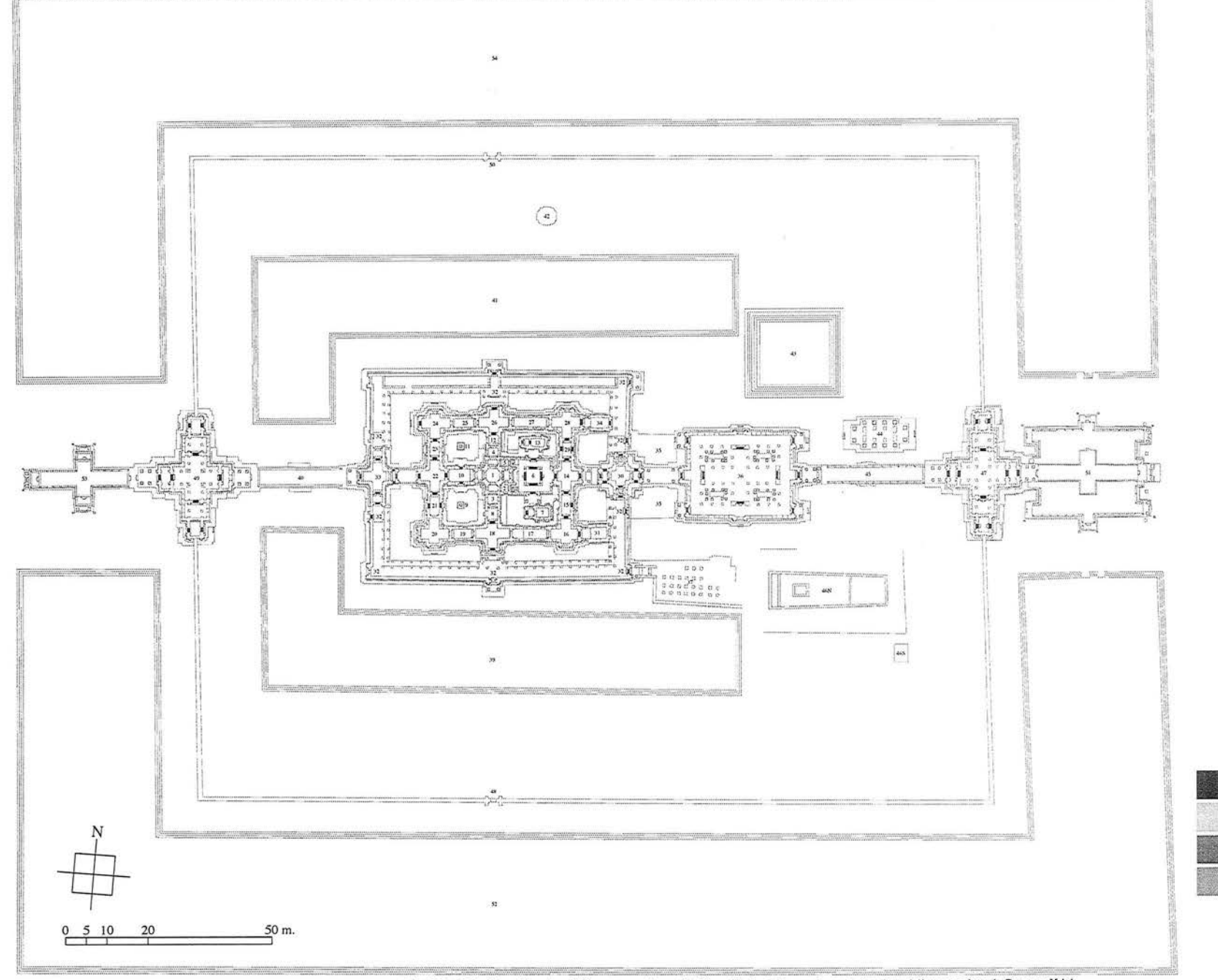


Fig. I-3-1-3.11 : Répartition des différents types de motifs décoratifs des tableaux de porte dans la troisième enceinte de Banteay Kdei

Premier type de tableaux de porte

Deuxième type de tableaux de porte

Troisième type de tableaux de porte

Quatrième type de tableaux de porte





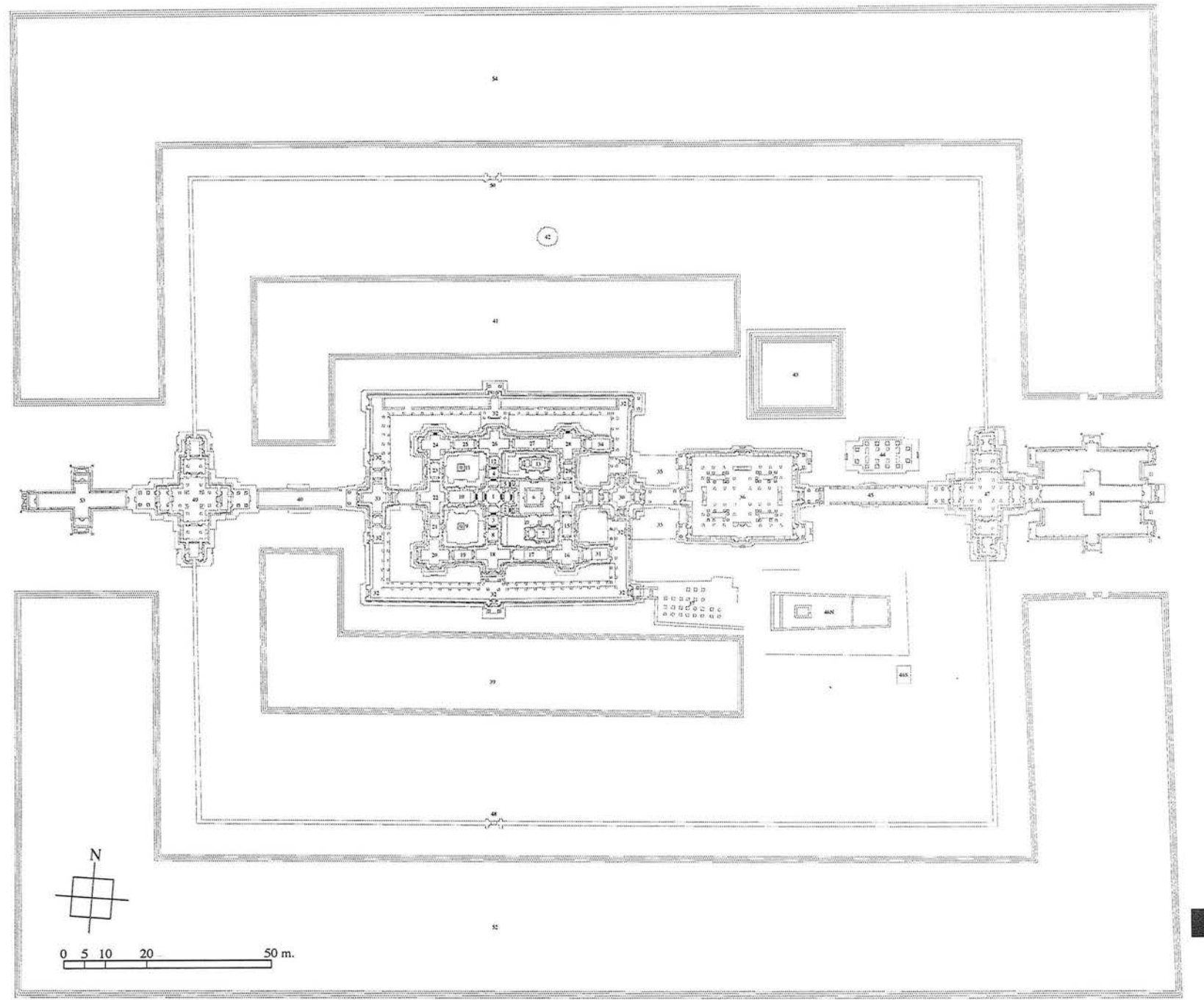


Fig. I-3-1-3.12 : Répartition des tableaux de porte volontairement burinés dans la troisième enceinte de Banteay Kdei

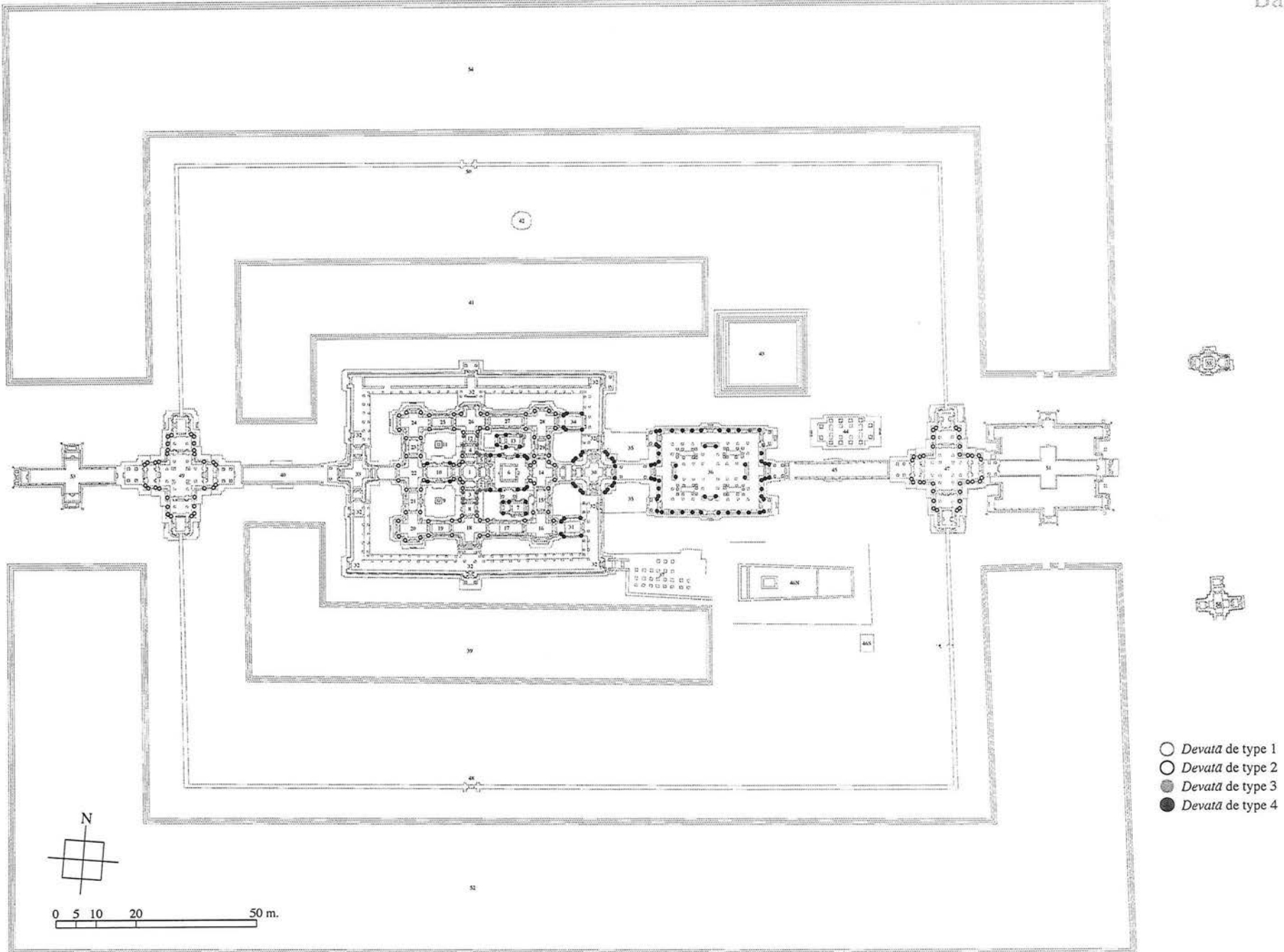
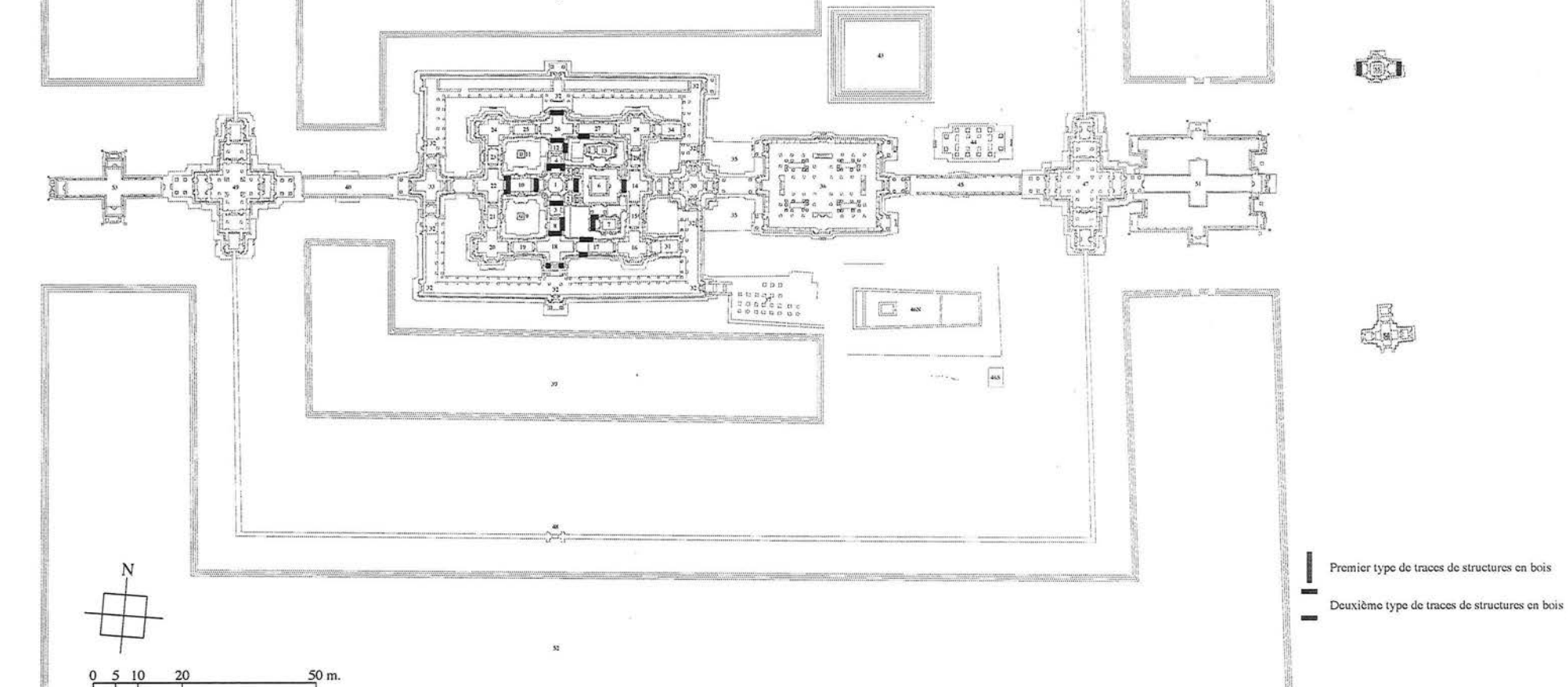


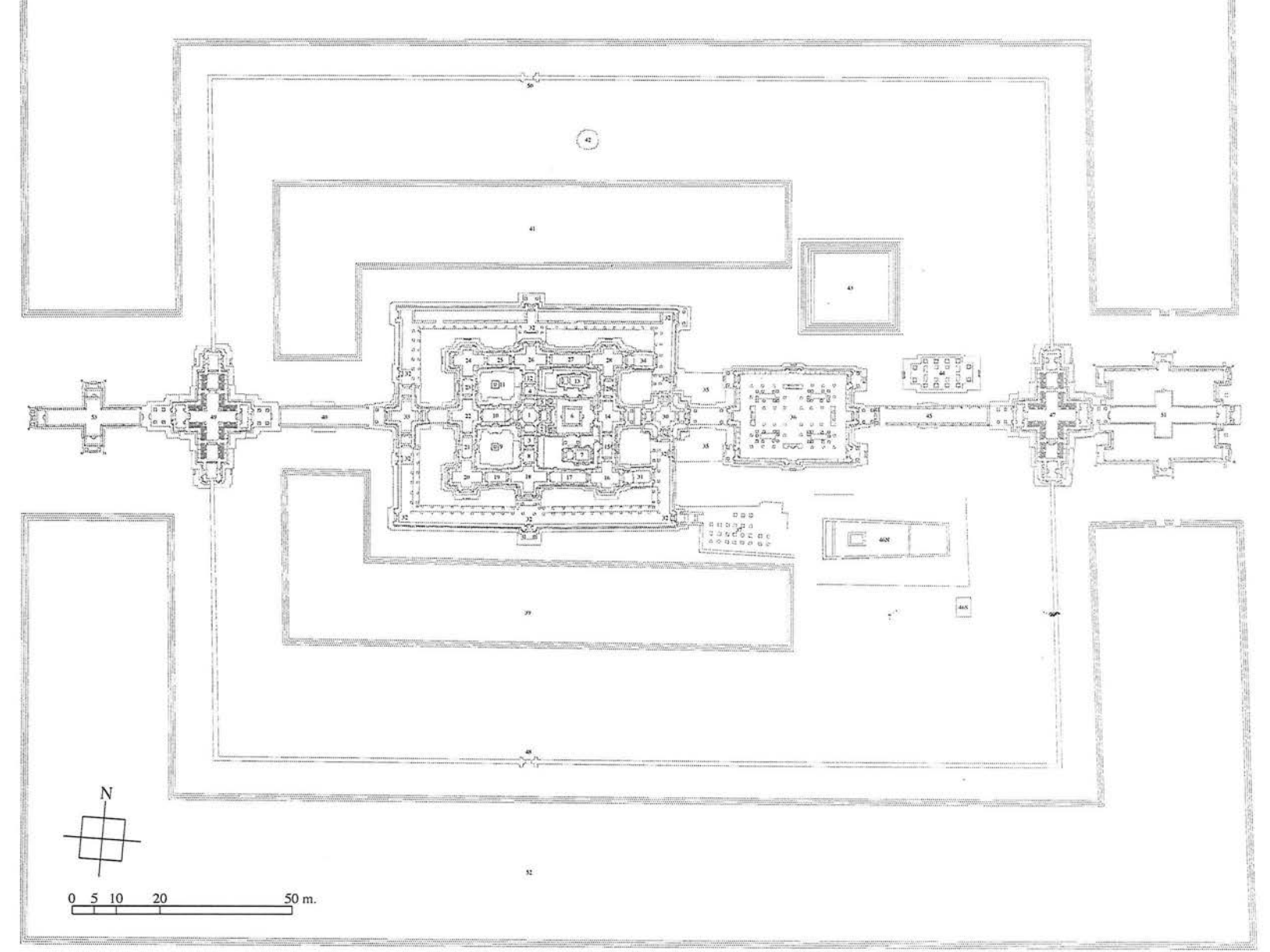
Fig. I-3-1-3.13 : Répartition des différents types de devata dans la troisième enceinte de Banteay Kdei



(9)

Premier type de traces de structures en bois

Fig. I-3-1-3.14: Répartition des traces de structures en matériaux éphémères dans la troisième enceinte de Banteay Kdei



Emplacement des étrésillons

Fig. 1-3-1-3.15: Répartition des édifices présentant des étrésillons dans la troisième enceinte de Banteay Kdei

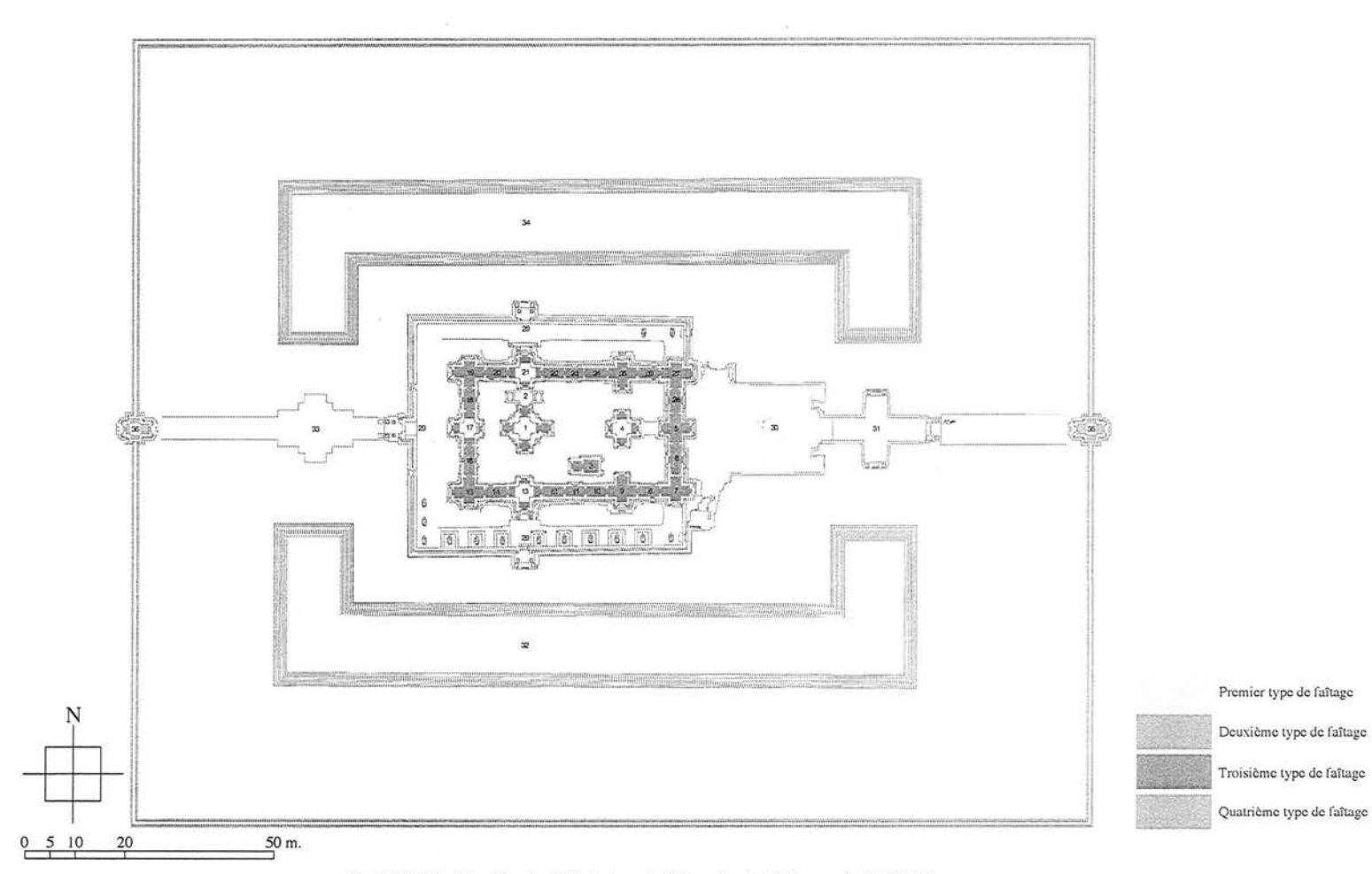


Fig. I-3-1-3.16 : Répartition des différents types de faîtages dans la troisième enceinte de Ta Nei

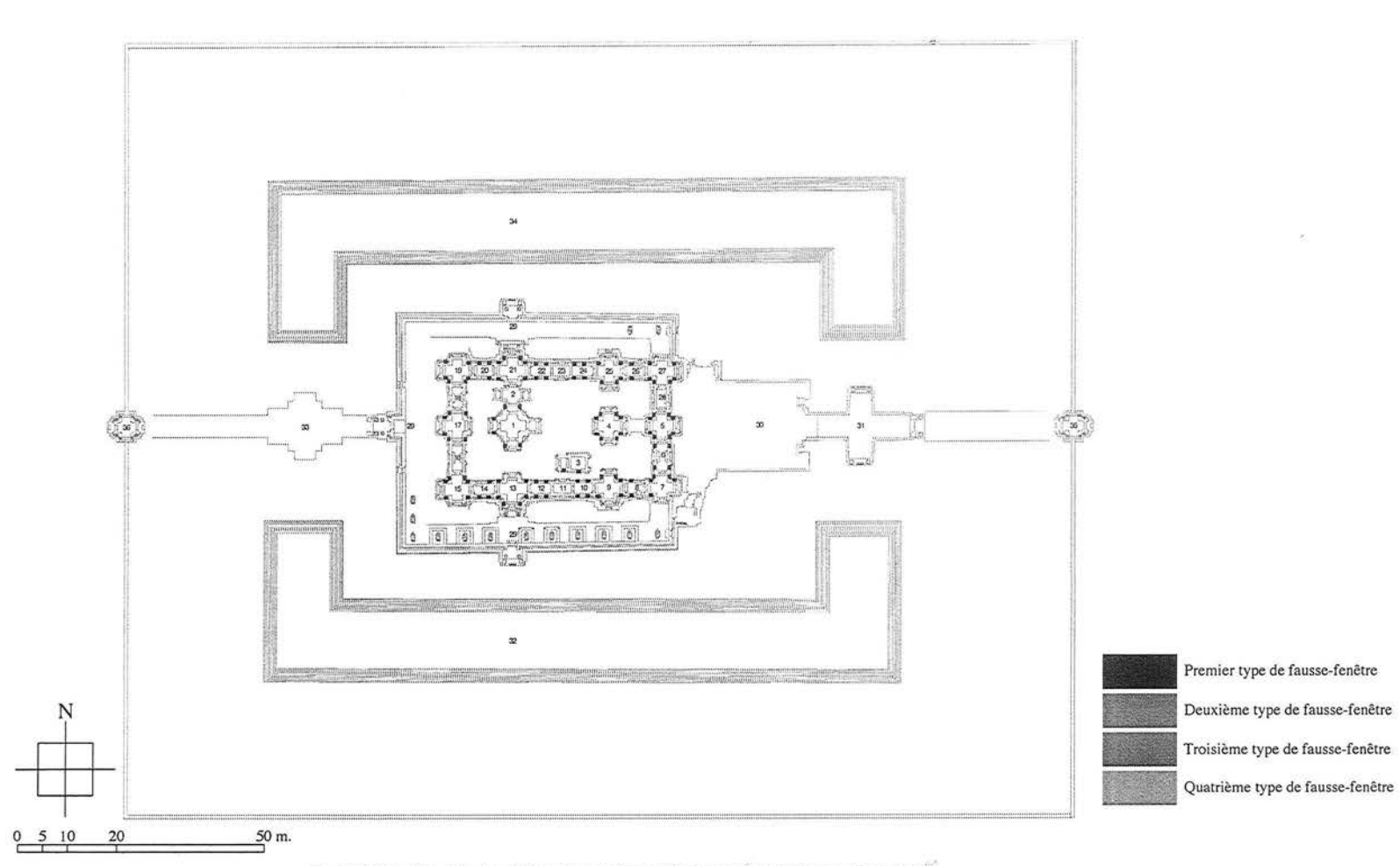


Fig. I-3-1-3.17 : Répartition des différents types de fausses-fenêtres dans la troisième enceinte de Ta Nei

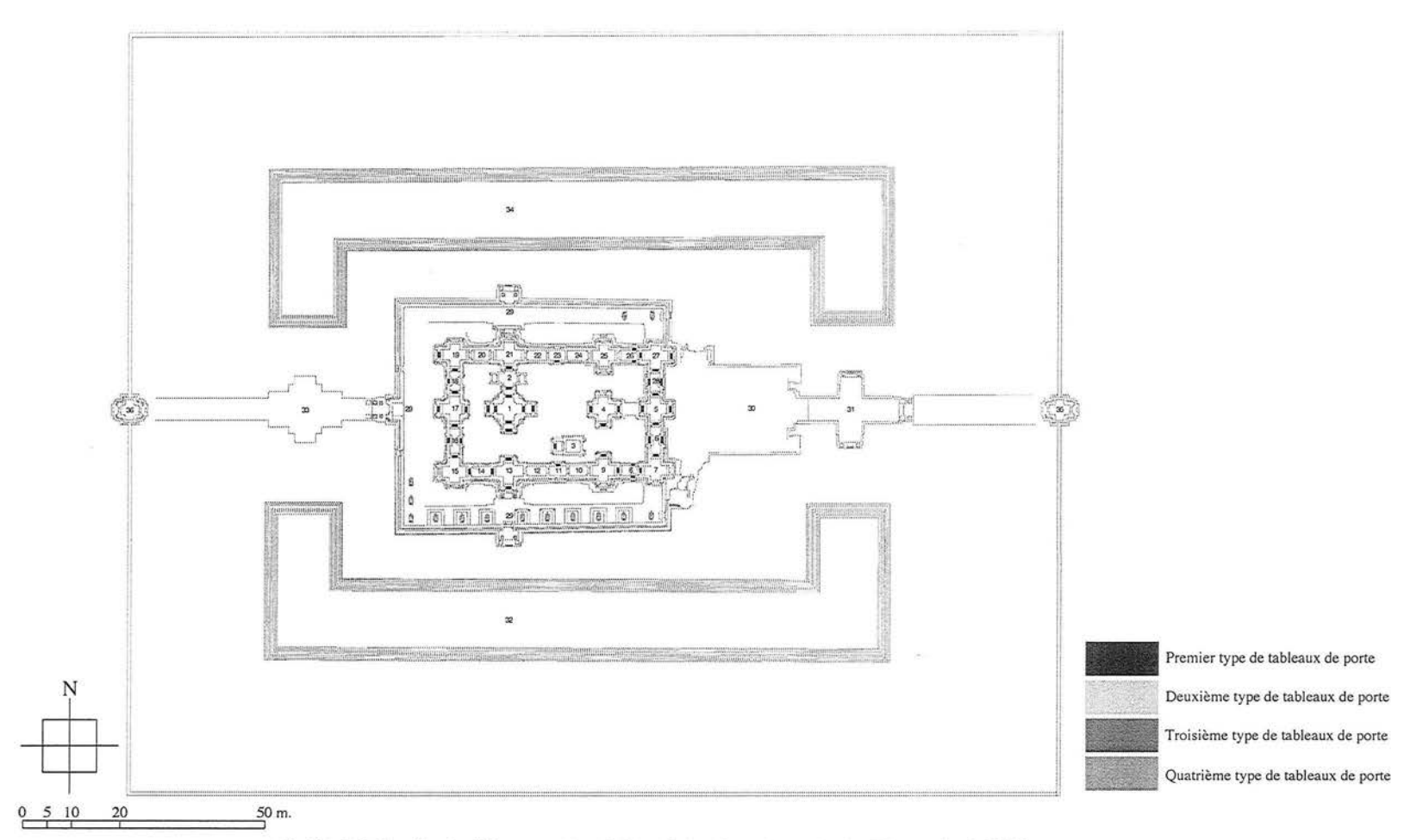


Fig. I-3-1-3.18 : Répartition des différents types de motifs décoratifs des tableaux de porte dans la troisième enceinte de Ta Nei

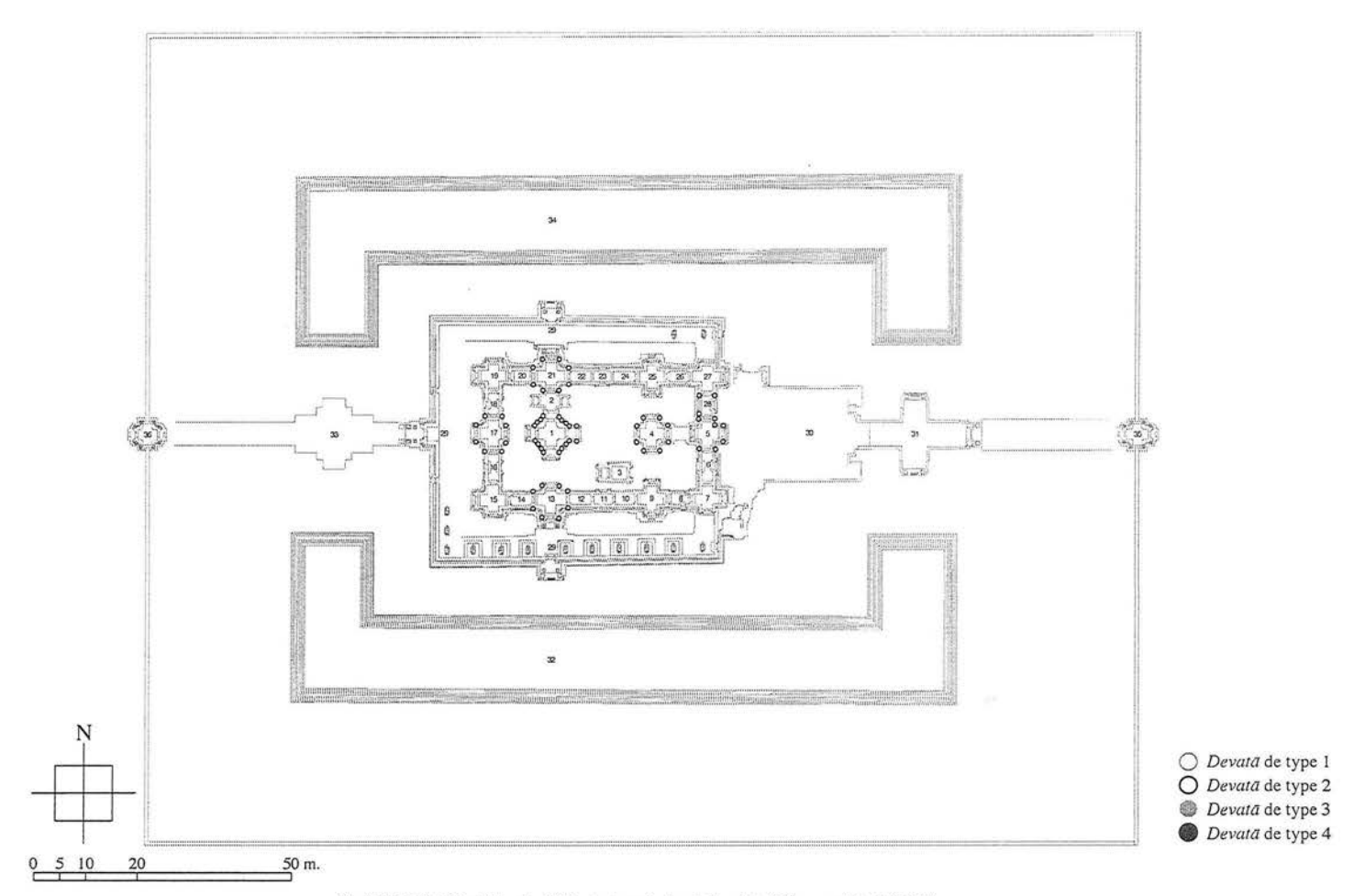


Fig. I-3-1-3.19 : Répartition des différents types de devata dans la troisième enceinte de Ta Nei

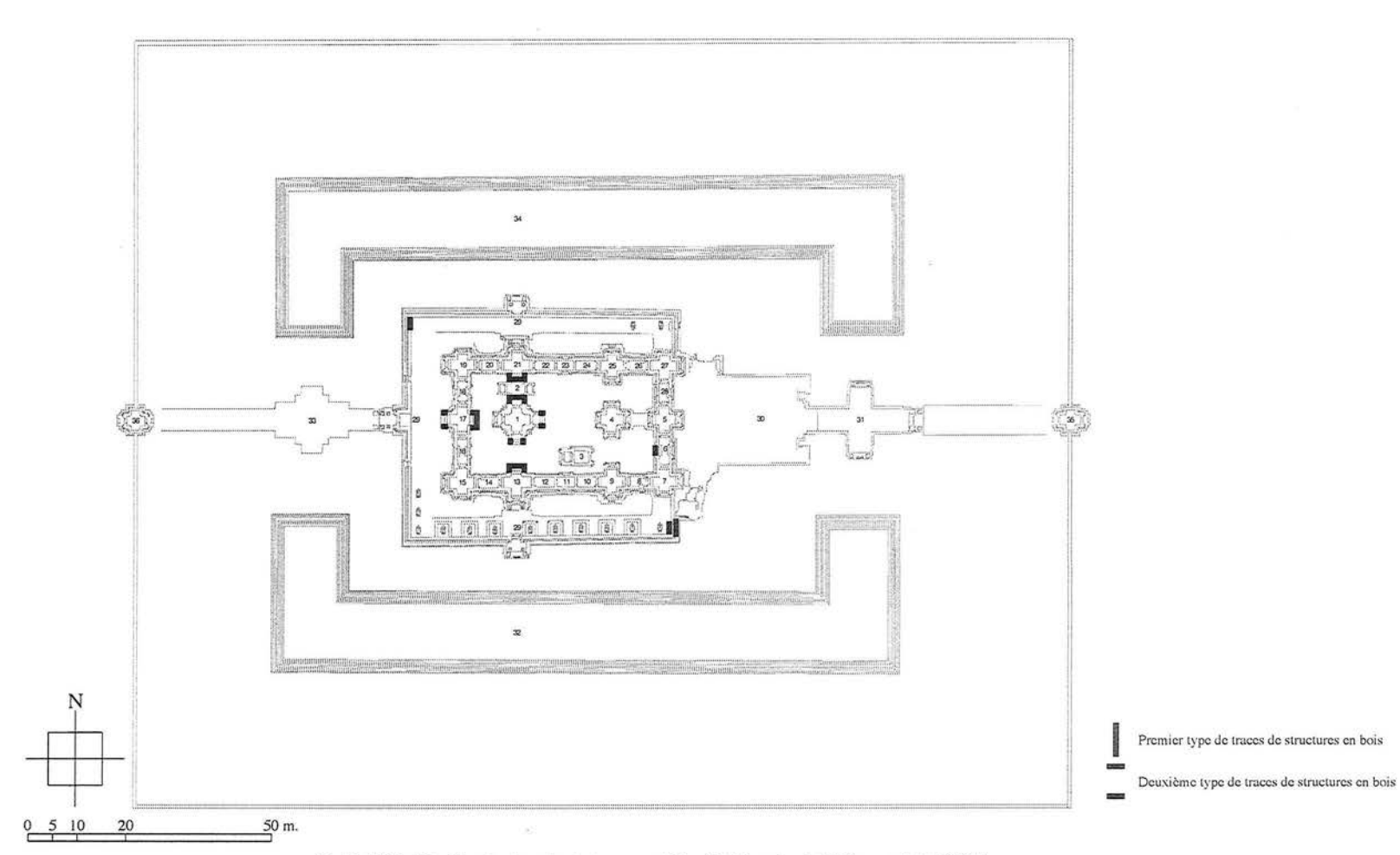


Fig. I-3-1-3.20 : Répartition des traces de structures en matériaux éphémères dans la troisième enceinte de Ta Nei

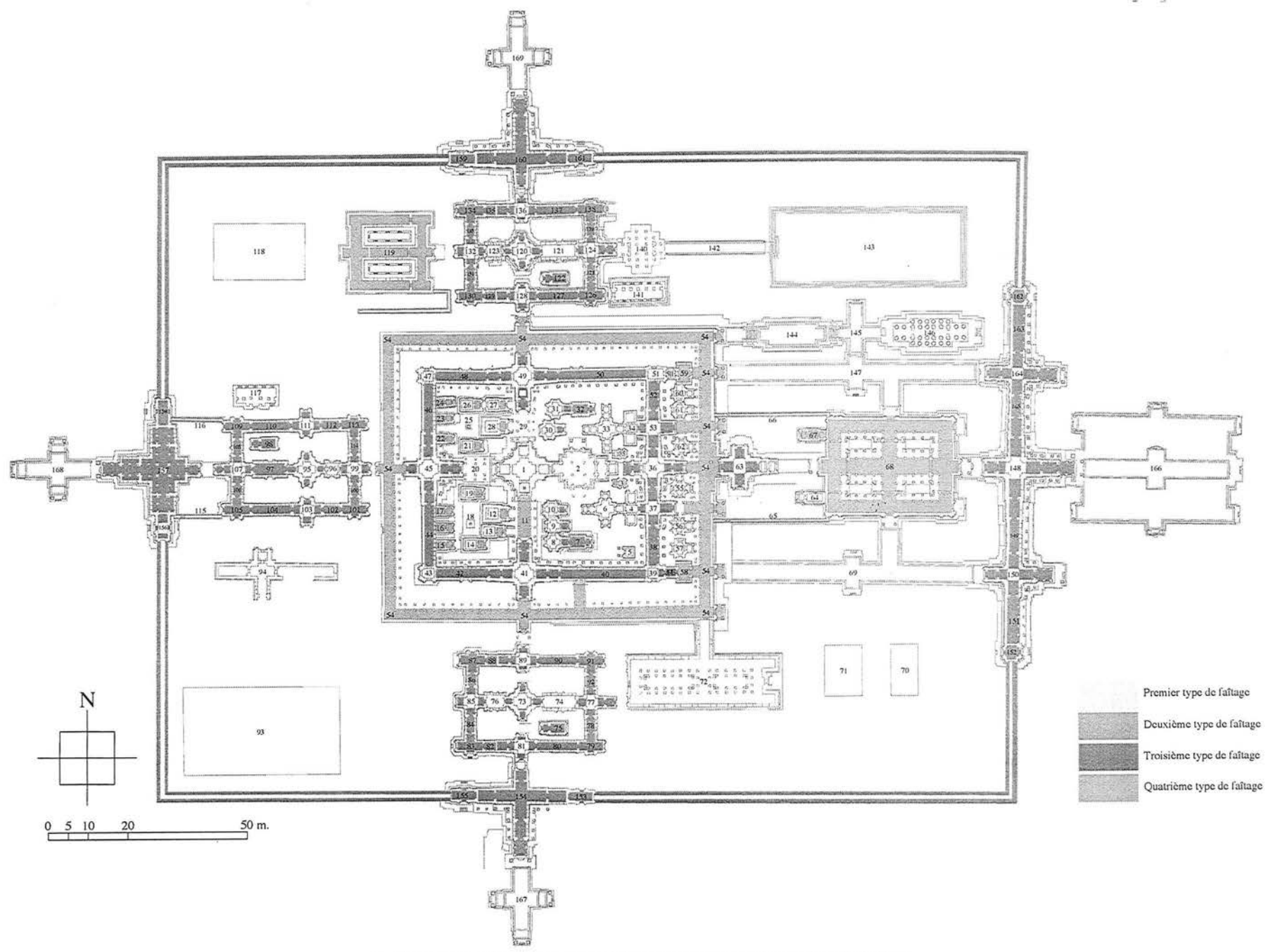


Fig. I-3-1-3.21 : Répartition des différents types de faîtages dans la troisième enceinte du Preah Khan d'Angkor

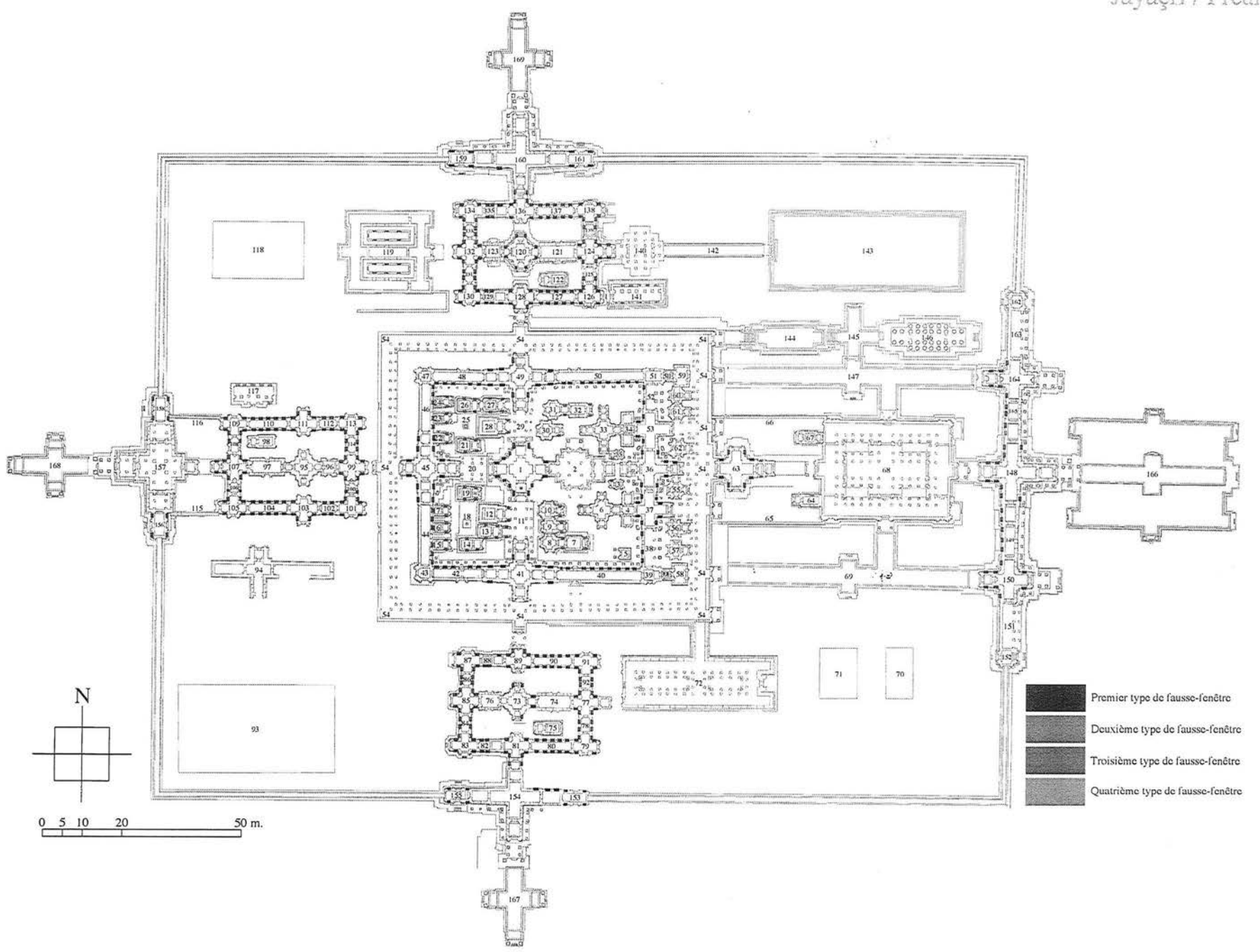


Fig. I-3-1-3.22 : Répartition des différents types de fausses-fenêtres dans la troisième enceinte du Preah Khan d'Angkor

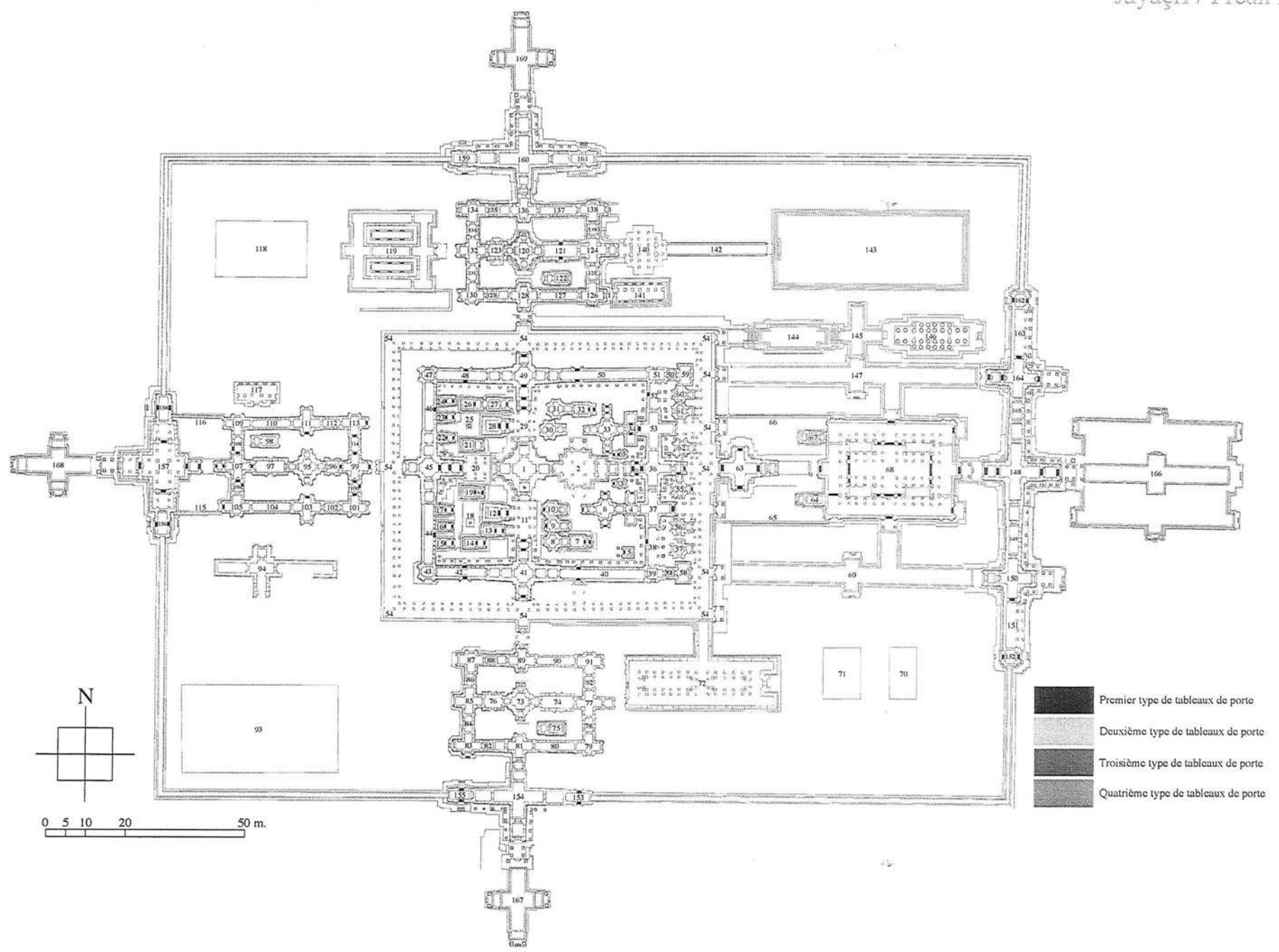


Fig. I-3-1-3.23 : Répartition des différents types de tableaux de porte dans la troisième enceinte du Preah Khan d'Angkor

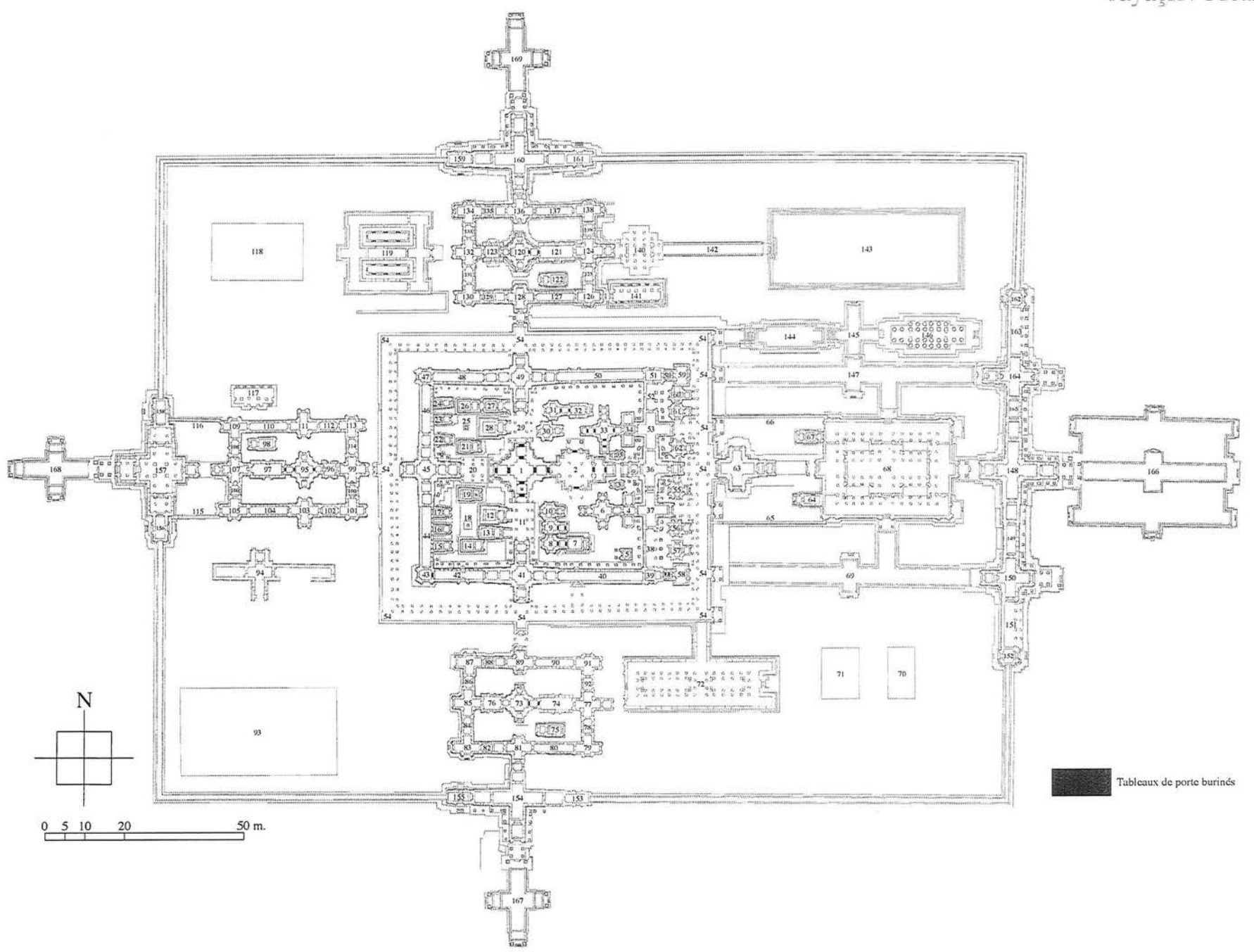


Fig. I-3-1-3.24: Répartition des tableaux de porte volontairement burinés dans la troisième enceinte du Preah Khan d'Angkor

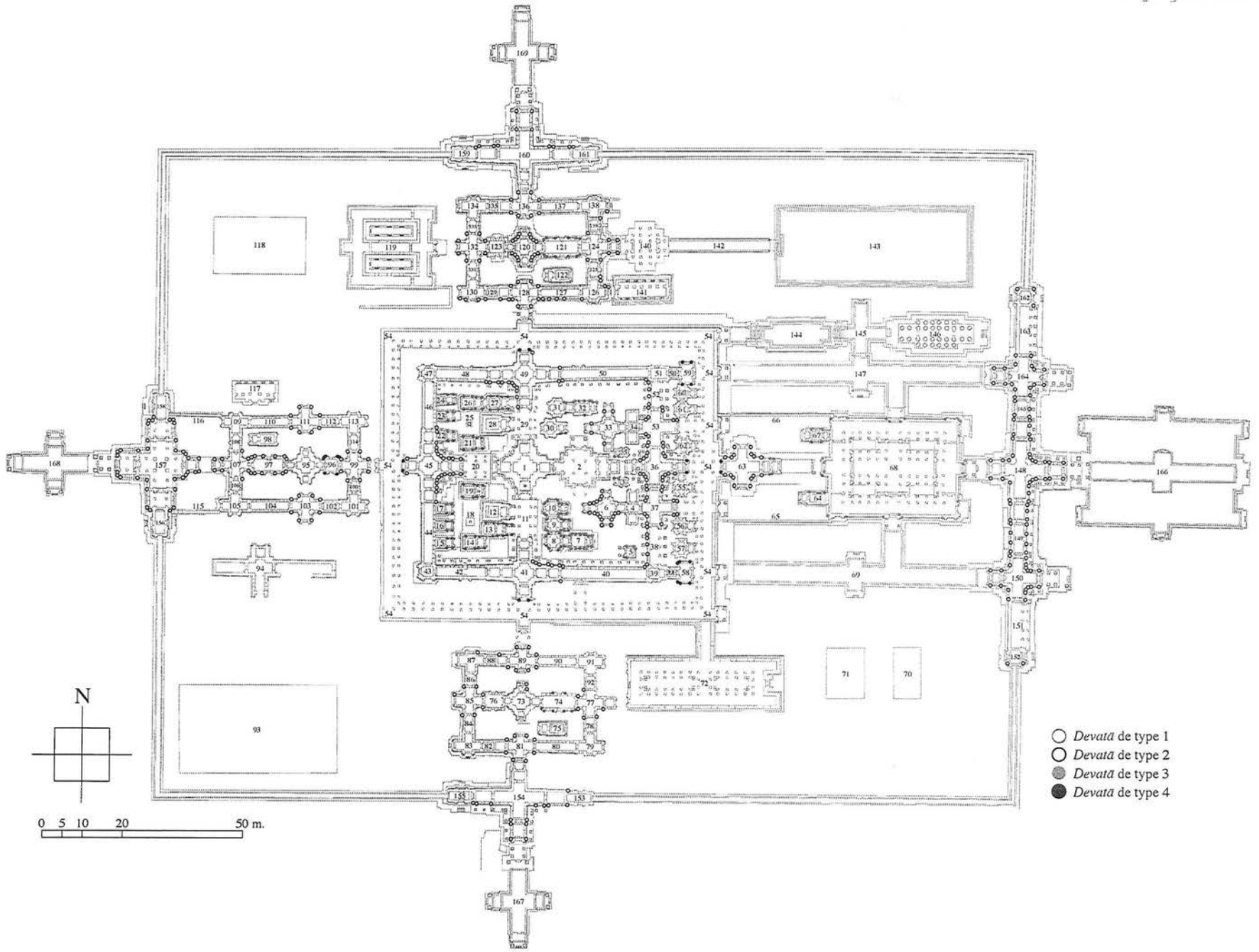


Fig. I-3-1-3.25 : Répartition des différents types de devata dans la troisième enceinte du Preah Khan d'Angkor

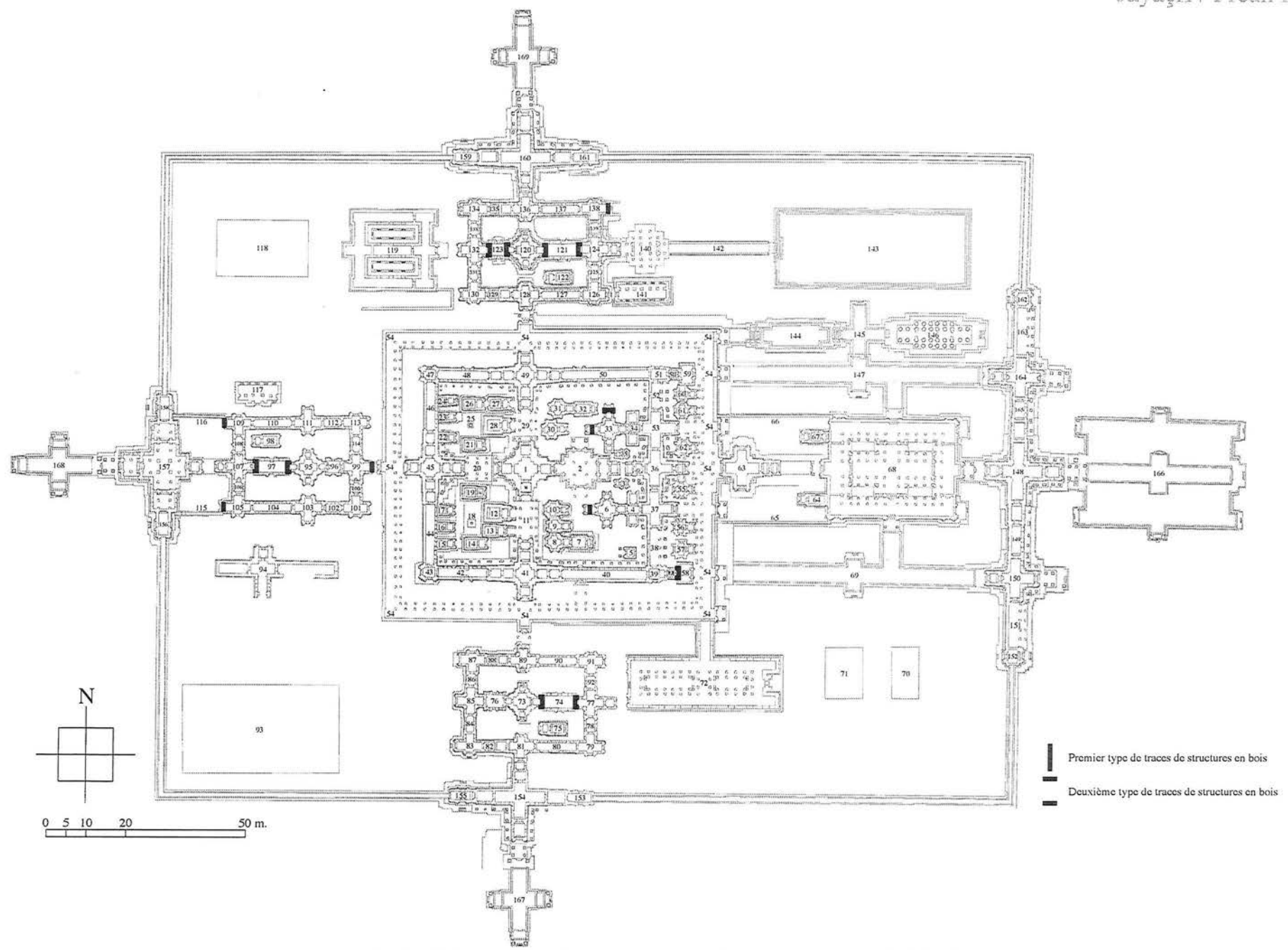


Fig. I-3-1-3.26: Répartition des traces de structures en matériaux éphémères dans la troisième enceinte du Preah Khan d'Angkor

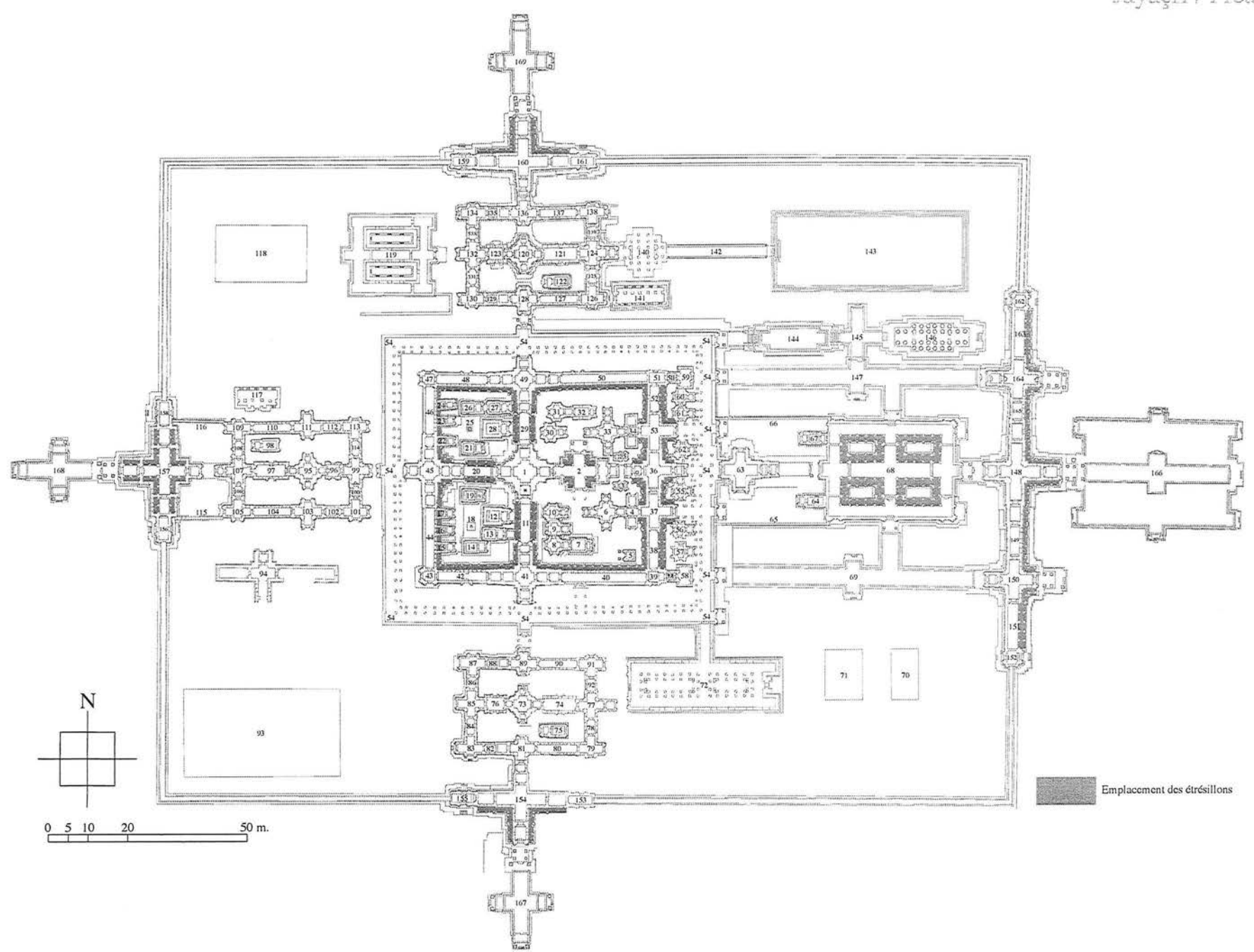


Fig. I-3-1-3.27 : Répartition des édifices présentant des étrésillons dans la troisième enceinte du Preah Khan d'Angkor

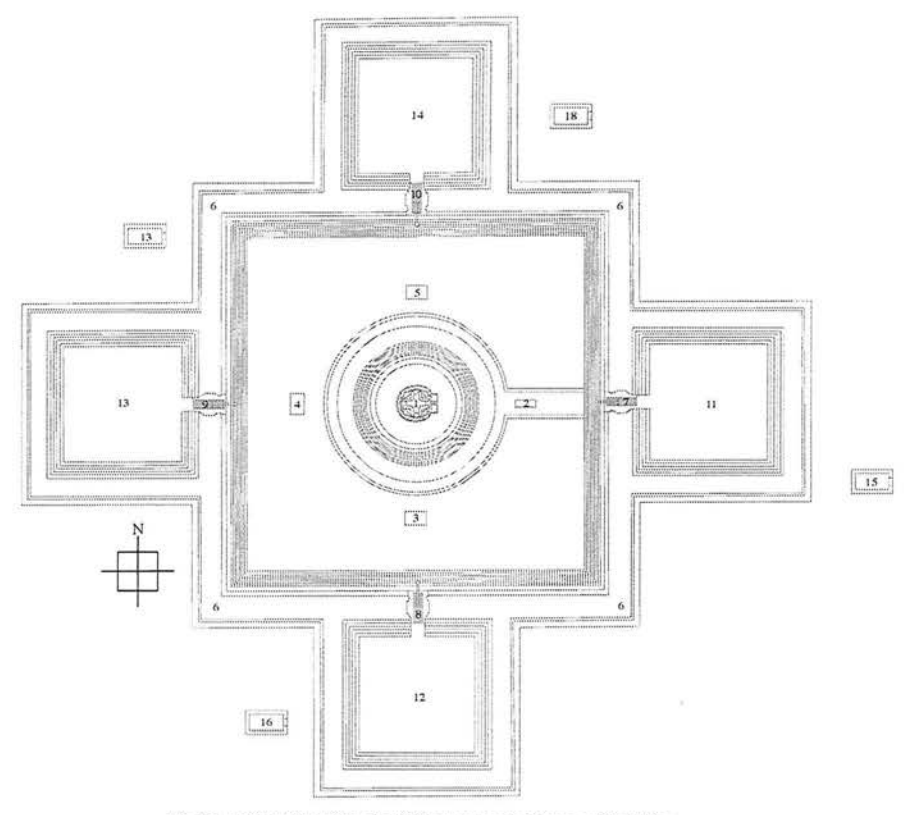


Fig. I-3-1-3.28 : Répartition des différents types de faîtages au Neak Pean

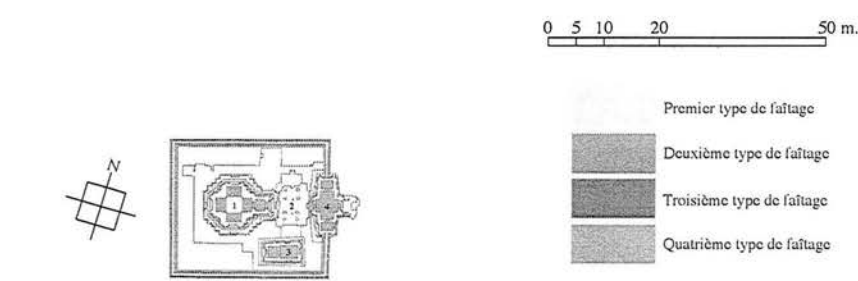


Fig. I-3-1-3.30 : Répartition des différents types de faîtages à Prasat Prei

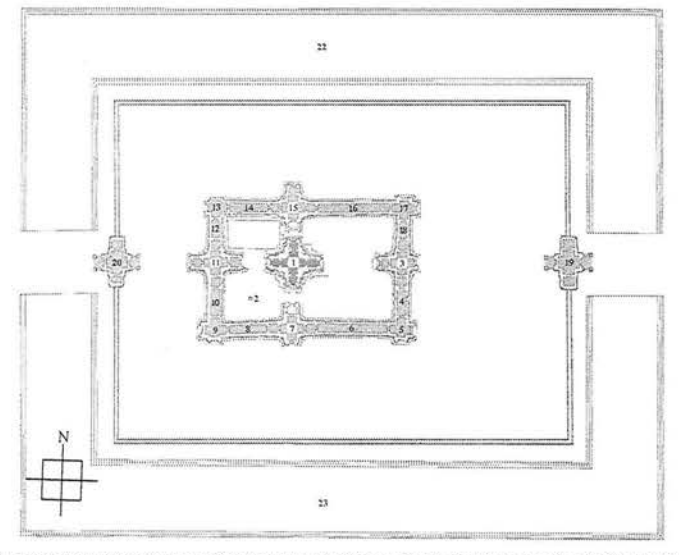


Fig. I-3-1-3.29 : Répartition des différents types de faîtages dans la deuxième enceinte de Banteay Prei

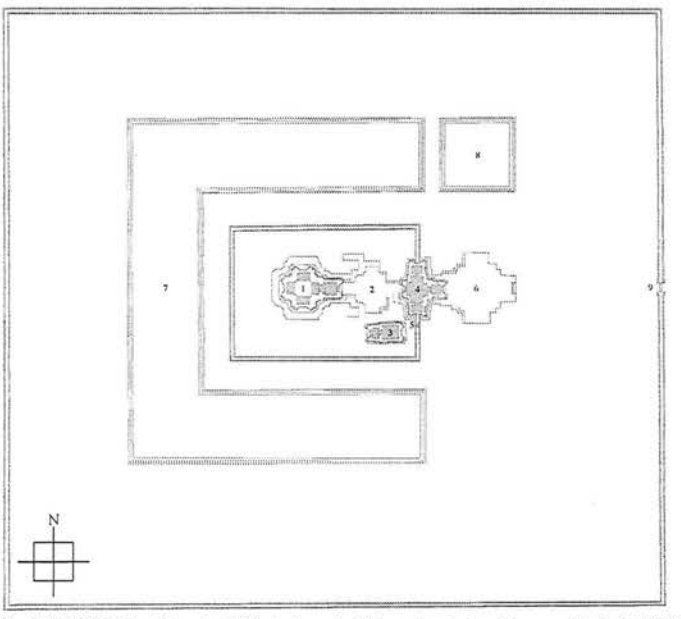


Fig. I-3-1-3.31 : Répartition des différents types de faîtages dans la deuxième enceinte de Krol Kô

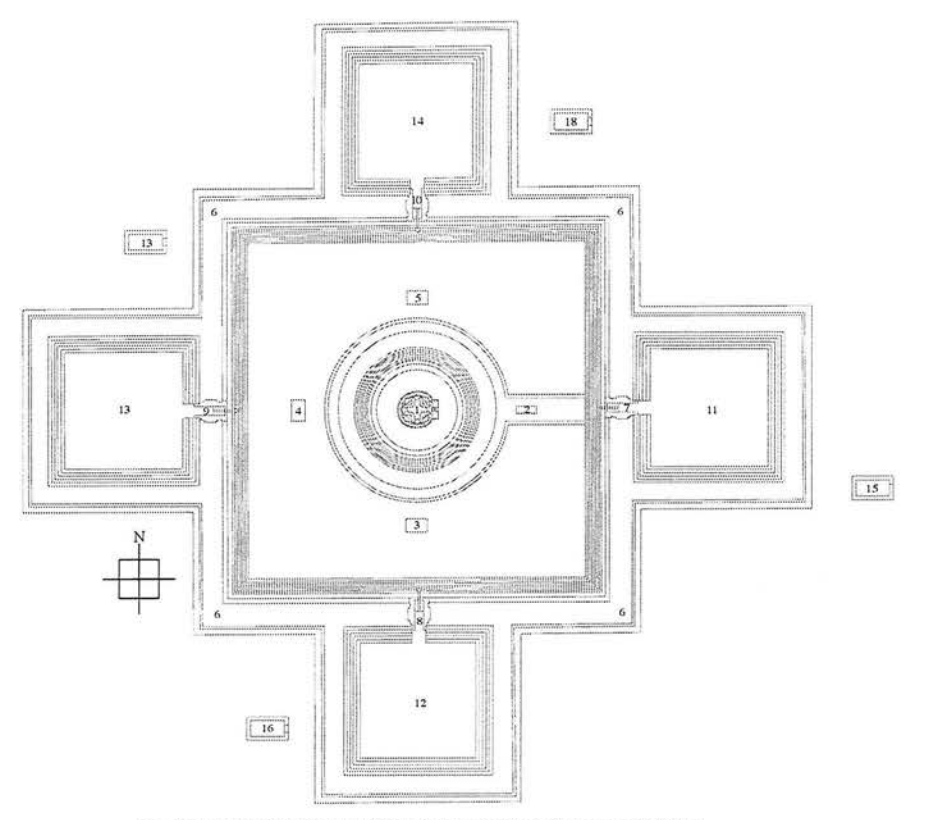


Fig. I-3-1-3.32 : Répartition des différents types de fausses-fenêtres au Neak Pean

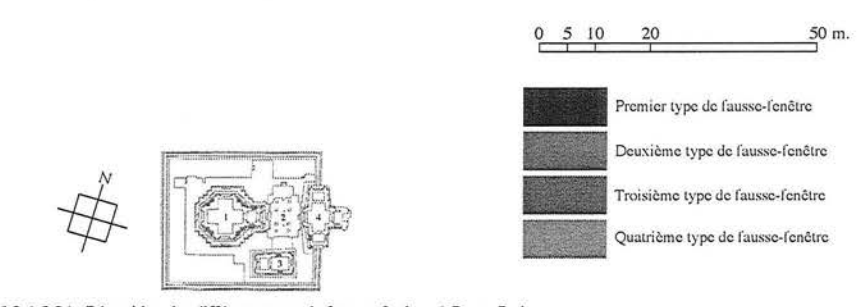


Fig. I-3-1-3.34: Répartition des différents types de fausses-fenêtres à Prasat Prei

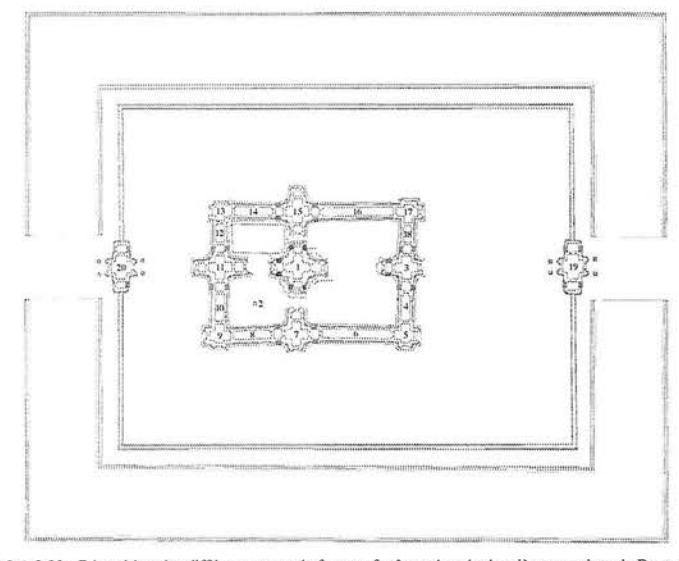


Fig. I-3-1-3.33 : Répartition des différents types de fausses-fenêtres dans la deuxième enceinte de Banteay Prei

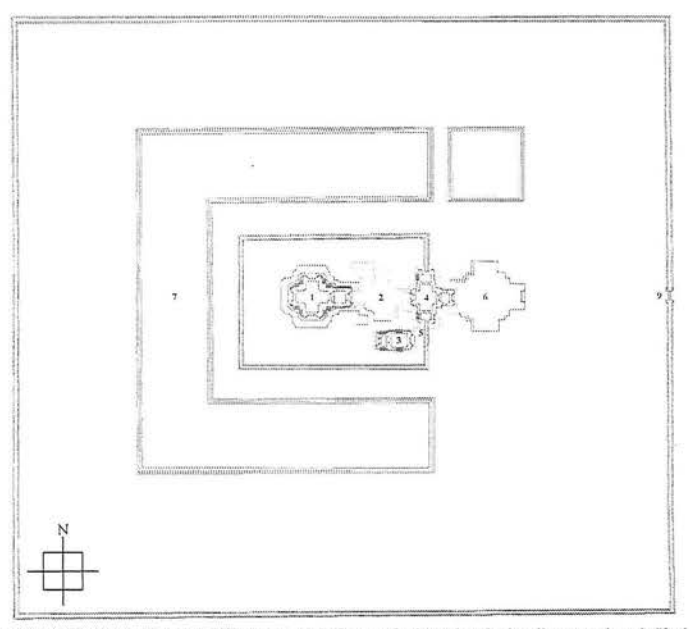


Fig. 1-3-1-3.35 : Répartition des différents types de fausses-fenêtres dans la deuxième enceinte de Krol Kô

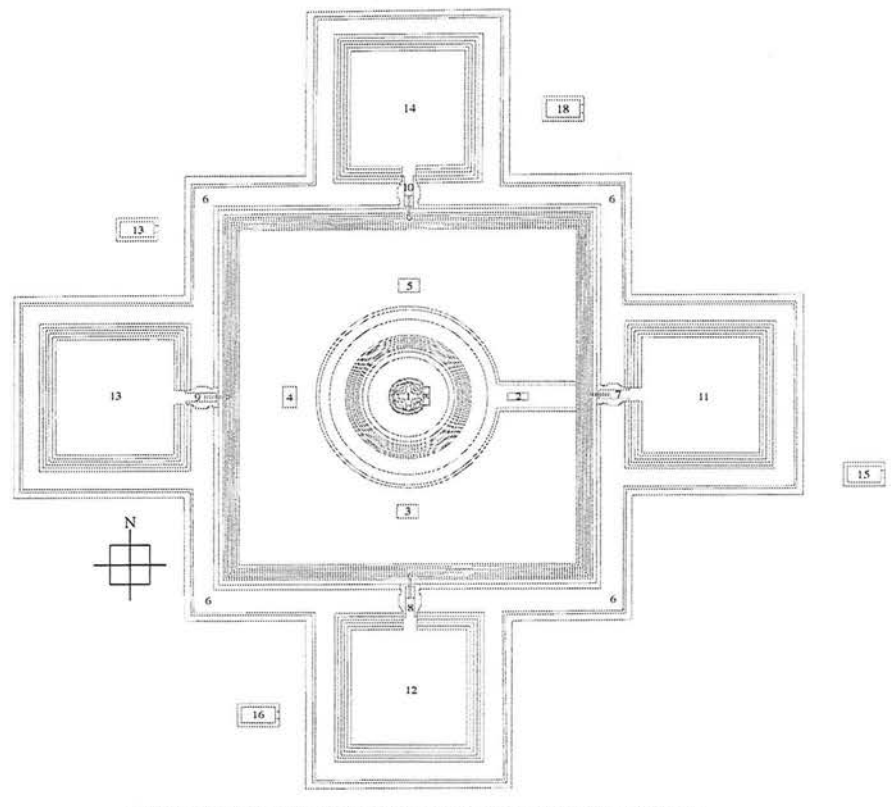


Fig. I-3-1-3.36 : Répartition des différents types de tableaux de porte au Neak Pean

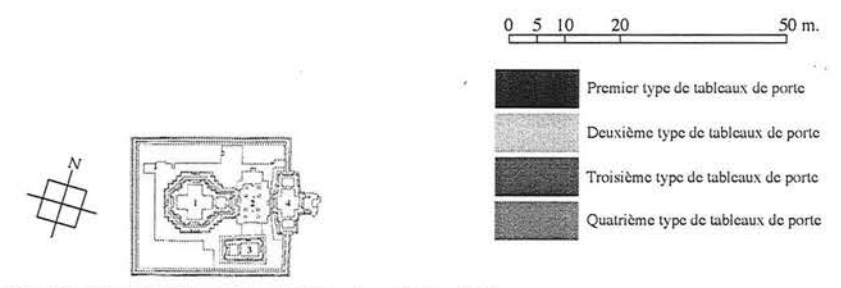


Fig. I-3-1-3.38 : Répartition des différents types de tableaux de porte à Prasat Prei

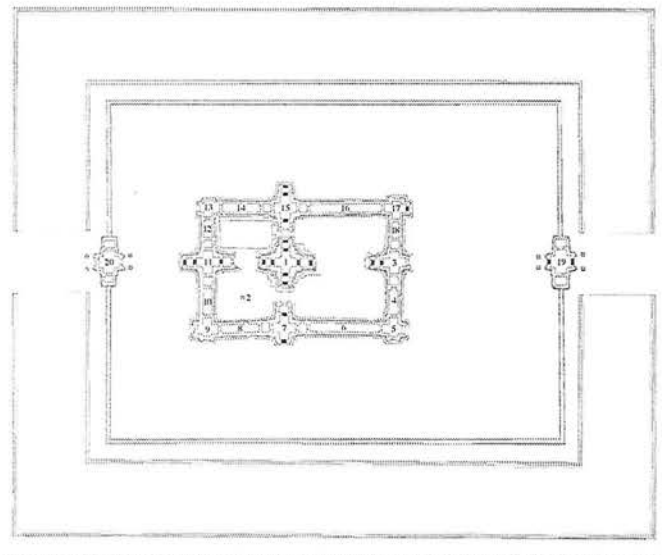


Fig. I-3-1-3.37 : Répartition des différents types de tableaux de porte dans la deuxième enceinte de Banteay Prei

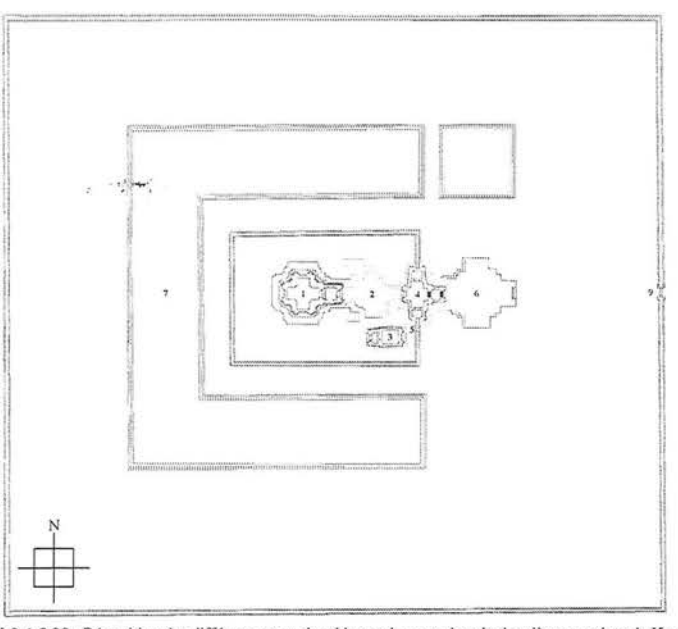


Fig. I-3-1-3.39 : Répartition des différents types de tableaux de porte dans la deuxième enceinte de Krol Kô

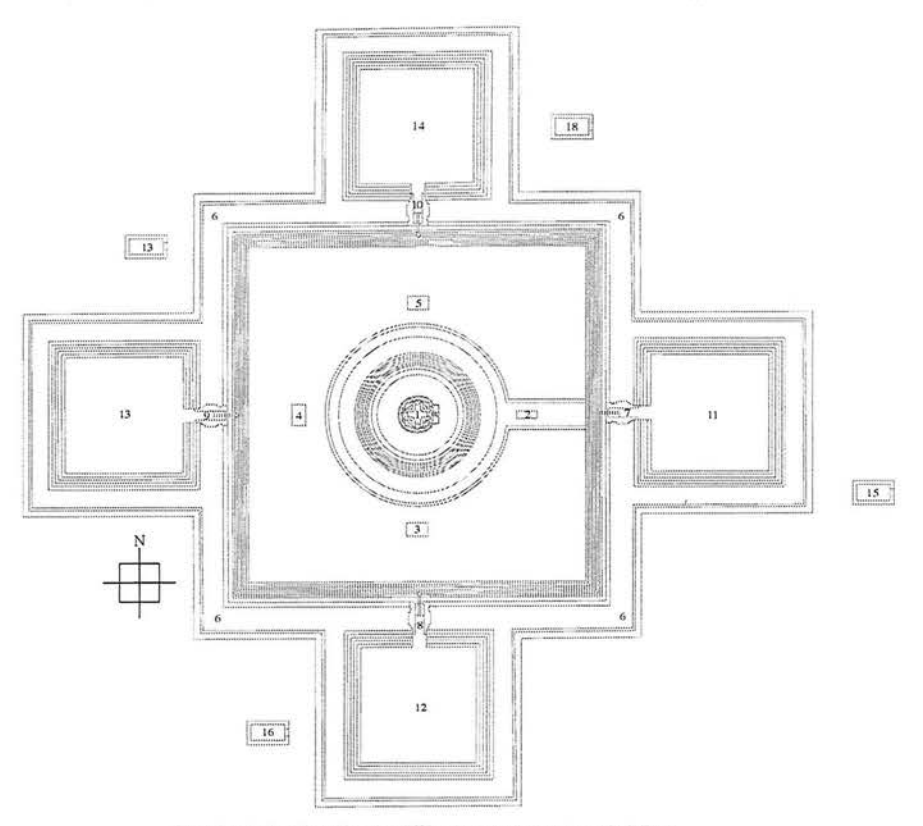


Fig. I-3-1-3.40 : Répartition des différents types de devata au Neak Pean

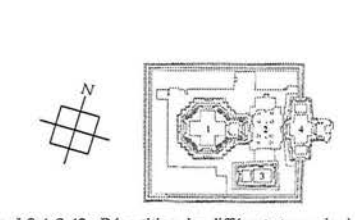
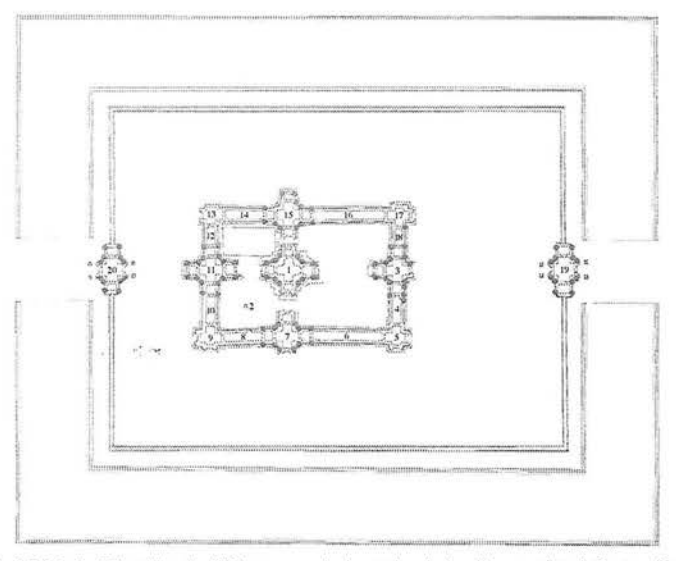


Fig. I-3-1-3.42 : Répartition des différents types de devatā à Prasat Prei



+iq. 1.

O Devata de type 1
O Devata de type 2
Devata de type 3
Devata de type 4

Fig. 1-3-1-3.41 : Répartition des différents types de devata dans la deuxième enceinte de Banteay Prei

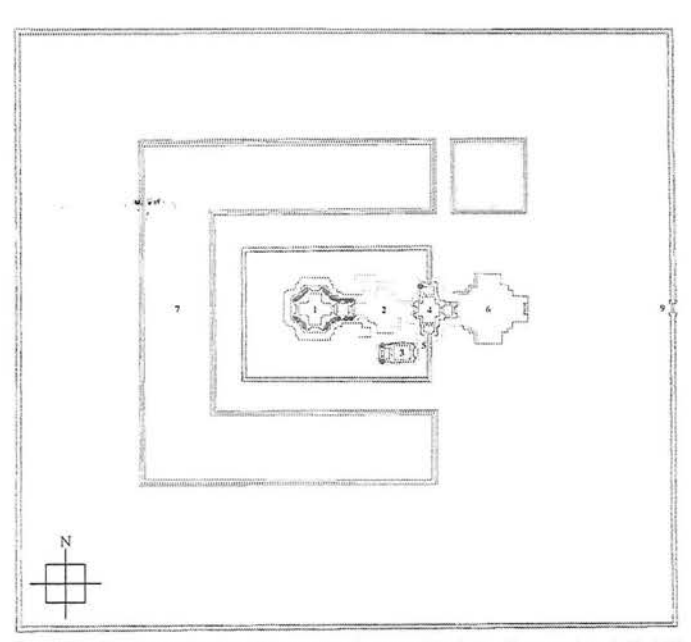


Fig. I-3-1-3.43 : Répartition des différents types de devata dans la deuxième enceinte de Krol Kô

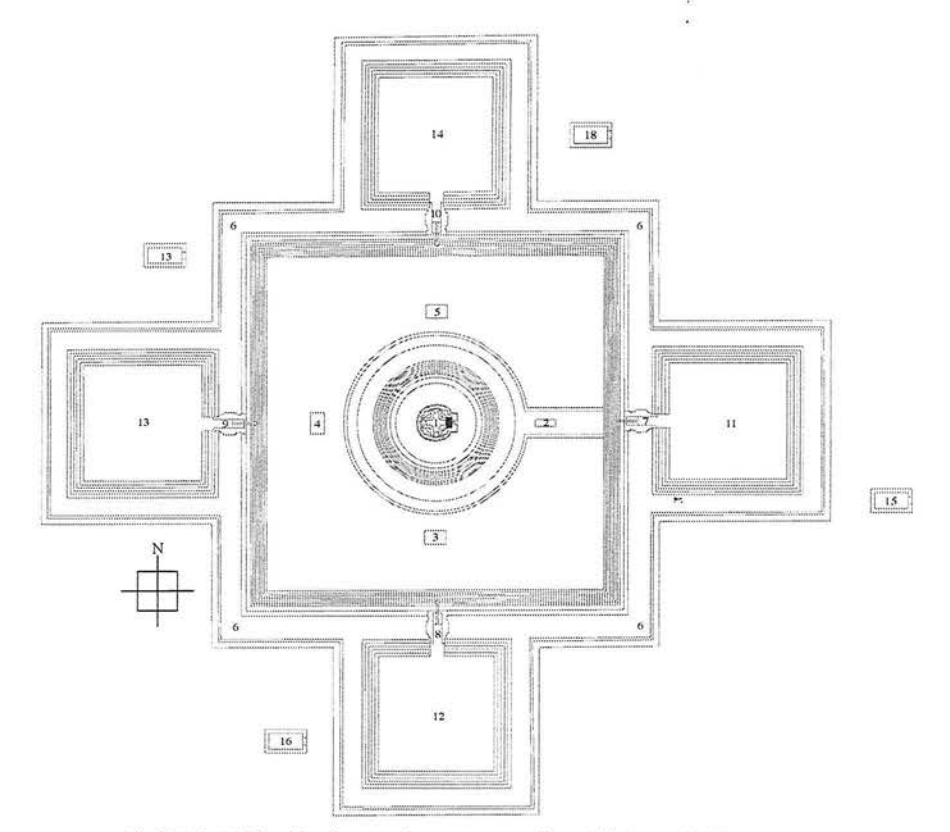


Fig. I-3-1-3.44 : Répartition des traces de structures en matériaux éphémères au Neak Pean

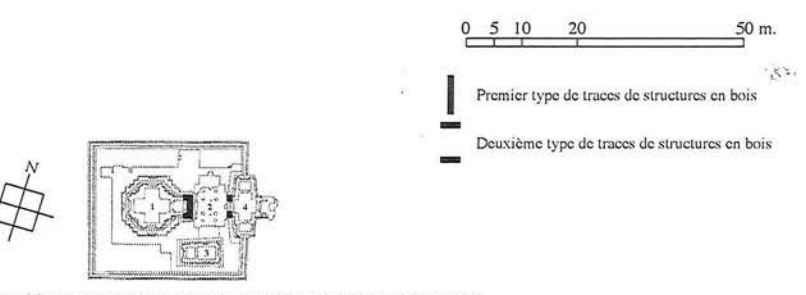


Fig. I-3-1-3.46 : Répartition des traces de structures en matériaux éphémères à Prasat Prei

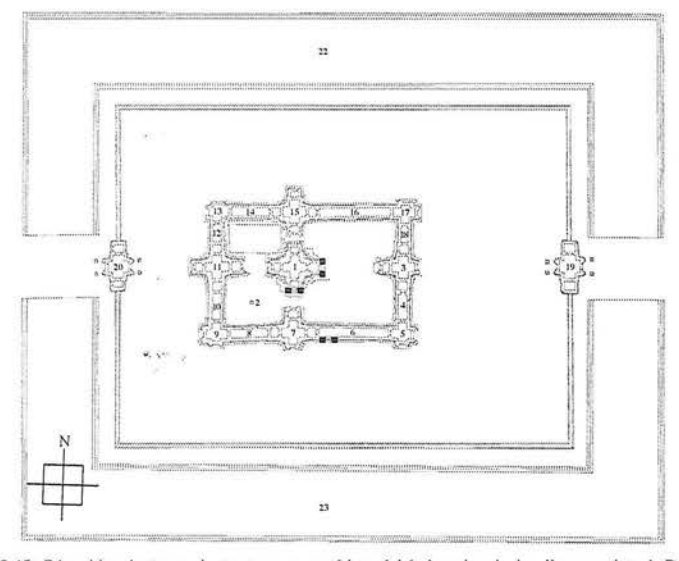


Fig. 1-3-1-3.45 : Répartition des traces de structures en matériaux éphémères dans la deuxième enceinte de Banteay Prei

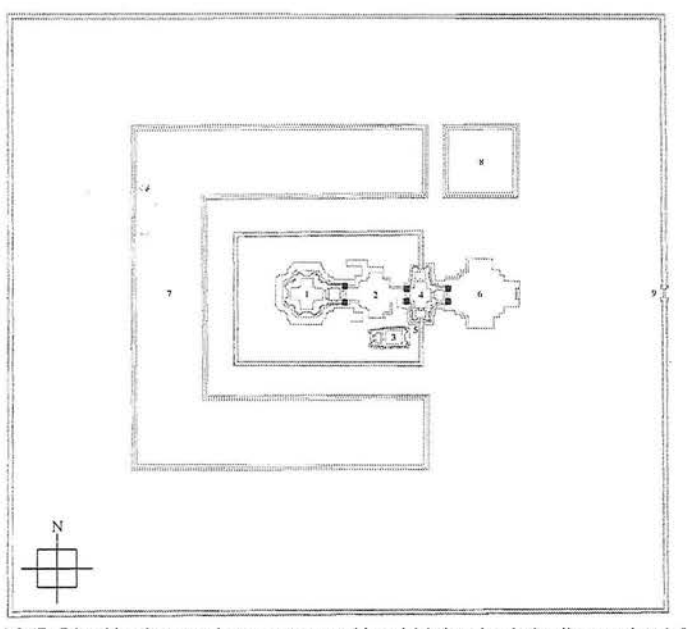


Fig. I-3-1-3.47 : Répartition des traces de structures en matériaux éphémères dans la deuxième enceinte de Krol Kô

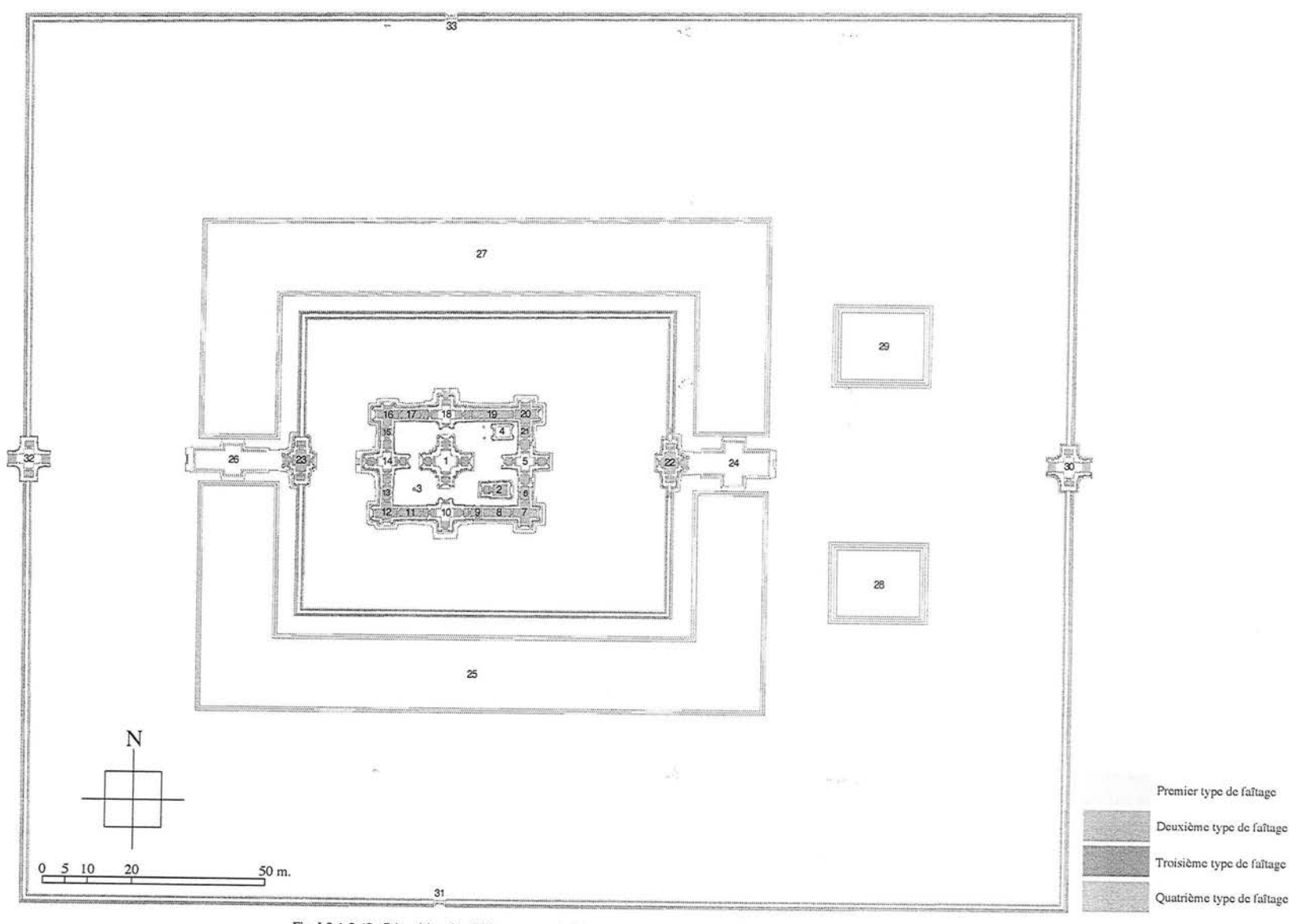


Fig. I-3-1-3.48 : Répartition des différents types de faîtages dans la troisième enceinte de Ta Som

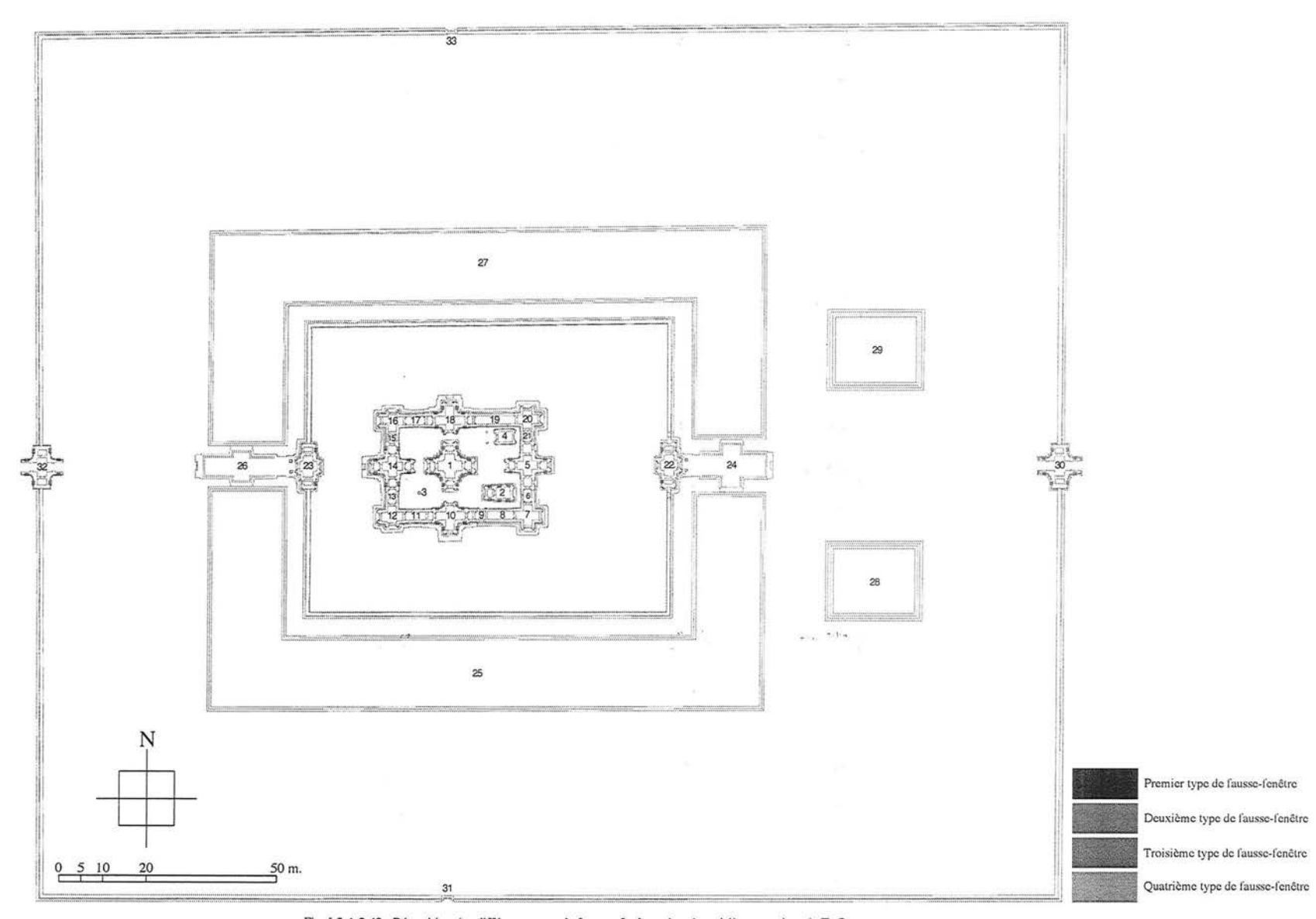


Fig. I-3-1-3.49 : Répartition des différents types de fausses-fenêtres dans la troisième enceinte de Ta Som

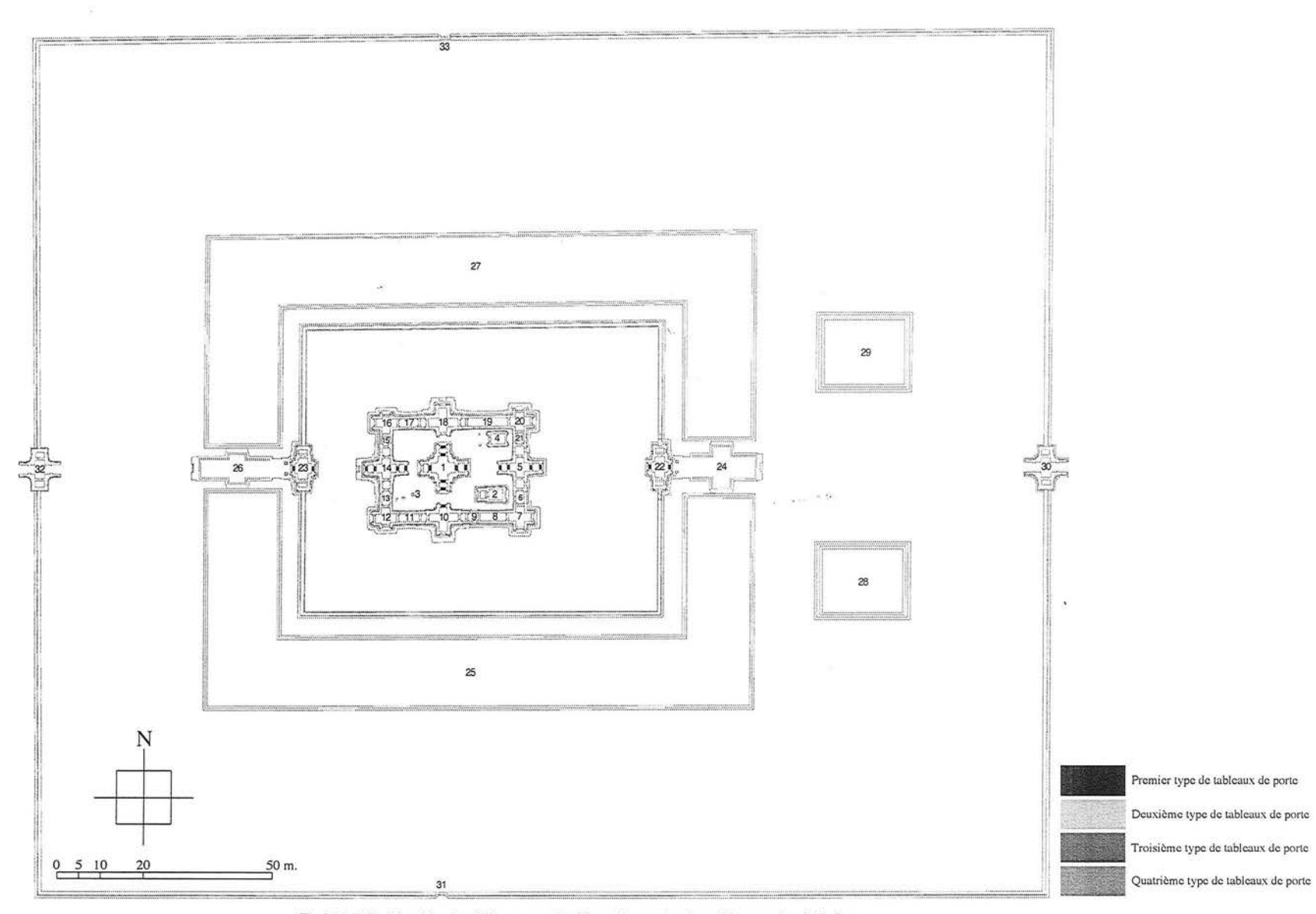


Fig. I-3-1-3.50 : Répartition des différents types de tableaux de porte dans la troisième enceinte de Ta Som

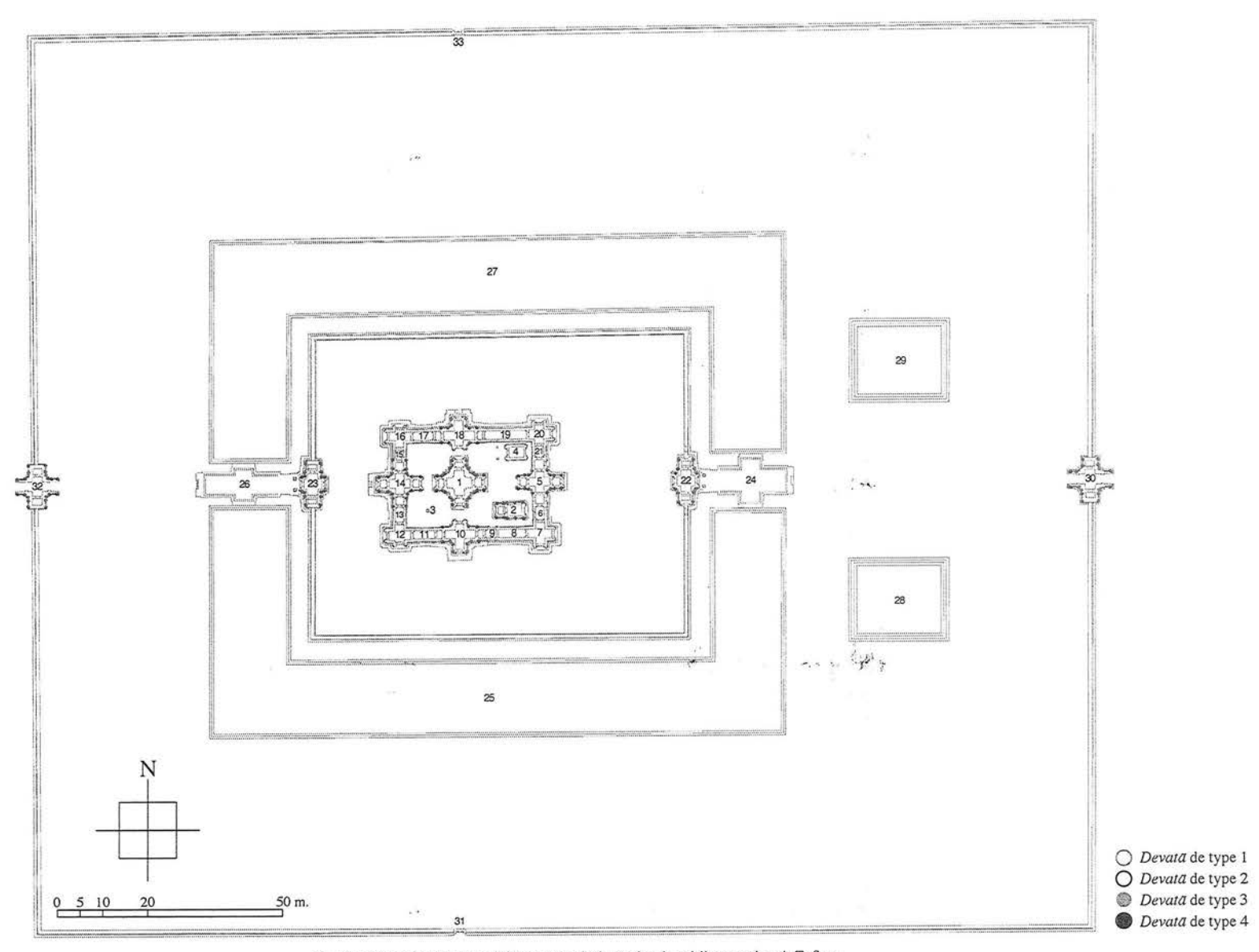


Fig. I-3-1-3.51 : Répartition des différents types de devata dans la troisième enceinte de Ta Som

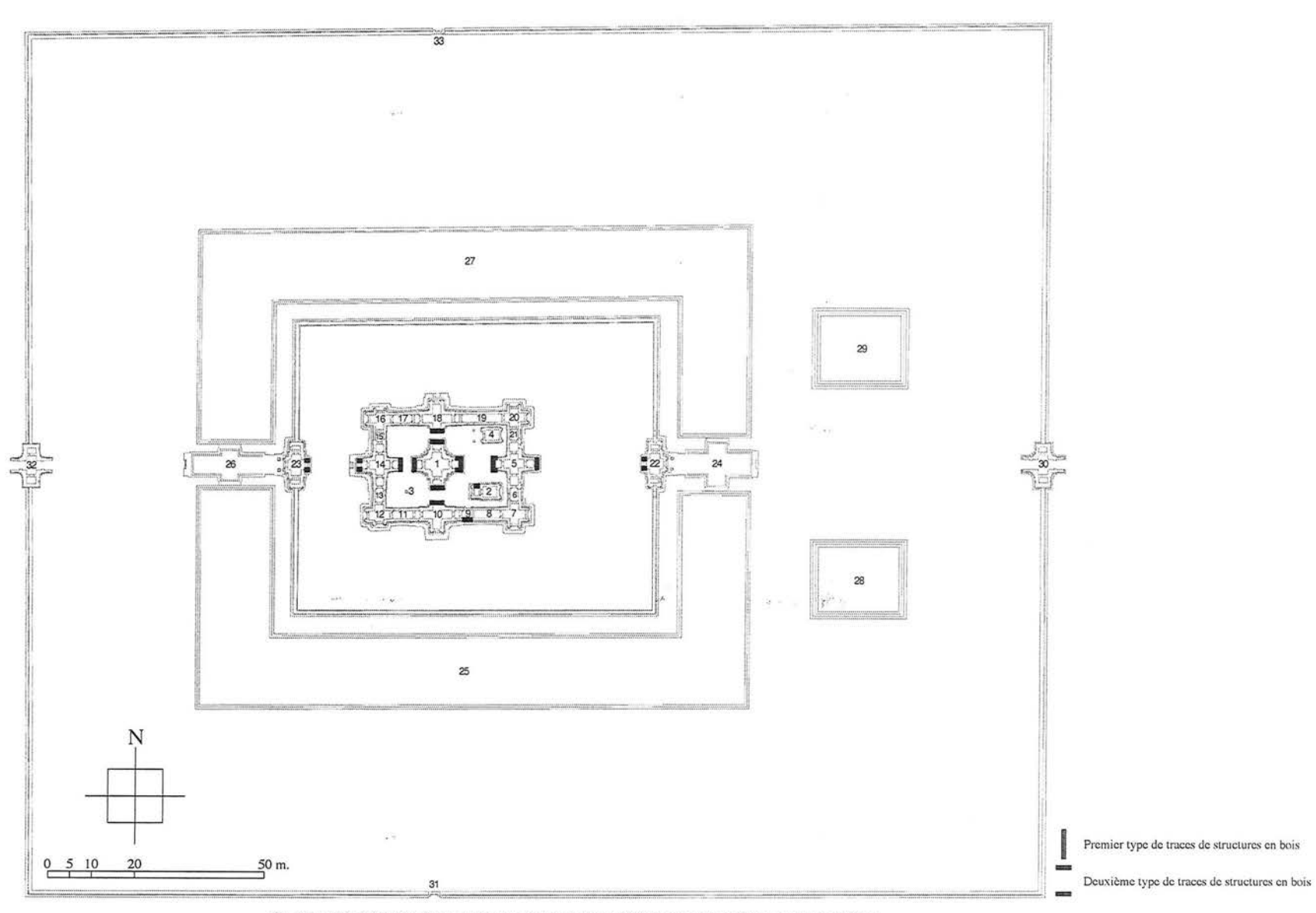


Fig. I-3-1-3.52 : Répartition des traces de structures en matériaux éphémères dans la troisième enceinte de Ta Som

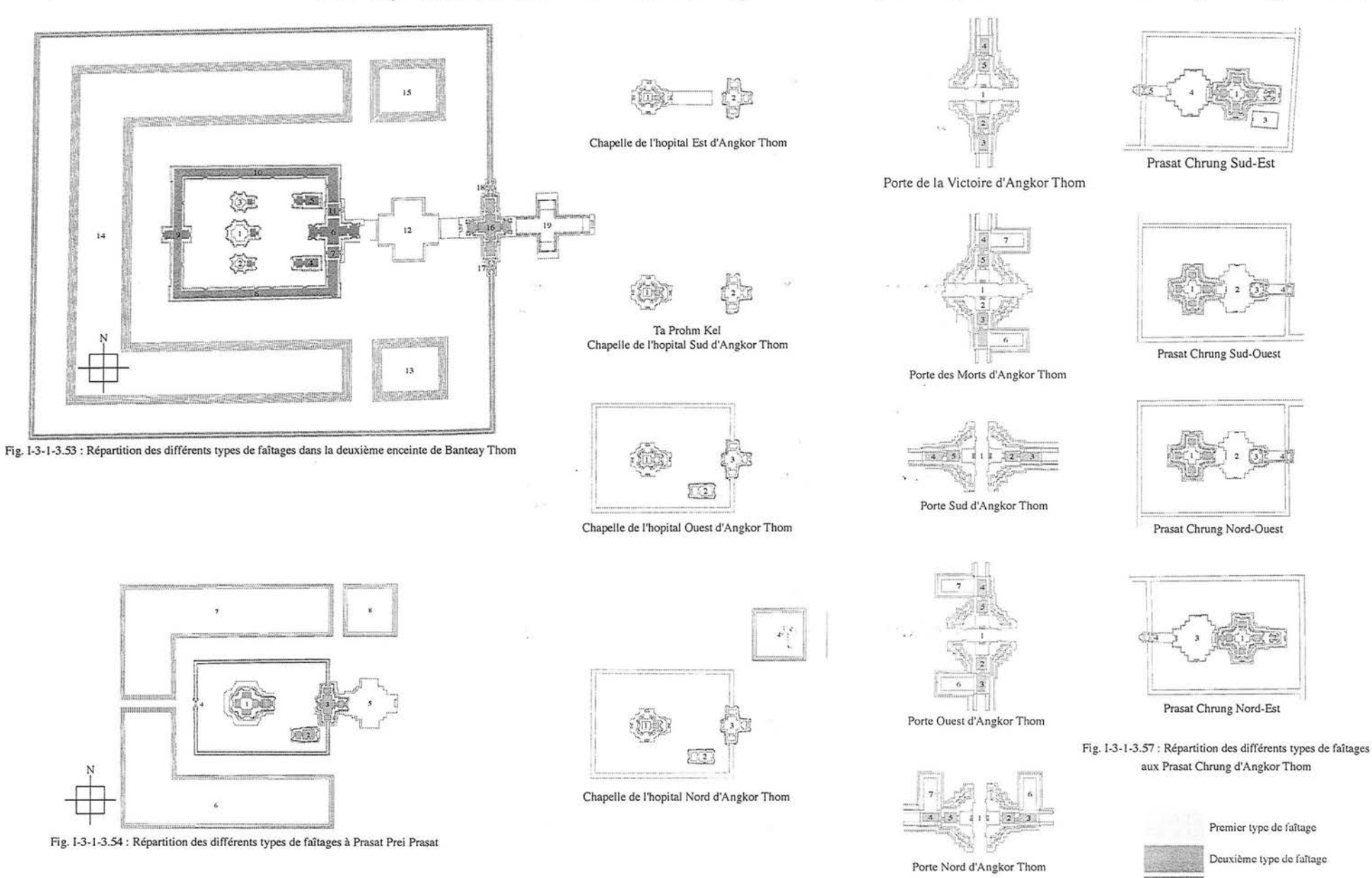
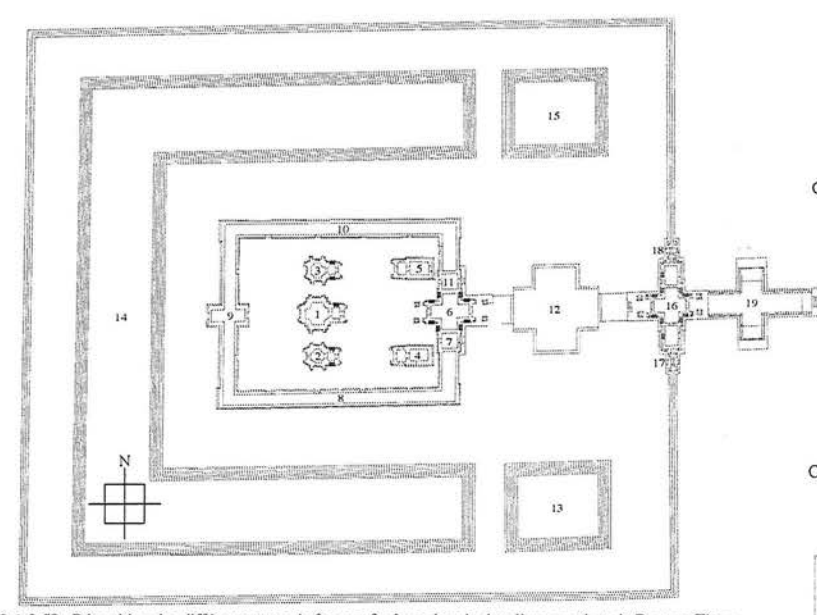


Fig. I-3-1-3.55 : Répartition des différents types de faîtages Fig. I-3-1-3.55 : Répartition

Fig. I-3-1-3.56 : Répartition des différents types de faîtages aux portes d'Angkor Thom Troisième type de faîtage

Quatrième type de faîtage



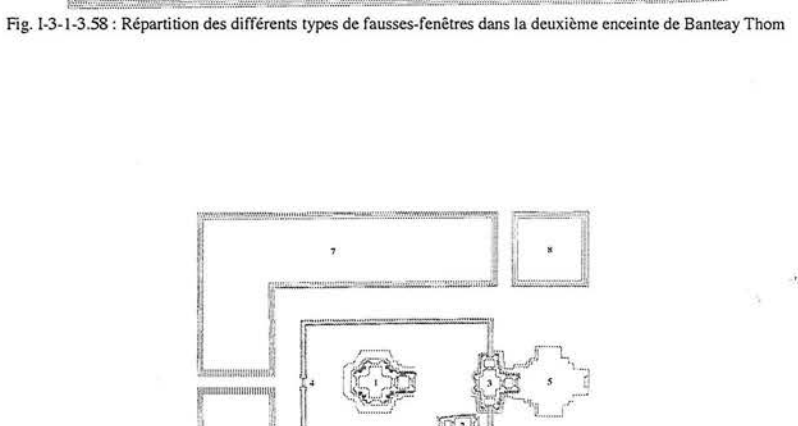
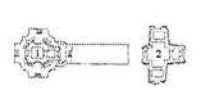


Fig. I-3-1-3.59 : Répartition des différents types de fausses-fenêtres à Prasat Prei Prasat



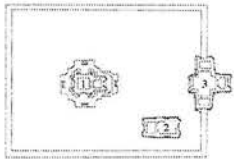


Chapelle de l'hopital Est d'Angkor Thom

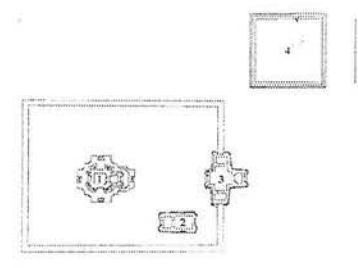




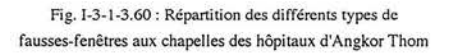
Chapelle de l'hopital Sud d'Angkor Thom

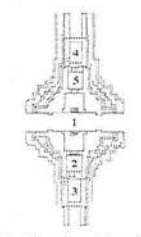


Chapelle de l'hopital Ouest d'Angkor Thom

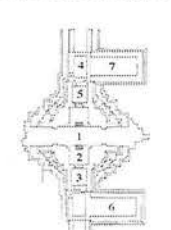


Chapelle de l'hopital Nord d'Angkor Thom





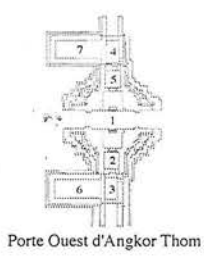
Porte de la Victoire d'Angkor Thom

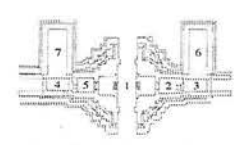


Porte des Morts d'Angkor Thom

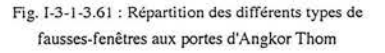


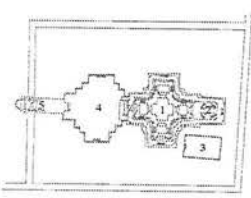
Porte Sud d'Angkor Thom



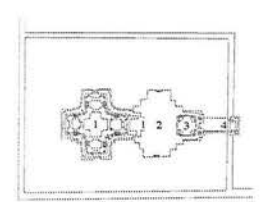


Porte Nord d'Angkor Thom

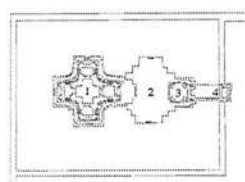




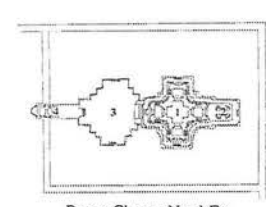
Prasat Chrung Sud-Est



Prasat Chrung Sud-Ouest

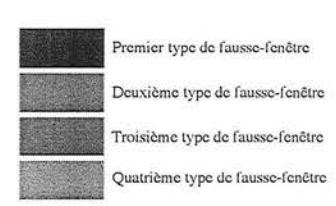


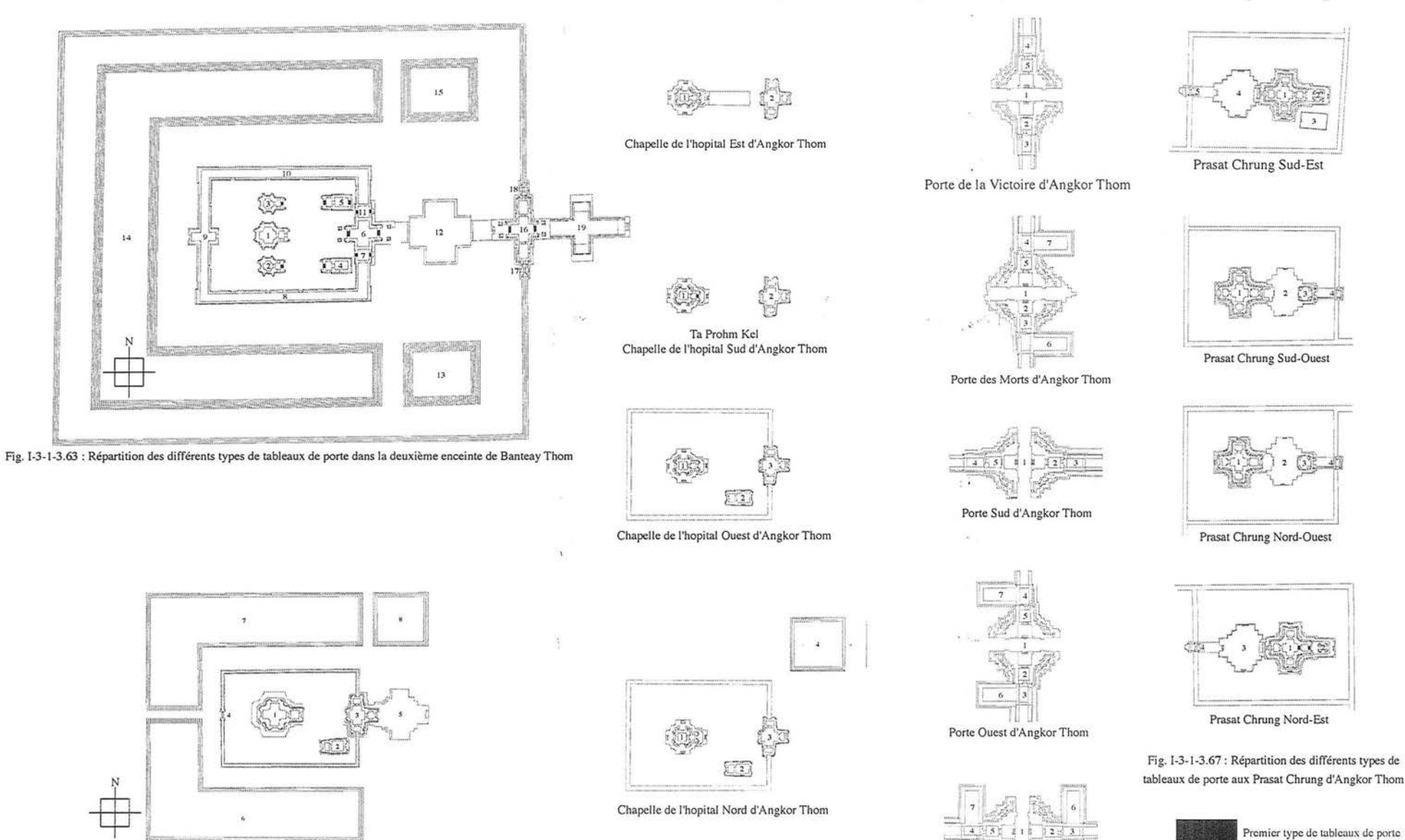
Prasat Chrung Nord-Ouest



Prasat Chrung Nord-Est

Fig. I-3-1-3.62 : Répartition des différents types de fausses-fenêtres aux Prasat Chrung d'Angkor Thom





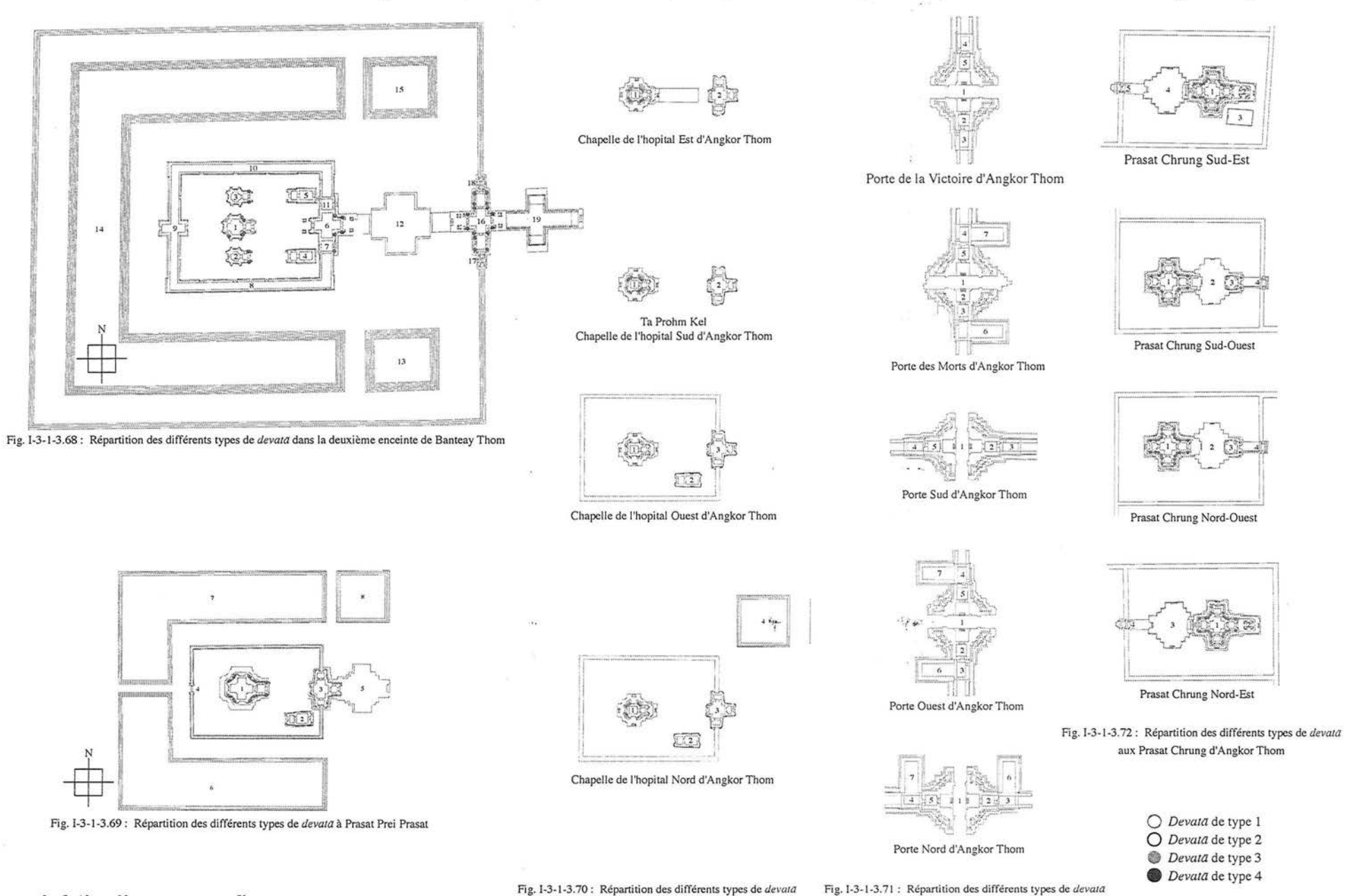
0 5 10 20 50 m.

Fig. 1-3-1-3.64 : Répartition des différents types de tableaux de porte à Prasat Prei Prasat

Fig. I-3-1-3.65: Répartition des différents types de tableaux de porte aux chapelles des hôpitaux d'Angkor Thom

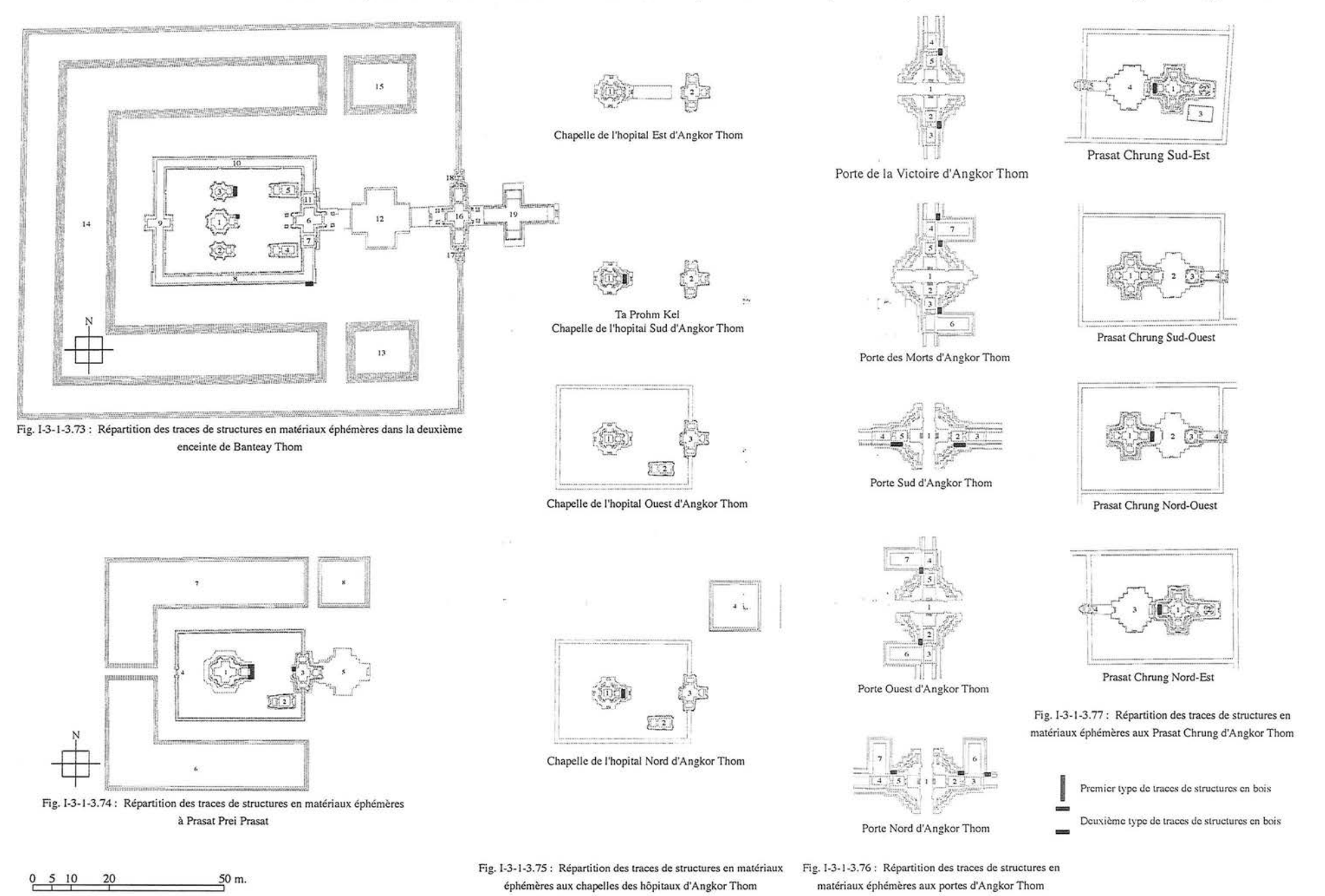
Fig. I-3-1-3.66 : Répartition des différents types de tableaux de porte aux portes d'Angkor Thom

Porte Nord d'Angkor Thom



aux chapelles des hôpitaux d'Angkor Thom

aux portes d'Angkor Thom



p. 157

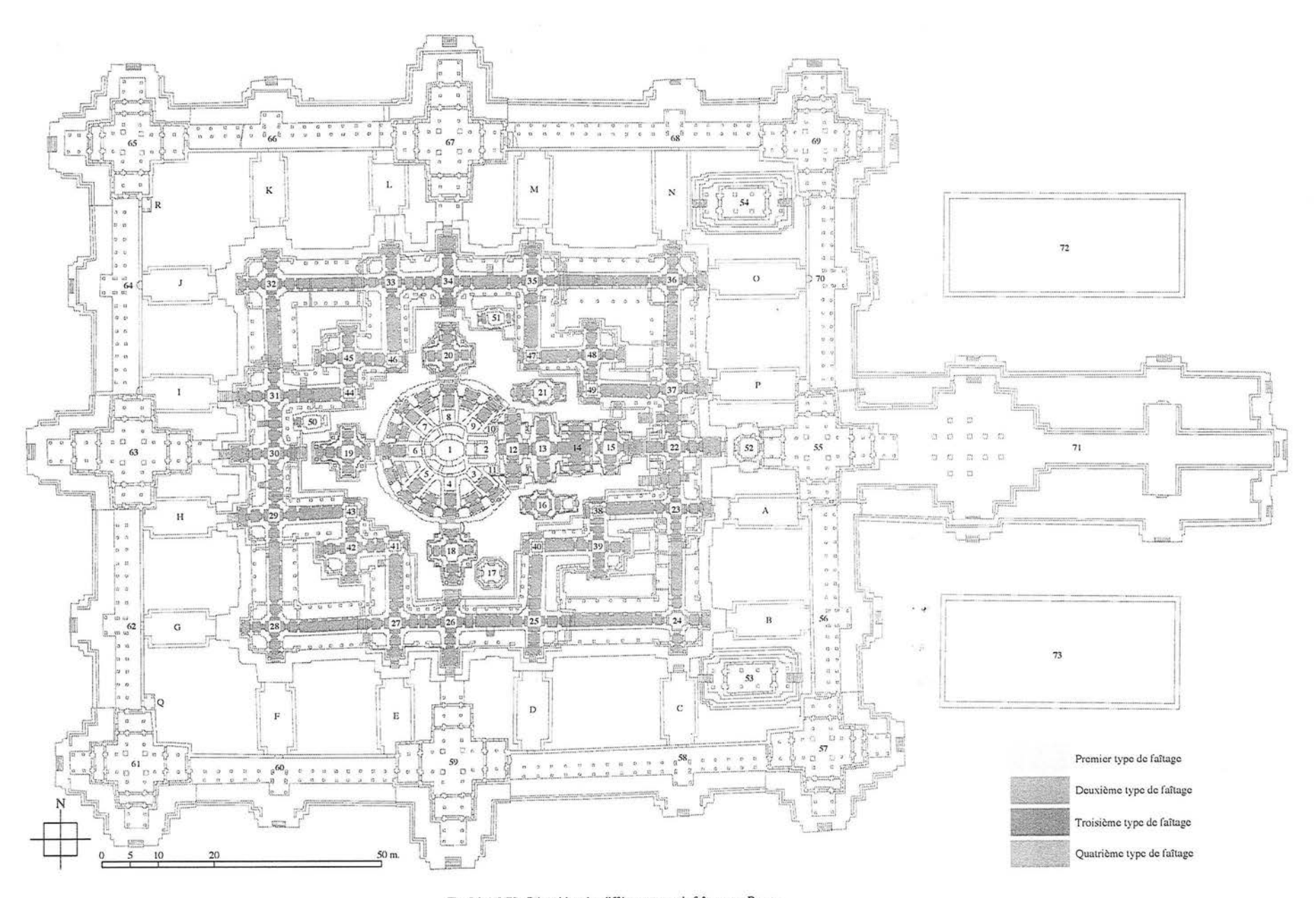


Fig. I-3-1-3.78 : Répartition des différents types de faîtages au Bayon

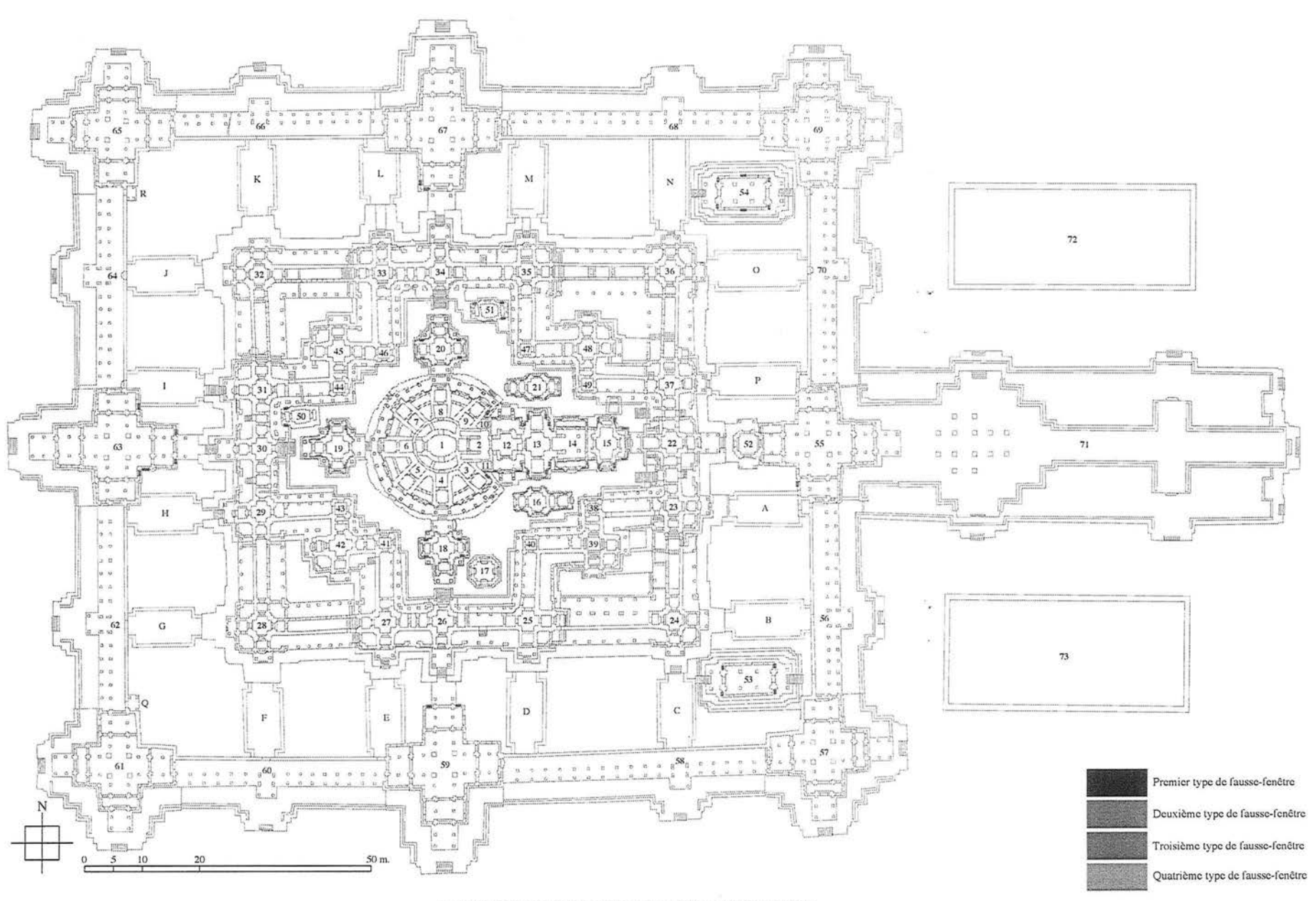


Fig. I-3-1-3.79 : Répartition des différents types de fausses-fenêtres au Bayon

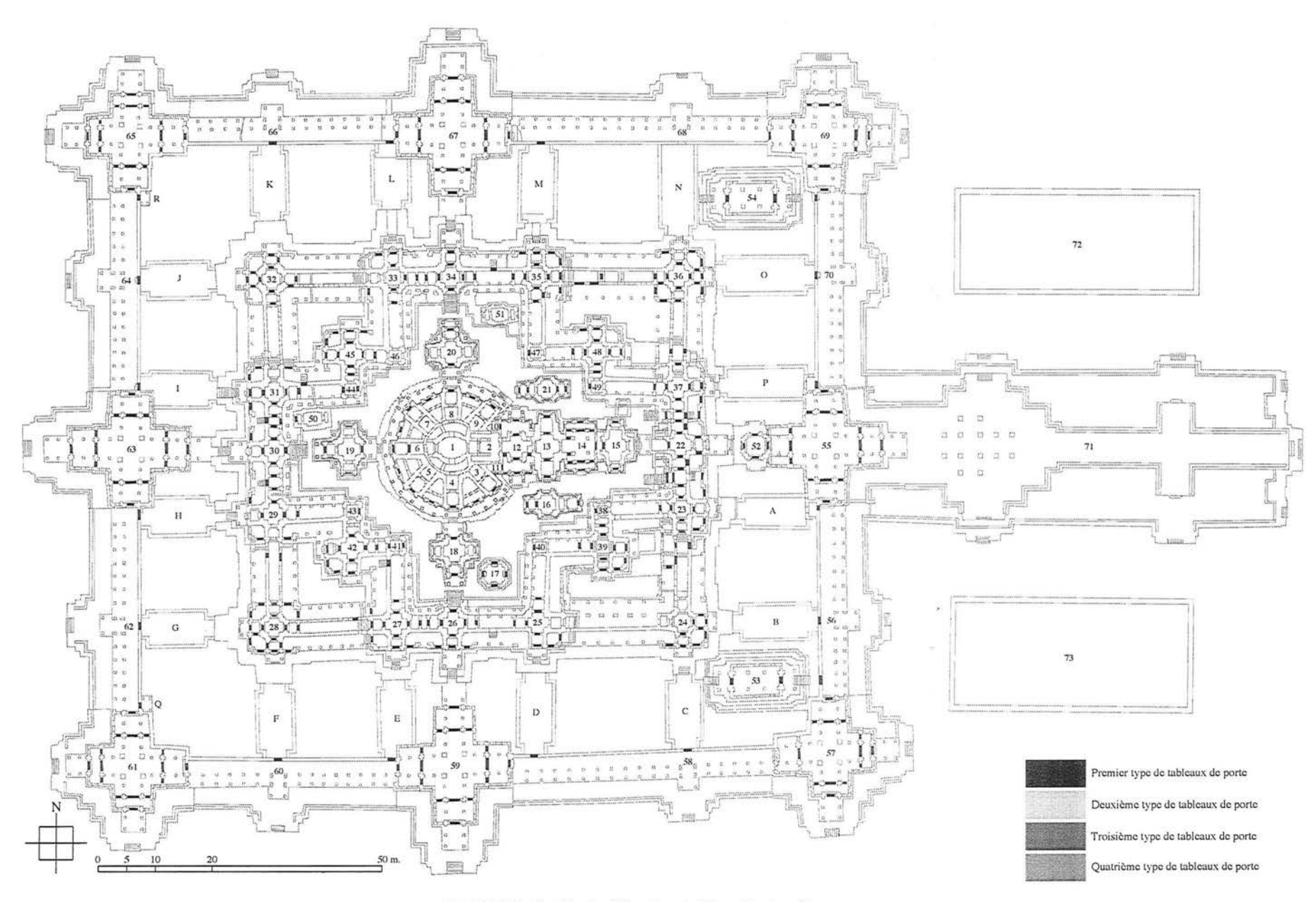


Fig. I-3-1-3.80 : Répartition des différents types de tableaux de porte au Bayon

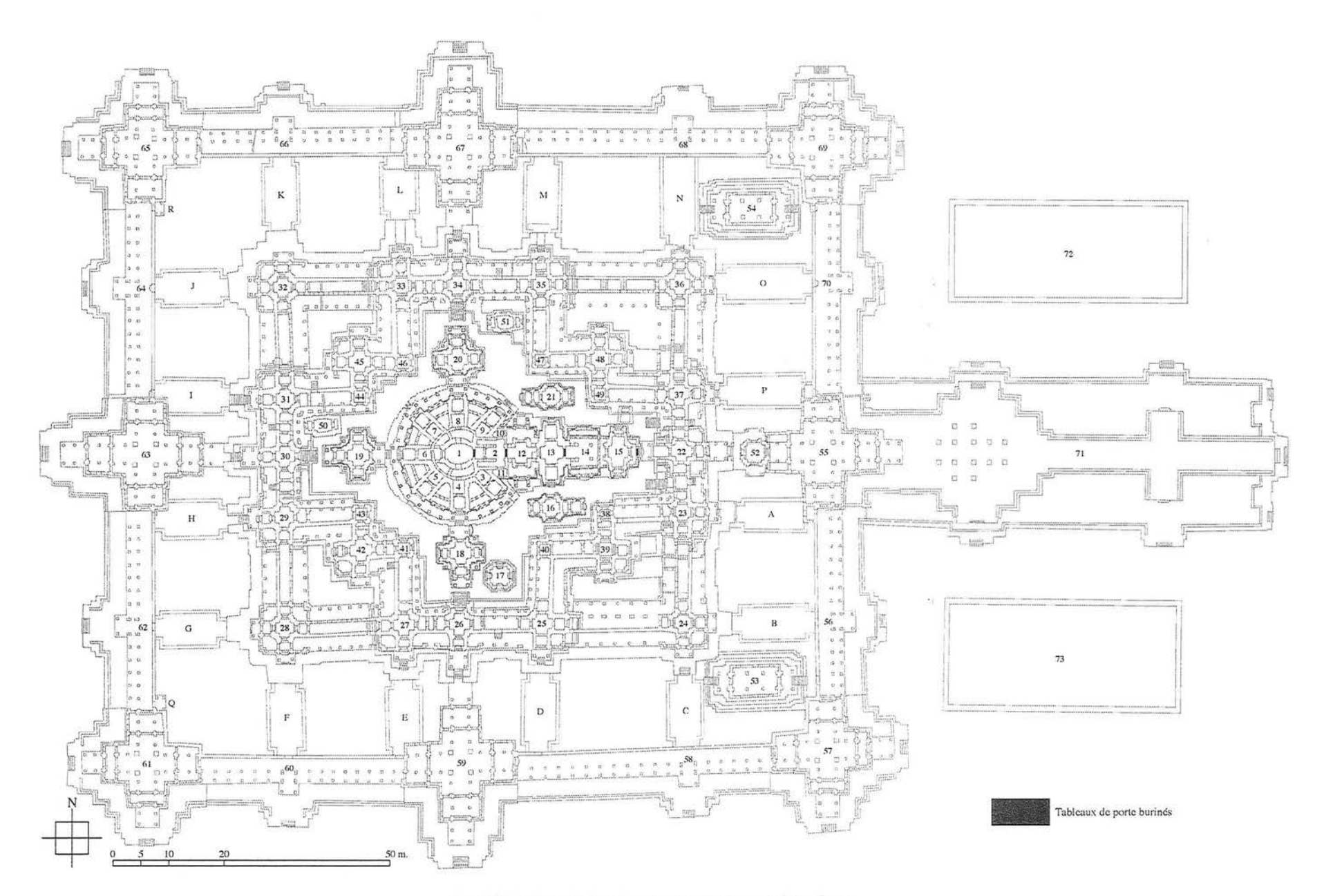


Fig. I-3-1-3.81 : Répartition des tableaux de porte volontairement burinés au Bayon

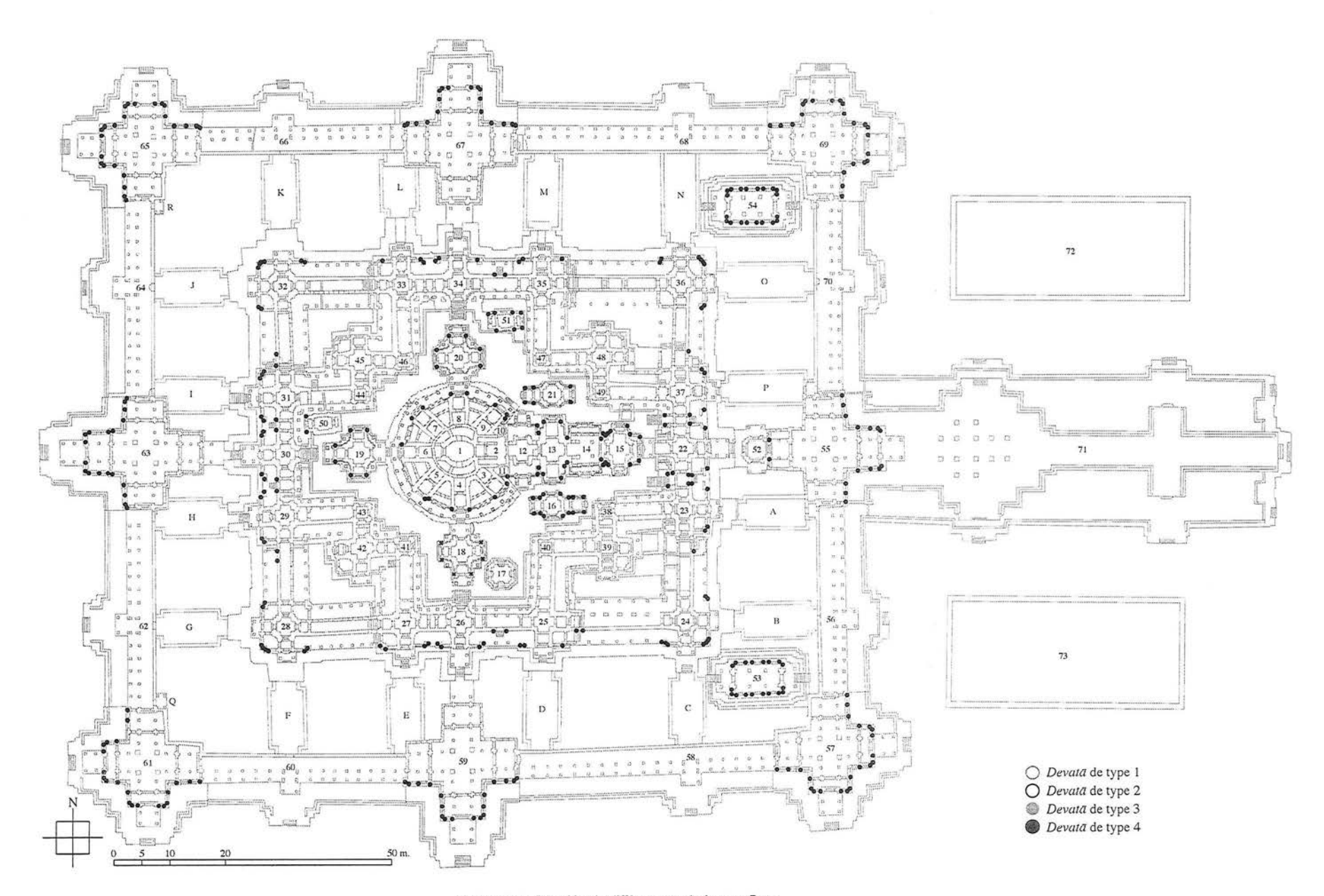


Fig. I-3-1-3.82 : Répartition des différents types de devata au Bayon

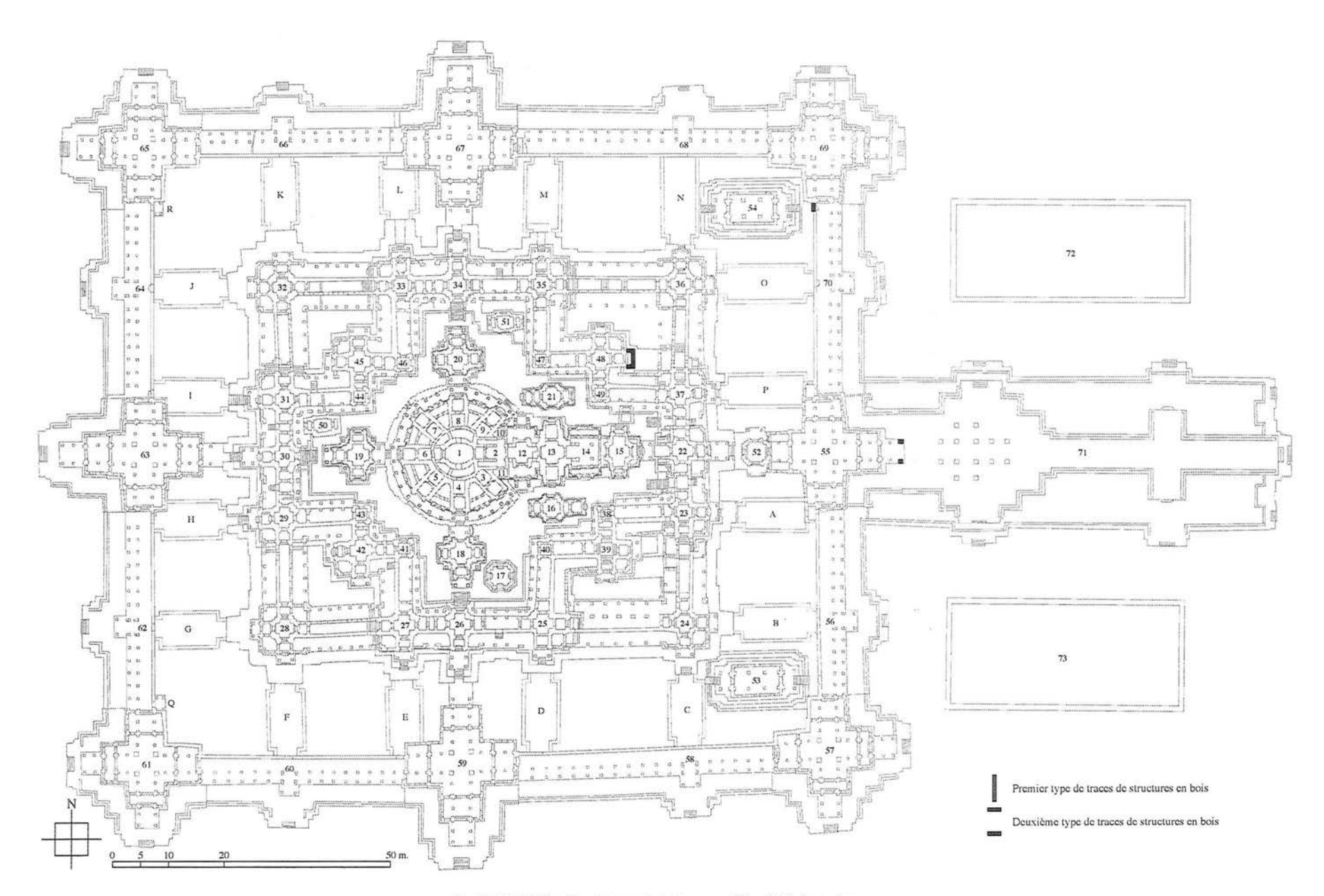


Fig. 1-3-1-3.83 : Répartition des traces de structures en matériaux éphémères au Bayon

Fig. 1-3-1-3.84 : Répartition des différents types de faîtages dans la troisième enceinte de Banteay Chmar

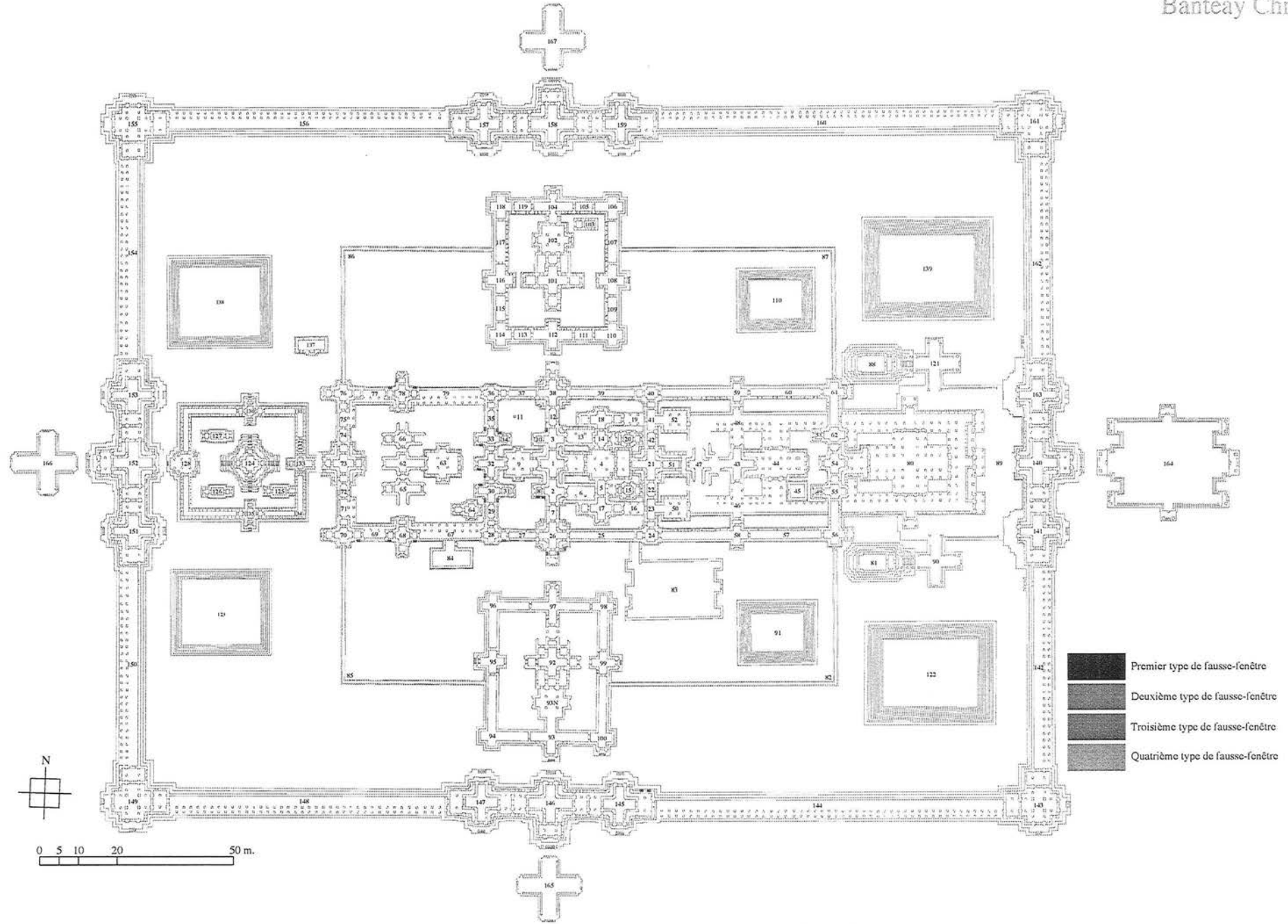


Fig. 1-3-1-3.85 : Répartition des différents types de fausses-fenêtres dans la troisième enceinte de Banteay Chmar

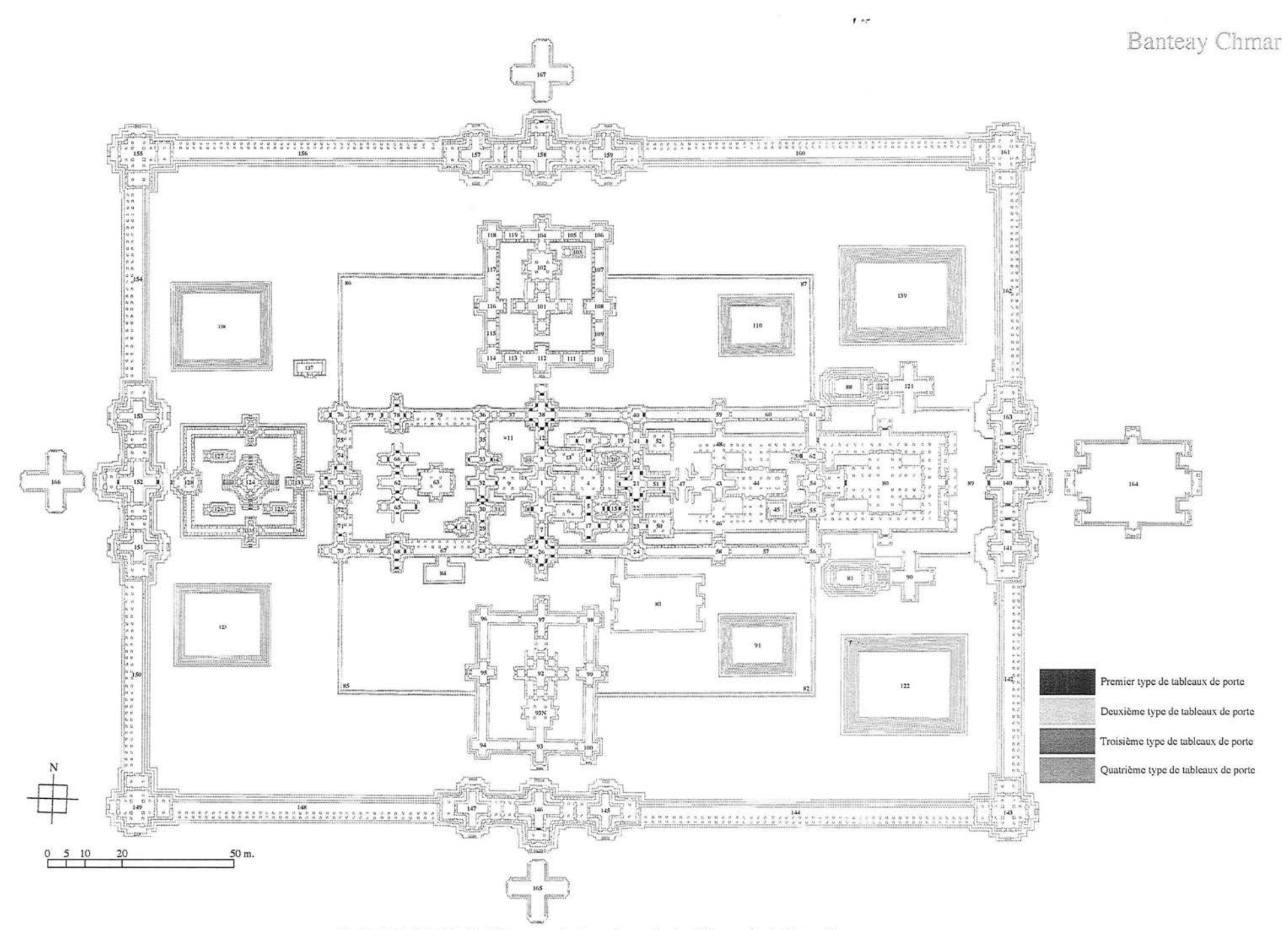


Fig. I-3-1-3.86 : Répartition des différents types de tableaux de porte dans la troisième enceinte de Banteay Chmar

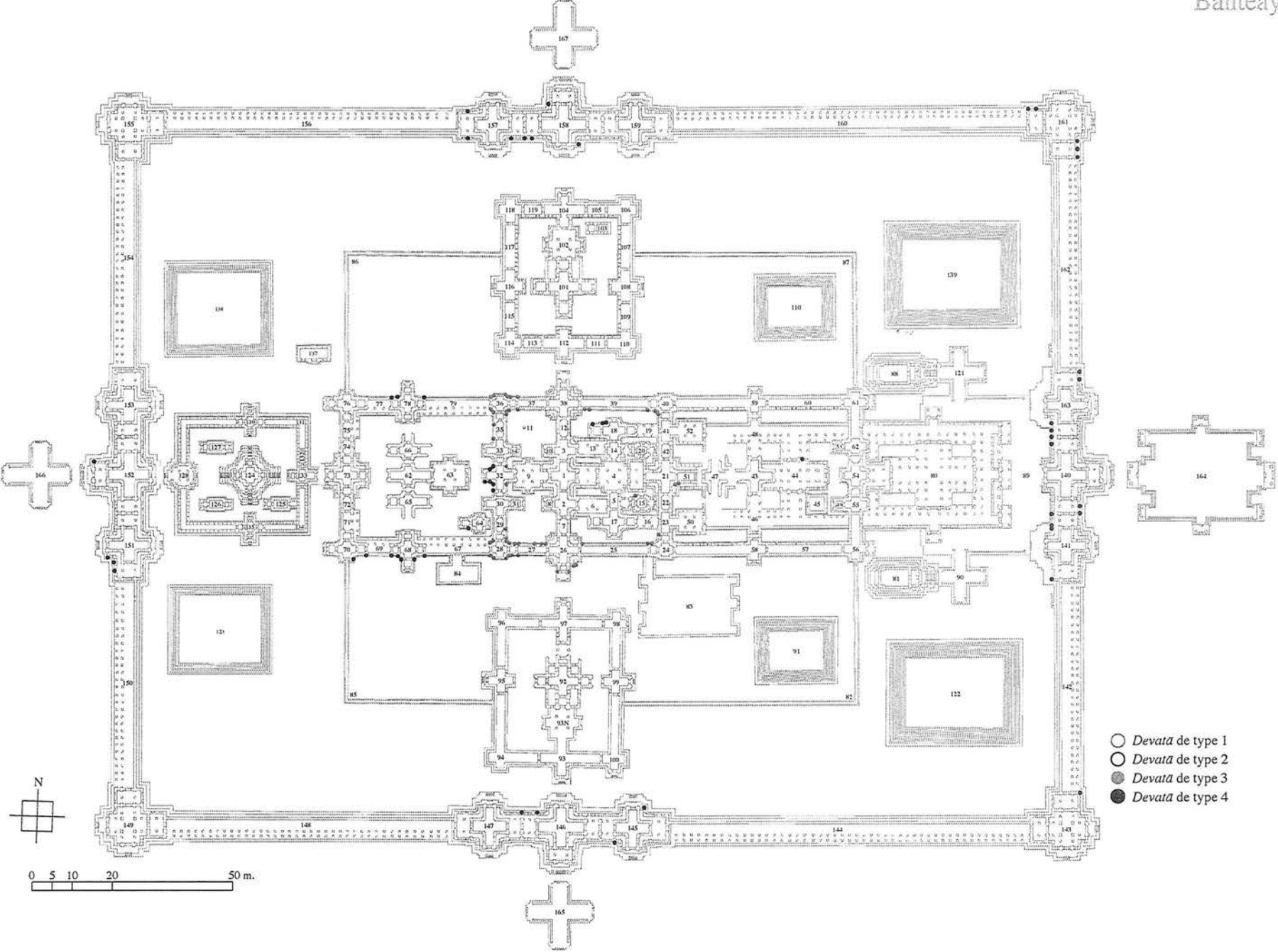


Fig. I-3-1-3.87 : Répartition des différents types de devatā dans la troisième enceinte de Banteay Chmar

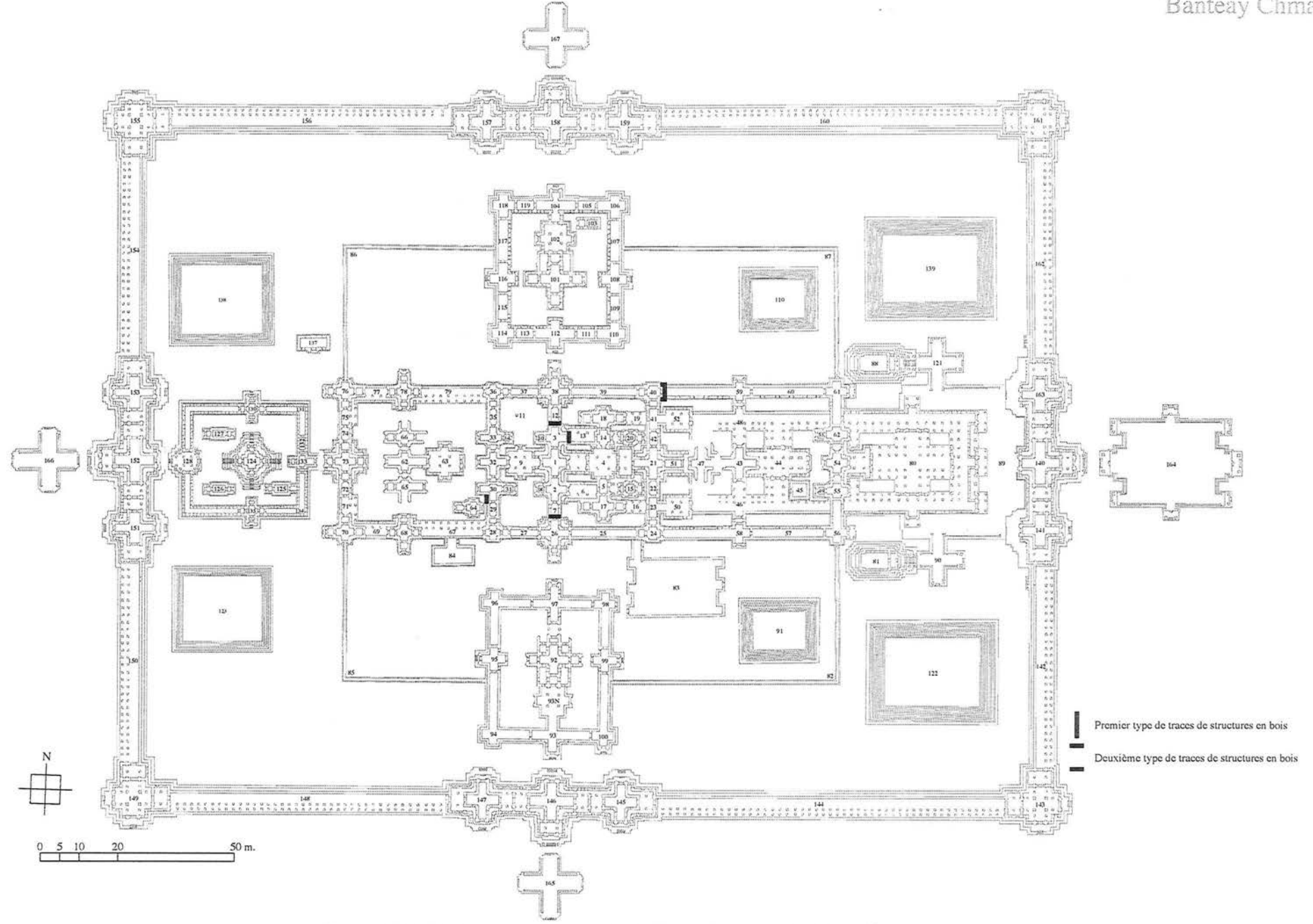


Fig. I-3-1-3.88 : Répartition des traces de structures en matériaux éphémères dans la troisième enceinte de Banteay Chmar

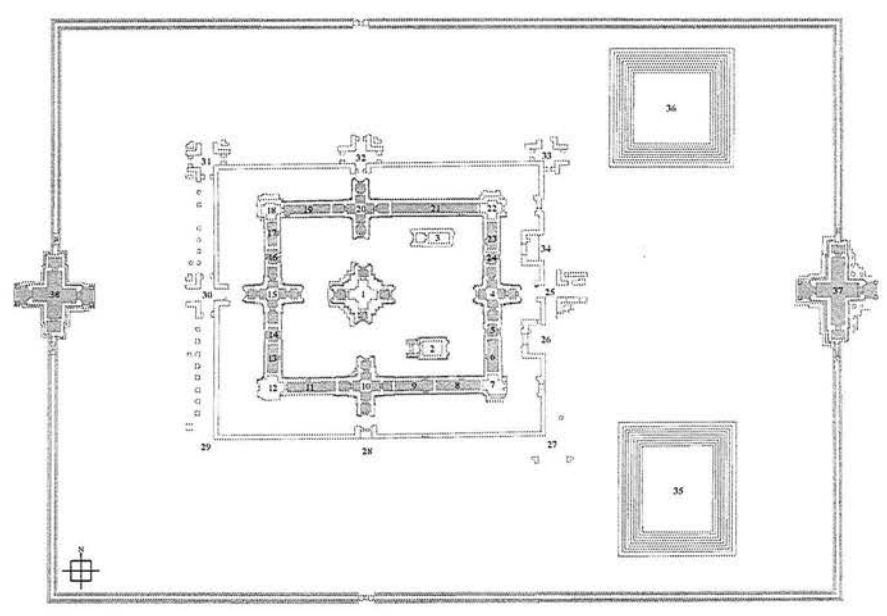


Fig. I-3-1-3.89 : Répartition des différents types de faîtages dans la troisième enceinte de Vat Nokor

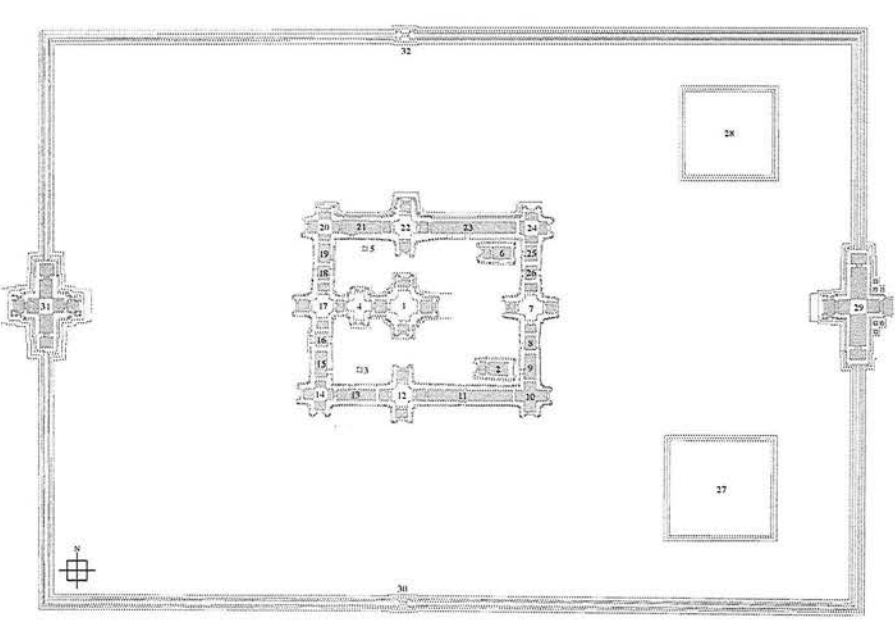


Fig. I-3-1-3.90 : Répartition des différents types de faîtages dans la deuxième enceinte de Ta Prohm de Bati

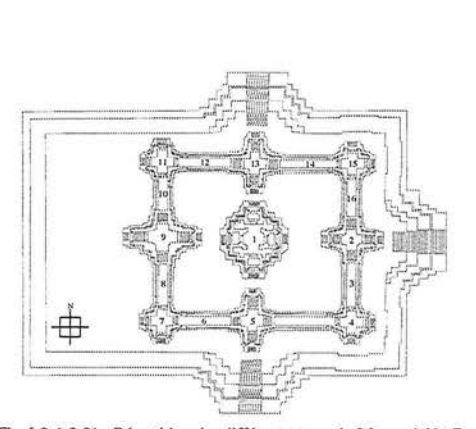
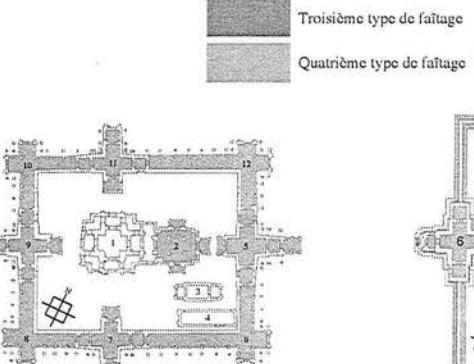


Fig. 1-3-1-3.91 : Répartition des différents types de faîtages à Vat Banon



Premier type de faîtage

Deuxième type de faîtage

Fig. I-3-1-3.92 : Répartition des différents types de faîtages à Prasat Preah Stung

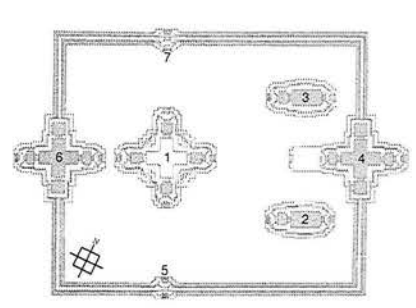


Fig. I-3-1-3.93 : Répartition des différents types de faîtages à Prasat Preah Thkol

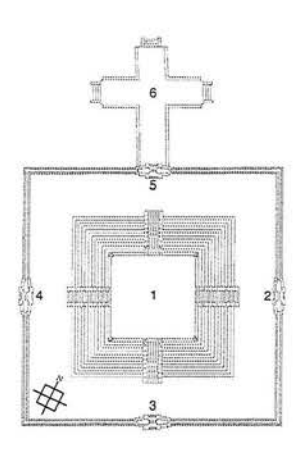


Fig. I-3-1-3.94 : Répartition des différents types de faîtages à Prasat Damrei

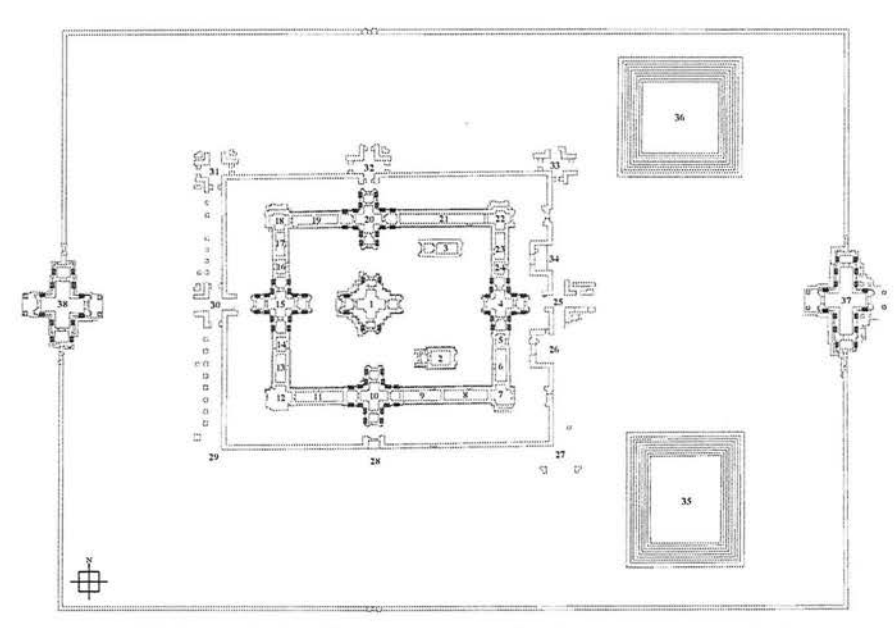
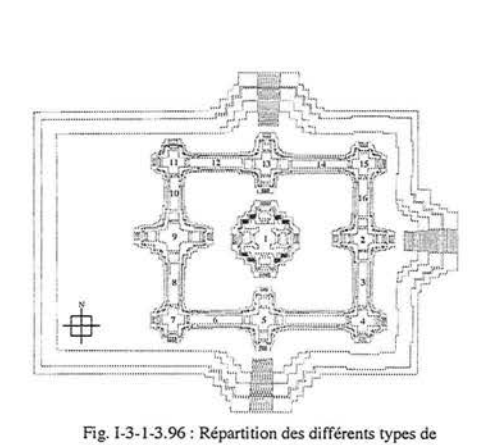


Fig. I-3-1-3.94 : Répartition des différents types de fausses-fenêtres dans la troisième enceinte de Vat Nokor

Fig. 1-3-1-3.95 : Répartition des différents types de fausses-fenêtres dans la deuxième enceinte de Ta Prohm de Bati



fausses-fenêtres à Vat Banon

Fig. I-3-1-3.97 : Répartition des différents types de fausses-fenêtres à Prasat Preah Stung

Premier type de fausse-fenêtre

Deuxième type de fausse-fenêtre

Troisième type de fausse-fenêtre

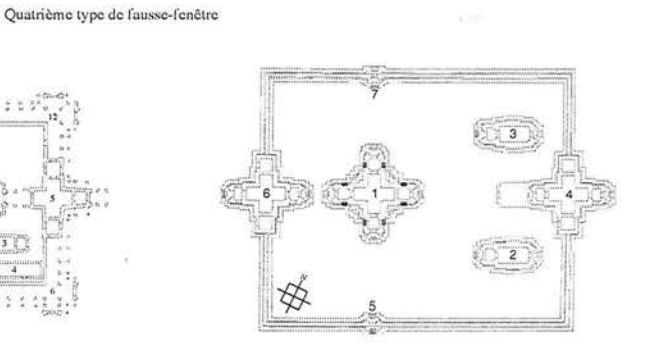


Fig. I-3-1-3.98 : Répartition des différents types de fausses-fenêtres à Prasat Preah Thkol

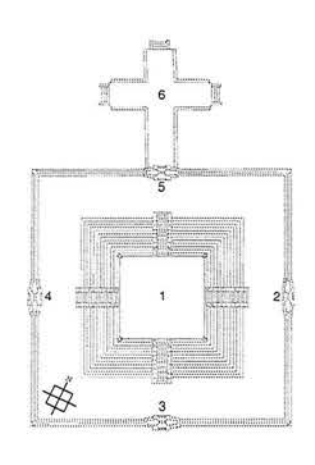


Fig. I-3-1-3.99 : Répartition des différents types de fausses-fenêtres à Prasat Damrei

Vat Nokor, Ta Prohm de Bati, Vat Banon, Prasat Preah Stung, Prasat Thkol & Prasat Damrei

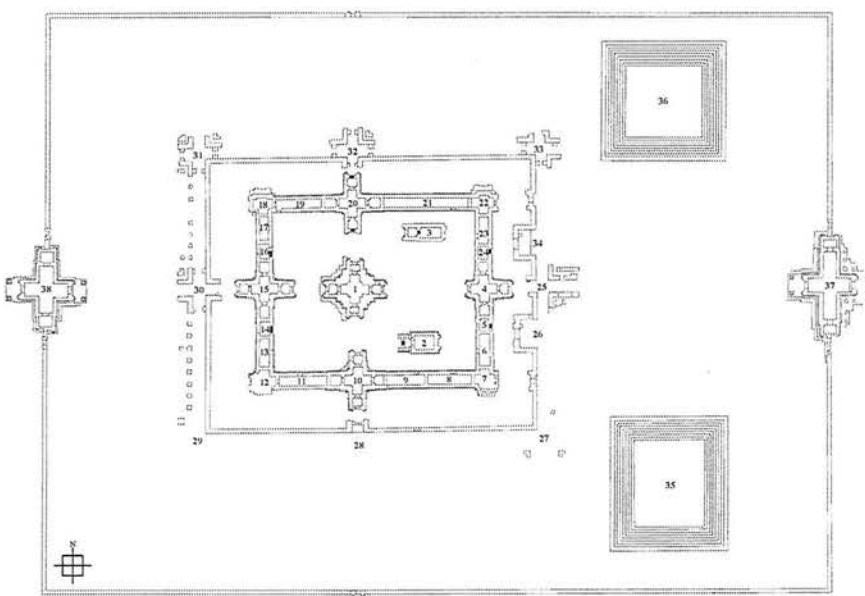


Fig. I-3-1-3.100 : Répartition des différents types de tableaux de porte dans la troisième enceinte de Vat Nokor

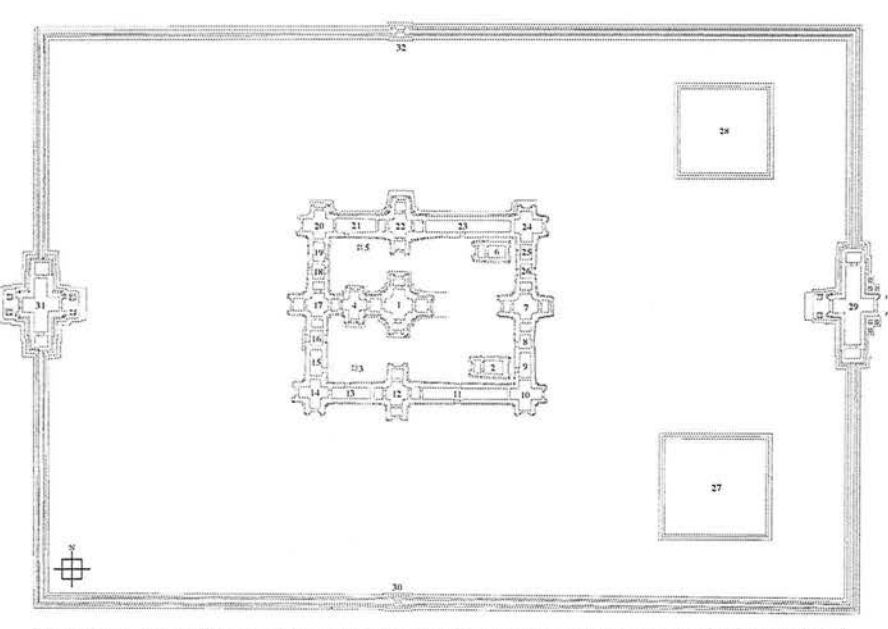


Fig. 1-3-1-3.101: Répartition des différents types de tableaux de porte dans la deuxième enceinte de Ta Prohm de Bati

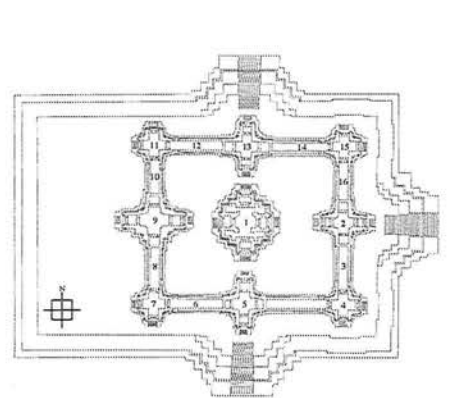
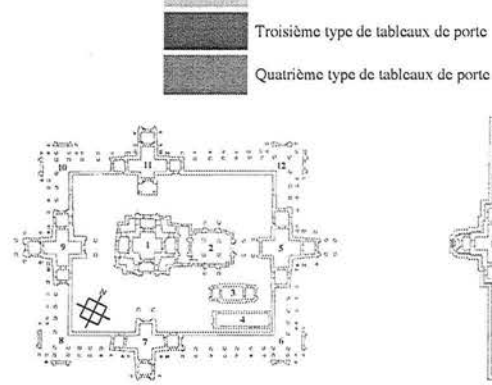


Fig. I-3-1-3.102 : Répartition des différents types de tableaux de porte à Vat Banon



Premier type de tableaux de porte Deuxième type de tableaux de porte

Fig. I-3-1-3.103 : Répartition des différents types de tableaux de porte à Prasat Preah Stung

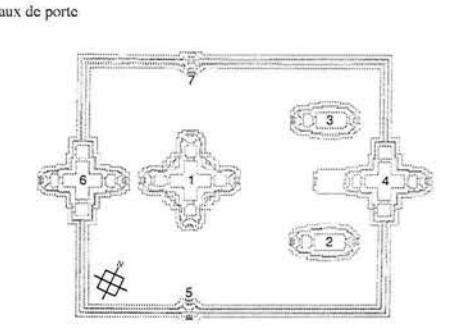


Fig. I-3-1-3.104 : Répartition des différents types de tableaux de porte à Prasat Preah Thkol

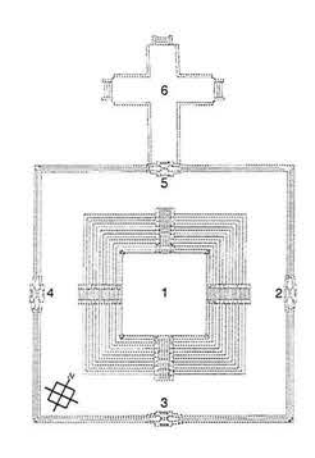


Fig. I-3-1-3.105 : Répartition des différents types de tableaux de porte à Prasat Damrei

Vat Nokor, Ta Prohm de Bati, Vat Banon, Prasat Preah Stung, Prasat Thkol & Prasat Damrei

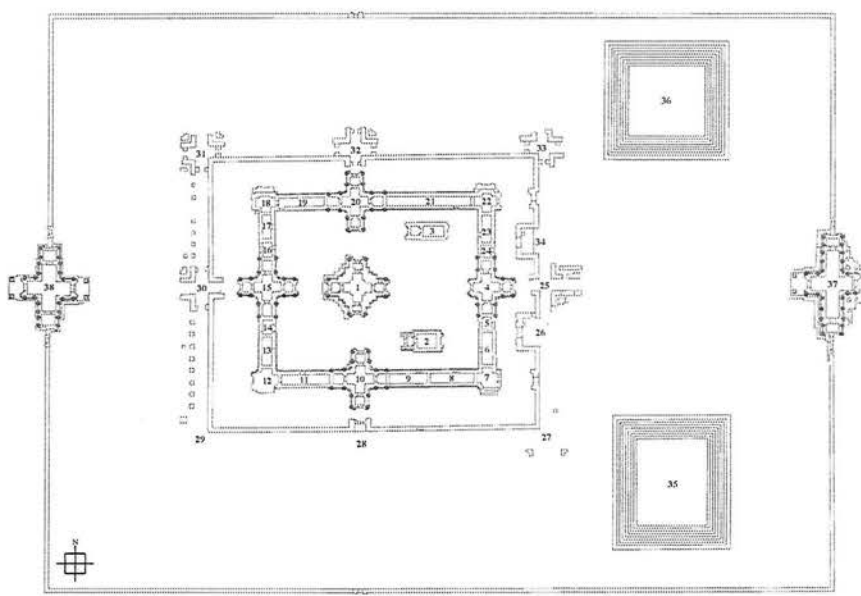


Fig. I-3-1-3.106 : Répartition des différents types de devatā dans la troisième enceinte de Vat Nokor

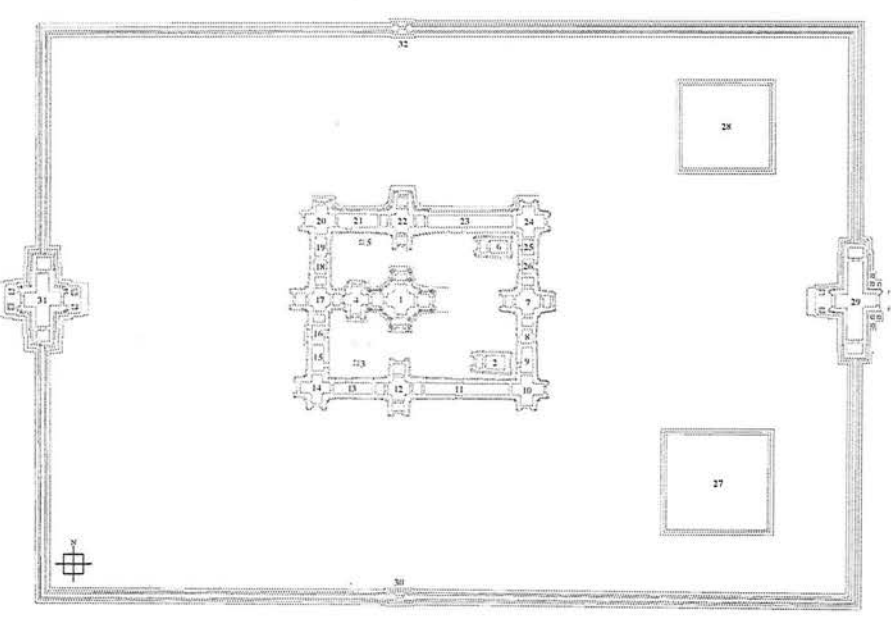


Fig. 1-3-1-3.107 : Répartition des différents types de devata dans la deuxième enceinte de Ta Prohm de Bati

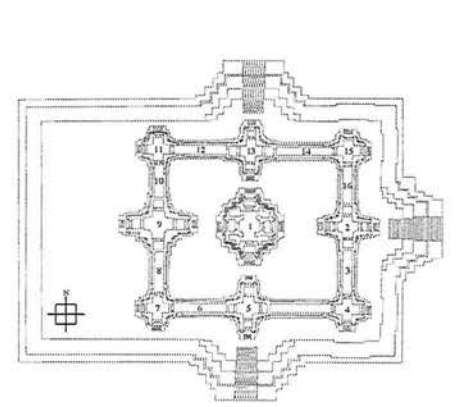
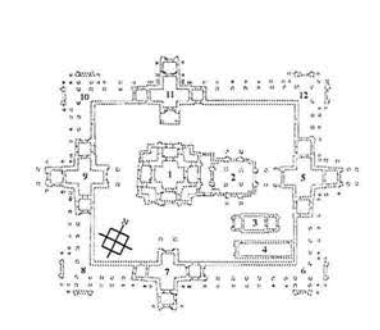


Fig. I-3-1-3.108 : Répartition des différents types de devata à Vat Banon



O Devata de type 1 O Devata de type 2

Fig. I-3-1-3.109 : Répartition des différents types de devata à Prasat Preah Stung

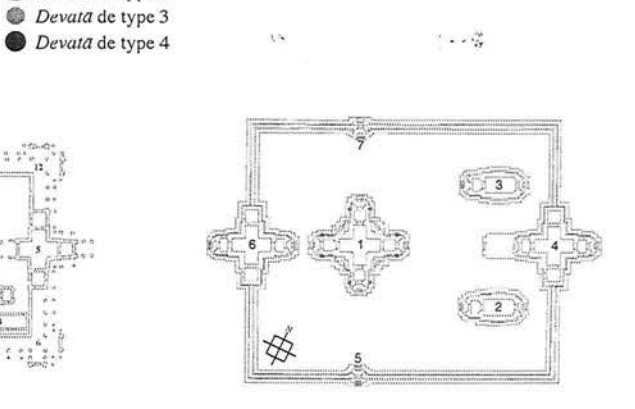


Fig. I-3-1-3.110 : Répartition des différents types de devata à Prasat Preah Thkol

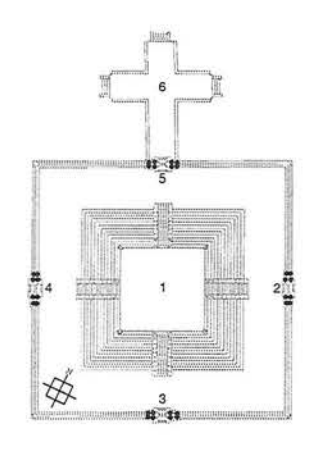


Fig. I-3-1-3.111 : Répartition des différents types de devata à Prasat Damrei

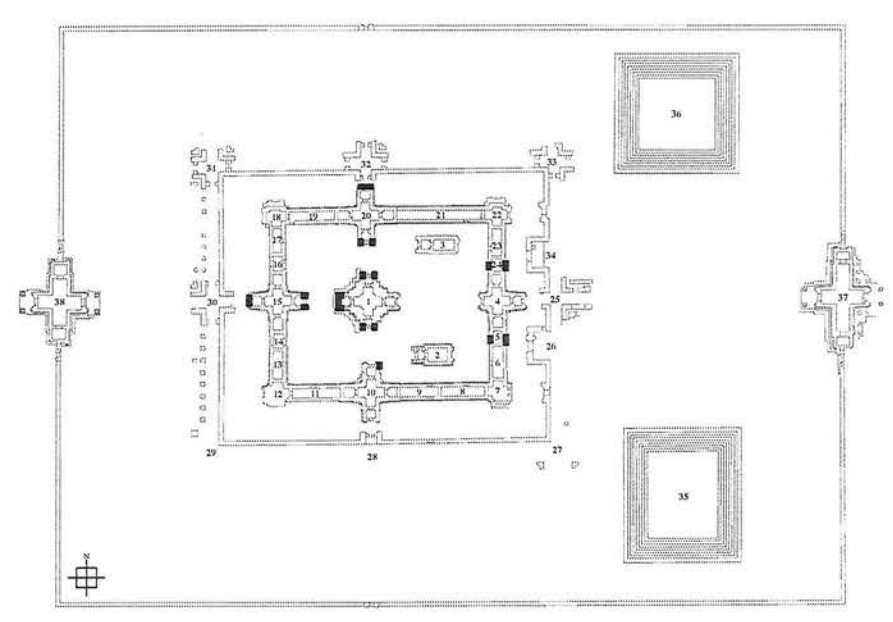


Fig. 1-3-1-3.112 : Répartition des traces de structures en matériaux éphémères dans la troisième enceinte de Vat Nokor

Fig. I-3-1-3.113 : Répartition des traces de structures en matériaux éphémères dans la deuxième enceinte de Ta Prohm de Bati

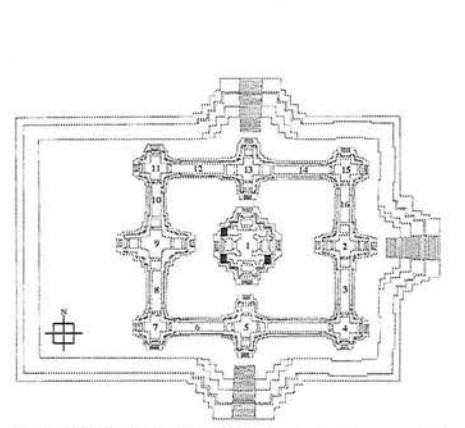
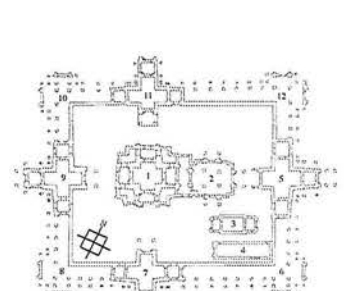


Fig. I-3-1-3.114 : Répartition des traces de structures en matériaux éphémères à Vat Banon



Premier type de traces de structures en bois

Deuxième type de traces de structures en bois

Fig. I-3-1-3.115 : Répartition des traces de structures en matériaux éphémères à Prasat Preah Stung

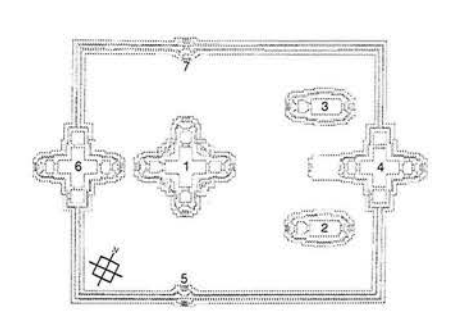


Fig. I-3-1-3.116 : Répartition des traces de structures en matériaux éphémères à Prasat Preah Thkol

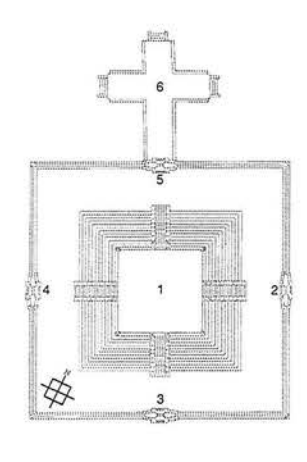


Fig. I-3-1-3.117 : Répartition des traces de structures en matériaux éphémères à Prasat Damrei

Vat Nokor, Ta Prohm de Bati, Vat Banon, Prasat Preah Stung, Prasat Thkol & Prasat Damrei

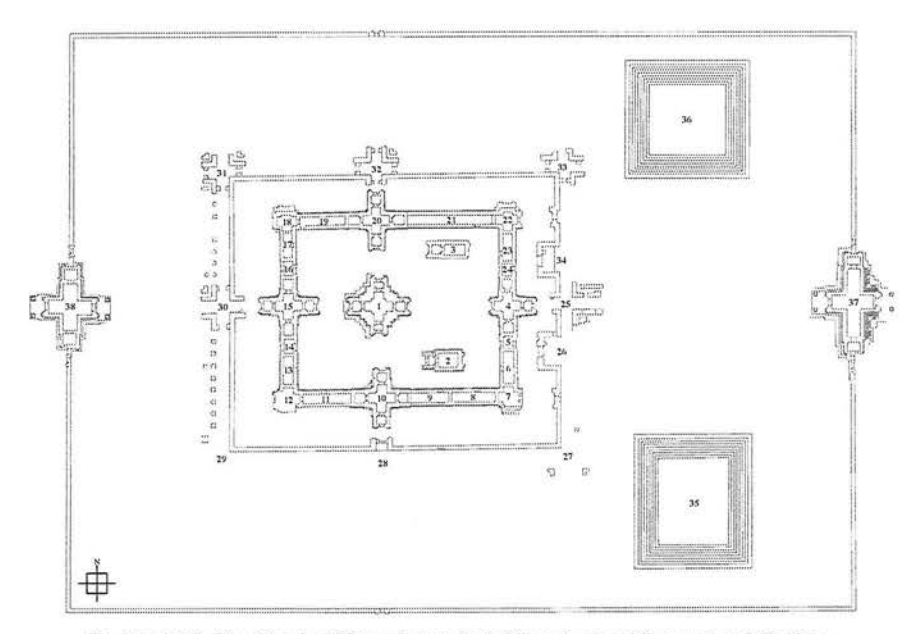


Fig. I-3-1-3.118 : Répartition des édifices présentant des étrésillons dans la troisième enceinte de Vat Nokor

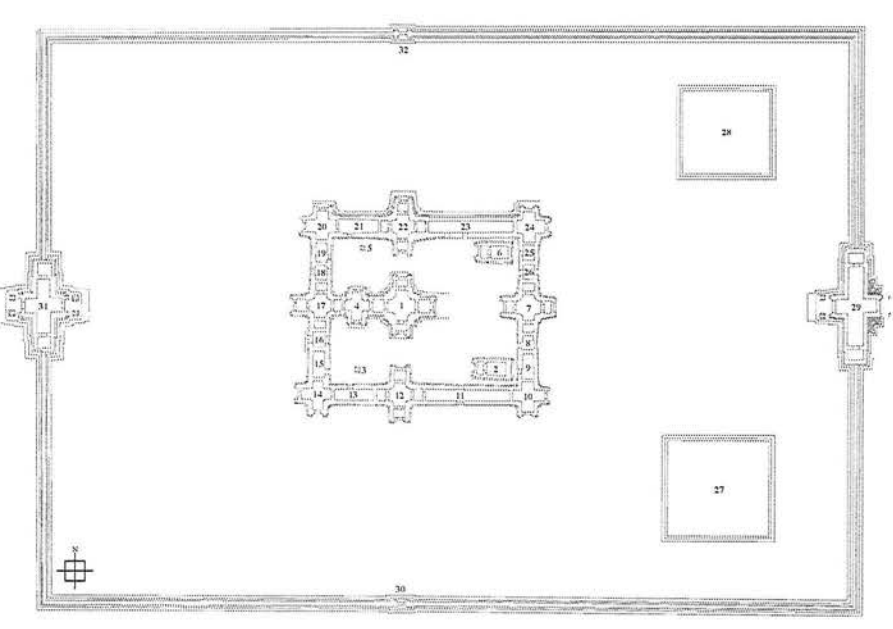


Fig. I-3-1-3.119 : Répartition des édifices présentant des étrésillons dans la deuxième enceinte de Ta Prohm de Bati

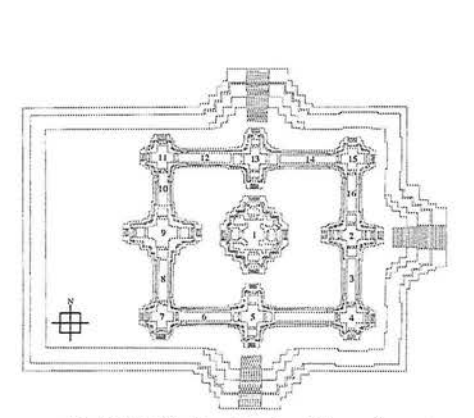
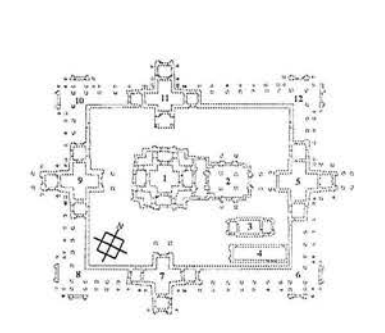


Fig. I-3-1-3.120 : Répartition des édifices présentant des étrésillons à Vat Banon



Emplacement des étrésillons

Fig. 1-3-1-3.121 : Répartition des édifices présentant des étrésillons à Prasat Preah Stung

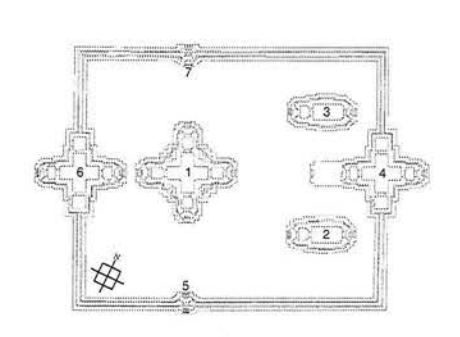


Fig. I-3-1-3.122 : Répartition des édifices présentant des étrésillons à Prasat Preah Thkol

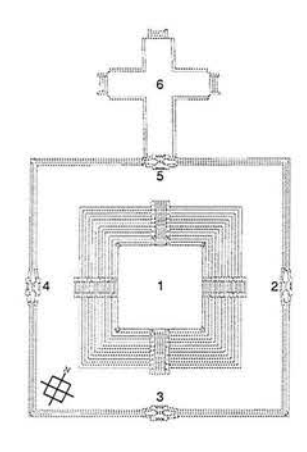
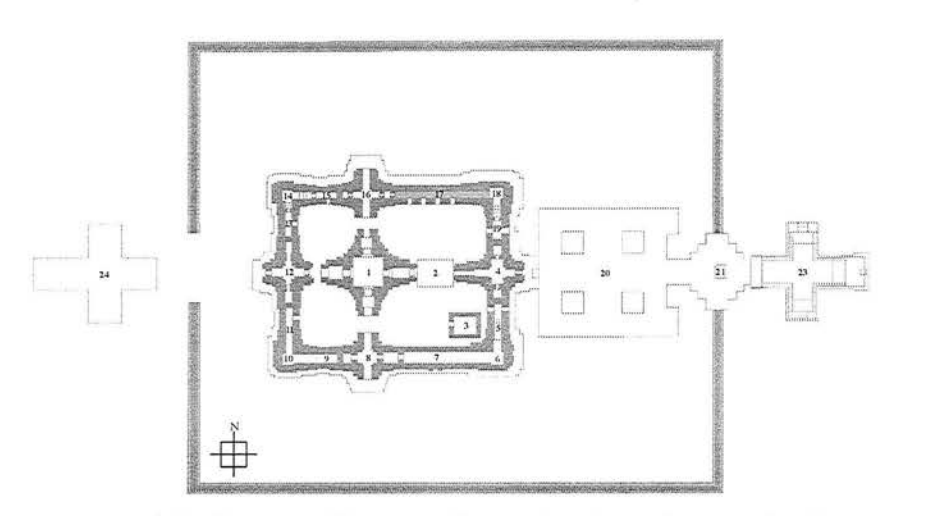
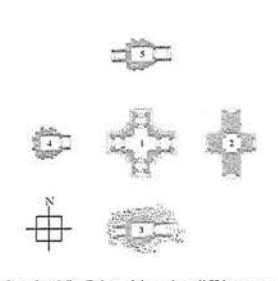


Fig. 1-3-1-3.123 : Répartition des édifices présentant des étrésillons à Prasat Damrei





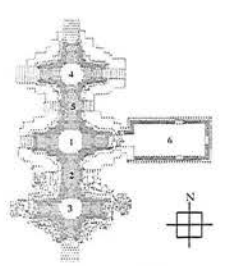
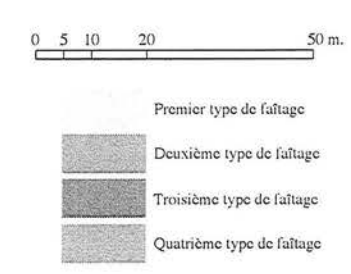


Fig. 1-3-1-3.125 : Répartition des différents types de faîtages à Wat Kamphaeng Laeng

Fig. I-3-1-3.126 : Répartition des différents types de faîtages au Phra Prang Sam Yod

Fig. I-3-1-3.124 : Répartition des différents types de faîtages dans la deuxième enceinte de Prasat Muang Sing



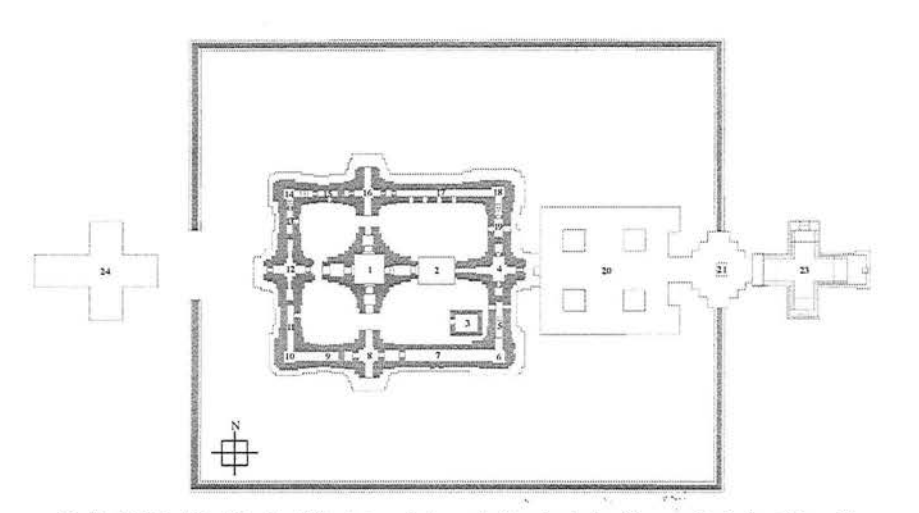
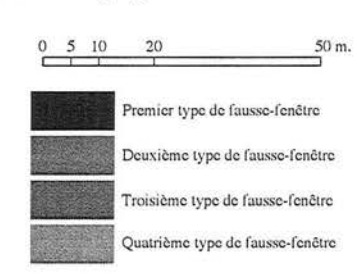


Fig. I-3-1-3.128 : Répartition des différents types de fausses-fenêtres à Wat Kamphaeng Laeng

A to

Fig. 1-3-1-3.129 : Répartition des différents types defausses-fenêtres au Phra Prang Sam Yod

Fig. I-3-1-3.127 : Répartition des différents types de fausses-fenêtres dans la deuxième enceinte de Prasat Muang Sing



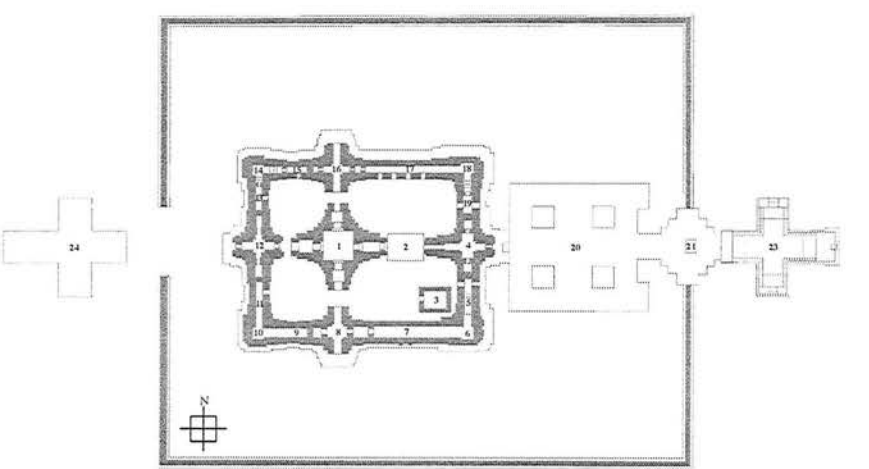
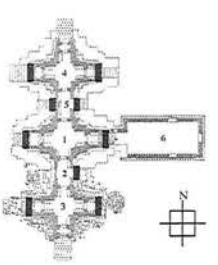


Fig. I-3-1-3.130 : Répartition des traces de structures en matériaux éphémères



en matériaux éphémères à Wat Kamphaeng Laeng

Fig. I-3-1-3.131 : Répartition des traces de structures Fig. I-3-1-3.132 : Répartition des traces de structures en matériaux éphémères au Phra Prang Sam Yod



Traitement des données de l'inventaires des critères stylistiques et architectoniques

 Tableaux synoptiques de critères architectoniques et ornementaux :
 p. 179

 Ta Prohm
 p. 180

 Banteay Kdei
 p. 181

 Bayon
 p. 182

 Monuments secondaires à Angkor
 p. 183

 Monuments hors Angkor
 p. 184

 Matrices des critères architectoniques et ornementaux :
 p. 185

 Ta Prohm
 p. 186

 Preah Khan d'Angkor
 p. 187

 Banteay Kdei
 p. 188

 Bayon
 p. 189

 Découpage du style du Bayon
 p. 190

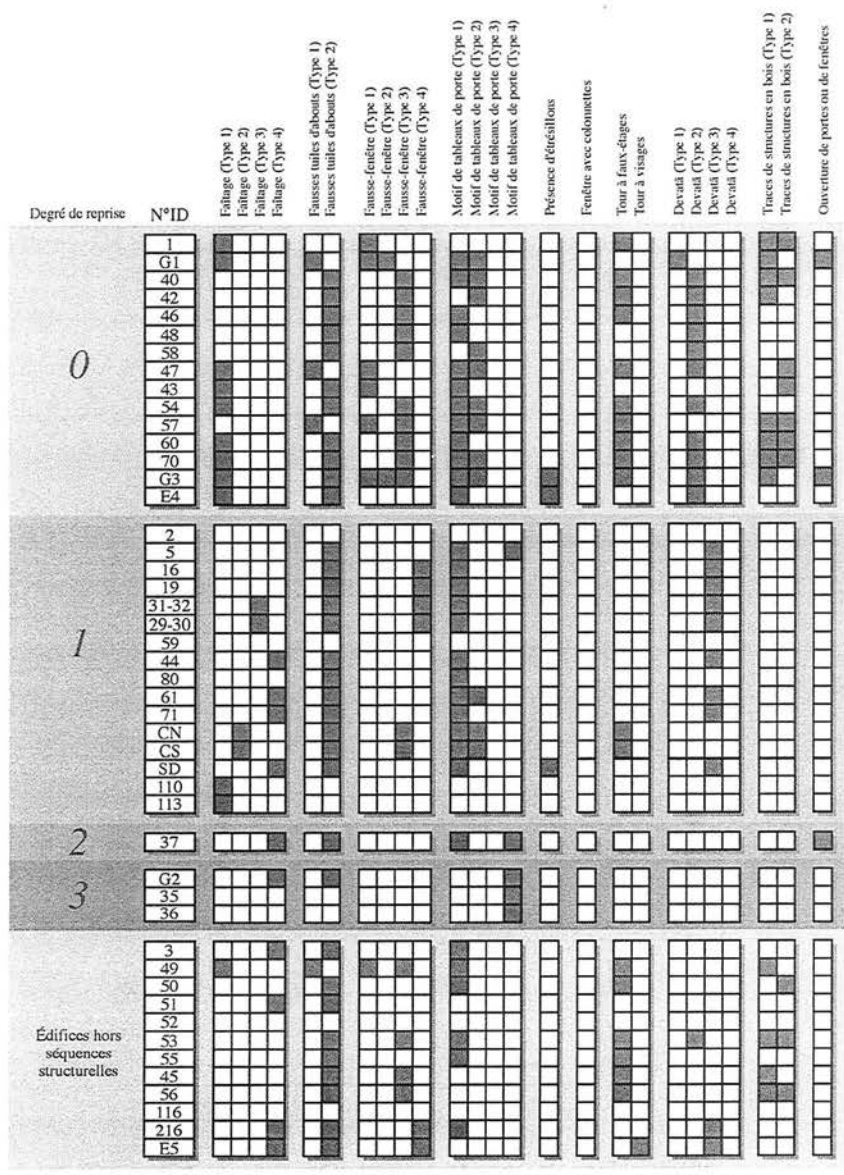


Fig. 1-3-1-3-2.1: Tableau synoptique des critères architectoniques et ornementaux à Ta Prohm

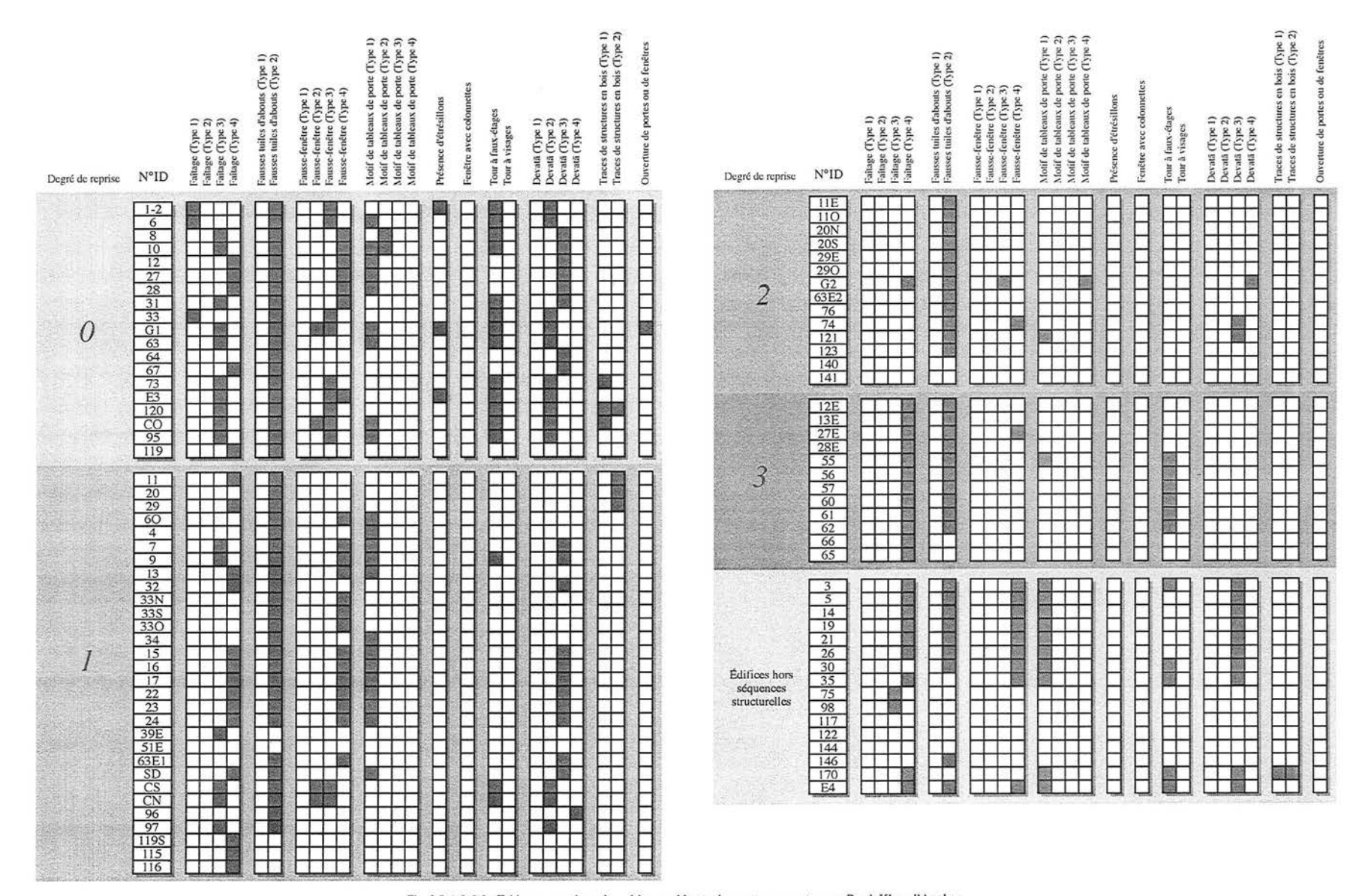
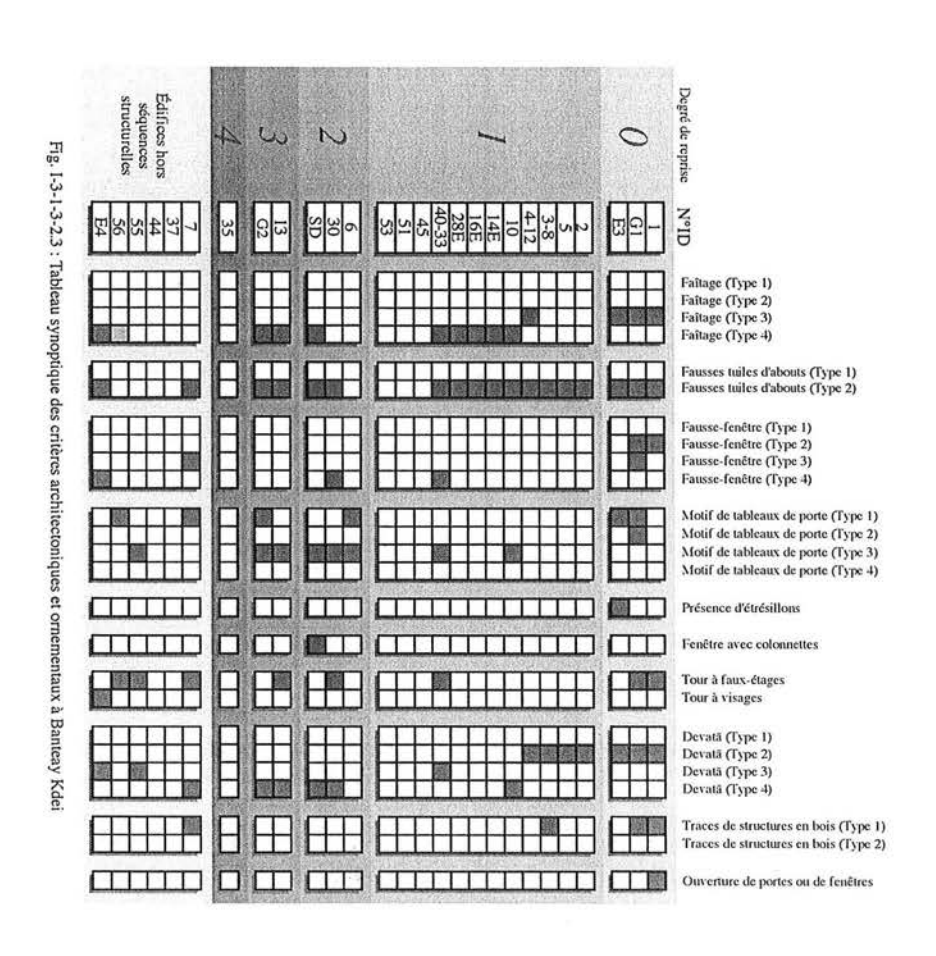


Fig. 1-3-1-3-2.2: Tableau synoptique des critères architectoniques et ornementaux au Preah Khan d'Angkor



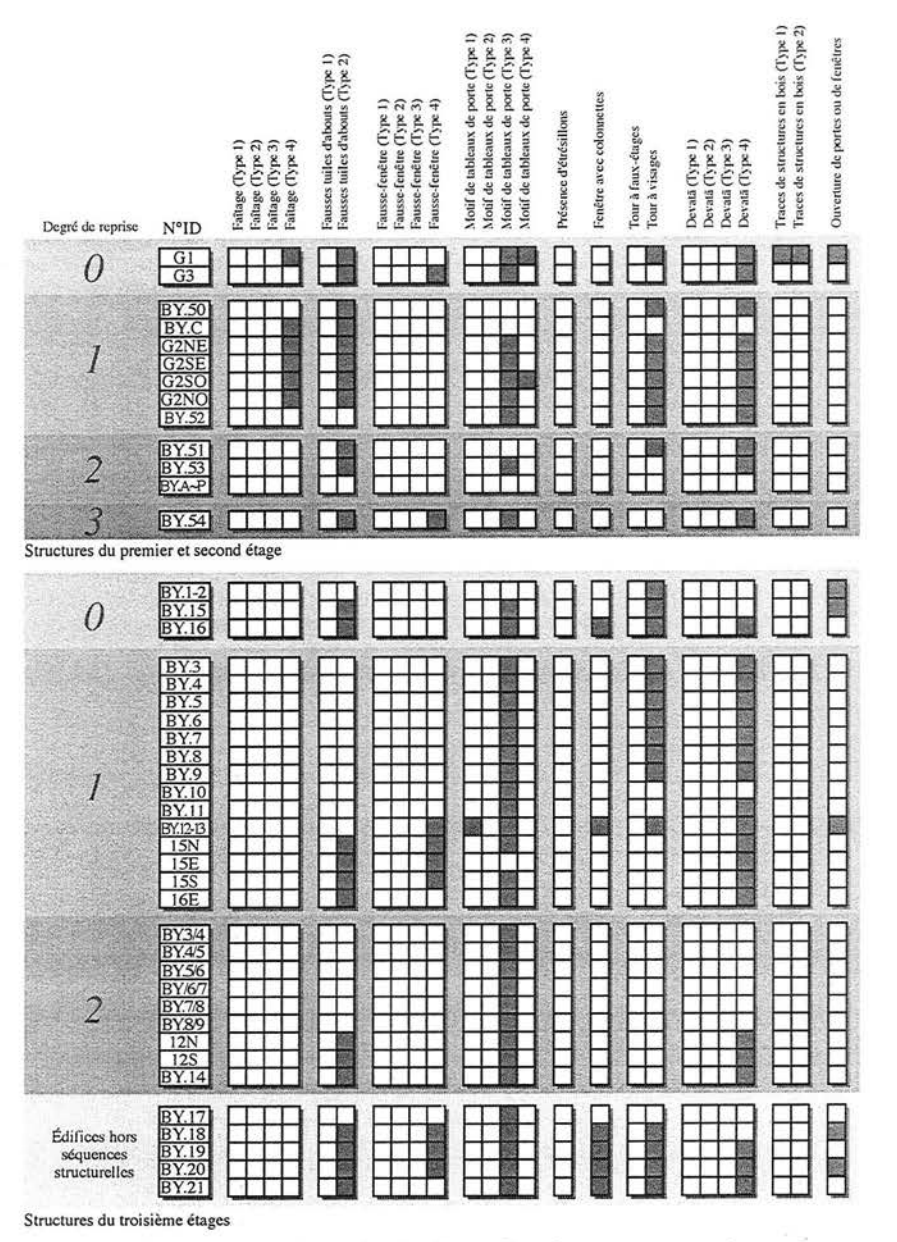


Fig. I-3-1-3-2.4: Tableau synoptique des critères architectoniques et ornementaux au Bayon

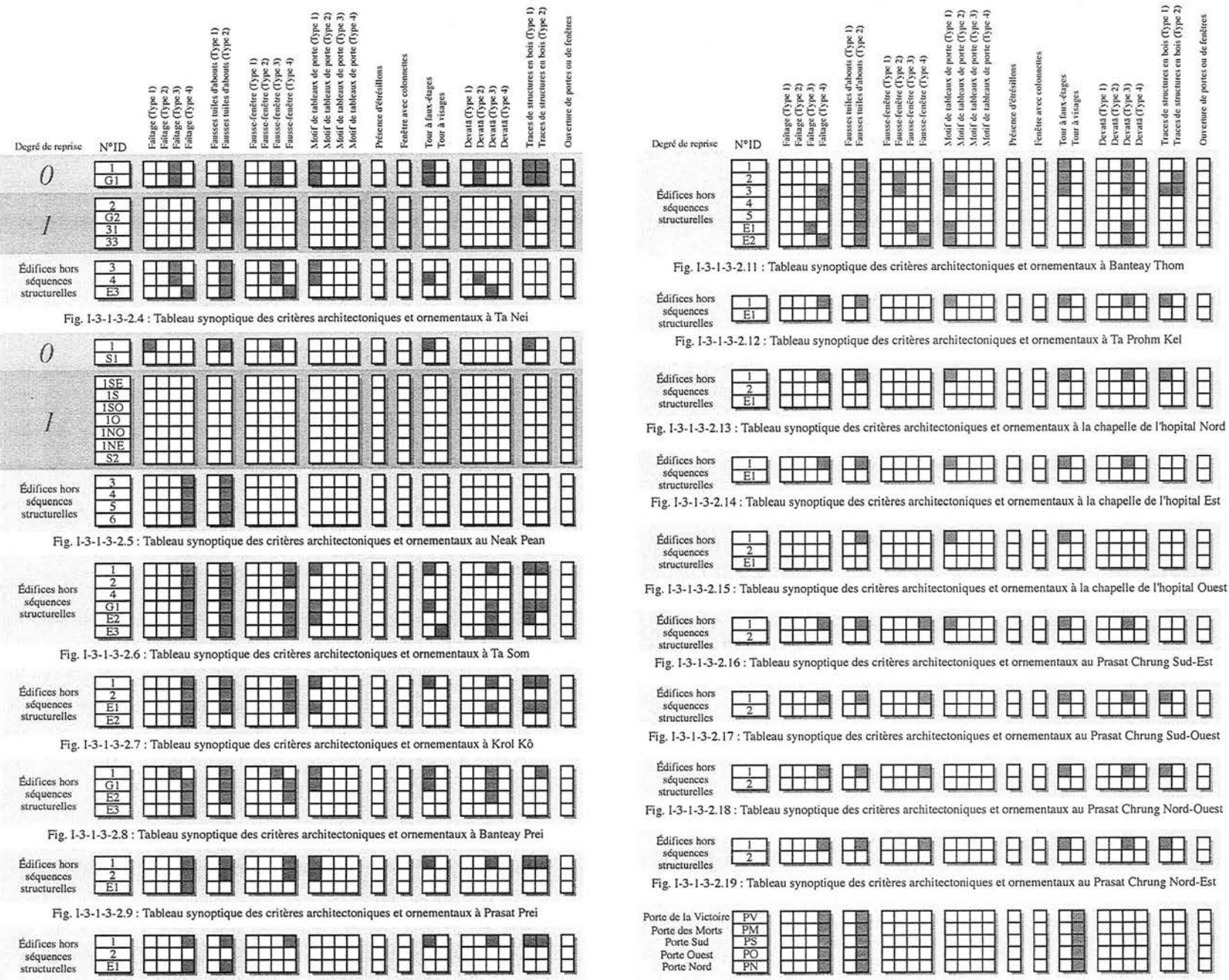


Fig. I-3-1-3-2.10: Tableau synoptique des critères architectoniques et ornementaux à Prasat Prei Prasat

Fig. I-3-1-3-2.20: Tableau synoptique des critères architectoniques et ornementaux aux Portes d'Angkor Thom

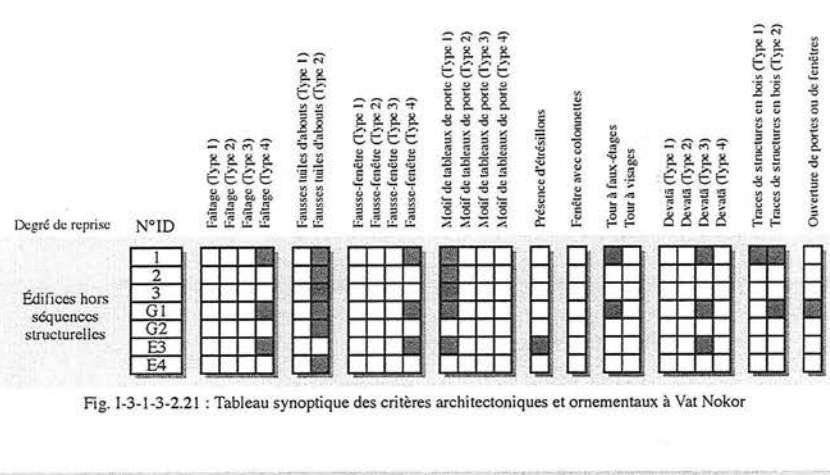




Fig. I-3-1-3-2.22 : Tableau synoptique des critères architectoniques et ornementaux à Ta Prohm de Bati

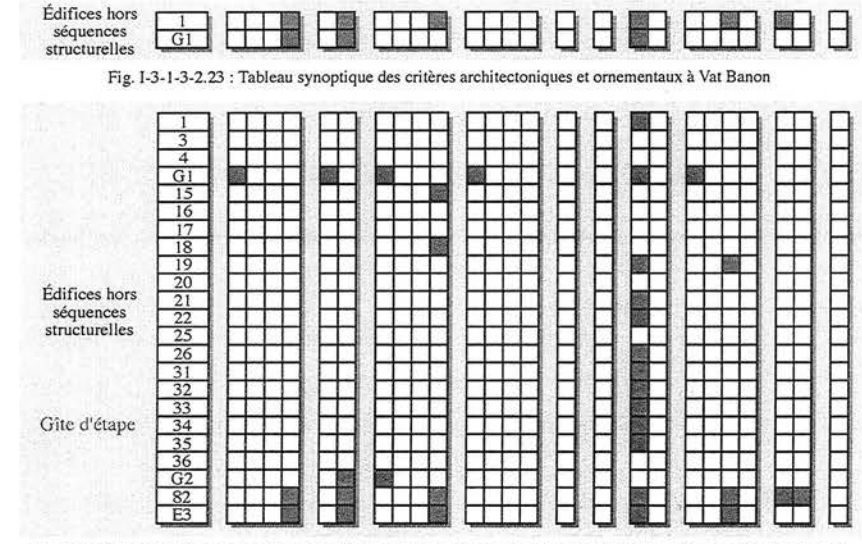


Fig. I-3-1-3-2.24: Tableau synoptique des critères architectoniques et ornementaux au Preah Khan de Kompong Svay

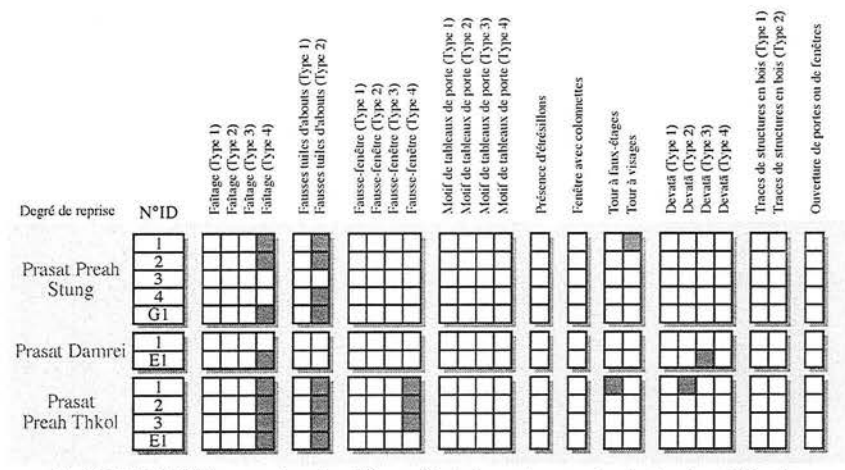


Fig. 1-3-1-3-2.25 : Tableau synoptique des critères architectoniques et ornementaux des temples-satellites du Preah Khan de Kompong Svay

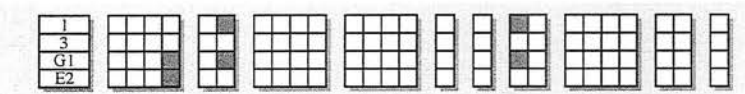


Fig. 1-3-1-3-2.26: Tableau synoptique des critères architectoniques et ornementaux à Muang Sing

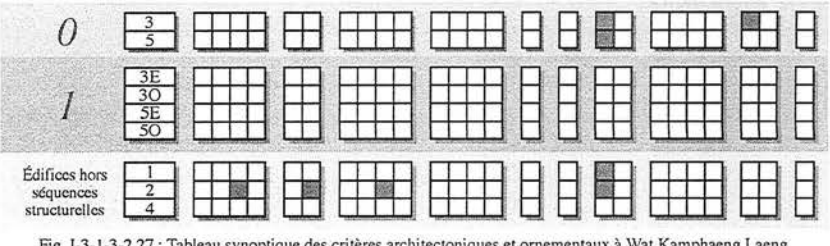


Fig. I-3-1-3-2.27: Tableau synoptique des critères architectoniques et ornementaux à Wat Kamphaeng Laeng

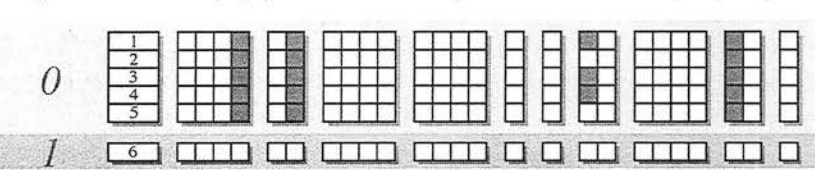


Fig. I-3-1-3-2.28: Tableau synoptique des critères architectoniques et ornementaux au Phra Prang Sam Yod

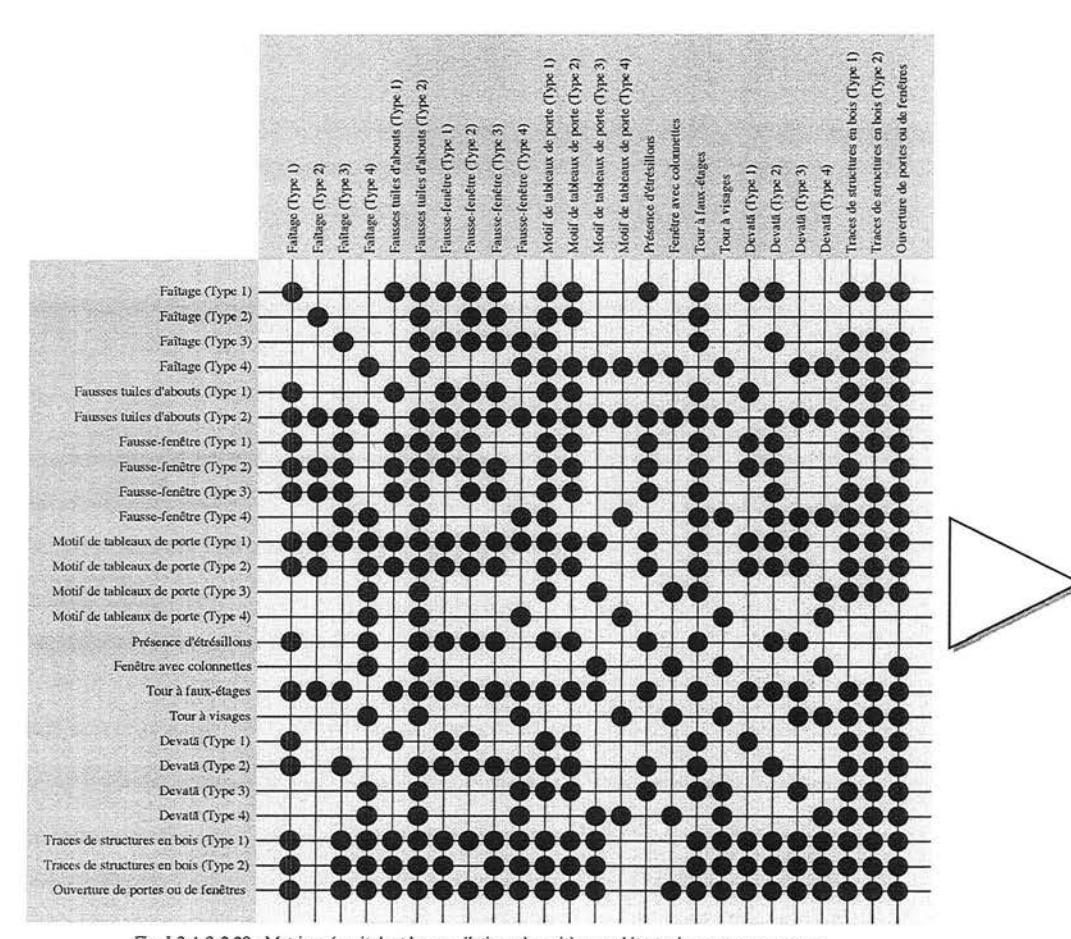


Fig. I-3-1-3-2.29 : Matrice récapitulant les corrélations des critères architectoniques et ornementaux

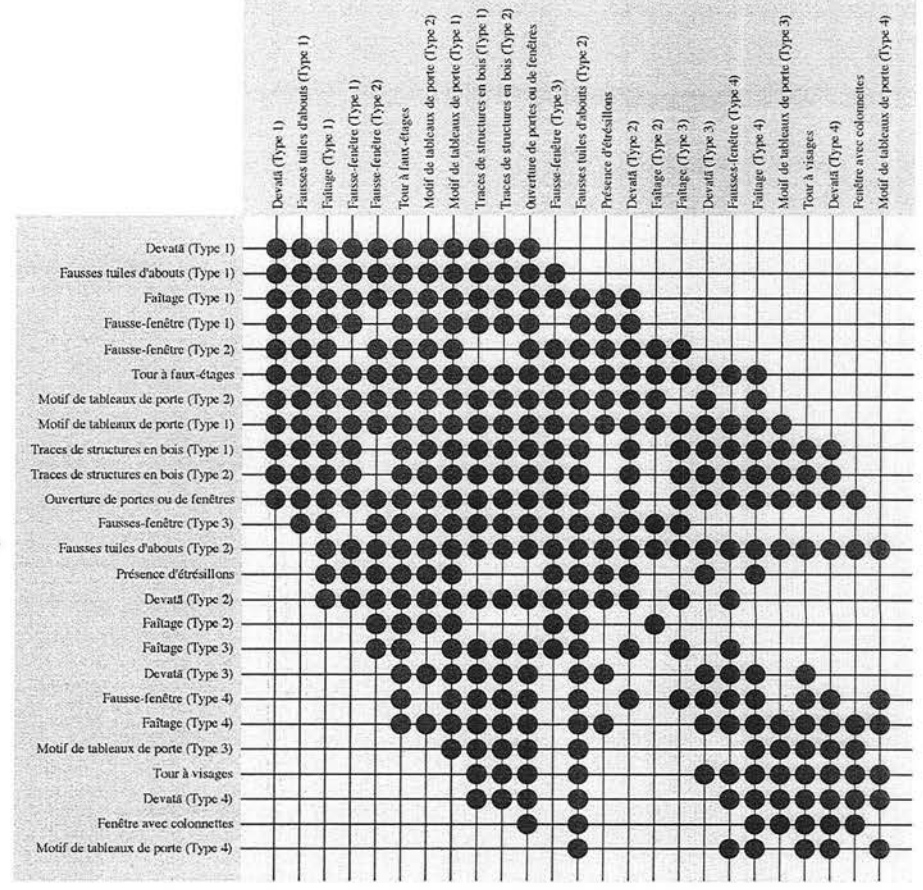


Fig. I-3-1-3-2.30 : Matrice ordonnée des corrélations des critères architectoniques et ornementaux après permutations

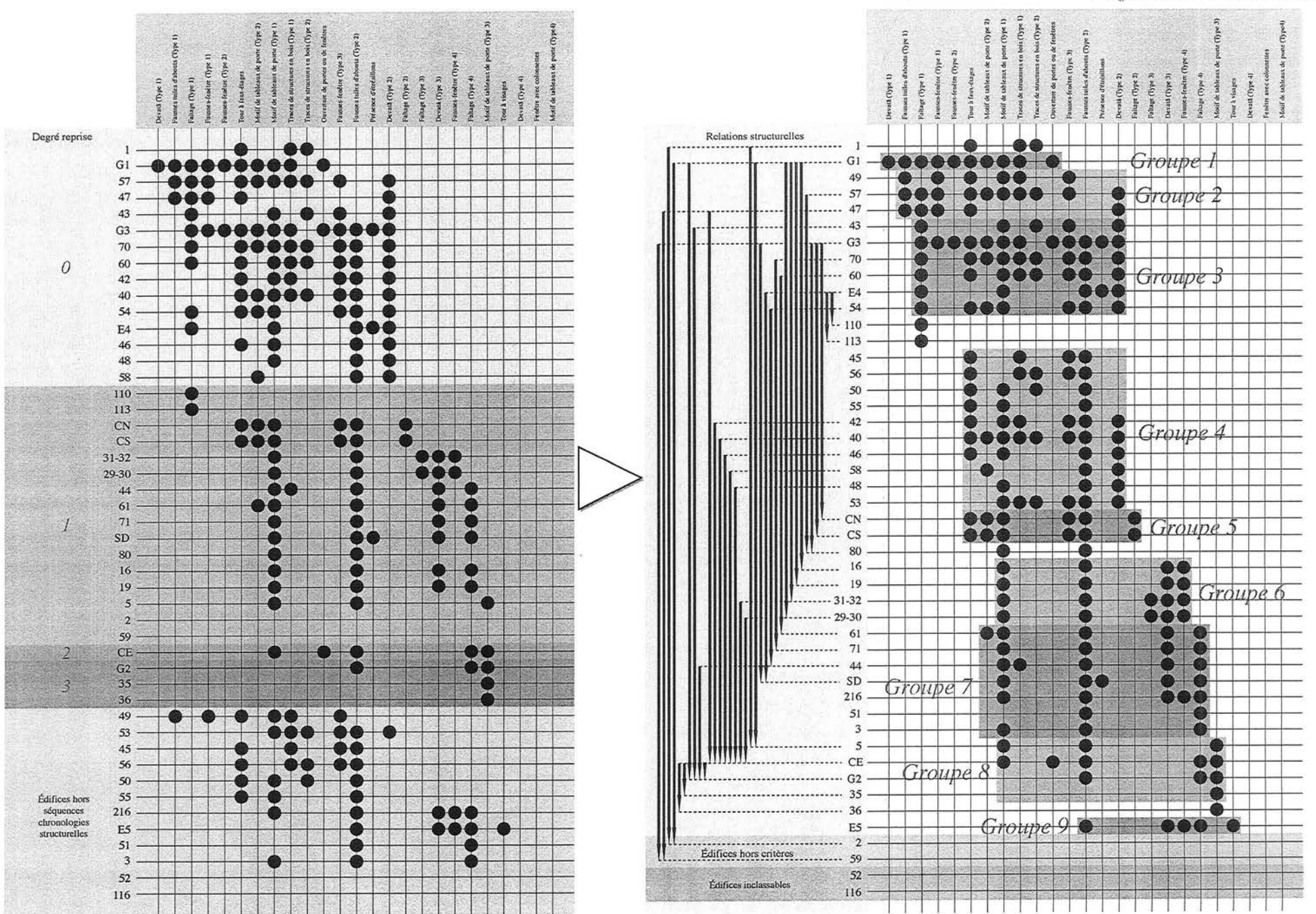


Fig. I-3-1-3-2.31: Matrice des critères architectoniques et ornementaux à Ta Prohm

Fig. I-3-1-3-2.32 : Matrice chronologique des critères architectoniques et ornementaux à Ta Prohm ordonnée après permutation

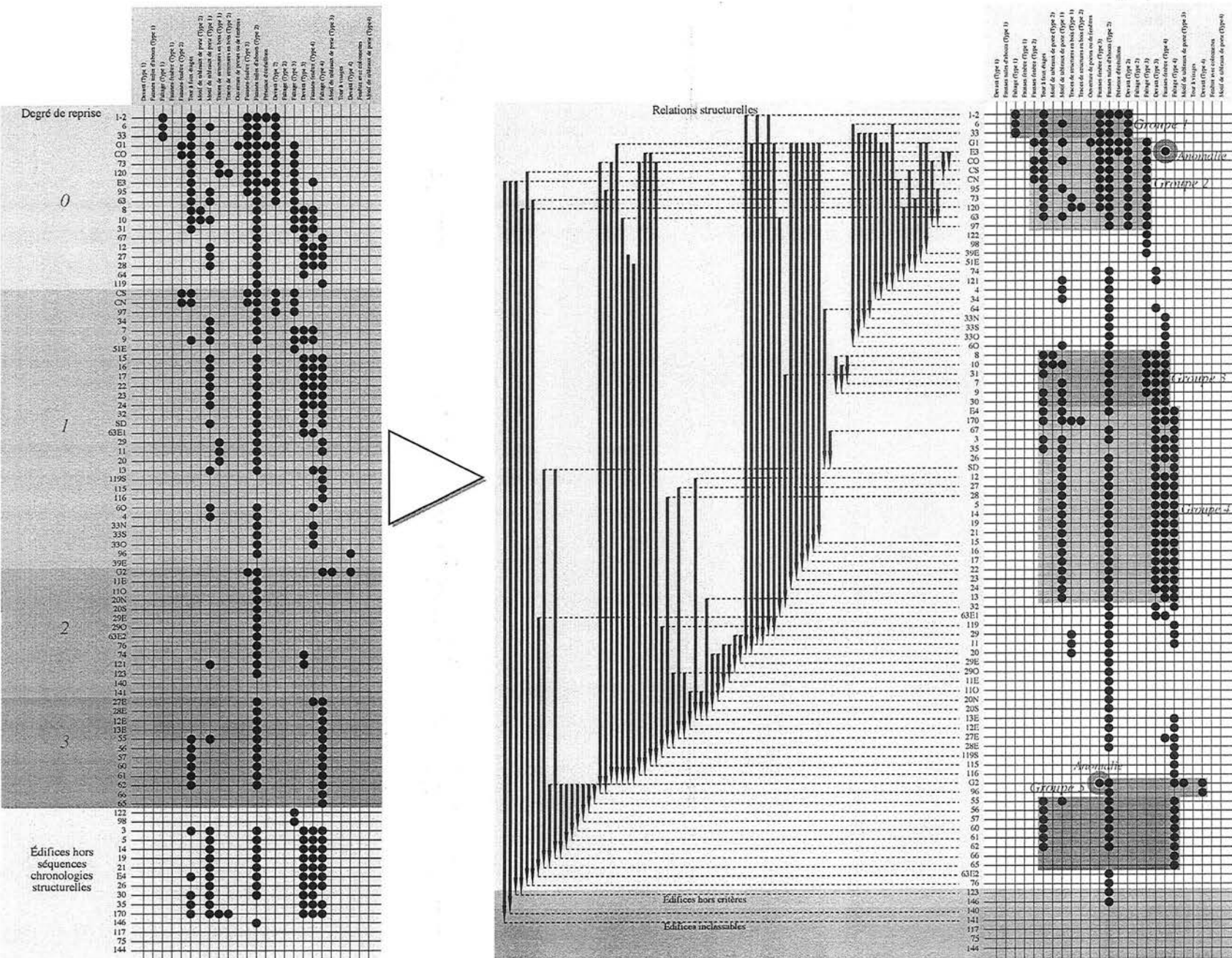


Fig. I-3-1-3-2.33: Matrice des critères architectoniques et ornementaux au Preah Khan d'Angkor

Fig. I-3-1-3-2.34 : Matrice chronologique des critères architectoniques et ornementaux au Preah Khan d'Angkor ordonnée après permutation

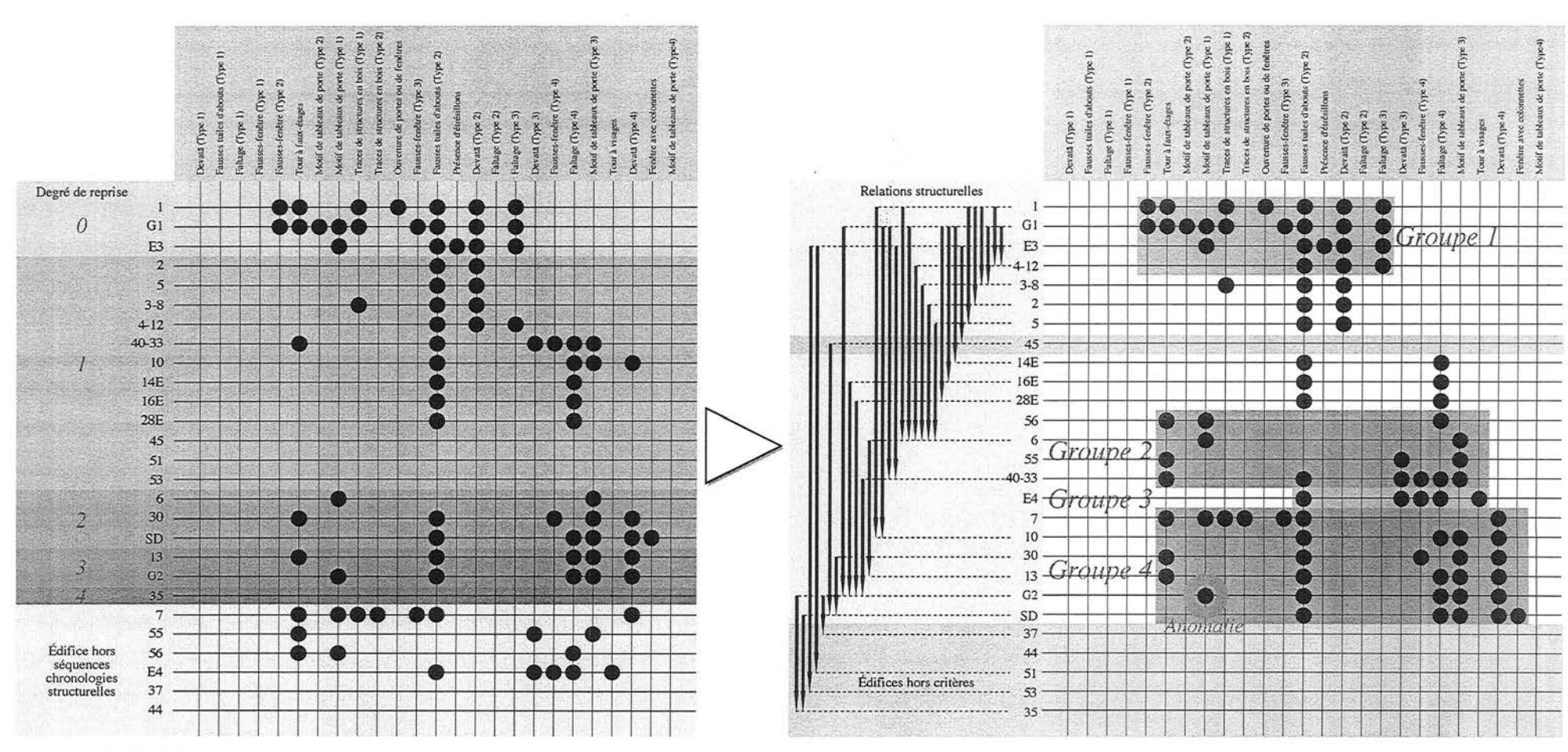


Fig. I-3-1-3-2.35 : Matrice des critères architectoniques et ornementaux à Banteay Kdei

Fig. I-3-1-3-2.36: Matrice chronologique des critères architectoniques et ornementaux à Banteay Kdei ordonnée après permutation

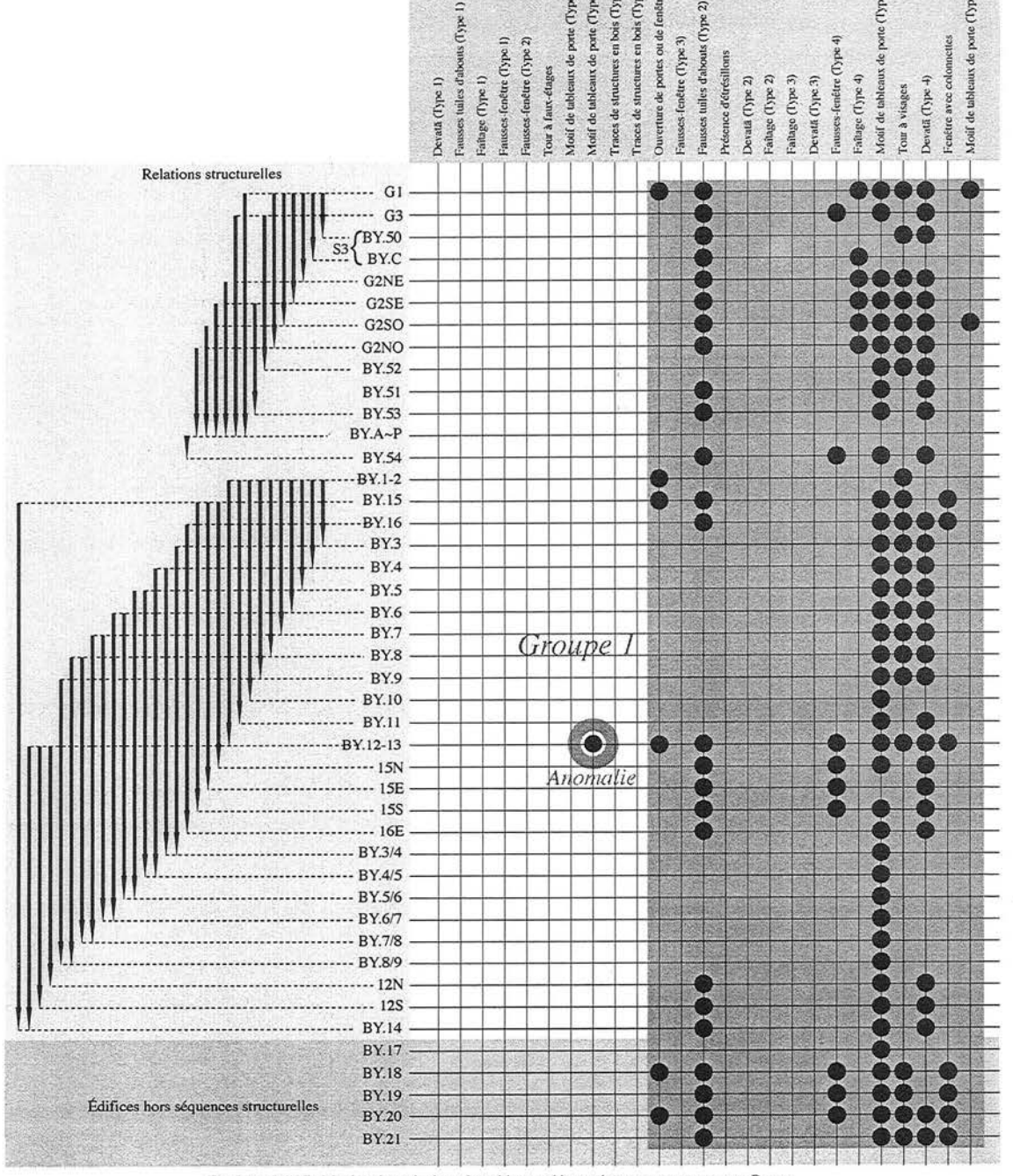


Fig. I-3-1-3-2.37 : Matrice chronologique des critères architectoniques et ornementaux au Bayon

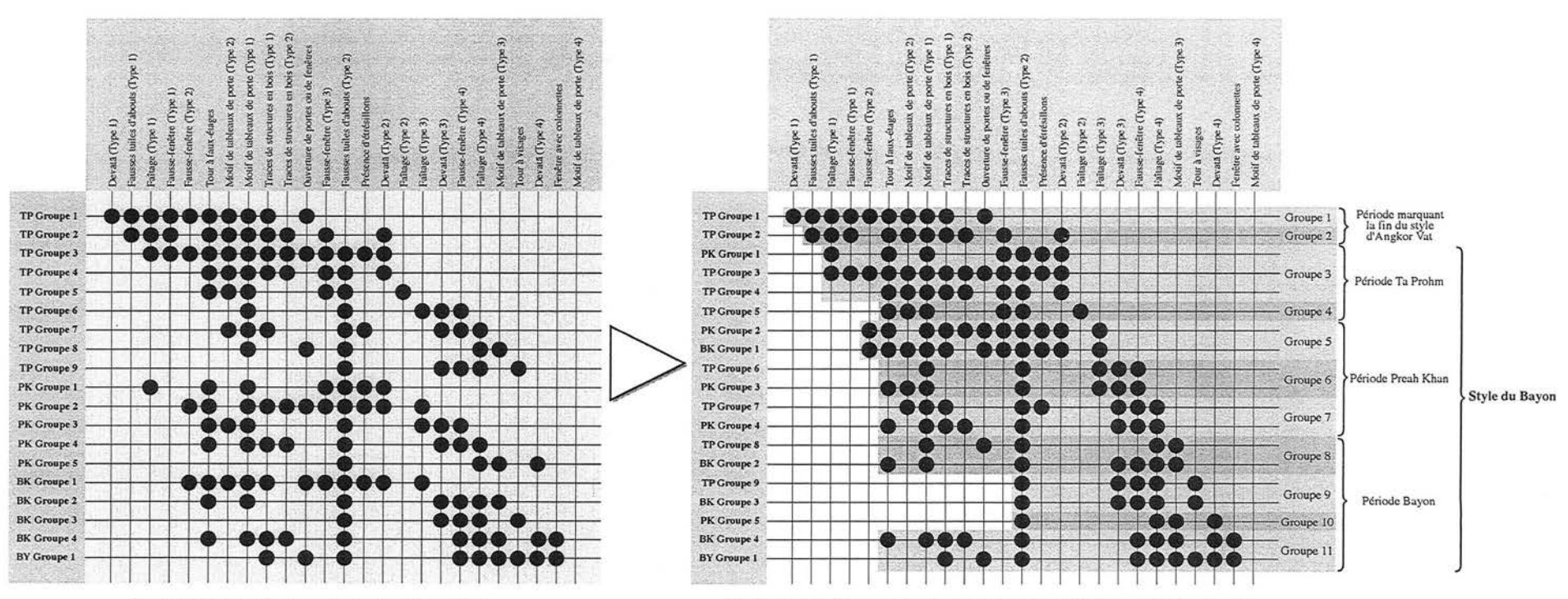
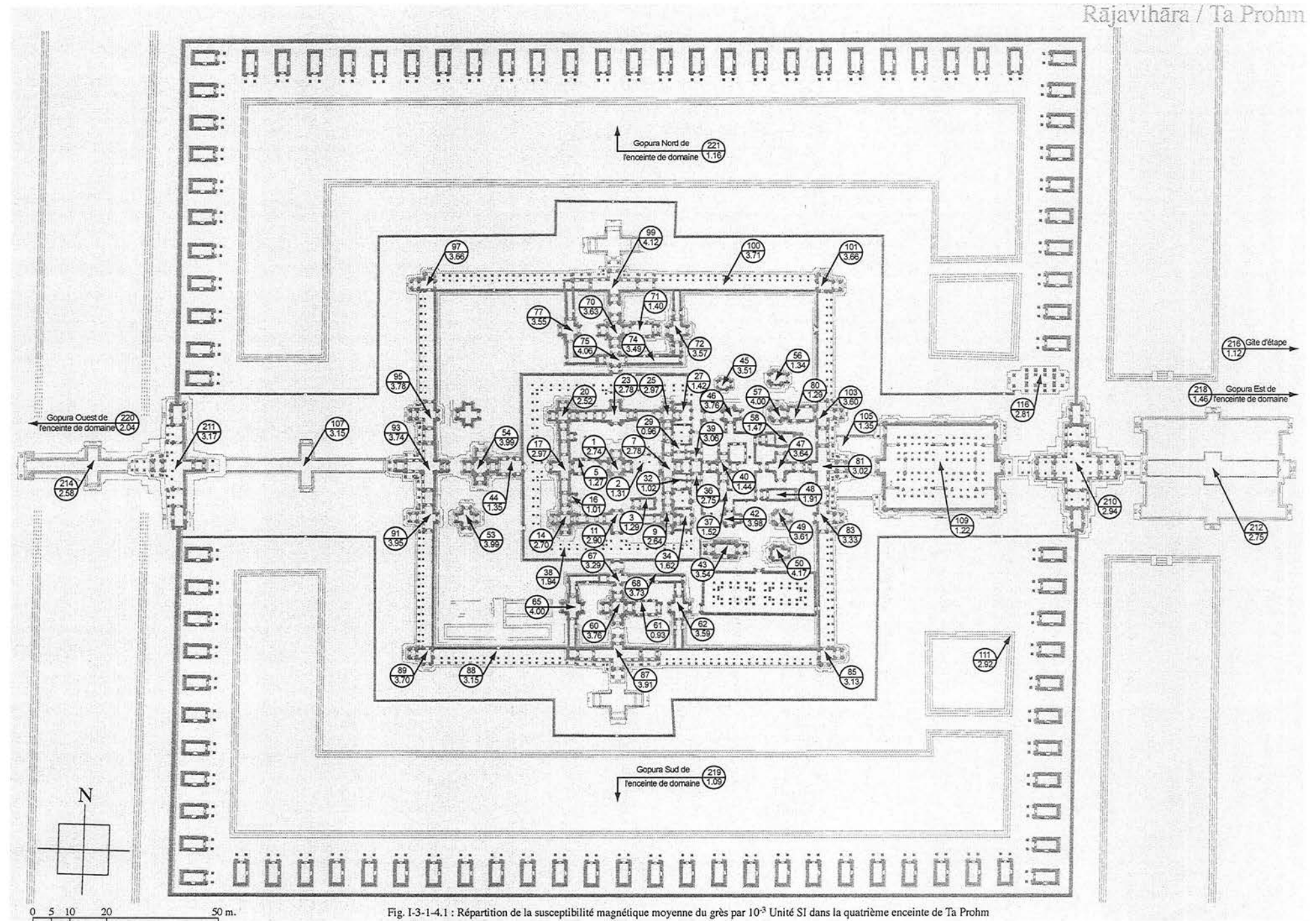


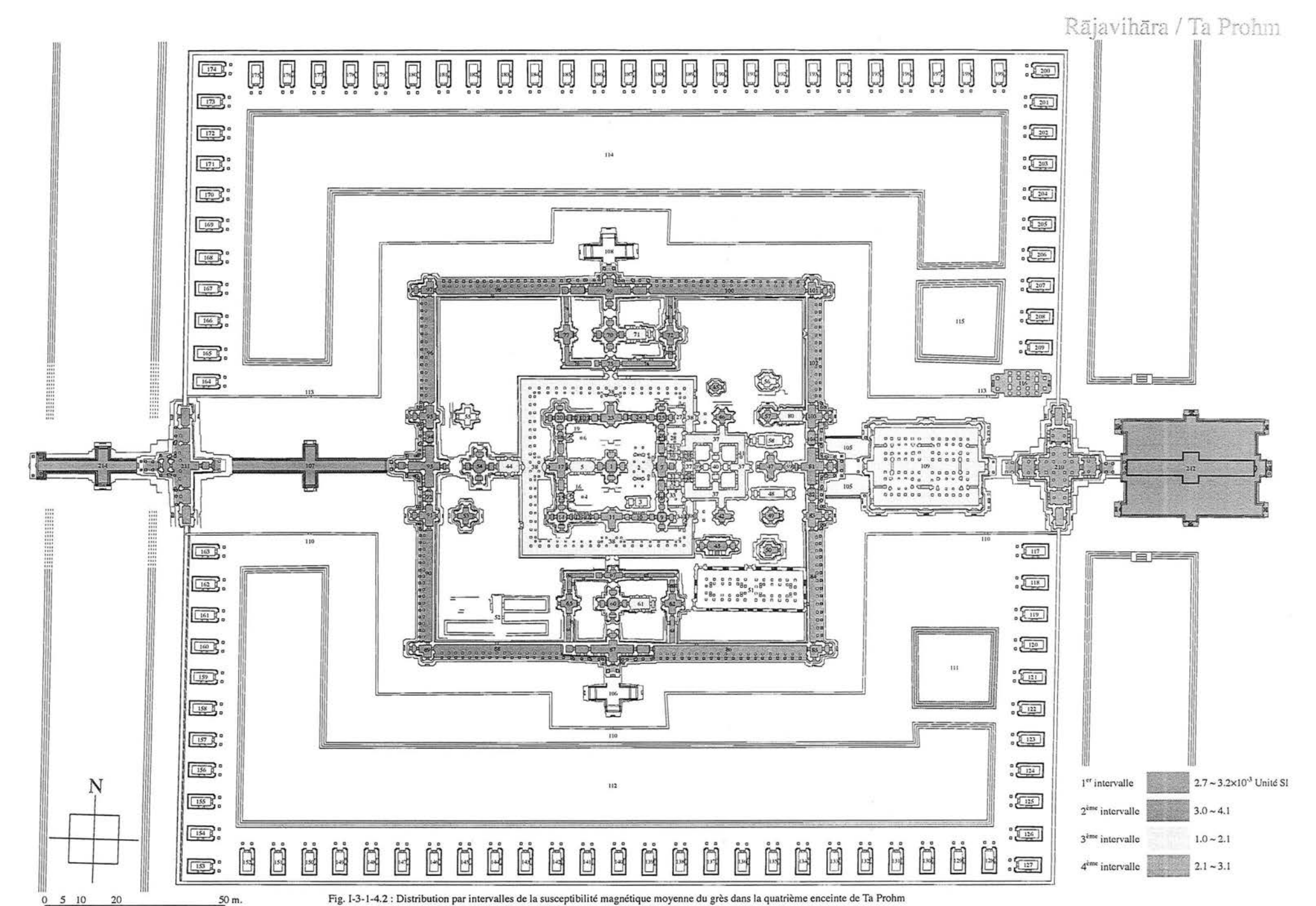
Fig. I-3-1-3-2.38: Matrice des goupes de critères de Ta Prohm, du Preah Khan d'Angkor, de Banteay Kdei et du Bayon

Fig. 1-3-1-3-2.39 : Découpage du style du Bayon résultant de la diagonalisation des données

Données et traitement de la susceptibilité magnétique moyenne du grès des monuments du style du Bayon à Angkor

Ta Prohm	192 à p. 195
Preah Khan d'Angkor	196 à p. 199
Banteay Kdei	200 à p. 203
Bayonp. 2	2046 à p. 207
Monuments secondaires d'Angkor	208 à p. 216





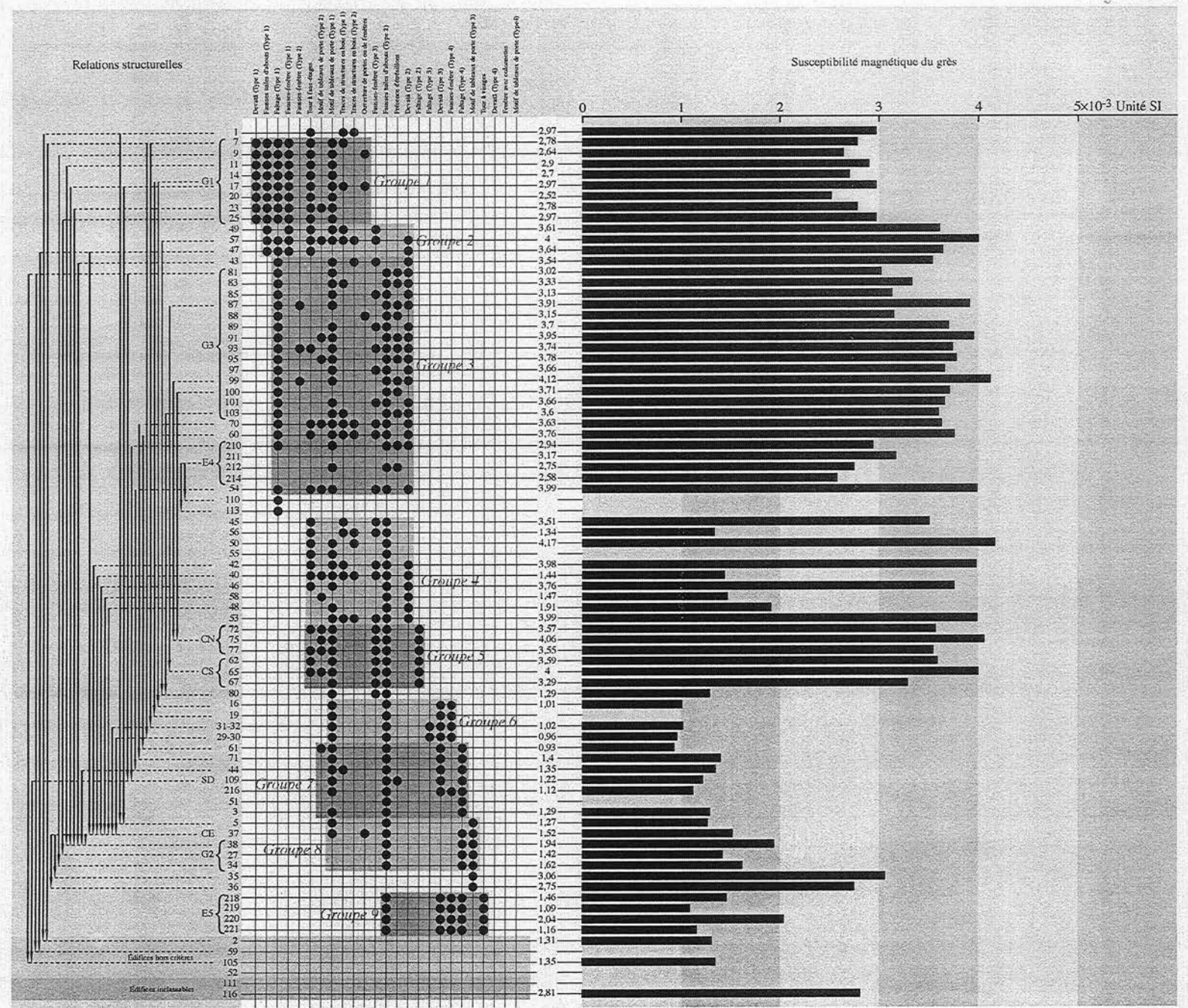


Fig. I-3-1-4.3: Matrice chronologique des critères architectoniques et ornementaux de Ta Prohm adjointe des résultats de la susceptibilité magnétique moyenne du grès

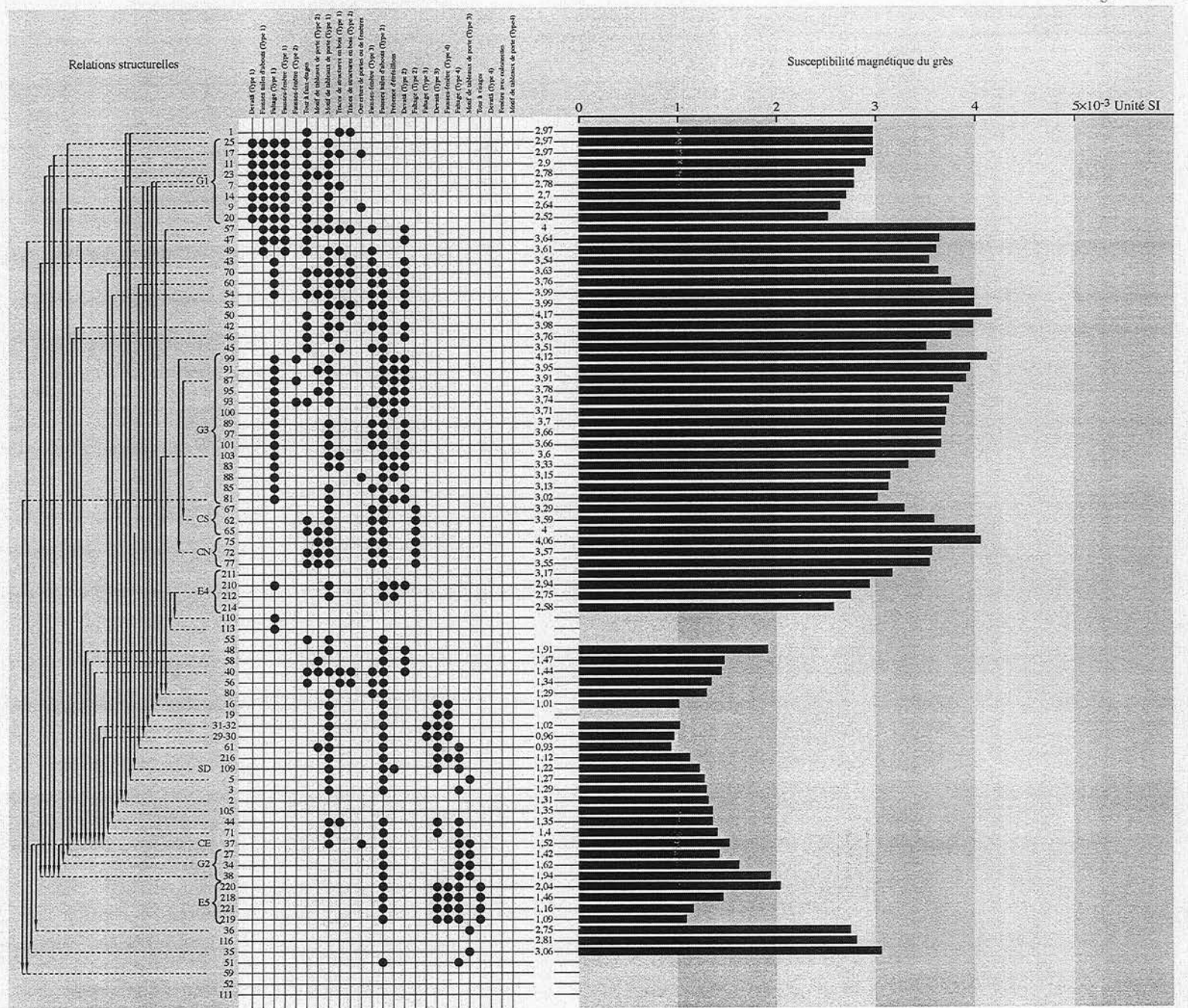
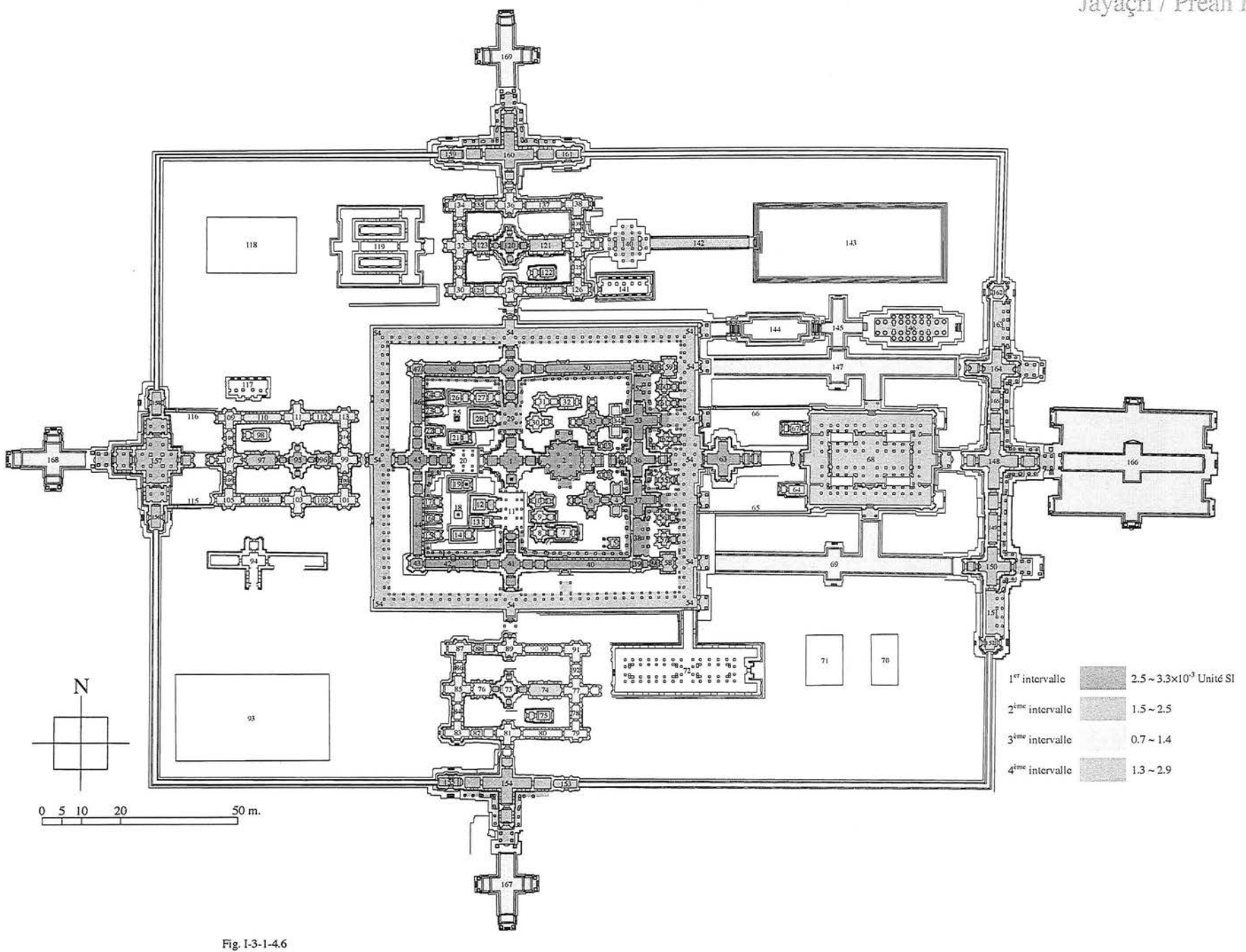


Fig. 1-3-1-4.4: Matrice chronologique ordonnée des critères architectoniques et ornementaux de Ta Prohm adjointe des résultats de la susceptibilité magnétique moyenne du grès

Fig. 1-3-1-4.5: Répartition de la susceptibilité magnétique moyenne du grès par 10-3 Unité SI dans la quatrième enceinte du Preah Khan d'Angkor



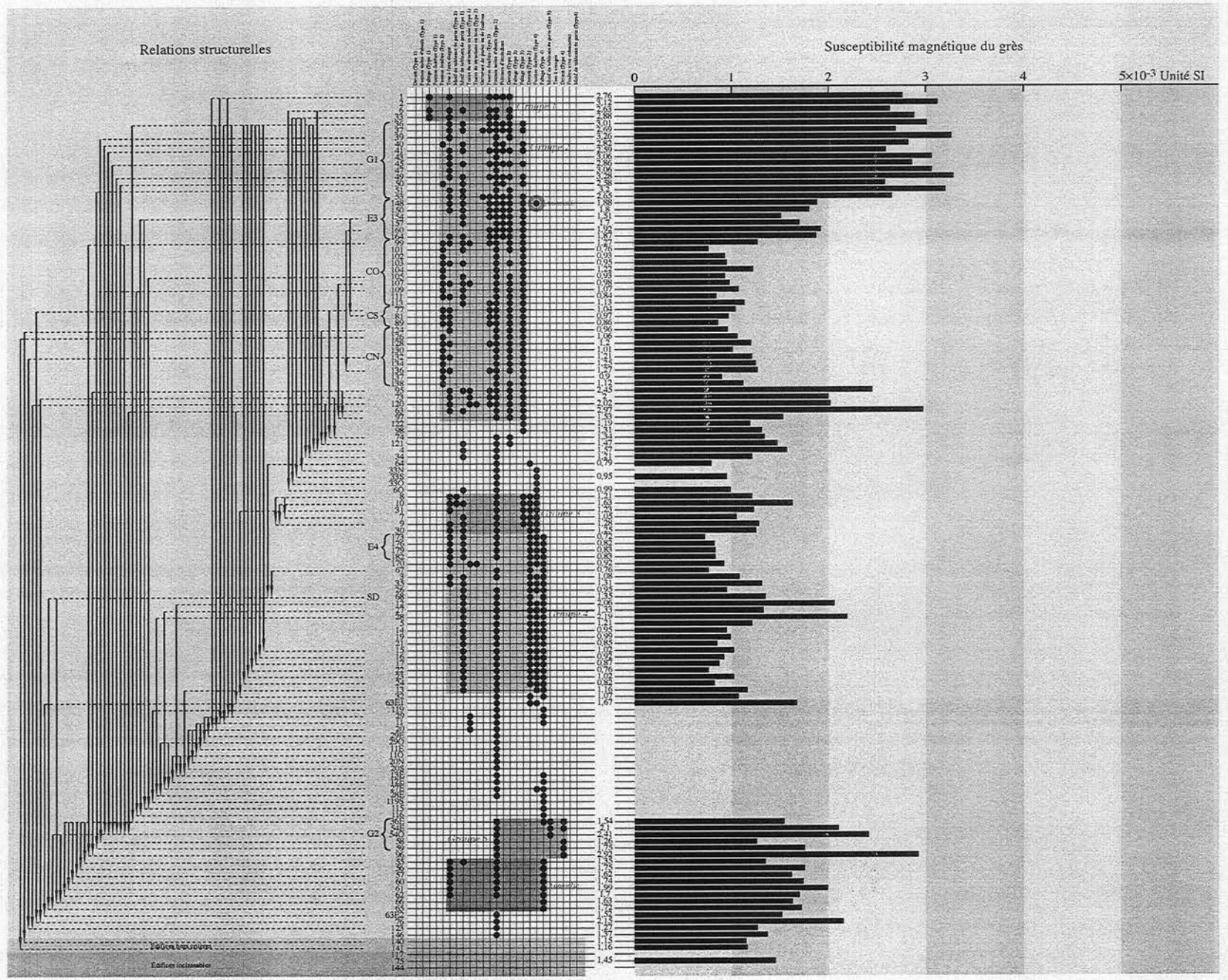


Fig. I-3-1-4.7: Matrice chronologique des critères architectoniques et ornementaux du Preah Khan d'Angkor adjointe des résultats de la susceptibilité magnétique moyenne du grès

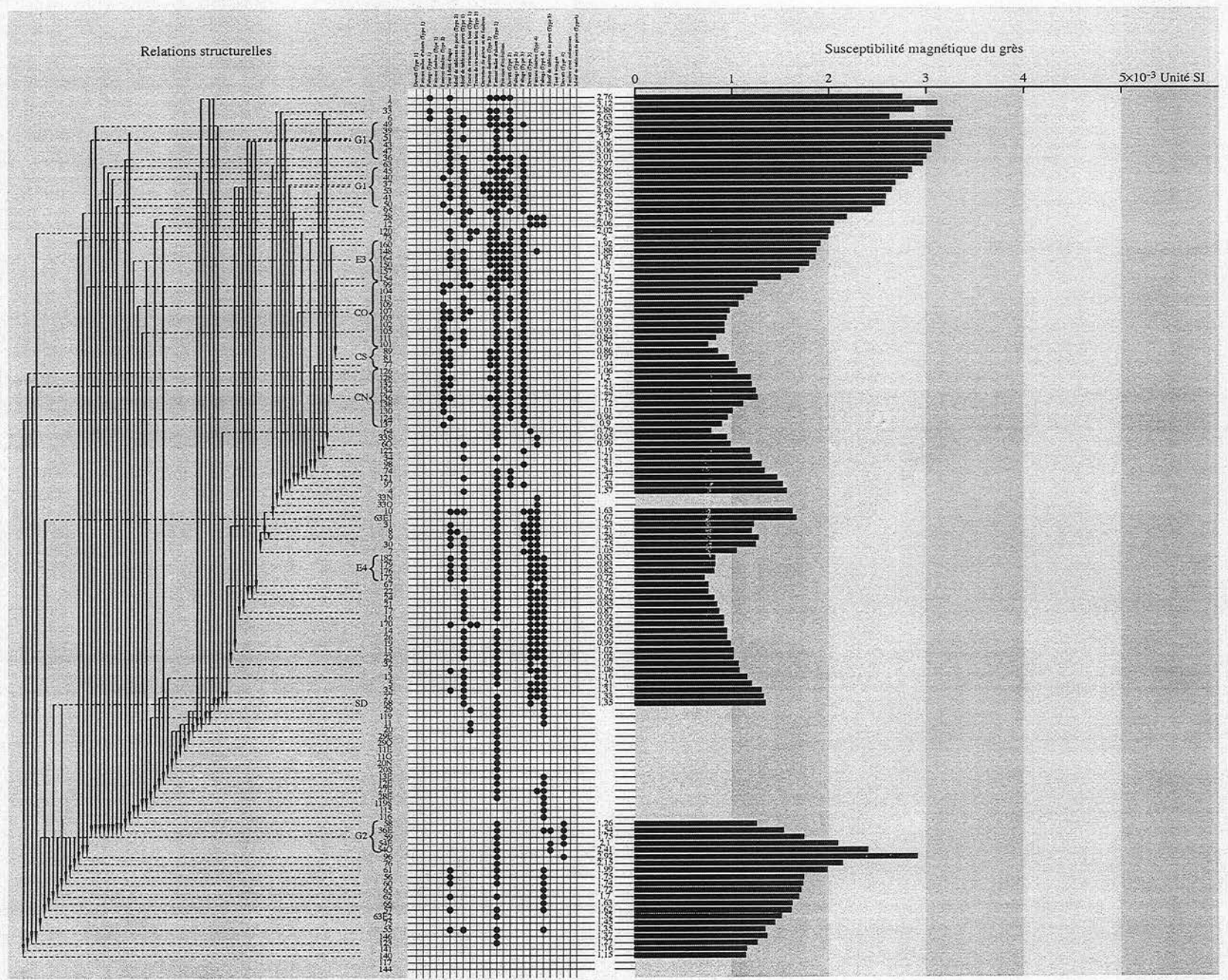


Fig. I-3-1-4.8 : Matrice chronologique ordonnée des critères architectoniques et ornementaux du Preah Khan d'Angkor adjointe des résultats de la susceptibilité magnétique moyenne du grès

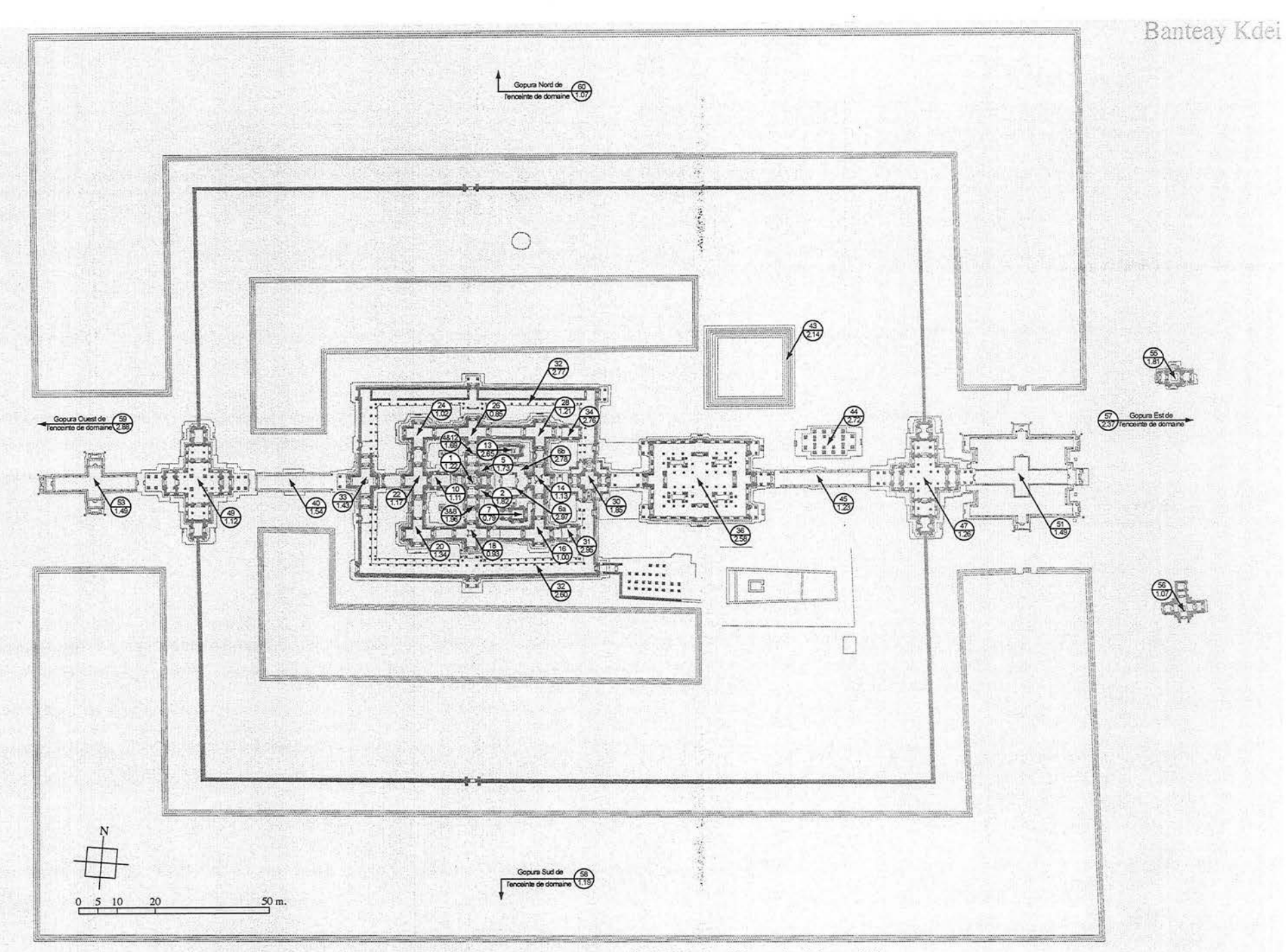


Fig. I-3-1-4.9 : Répartition de la susceptibilité magnétique moyenne du grès par 10^3 Unité SI dans la troisième enceinte de Banteay Kdei



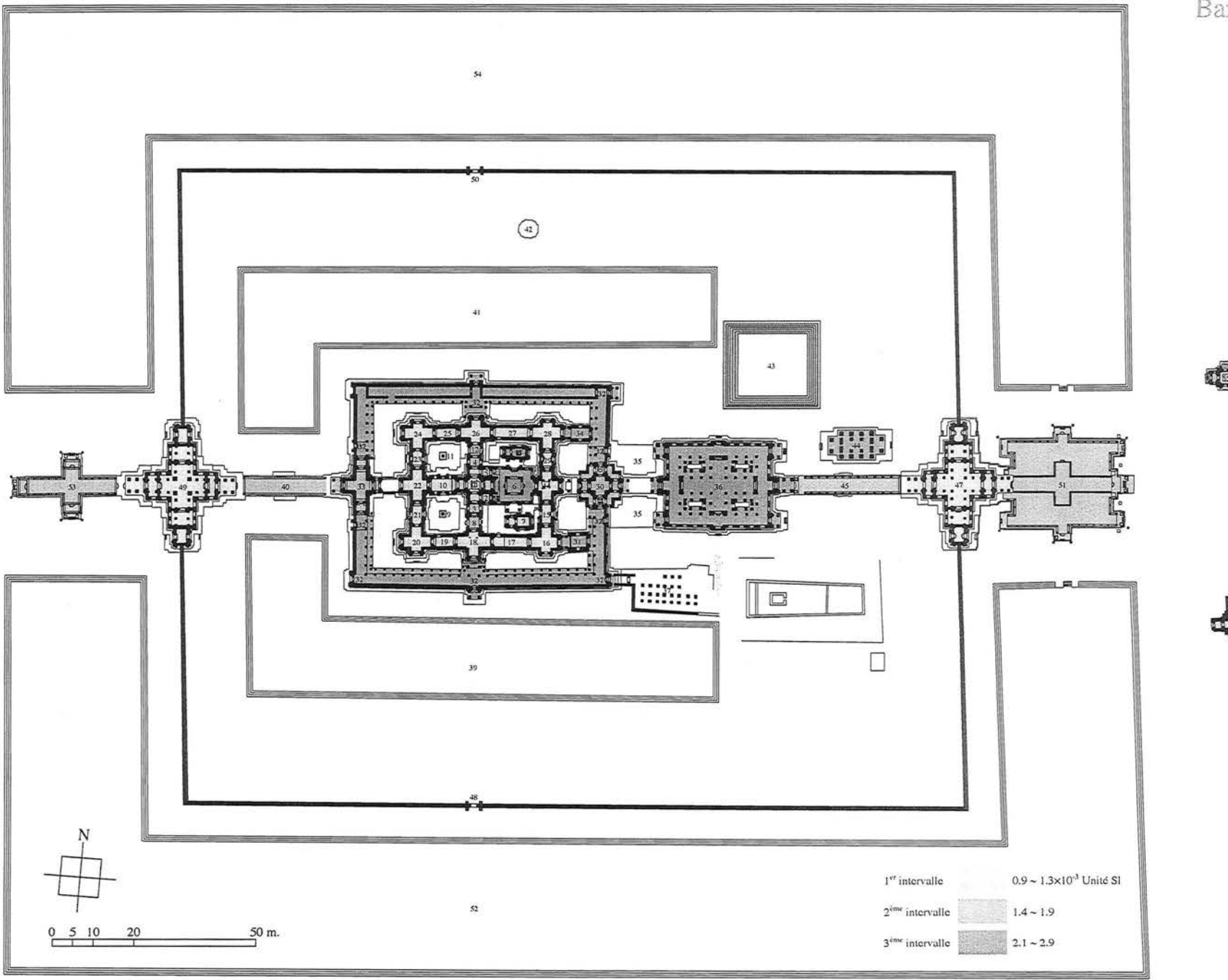


Fig. I-3-

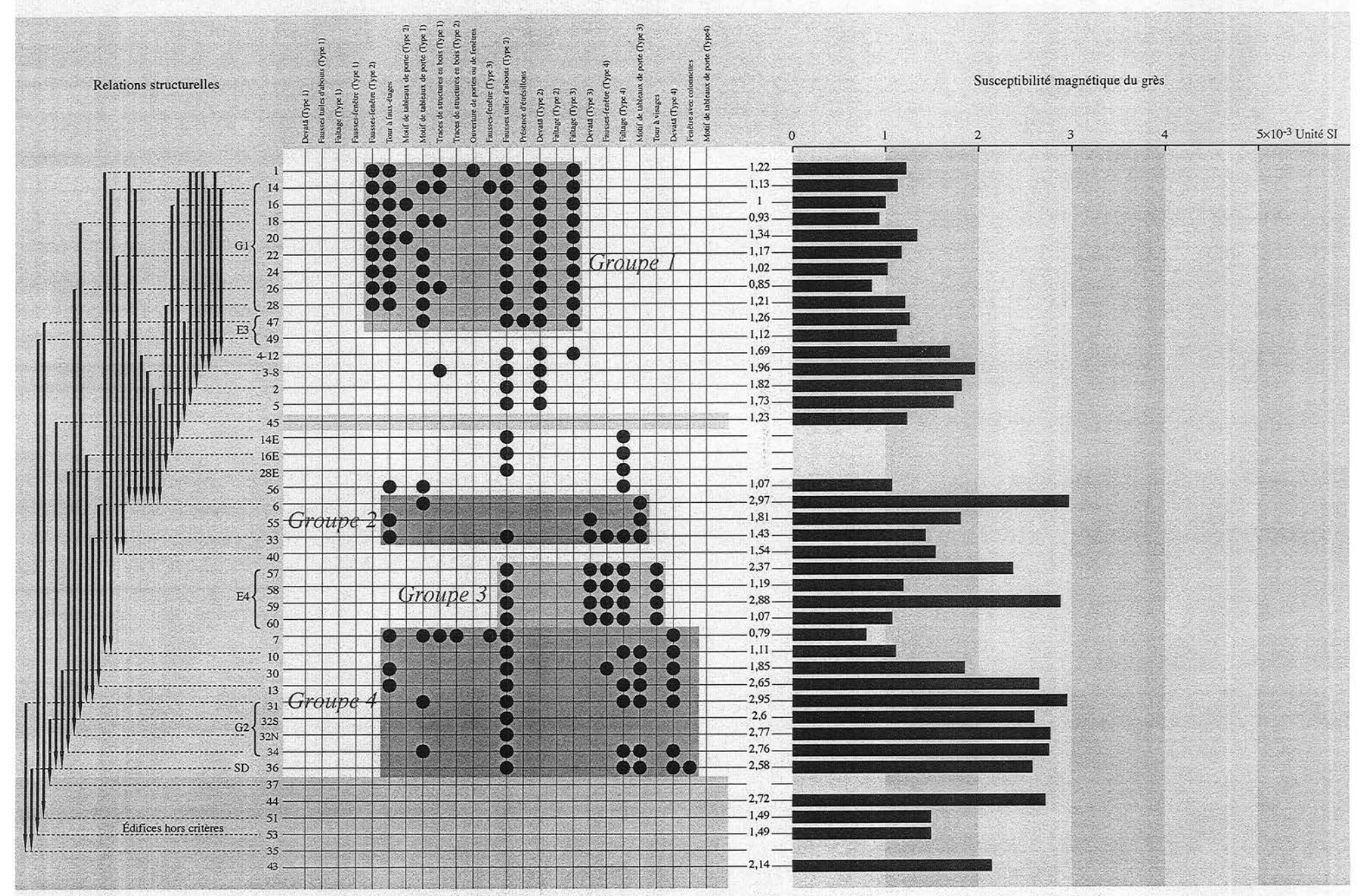


Fig. I-3-1-4.11 : Matrice chronologique des critères architectoniques et ornementaux de Banteay Kdei adjointe des résultats de la susceptibilité magnétique moyenne du grès

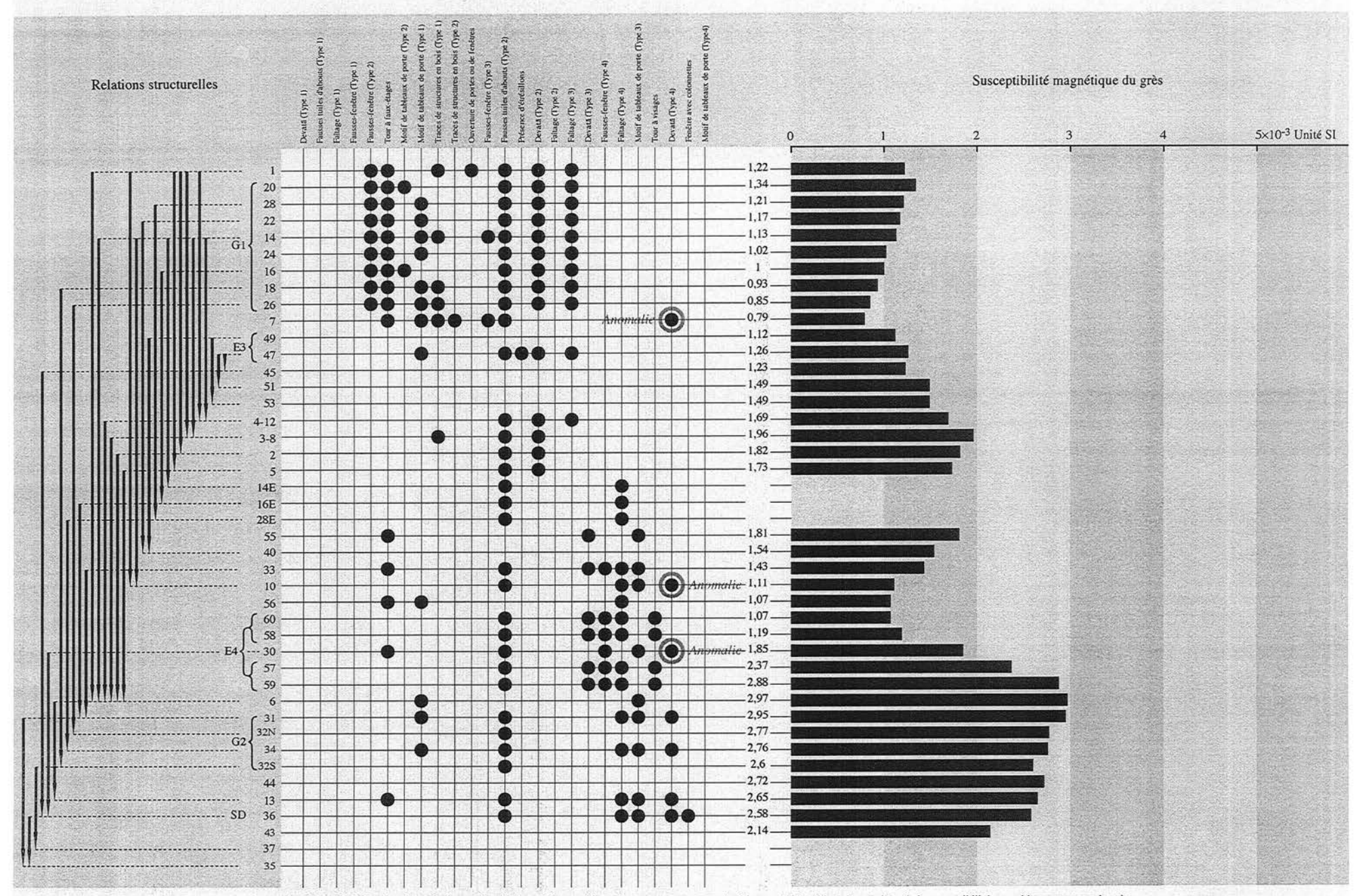


Fig. 1-3-1-4.12 : Matrice chronologique ordonnée des critères architectoniques et ornementaux de Banteay Kdei adjointe des résultats de la susceptibilité magnétique moyenne du grès

Fig. I-3-1-4.13 : Répartition de la susceptibilité magnétique moyenne du grès par 10⁻³ Unité SI au Bayon

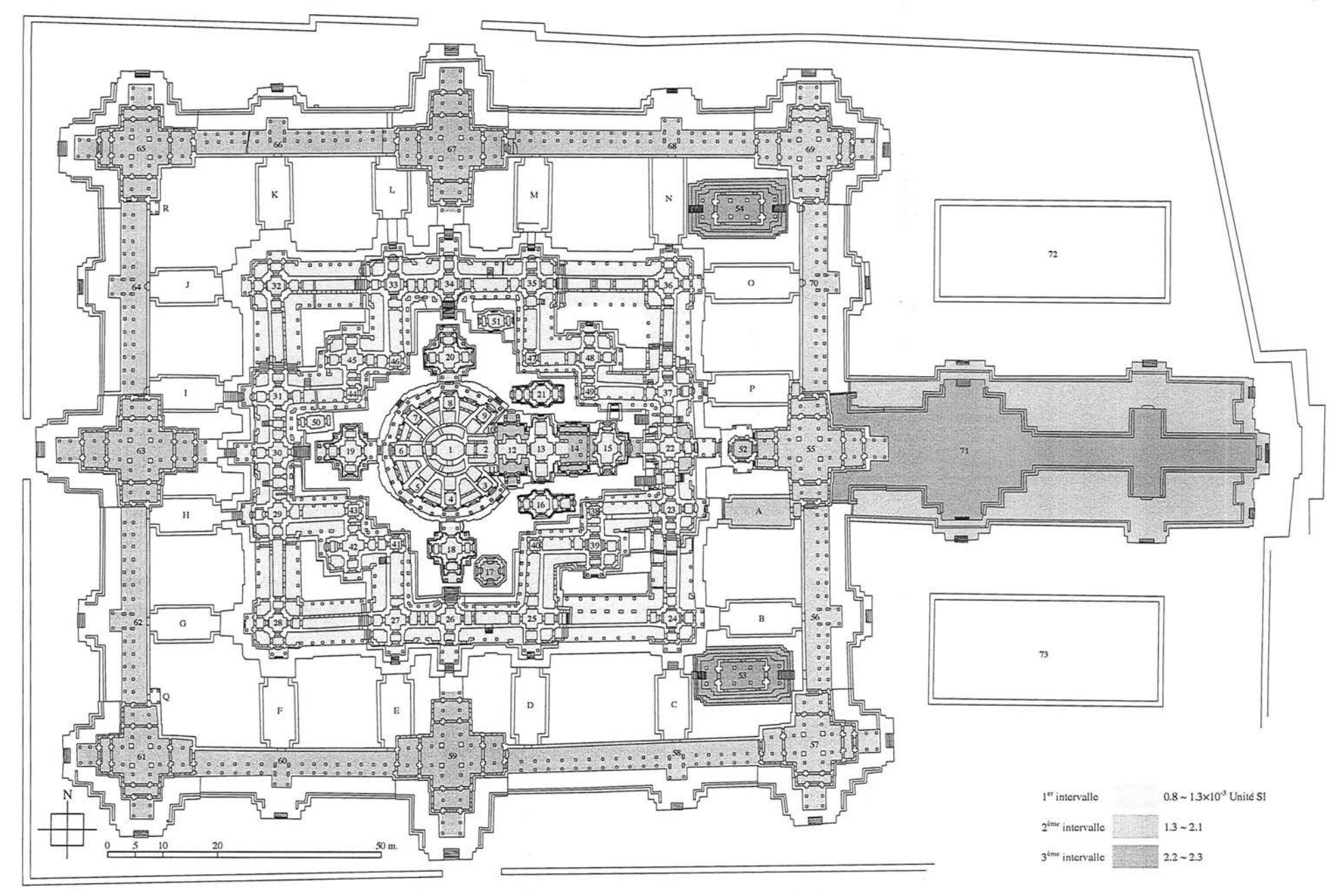


Fig. I-3-1-4.14 : Distribution par intervalles de la susceptibilité magnétique moyenne du grès au Bayon

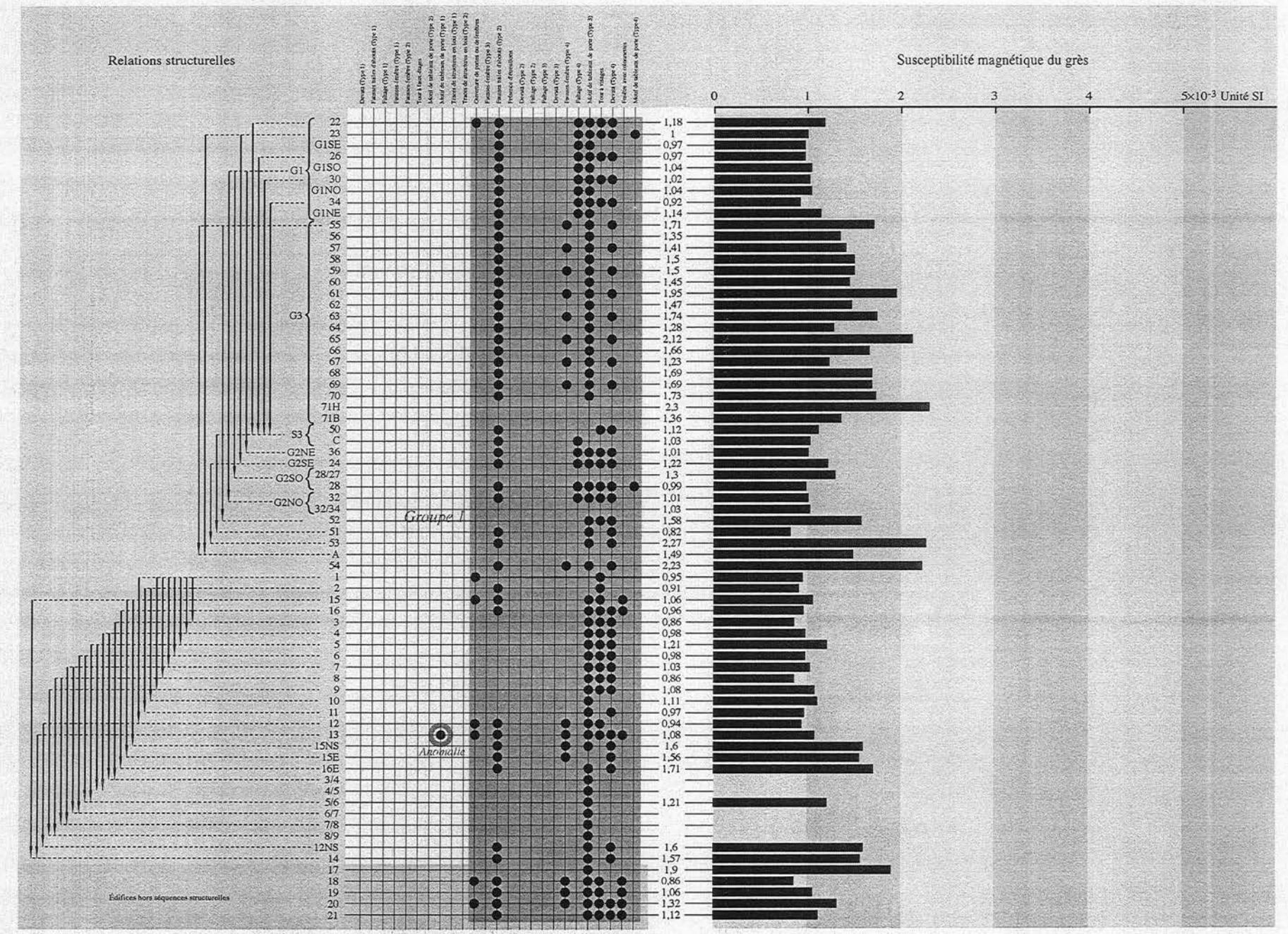


Fig. I-3-1-4.15: Matrice chronologique des critères architectoniques et ornementaux du Bayon adjointe des résultats de la susceptibilité magnétique moyenne du grès

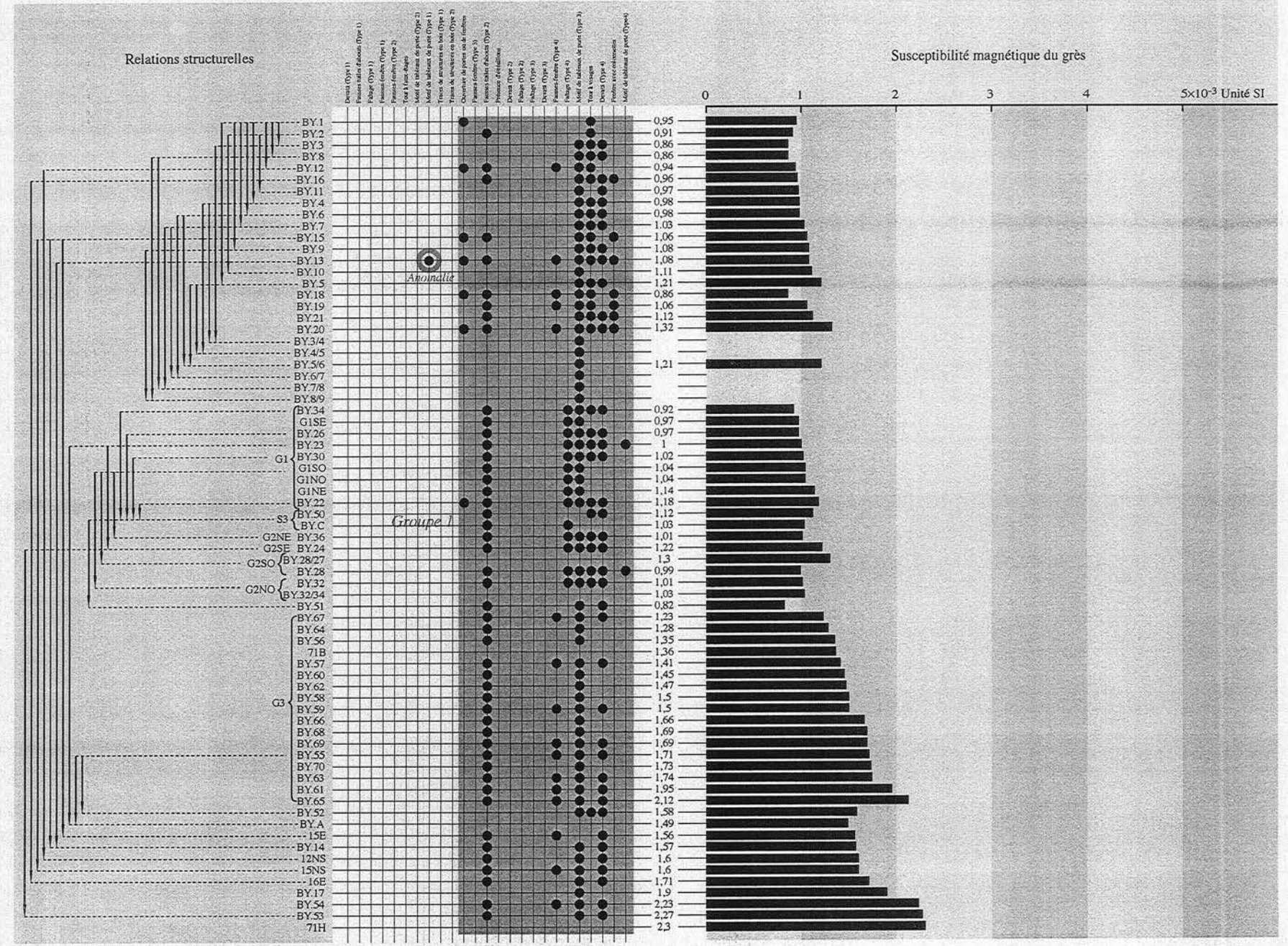


Fig. I-3-1-4.16 : Matrice chronologique ordonnée des critères architectoniques et ornementaux du Bayon adjointe des résultats de la susceptibilité magnétique moyenne du grès

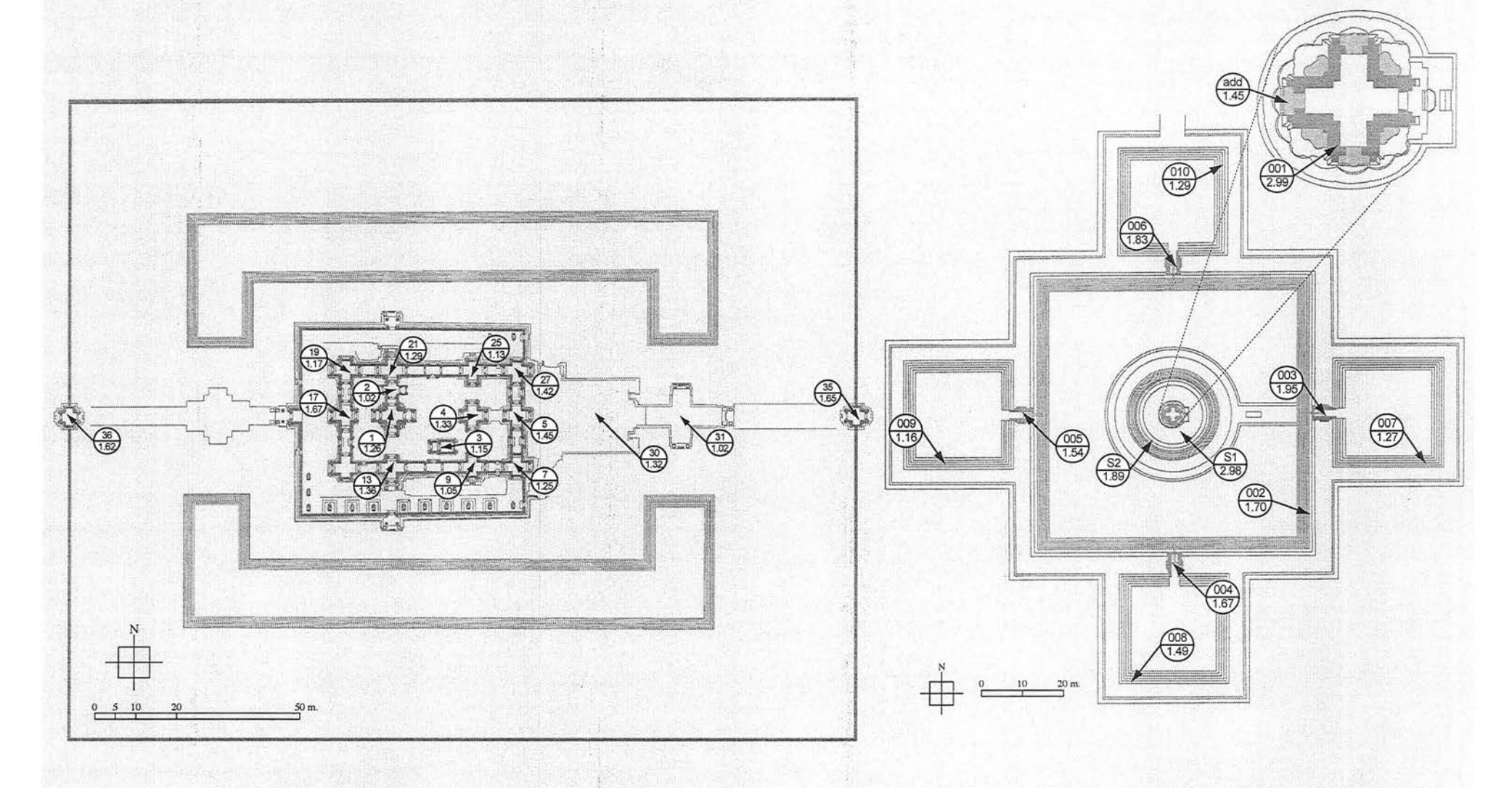


Fig. I-3-1-4.17 : Répartition de la susceptibilité magnétique moyenne du grès par 10-3 Unité SI de Ta Nei

Fig. 1-3-1-4.18 : Répartition de la susceptibilité magnétique moyenne du grès par 10^{-3} Unité SI au complexe central du Neak Pean

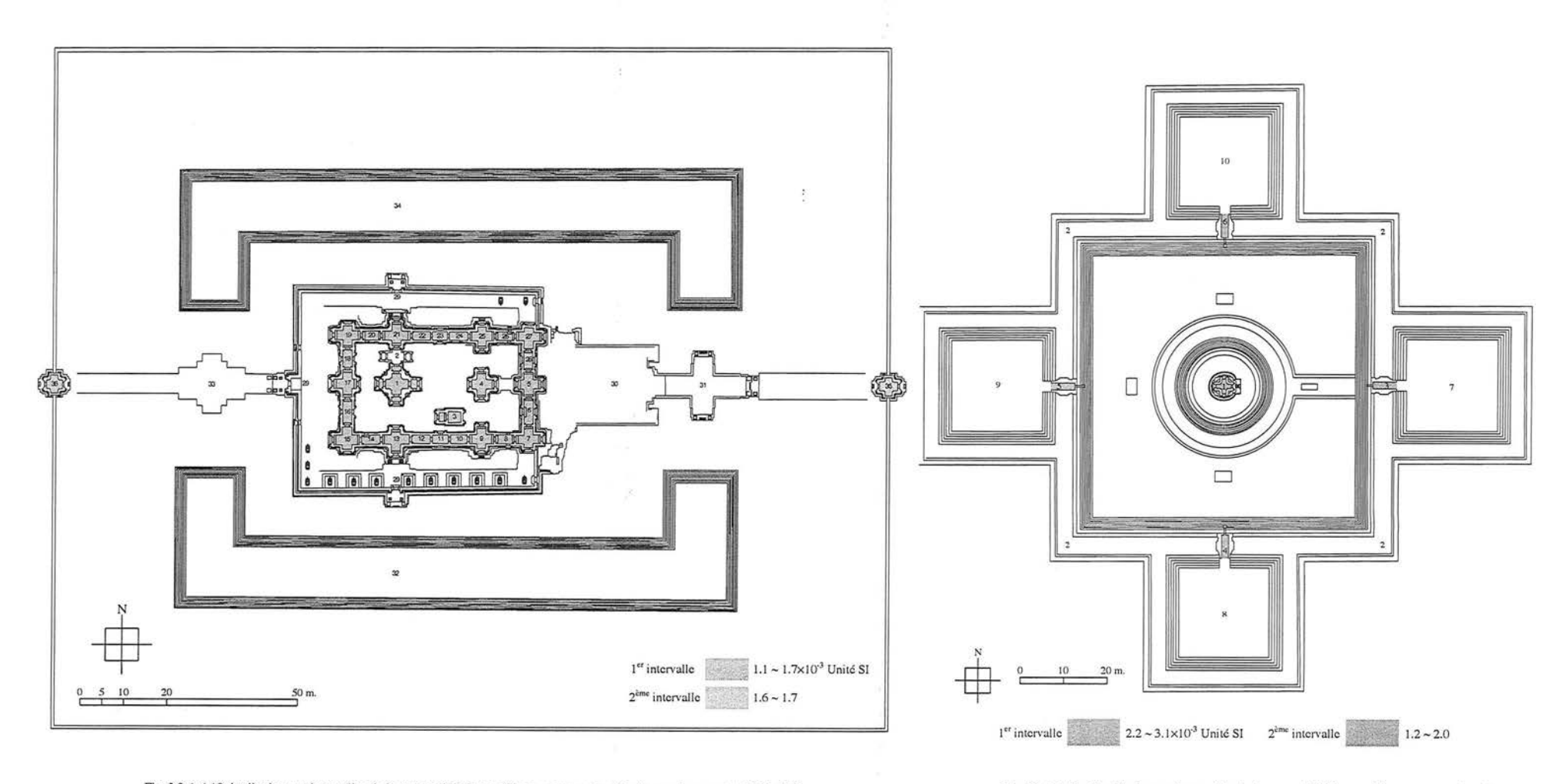


Fig. I-3-1-4.19 :istribution par intervalles de la susceptibilité magnétique moyenne du grès du complexe central du Ta Nei

Fig. I-3-1-4.20 : Distribution par intervalles de la susceptibilité magnétique moyenne du grès du complexe central du Neak Pean

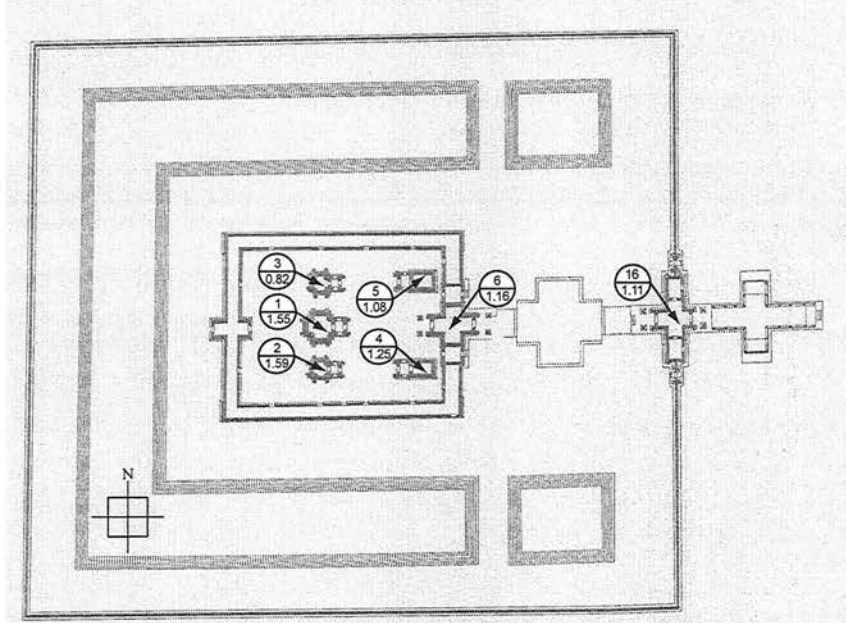


Fig. 1-3-1-4.21 : Répartition de la susceptibilité magnétique moyenne du grès par 10⁻³ Unité SI à Banteay Thom

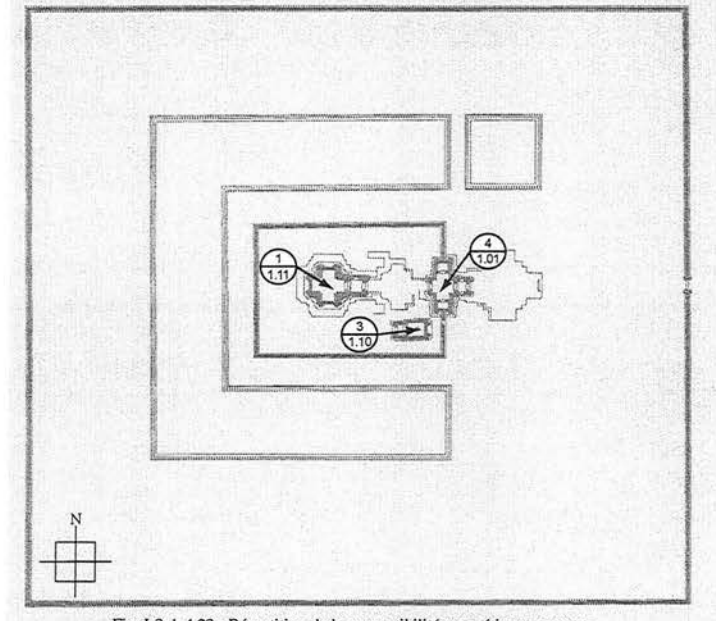


Fig. I-3-1-4,23 : Répartition de la susceptibilité magnétique moyenne du grès par 10^{-3} Unité SI à Krol Kô

Banteay Thom, Banteay Prei, Krol Kô, Prasat Prei Prasat & Prasat Prei

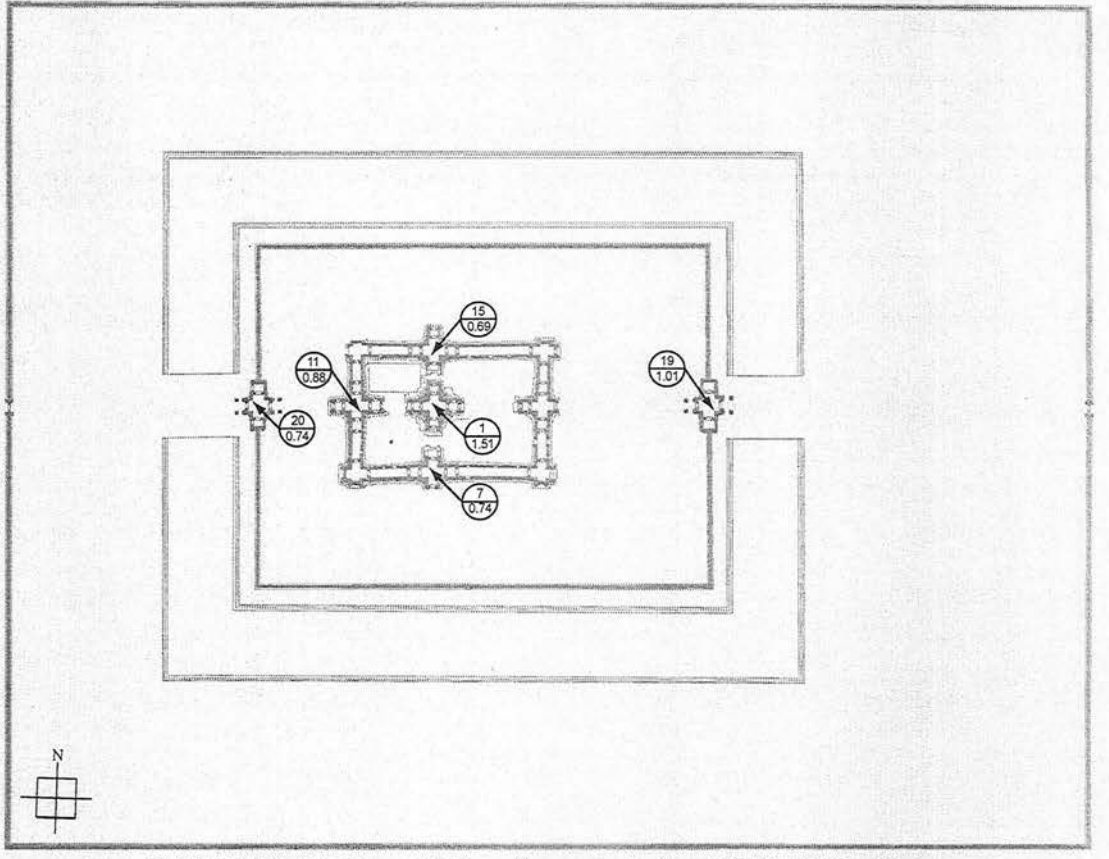


Fig. I-3-1-4.22 : Répartition de la susceptibilité magnétique moyenne du grès par 10⁻³ Unité SI à Banteay Prei

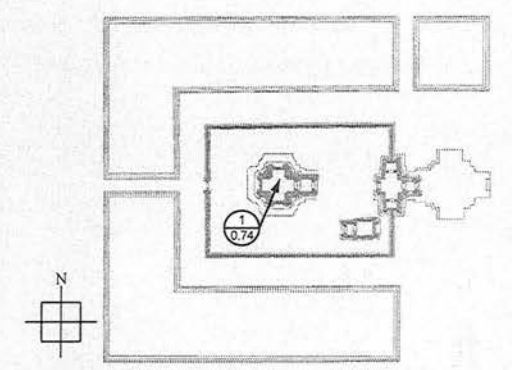


Fig. I-3-1-4.24 : Répartition de la susceptibilité magnétique moyenne du grès par 10⁻³ Unité SI à Prasat Prei Prasat

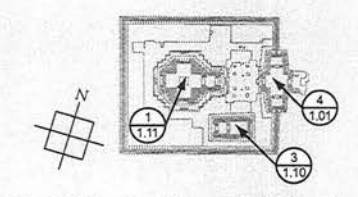


Fig. 1-3-1-4.25 : Répartition de la susceptibilité magnétique moyenne du grès par 10^{-3} Unité SI à Prasat Prei

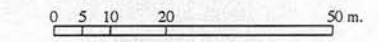


Fig. 1-3-1-4.26: Distribution par intervalles de la susceptibilité 1er intervalle magnétique moyenne du grès à Banteay Thom

2ème intervalle

0.8 ~ 1.3

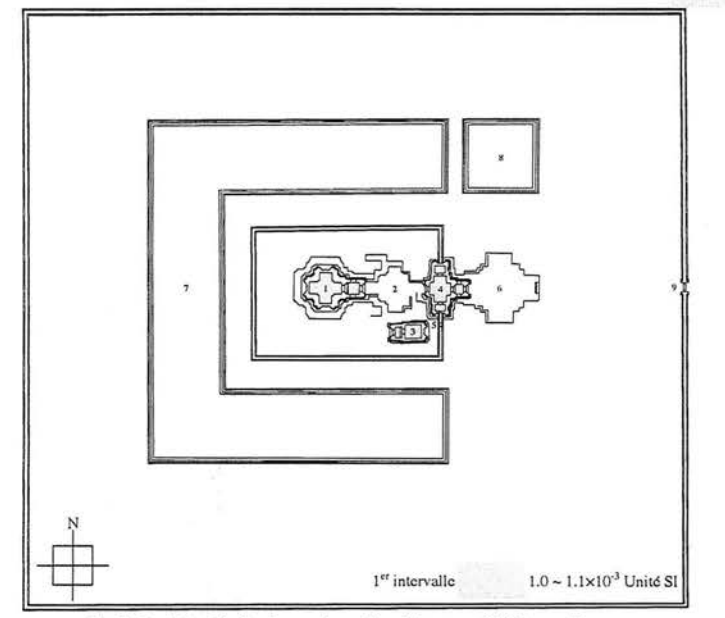


Fig. I-3-1-4.28 : Distribution par intervalles de la susceptibilité magnétique moyenne du grès à Krol Kô

Banteay Thom, Banteay Prei, Krol Kô, Prasat Prei Prasat & Prasat Prei

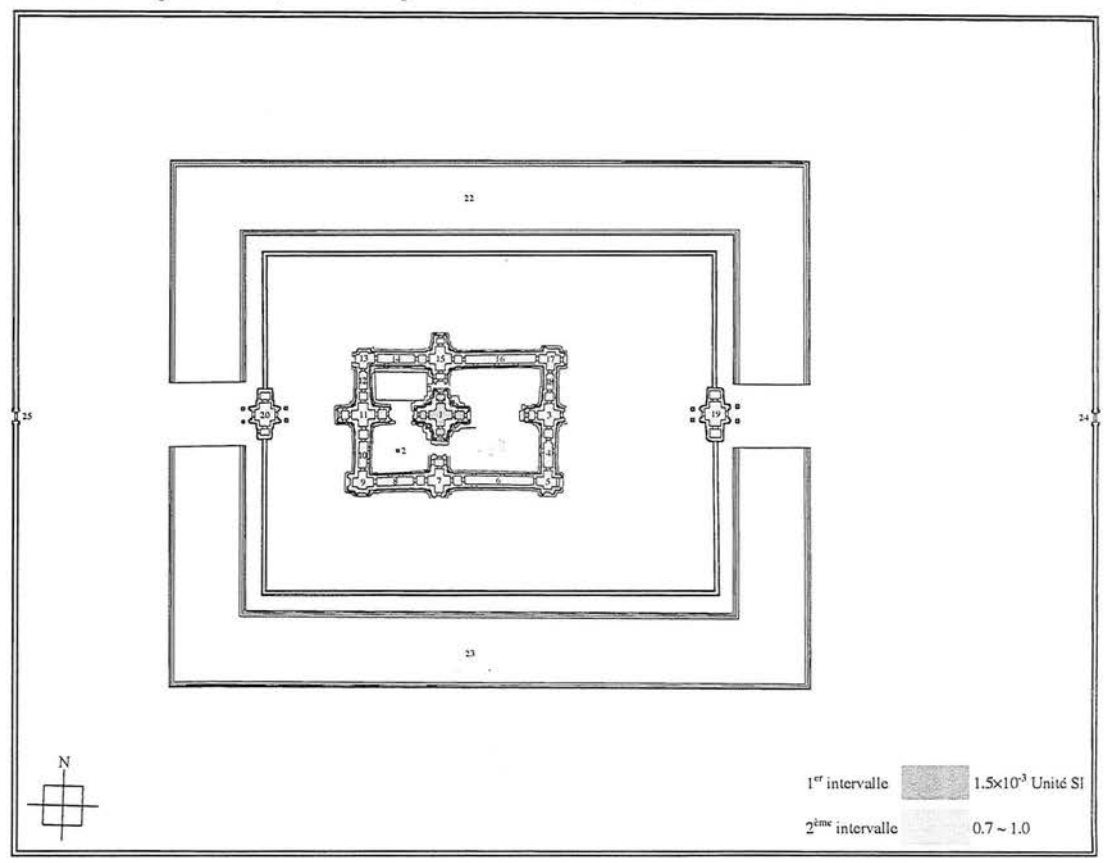


Fig. I-3-1-4.27 : Distribution par intervalles de la susceptibilité magnétique moyenne du grès à Banteay Prei

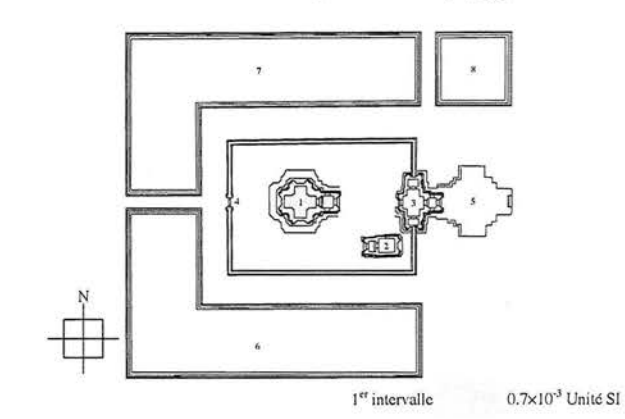


Fig. I-3-1-4.29 : Distribution par intervalles de la susceptibilité magnétique moyenne du grès à Prasat Prei Prasat

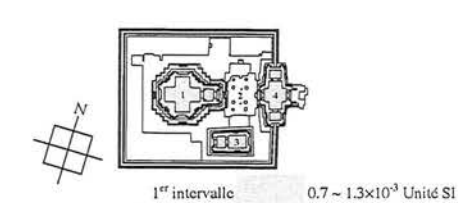


Fig. I-3-1-4.30 : Distribution par intervalles de la susceptibilité magnétique moyenne du grès à Prasat Prei



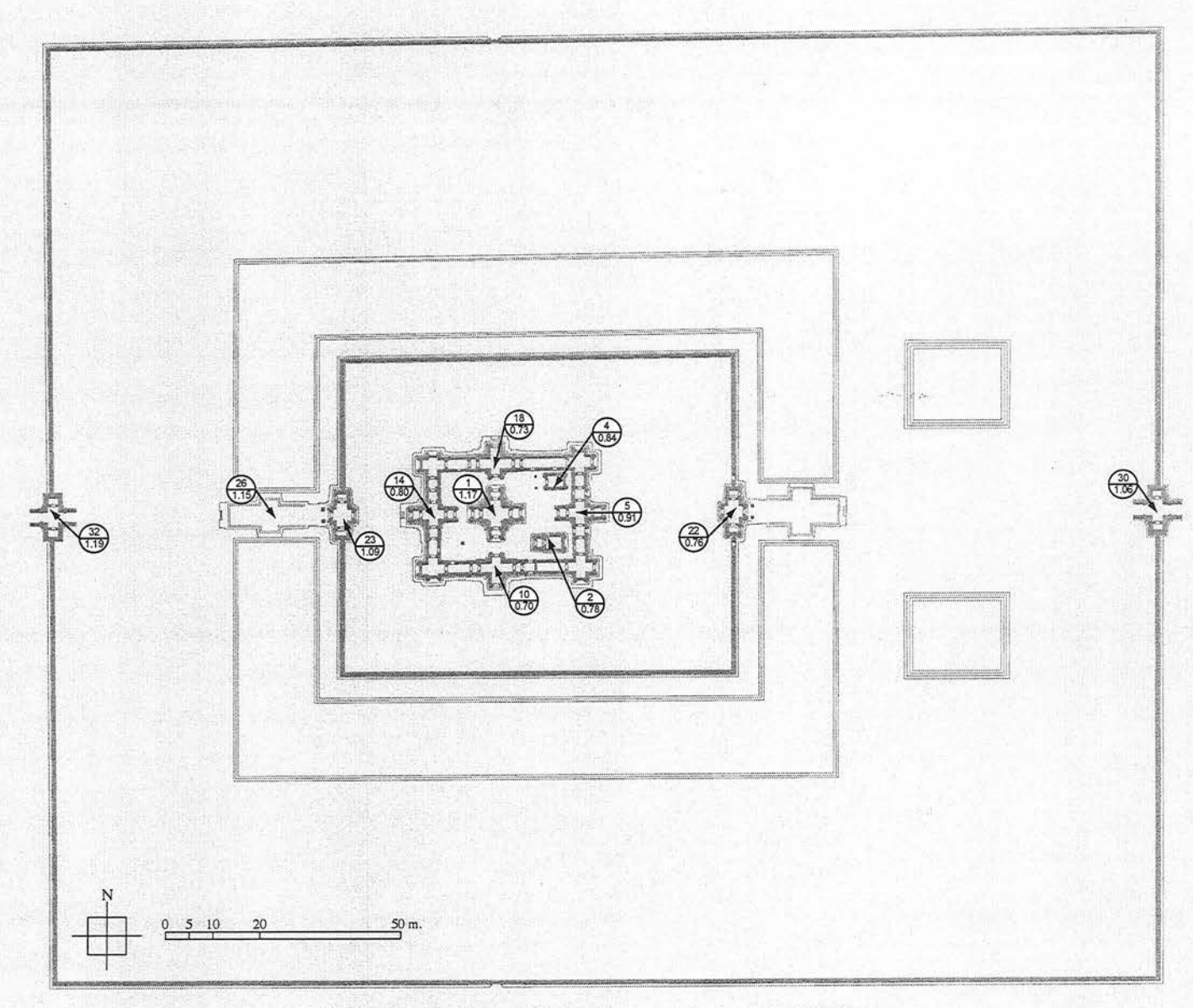
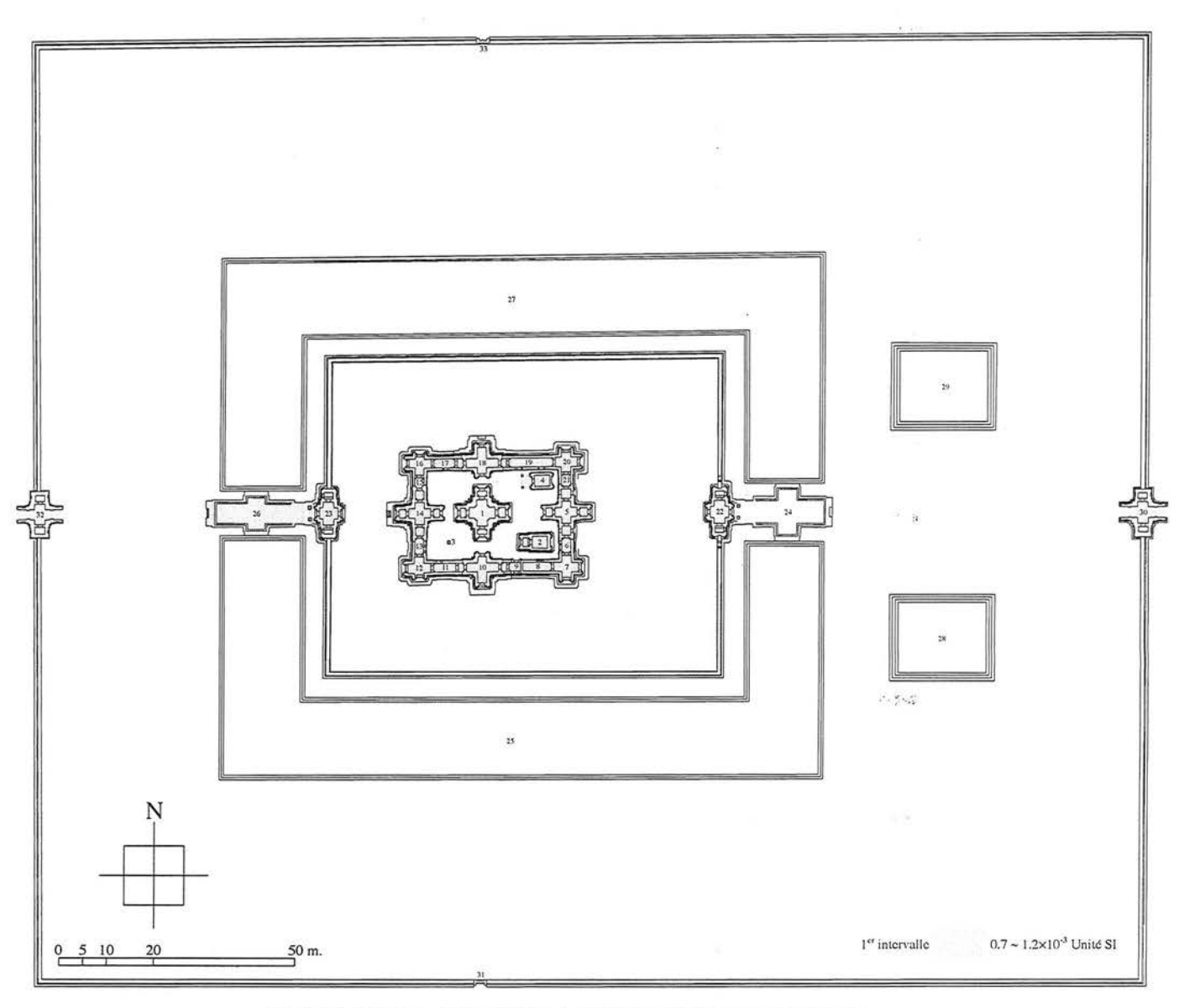


Fig. I-3-1-4.31 : Répartition de la susceptibilité magnétique moyenne du grès par 10^{-3} Unité SI à Ta Som



in the state of th

Fig. I-3-1-4.32 : Distribution par intervalles de la susceptibilité magnétique moyenne du grès à Ta Som

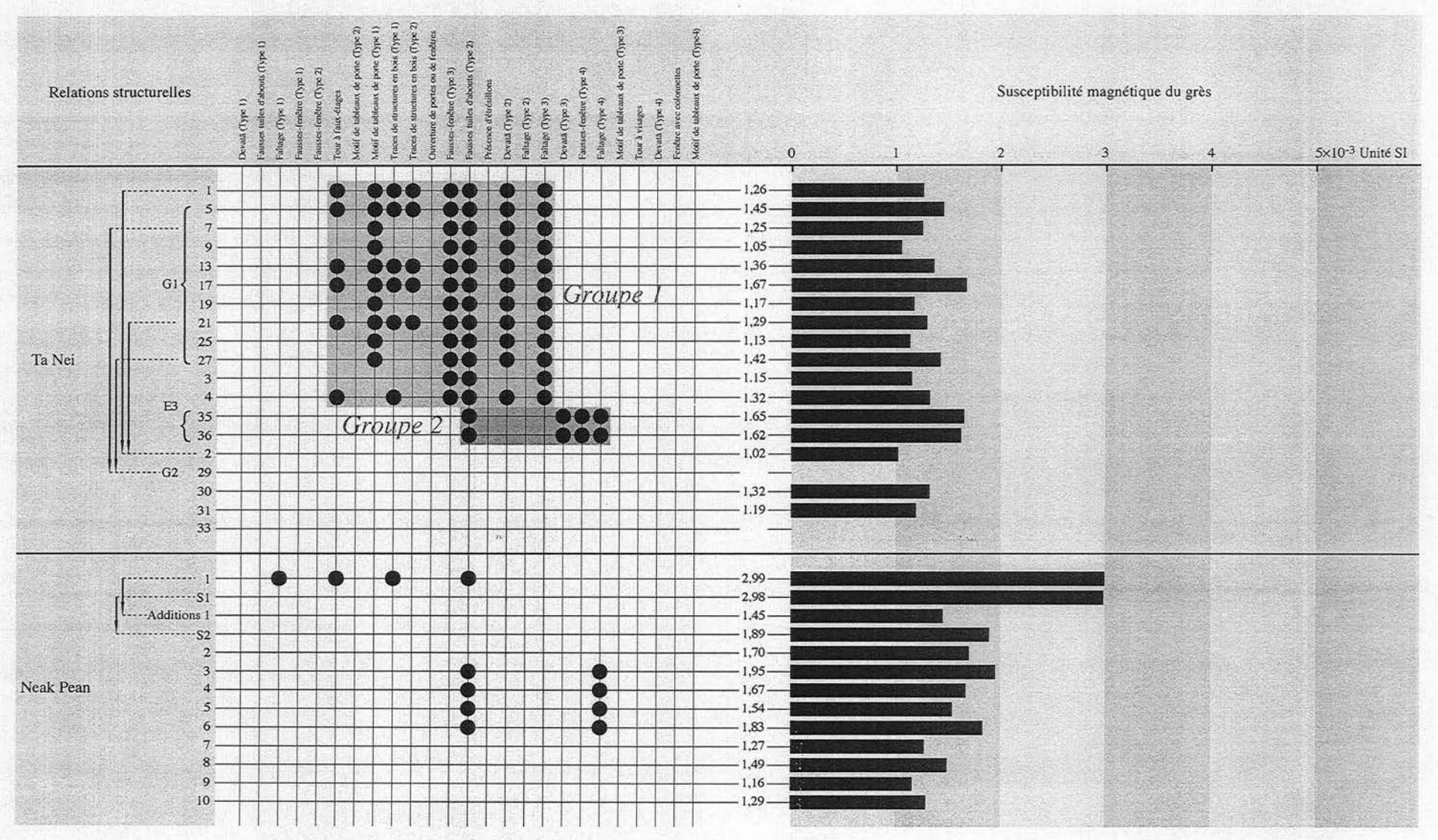


Fig. 1-3-1-4.33 : Matrices chronologiques des critères architectoniques et ornementaux de Ta Nei et du Neak Pean adjointes des résultates de la susceptibilité magnétique moyenne du grès

Banteay Thom, Chapelles des l'hôpitaux, Prasat Chrung et portes d'Angkor Thom

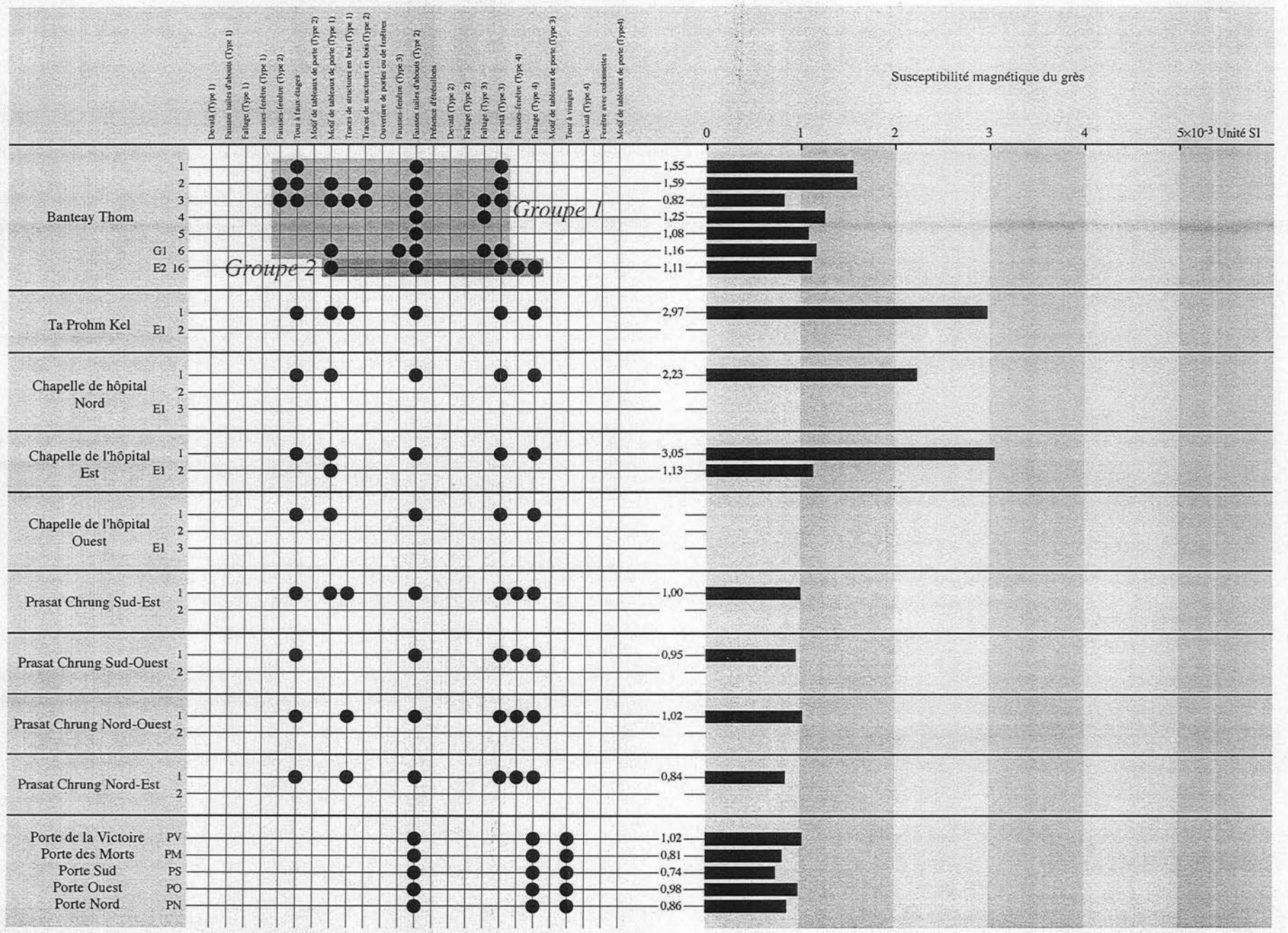


Fig. 1-3-1-4.34: Matrices chronologiques des critères architectoniques et ornementaux de Banteay Thom, des chapelles des hôpitaux, des Prasat Chrung et des portes d'Angkor Thom adjointes des résultates de la susceptibilité magnétique moyenne du grès

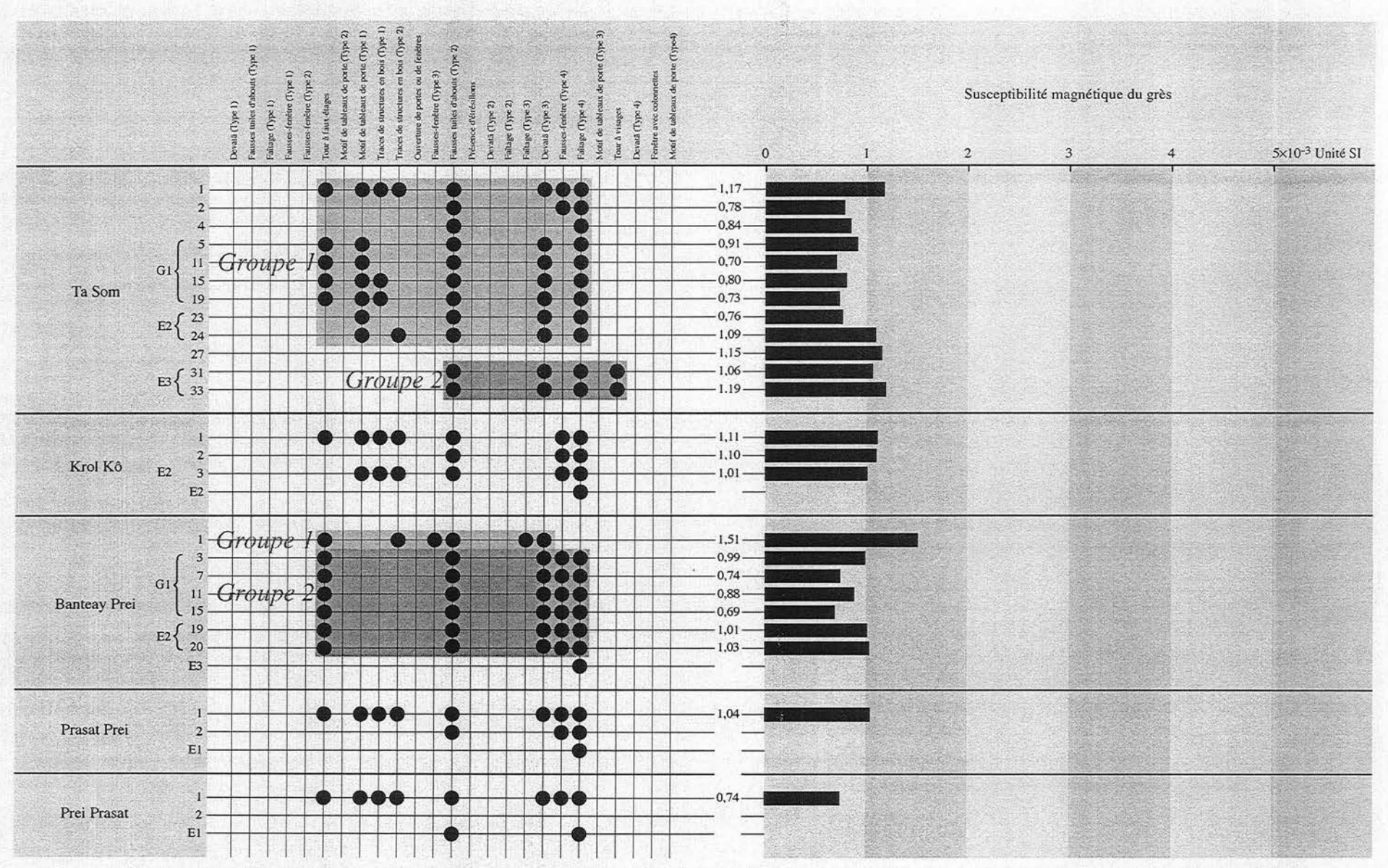


Fig. I-3-1-4.35 : Matrices chronologiques des critères architectoniques et ornementaux de Ta Som, de Krol Kô, de Banteay Prei, de Prasat Prei et de Prasat Prei et de Prasat Prei Prasat adjointes des résultates de la susceptibilité magnétique moyenne du grès

CHRONOLOGIES RELATIVES DES PRINCIPAUX MONUMENTS DU STYLE DU BAYON

p. 218	à p. 230
	à p. 238
p. 239	à p. 243
p. 244	à p. 252
p. 253	à p. 254
p. 255	à p. 257
p. 258	à p. 259
p. 260	à p. 261
p. 262	à p. 263
p. 264	à p. 275
p. 276	à p. 284
p. 285	à p. 289
p. 290	à p. 291
p. 292	
p. 293	
	p. 231 p. 239 p. 244 p. 253 p. 255 p. 258 p. 260 p. 262 p. 264 p. 276 p. 285 p. 290 p. 292

Rājavihāra / Ta Prohm Phase 1-1 Période de transition Fin du style d'Angkor Vat

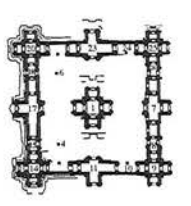
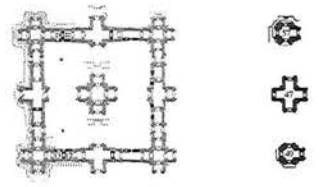




Fig. I-3-1-5.1 : Premier état de la première tranche des travaux de Rājavihāra (Ta Prohm)

Rājavihāra / Ta Prohm Phase 1-2 Période de transition Fin du style d'Angkor Vat



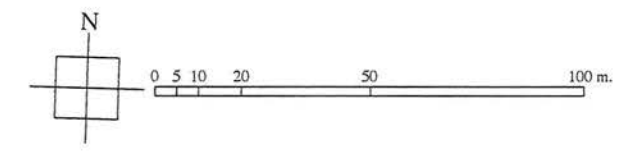


Fig. I-3-1-5.2 : Second état de la première tranche des travaux de Rājavihāra (Ta Prohm)

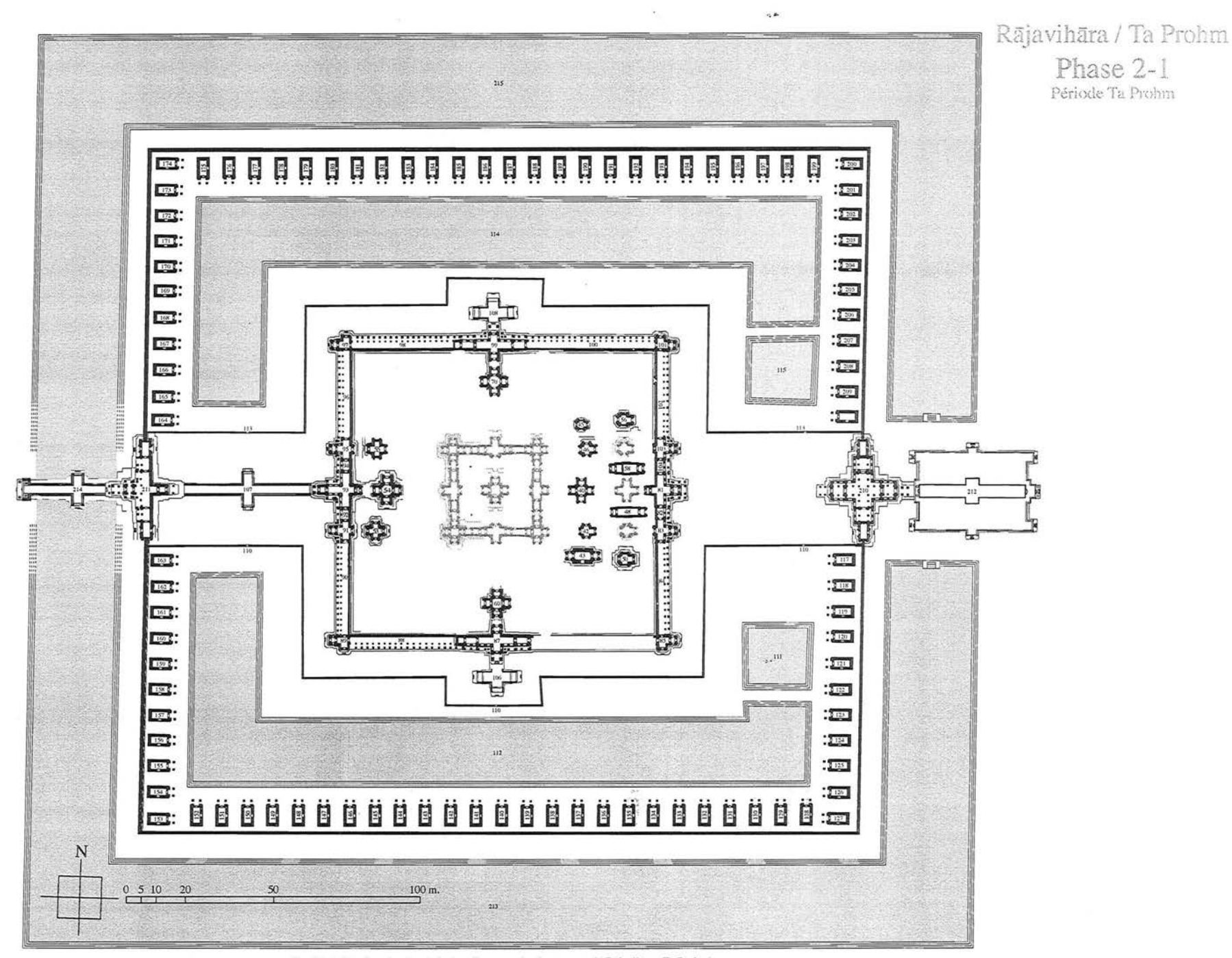


Fig. I-3-1-5.3 : Premier état de la deuxième tranche des travaux de Rājavihāra (Ta Prohm)

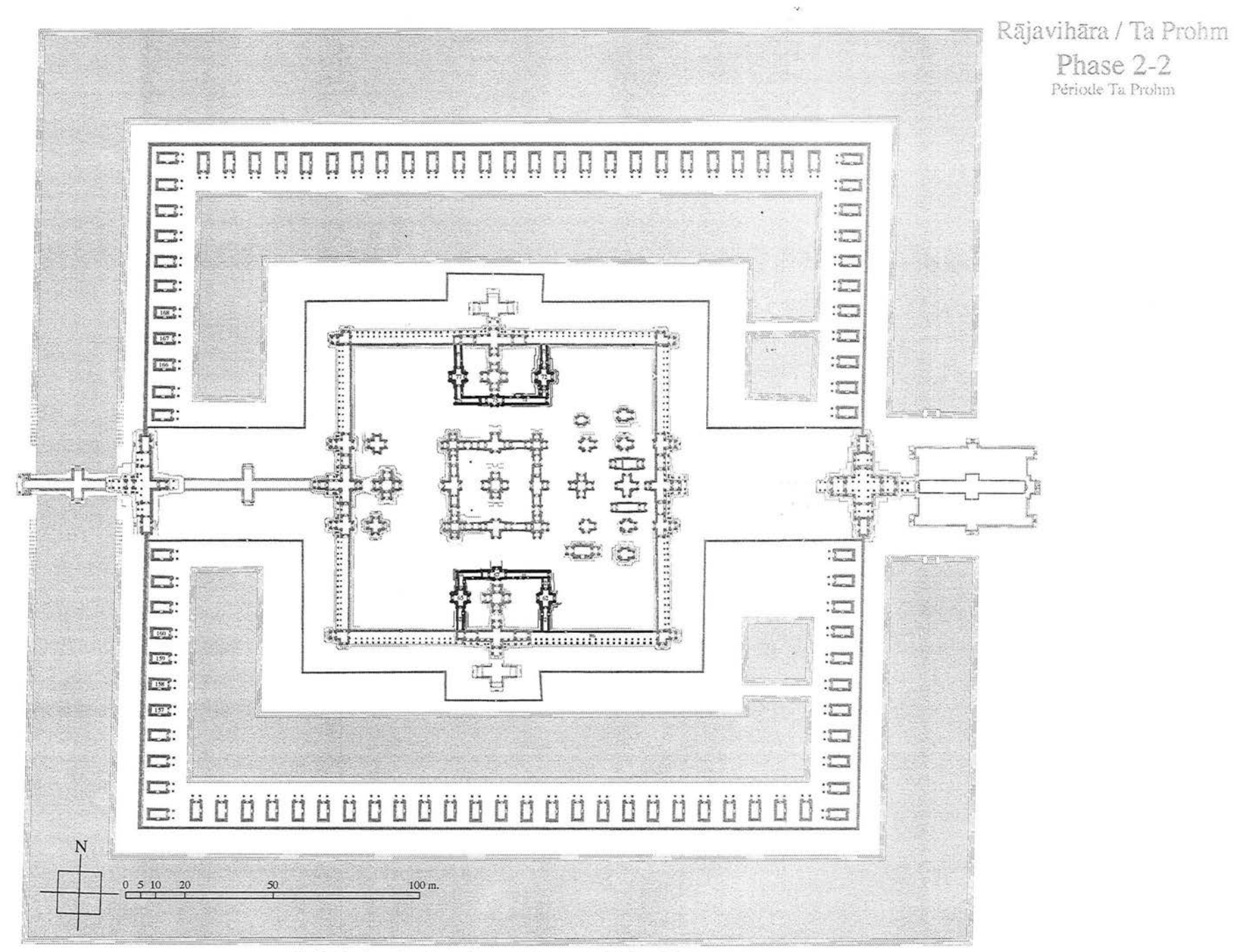


Fig. I-3-1-5.4 : Second état de la deuxième tranche des travaux de Răjavihāra (Ta Prohm)

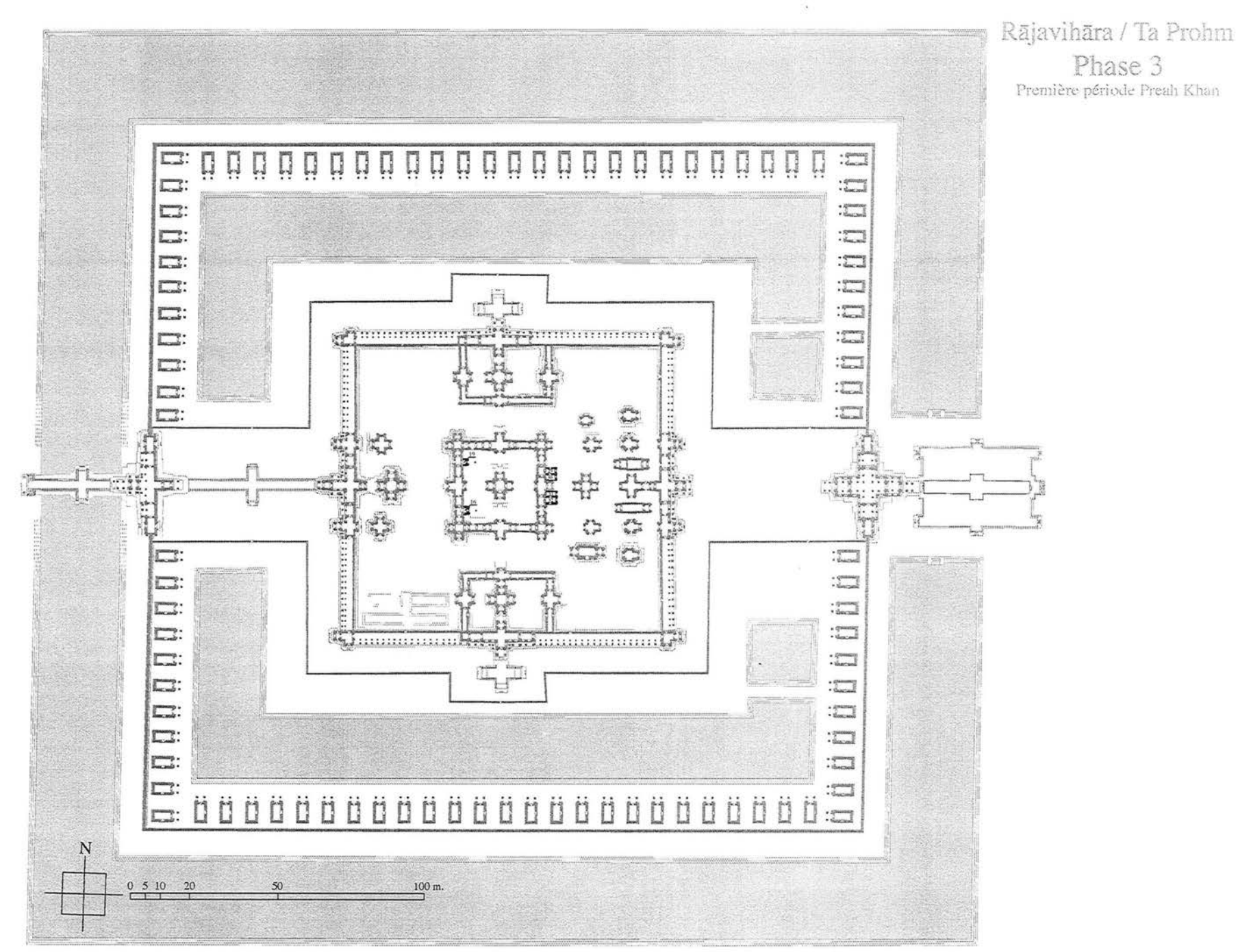


Fig. I-3-1-5.5: Troisième tranche des travaux de Rājavihāra (Ta Prohm)

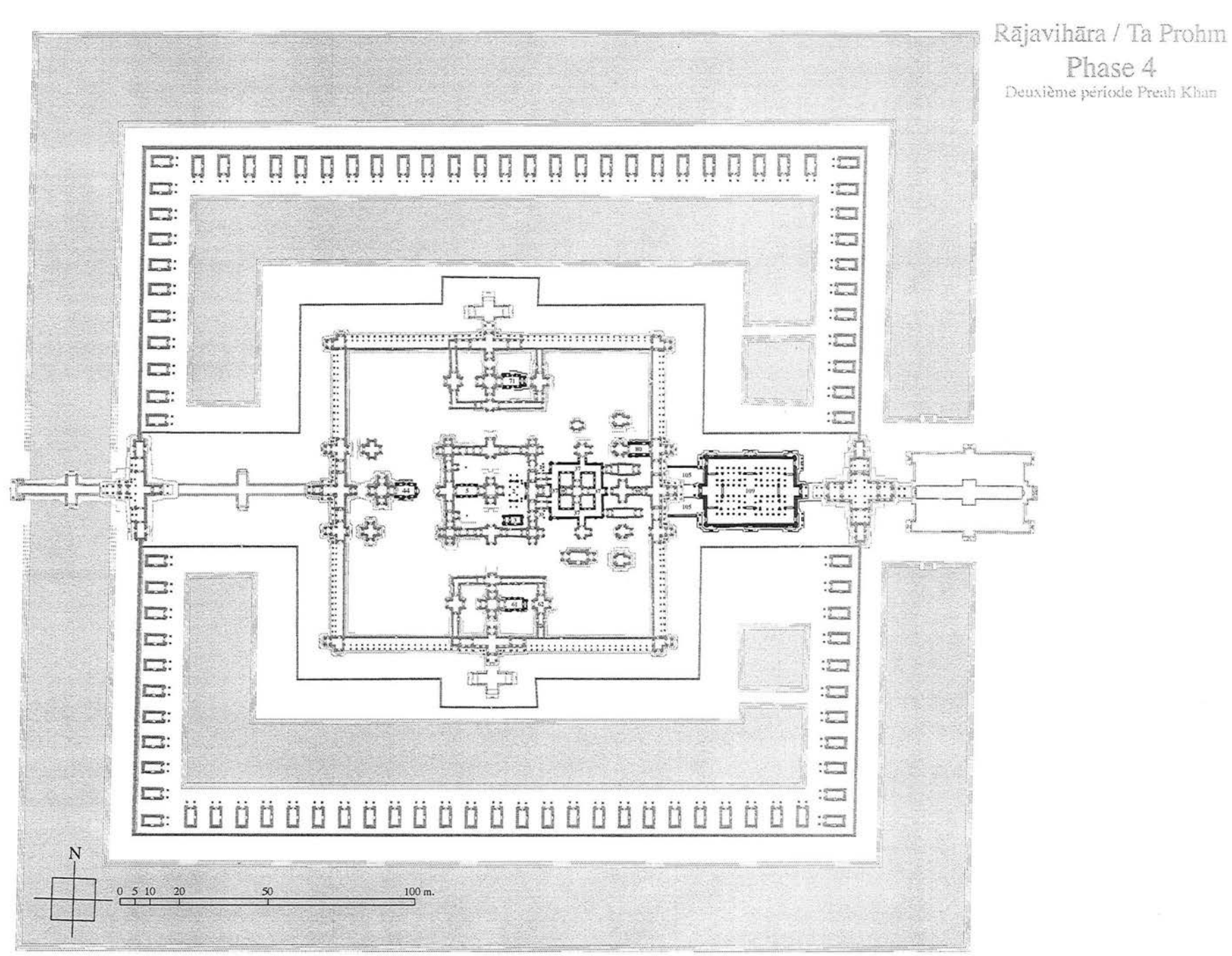
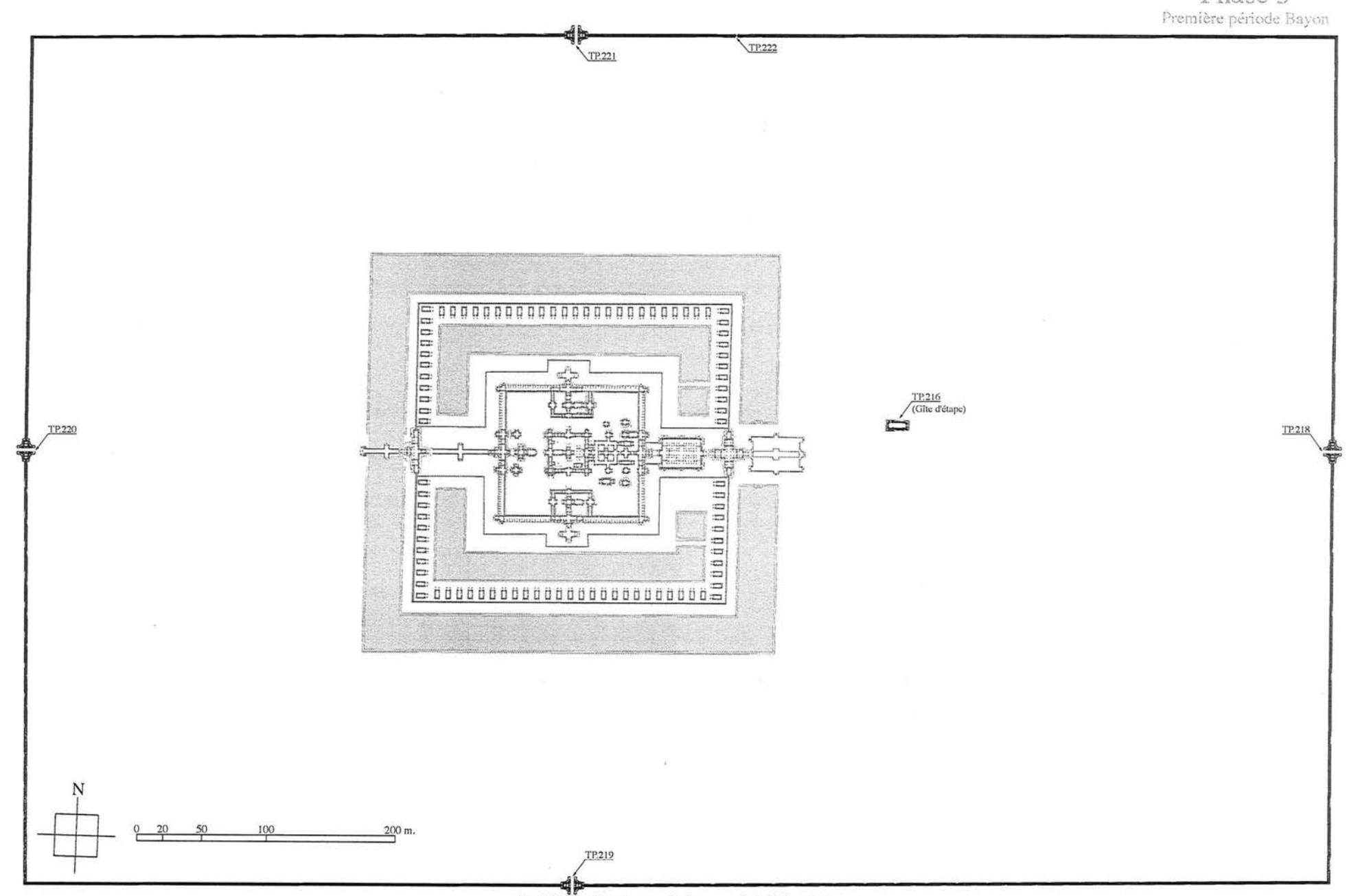


Fig. I-3-1-5.6 : Quatrième tranche des travaux de Rājavihāra (Ta Prohm)

Phase 5



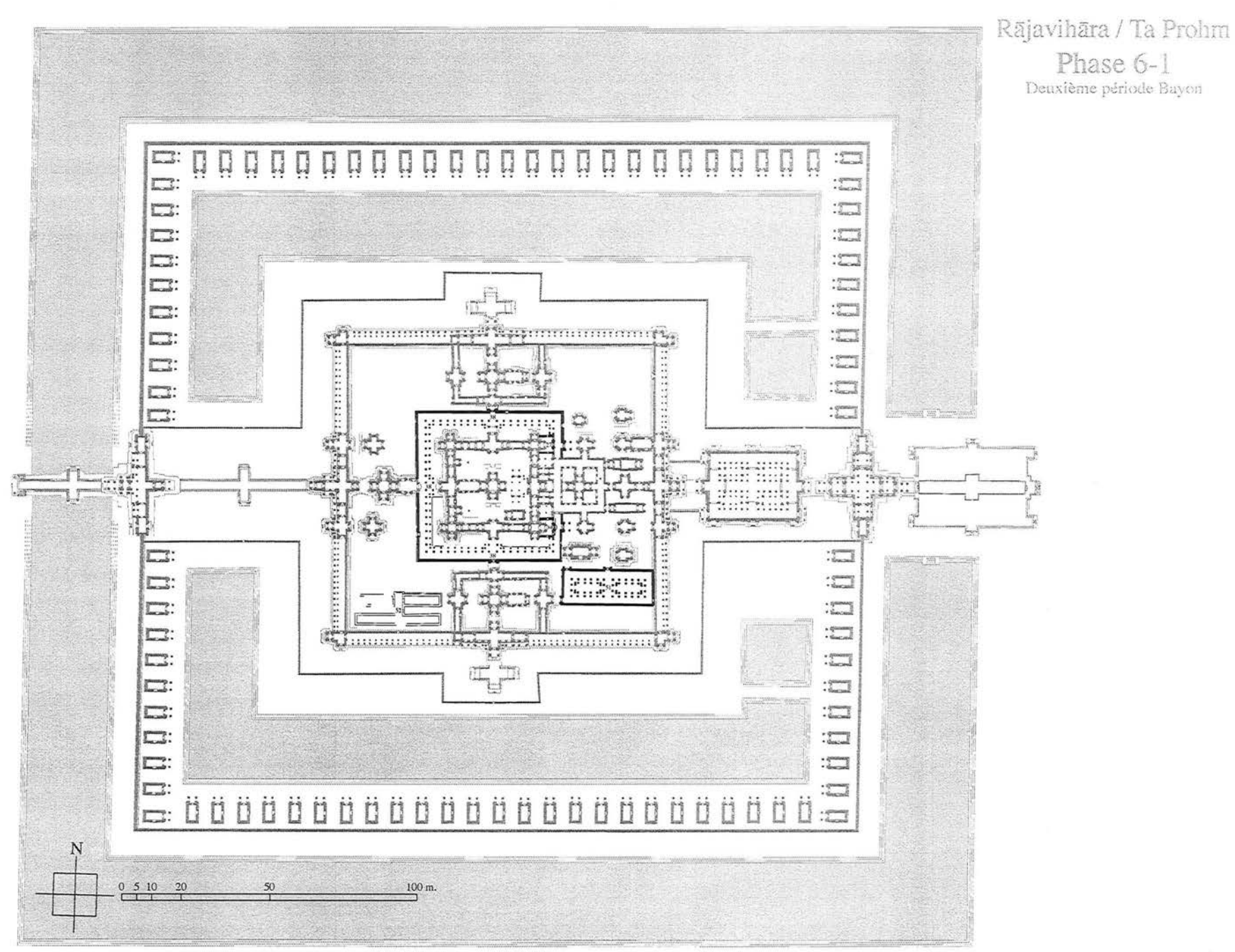


Fig. I-3-1-5.8: Premier état de la sixième tranche des travaux de Răjavihāra (Ta Prohm)

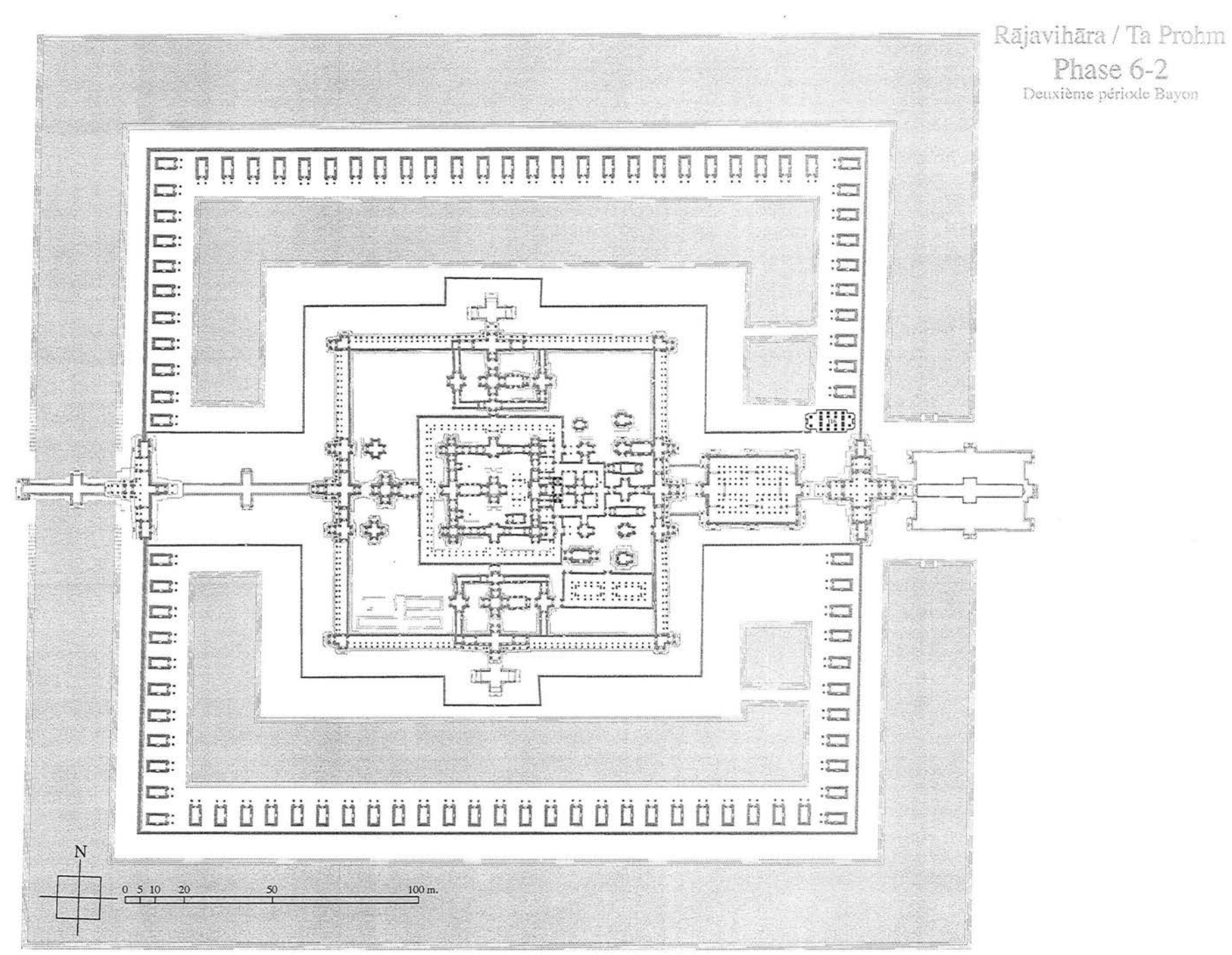


Fig. I-3-1-5.9 : Deuxième état de la sixième tranche des travaux de Răjavihāra (Ta Prohm)

Rājavihāra / Ta Prohm

Phase 1

Période de transition Fin du style d'Angkor Vat (Première galerie-enceinte)

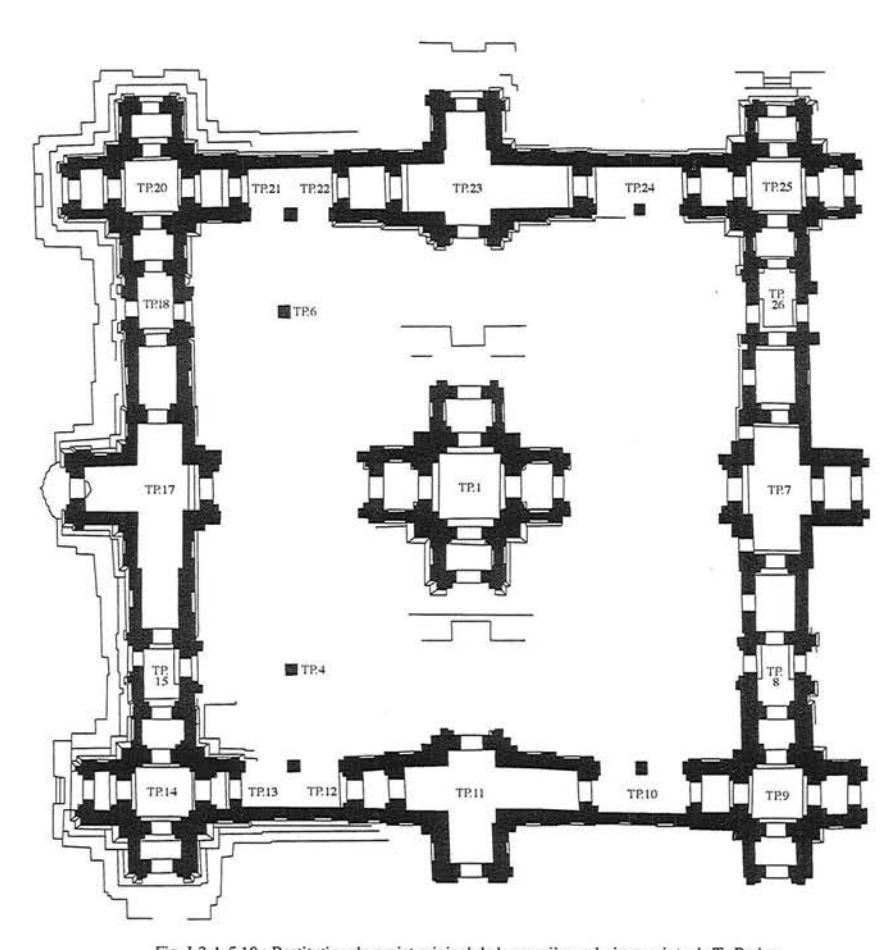


Fig. 1-3-1-5.10 : Restitution du projet originel de la première galerie-enceinte de Ta Prohm — Pré-état de la première tranche des travaux de Rājavihāra (Ta Prohm) —

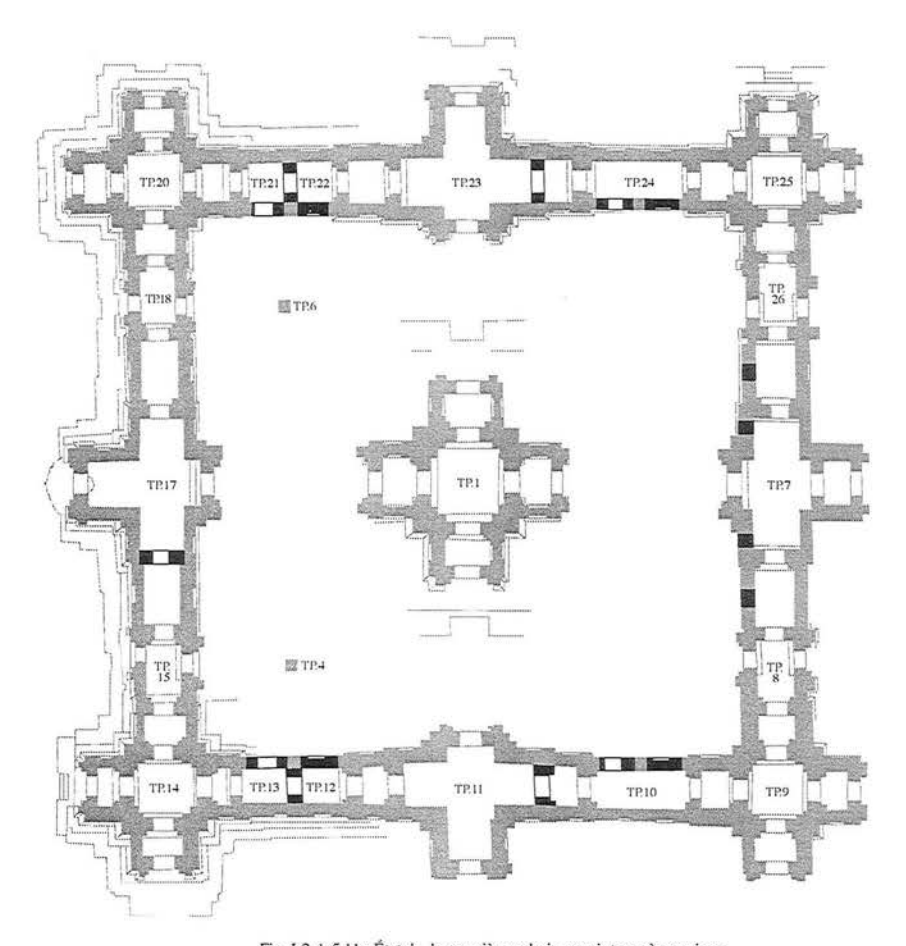


Fig. I-3-1-5.11 : État de la première galerie-enceinte après reprises — État de la première tranche des travaux de Rājavihāra (Ta Prohm) —



Rājavihāra / Ta Prohm

Phase 3 & 4

Première et deuxième période Preak Khan (Première galerie-enceime)

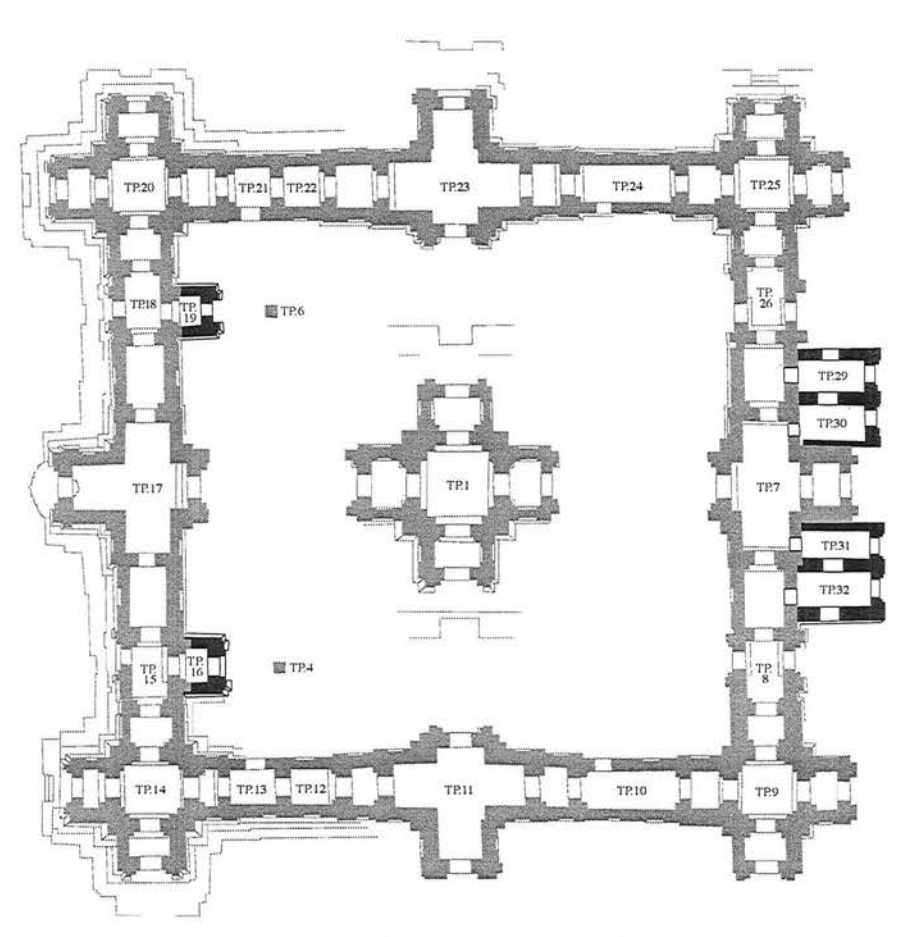


Fig. I-3-1-5.12 : Restitution de la troisième tranche des travaux de la première galerie-enceinte de Răjavihāra (Ta Prohm)

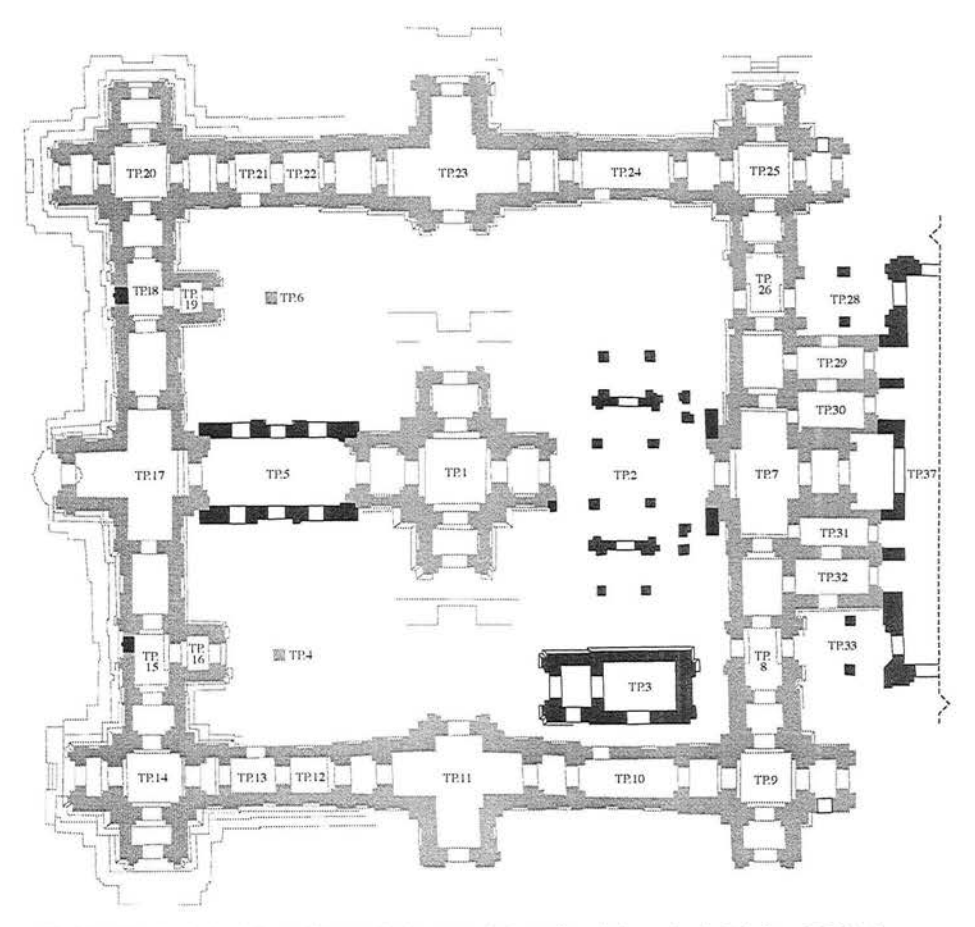


Fig. I-3-1-5.13 : Restitution de la quatrième tranche des travaux de la première galerie-enceinte de Răjavihāra (Ta Prohm)



Rājavihāra / Ta Prohm Phase 6-1

Deuxième période Bayon (Première galerie-enceinte)

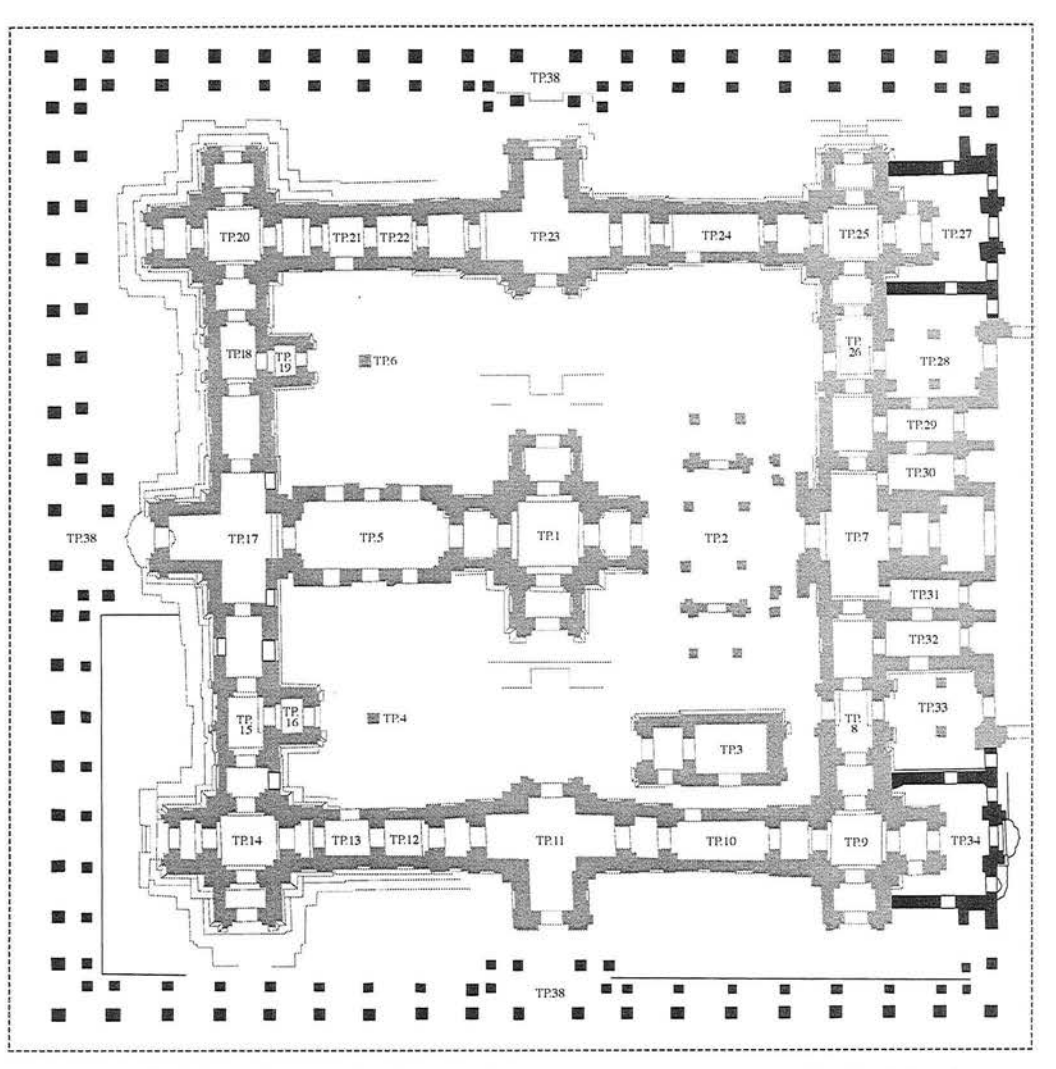
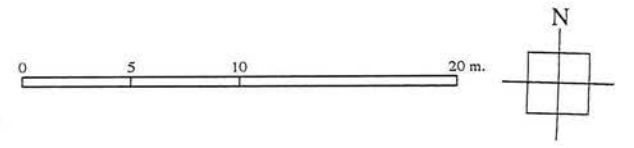


Fig. I-3-1-5.14 : Restitution de la sixième tranche des travaux de la première galerie-enceinte de Rājavihāra (Ta Prohm)



TP.37 TP.37 TP.37 TP:37 TP33

Fig. I-3-1-5.15 : Premier état du cloître oriental de Răjavihāra (Ta Prohm) — Quatrième tranche des travaux du monument —

Rājavihāra / Ta Prohm Phase 4 & 6-2

Deuxième période Presh Khan et deuxième période Bayon (Cloître oriental)

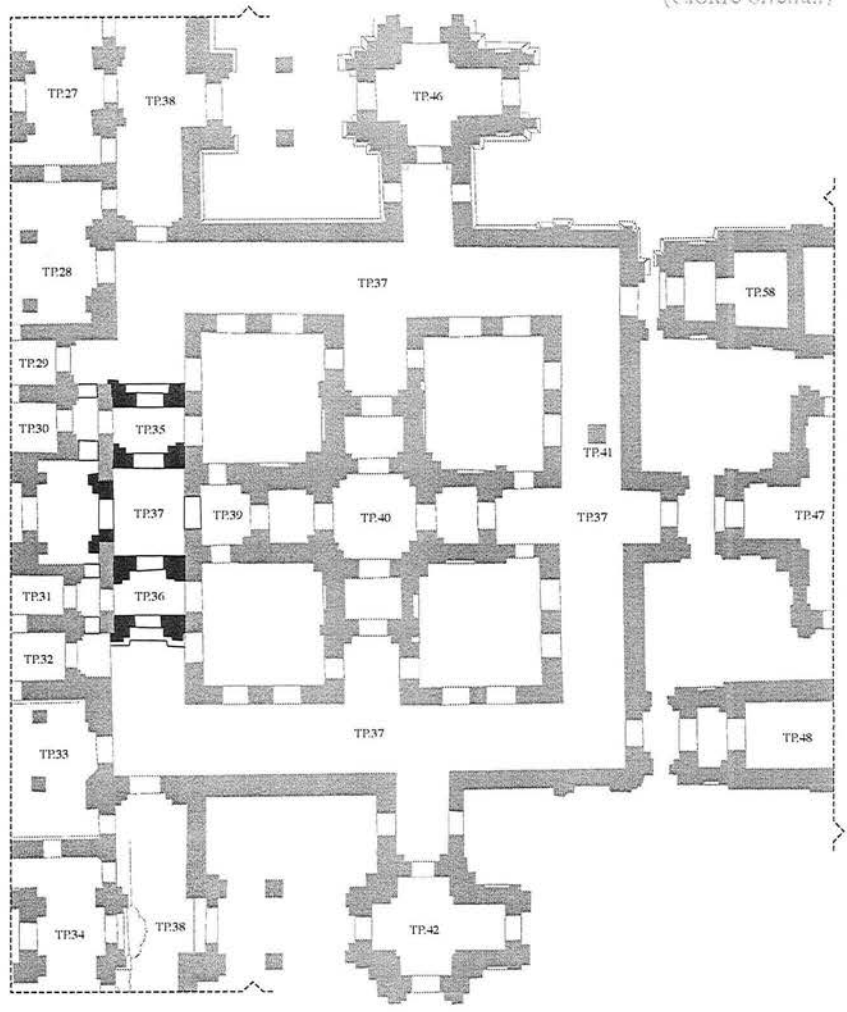


Fig. I-3-1-5.16 : Second état du cloître oriental de Rājavihāra (Ta Prohm)

— Second état de la sixième tranche des travaux du monument —

0 5 10 m.



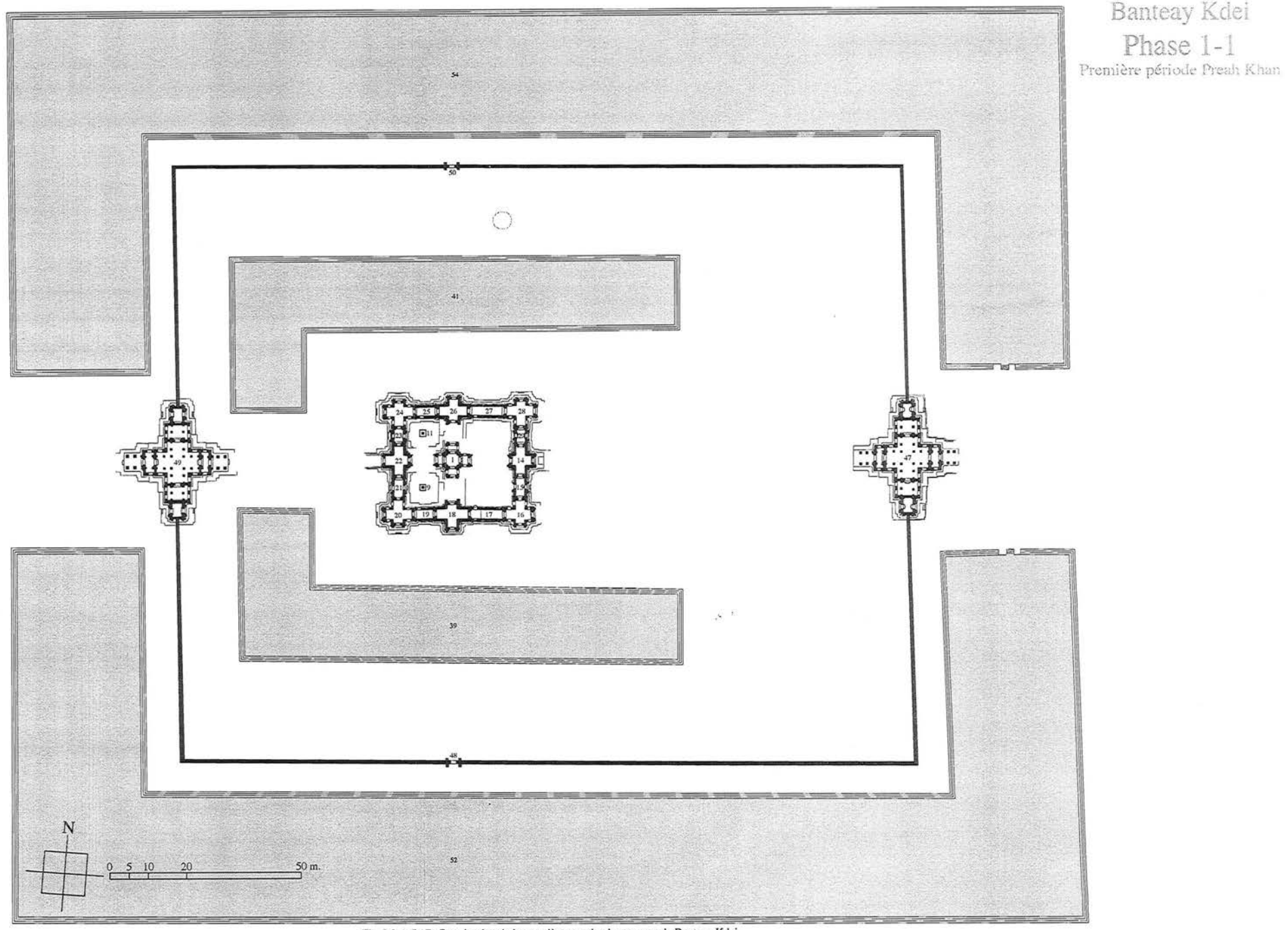
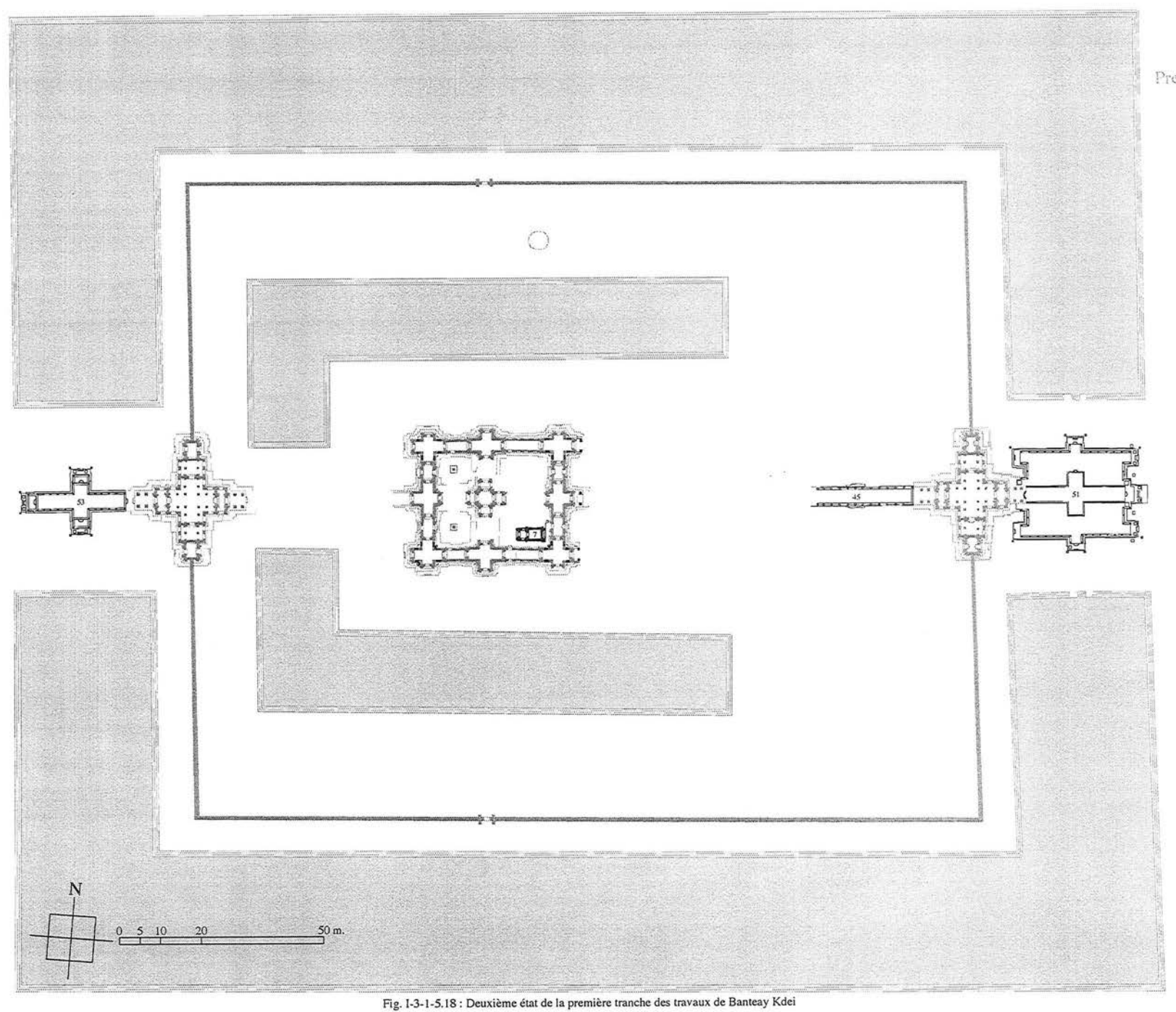


Fig. I-3-1-5.17: Premier état de la première tranche des travaux de Banteay Kdei

Banteay Kdei



Banteay Kdei Phase 1-2 Première période Preah Khan

Banteay Kdei
Phase 2-1
Deuxième période Presh Khan

Fig. I-3-1-5.19 : Premier état de la deuxième tranche des travaux de Banteay Kdei

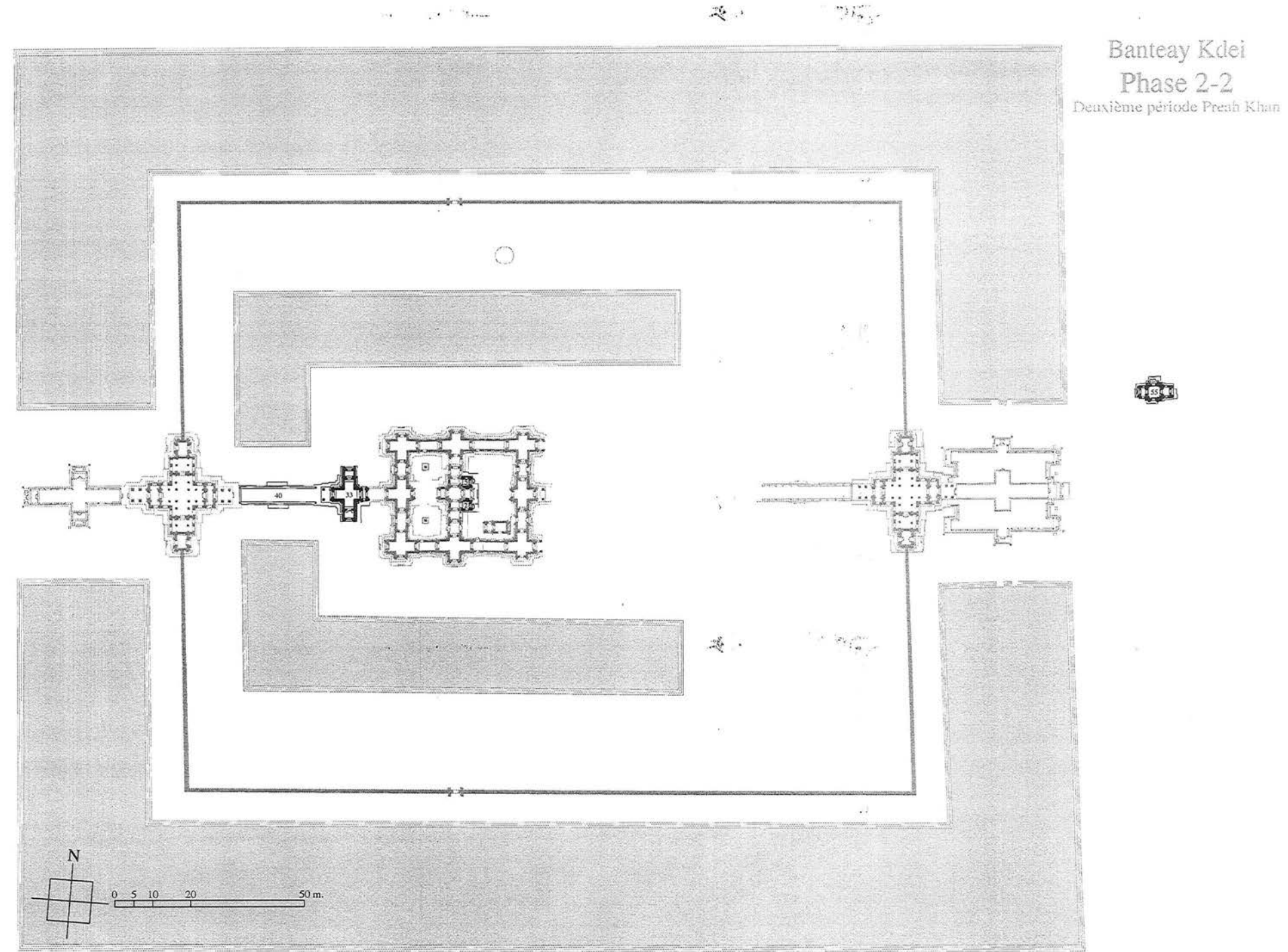


Fig. 1-3-1-5.20 : Deuxième état de la deuxième tranche des travaux de Banteay Kdei

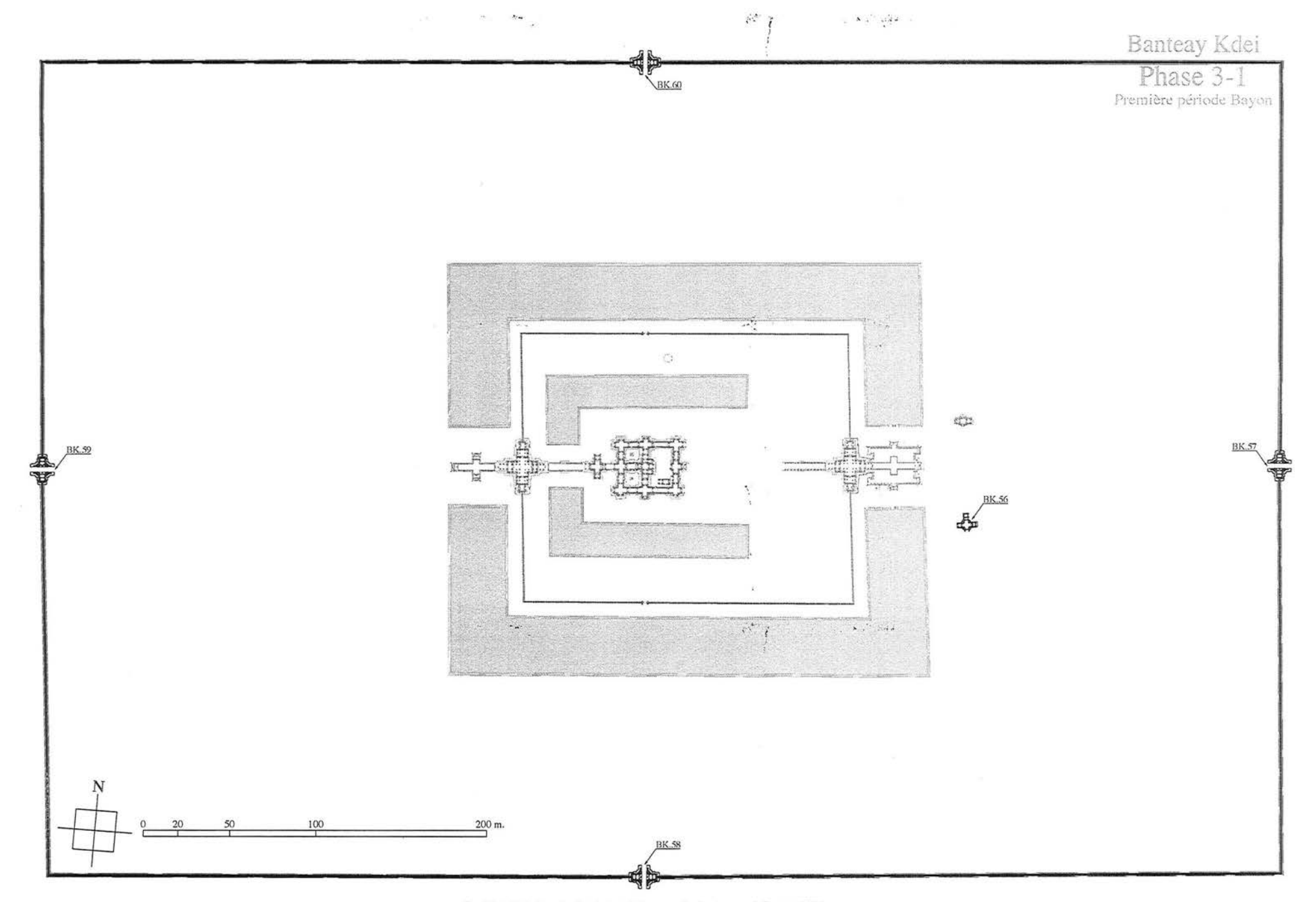


Fig. 1-3-1-5.21 : Premier état de la troisième tranche des travaux de Banteay Kdei — Création du domaine —

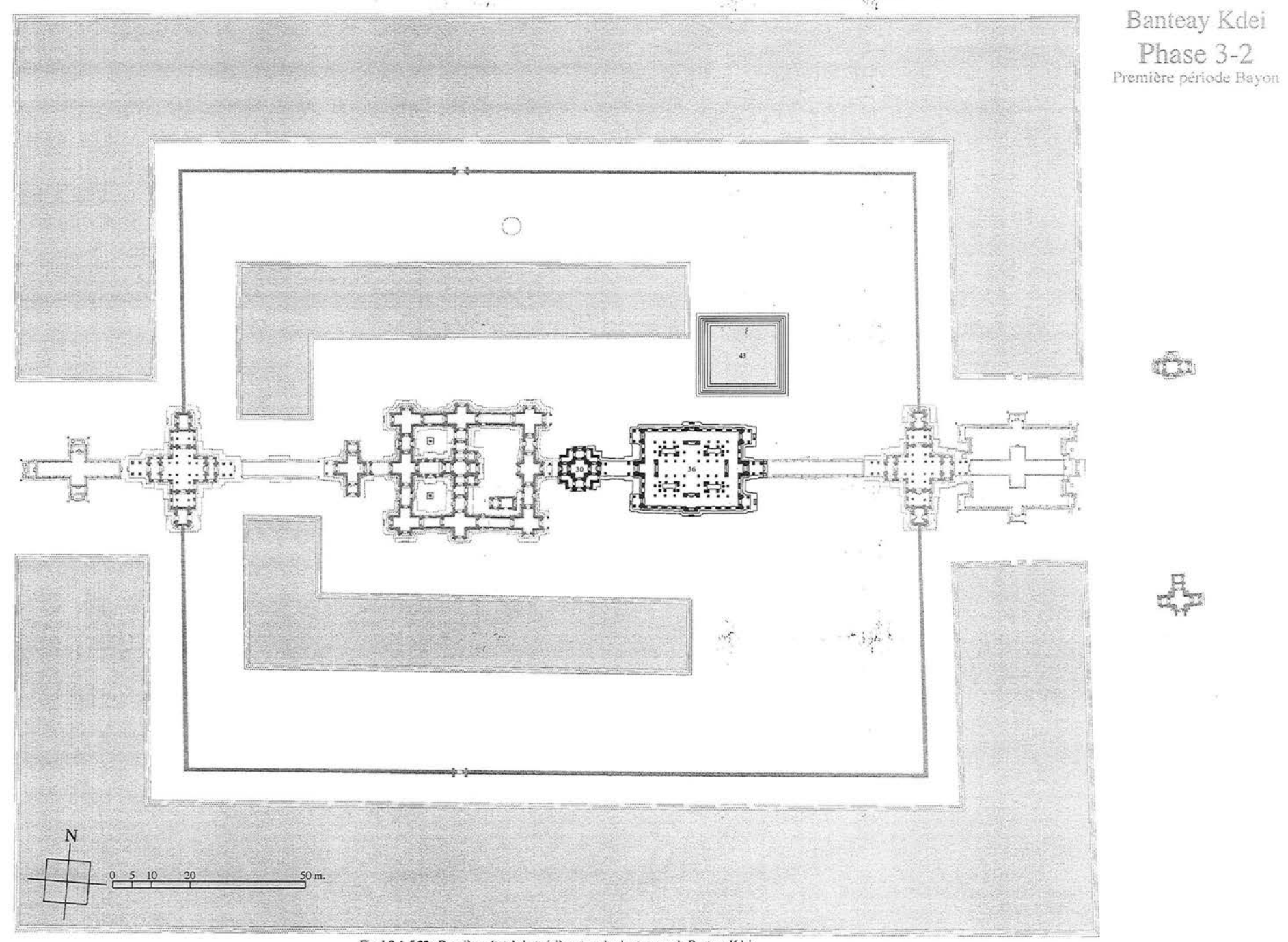


Fig. I-3-1-5.22 : Deuxième état de la troisième tranche des travaux de Banteay Kdei

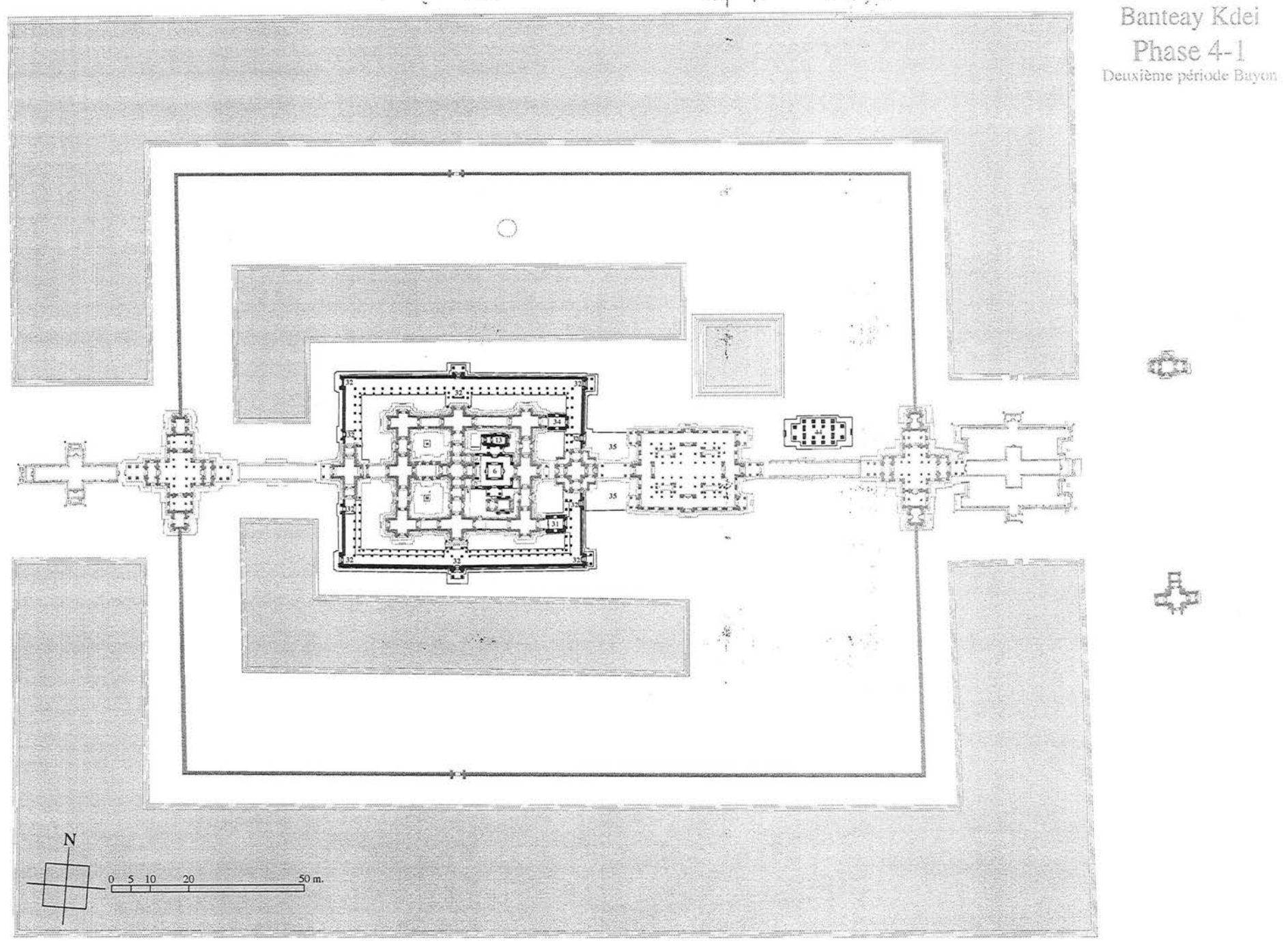


Fig. I-3-1-5.23 : Premier état de la quatrième tranche des travaux de Banteay Kdei

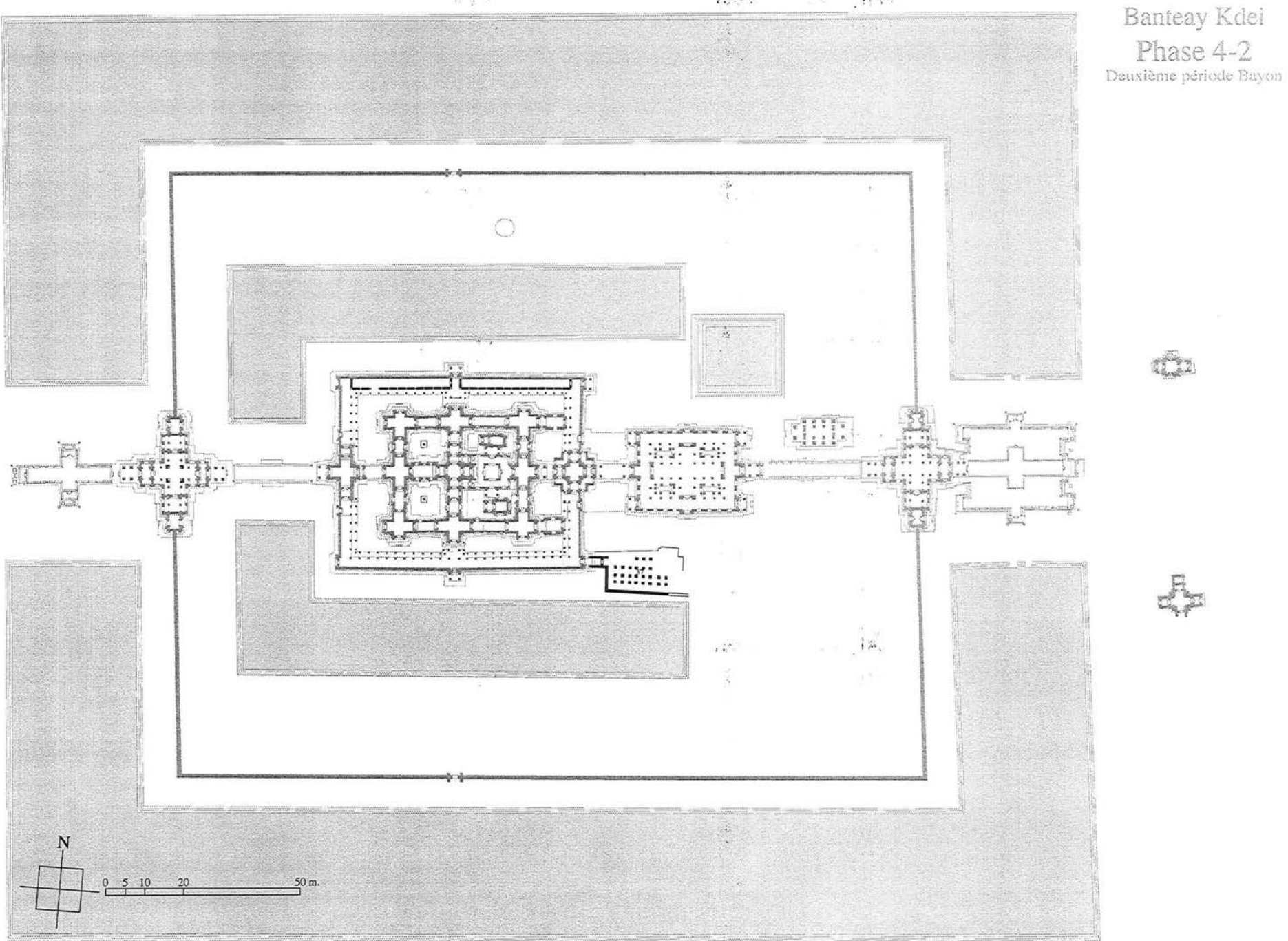


Fig. I-3-1-5.24 : Deuxième état de la quatrième tranche des travaux de Banteay Kdei

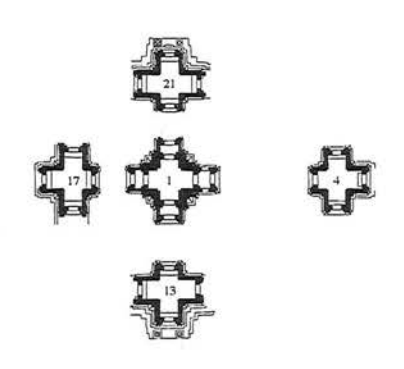
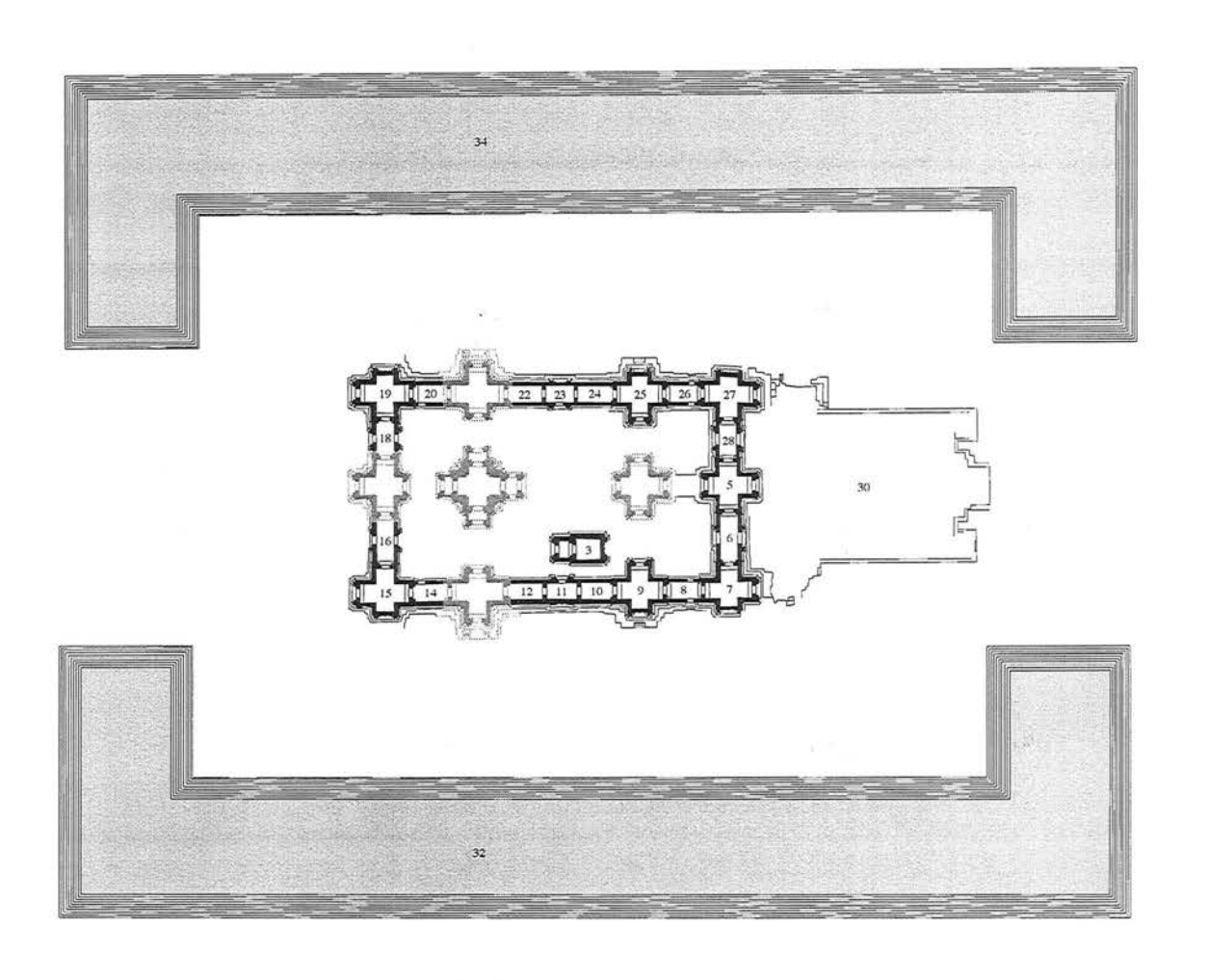




Fig. I-3-1-5.25 : Premier état de la première tranche des travaux de Ta Nei



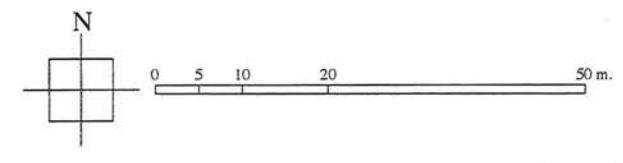
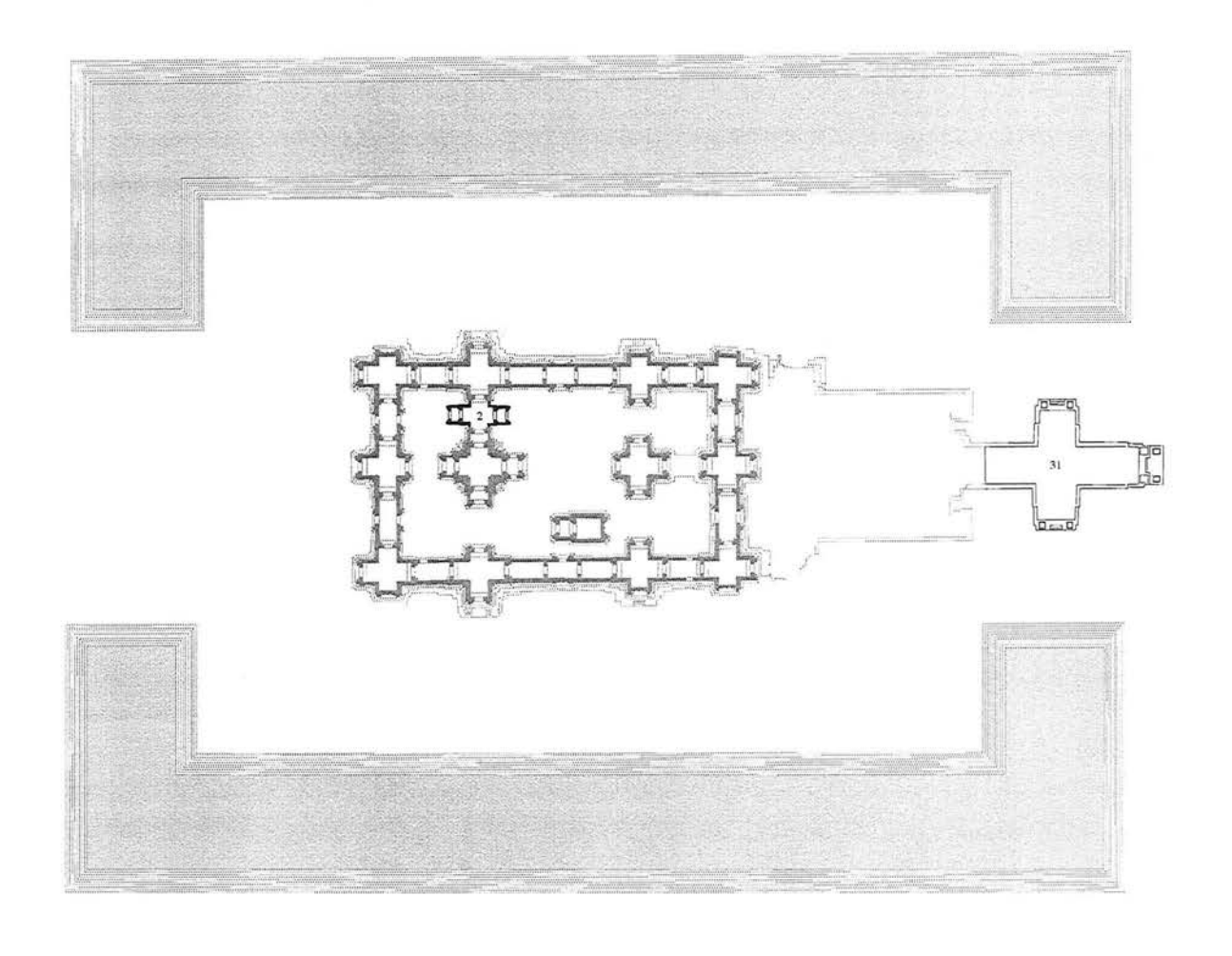


Fig. I-3-1-5.26 : Deuxième état de la première tranche des travaux de Ta Nei



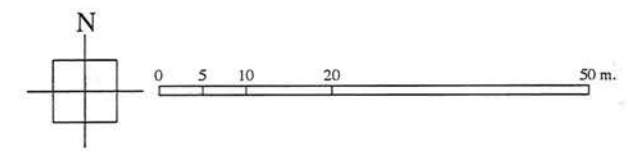


Fig. I-3-1-5.27 : Deuxième tranche des travaux de Ta Nei

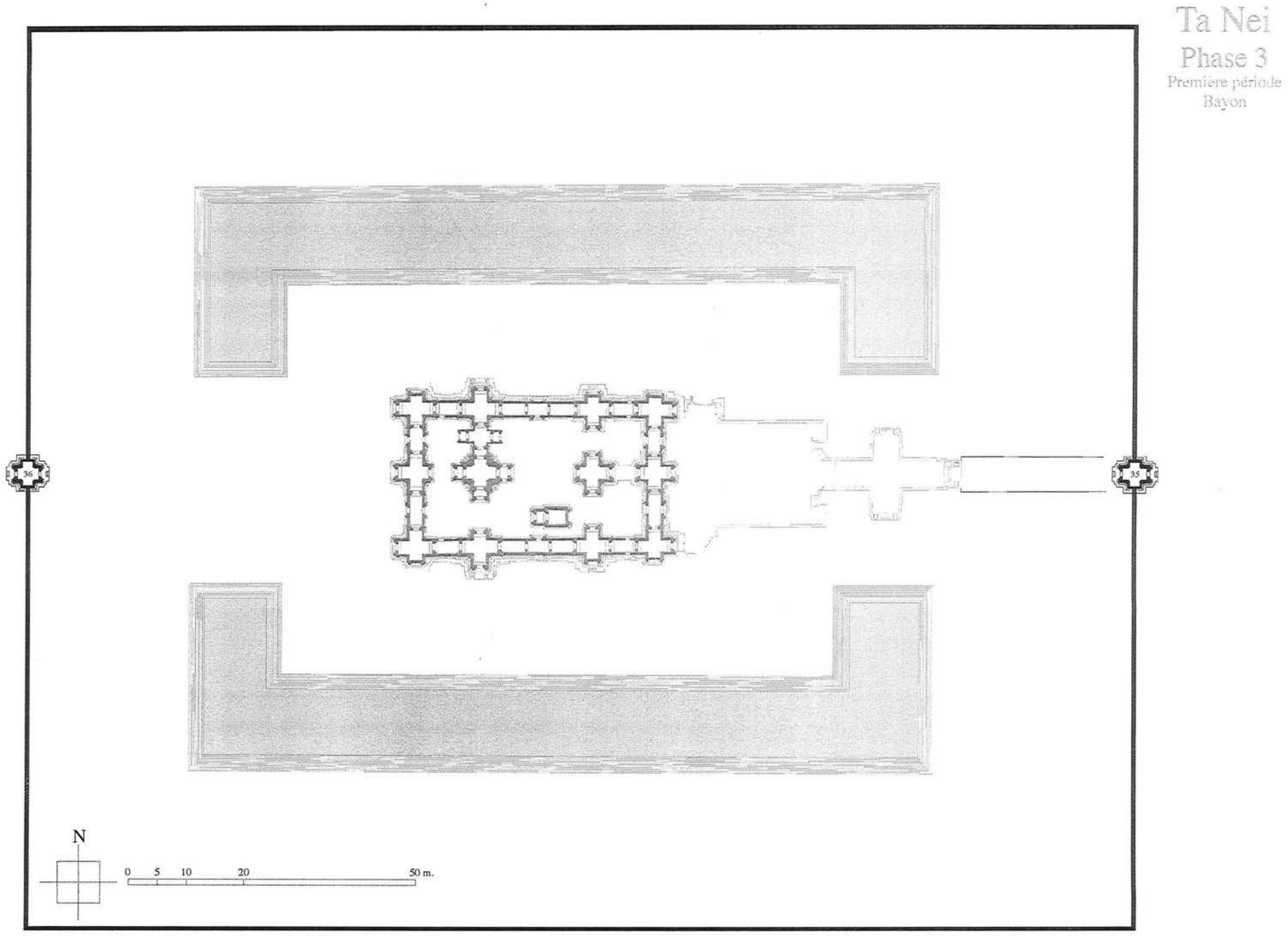


Fig. I-3-1-5.28 : Troisième tranche des travaux de Ta Nei
— Création du domaine —

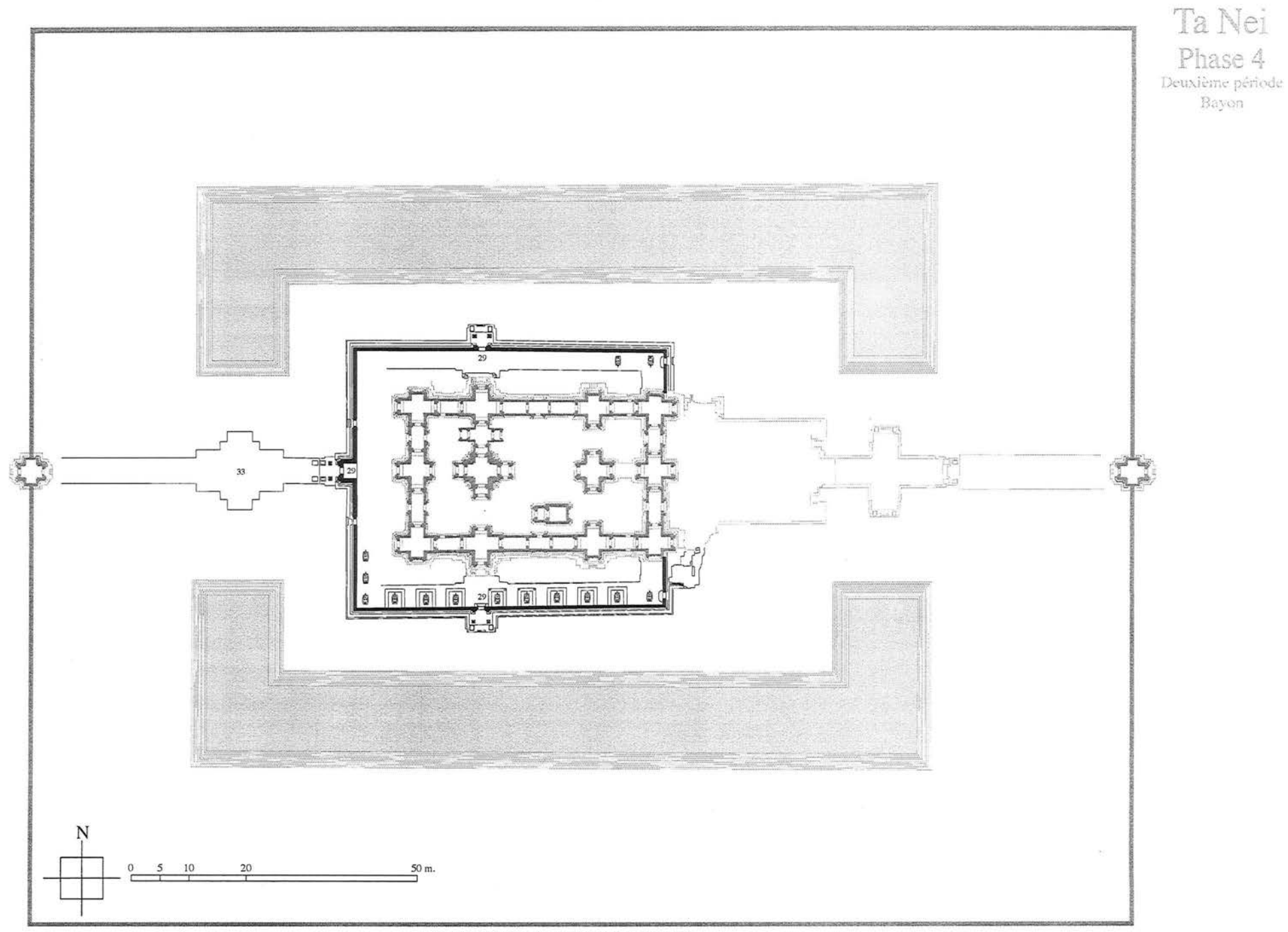
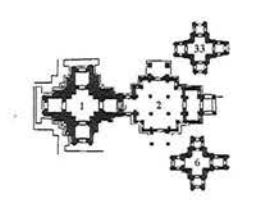


Fig. I-3-1-5.29 : Quatrième tranche des travaux de Ta Nei

Bayon



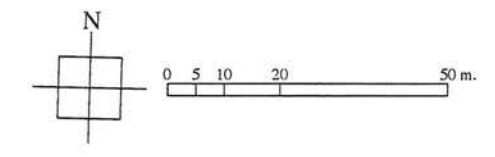


Fig. I-3-1-5.30 : Première tranche des travaux de Jayaçrī (Preah Khan d'Angkor)

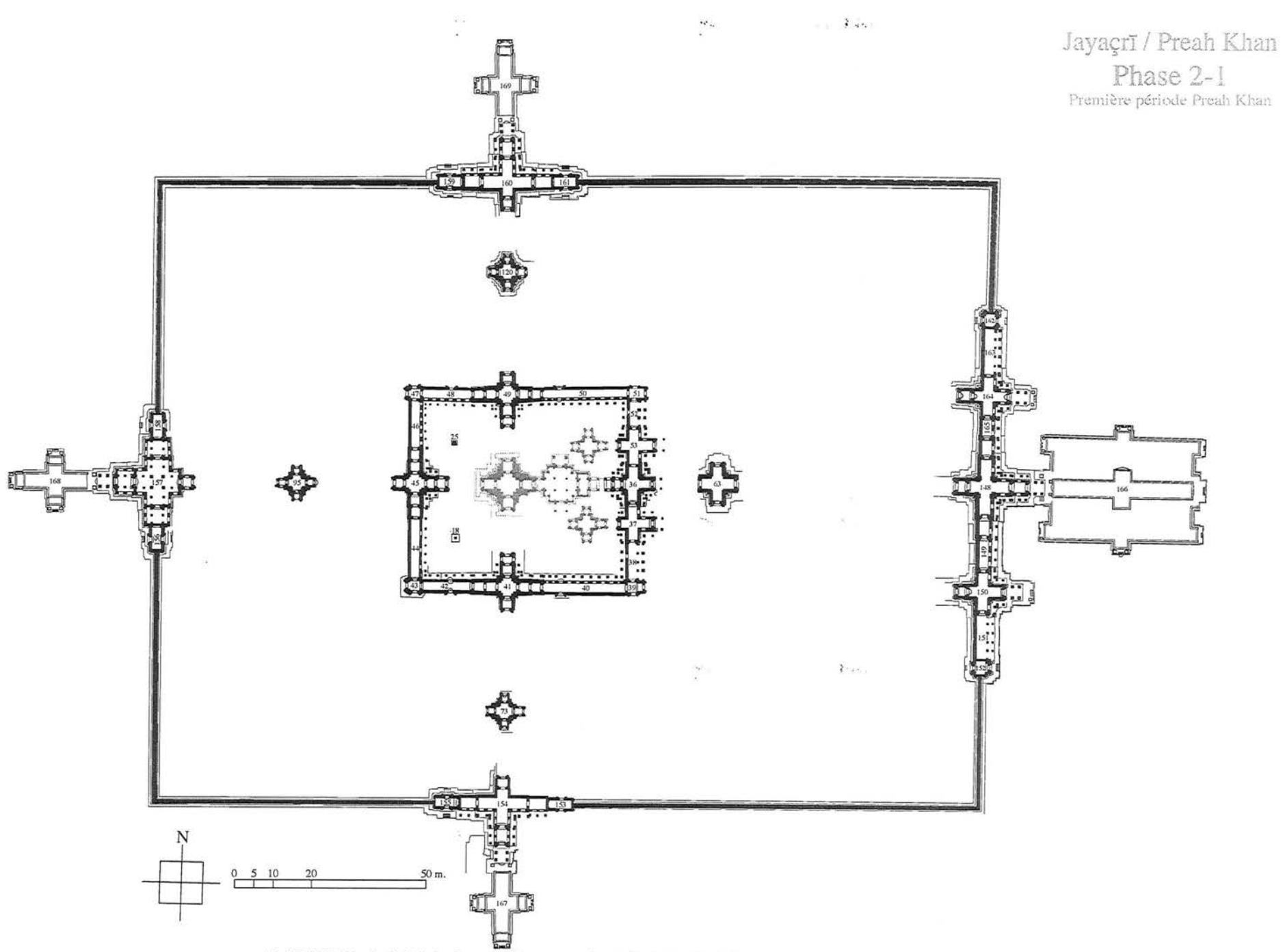


Fig. 1-3-1-5.31 : Premier état de la deuxième tranche des travaux de Jayaçrī (Preah Khan d'Angkor)

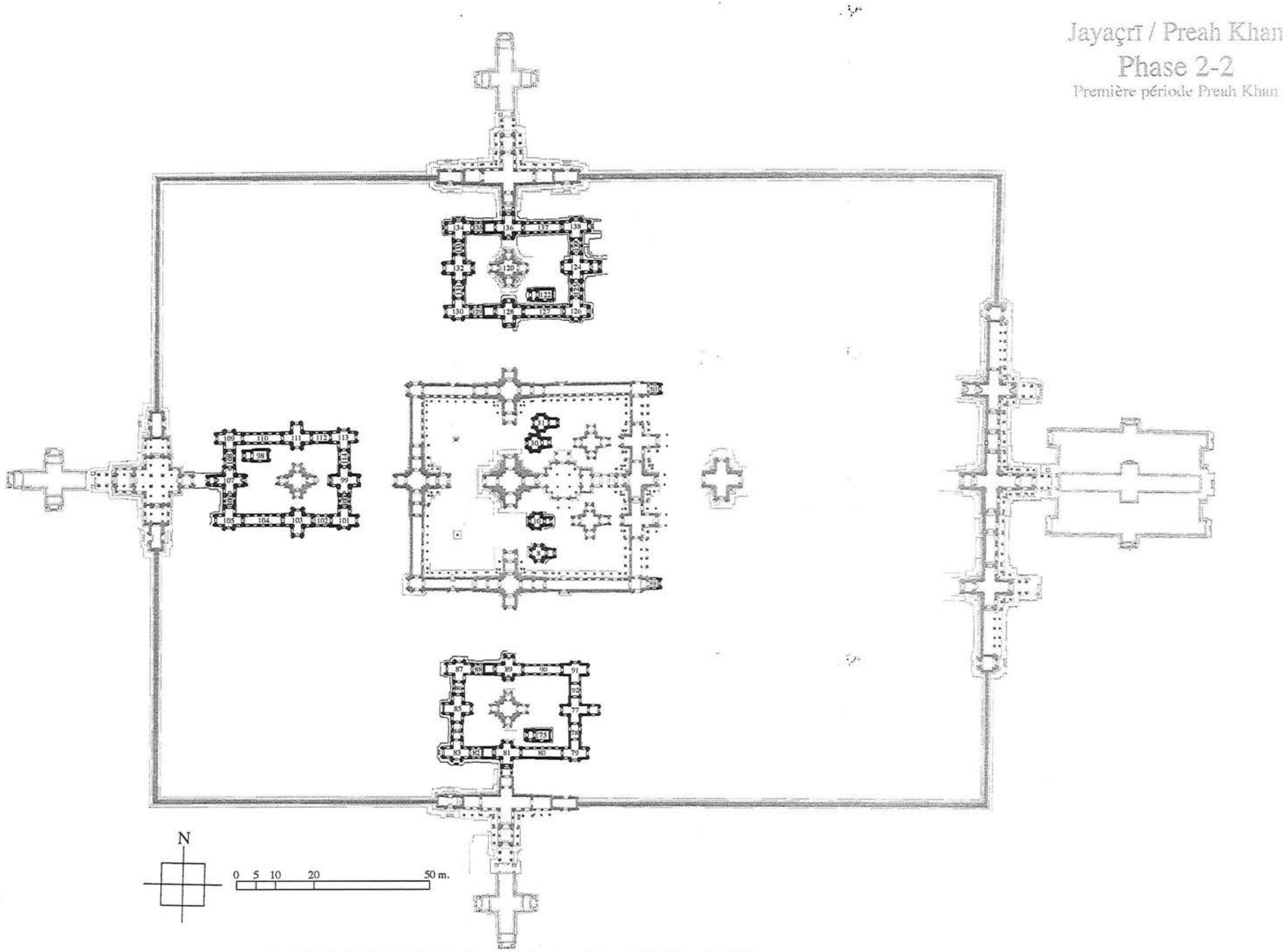


Fig. I-3-1-5.32 : Deuxième état de la deuxième tranche des travaux de Jayaçrī (Preah Khan d'Angkor)

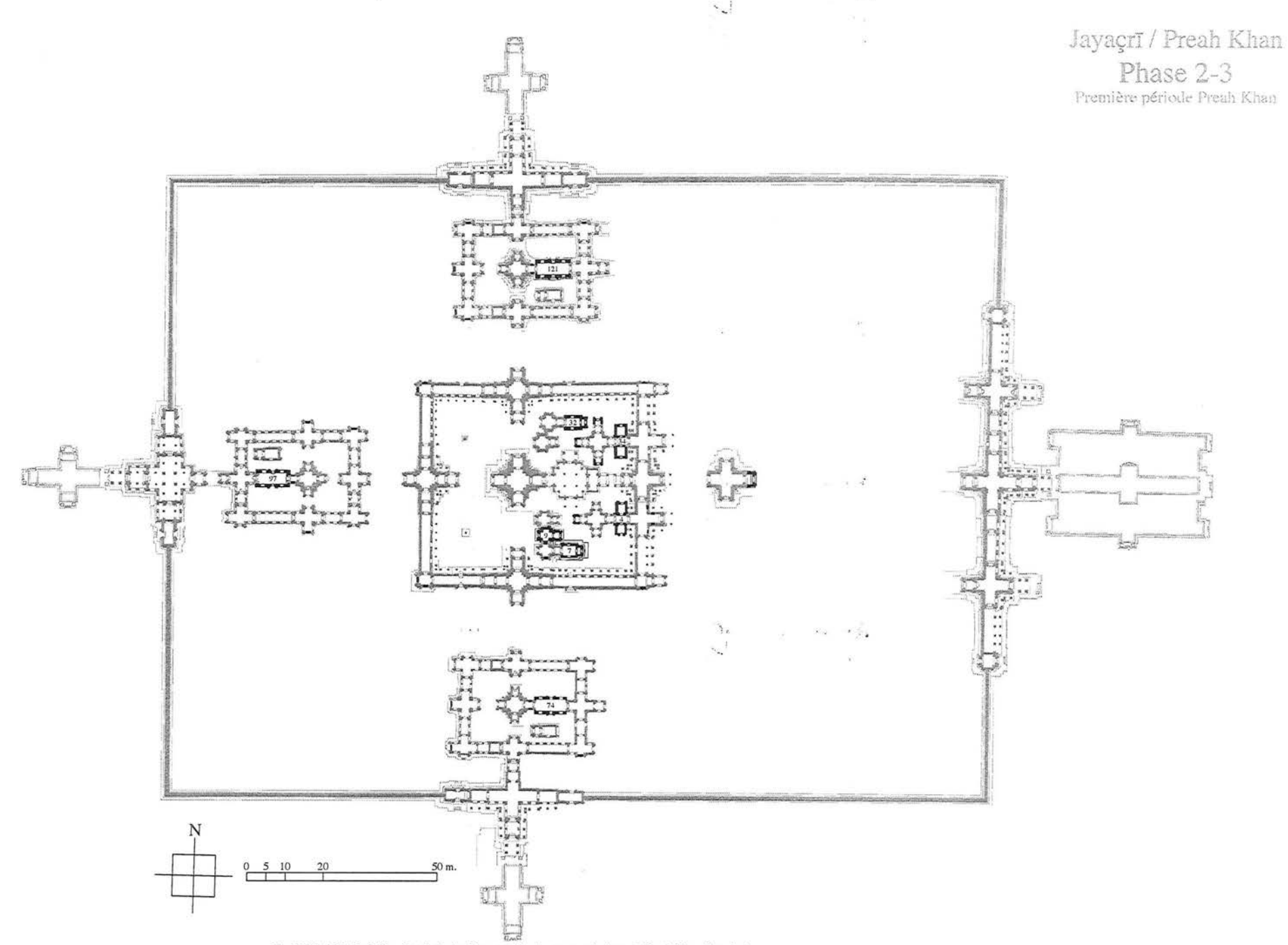


Fig. I-3-1-5.33 : Troisième état de la deuxième tranche des travaux de Jayaçrī (Preah Khan d'Angkor)

Fig. I-3-1-5.34 : Premier état de la troisième tranche des travaux de Jayaçrī (Preah Khan d'Angkor) — Création du domaine —

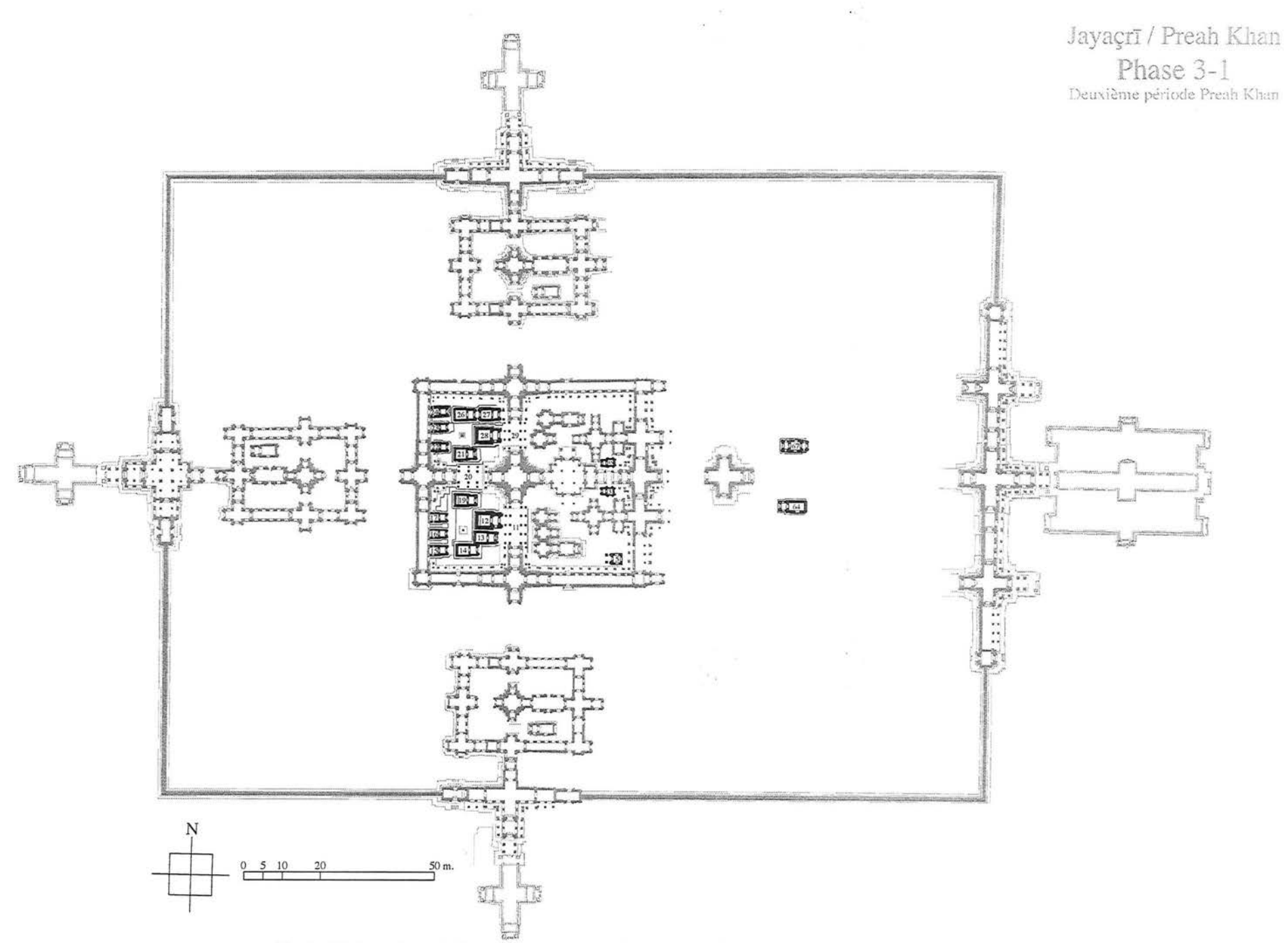


Fig. 1-3-1-5.35 : Premier état de la troisième tranche des travaux de Jayaçrī (Preah Khan d'Angkor) — Création du domaine —

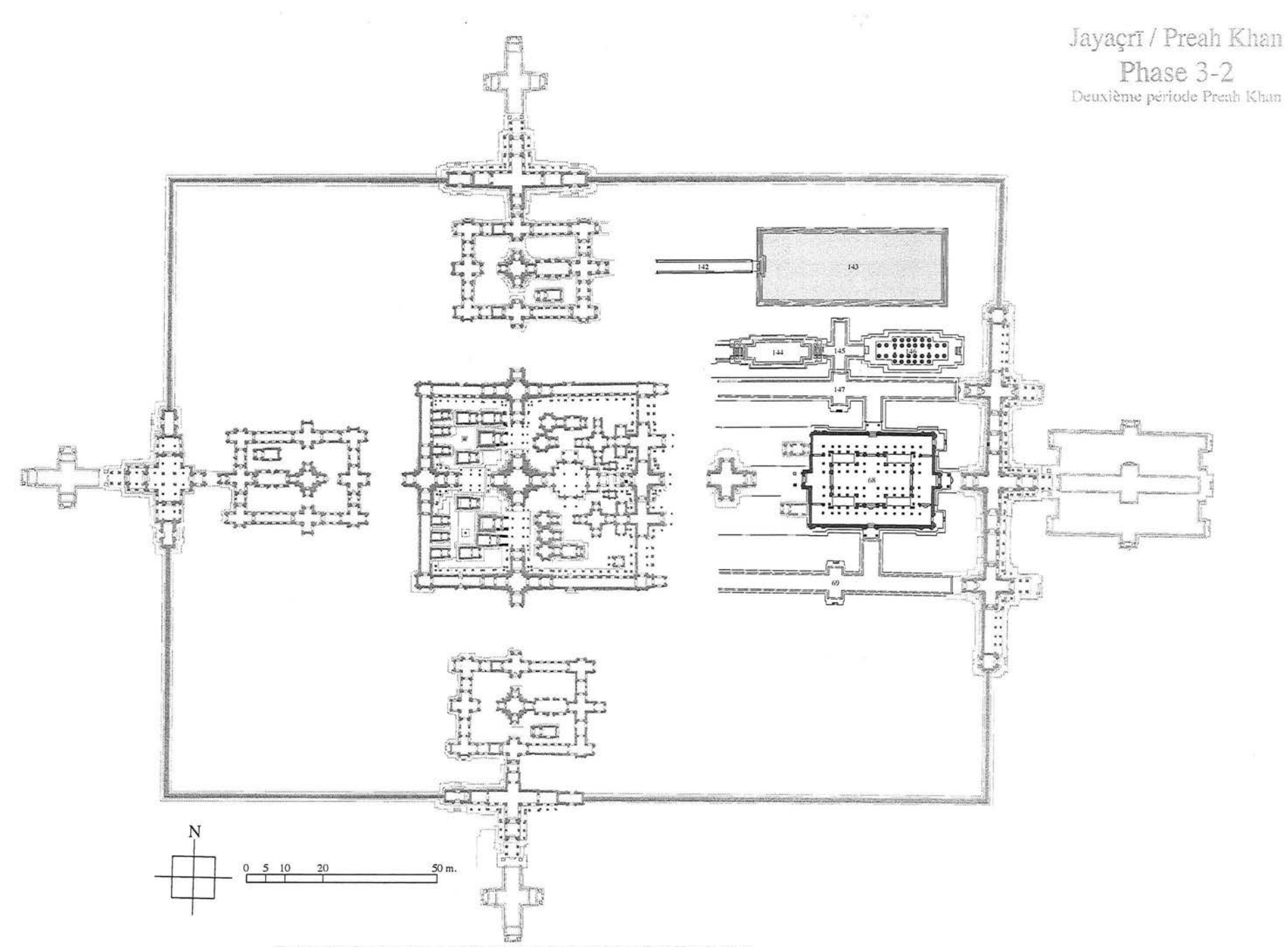


Fig. I-3-1-5.36 : Deuxième état de la troisième tranche des travaux de Jayaçrī (Preah Khan d'Angkor)

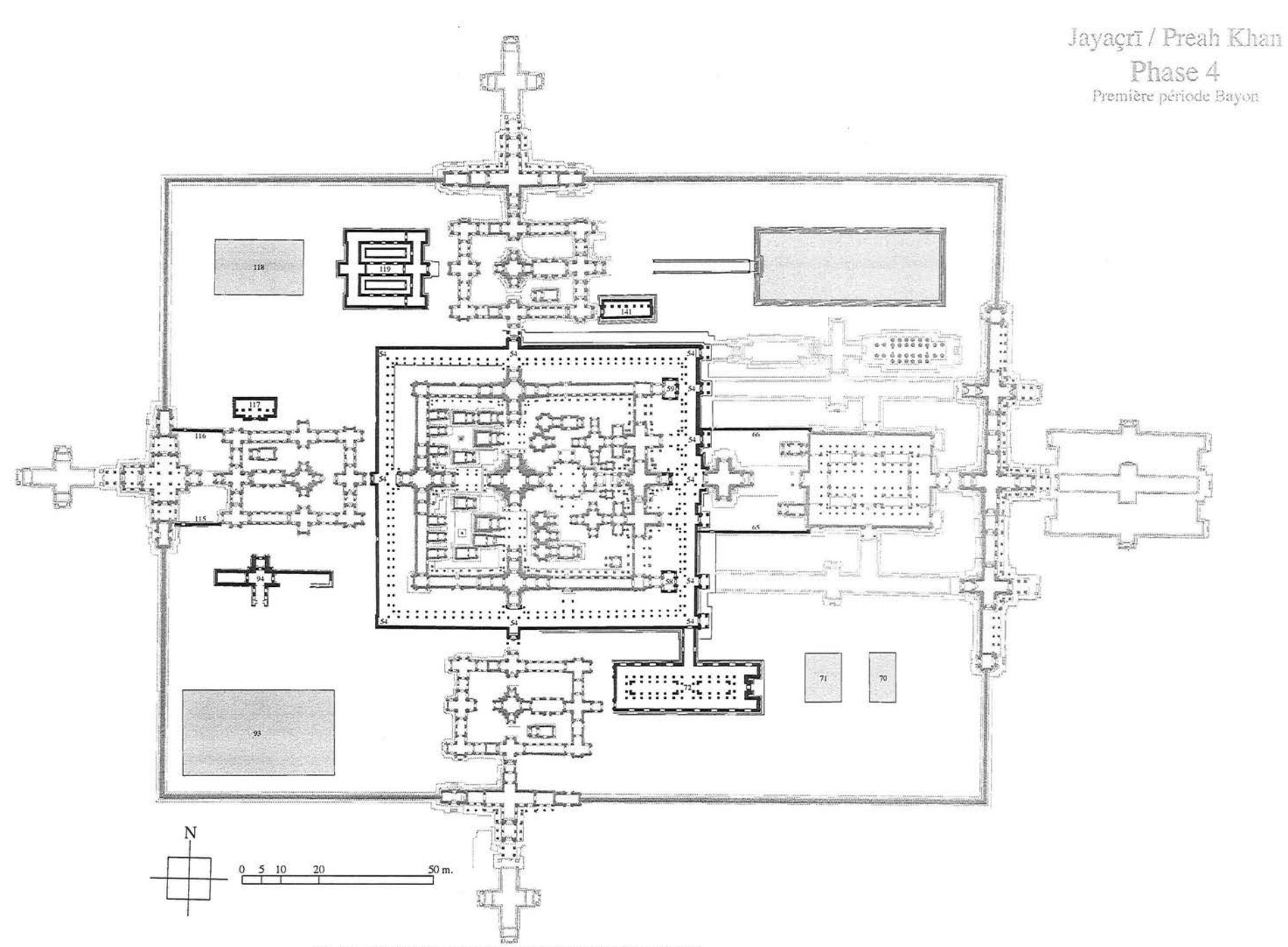


Fig. I-3-1-5.37 : Quatrième tranche des travaux de Jayaçrī (Preah Khan d'Angkor)

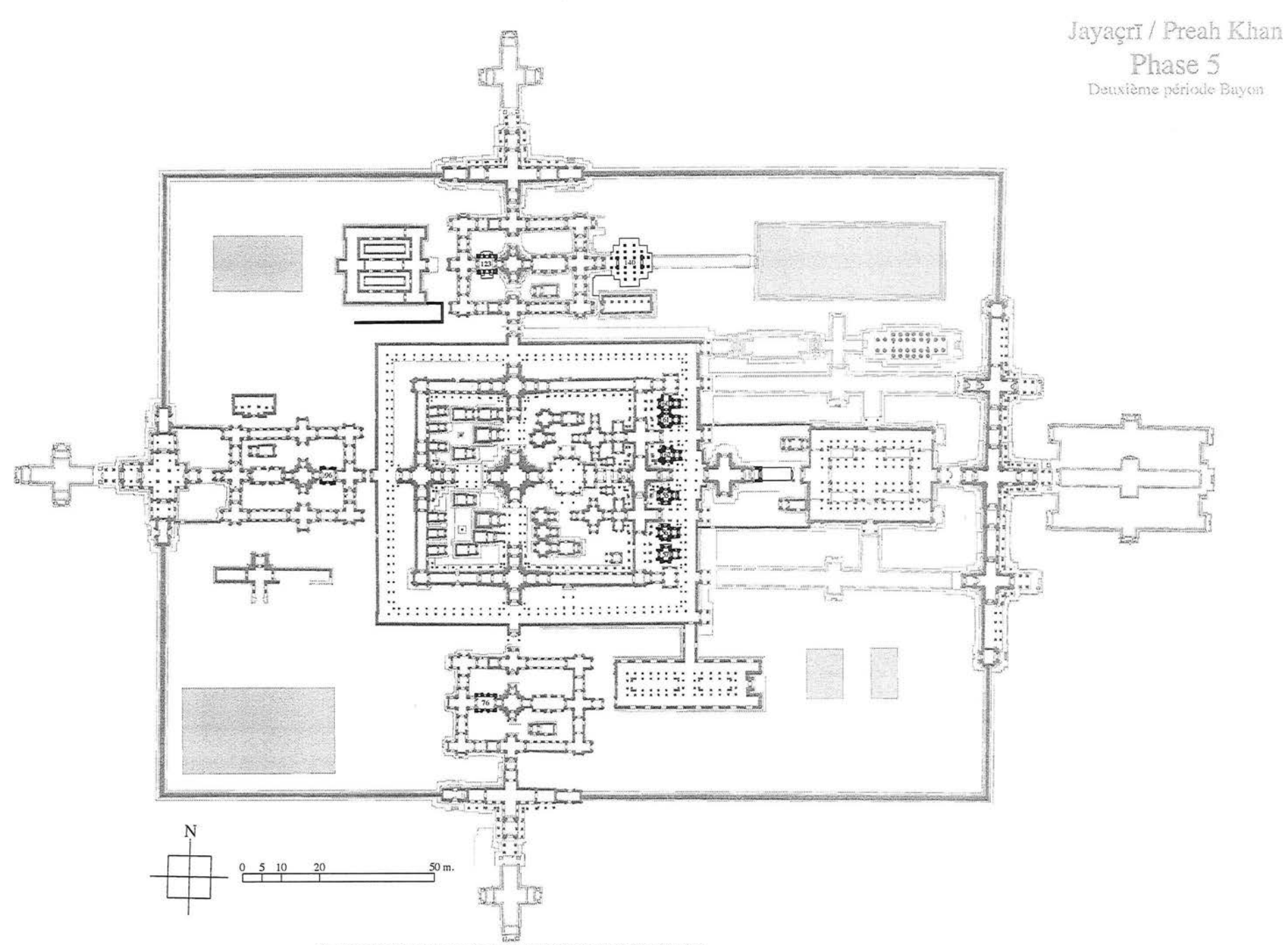


Fig. I-3-1-5.38 : Cinquième tranche des travaux de Jayaçrī (Preah Khan d'Angkor)

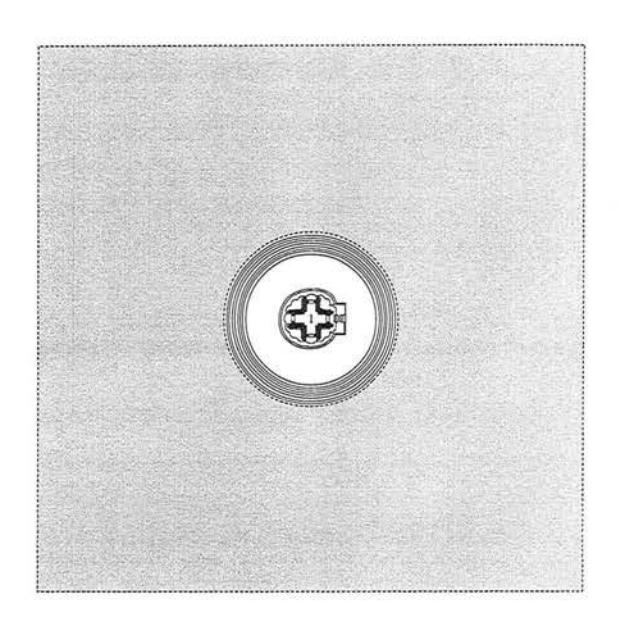




Fig. I-3-1-5.39 : Première tranche des travaux de Rājyaçrī (Neak Pean)

Rājyaçrī / Neak Pean Phase 2 Première période Bayon

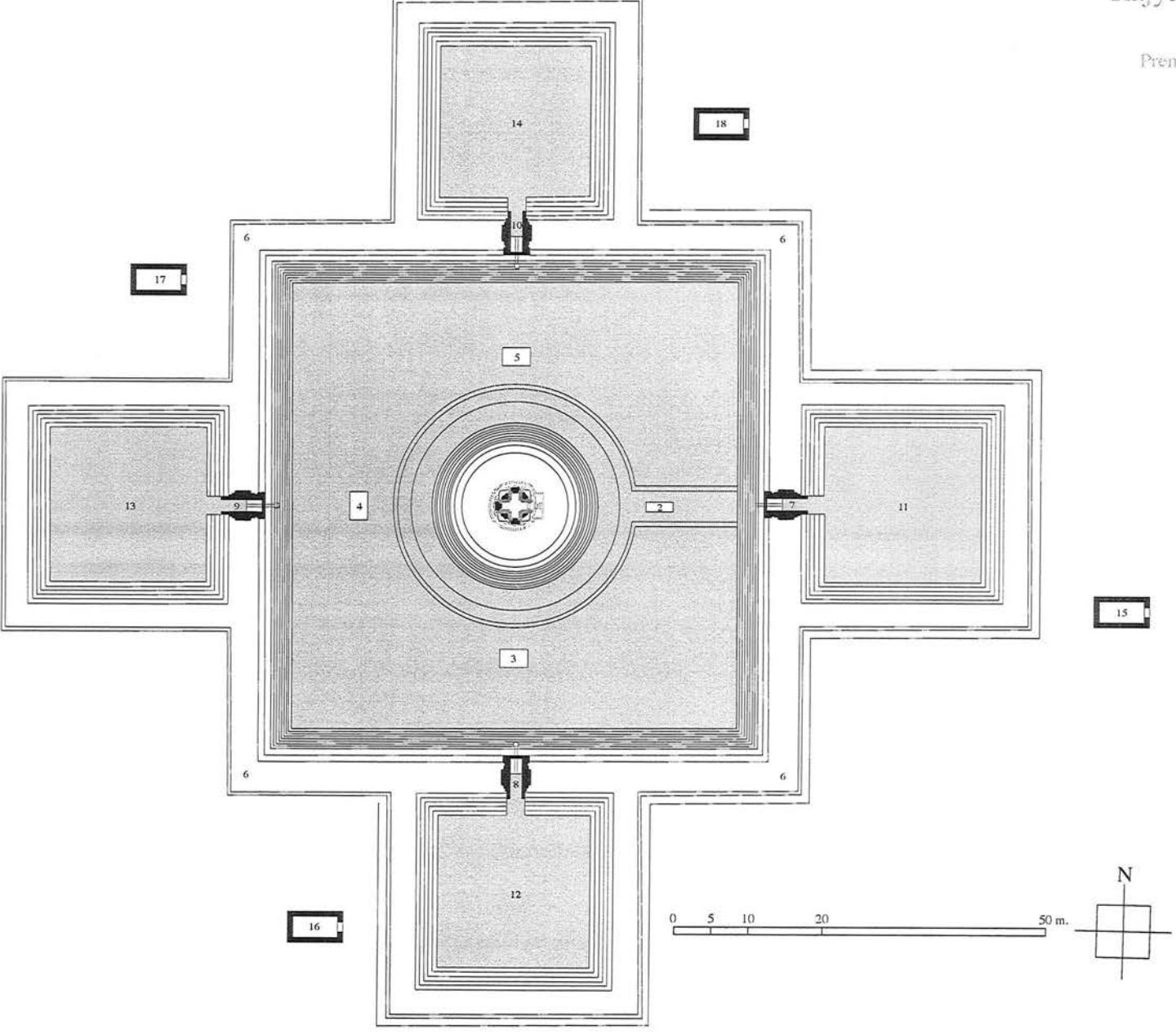


Fig. I-3-1-5.40 : Deuxième tranche des travaux de Rājyaçrī (Neak Pean)



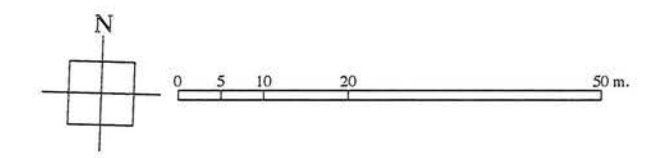
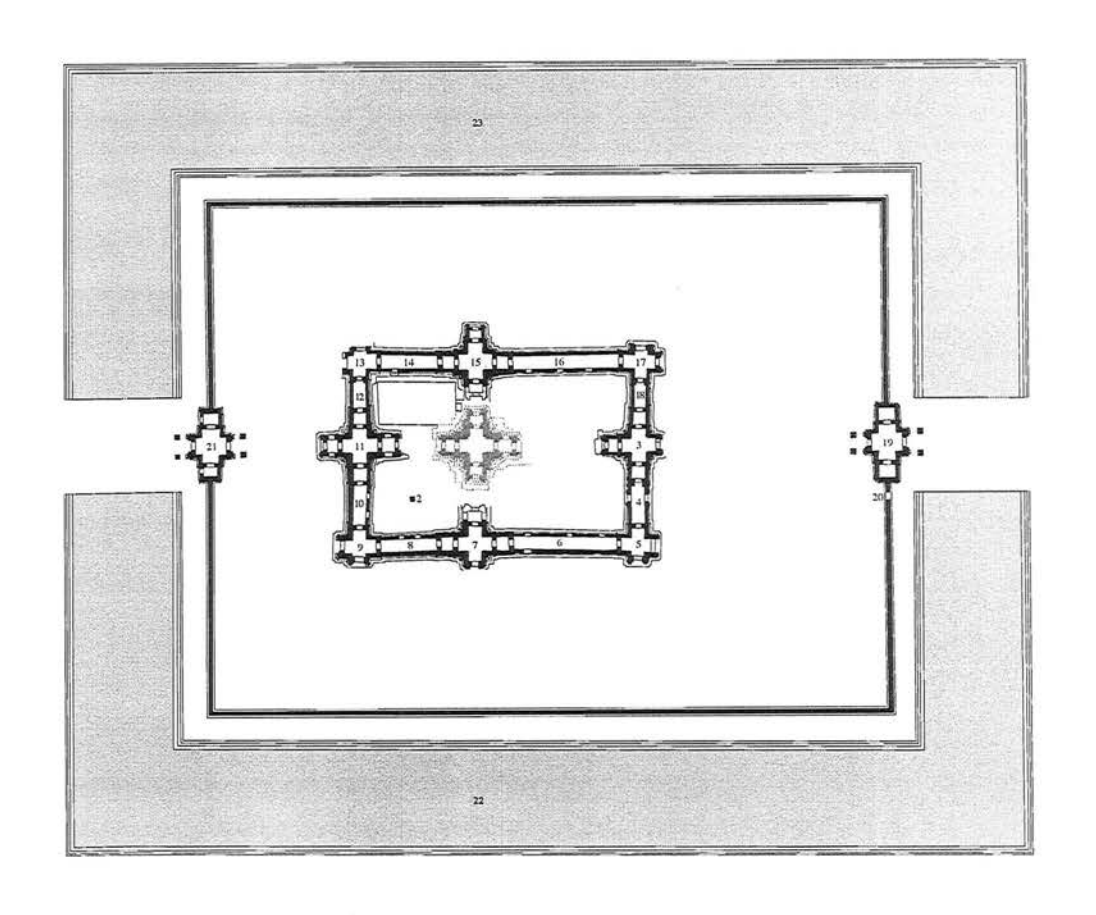


Fig. I-3-1-5.41 : Première tranche des travaux de Banteay Prei



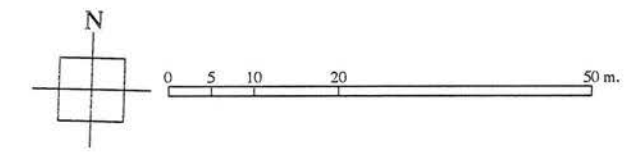


Fig. I-3-1-5.42 : Deuxième tranche des travaux de Banteay Prei

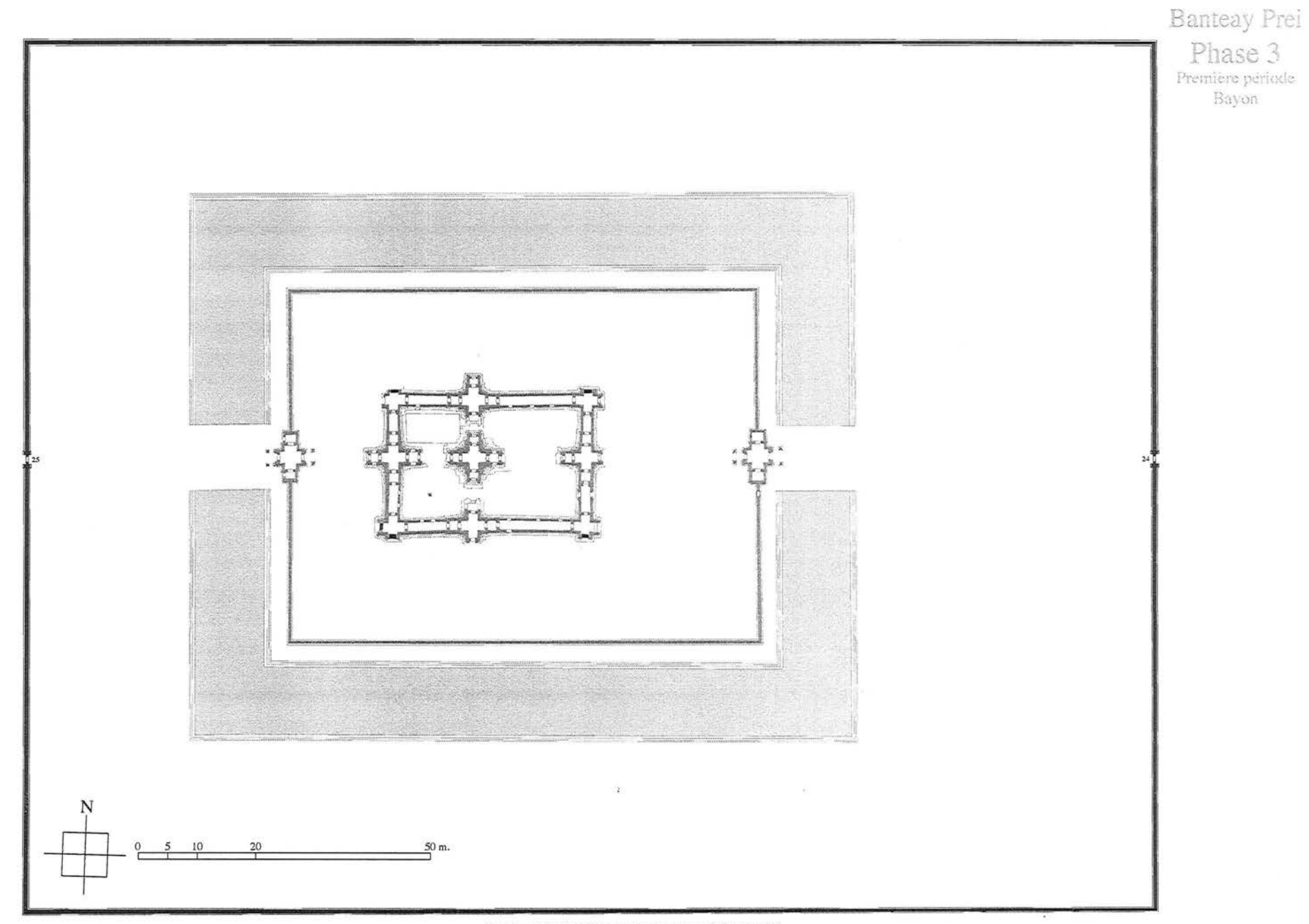


Fig. I-3-1-5.43 : Troisième tranche des travaux de Banteay Prei
— Création du domaine —

Phase 3

Krol Kô Phase I Deuxième période Preah Khan

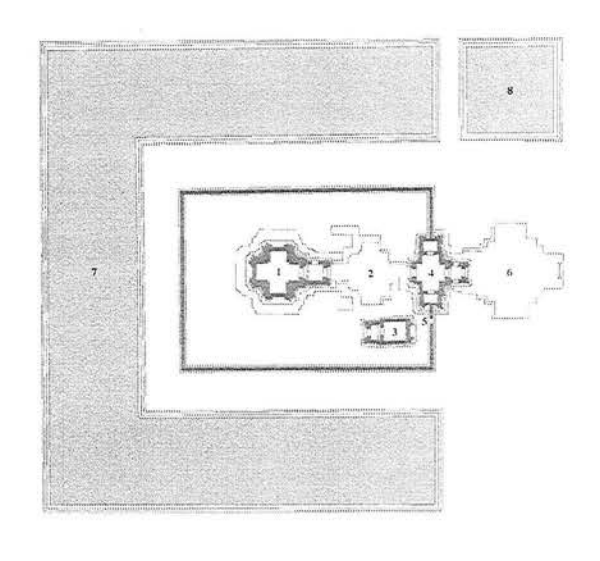
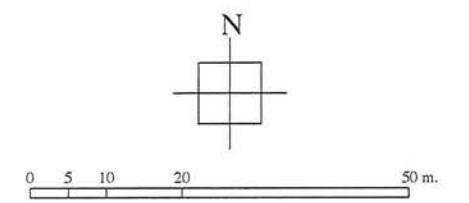
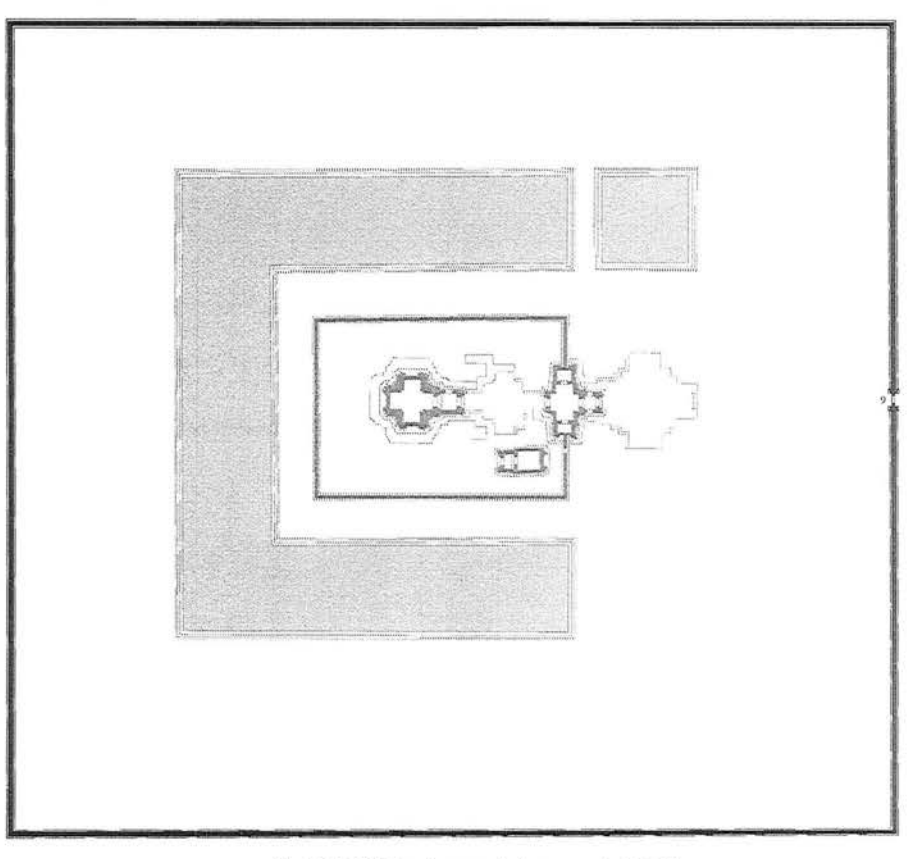


Fig. I-3-1-5.44 : Première tranche des travaux de Krol Kô



Krol Kô Phase 2 Première période Bayon



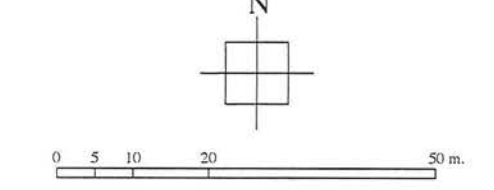
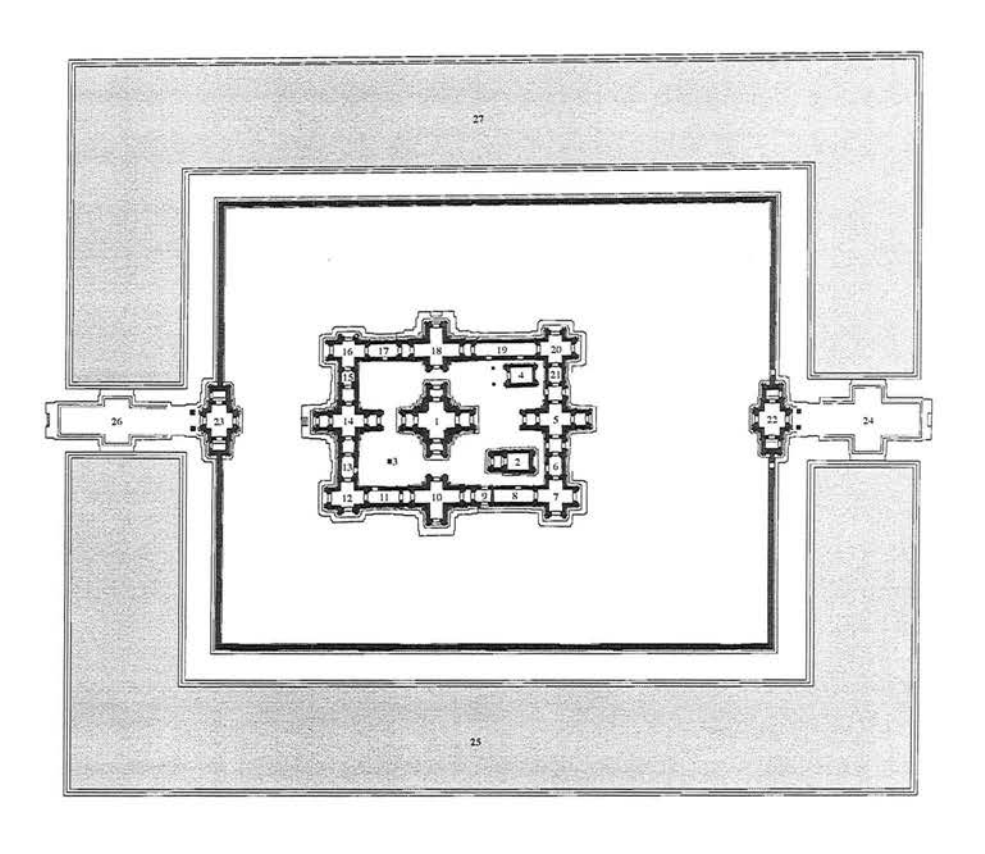


Fig. I-3-1-5.45 : Deuxième tranche des travaux de Krol Kô — Création du domaine —



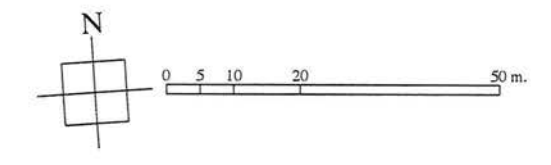


Fig. I-3-1-5.46 : Première tranche des travaux de Ta Som

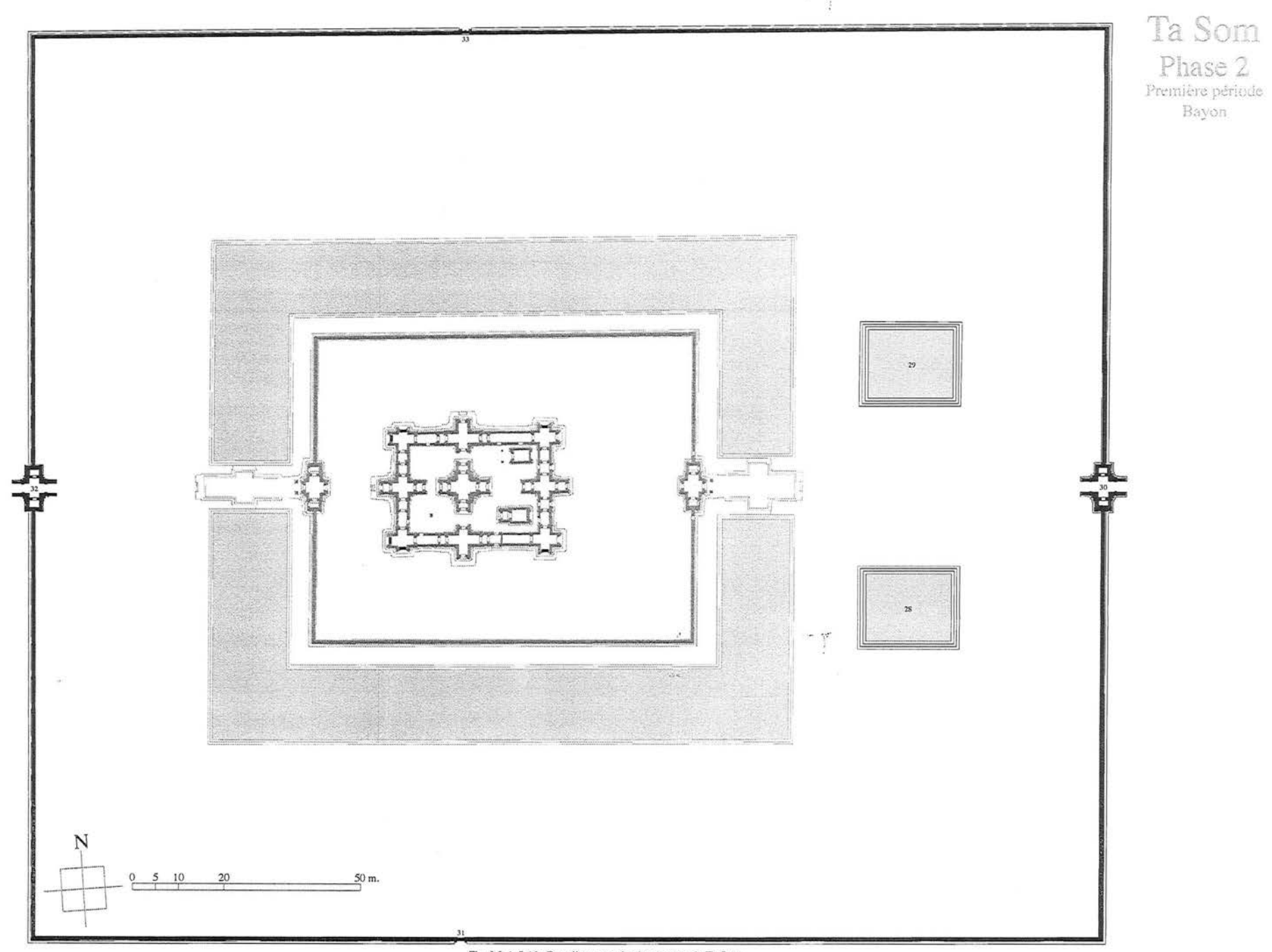
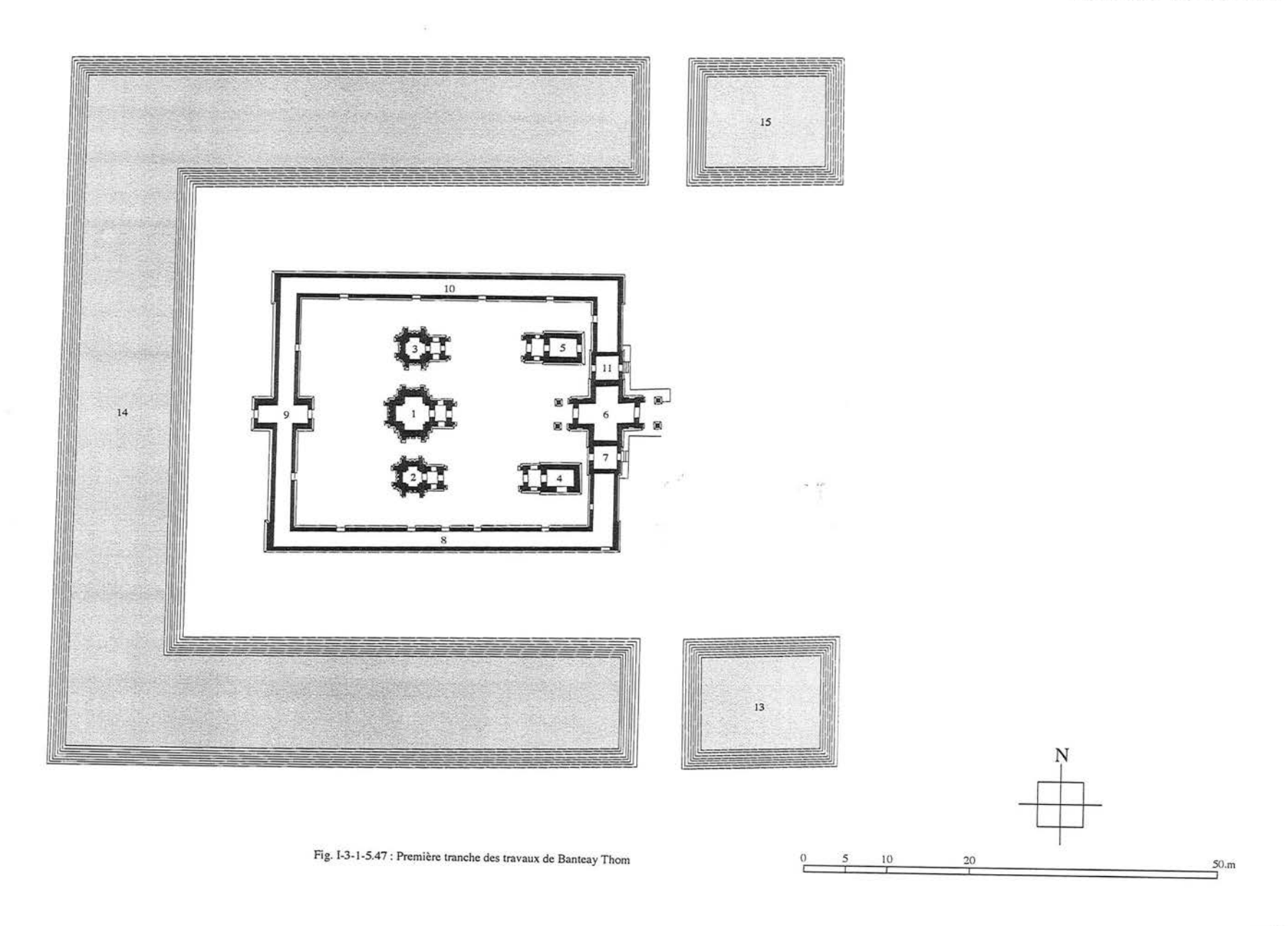


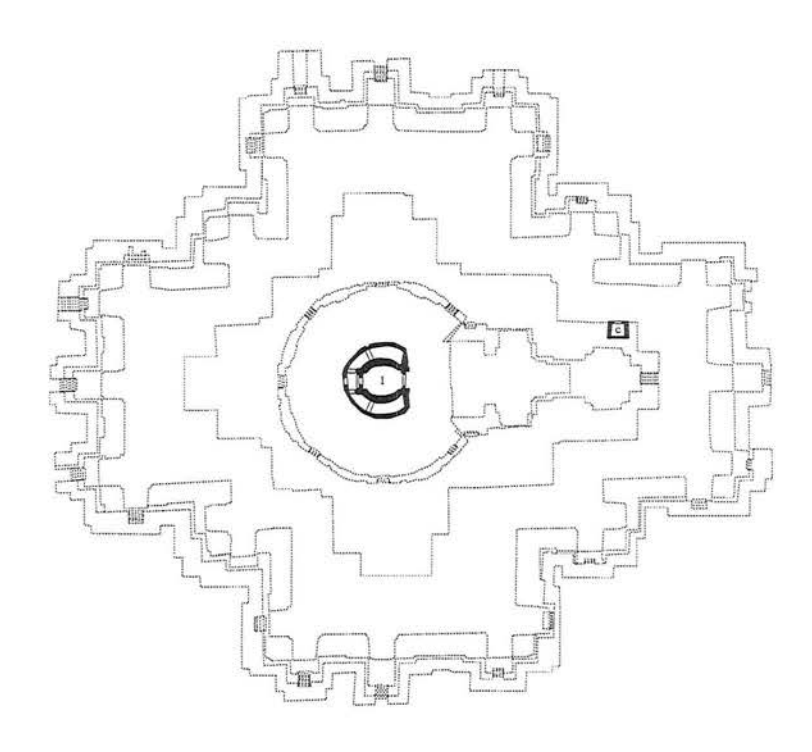
Fig. I-3-1-5.46 : Deuxième tranche des travaux de Ta Som
— Création du domaine —

Banteay Thom Phase 1 Première période Preah Khan



Banteay Thom Phase 2 Deuxième période Preafi Khan Fig. I-3-1-5.48 : Deuxième tranche des travaux de Banteay Thom

Bayon
Phase 1-2
Deuxième période
Preah Khan



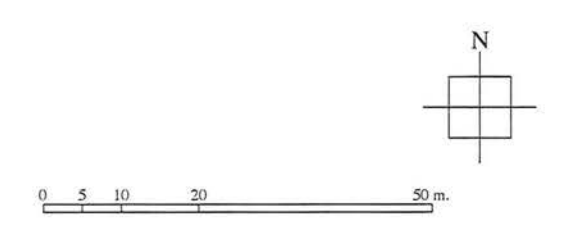
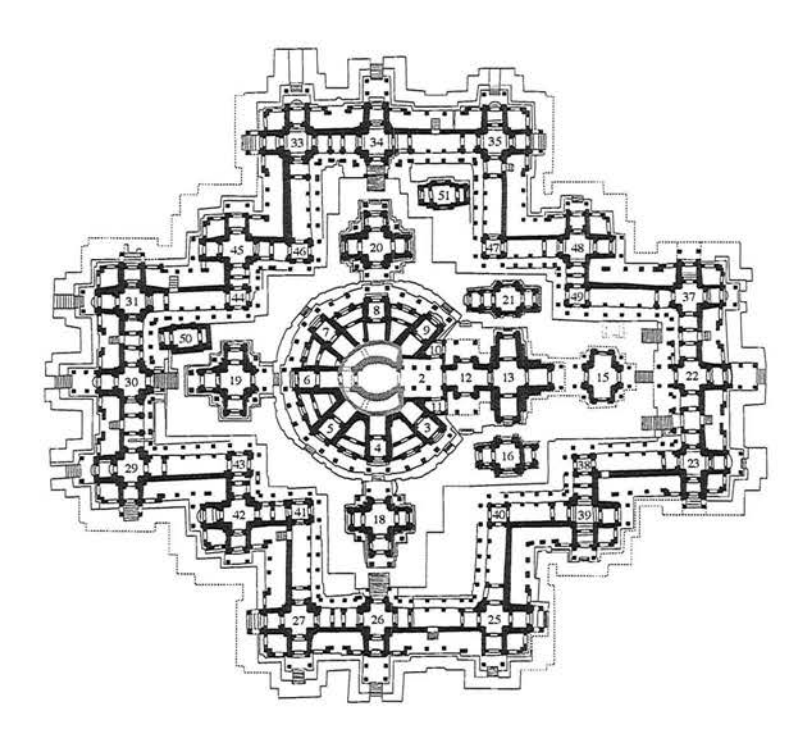


Fig. I-3-1-5.49 : Premier état de la première tranche des travaux du Bayon



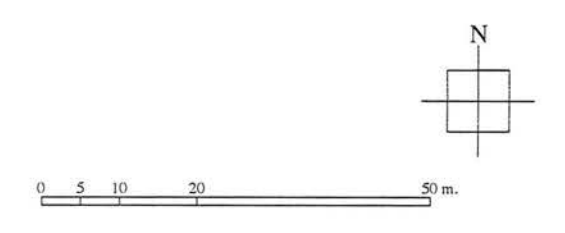
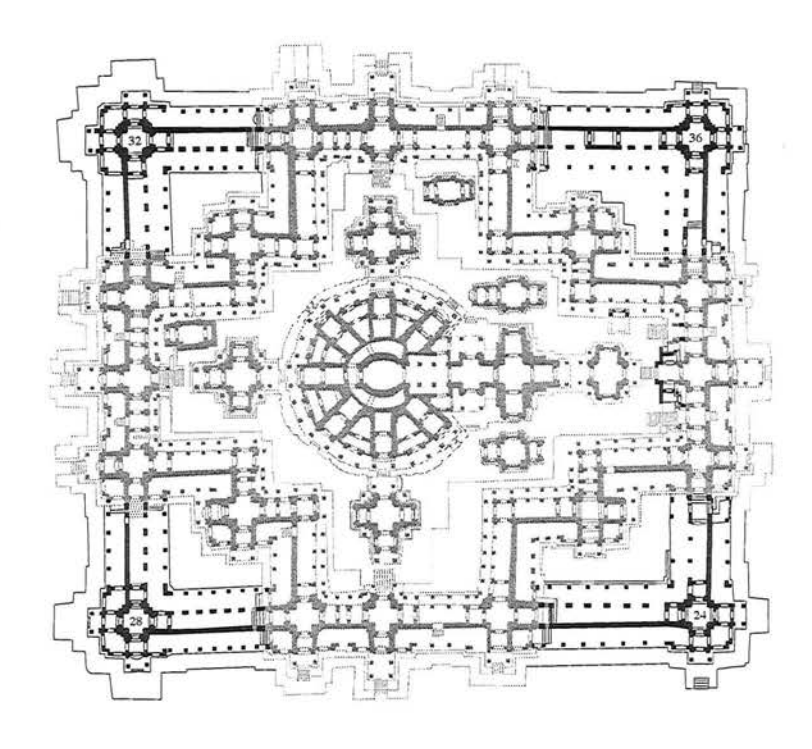


Fig. I-3-1-5.50 : Deuxième état de la première tranche des travaux du Bayon



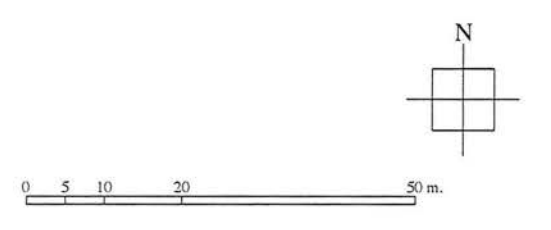


Fig. I-3-1-5.51 : Deuxième tranche des travaux du Bayon

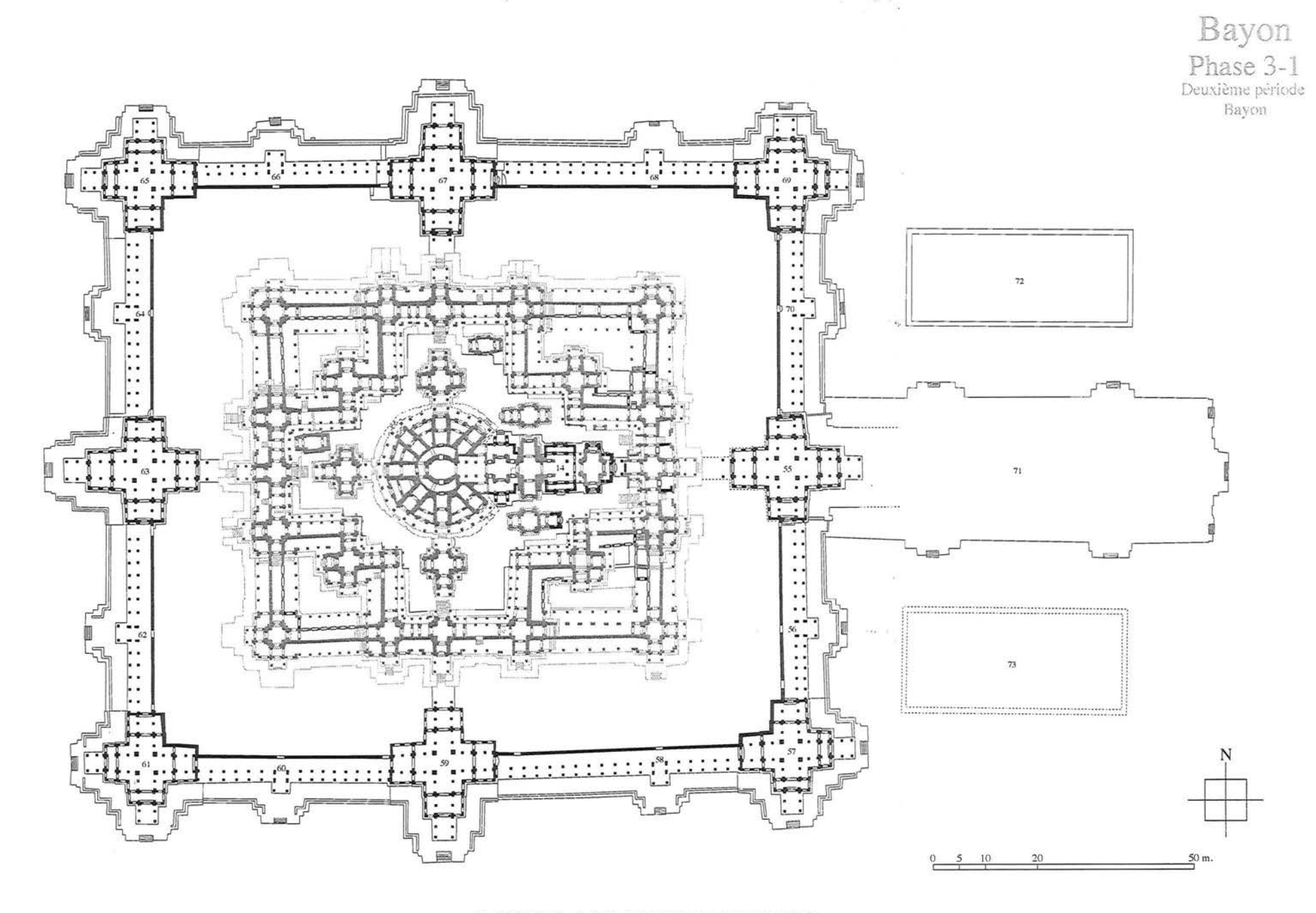


Fig. 1-3-1-5.52 : Premier état de la troisième tranche des travaux du Bayon

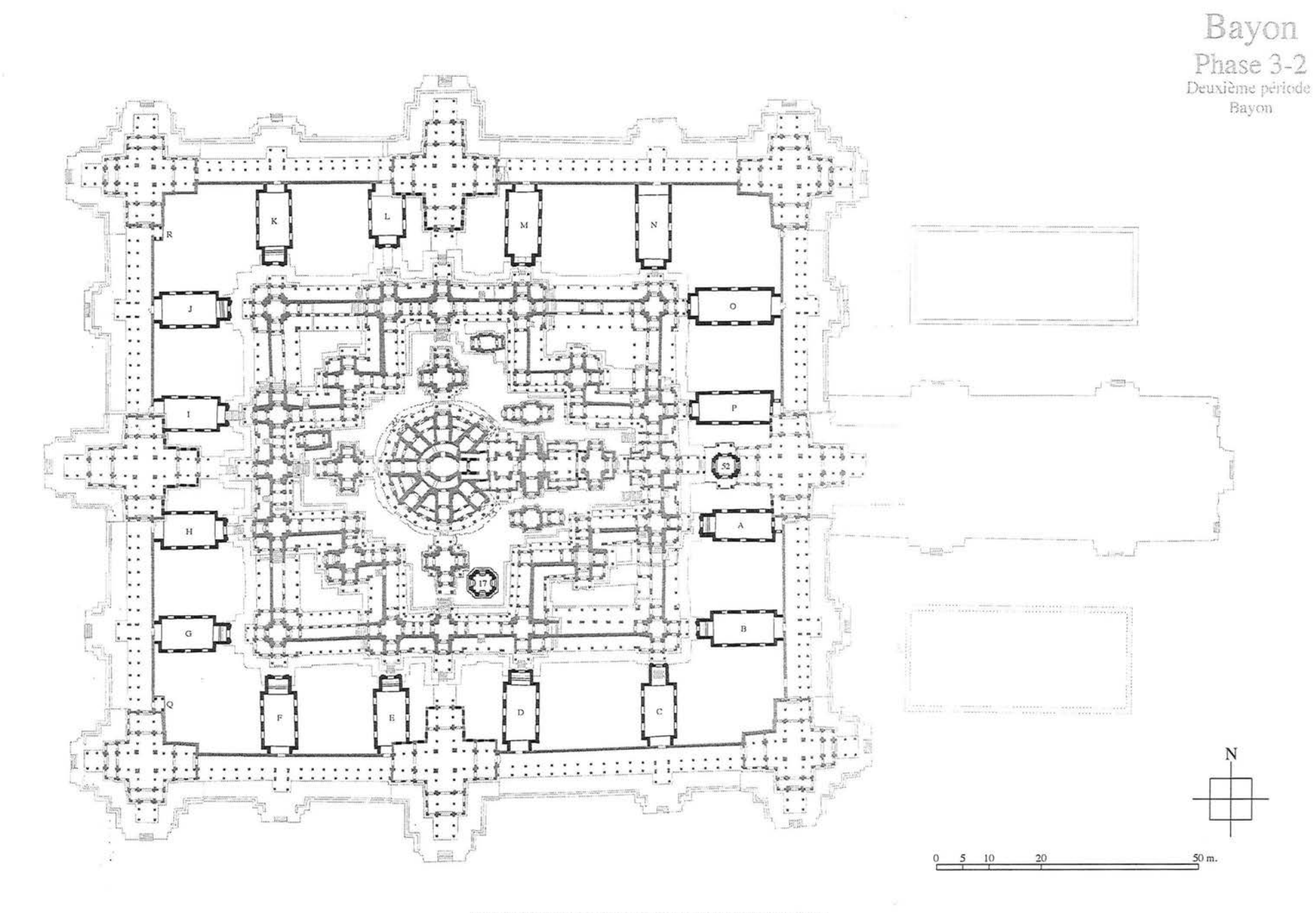


Fig. I-3-1-5.53 : Deuxième état de la troisième tranche des travaux du Bayon

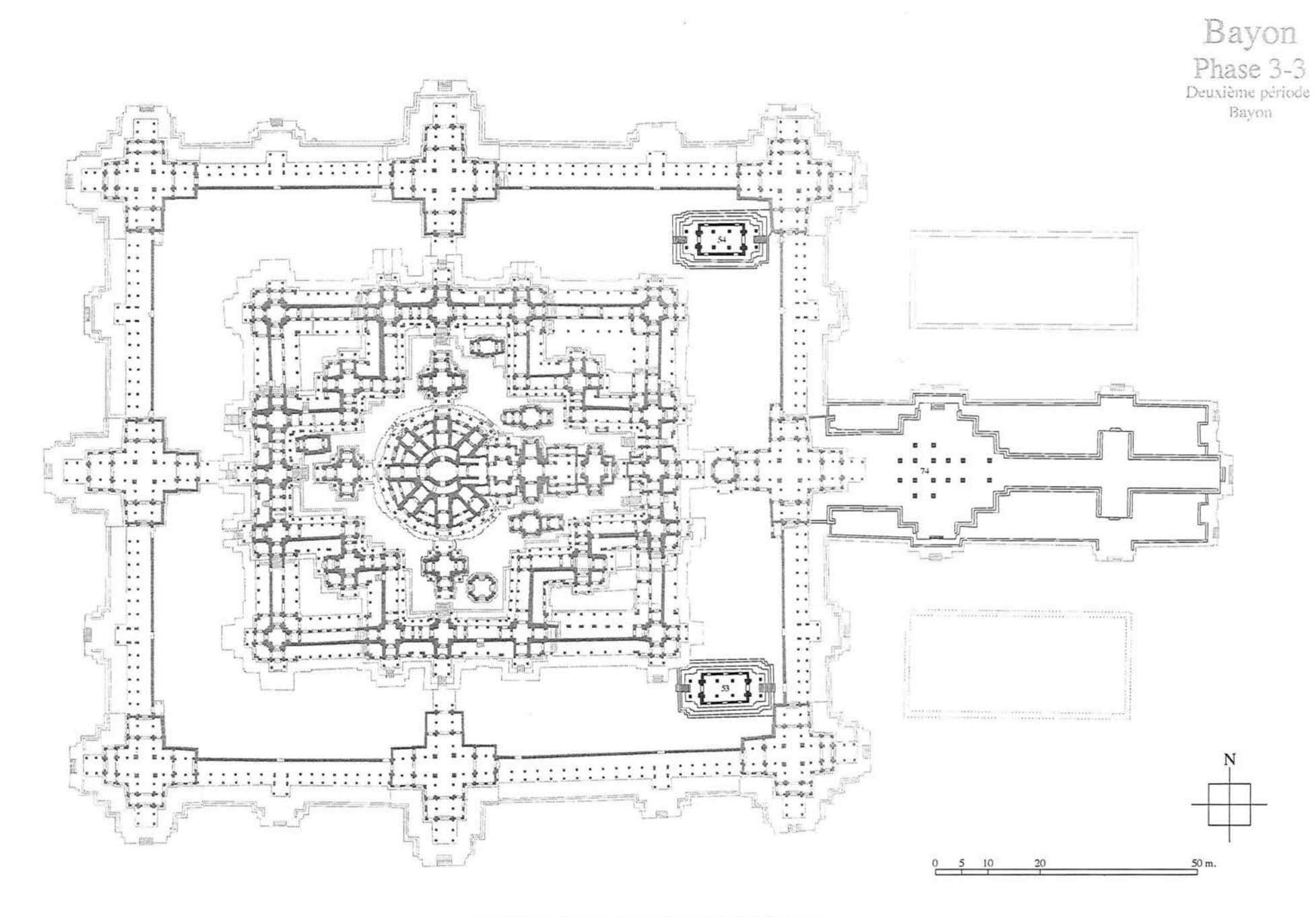


Fig. I-3-1-5.54 : Troisième état de la troisième tranche des travaux du Bayon

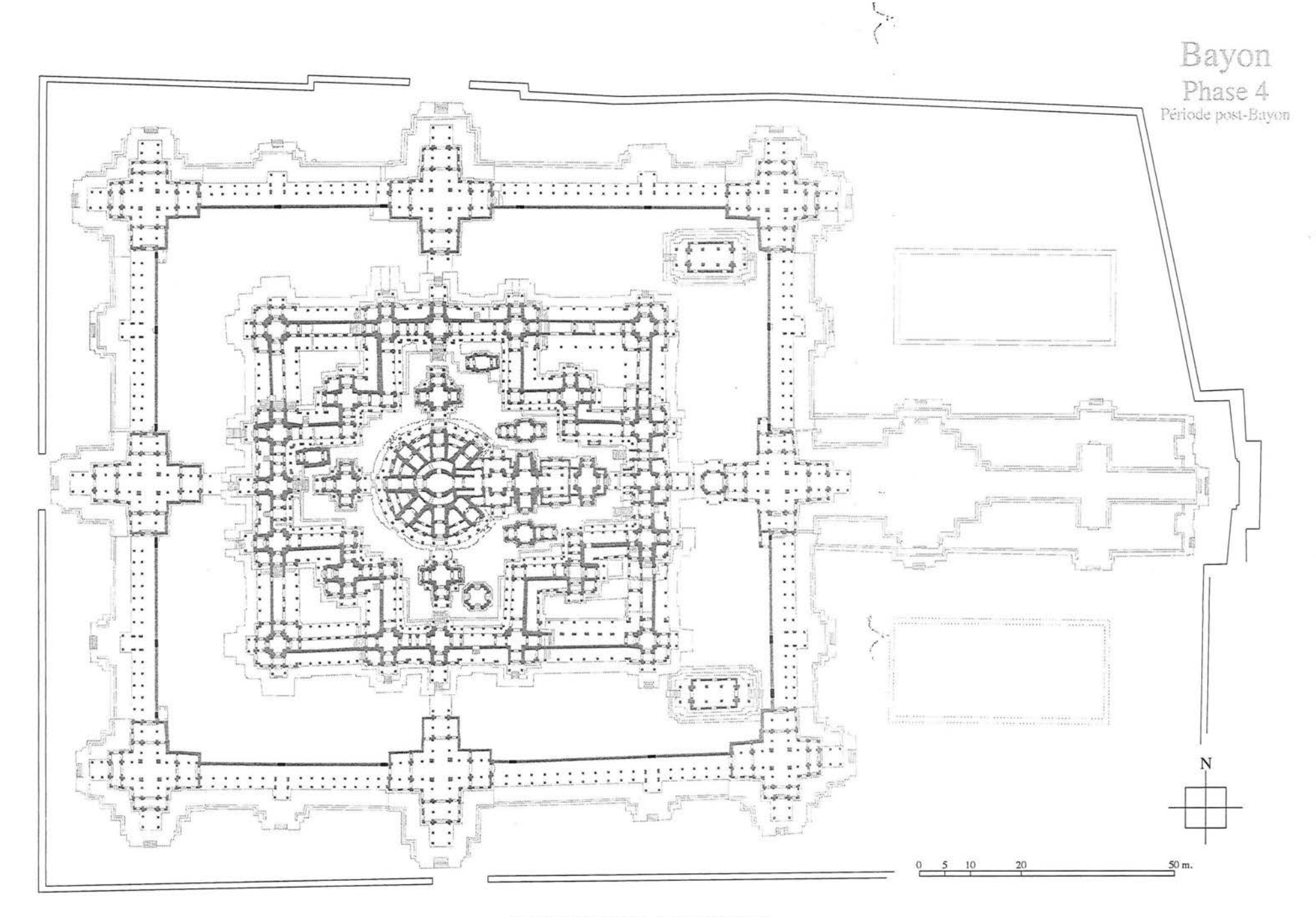


Fig. 1-3-1-5.55 : Quatrième tranche des travaux du Bayon

Bayon Phase 1-2 Deuxième période Preah Khan (Massif central)

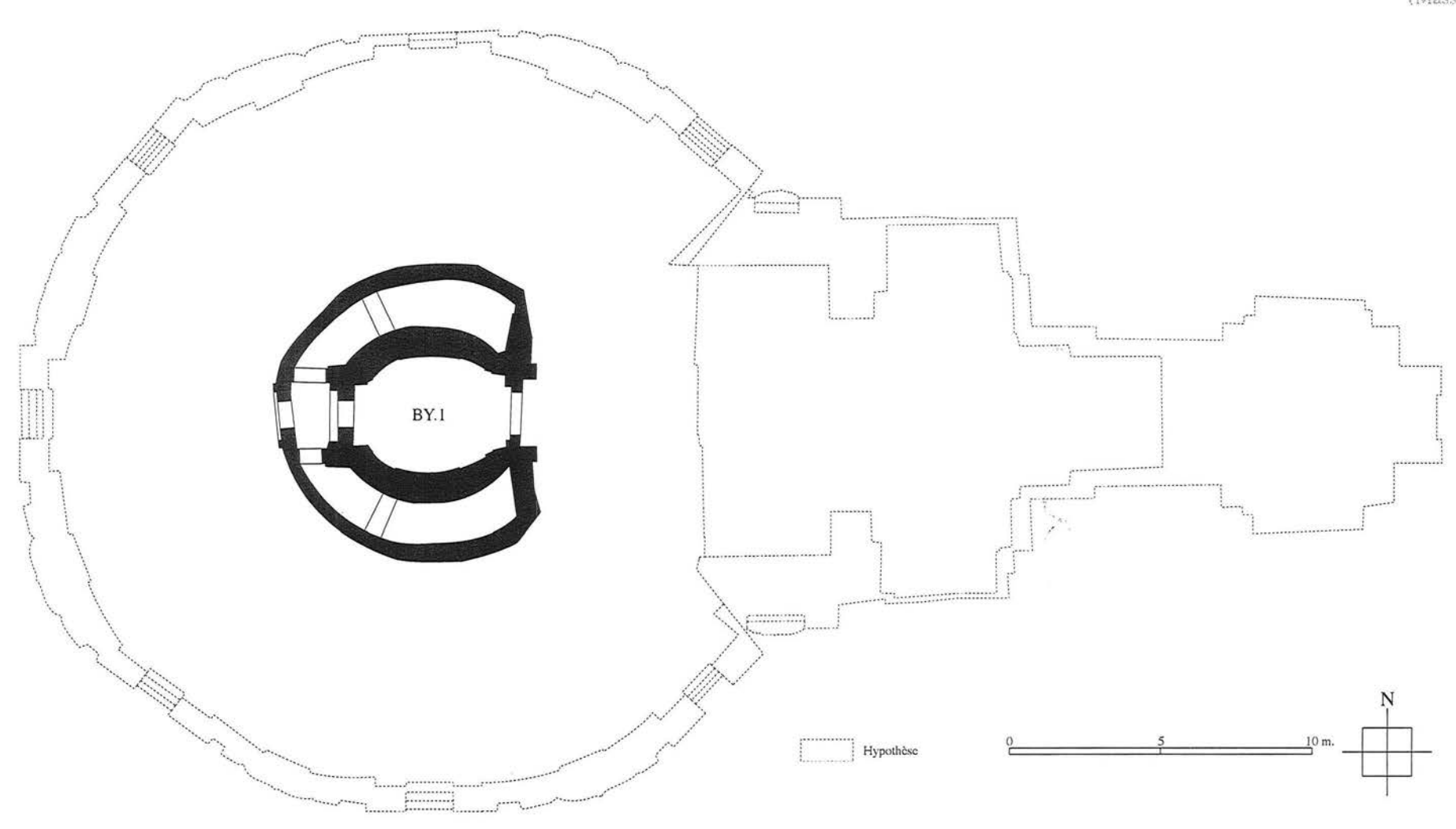


Fig. I-3-1-5.56 : Restitution de la première phase de chantier du massif central du Bayon

Bayon
Phase 1-2
Deuxième période
Preah Khan
(Massif central)

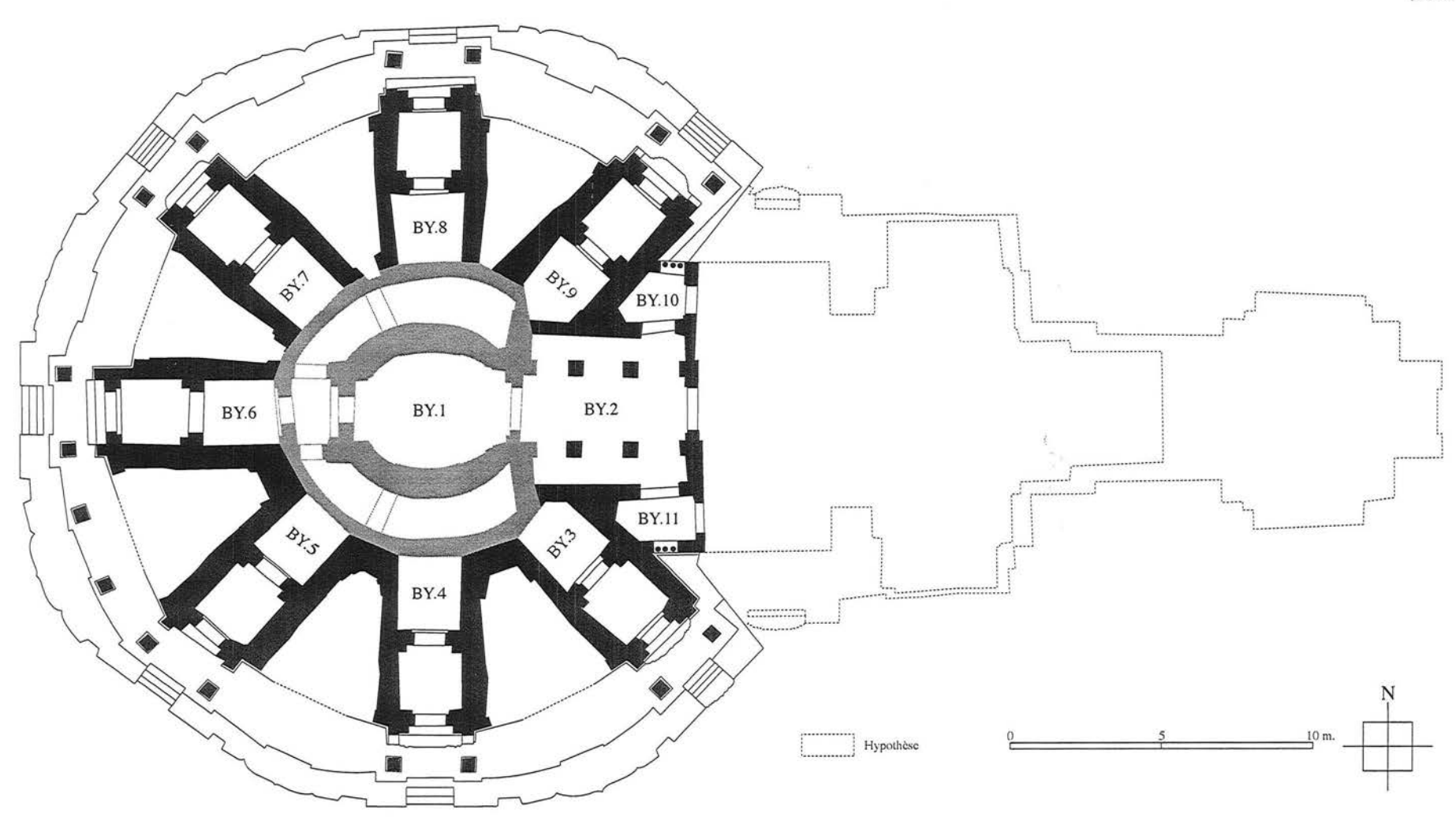


Fig. 1-3-1-5.57 : Restitution de la deuxième phase de chantier du massif central du Bayon

Bayon Phase 1-2 Deuxlème période Preah Khan (Massif central)

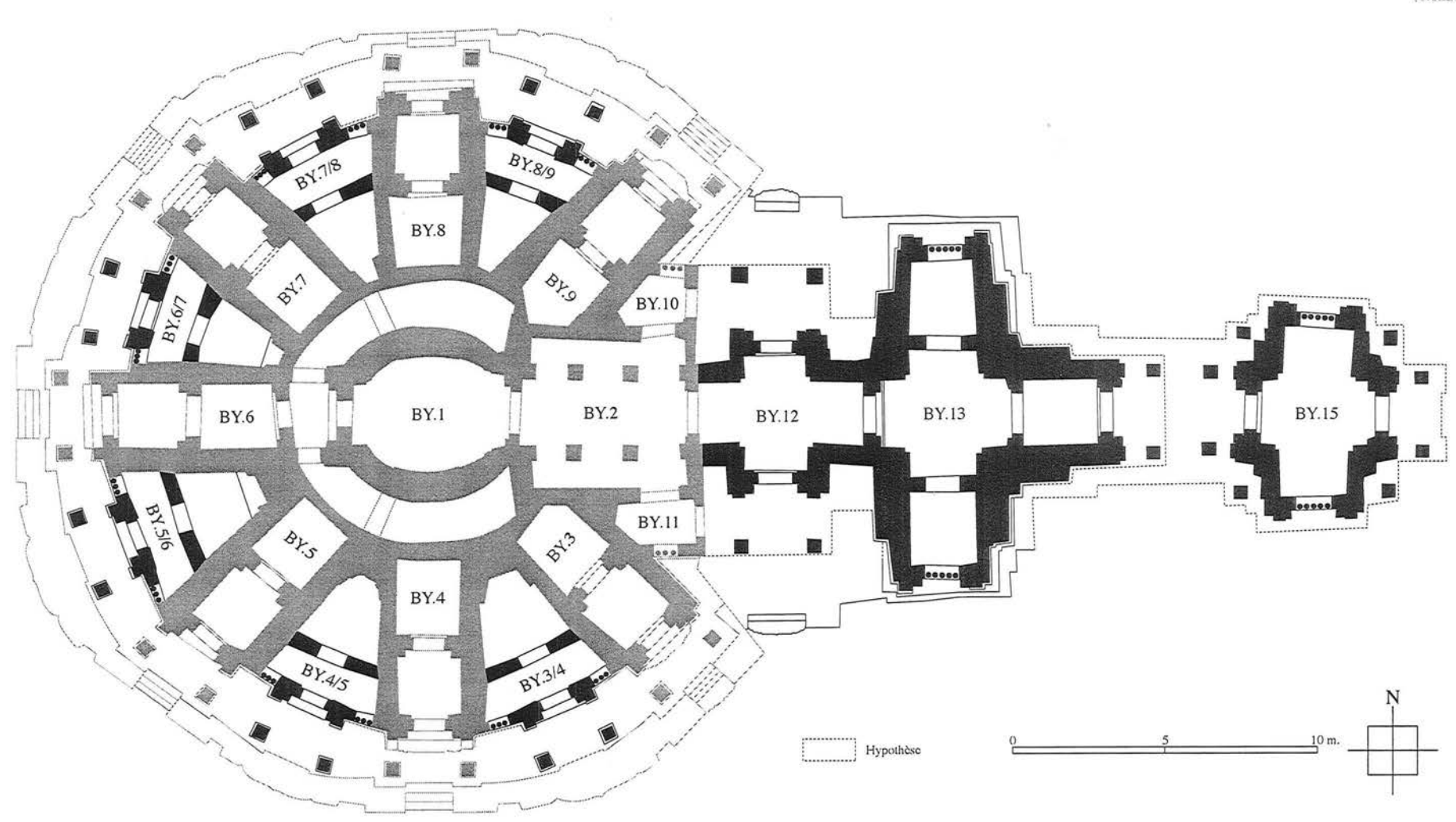


Fig. I-3-1-5.58 : Restitution de la troisième phase de chantier du massif central du Bayon

Bayon Phase 3-1 Deuxième période Bayon (Massif central)

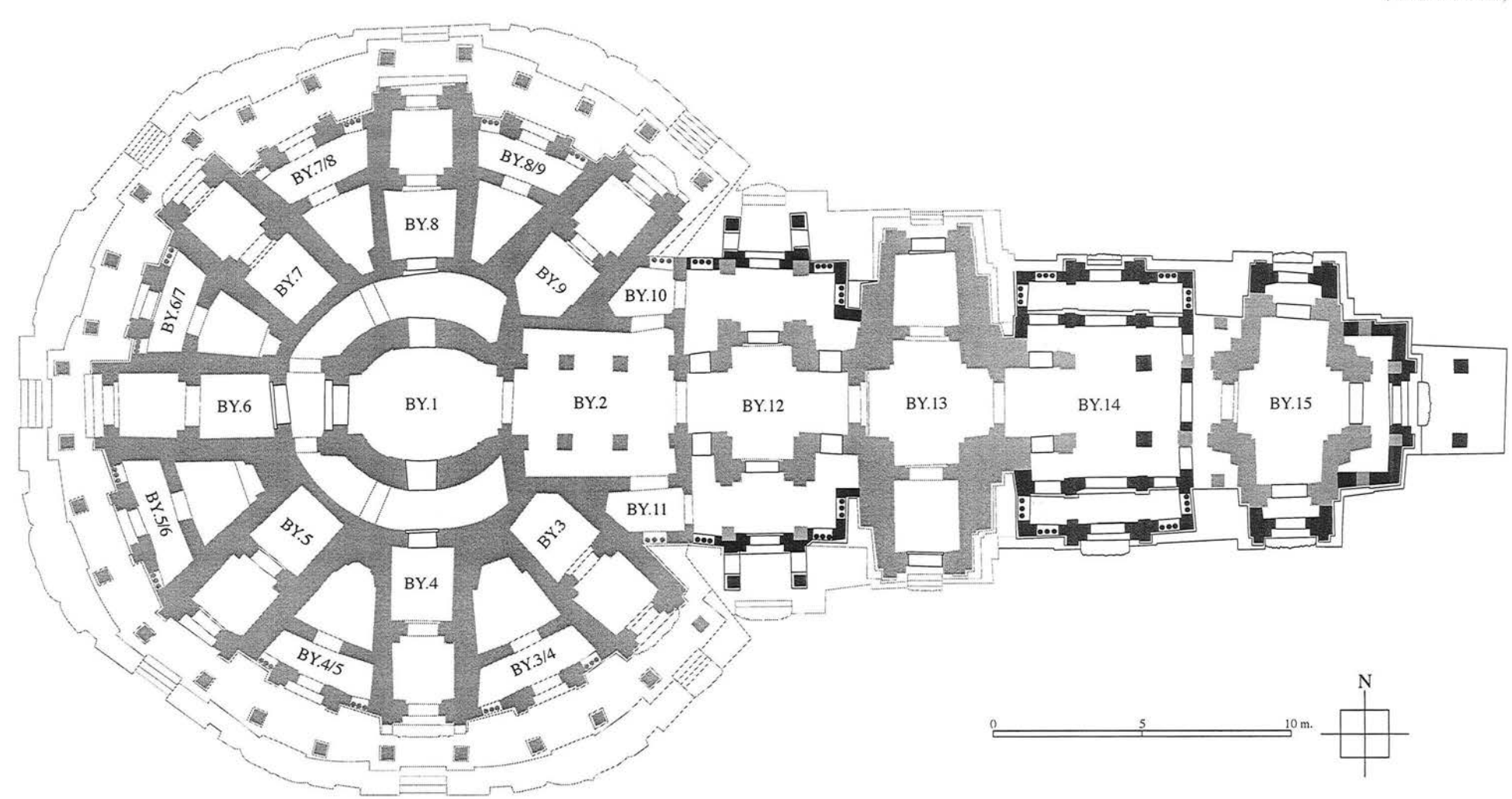


Fig. I-3-1-5.59 : Restitution de la première phase de la reprise du massif central du Bayon

Bayon
Phase 3-2
Deuxième période
Bayon
(Massif central)

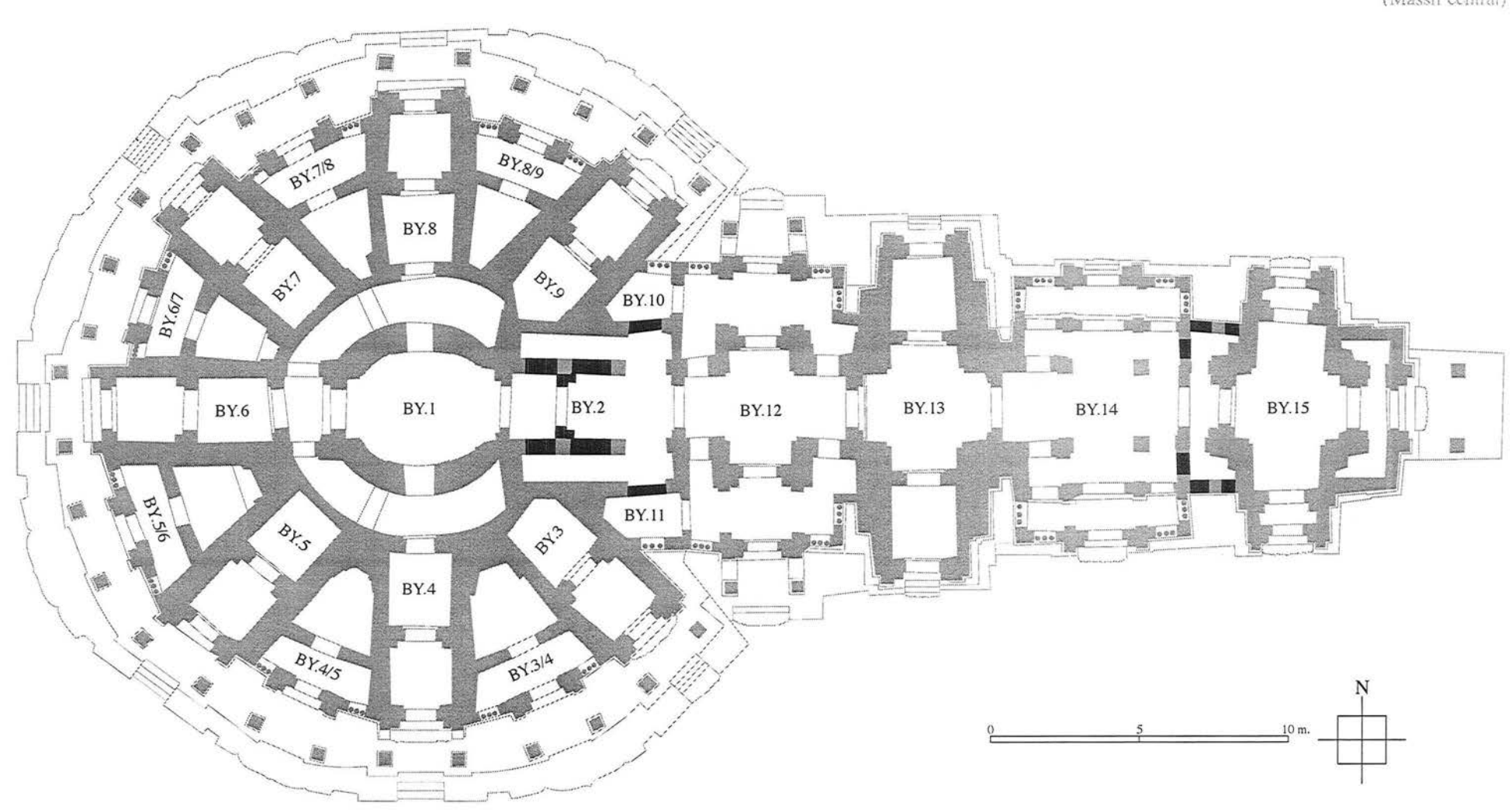
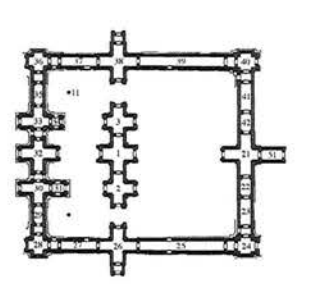


Fig. I-3-1-5.60 : Restitution de la deuxième phase de la reprise du massif central du Bayon



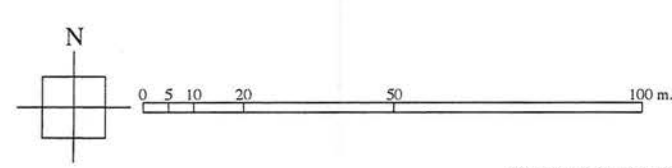
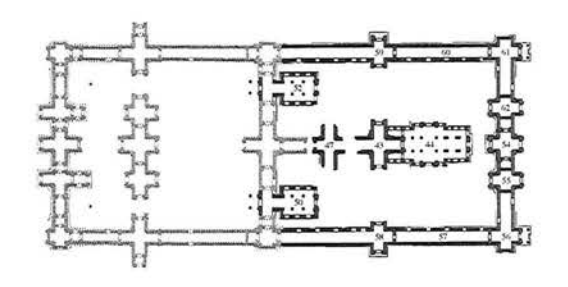


Fig. I-3-1-5.61 : Premier état de la première tranche des travaux de Banteay Chmar



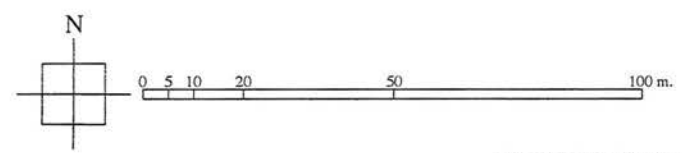
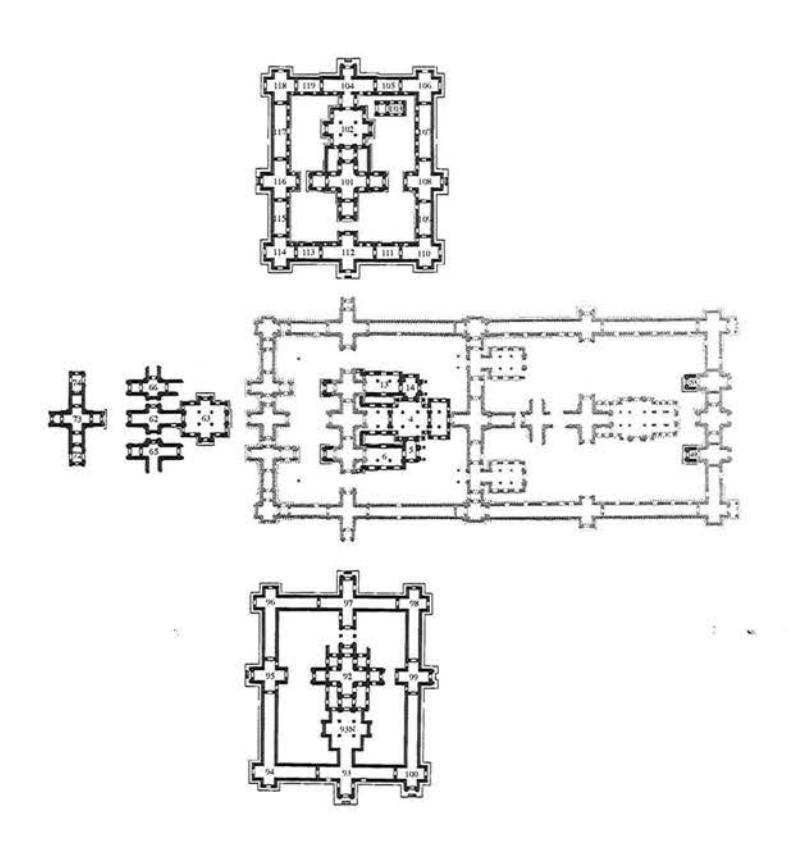


Fig. I-3-1-5.62 : Deuxième état de la première tranche des travaux de Banteay Chmar



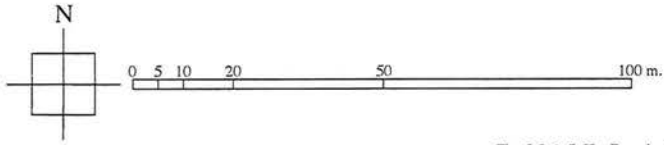
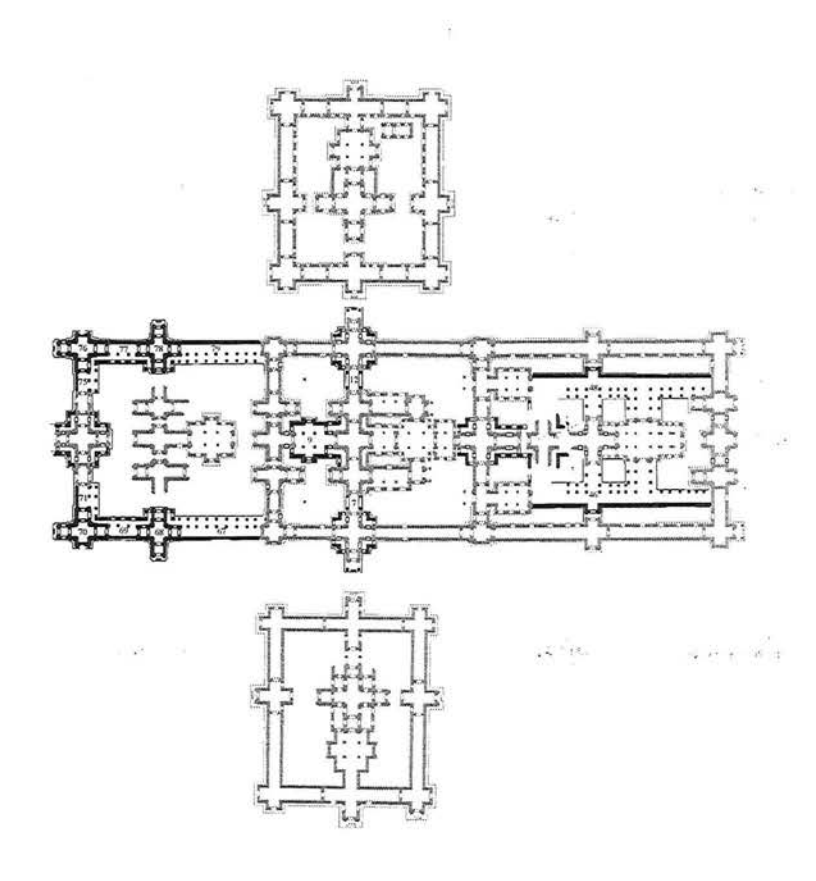


Fig. I-3-1-5.63 : Premier état de la deuxième tranche des travaux de Banteay Chmar



14 27 3 JAY

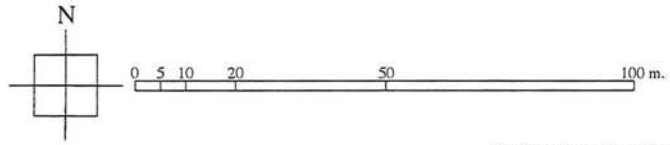


Fig. I-3-1-5.64 : Deuxième état de la deuxième tranche des travaux de Banteay Chmar

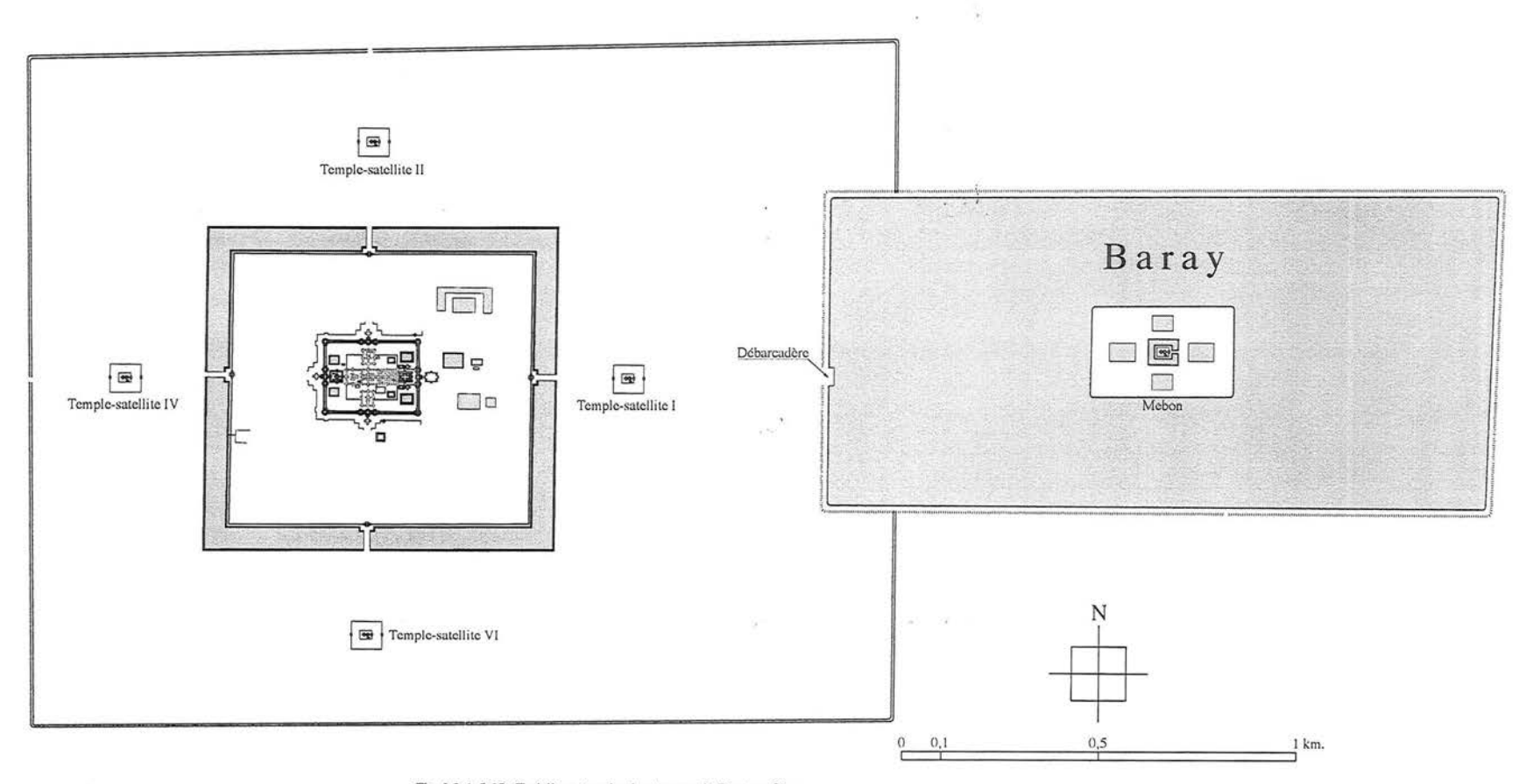
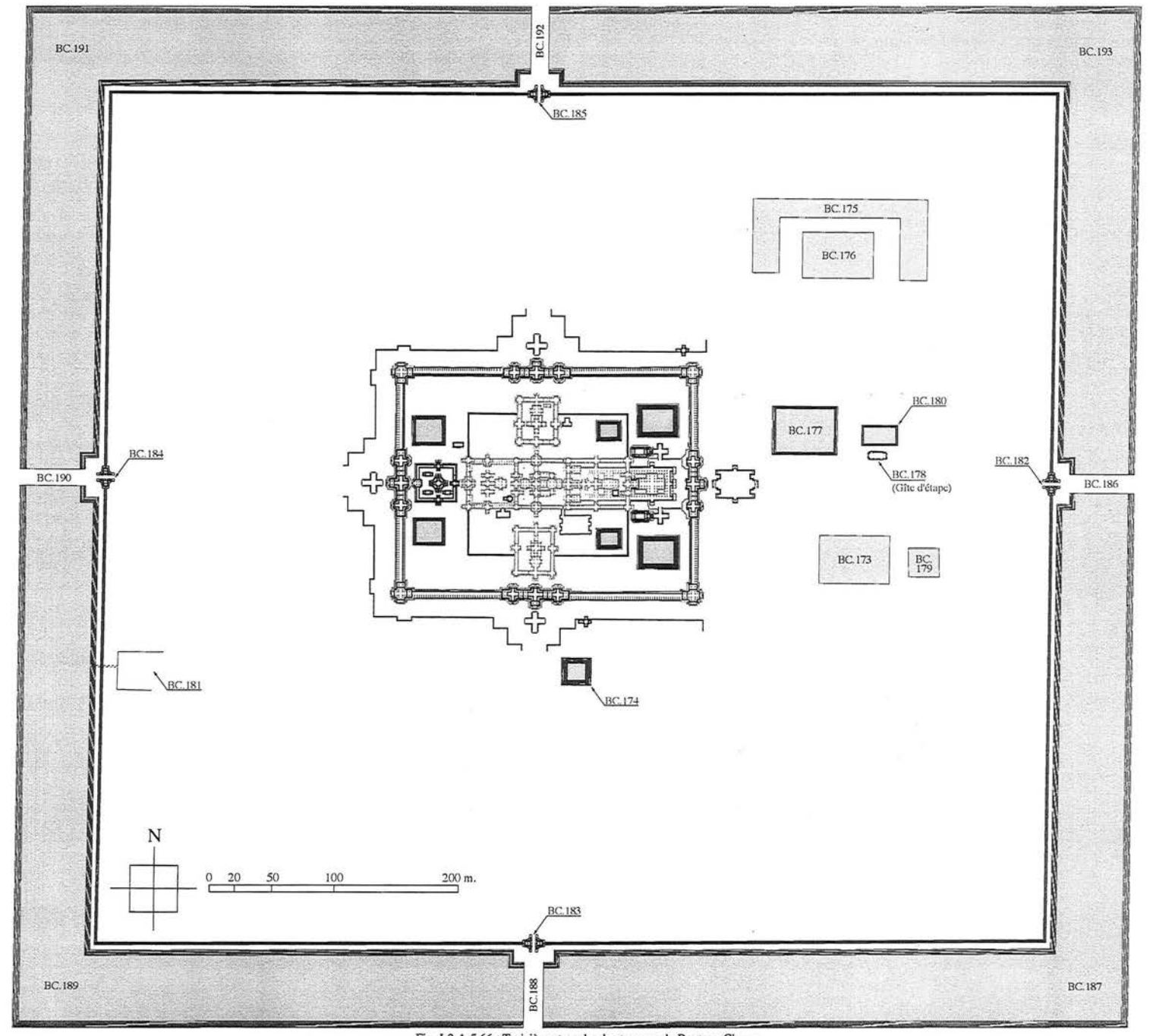


Fig. 1-3-1-5.65 : Troisième tranche des travaux de Banteay Chmar — Création de la première génération de temples-satellites, du mebon et du domaine —



Banteay Chmar Phase 3 Denxième période Bayon

Fig. 1-3-1-5.66 : Troisième tranche des travaux de Banteay Chmar

— Création de la première génération de temples-satellites, du mebon et du domaine —

Banteay Chmar Phase 3 Deuxième période Bayon 148 Fig. I-3-1-5.67 : Troisième tranche des travaux de Banteay Chmar



Temple-satellite V

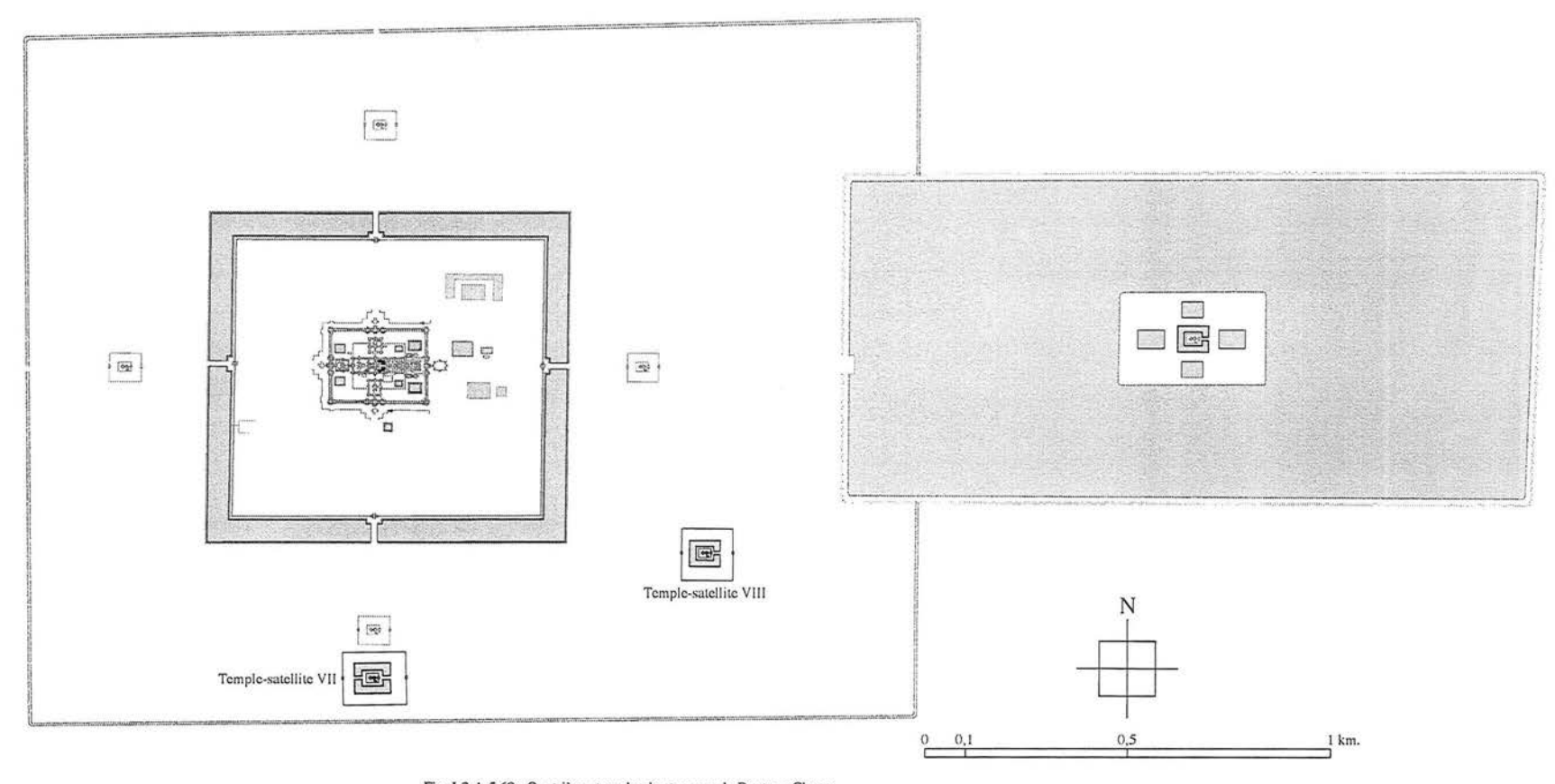
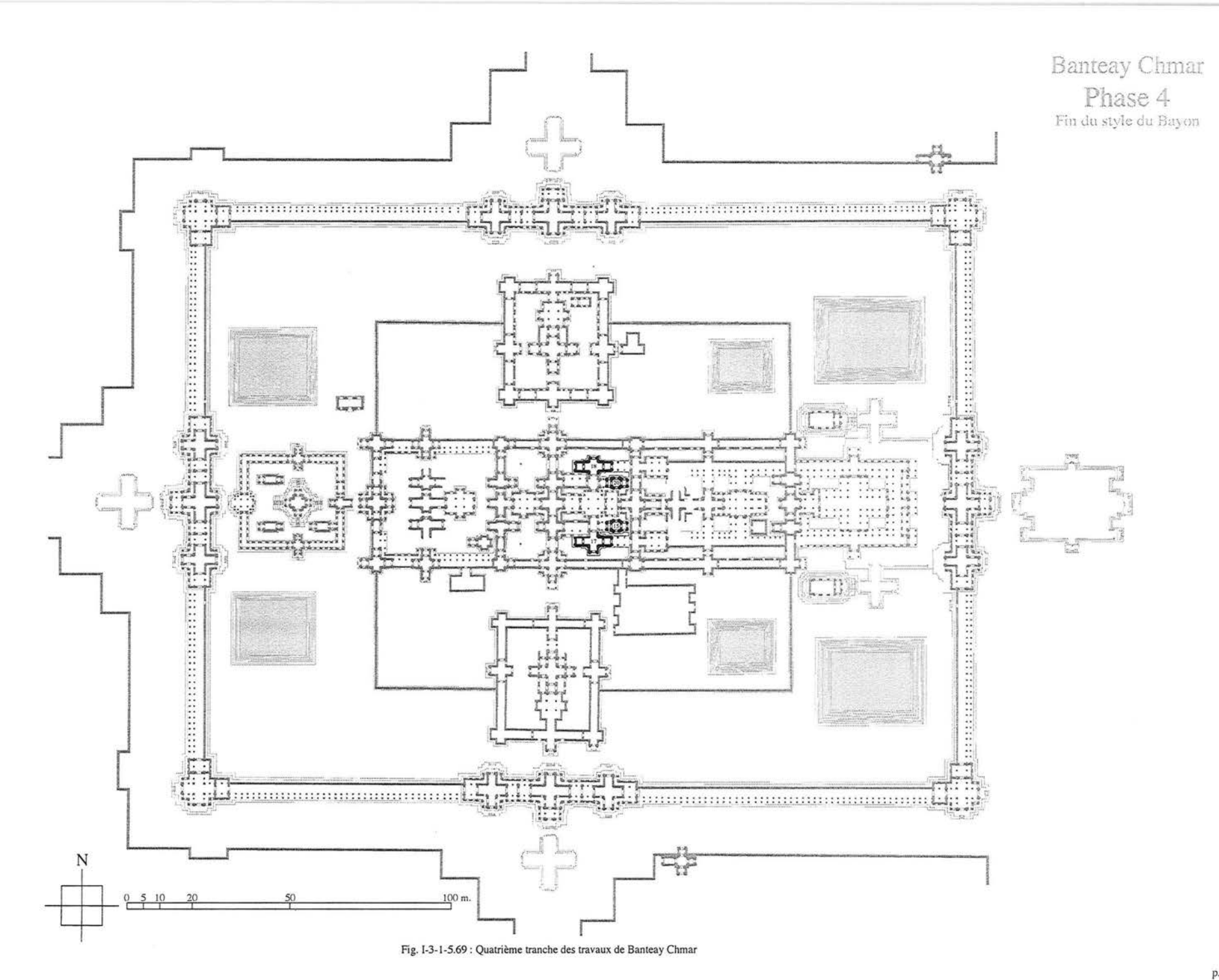


Fig. I-3-1-5.68 : Quatrième tranche des travaux de Banteay Chmar — Création de la seconde génération de temples-satellites —



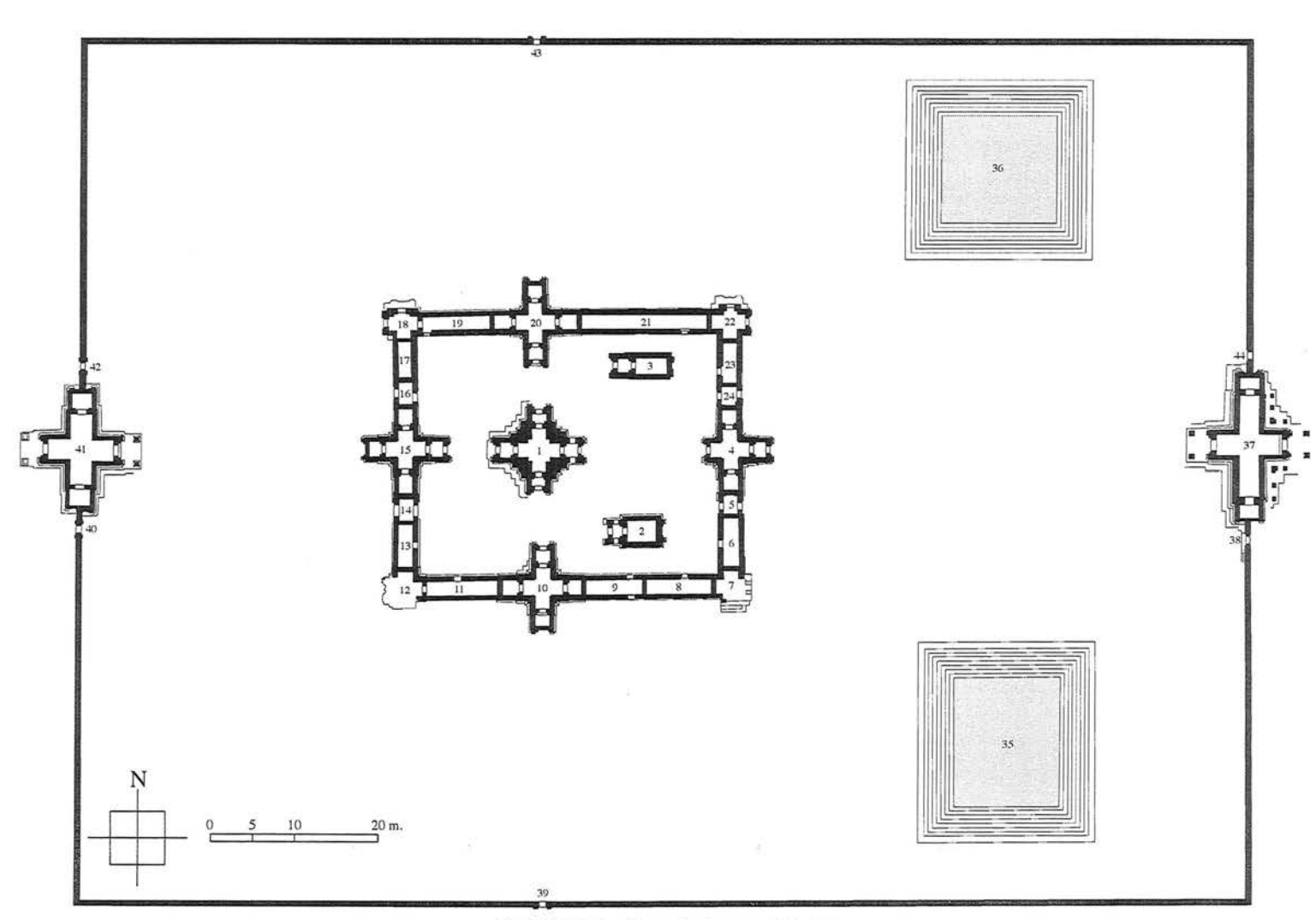
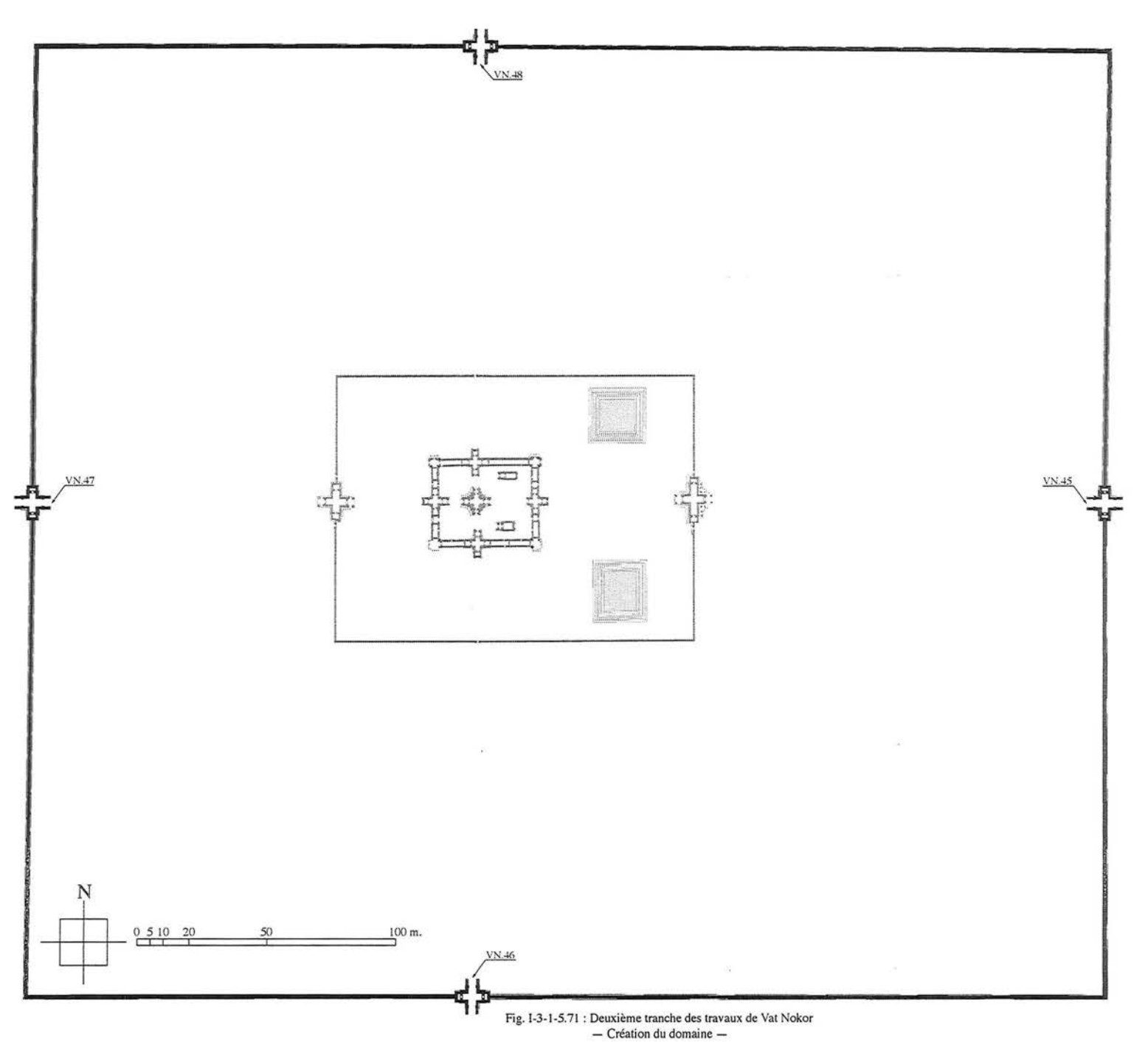


Fig. I-3-1-5.70 : Première tranche des travaux de Vat Nokor



Vat Nokor
Phase 2
Première période Bayon

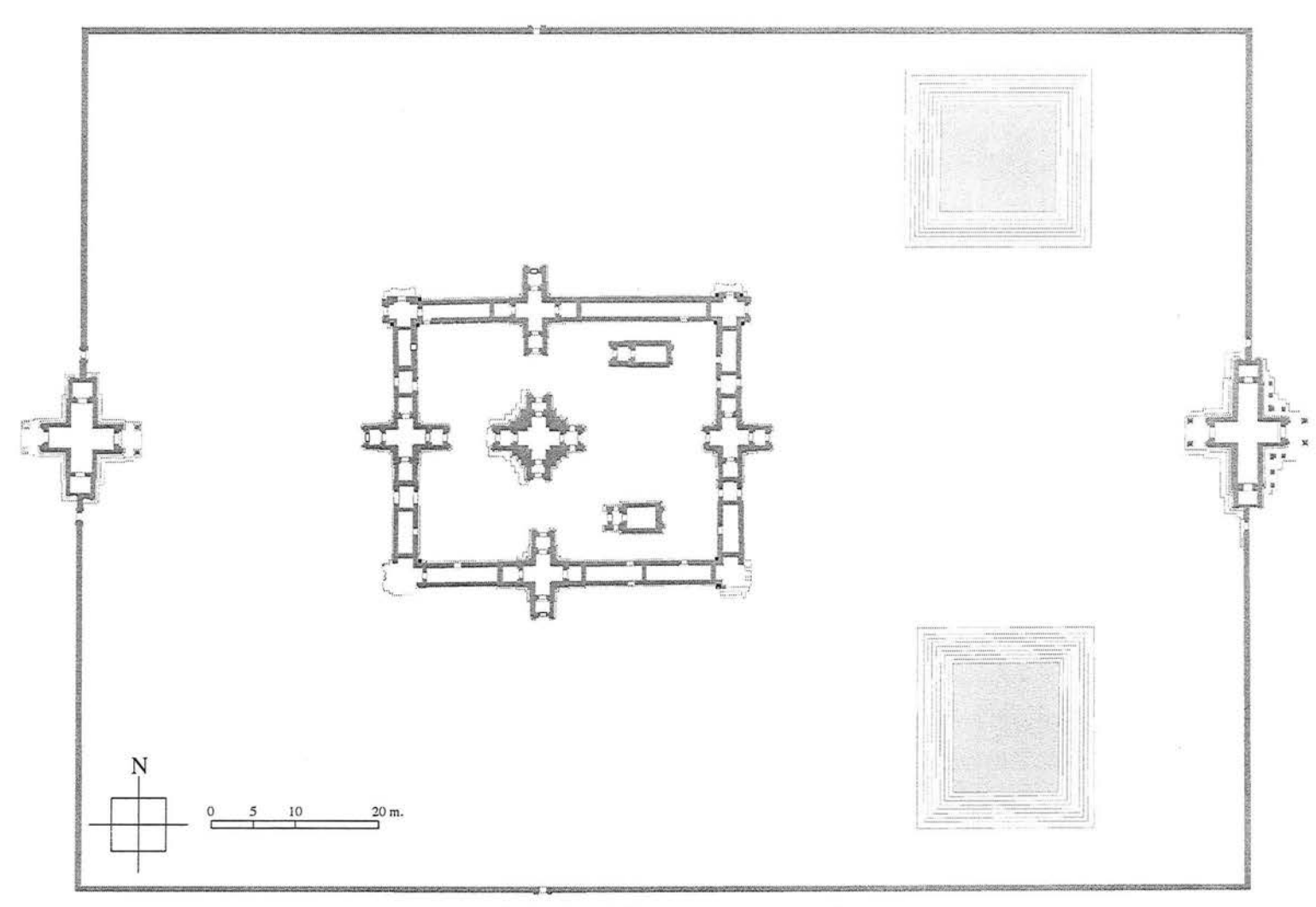


Fig. I-3-1-5.72 : Deuxième tranche des travaux de Vat Nokor

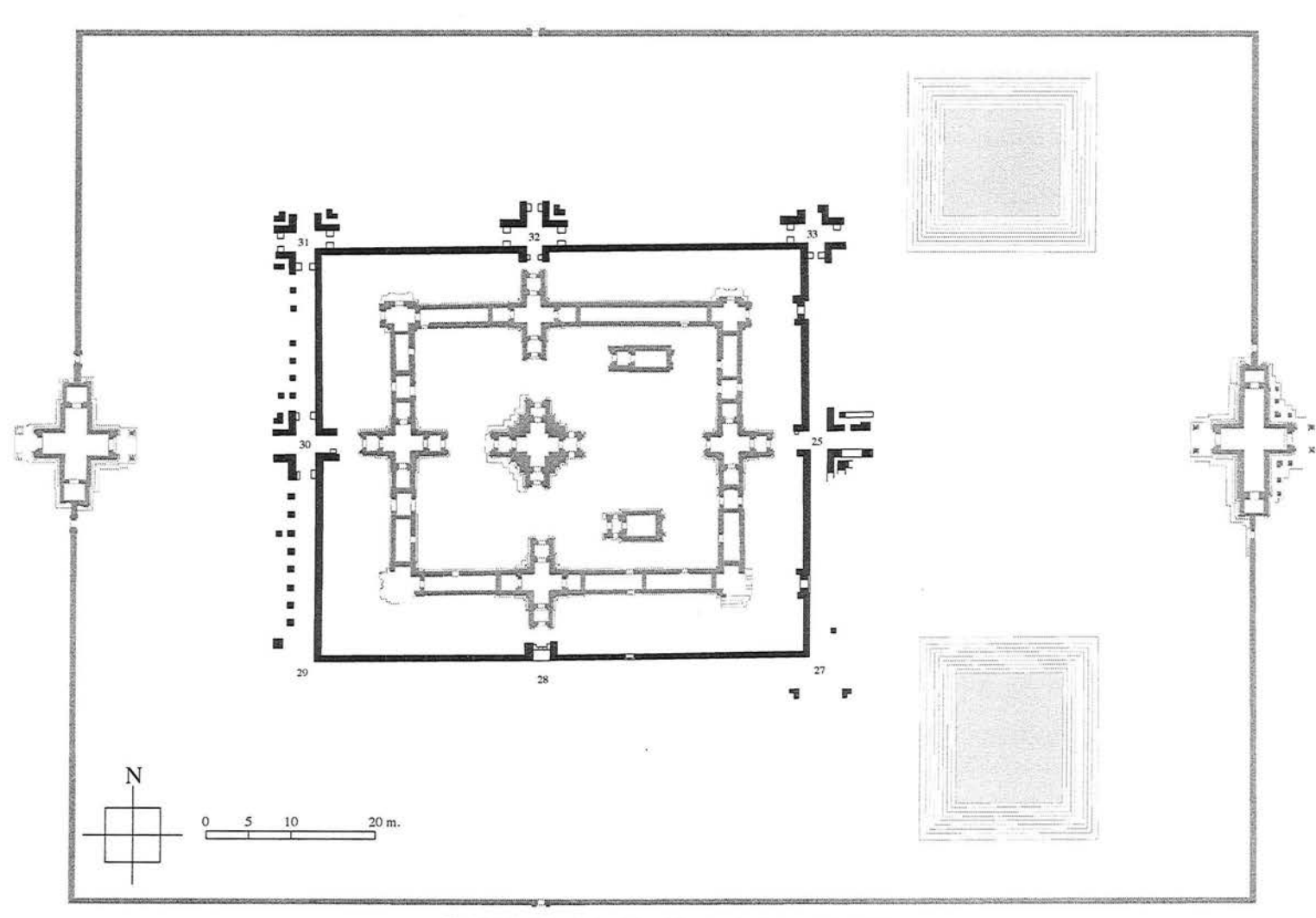


Fig. I-3-1-5.73 : Premier état de la troisième tranche des travaux de Vat Nokor

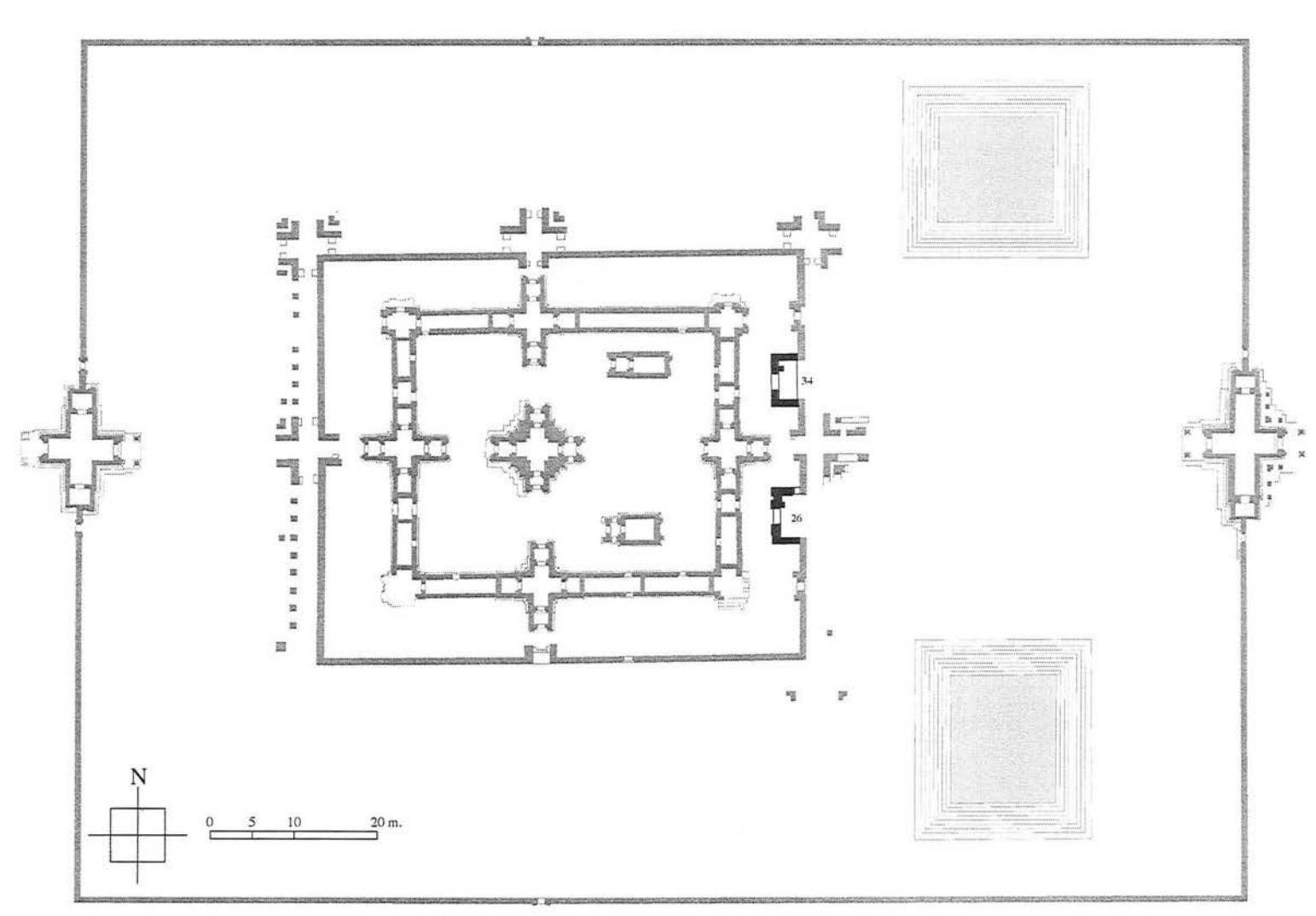


Fig. I-3-1-5.74 : Deuxième état de la troisième tranche des travaux de Vat Nokor

Ta Prohm de Bati Phase 1 Deuxième période Prenh Khan

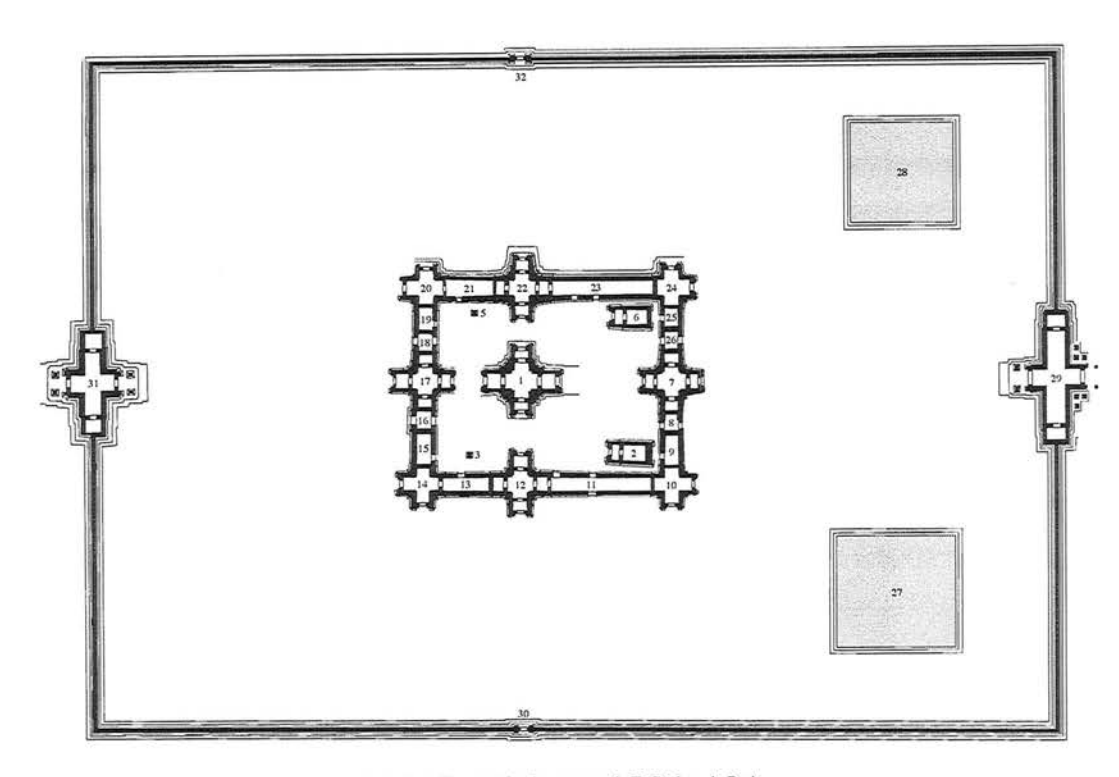
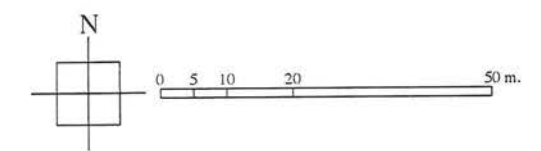


Fig. I-3-1-5.75 : Première tranche des travaux de Ta Prohm de Bati





Ta Prohm de Bati Phase 2 Première période Bayon

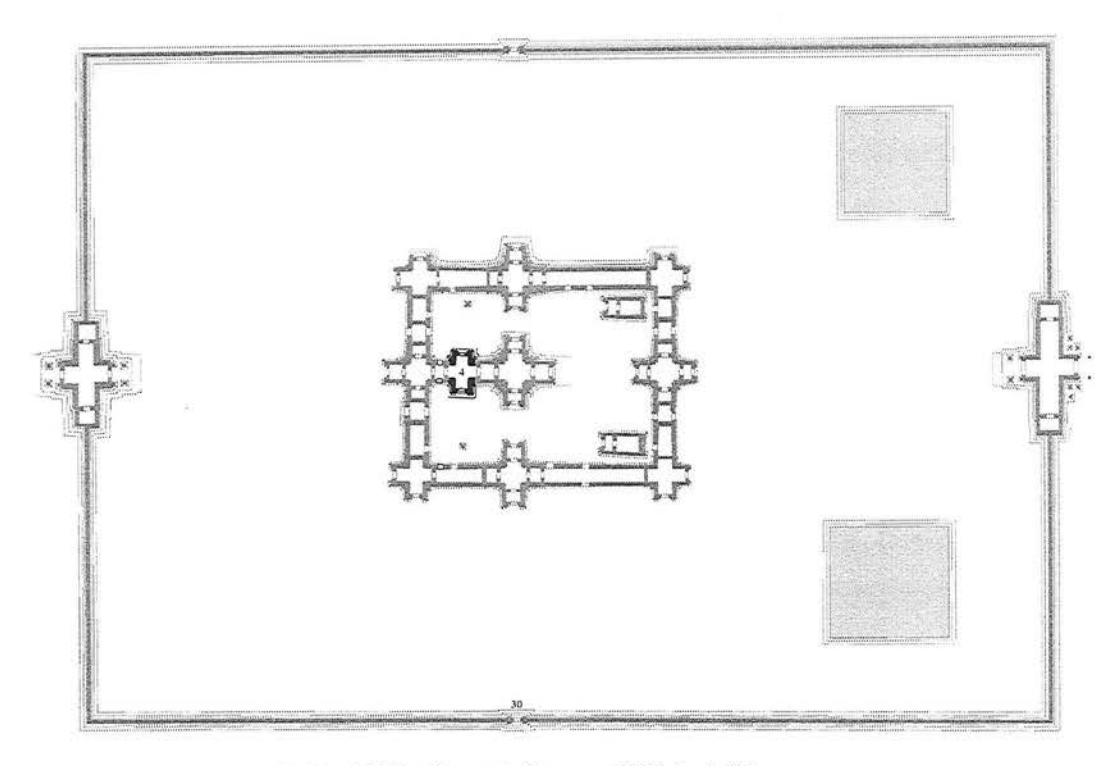
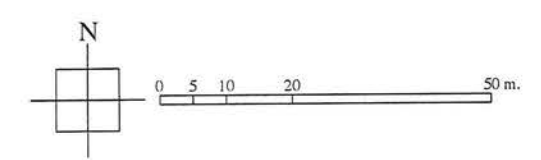


Fig. I-3-1-5.76 : Deuxième tranche des travaux de Ta Prohm de Bati





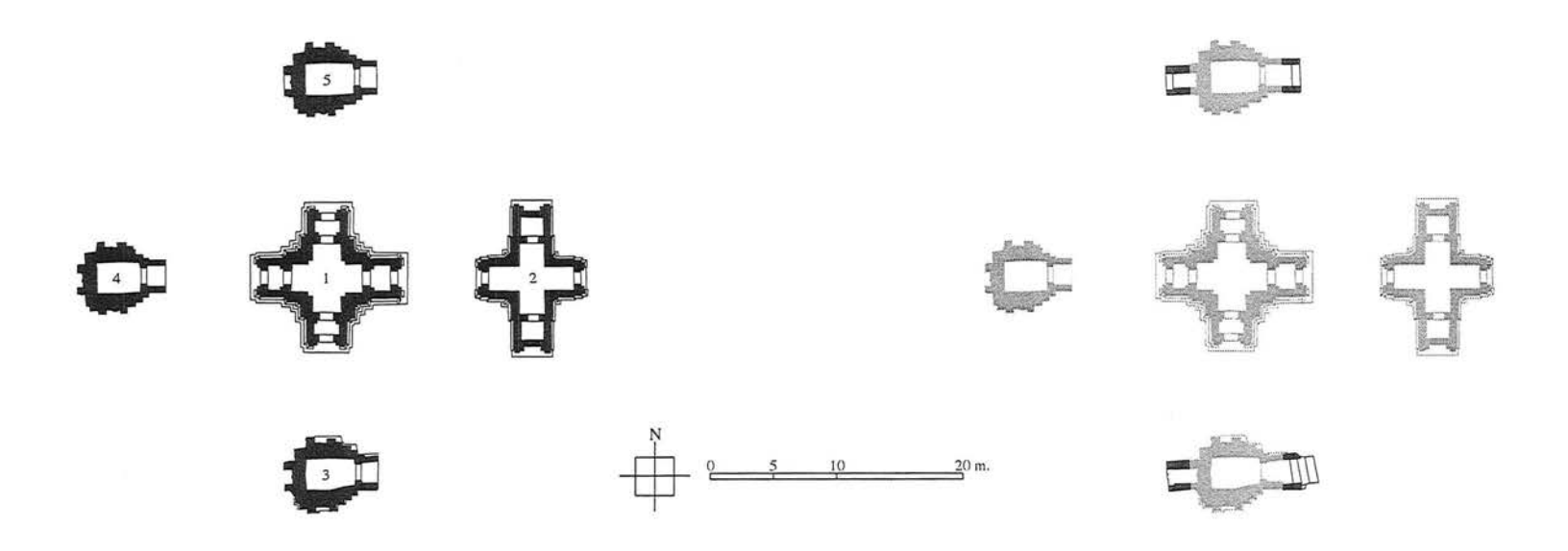


Fig. I-3-1-5.77 : Première tranche des travaux du Wat Kamphaeng Laeng (Première période Preah Khan)

Fig. I-3-1-5.78: Deuxième tranche des travaux du Wat Kamphaeng Laeng

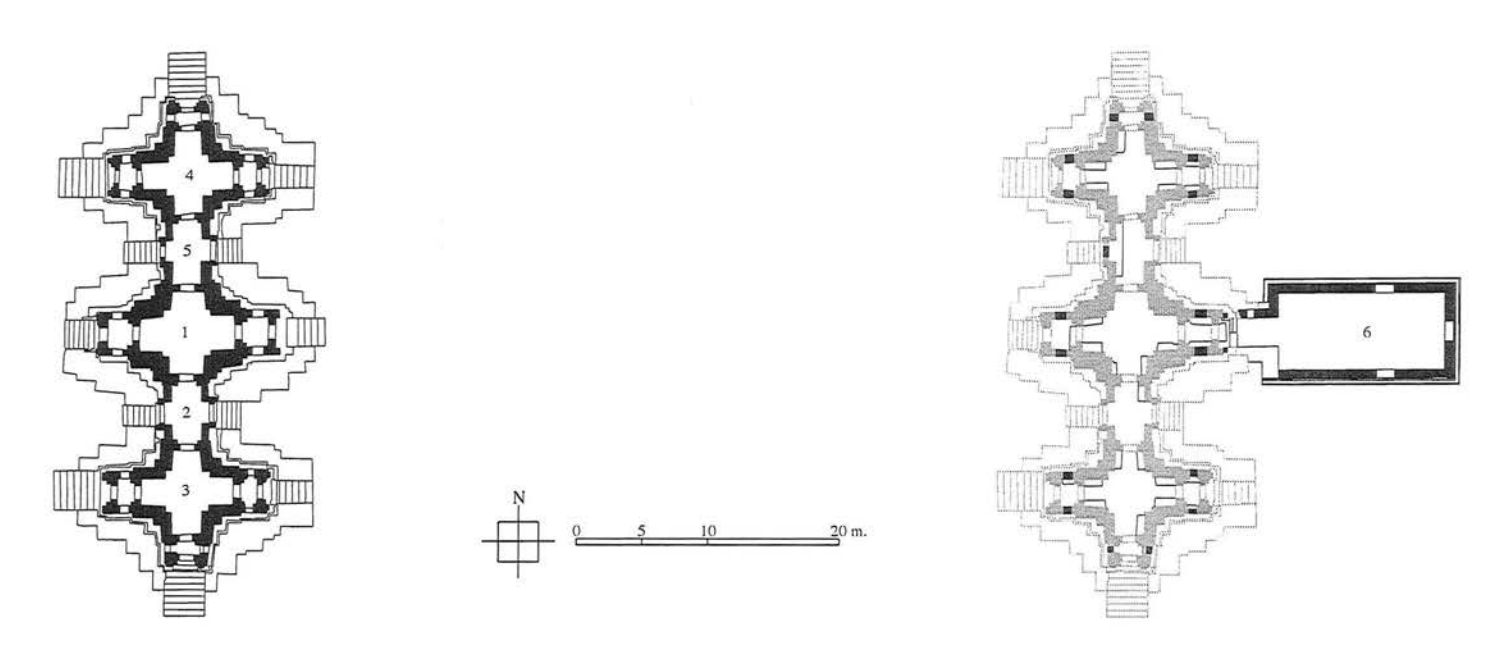


Fig. I-3-1-5.79 : Première tranche des travaux du Phra Prang Sam Yod

Fig. I-3-1-5.80 : Deuxième tranche des travaux du Phra Prang Sam Yod

CLASSEMENT TYPOLOGIQUE DES PRINCIPAUX MONUMENTS DU STYLE DU BAYON

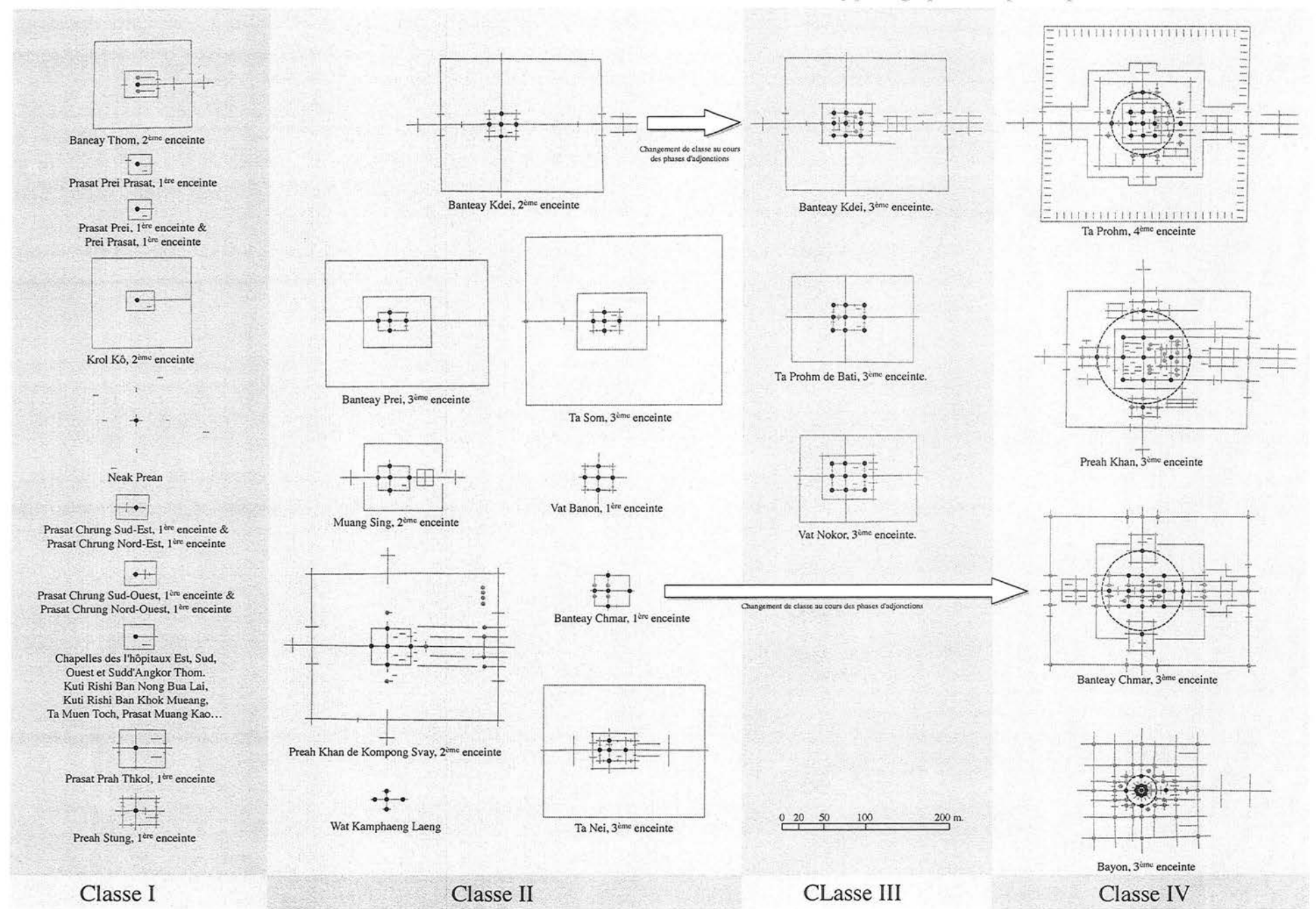


Fig. 1-4-2-4.1: Classement des principaux monuments du style du Bayon par leur modèle de distribution de leurs tours-sanctuaire

DOCUMENTATIONS POUR LA RESTITUTION DU BAYON DANS SON DERNIER ÉTAT

Tours à visages à Banteay Chmar	p. 2	295 à p. 298
Tours à visages au Bayon	p. 2	299 à p. 301
Cloisonnements en bois au Bayon	p. 3	02 à p. 304

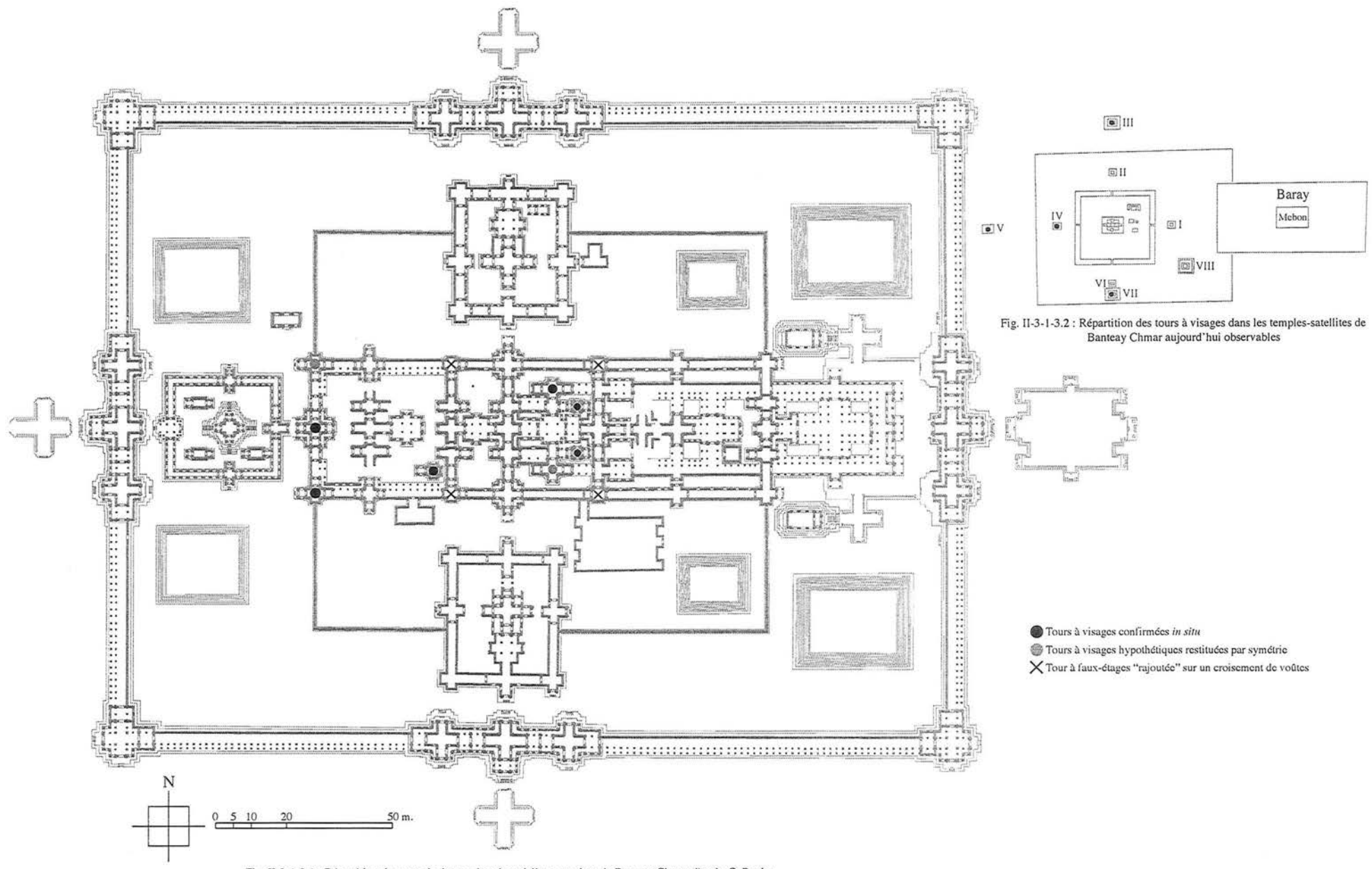


Fig. II-3-1-3.1 : Répartition des tours à visages dans la troisième enceinte de Banteay Chmar d'après C. Pottier

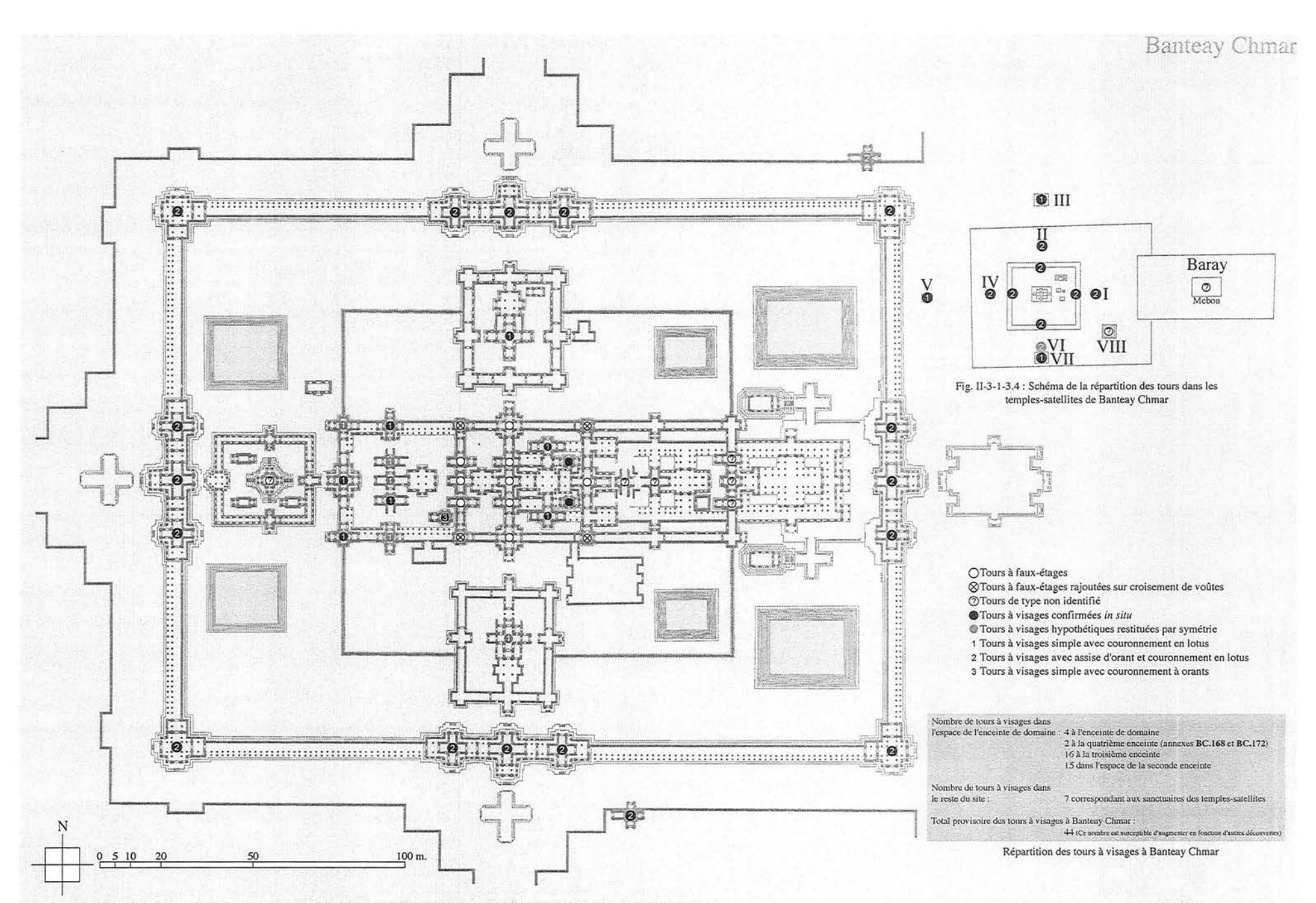
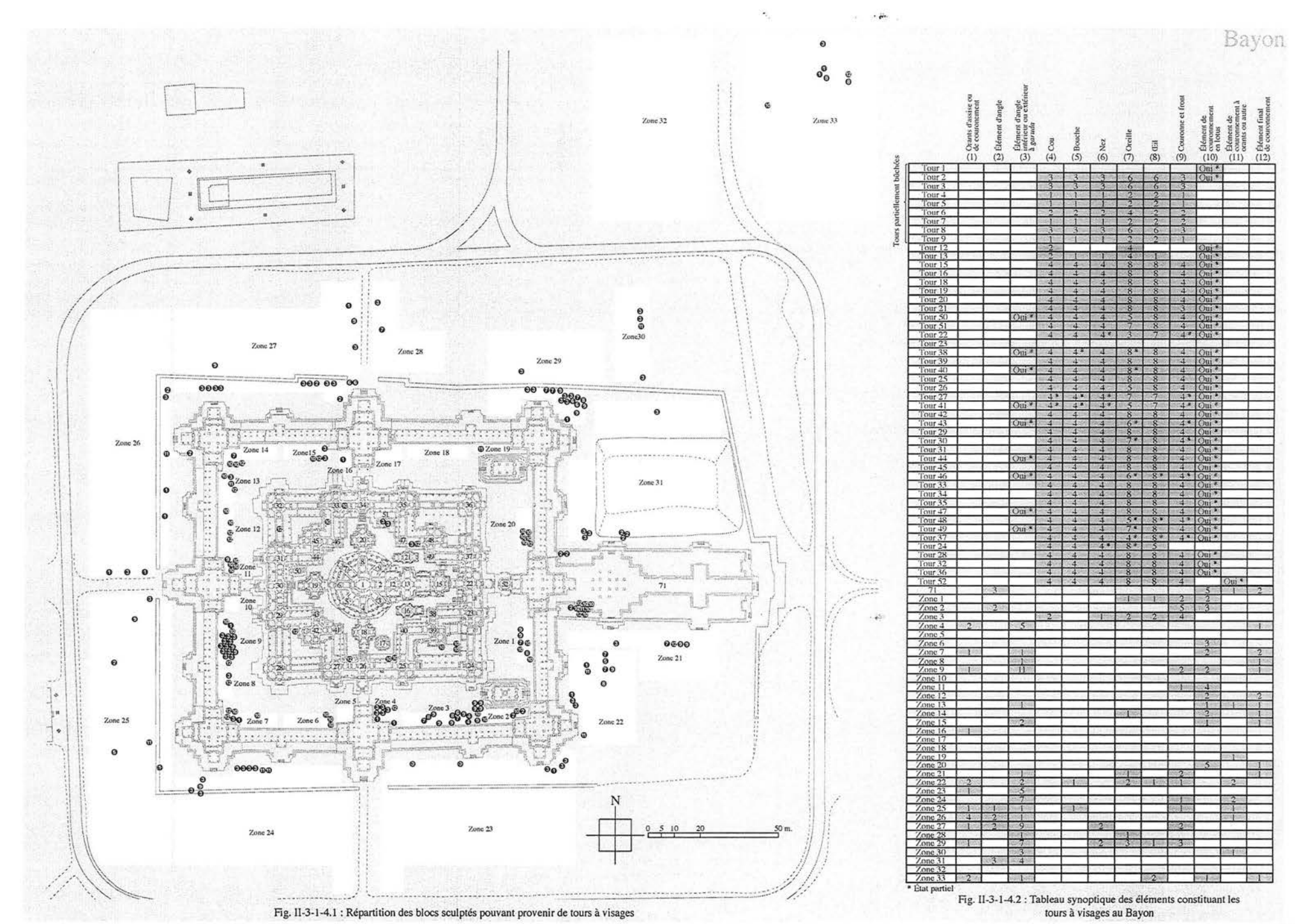


Fig. II-3-1-3.3 : Répartition des tours dans le complexe principal de Banteay Chmar



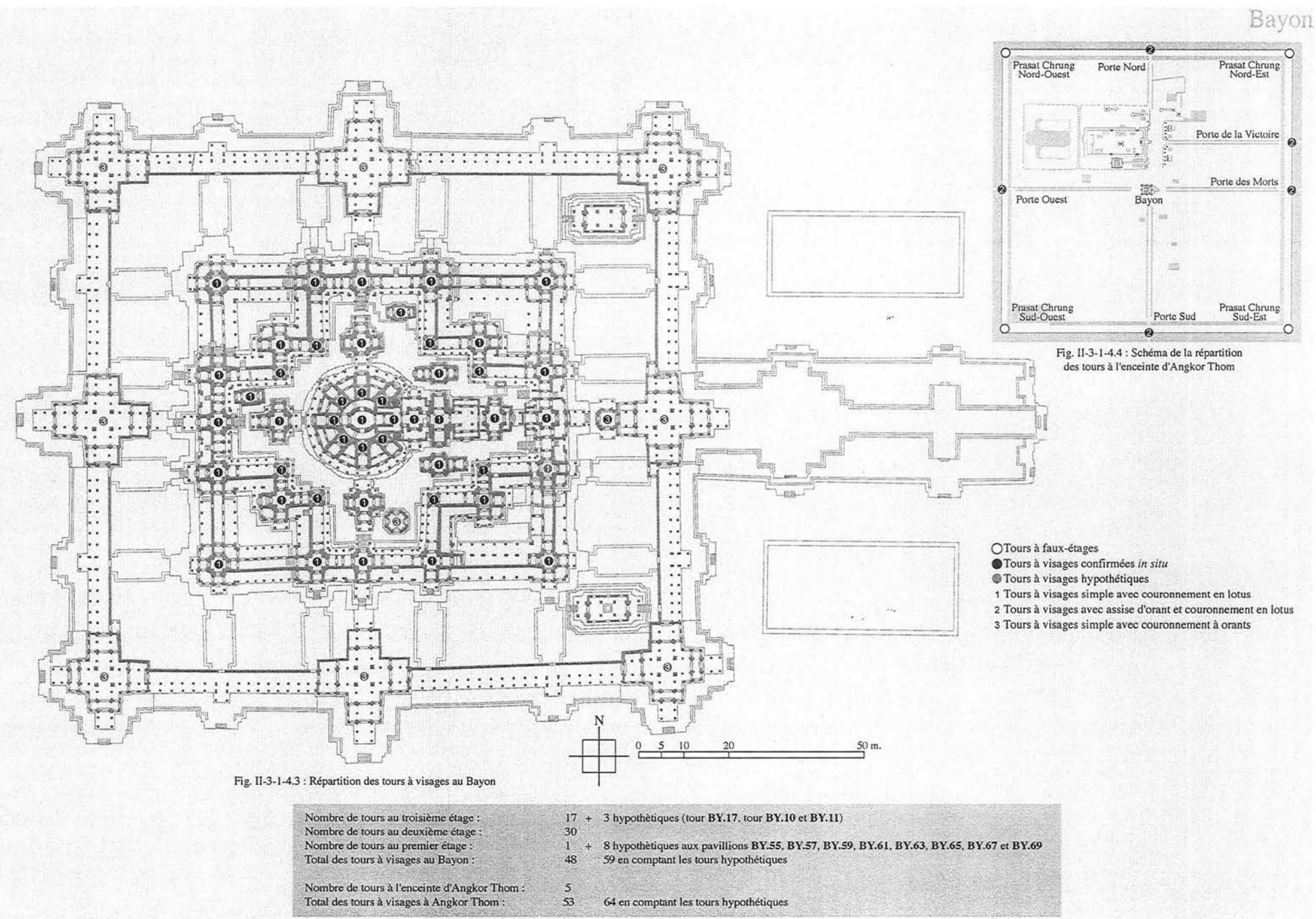
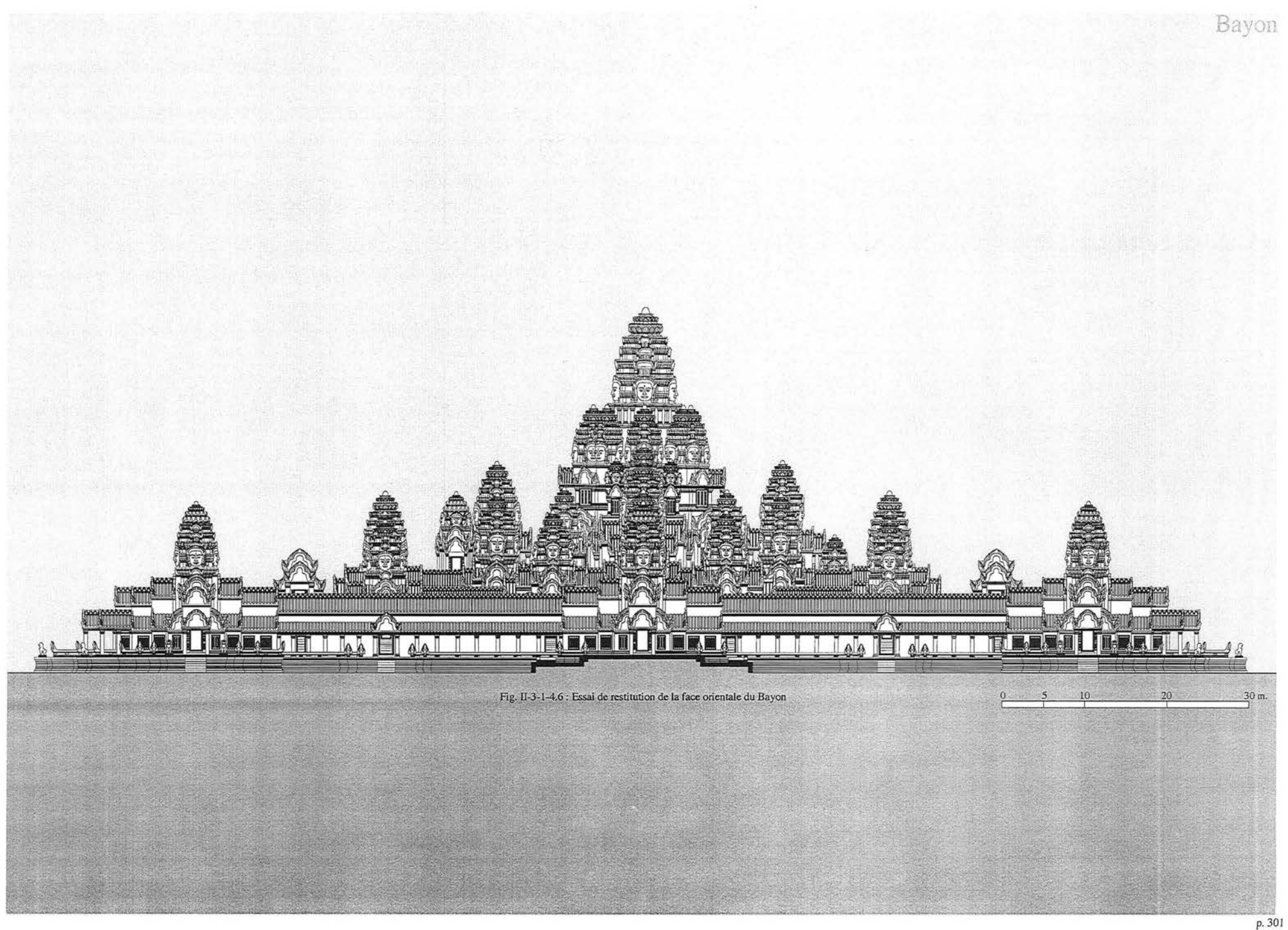
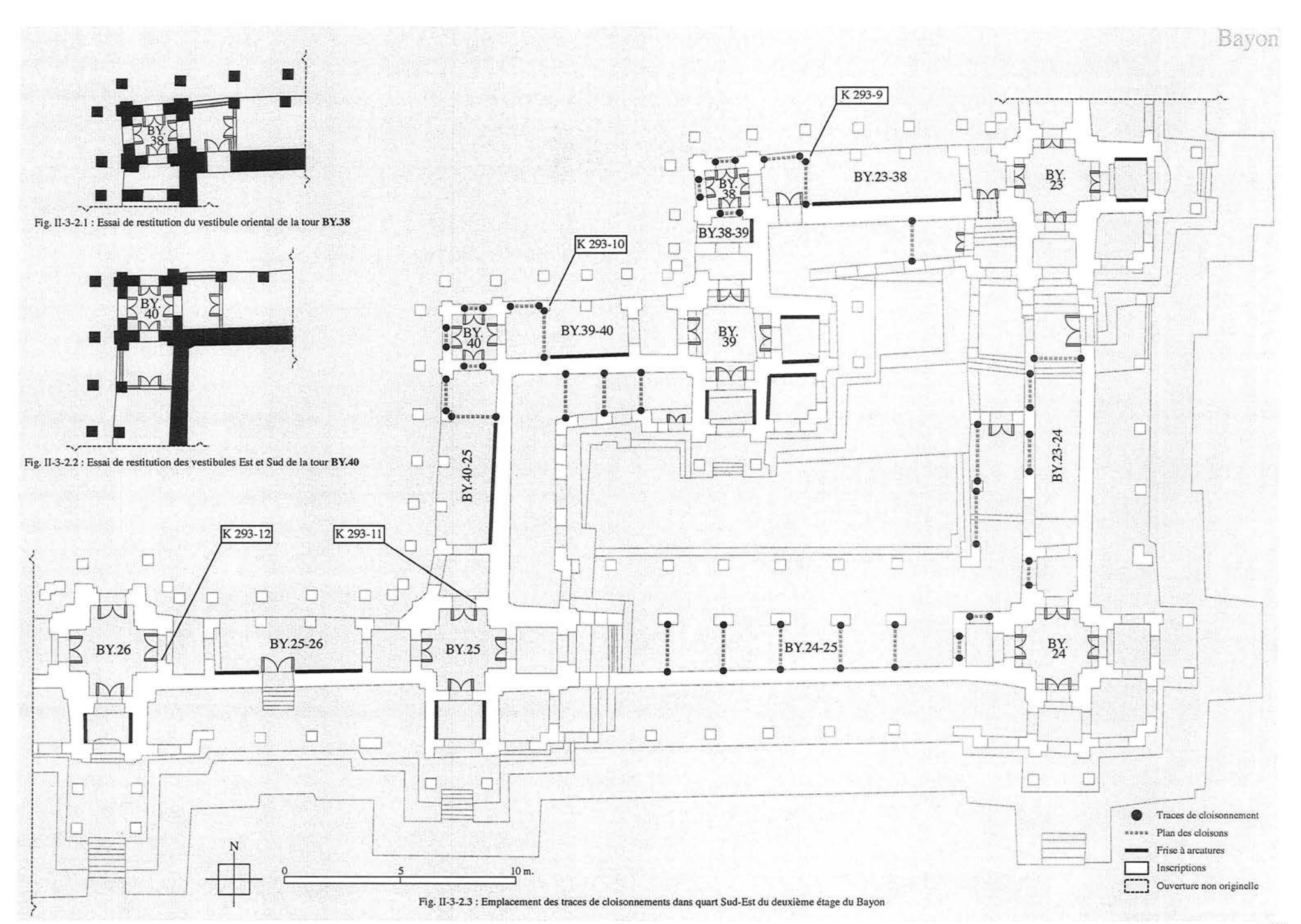
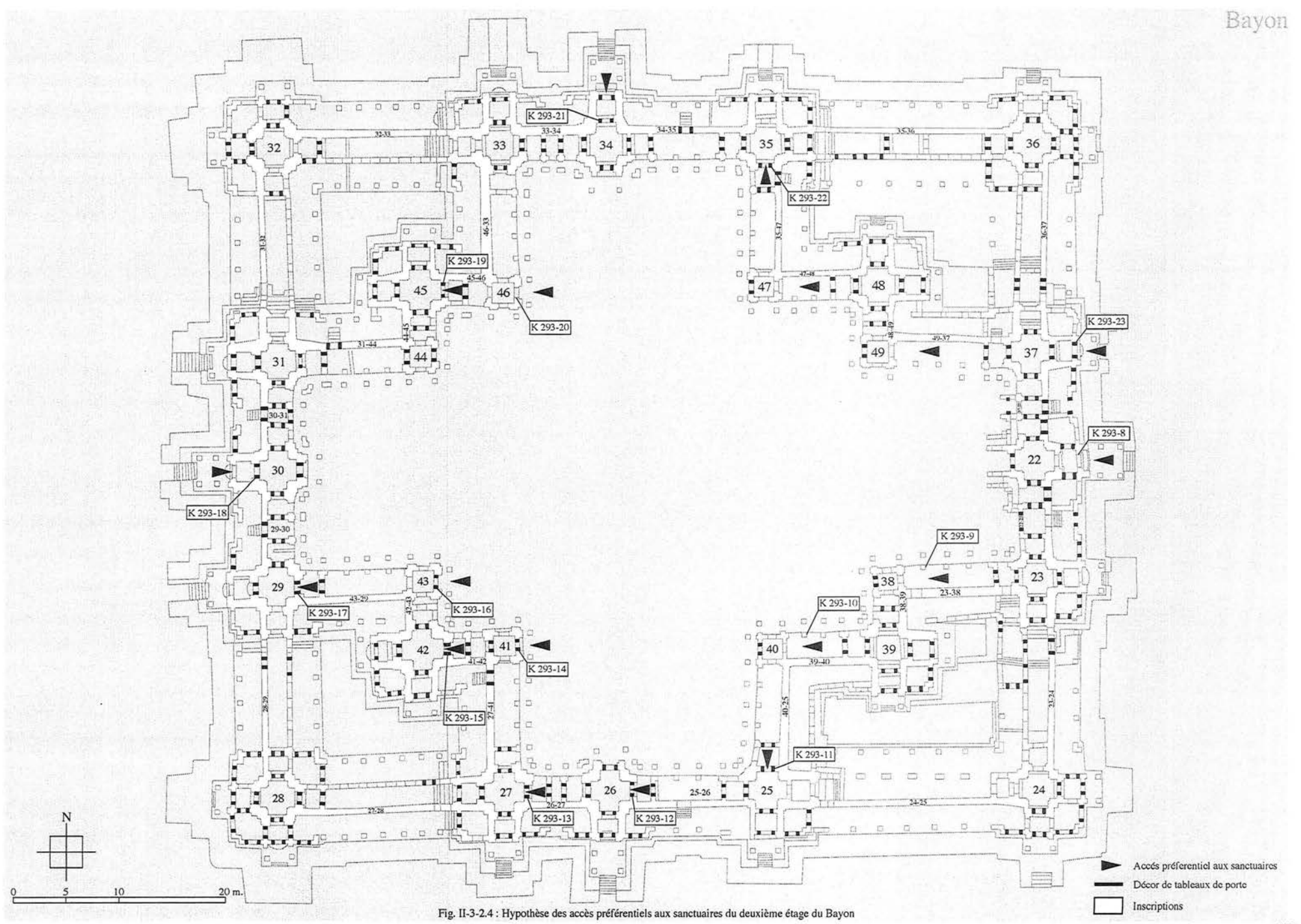
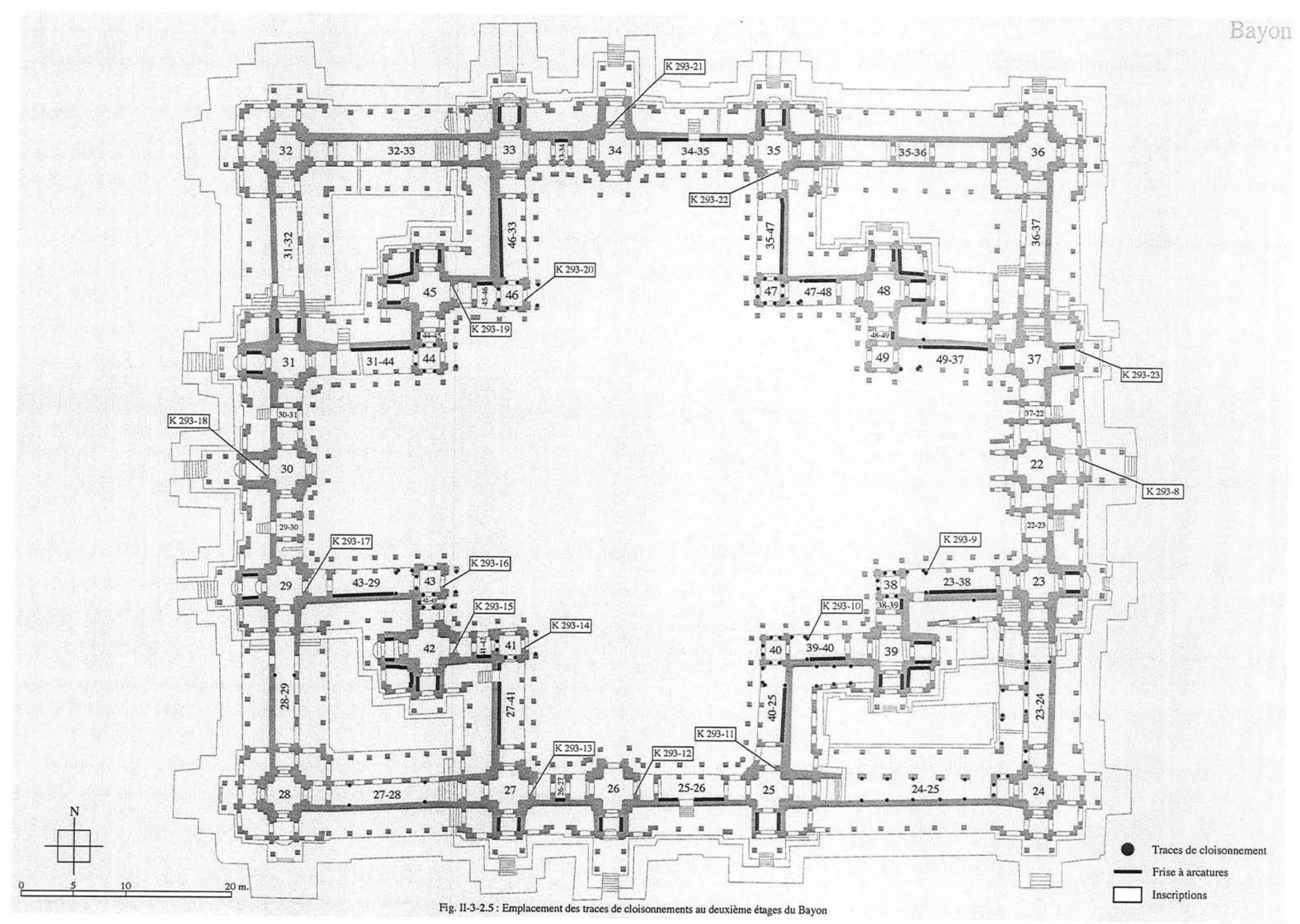


Fig. II-3-1-4.5 : Décompte des tours à visages au Bayon et à Angkor Thom









SONDAGES DU BAYON

Fig. II-4.1 : Répartition des sondages effectués au Bayon

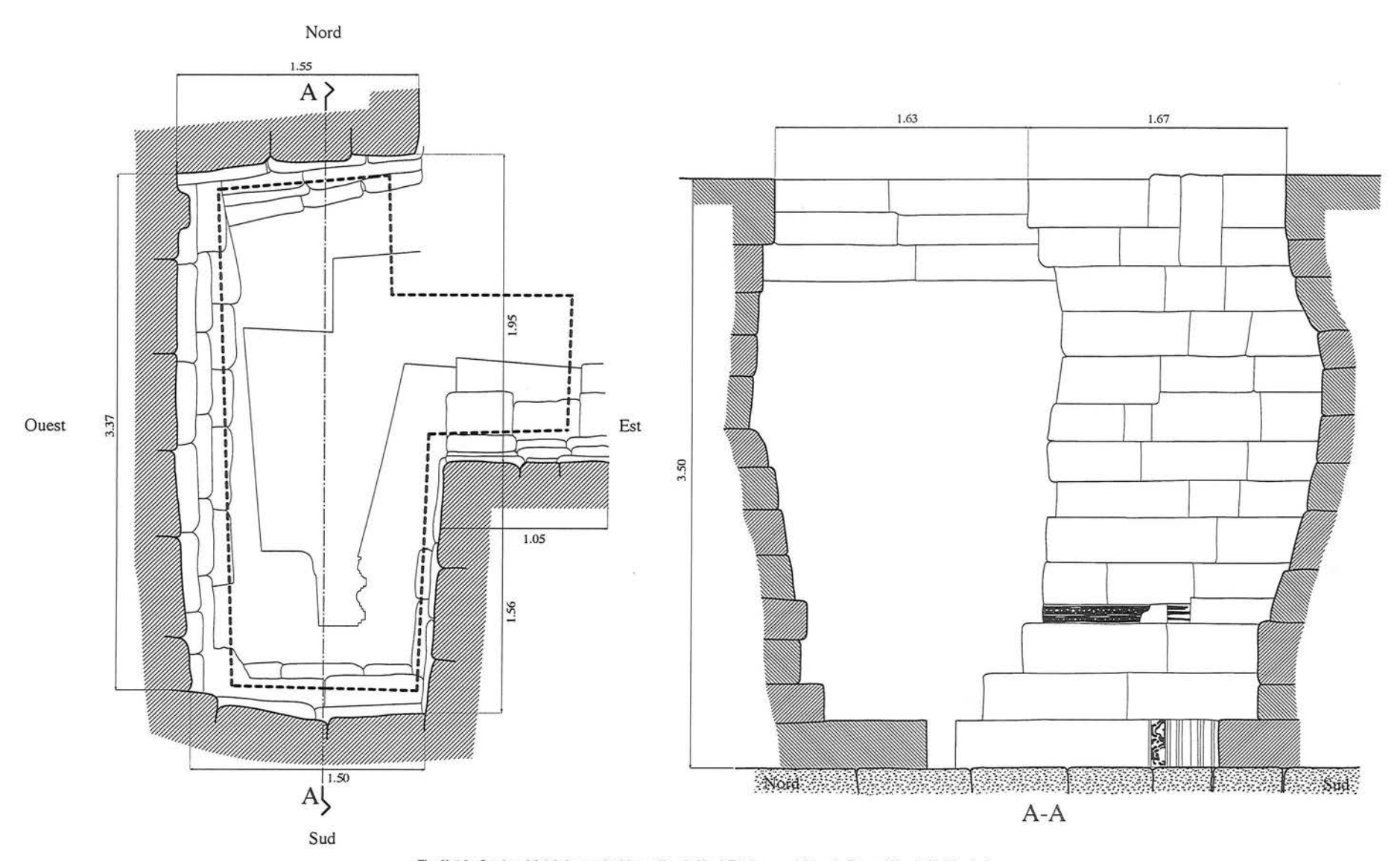


Fig. II-4.2 : Sondage M 4 de la cour intérieure d'angle Nord-Est du second étage du Bayon (d'après H. Marchal)

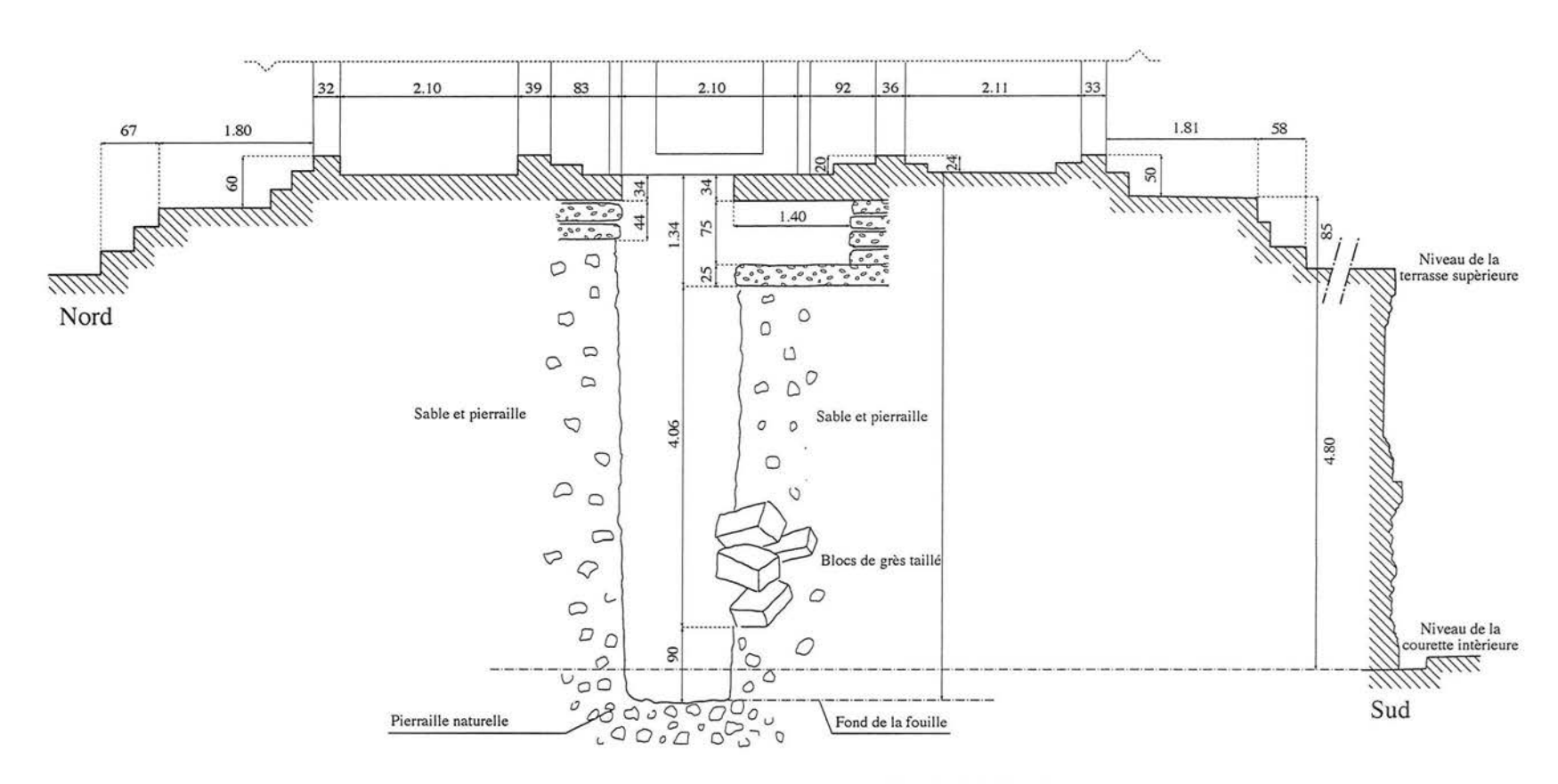


Fig. II-4.3 : Coupe Nord-Sud du sondage M 5 dans la tour BY.12 (d'après H. Marchal)

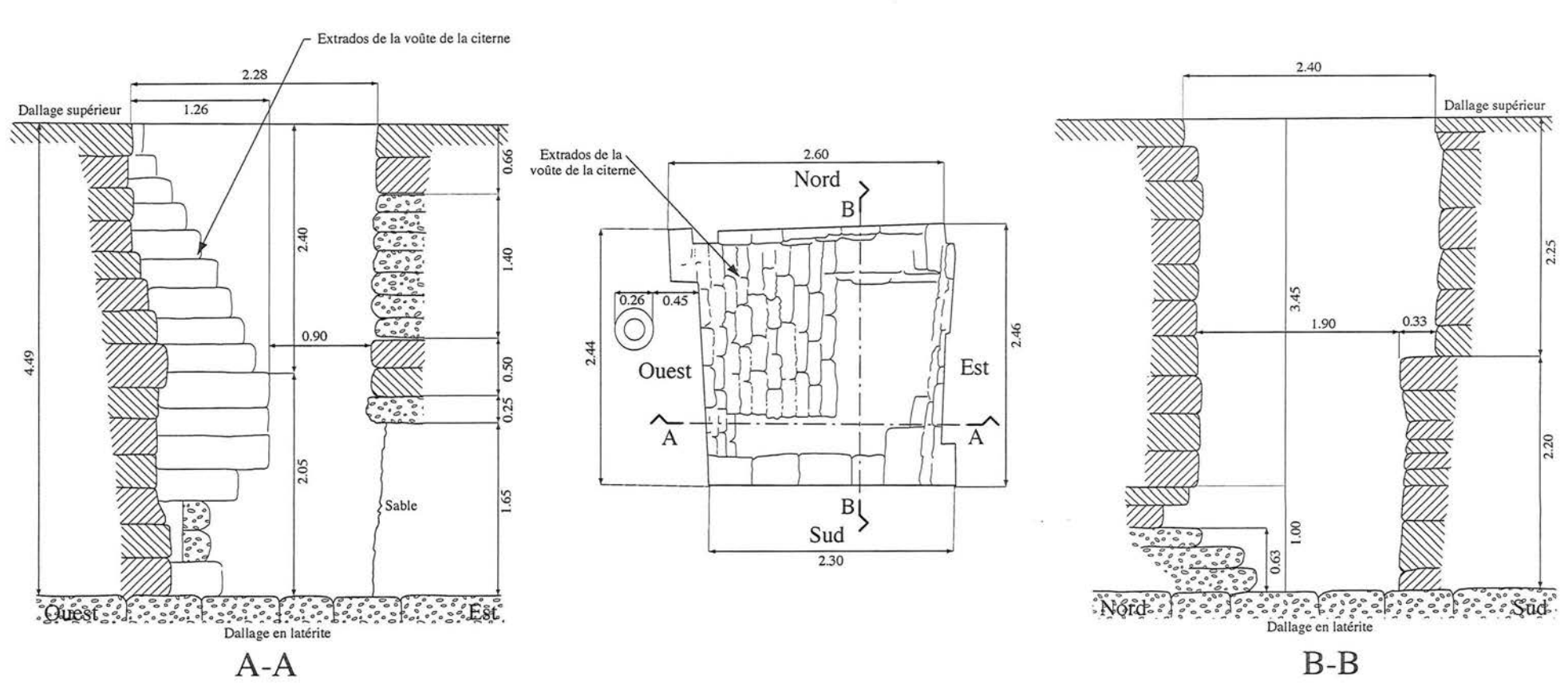
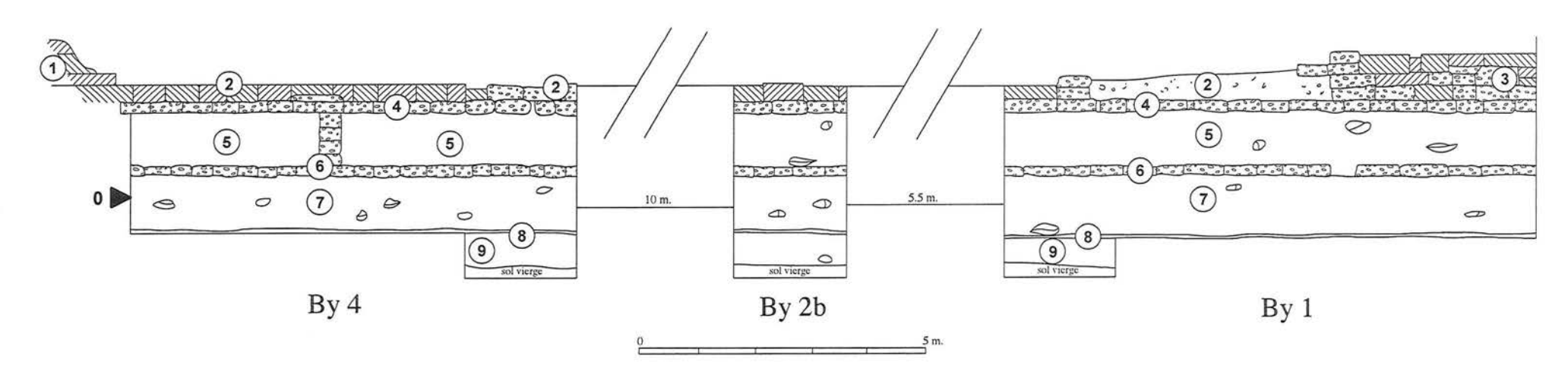


Fig. II-4.4 : Sondage M 3 à la terrasse du troisième étage au-dessus de l'extrados de la voûte de la "citerne" BY.C (d'après H. Marchal)



. 4 - - 1

Fig. II-4.5: Coupes stratigraphiques Nord-Sud vers l'Est des sondages By 4, By 2b et By 1 (d'après J. Dumarçay)

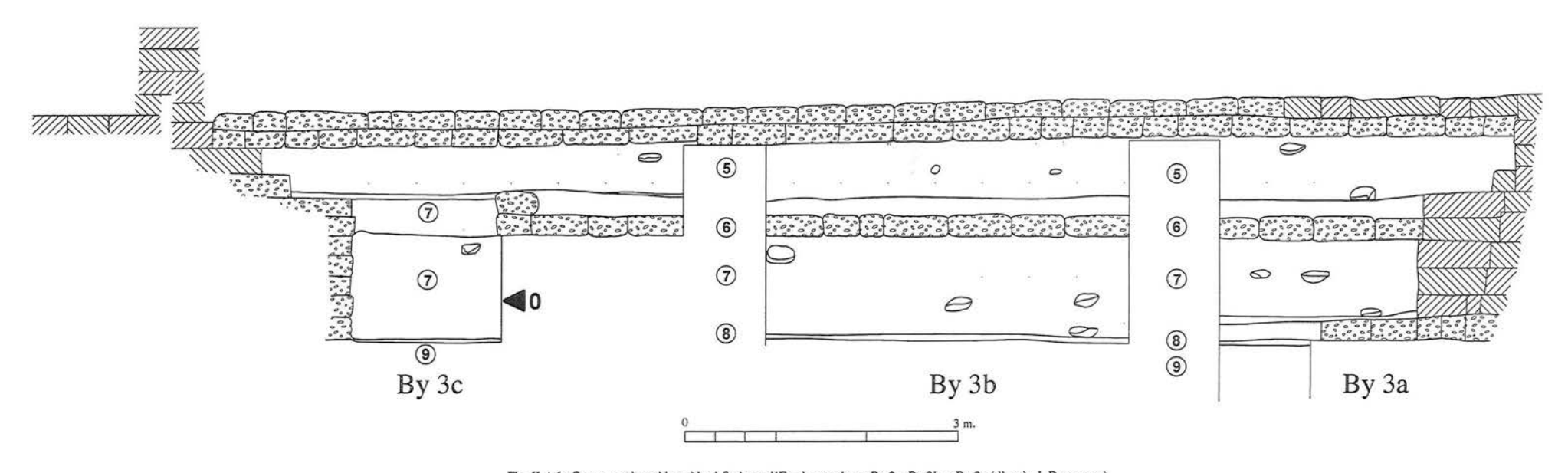


Fig. II-4.6 : Coupe stratigraphique Nord-Sud vers l'Est des sondages By 3a, By 3b et By 3c (d'après J. Dumarçay)

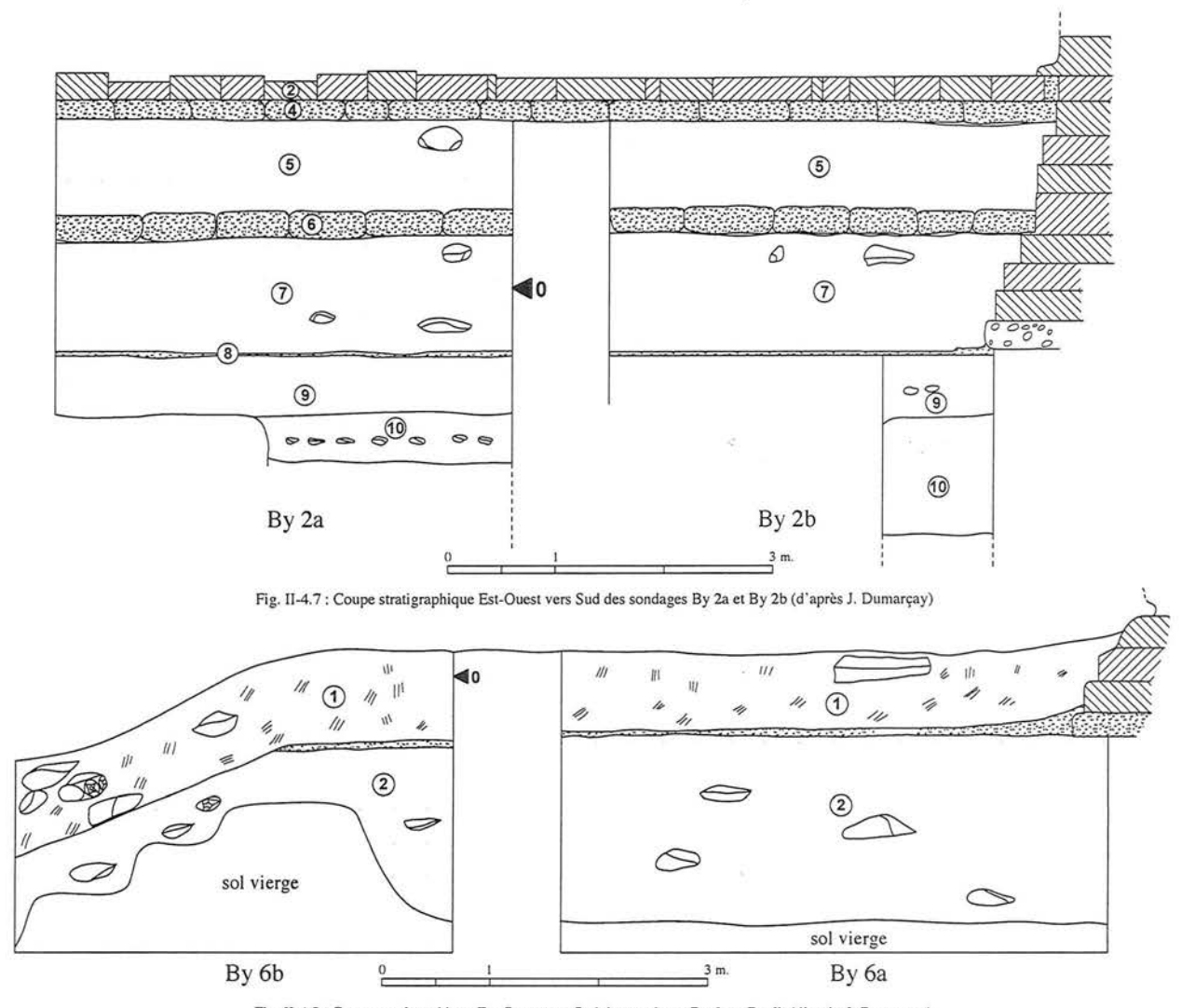


Fig. II-4.8 : Coupe stratigraphique Est-Ouest vers Sud des sondages By 6a et By 6b (d'après J. Dumarçay)

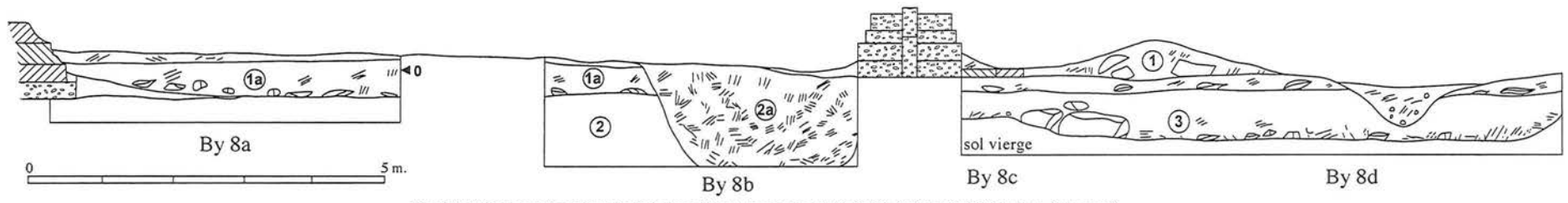


Fig. II-4.9 : Coupe stratigraphique Nord-Sud vers Ouest des sondages By 8a, By 8b, By 8c et By 8d (d'après J. Dumarçay)

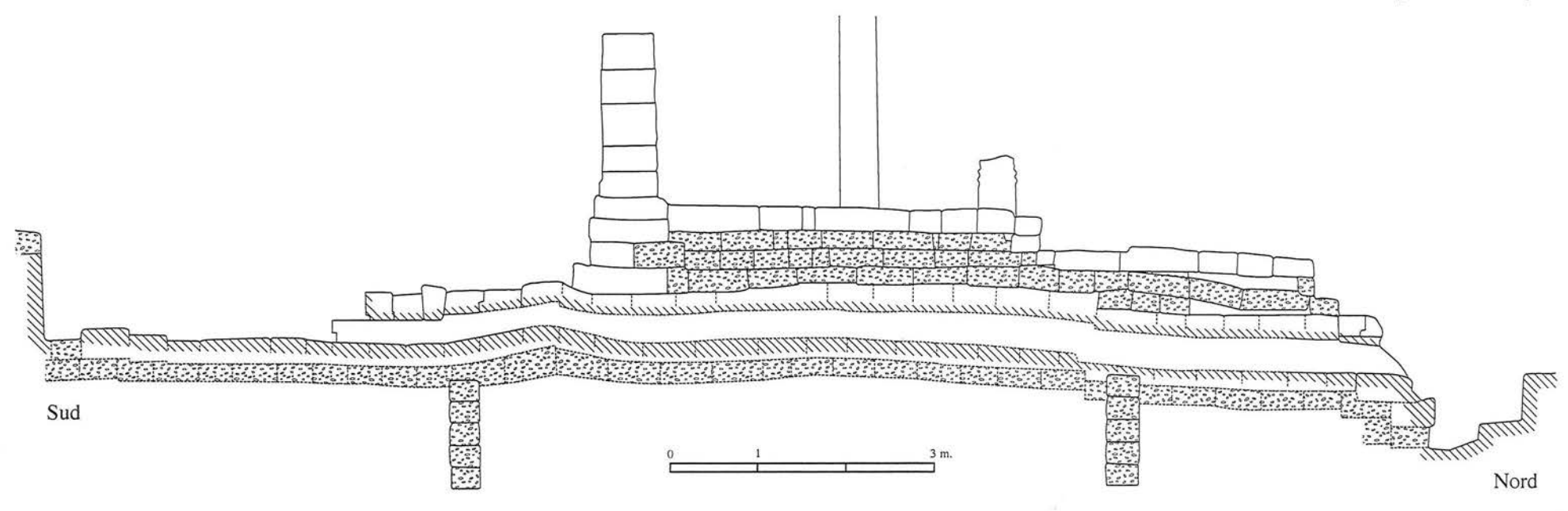


Fig. II-4.10 : Coupe Nord-Sud vers l'Ouest sur le drain de la galerie BY.68 (d'après JSA)

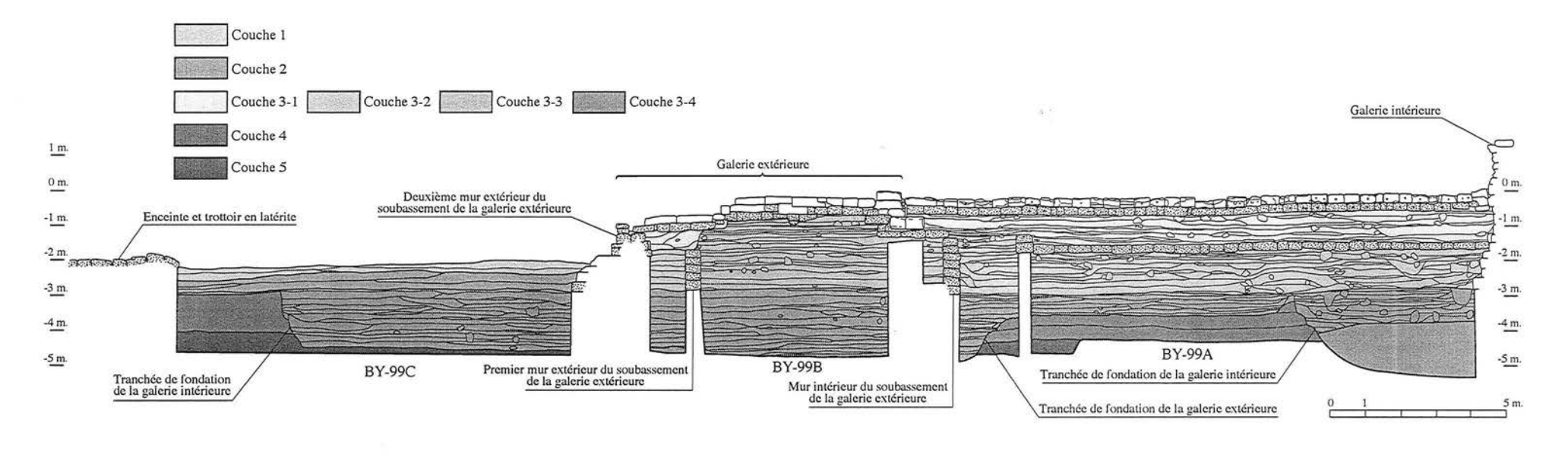


Fig. II-4.11: Coupe stratigraphique Nord-Sud vers l'Est des sondages BY.99A, BY.99.B et BY.99C (d'après JSA)

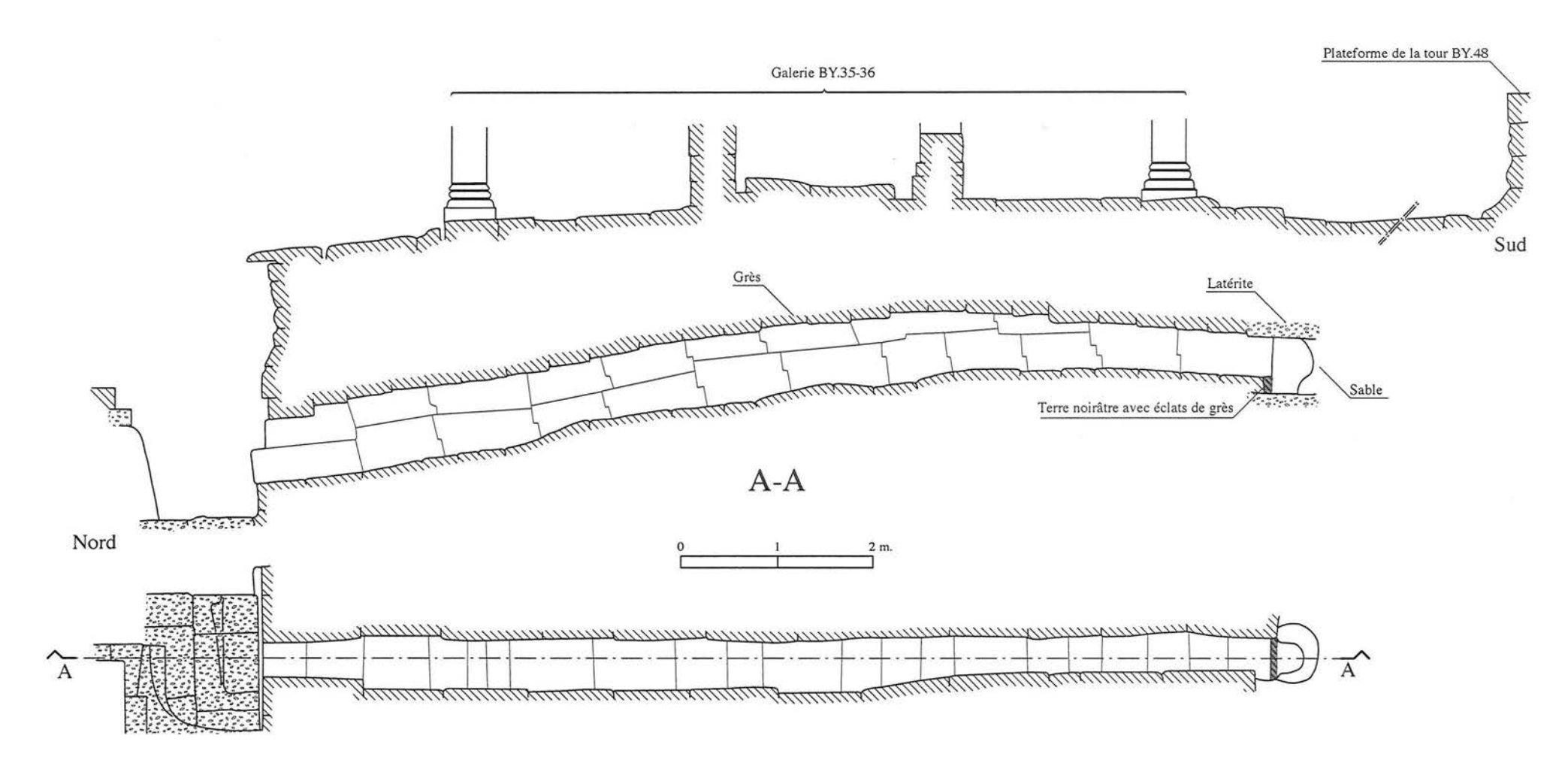


Fig. II-4.12 : Plan et coupe du système de drainage enfoui dans le soubassement de la galerie BY.35-36 (d'après JSA)

